

International Nonproprietary Names for Pharmaceutical Substances (INN)

Notice is hereby given that, in accordance with article 3 of the Procedure for the Selection of Recommended International Nonproprietary Names for Pharmaceutical Substances, the names given in the list on the following pages are under consideration by the World Health Organization as Proposed International Nonproprietary Names. The inclusion of a name in the lists of Proposed International Nonproprietary Names does not imply any recommendation of the use of the substance in medicine or pharmacy.

Lists of Proposed (1–117) and Recommended (1–78) International Nonproprietary Names can be found in *Cumulative List No. 17, 2017* (available in CD-ROM only). The statements indicating action and use are based largely on information supplied by the manufacturer. **This information is merely meant to provide an indication of the potential use of new substances at the time they are accorded Proposed International Nonproprietary Names.** WHO is not in a position either to uphold these statements or to comment on the efficacy of the action claimed. Because of their provisional nature, these descriptors will neither be revised **nor included in the Cumulative Lists of INNs.**

Dénominations communes internationales des Substances pharmaceutiques (DCI)

Il est notifié que, conformément aux dispositions de l'article 3 de la Procédure à suivre en vue du choix de Dénominations communes internationales recommandées pour les Substances pharmaceutiques les dénominations ci-dessous sont mises à l'étude par l'Organisation mondiale de la Santé en tant que dénominations communes internationales proposées. L'inclusion d'une dénomination dans les listes de DCI proposées n'implique aucune recommandation en vue de l'utilisation de la substance correspondante en médecine ou en pharmacie.

On trouvera d'autres listes de Dénominations communes internationales proposées (1–117) et recommandées (1–78) dans la *Liste récapitulative No. 17, 2017* (disponible sur CD-ROM seulement). Les mentions indiquant les propriétés et les indications des substances sont fondées sur les renseignements communiqués par le fabricant. **Elles ne visent qu'à donner une idée de l'utilisation potentielle des nouvelles substances au moment où elles sont l'objet de propositions de DCI.** L'OMS n'est pas en mesure de confirmer ces déclarations ni de faire de commentaires sur l'efficacité du mode d'action ainsi décrit. En raison de leur caractère provisoire, ces informations **ne figureront pas dans les listes récapitulatives de DCI.**

Denominaciones Comunes Internacionales para las Sustancias Farmacéuticas (DCI)

De conformidad con lo que dispone el párrafo 3 del "Procedimiento de Selección de Denominaciones Comunes Internacionales Recomendadas para las Sustancias Farmacéuticas", se comunica por el presente anuncio que las denominaciones detalladas en las páginas siguientes están sometidas a estudio por la Organización Mundial de La Salud como Denominaciones Comunes Internacionales Propuestas. La inclusión de una denominación en las listas de las DCI

Propuestas no supone recomendación alguna en favor del empleo de la sustancia respectiva en medicina o en farmacia.

Las listas de Denominaciones Comunes Internacionales Propuestas (1–117) y Recomendadas (1–78) se encuentran reunidas en *Cumulative List No. 17, 2017* (disponible sólo en CD-ROM). Las indicaciones sobre acción y uso que aparecen se basan principalmente en la información facilitada por los fabricantes. **Esta información tiene por objeto dar una idea únicamente de las posibilidades de aplicación de las nuevas sustancias a las que se asigna una DCI Propuesta.** La OMS no está facultada para respaldar esas indicaciones ni para formular comentarios sobre la eficacia de la acción que se atribuye al producto. Debido a su carácter provisional, esos datos descriptivos **no deben incluirse en las listas recapitulativas de DCI.**

Proposed International Nonproprietary Names: List 132

Comments on, or formal objections to, the proposed names may be forwarded by any person to the INN Programme of the World Health Organization within four months of the date of their publication in *WHO Drug Information*, i.e., for **List 132 of Proposed INN not later than 13 June 2025. Publication date:** 14.02.2025

Dénominations communes internationales proposées: Liste 132

Des observations ou des objections formelles à l'égard des dénominations proposées peuvent être adressées par toute personne au Programme des Dénominations communes internationales de l'Organisation mondiale de la Santé dans un délai de quatre mois à compter de la date de leur publication dans *WHO Drug Information*, c'est à dire pour la **Liste 132 de DCI Proposées le 13 juin 2025 au plus tard. Date de publication :** 14.02.2025

Denominaciones Comunes Internacionales Propuestas: Lista 132

Cualquier persona puede dirigir observaciones u objeciones respecto de las denominaciones propuestas, al Programa de Comunes Internacionales de la Organización Mundial de la Salud, en un plazo de cuatro meses, contados desde la fecha de su publicación en *WHO Drug Information*, es decir, para **la Lista 132 de DCI Propuestas el 13 de Junio de 2025 a más tardar.**

Fecha de publicación: 14.02.2025

<i>Proposed INN (Latin, English, French, Spanish)</i>	<i>Chemical name or description: Action and use: Molecular formula, Chemical Abstracts Service (CAS) registry number: Graphic formula</i>
<i>DCI Proposée</i>	<i>Nom chimique ou description: Propriétés et indications: Formule brute, Numéro dans le registre du CAS: Formule développée</i>
<i>DCI Propuesta</i>	<i>Nombre químico o descripción: Acción y uso: Fórmula molecular, Número de registro del CAS: Fórmula desarrollada</i>

abazistobartum

abazistobart

immunoglobulin G4-kappa, anti-[*Homo sapiens* PDCD1 (programmed cell death 1, PD-1, PD1, CD279)], chimeric and humanized monoclonal antibody;

- H-gamma4 heavy chain chimeric (1-444) [VH Musmus/Homsap (*Mus musculus* IGHV5-9*02 (85.6%) - (IGHD) -IGHJ1*01 (86.7%) A120>Q (109), T123>L (112)/*Homo sapiens* IGHV3-23*04 (84.5%) -(IGHD) -IGHJ4*01 (93.3%), CDR-IMGT [8.8.10] (26-33.51-58.97-106)) (1-117) - *Homo sapiens* IGHG4*01, nG4m(a) CH2 L92, 12-G4v5 h P10(CH1 (118-215), hinge 1-12 S10>P (225) (216-227), CH2 L92 (306) (228-337), CH3 (338-442), CHS (443-444)) (118-444)], (131-214')-disulfide with L-kappa light chain humanized (1'-214') [V-KAPPA (*Homo sapiens* IGKV3-11*01 (85.3%) - IGKJ1*01 (100%), CDR-IMGT [6.3.9] (27'-32'.50'-52'.89'-97')) (1'-107') -*Homo sapiens* IGKC*01 (100%) Km3 A45.1, V101 (C-KAPPA A45.1 (153'), V101 (191')) (108'-214')]; dimer (223-223":226-226")-bisdisulfide, produced in Chinese hamster ovary (CHO) cells, derived from the cell line CHO-K1, lacking the glutamine synthetase (GS-KO) gene, glycoform alfa *immunostimulant, antineoplastic*
- abazistobart immunoglobuline G4-kappa, anti-[*Homo sapiens* PDCD1 (protéine 1 de mort cellulaire programmée, PD-1, PD1, CD279)], anticorps monoclonal chimérique et humanisé; chaîne lourde H-gamma4 chimérique (1-444) [VH Musmus/Homsap (*Mus musculus* IGHV5-9*02 (85.6%) - (IGHD) -IGHJ1*01 (86.7%) A120>Q (109), T123>L (112)/*Homo sapiens* IGHV3-23*04 (84.5%) -(IGHD) -IGHJ4*01 (93.3%), CDR-IMGT [8.8.10] (26-33.51-58.97-106)) (1-117) - *Homo sapiens* IGHG4*01, nG4m(a) CH2 L92,12-G4v5 h P10(CH1 (118-215), charnière 1-12 S10>P (225) (216-227), CH2 L92 (306) (228-337), CH3 (338-442), CHS (443-444)) (118-444)], (131-214')-disulfure avec la chaîne légère L-kappa humanisée (1'-214') [V-KAPPA (*Homo sapiens* IGKV3-11*01 (85.3%) -IGKJ1*01 (100%), CDR-IMGT [6.3.9] (27'-32'.50'-52'.89'-97')) (1'-107') -*Homo sapiens* IGKC*01 (100%) Km3 A45.1, V101 (C-KAPPA A45.1 (153'), V101 (191')) (108'-214')]; dimère (223-223":226-226")-bisdisulfure, produit dans des cellules ovariennes de hamster chinois (CHO), dérivant de la lignée cellulaire CHO-K1, ne présentant pas le gène de la glutamine synthétase (GS-KO), glycoforme alfa *immunostimulant, antinéoplasique*
- abazistobart inmunoglobulina G4-kappa, anti-[*Homo sapiens* PDCD1 (proteína 1 de muerte celular programada, PD-1, PD1, CD279)], anticuerpo monoclonal quimérico y humanizado; cadena pesada H-gamma4 quimérica (1-444) [VH Musmus/Homsap (*Mus musculus* IGHV5-9*02 (85.6%) - (IGHD) -IGHJ1*01 (86.7%) A120>Q (109), T123>L (112)/*Homo sapiens* IGHV3-23*04 (84.5%) -(IGHD) -IGHJ4*01 (93.3%), CDR-IMGT [8.8.10] (26-33.51-58.97-106)) (1-117) - *Homo sapiens* IGHG4*01, nG4m(a) CH2 L92,12-G4v5 h P10(CH1 (118-215), bisagra 1-12 S10>P (225) (216-227), CH2 L92 (306) (228-337), CH3 (338-442), CHS (443-444)) (118-444)], (131-214')-disulfuro con la cadena ligera L-kappa humanizada (1'-214') [V-KAPPA (*Homo sapiens* IGKV3-11*01 (85.3%) -IGKJ1*01 (100%), CDR-IMGT [6.3.9] (27'-32'.50'-52'.89'-97')) (1'-107') -*Homo sapiens* IGKC*01 (100%) Km3 A45.1, V101 (C-KAPPA A45.1 (153'), V101 (191')) (108'-214')]; dímero (223-223":226-226")-bisdisulfuro, producido en las células ováricas de hámster chino (CHO), línea celular derivada de CHO-K1, en ausencia del gen glutamina sintetasa (GS-KO), forma glicosilada alfa *inmunostimulante, antineoplásico*

Heavy chain / Chaîne lourde / Cadena pesada
 EVKLVESGGG LVQFPGSLRL SCAASGFAPF SYDMSWVRQA PGKRLEWVAT 50
 ISGGGRYTYI PDTVKGRFTI SRDNAKNSHY LQMNSLRAED TAVYFCASPY 100
 GGYFDVWQGG TLVTVSSAST KGPSVFPIAP CSRSTSESTA ALGCLVKDYF 150
 PEPVTVSWMS GALTSGVHTF PAVLQSSGLY SLSSVVTVPS SSLGTRKTYTC 200
 NVDHKPSNTK VDKRVESKYG PFCPCPAPE FLGGPSVFLF PPKPKDTLMI 250
 SRTPEVTVCVV VDVSQEDPEV QFNWYVDGVE VHNAKTKPRE EQFNSTYRVV 300
 SVLTVLHQDW LMGKEYKCKV SNKGLPSSIE KTISKARQGF REPQVYTLPP 350
 SQEEMTKQV SLTCLVKGFY PSDIAVEWES NGQPENNYKT TTPPDLSDGS 400
 FFLYSRLTVD KSRWQEGNVF SCSVMHEALH NHYTQKLSL SLGK 444

Light chain / Chaîne légère / Cadena ligera
 EIVLTQSPAT LSLSPGERAT LSCRASQGIS NFLHWYQQKQ GQAPRLLIKY 50
 ASQSIIGIPA RFSGSGSGTD FTLTISSELP EDFAVYFCQQ SNSVHPHFQQ 100
 GTKVEIKRTV AAPSVEFIAPP SDEQLKSGTA SVVCLLNIFY PREAKVQWVK 150
 DNALQSGNSQ ESVTEQDSKD STYLSSTLT LSKADYERKH VYACEVTHQG 200
 LSSPVTKSFN RGEC 214

Post-translational modifications
 Disulfide bridges location / Position des ponts disulfure / Posiciones de los puentes disulfuro
 Intra-H (C23-C104) 22-96 144-200 258-318 364-422
 22"-96" 144"-200" 258"-318" 364"-422"
 Intra-L (C23-C104) 23"-88" 134"-194"
 23"-88" 134"-194"
 Inter-H-L (CHI 10-CL 126) 131-214" 131"-214"
 Inter-H-H (h 8, h 11) 223-223" 226-226"

N-glycosylation sites / Sites de N-glycosylation / Posiciones de N-glicosilación
 H CH2 N84.4; 294, 294"
 Fucosylated complex bi-antennary CHO-type glycans / glycanes de type CHO bi-antennaires complexes fucosylés / glicanos de tipo CHO biantennarios complejos fucosilados
 C-terminal lysine clipping / Coupure de la lysine C-terminale / Recorte de lisina C-terminal
 H CHS K2; 444, 444"

acinterferonum alfa #

acinterferon alfa human interferon α-14 (IFN-α-14, IFNA14, interferon α-H, interferon λ2-H), [N¹⁰>G, N¹¹>S, R¹²>K, M¹⁸>L, R²²>G, R²³>K, P²⁶>L, M⁶⁰>L, M⁶¹>I, N⁷²>E, T⁸⁰>G, E⁸³>D, Y⁸⁶>R, I⁸⁷>T, F⁹⁰>Y, Q⁹¹>R, M⁹³>L, V¹⁰⁰>M, I¹⁰¹>M, E¹¹⁴>A, A¹⁴⁶>V, R¹⁶⁴>G]-variant, non-glycosylated, produced by *Escherichia coli*
immunostimulant, antiviral

acinterféron alfa interféron α-14 humain (IFN-α-14, IFNA14, interféron α-H, interféron λ2-H), [N¹⁰>G, N¹¹>S, R¹²>K, M¹⁸>L, R²²>G, R²³>K, P²⁶>L, M⁶⁰>L, M⁶¹>I, N⁷²>E, T⁸⁰>G, E⁸³>D, Y⁸⁶>R, I⁸⁷>T, F⁹⁰>Y, Q⁹¹>R, M⁹³>L, V¹⁰⁰>M, I¹⁰¹>M, E¹¹⁴>A, A¹⁴⁶>V, R¹⁶⁴>G]-variant, non-glycosylé, produit par *Escherichia coli*
immunostimulant, antiviral

acinterferón alfa interferón α-14 humano (IFN-α-14, IFNA14, interferón α-H, interferón λ2-H), [N¹⁰>G, N¹¹>S, R¹²>K, M¹⁸>L, R²²>G, R²³>K, P²⁶>L, M⁶⁰>L, M⁶¹>I, N⁷²>E, T⁸⁰>G, E⁸³>D, Y⁸⁶>R, I⁸⁷>T, F⁹⁰>Y, Q⁹¹>R, M⁹³>L, V¹⁰⁰>M, I¹⁰¹>M, E¹¹⁴>A, A¹⁴⁶>V, R¹⁶⁴>G]-variante, no glicosilado, producido por *Escherichia coli*
inmunoestimulante, antiviral

2941004-21-1

Sequence / Séquence / Secuencia
 CNLSQTHSLG ~~S~~KRTLMLEAQQ ~~M~~GKISLFSCL KDRHDFEFPQ EEFDGNQFPQK 50
 AQAISVLHEL ~~I~~QQTFNLFST ~~K~~ESSAAWDE ~~G~~LIDKFRTELY ~~R~~QLNDLEAQM 100
~~M~~AEVGVETP ~~L~~MAADISLAV KKYFQRITLY ~~L~~MEKKYSPCA WEVVVVEIMR 150
 SLSFSTNLQK ~~R~~LRGKD 166

Mutations / Mutations / Mutaciones
 N¹⁰-G, N¹¹-S, R¹²-K, M¹⁸-L, R²²-G, R²³-K, P²⁶-L, M⁶⁰-L, M⁶¹-I, N⁷²-E, T⁸⁰-G, E⁸³-D, Y⁸⁶-R, I⁸⁷-T, F⁹⁰-Y, Q⁹¹-R, M⁹³-L, V¹⁰⁰-M, I¹⁰¹-M, E¹¹⁴-A, A¹⁴⁶-V, R¹⁶⁴-G

Post-translational modifications
 Disulfide bridges location / Position des ponts disulfure / Posiciones de los puentes disulfuro
 1-99 29-139

N-glycosylation sites / Sites de N-glycosylation / Posiciones de N-glicosilación
 none / aucun / ninguna

actinium (²²⁵Ac) zadavotidum guraxetanum

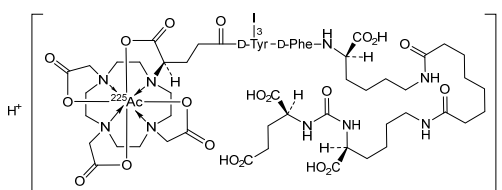
actinium (²²⁵Ac) zadavotide guraxetan hydrogen (*N*-{(4*R*)-4-carboxylato-κ*O*-4-[4,7,10-tris(carboxylato-κ*O*-methyl)-1,4,7,10-tetraazacyclododecan-1-yl-κ⁴*N*¹,*N*⁴,*N*⁷,*N*¹⁰]butanoyl}-3-iodo-*D*-tyrosyl-*D*-phenylalanyl-*N*⁶-{8-[*N*²-(*L*-glutamocarbonyl)-*N*⁶-*L*-lysino]-8-oxooctanoyl]-*D*-lysine})(²²⁵Ac)actinate(1-)
antineoplastic

actinium (²²⁵Ac) zadavotide guraxétan hydrogéno(*N*-{(4*R*)-4-carboxylato-κ*O*-4-[4,7,10-tris(carboxylato-κ*O*-méthyl)-1,4,7,10-tétraazacyclododécan-1-yl-κ⁴*N*¹,*N*⁴,*N*⁷,*N*¹⁰]butanoil}-3-iodo-*D*-tyrosyl-*D*-phénylalanyl-*N*⁶-{8-[*N*²-(*L*-glutamocarbonyl)-*N*⁶-*L*-lysino]-8-oxooctanoil]-*D*-lysine})(²²⁵Ac)actinate(1-)
antineoplasique

actinio (²²⁵Ac) zadavotida guraxetán hidrógeno(*N*-{(4*R*)-4-carboxilato-κ*O*-4-[4,7,10-tris(carboxilato-κ*O*-metil)-1,4,7,10-tetraazaciclododecan-1-il-κ⁴*N*¹,*N*⁴,*N*⁷,*N*¹⁰]butanoil}-3-iodo-*D*-tiroxil-*D*-fenilalanil-*N*⁶-{8-[*N*²-(*L*-glutamocarbonil)-*N*⁶-*L*-lisino]-8-oxooctanoil]-*D*-lisina})(²²⁵Ac)actinato(1-)
antineoplásico

C₆₃H₈₉²²⁵AcIN₁₁O₂₃

2901793-42-6

**adezkibartum #
adezkibart**

immunoglobulin G1-lambda2, anti-[*Homo sapiens* FLT3LG (fms related receptor tyrosine kinase 3 ligand)], *Homo sapiens* monoclonal antibody; H-gamma1 heavy chain *Homo sapiens* (1-449) [VH (*Homo sapiens*IGHV1-69*11 (89.7%) -(IGHD) -IGHJ5*01 (90.9%) L123>T (114), CDR-IMGT [8.8.12] (26-33.51-58.97-108)) (1-119) -*Homo sapiens*IGHG1*03, G1m3, nG1m1 CH1 R120, CH3 E12, M14, 6-G1v39 CH2 F1.3, E1.2, S116 (CH1 R120 (216) (120-217), hinge 1-15 (218-232), CH2 L1.3>F (236), L1.2>E (237), P116>S (333) (233-342), CH3 E12 (358), M14 (360) (343-447), CHS (448-449)) (120-449)], (222-216'-disulfide with L-lambda2 light chain *Homo sapiens* (1'-217') [V-LAMBDA (*Homo sapiens* IGLV6-57*01 (93.7%) -IGLJ2*01 (100%), CDR-IMGT [8.3.10] (26'-33'.51'-53'.92'-101'') (1'-111'') -*Homo sapiens* IGLC2*01 (100%) (C-LAMBDA2) (112'-217'')]; dimer (228-228''-231-231'')-bisdisulfide, produced in a cell line from Chinese hamster ovary (CHO) cells, derived from the cell line CHO-K1, glycoform alfa
immunosuppressant

adezkibart immunoglobuline G1-lambda2, anti-[*Homo sapiens* FLT3LG (ligand du récepteur tyrosine kinase 3 apparenté au fms)], anticorps monoclonal *Homo sapiens*; chaîne lourde H-gamma1 *Homo sapiens* (1-449) [VH (*Homo sapiens* IGHV1-69*11 (89.7%) -(IGHD) -IGHJ5*01 (90.9%) L123>T (114), CDR-IMGT [8.8.12] (26-33.51-58.97-108)) (1-119) -*Homo sapiens* IGHG1*03, G1m3, nG1m1 CH1 R120, CH3 E12, M14, 6-G1v39 CH2 F1.3, E1.2, S116 (CH1 R120 (216) (120-217), charnière 1-15 (218-232), CH2 L1.3>F (236), L1.2>E (237), P116>S (333) (233-342), CH3 E12 (358), M14 (360) (343-447), CHS (448-449)) (120-449)], (222-216')-disulfure avec la chaîne légère L-lambda2 *Homo sapiens* (1'-217') [V-LAMBDA (*Homo sapiens* IGLV6-57*01 (93.7%) -IGLJ2*01 (100%), CDR-IMGT [8.3.10] (26'-33'.51'-53'.92'-101')) (1'-111') -*Homo sapiens* IGLC2*01 (100%) (C-LAMBDA2) (112'-217')]; dimère (228-228":231-231")-bisdisulfure, produit dans une lignée cellulaire des cellules ovariennes de hamster chinois (CHO), dérivant de la lignée cellulaire CHO-K1, glycoforme alfa *immunosuppresseur*

adezkibart inmunoglobulina G1-lambda2, anti-[*Homo sapiens* FLT3LG (ligando del receptor tirosina kinasa 3 acoplado al fms)], anticuerpo monoclonal *Homo sapiens*; cadena pesada H-gamma1 *Homo sapiens* (1-449) [VH (*Homo sapiens* IGHV1-69*11 (89.7%) -(IGHD) -IGHJ5*01 (90.9%) L123>T (114), CDR-IMGT [8.8.12] (26-33.51-58.97-108)) (1-119) -*Homo sapiens* IGHG1*03, G1m3, nG1m1 CH1 R120, CH3 E12, M14, 6-G1v39 CH2 F1.3, E1.2, S116 (CH1 R120 (216) (120-217), bisagra 1-15 (218-232), CH2 L1.3>F (236), L1.2>E (237), P116>S (333) (233-342), CH3 E12 (358), M14 (360) (343-447), CHS (448-449)) (120-449)], (222-216')-disulfuro con la cadena ligera L-lambda2 *Homo sapiens* (1'-217') [V-LAMBDA (*Homo sapiens* IGLV6-57*01 (93.7%) -IGLJ2*01 (100%), CDR-IMGT [8.3.10] (26'-33'.51'-53'.92'-101')) (1'-111') -*Homo sapiens* IGLC2*01 (100%) (C-LAMBDA2) (112'-217')]; dímero (228-228":231-231")-bisdisulfuro, producido en una línea celular de las células ováricas de hamster chino (CHO), línea celular derivada de CHO-K1, forma glicosilada alfa *inmunosupresor*

2921564-55-6

Heavy chain / Chaîne lourde / Cadena pesada

YQVLVQSGAE VKKPGSSVKV SCKASGGTFS SYALSWVRQA PGQGLEWMMGT 50
 RPPTSRRTASY AQKFGQGRVTI TVDESTSTGY MELSSLRSED TAVYYCASND 100
 FVYGSYRFWG QGTTVTVSSA STKGPSVFPPL APSSKSTSGG TAALGCLVKD 150
 YFPEPVTWSW NSGALTSQGVH TFFAVLQSSG LYSLSVVTV PSSLGQTQTY 200
 ICNVNHPKPSN TKVDKRVEPK SCDKHTCTCP CPAPEFEGGP SVFLFPPKPK 250
 DTLMISRTPV VTCVVVDVSH EDPEVKFNWY VDGVEVHNAK TKPREQYNS 300
 YTRVSVLTV LHQDWLNGKE YKCKVSNKAL PASIEKTIK AKGQPREPQV 350
 YTLPPSREEM TKNQVSLTCL VKGFYPSDIA VEWESNGQPE NNYKTTFPVL 400
 DSDGSEFLYS KLTVDKSRWQ QGNVFCSCVM HEALHNHYTQ KSLSLSPGK 449

Light chain / Chaîne légère / Cadena ligera

NFMLTQPHSV SESPGKTVTI SCTRTSGNIA GYFVQWYQQR PGSSPTTVLY 50
 EDYQRPQSGV DRESGSDSS SNSASLTISG LKTEDEADY CQSYDDYRRA 100
 AFGGGTKLTV LGQPKAAPSV TLFPPSSEEL QANKATLVCL ISDFYPGAVT 150
 VAWKADSSPV KAGVETTPS KQSNKYAAS SYLSLTPEQW KSHRSYSCQV 200
 THEGSTVEKT VAPTECS 217

Post-translational modifications

Disulfide bridges location / Position des ponts disulfure / Posiciones de los puentes disulfuro

Intra-H (C23-C104) 22-96 146-202 263-323 369-427
 22"-96" 146"-202" 263"-323" 369"-427"

Intra-L (C23-C104) 22'-91' 139'-198'
 22""-91"" 139""-198""

Inter-H-L (h 5-CL 126) 222-216' 222"-216"

Inter-H-H (h 11, h 14) 228-228" 231-231"

N-terminal glutaminyl cyclization / Cyclisation du glutaminyle N-terminal / Ciclación del glutaminilo N-terminal

Q> pyroglutamyl (pE, 5-oxopropyl) / pyroglutamy (pE, 5-oxopropyle) / piroglutamilo

(pE, 5-oxopropilo)

H VH Q1: 1, 1"

N-glycosylation sites / Sites de N-glycosylation / Posiciones de N-glicosilación

H CH2 N84.4: 299, 299"

Fucosylated complex bi-antennary CHO-type glycans / glycanes de type CHO bi-antennaires complexes fucosylés / glicanos de tipo CHO biantenarios complejos fucosilados

C-terminal lysine clipping / Coupure de la lysine C-terminale / Recorte de lisina C-terminal

H CHS K2: 449, 449"

adimanebartum #

adimanebart

immunoglobulin G1-lambda2, anti-[*Homo sapiens* MUSK (muscle associated receptor tyrosine kinase)], humanized monoclonal antibody, agonist;
 H-gamma1 heavy chain humanized (1-450) [VH (*Homo sapiens* IGHV3-23*01 (93.9%) -(IGHD) -IGHJ1*01 (100%), CDR-IMGT [8.8.14] (26-33.51-58.97-110)) (1-121) -*Homo sapiens* IGHG1*01, G1m17,1 CH1 K120, CH3 D12, L14, 6-G1v14 CH2 A1.3, A1.2 (CH1 K120 (218) (122-219), hinge 1-15 (220-234), CH2 L1.3>A (238), L1.2>A (239) (235-344), CH3 D12 (360), L14 (362) (345-449), CHS K2>del (450)) (122-450)], (224-217')-disulfide with L-lambda2 light chain humanized (1'-218') [V-LAMBDA (*Homo sapiens* IGLV8-61*01 (89.7%) -IGLJ2*01 (100%), CDR-IMGT [9.3.12] (26'-34'.52'-54'.91'-102')) (1'-112') -*Homo sapiens* IGLC2*01 (100%) (C-LAMBDA2) (113'-218')]; dimer (230-230":233-233")-bisdisulfide, produced in Chinese hamster ovary (CHO) cells, derived from the cell line CHO-K1, lacking the glutamine synthetase (GS-KO) gene, glycoform alfa
muscle associated receptor tyrosine kinase agonist, neuromuscular diseases

adimanebart

immunoglobuline G1-lambda2, anti-[*Homo sapiens* MUSK (récepteur tyrosine kinase associée aux muscles)], anticorps monoclonal humanisé, agoniste;
 chaîne lourde H-gamma1 humanisée (1-450) [VH (*Homo sapiens* IGHV3-23*01 (93.9%) -(IGHD) -IGHJ1*01 (100%), CDR-IMGT [8.8.14] (26-33.51-58.97-110)) (1-121) -*Homo sapiens* IGHG1*01, G1m17,1 CH1 K120, CH3 D12, L14, 6-G1v14 CH2 A1.3, A1.2 (CH1 K120 (218) (122-219), charnière 1-15 (220-234), CH2 L1.3>A (238), L1.2>A (239) (235-344), CH3 D12 (360), L14 (362) (345-449), CHS K2>del (450)) (122-450)], (224-217')-disulfure avec la chaîne légère L-lambda2 humanisée (1'-218') [V-LAMBDA (*Homo sapiens* IGLV8-61*01 (89.7%) -IGLJ2*01 (100%), CDR-IMGT [9.3.12] (26'-34'.52'-54'.91'-102')) (1'-112') -*Homo sapiens* IGLC2*01 (100%) (C-LAMBDA2) (113'-218')]; dimère (230-230":233-233")-bisdisulfure, produit dans des cellules ovariennes de hamster chinois (CHO), dérivant de la lignée cellulaire CHO-K1, ne présentant pas le gène de la glutamine synthétase (GS-KO), glycoforme alfa
agoniste du récepteur de la tyrosine kinase associée aux muscles, maladies neuromusculaires

adimanebart

immunoglobulina G1-lambda2, anti-[*Homo sapiens* MUSK (receptor tirosina kinasa asociada a los músculos)], anticuerpo monoclonal humanizado, agonista;
 cadena pesada H-gamma1 humanizada (1-450) [VH (*Homo sapiens* IGHV3-23*01 (93.9%) -(IGHD) -IGHJ1*01 (100%), CDR-IMGT [8.8.14] (26-33.51-58.97-110)) (1-121) -*Homo sapiens* IGHG1*01, G1m17,1 CH1 K120, CH3 D12, L14, 6-G1v14 CH2 A1.3, A1.2 (CH1 K120 (218) (122-219), bisagra 1-15 (220-234), CH2 L1.3>A (238), L1.2>A (239) (235-344), CH3 D12 (360), L14 (362) (345-449), CHS K2>del (450)) (122-450)], (224-217')-disulfuro con la cadena ligera L-lambda2 humanizada (1'-218') [V-LAMBDA (*Homo sapiens* IGLV8-61*01 (89.7%) -IGLJ2*01 (100%), CDR-IMGT [9.3.12] (26'-34'.52'-54'.91'-102')) (1'-112') -*Homo sapiens* IGLC2*01 (100%) (C-LAMBDA2) (113'-218')]; dímero (230-230":233-233")-bisdisulfuro, producido en las células ováricas de hámster chino (CHO), línea celular derivada de CHO-K1, en ausencia del gen glutamina sintetasa (GS-KO), forma glicosilada alfa
agonista del receptor de la tirosina kinasa asociada a los músculos, enfermedades neuromusculares

3011838-77-7

Heavy chain / Chaîne lourde / Cadena pesada

EVQLLESGGG LVQPGGSLRL SCAASGFTFS DYGMSWVRQA PGKGLEWVSA 50
 IPWSGGSTYY KESVKGRTTI SRDNSKNTLY LQMNLSRAED TAVYYCAKRS 100
 GRIAPGALDA WGGQTLVTVS SASTKGPSVF PLAPSSKSTS GGTAAALGCLV 150
 KDYFPEPVTV SWNSGALTSF VHTFPAVLQS SGLYSLSSVV TVPSSSLGTQ 200
 TYICNVNHPK SNTKVDKKVE PKSCDKTHTC PFCPEAEEAG GPSVFLFPFK 250
 PKDTLMIKRT PEVTCVVDV SHEDPEVKFN WYVDGVEVHN AKTKPREEQY 300
 NSTYRVSVL TVLHQDWLNG KEYKCKVSNK ALPAPIEKTI SKAKGQPREP 350
 QVYTLPPSRD ELTKNQVSLT CLVKGFPYSD IAVEWESNGQ PENNYKTTTP 400
 VLDSGDSGFFL YSKLTVDKSR WQQGNVFSCS VMHEALHNNHY TQKSLSLSPG 450

Light chain / Chaîne légère / Cadena ligera

QTVVTQEPSF SVSPGGTVTL TCGLSSGSVT SSNPYDWWYQQ TPGQAPRTLI 50
 YSTDSRHSGV PDRFSGSILG NKAALITIGA QADDESDDYC GLYSYSGSKN 100
 YVFGGKGLT VLGQPKAAPS VTLFPPSSEE LQANKATLVC LISDFYPGAV 150
 TVAWKADSSP VKAGVETTP SKQSNKYAA SSYLSLTPAQ WKSHRSYSCQ 200
 VTHEGSTVEK TVAPTECS 218

Post-translational modifications

Disulfide bridges location / Position des ponts disulfure / Posiciones de los puentes disulfuro

Intra-H (C23-C104) 22-96 148-204 265-325 371-429
 22"-96" 148"-204" 265"-325" 371"-429"

Intra-L (C23-C104) 22"-90" 140"-199"
 22""-90"" 140""-199""

Inter-H-L (h 5-CL 126) 224-217" 224"-217""

Inter-H-H (h 11, h 14) 230-230" 233-233"

N-terminal glutaminyl cyclization / Cyclisation du glutaminyle N-terminal / Ciclación del glutaminilo N-terminal

Q > pyroglutamyl (pE, 5-oxoprolyl) / pyroglutamyle (pE, 5-oxoprolyle) / piroglutamilo (pE, 5-oxoprolilo)

L VL V-LAMBDA Q1: 1', 1""

N-glycosylation sites / Sites de N-glycosylation / Posiciones de N-glicosilación

H CH2 N84.4: 301, 301"

Fucosylated complex bi-antennary CHO-type glycans / glycanes de type CHO bi-antennaires complexes fucosylés / glicanos de tipo CHO biantennarios complejos fucosilados

agazisiranum

agazisiran

O-[(2*R*,3*S*)-2-(hydroxymethyl)oxolan-3-yl] hydrogen *all-P-ambo*-3'-O-(2-
 {(1-{17-[(2-acetamido-2-deoxy-β-D-galactopyranosyl)oxy]-3,6,9,12,15-
 pentaaxaheptadecan-1-yl)-1*H*-1,2,3-triazol-4-yl)methyl]amino)-2-oxoethyl)-
 2'-O-(2-[bis{(1-{17-[(2-acetamido-2-deoxy-β-D-galactopyranosyl)oxy]-
 3,6,9,12,15-pentaaxaheptadecan-1-yl)-1*H*-1,2,3-triazol-4-yl)methyl]amino)-
 2-oxoethyl)-*P*-thiouridylyl-(5'→5')-2'-O-methyl-*P*-thioguanlylyl-(3'→5')-2'-O-
 methylguanylyl-(3'→5')-2'-O-methyladenylyl-(3'→5')-2'-O-methyladenylyl-
 (3'→5')-2'-O-methylguanylyl-(3'→5')-2'-O-methylguanylyl-(3'→5')-2'-O-
 methyladenylyl-(3'→5')-2'-deoxy-2'-fluorouridylyl-(3'→5')-2'-O-
 methyluridylyl-(3'→5')-2'-deoxy-2'-fluoroadenylyl-(3'→5')-2'-deoxy-2'-
 fluorouridylyl-(3'→5')-2'-deoxy-2'-fluorocytidylyl-(3'→5')-2'-deoxy-2'-
 fluorouridylyl-(3'→5')-2'-O-methylguanylyl-(3'→5')-2'-O-methylguanylyl-
 (3'→5')-2'-O-methyladenylyl-(3'→5')-2'-O-methyluridylyl-(3'→5')-2'-O-
 methylguanylyl-(3'→5')-2'-O-methyluridylyl-(3'→5')-2'-O-methylcytidylyl-
 (3'→5')-2'-O-methyl-*P*-thiouridylyl-(3'→5')-2'-O-methyl-*P*-thio-3'-adenylate
 duplex with *all-P-ambo*-2'-O-methyl-*P*-thiocytidylyl-(5'→3')-2'-O-methyl-*P*-
 thiocytidylyl-(5'→3')-2'-deoxy-2'-fluorouridylyl-(5'→3')-2'-O-methyluridylyl-
 (5'→3')-2'-deoxy-2'-fluorocytidylyl-(5'→3')-2'-O-methylcytidylyl-(5'→3')-2'-
 deoxy-2'-fluorouridylyl-(5'→3')-2'-O-methyladenylyl-(5'→3')-2'-deoxy-2'-
 fluoroadenylyl-(5'→3')-2'-O-methyluridylyl-(5'→3')-2'-deoxy-2'-
 fluoroadenylyl-(5'→3')-2'-O-methylguanylyl-(5'→3')-2'-deoxy-2'-
 fluoroadenylyl-(5'→3')-2'-O-methylcytidylyl-(5'→3')-2'-deoxy-2'-
 fluorocytidylyl-(5'→3')-2'-O-methyluridylyl-(5'→3')-2'-deoxy-2'-
 fluoroadenylyl-(5'→3')-2'-O-methylcytidylyl-(5'→3')-2'-deoxy-2'-
 fluoroadenylyl-(5'→3')-2'-O-methyl-*P*-thioguanlylyl-(5'→3')-2'-deoxy-2'-
 fluoro-*P*-thioadenylyl-(5'→3')-2'-O-methyluridine
complement factor B synthesis reducer

agazisirán

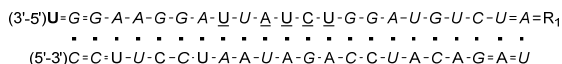
*tout-P-ambo-3'-O-(2-[(1-{17-[(2-acetamido-2-désoxy-β-D-galactopyranosyl)oxy]-3,6,9,12,15-pentaoxaheptadécan-1-yl)-1H-1,2,3-triazol-4-yl)méthyl]amino)-2-oxoéthyl)-2'-O-(2-[bis[(1-{17-[(2-acetamido-2-désoxy-β-D-galactopyranosyl)oxy]-3,6,9,12,15-pentaoxaheptadécan-1-yl)-1H-1,2,3-triazol-4-yl)méthyl]amino]-2-oxoéthyl)-P-thiouridylyl-(5'→5')-2'-O-méthyl-P-thioguanilyl-(3'→5')-2'-O-méthylguanylyl-(3'→5')-2'-O-méthyladénylyl-(3'→5')-2'-O-méthyladénylyl-(3'→5')-2'-O-méthylguanylyl-(3'→5')-2'-O-méthyladénylyl-(3'→5')-2'-O-méthylguanylyl-(3'→5')-2'-O-méthyladénylyl-(3'→5')-2'-O-méthyluridylyl-(3'→5')-2'-O-méthyluridylyl-(3'→5')-2'-désoxy-2'-fluoroadénylyl-(3'→5')-2'-désoxy-2'-fluorouridylyl-(3'→5')-2'-désoxy-2'-fluorocytidylyl-(3'→5')-2'-désoxy-2'-fluorouridylyl-(3'→5')-2'-O-méthylguanylyl-(3'→5')-2'-O-méthylguanylyl-(3'→5')-2'-O-méthyladénylyl-(3'→5')-2'-O-méthyluridylyl-(3'→5')-2'-O-méthylguanylyl-(3'→5')-2'-O-méthyluridylyl-(3'→5')-2'-O-méthylcytidylyl-(3'→5')-2'-O-méthyl-P-thiouridylyl-(3'→5')-hydrogéo-2'-O-méthyl-P-thio-3'-adénylate de O-[(2R,3S)-2-(hydroxyméthyl)oxolan-3-yle] duplex avec *tout-P-ambo-2'-O-méthyl-P-thiocytidylyl-(5'→3')-2'-O-méthyl-P-thiocytidylyl-(5'→3')-2'-désoxy-2'-fluorouridylyl-(5'→3')-2'-O-méthyluridylyl-(5'→3')-2'-désoxy-2'-fluorocytidylyl-(5'→3')-2'-O-méthylcytidylyl-(5'→3')-2'-désoxy-2'-fluorouridylyl-(5'→3')-2'-O-méthyladénylyl-(5'→3')-2'-désoxy-2'-fluoroadénylyl-(5'→3')-2'-O-méthyluridylyl-(5'→3')-2'-O-méthylguanylyl-(5'→3')-2'-désoxy-2'-fluoroadénylyl-(5'→3')-2'-O-méthylcytidylyl-(5'→3')-2'-désoxy-2'-fluorocytidylyl-(5'→3')-2'-O-méthyluridylyl-(5'→3')-2'-désoxy-2'-fluoroadénylyl-(5'→3')-2'-O-méthylcytidylyl-(5'→3')-2'-désoxy-2'-fluoroadénylyl-(5'→3')-2'-O-méthyl-P-thioguanilyl-(5'→3')-2'-désoxy-2'-fluoro-P-thioadénylyl-(5'→3')-2'-O-méthyluridine*
*réducteur de synthèse du facteur B du complément**

agazisirán

*todo-P-ambo-3'-O-(2-[(1-{17-[(2-acetamido-2-desoxi-β-D-galactopiranosil)oxi]-3,6,9,12,15-pentaoxaheptadécan-1-il)-1H-1,2,3-triazol-4-il]metil]amino)-2-oxoetil)-2'-O-(2-[bis[(1-{17-[(2-acetamido-2-desoxi-β-D-galactopiranosil)oxi]-3,6,9,12,15-pentaoxaheptadécan-1-il)-1H-1,2,3-triazol-4-il]metil]amino)-2-oxoetil)-P-tiouridilil-(5'→5')-2'-O-metil-P-tioguanilil-(3'→5')-2'-O-metilguanilil-(3'→5')-2'-O-metiladenilil-(3'→5')-2'-O-metiladenilil-(3'→5')-2'-O-metilguanilil-(3'→5')-2'-O-metilguanilil-(3'→5')-2'-O-metiladenilil-(3'→5')-2'-O-metiluridilil-(3'→5')-2'-desoxi-2'-fluorouridilil-(3'→5')-2'-desoxi-2'-fluorouridilil-(3'→5')-2'-desoxi-2'-fluorocitidilil-(3'→5')-2'-desoxi-2'-fluorouridilil-(3'→5')-2'-O-metilguanilil-(3'→5')-2'-O-metilguanilil-(3'→5')-2'-O-metilguanilil-(3'→5')-2'-O-metiladenilil-(3'→5')-2'-O-metiluridilil-(3'→5')-2'-O-metilguanilil-(3'→5')-2'-O-metiluridilil-(3'→5')-2'-O-metilcitidilil-(3'→5')-2'-O-metil-P-tiouridilil-(3'→5')-hidrógeno-2'-O-metil-P-tio-3'-adenilato de O-[(2R,3S)-2-(hidroximetil)oxolan-3-ilo] duplex con *todo-P-ambo-2'-O-metil-P-tiocitidilil-(5'→3')-2'-O-metil-P-tiocitidilil-(5'→3')-2'-desoxi-2'-fluorouridilil-(5'→3')-2'-O-metiluridilil-(5'→3')-2'-desoxi-2'-fluorocitidilil-(5'→3')-2'-O-metilcitidilil-(5'→3')-2'-desoxi-2'-fluorouridilil-(5'→3')-2'-O-metiladenilil-(5'→3')-2'-desoxi-2'-fluoroadenilil-(5'→3')-2'-O-metiluridilil-(5'→3')-2'-desoxi-2'-fluoroadenilil-(5'→3')-2'-O-metilguanilil-(5'→3')-2'-desoxi-2'-fluoroadenilil-(5'→3')-2'-O-metilcitidilil-(5'→3')-2'-desoxi-2'-fluorocitidilil-(5'→3')-2'-O-metiluridilil-(5'→3')-2'-desoxi-2'-fluoroadenilil-(5'→3')-2'-O-metilcitidilil-(5'→3')-2'-desoxi-2'-fluoroadenilil-(5'→3')-2'-O-metil-P-tioguanilil-(5'→3')-2'-desoxi-2'-fluoro-P-tioadenilil-(5'→3')-2'-O-metiluridina*
*reductor de la síntesis del factor B del complemento**

C₅₃₄H₇₀₆F₁₅N₁₇₉O₃₂₉P₄₄S₈

2985646-78-2



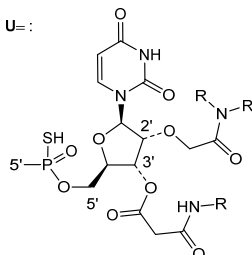
N : A,C,G,U

N : 2'-O-methyl-N / 2'-O-méthyl-N / 2'-O-metil-N

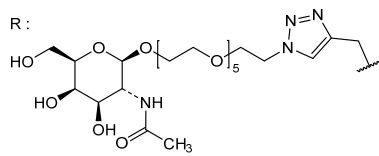
N̄ : 2'-deoxy-2'-fluoro-N / 2'-désoxy-2'-fluoro-N / 2'-desoxi-2'-fluoro-N

- : -PO(OH)- =: -PO(SH)-

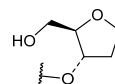
U=:



R :



R1 :

**alixorextonum**

alixorexton

N-[7,10-*cis*-(4*S*,4*aR*)-17-oxo-1,2,3,4,4*a*,5,7,8,9,10,16,17-dodecahydro-7,10-ethanopyrido[1,2-*dj*][1,7,4]benzodioxazacyclotridecin-4-yl]methanesulfonamide
orexin-2 receptor agonist

alixorexton

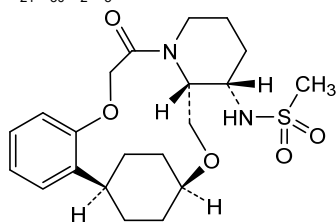
N-[7,10-*cis*-(4*S*,4*aR*)-17-oxo-1,2,3,4,4*a*,5,7,8,9,10,16,17-dodécacahydro-7,10-éthanopyrido[1,2-*dj*][1,7,4]benzodioxazacyclotridécin-4-yl]méthanesulfonamide
agoniste du récepteur de l'orexine 2

alixorextón

N-[7,10-*cis*-(4*S*,4*aR*)-17-oxo-1,2,3,4,4*a*,5,7,8,9,10,16,17-dodecahidro-7,10-etanopirido[1,2-*dj*][1,7,4]benzodioxazacyclotridecin-4-il]metanosulfonamida
agonista del receptor de la orexina 2

C₂₁H₃₀N₂O₅S

2648347-56-0

**alnodesertibum**

alnodesertib

(*S*)-{[2-(2-aminopyridin-4-yl)-6-[(3*R*)-3-methylmorpholin-4-yl]pyrimidin-4-yl]imino}(cyclopropyl)(methyl)-λ⁶-sulfonone
serine/threonine kinase inhibitor, antineoplastic

alnodésertib

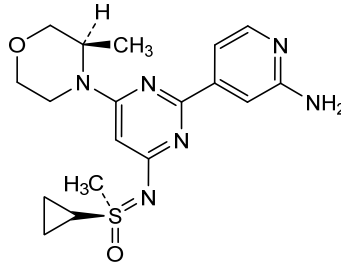
(*S*)-{[2-(2-aminopyridin-4-yl)-6-[(3*R*)-3-méthylmorpholin-4-yl]pyrimidin-4-yl]imino}(cyclopropyl)(méthyl)-λ⁶-sulfonone
inhibiteur de sérine/thréonine kinases, antinéoplasique

alnodesertib

(S)-((2-(2-aminopiridin-4-il)-6-[(3R)-3-metilmorfolin-4-il]pirimidin-4-il)imino)(ciclopropil)(metil)-λ²-sulfanona
inhibidor de la serina/treonina kinasa, antineoplásico

C₁₈H₂₄N₆O₂S

2267316-76-5



amdokitugum #
 amdokitug

immunoglobulin G1-kappa, anti-[*Homo sapiens* IL17A (Interleukin 17A, IL-17)], monoclonal antibody;
 H-gamma1 heavy chain (1-445) [VH (*Homo sapiens* IGHV3-23*04 (89.8%) -(IGHD) -IGHJ5*01 (100%), CDR-IMGT [8.7.9] (26-33.51-57.96-104)) (1-115) -*Homo sapiens* IGHG1*03v (100%) G1m3>G1m17, nG1m1 CH1 K120, CH3 E12, M14 (CH1 R120>K(212) (116-213), hinge 1-15 (214-228), CH2 (229-338), CH3 E12 (354), M14 (356) (339-443), CHS (444-445)) (116-445)], (218-214')-disulfide with L-kappa light chain (1'-214') [V-KAPPA Musmus/Homsap (*Mus musculus* IGKV13-85*01 (87.4%) -IGKJ4*01 (100%)/*Homo sapiens* IGKV1-NL1*01 (87.4%) -IGKJ2*02 (90.9%) Q120>S (100'), CDR-IMGT [6.3.9] (27'-32'.50'-52'.89'-97')) (1'-107') -*Homo sapiens* IGKC*01 (100%) Km3 A45.1, V101 (C-KAPPA A45.1 (153'), V101 (191')) (108'-214')]; dimer (224-224": 227-227")-bisdisulfide, produced in Chinese hamster ovary (CHO) cells, derived from the cell line CHO-K1, lacking the glutamine synthetase (GS-KO) gene, glycoform alfa
immunosuppressant, anti-inflammatory

amdokitug

immunoglobuline G1-kappa, anti-[*Homo sapiens* IL17A (interleukine 17A, IL-17)], anticorps monoclonal;
 chaîne lourde H-gamma1 (1-445) [VH (*Homo sapiens* IGHV3-23*04 (89.8%) -(IGHD) -IGHJ5*01 (100%), CDR-IMGT [8.7.9] (26-33.51-57.96-104)) (1-115) -*Homo sapiens* IGHG1*03v (100%) G1m3>G1m17, nG1m1 CH1 K120, CH3 E12, M14 (CH1 R120>K(212) (116-213), charnière 1-15 (214-228), CH2 (229-338), CH3 E12 (354), M14 (356) (339-443), CHS (444-445)) (116-445)], (218-214')-disulfure avec la chaîne légère L-kappa (1'-214') [V-KAPPA Musmus/Homsap (*Mus musculus* IGKV13-85*01 (87.4%) -IGKJ4*01 (100%)/*Homo sapiens* IGKV1-NL1*01 (87.4%) -IGKJ2*02 (90.9%) Q120>S (100'), CDR-IMGT [6.3.9] (27'-32'.50'-52'.89'-97')) (1'-107') -*Homo sapiens* IGKC*01 (100%) Km3 A45.1, V101 (C-KAPPA A45.1 (153'), V101 (191')) (108'-214')]; dimère (224-224": 227-227")-bisdisulfure, produit dans des cellules ovariennes de hamster chinois (CHO), dérivant de la lignée cellulaire CHO-K1, ne présentant pas le gène de la glutamine synthétase (GS-KO), glycoforme alfa
immunosuppresseur, anti-inflammatoire

amdokitug

inmunoglobulina G1-kappa, anti-[*Homo sapiens* IL17A (interleukina 17A, IL-17)], anticuerpo monoclonal; cadena pesada H-gamma1 (1-445) [VH (*Homo sapiens* IGHV3-23*04 (89.8%) -(IGHD) -IGHJ5*01 (100%), CDR-IMGT [8.7.9] (26-33.51-57.96-104)) (1-115) -*Homo sapiens* IGHG1*03v (100%) G1m3>G1m17, nG1m1 CH1 K120, CH3 E12, M14 (CH1 R120>K (212) (116-213), bisagra 1-15 (214-228), CH2 (229-338), CH3 E12 (354), M14 (356) (339-443), CHS (444-445)) (116-445)], (218-214')-disulfuro con la cadena ligera L-kappa (1'-214') [V-KAPPA Musmus/Homsap (*Mus musculus* IGKV13-85*01 (87.4%) -IGKJ4*01 (100%)/*Homo sapiens* IGKV1-NL1*01 (87.4%) -IGKJ2*02 (90.9%) Q120>S (100'), CDR-IMGT [6.3.9] (27'-32'.50'-52'.89'-97'') (1'-107'') -*Homo sapiens* IGKC*01 (100%) Km3 A45.1, V101 (C-KAPPA A45.1 (153'), V101 (191'')) (108'-214'')]; dímero (224-224'': 227-227'')-bisdisulfuro, producido en las células ováricas de hámster chino (CHO), línea celular derivada de CHO-K1, en ausencia del gen glutamina sintetasa (GS-KO), forma glicosilada alfa
inmunosupresor, antiinflamatorio

3012586-05-6

Heavy chain / Chaîne lourde / Cadena pesada

```
EVQLVESGGG LVQPGGSLRL SCAASGFTFS SFDMSWGRQA PGKRLWEVAF 50
MSSGGSTYYP DSVKGRFTIS RDNSKNTLYL QMNSLRAEDT AVYVCARGER 100
YGSYWGQGT L VTVSSASTKG PSVFP LAPSS KSTSGGTAAL GCLVKDYFPE 150
PVTVSWNSGA LTSGVHTFPA VLQSSGLYSL SSVVTVPPSS LGTQTYICNV 200
NHKPSNTKVD KKVPEKSCDK THTCP PCPAP ELLGGPSVFL FPPKPKDTLM 250
ISRTPEVTCV VVDVSHEDPE VKFNWYVDGV EVHNAKTKPR EEQYNSTYRV 300
VSVLTVLHQD WLNKKEYKCK VSNKALPAPI EKTISKAKGQ PREPQVYTLF 350
PSREEMTKNQ VSLTCLVKGF YPSDIAVEWE SNGQPENNYK TTPPVLDSDG 400
SFFLYSKLTV DKSRWQQGNV FSCSVMEAL HNHYTQKSL S LSPGK 445
```

Light chain / Chaîne légère / Cadena ligera

```
DIQMTQSPSS LSASVGRVIT ITCKASDHIN NWLAWYQQKPK GKAPKLLISG 50
ATSLTGVPS RFGSGSGSTD YLTISSLPQ EDFATYYCQQ YWSTPPTFGS 100
GTKLEIKRIV AAPSVFIFPP SDEQLKSGTA SVVCLLNIFY PREAKVQWVKV 150
DNALQSGNSQ ESVTEQDSKD STYLSLSTLT LSKADYEKHK VYACEVTHQG 200
LSSPVTKSFN RGEC 214
```

Post-translational modifications

Disulfide bridges location / Position des ponts disulfure / Posiciones de los puentes disulfuro

Intra-H (C23-C104) 22-95 142-198 259-319 365-423
22"-95" 142"-198" 259"-319" 365"-423"

Intra-L (C23-C104) 23'-88' 134'-194'
23"'-88"" 134"'-194""

Inter-H-L (h 5-CL 126) 218-214' 218"-214""

Inter-H-H (h 11, h 14) 224-224" 227-227"

N-glycosylation sites / Sites de N-glycosylation / Posiciones de N-glicosilación
H CH2 N84.4: 295, 295"

Fucosylated complex bi-antennary CHO-type glycans / glycanes de type CHO bi-antennaires complexes fucosylés / glicanos de tipo CHO biantenarios complejos fucosilados.

C-terminal lysine clipping / Coupure de la lysine C-terminale / Recorte de lisina C-terminal
H CHS K2: 445, 445"

amezalpatum

amezalpat

[8⁴-*tert*-butyl-1⁴-ethoxy-6⁴-ethyl-6⁵-oxo-6⁴,6⁵-dihydro-6(3,1)-[1,2,4]triazola-1,8(1),2(1,3)-tribenzenaoctaphan-1³-yl]acetic acid
peroxisome proliferator-activated receptor alpha (PPARα) antagonist, antineoplastic

améalpat

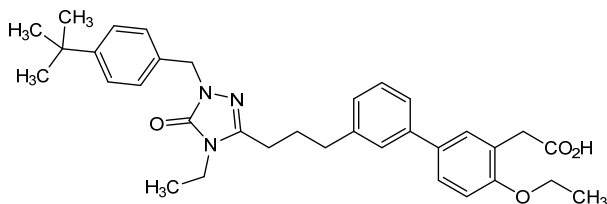
acide [8⁴-*tert*-butyl-1⁴-éthoxy-6⁴-éthyl-6⁵-oxo-6⁴,6⁵-dihydro-6(3,1)-[1,2,4]triazola-1,8(1),2(1,3)-tribenzénaoctaphan-1³-yl]acétique
antagoniste du récepteur alpha activé par les proliférateurs de peroxysomes (PPARα), antinéoplasique

amezapat

ácido [8⁴-*terc*-butil-6⁴-etil-1⁴-etoxi-6⁵-oxo-6⁴,6⁵-dihidro-6(3,1)-[1,2,4]triazola-1,8(1),2(1,3)-tribencenaoctafan-1³-il]acético
antagonista del receptor alfa activado por factores de proliferación de peroxisomas (PPARα), antineoplásico

C₃₄H₄₁N₃O₄

1616372-41-8



amrecibartum #
 amrecibart

immunoglobulin G4-kappa, anti-[*Homo sapiens* F11 (coagulation factor 11, coagulation factor XI, FXI, plasma thromboplastin antecedent, PTA)], *Homo sapiens* monoclonal antibody;

H-gamma4 heavy chain *Homo sapiens* (1-450) [VH (*Homo sapiens* IGHV3-23*03 (91.8%) -(IGHD) -IGHJ3*02 (100%), CDR-IMGT [8.8.16] (26-33.51-58.97-112)) (1-123) -*Homo sapiens* IGHG4*01, *nG4m(a)* CH2 L92, 12-G4v5 h P10(CH1 (124-221), hinge 1-12 S10>P (231) (222-233), CH2 L92 (312) (234-343), CH3 (344-448), CHS (449-450)) (124-450)], (137-215')-disulfide with L-kappa light chain *Homo sapiens* (1'-215') [V-KAPPA (*Homo sapiens* IGKV1-39*01 (100%) -IGKJ5*01 (100%), CDR-IMGT [6.3.10] (27'-32'.50'-52'.89'-98')) (1'-108') -*Homo sapiens* IGKC*01 (100%) Km3 A45.1, V101 (C-KAPPA A45.1 (154'), V101 (192')) (109'-215')]; dimer (229-229'::232-232'')-bisdisulfide, produced in Chinese hamster ovary (CHO) cells, cell line CHO-K1, glycoform alfa
anticoagulant

amrécibart

immunoglobuline G4-kappa, anti-[*Homo sapiens* F11 (facteur de coagulation 11, facteur de coagulation XI, FXI, antécédent de la thromboplastine plasmatique, PTA)], anticorps monoclonal *Homo sapiens*;

chaîne lourde H-gamma4 *Homo sapiens* (1-450) [VH (*Homo sapiens* IGHV3-23*03 (91.8%) -(IGHD) -IGHJ3*02 (100%), CDR-IMGT [8.8.16] (26-33.51-58.97-112)) (1-123) -*Homo sapiens* IGHG4*01, *nG4m(a)* CH2 L92, 12-G4v5 h P10(CH1 (124-221), charnière 1-12 S10>P (231) (222-233), CH2 L92 (312) (234-343), CH3 (344-448), CHS (449-450)) (124-450)], (137-215')-disulfure avec la chaîne légère L-kappa *Homo sapiens* (1'-215') [V-KAPPA (*Homo sapiens* IGKV1-39*01 (100%) -IGKJ5*01 (100%), CDR-IMGT [6.3.10] (27'-32'.50'-52'.89'-98')) (1'-108') -*Homo sapiens* IGKC*01 (100%) Km3 A45.1, V101 (C-KAPPA A45.1 (154'), V101 (192')) (109'-215')]; dimère (229-229'::232-232'')-bisdisulfure, produit dans des cellules ovariennes de hamster chinois (CHO), lignée cellulaire CHO-K1, glycoforme alfa
anticoagulant

amrecibart

inmunoglobulina G4-kappa, anti-[*Homo sapiens* F11 (factor de coagulación 11, factor de coagulación XI, FXI, antecedente de la tromboplastina plasmática PTA)], anticuerpo monoclonal *Homo sapiens*;
 cadena pesada H-gamma4 *Homo sapiens* (1-450) [VH (*Homo sapiens* IGHV3-23*03 (91.8%) -(IGHD) -IGHJ3*02 (100%), CDR-IMGT [8.8.16] (26-33.51-58.97-112)) (1-123) -*Homo sapiens* IGHG4*01, nG4m(a) CH2 L92, 12-G4v5 h P10(CH1 (124-221), bisagra 1-12 S10>P (231) (222-233), CH2 L92 (312) (234-343), CH3 (344-448), CHS (449-450)) (124-450)], (137-215')-disulfuro con la cadena ligera L-kappa *Homo sapiens* (1'-215') [V-KAPPA (*Homo sapiens* IGKV1-39*01 (100%) -IGKJ5*01 (100%), CDR-IMGT [6.3.10] (27'-32'.50'-52'.89'-98')) (1'-108') -*Homo sapiens* IGKC*01 (100%) Km3 A45.1, V101 (C-KAPPA A45.1 (154'), V101 (192')) (109'-215')]; dímero (229-229":232-232")-bisdisulfuro, producido en las células ováricas de hámster chino (CHO), línea celular CHO-K1, forma glicosilada alfa
anticoagulante

3008610-20-3

Heavy chain / Chaîne lourde / Cadena pesada

```
EVQLVESGGG LVQPGGSLRL SCAASGFTFS NYAMNWVRQA PGKGLDWVSF 50
IRSGGDITTY ADSVKGRFTI SRDNSKNTLY LQMNSLRAED TAVYYCAKVH 100
PYTWDYGDFA DIWQGQTMVT VSSASTKGPS VFPLAPCSRS TSESTAALGC 150
LVKDYFPEFV TVSNWNSGALT SGVHTFFAVL QSSGLYSLSS VVTVPSSSLG 200
TKTYTCNVDH KPSNTKVDKR VESKYGPPCP PCPAPEFLGG PSVFLFPPKP 250
KDTLMISRTP EVTCVVDVDS QEDPEVQFNW YVDGVEVHNA KTKPREEQFN 300
STYRVVSVLT VLHQDWLNGK EYKCKVSNKG LPSSIEKTIS KAKGQPREPQ 350
VYTLPPSQEE MTKNQVSLTC LVKGFYPSDI AVEWESNGQP ENNYKTTTPV 400
LDSGGSFFLY SRLTVDKSRW QEGNVFSCSV MHEALHNNHYT QKLSLSLSLGK 450
```

Light chain / Chaîne légère / Cadena ligera

```
DIQMTQSPSS LSASVGRVIT ITCRASQSI SYLNWYQQKPK GKAPKLLIYA 50
ASSLQSGVPS RFSGSGSGTD FTLTISSLQP EDFATYYCQQ SYSTPPITFG 100
QGTRLLEIKRT VAAPSVFIFP PSDEQLKSGT ASVVCLLNMF YPREAKVQWK 150
VDNALQSGNS QESVTEQDSK DSTYLSSTL TSKADYEKH KVYACEVTHQ 200
GLSSPVTKSF NRGEC 215
```

Post-translational modifications

Disulfide bridges location / Position des ponts disulfure / Posiciones de los puentes disulfuro

Intra-H (C23-C104) 22-96 150-206 264-324 370-428
 22"-96" 150"-206" 264"-324" 370"-428"
 Intra-L (C23-C104) 23"-88" 135"-195"
 23"-88" 135"-195"
 Inter-H-L (CH1 10-CL 126) 137-215' 137"-215"
 Inter-H-H (h 8, h 11) 229-229" 232-232"

N-glycosylation sites / Sites de N-glycosylation / Posiciones de N-glicosilación
 H CH2 N84.4: 300, 300"

Fucosylated complex bi-antennary CHO-type glycans / glycanes de type CHO bi-antennaires complexes fucosylés / glicanos de tipo CHO biantenaricos complejos fucosilados

C-terminal lysine clipping / Coupeure de la lysine C-terminale / Recorte de lisina C-terminal
 H CHS K2: 450, 450"

amsulostatatum

amsulostat

(2Z)-3-fluoro-4-(quinolin-8-ylsulfonyl)but-2-en-1-amine
protein-lysine-oxidase (LOX) inhibitor, antifibrotic

amsulostat

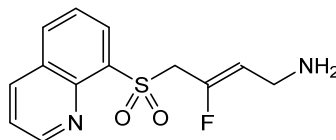
(2Z)-3-fluoro-4-(quinolin-8-ylsulfonyl)but-2-én-1-amine
inhibiteur de la protéine-lysine-oxydase (LOX), antifibrotique

amsulostat

(2Z)-3-fluoro-4-(quinolin-8-ilsulfonyl)but-2-en-1-amina
inhibidor de la proteína lisil oxidasa (LOX), antifibrótico



2409963-83-1

**anbenitamabum repodatecanum #**

anbenitamab repodatecan

immunoglobulin G1-kappa, anti-[*Homo sapiens* ERBB2 (epidermal growth factor receptor 2, receptor tyrosine protein kinase erbB-2, EGFR2, HER2, HER-2, p185c-erbB2, NEU, CD340)] humanized monoclonal antibody, bispecific biparatopic, tetravalent, conjugated at O-4 of the four terminal GlcNAc groups of the two branched glycans to a *repodatecan* group, consisting of a cleavable linker and a camptothecin derivative;

H-gamma1 heavy chain anti-ERBB2 domain II humanized (1-449) [VH (*Homo sapiens* IGHV3-66*01 (78.8%) -(IGHD) -IGHJ4*01 (100%), CDR-IMGT [8.8.12] (26-33.51-58.97-108)) (1-119) -*Homo sapiens* IGHG1*01, G1m17,1 CH1 K120, CH3 D12, L14, 14-G1v32 CH3 W22 (knob), 18-G1v82-4 CH3 A88(CH1 K120 (216) (120-217), hinge 1-15 (218-232), CH2 (233-342), CH3 D12 (358), L14 (360), T22>W (368), K88>A (411) (343-447), CHS (448-449)) (120-449)], (222-214')-disulfide with L-kappa light chain anti-ERBB2 humanized (1'-214') [V-KAPPA (*Homo sapiens* IGKV1-39*01 (86.3%) -IGKJ1*01 (100%), CDR-IMGT [6.3.9] (27'-32'.50'-52'.89'-97'') (1'-107'') - *Homo sapiens* IGKC*01 (100%) Km3 A45.1, V101 (C-KAPPA A45.1 (153'), V101 (191'')) (108"-214'')]; H-gamma1 heavy chain anti-ERBB2 domain IV humanized (1"-450'') [VH (*Homo sapiens* IGHV3-66*01 (81.6%) -(IGHD) -IGHJ4*01 (100%), CDR-IMGT [8.8.13] (26"-33".51"-58".97"-109'') (1"-120'') -*Homo sapiens* IGHG1*01, G1m17,1 CH1 K120, CH3 D12, L14, 14-G1v33 CH3 S22, A24, V86(hole), 18-G1v82-3 CH3 K85.1 (CH1 K120 (217'') (121"-218''), hinge 1-15 (219"-233''), CH2 (234"-343''), CH3 D12 (359), L14 (361) T22>S (369''), L24>A (371''), F85.1>K (408''), Y86>V (410'') (344"-448''), CHS (449"-450'') (121"-450'')], (223"-214'')-disulfide with L-kappa light chain anti-ERBB2 humanized (1'''-214''') [V-KAPPA (*Homo sapiens* IGKV1-39*01 (86.3%) -IGKJ1*01 (100%), CDR-IMGT [6.3.9] (27'''-32''' .50''' -52''' .89''' -97''') (1''' -107''') - *Homo sapiens* IGKC*01 (100%) Km3 A45.1, V101 (C-KAPPA A45.1 (153'''), V101 (191''')) (108'''-214'''); dimer (228-229":231-232'')-bisdisulfide, produced in Chinese hamster ovary (CHO) cells, glycoform alfa, substituted at O-4 of the four distal 2-acetamido-2-deoxy-β-D-glucopyranosyl groups of the two glycans at N-4 of the asparaginyl residues 299 and 300" with 2-(2-{8-[(10S)-10-benzyl-1-[[[(1S,9S)-9-ethyl-5-fluoro-9-hydroxy-4-methyl-10,13-dioxo-2,3,9,10,13,15-hexahydro-1*H*,12*H*-benzo[*de*]pyrano[3',4':6,7]indolizino[1,2-*b*]quinolin-1-yl]amino]-1,6,9,12,15,18,34-heptaoxo-3,21,24,27,30-pentaoxa-5,8,11,14,17,33-hexaazaheptatriacontan-37-oyl]-8,9-dihydro-1(or 3)*H*-dibenzo[*b,f*][1,2,3]triazolo[4,5-*d*]azocin-1(or 3)-yl]acetamido)-2-deoxy-β-D-galactopyranosyl (*repodatecan*) groups (introduced by enzymatic glycosylation with 2-(2-azidoacetamido)-2-deoxy-D-galactopyranose and subsequent reaction of the azido groups with the specific click reagent), resulting in a drug/antibody ratio of ~3.8 on average

antineoplastic

anbénitamab répodatécan

immunoglobuline G1-kappa, anti-[*Homo sapiens* ERBB2 (récepteur 2 du facteur de croissance épidermique, récepteur tyrosine-protéine kinase erbB2, EGFR2, HER2, HER-2, p185c-erbB2, NEU, CD340)], anticorps monoclonal humanisé, bispécifique biparatopique, tétravalent, conjugué en O-4 des quatre groupes terminaux GlcNAc des deux glycanes ramifiés à un groupe *répodatécan*, constitué d'un lieu clivable et d'un dérivé de camptothécine;

chaîne lourde H-gamma1 anti-ERBB2 domaine II humanisée (1-449) [VH (*Homo sapiens* IGHV3-66*01 (78.8%) -(IGHD) -IGHJ4*01 (100%), CDR-IMGT [8.8.12] (26-33.51-58.97-108)) (1-119) -*Homo sapiens* IGHG1*01, G1m17,1 CH1 K120, CH3 D12, L14, 14-G1v32 CH3 W22 (knob), 18-G1v82-4 CH3 A88 (CH1 K120 (216) (120-217), charnière 1-15 (218-232), CH2 (233-342), CH3 D12 (358), L14 (360), T22>W (368), K88>A (411) (343-447), CHS (448-449)) (120-449)], (222-214')-disulfure avec la chaîne légère L-kappa anti-ERBB2 humanisée (1'-214') [V-KAPPA (*Homo sapiens* IGKV1-39*01 (86.3%) -IGKJ1*01 (100%), CDR-IMGT [6.3.9] (27'-32'.50'-52'.89'-97')) (1'-107') - *Homo sapiens* IGKC*01 (100%) Km3 A45.1, V101 (C-KAPPA A45.1 (153'), V101 (191')) (108'-214')];

chaîne lourde H-gamma1 anti-ERBB2 domaine IV humanisée (1"-450") [VH (*Homo sapiens* IGHV3-66*01 (81.6%) -(IGHD) -IGHJ4*01 (100%), CDR-IMGT [8.8.13] (26"-33".51"-58".97"-109")) (1"-120") -*Homo sapiens* IGHG1*01, G1m17,1 CH1 K120, CH3 D12, L14, 14-G1v33 CH3 S22, A24, V86 (hole), 18-G1v82-3 CH3 K85.1 (CH1 K120 (217'') (121"-218''), charnière 1-15 (219"-233''), CH2 (234"-343''), CH3 D12 (359), L14 (361) T22>S (369''), L24>A (371''), F85.1>K (408''), Y86>V (410'') (344"-448''), CHS (449"-450'') (121"-450'')], (223"-214'')-disulfure avec la chaîne légère L-kappa anti-ERBB2 humanisée (1'''-214''') [V-KAPPA (*Homo sapiens* IGKV1-39*01 (86.3%) -IGKJ1*01 (100%), CDR-IMGT [6.3.9] (27'''-32''' .50'''-52''' .89'''-97''')) (1'''-107''') - *Homo sapiens* IGKC*01 (100%) Km3 A45.1, V101 (C-KAPPA A45.1 (153'''), V101 (191''')) (108'''-214''')]; dimère (228-229":231-232")-bisdisulfure, produit dans des cellules ovariennes de hamster chinois (CHO), glycoforme alfa, substitué en O-4 des quatre groupes distaux 2-acétamido-2-désoxy-β-D-glucopyranosyle des deux glycanes en N-4 des résidus asparaginyne 299 et 300" par des groupes 2-(2-{8-[(10S)-10-benzyl-1-[[[(1S,9S)-9-éthyl-5-fluoro-9-hydroxy-4-méthyl-10,13-dioxo-2,3,9,10,13,15-hexahydro-1*H*,12*H*-benzo[*d*]pyrano[3',4':6,7]indolizino[1,2-*b*]quinoléin-1-yl]amino}-1,6,9,12,15,18,34-heptaoxo-3,21,24,27,30-pentaoxa-5,8,11,14,17,33-hexaazaheptatriacontan-37-oyl]-8,9-dihydro-1(*ou* 3)*H*-dibenzo[*b*,*f*][1,2,3]triazolo[4,5-*d*]azocin-1(*ou* 3)-yl}acétamido)-2-désoxy-β-D-galactopyranosyle (*répodatécan*) (introduits par glycosylation enzymatique avec le 2-(2-azidoacétamido)-2-désoxy-D-galactopyranose et réaction ultérieure des groupes azido avec le réactif click spécifique), ce qui donne un rapport médicament/anticorps d'environ 3,8 en moyenne

antinéoplasique

anbenitamab repodatecán

inmunoglobulina G1-kappa, anti-[*Homo sapiens* ERBB2 (receptor 2 del factor de crecimiento epidérmico, receptor tirosina-proteína kinasa erbB2, EGFR2, HER2, HER-2, p185c-erbB2, NEU, CD340)], anticuerpo monoclonal humanizado, biparatópico biespecífico, tetravalente, conjugado en O-4 de los cuatro grupos GlcNAc terminales de los dos glicanos ramificados con un grupo *repodatecán*, que consta de un conector escindible y un derivado de camptotecina;

cadena pesada H-gamma1 anti-ERBB2 dominio II humanizada (1-449) [VH (*Homo sapiens* IGHV3-66*01 (78.8%) -(IGHD) -IGHJ4*01 (100%), CDR-IMGT [8.8.12] (26-33.51-58.97-108) (1-119) -*Homo sapiens* IGHG1*01, G1m7,1, CH1 K120, CH3 D12, L14, 14-G1v32 CH3 W22 (knob), 18-G1v82-4 CH3 A88 (CH1 K120 (216) (120-217), bisagra 1-15 (218-232), CH2 (233-342), CH3 D12 (358), L14 (360), T22>W (368), K88>A (411) (343-447), CHS (448-449)) (120-449)], (222-214')-disulfuro con la cadena

ligera L-kappa anti-ERBB2 humanizada (1'-214') [V-KAPPA (*Homo sapiens* IGKV1-39*01 (86.3%) -IGKJ1*01 (100%)) CDR-IMGT [6.3.9] (27'-32'.50'-52'.89'-97'')] (1'-107') -*Homo sapiens* IGKC*01 (100%), Km3 A45.1, V101 (C-KAPPA A45.1 (153'), V101 (191')) (108'-214');

cadena pesada H-gamma1 anti-ERBB2 dominio IV humanizada (1"-450") [VH (*Homo sapiens* IGHV3-66*01 (81.6%) -(IGHD) -IGHJ4*01 (100%), CDR-IMGT [8.8.13] (26"-33".51"-58".97"-109") (1"-120") -*Homo sapiens* IGHG1*01, G1m7,1, CH1 K120, CH3 D12, L14, 14-G1v33 CH3 S22, A24, V86 (hole), 18-G1v82-3 CH3 K85.1 (CH1 K120 (217") (121"-218"), bisagra 1-15 (219"-233"), CH2 (234"-343"), CH3 D12 (359), L14 (361) T22>S (369"), L24>A (371"), F85.1>K (408"), Y86>V (410") (344"-448"), CHS (449"-450")) (121"-450")], (223"-214''')-disulfuro con la

cadena ligera L-kappa anti-ERBB2 humanizada (1'''-214''') [V-KAPPA (*Homo sapiens* IGKV1-39*01 (86.3%) -IGKJ1*01 (100%)) CDR-IMGT [6.3.9] (27'''-32'''-50'''-52'''-89'''-97''') (1'''-107''') -*Homo sapiens* IGKC*01 (100%), Km3 A45.1, V101 (C-KAPPA A45.1 (153'''), V101 (191''') (108'''-214'''))]; dímero (228-229":231-232")-bisdisulfuro, producido en las células ováricas de hámster chino (CHO), forma glicosilada alfa, sustituido en O-4 de los cuatro grupos distales 2-acetamido-2-desoxi-β-D-glucopiranosilo de los dos glicanos en N-4 de los residuos de asparaginilo 299 y 300" con grupos 2-(2-{8-[[10S]-10-bencil-1-[[1S,9S]-9-etil-5-fluoro-9-hidroxi-4-metil-10,13-dioxo-2,3,9,10,13,15-hexahidro-1H,12H-benzo[de]pirano[3',4':6,7]indolizino[1,2-b]quinolein-1-il]amino}-1,6,9,12,15,18,34-heptaoxo-3,21,24,27,30-pentaoxa-5,8,11,14,17,33-hexaazaheptatriacontan-37-oil]-8,9-dihidro-1(o 3)H-dibenzo[b,f][1,2,3]triazolo[4,5-d]azocin-1(o 3)-il]acetamido)-2-desoxi-β-D-galactopiranosilo (*repodatecán*) (introducidos por glicosilación enzimática con 2-(2-azidoacetamido)-2-desoxi-D-galactopiranosina y posterior reacción de los grupos azido con el reactivo clic específico), lo que da como resultado una relación fármaco/anticuerpo de ~3,8 en promedio

antineoplásico

2923420-38-4

Heavy chain / Chaîne lourde / Cadena pesada : H-gamma anti-ERBB2 domain II (knob) (H)

EVQLVESGGG LVQPGGSLRL SCAASGFTFT DYTMDWVRQA PGKGLEWVAD 50
 VNPNSGGSIY NQRFKGRFTL SVDRSKNTLY LQMNSLRAED TAVYYCARNL 100
 GPSFYFDYWG QGTLVTVSSA STKGPSVFPF APSKSTSGG TAALGCLVKD 150
 YFPEPVTVSW NSGALTSGVH TFPVQLQSSG LYSLSSTVTV PSSSLGTQTY 200
 ICNVNHKPSN TKVDKKEVEK SCDKTHTCPP CPAPELLGGP SVFLFPPPKP 250
 DTLMISRTPV VTCVVVDVSH EDPEVKFNWY VDGVEVHNAK TKPREEQYNS 300
 TYRIVSVLTV LHQDWLNGKE YKCVSNKAL PAPIEKTISK AKGQPREPQV 350
 YTLPPSRDEL TKNQVSLWCL VKGFYPSDIA VEWESNGQPE NNYKTTTPVL 400
 DSDGSEFFLYS ALTVDKSRWQ QGNVFSQSVM HEALHNHYTQ KSLSLSPGK 449

Heavy chain / Chaîne lourde / Cadena pesada : H-gamma anti-ERBB2 domain IV (hole) (H')

EVQLVESGGG LVQPGGSLRL SCAASGFNIK DTYIHWVRQA PGKGLEWVAR 50
 IYPTNGYTRY ADSVKGRTYI SADTSKNTAY LQMNSLRAED TAVYYCSRWG 100
 GDGFYAMDYW GQGTLVTVSS ASTKGPSVFP LAPSKSTSG GTAALGCLVK 150
 DYFPEPVTVS WNSGALTSGV HTFPVQLQSS GLYSLSSTVTV VPSSSLGTQT 200
 YICNVNHKPS NTKVDKKEVEP KSCDKTHTCP PCPAPELLGG PSVFLFPPKP 250
 KDTLMISRTP EVTCVVVDVS HEDPEVKFNW YVDGVEVHNA KTKPREEQYN 300
 STYRIVSVLT VLHQDWLNGK EYKCKVSNKA LPAPIEKTIS KAKGQPREPQ 350
 YTLPPSRDE LTKNQVSLSC AVKGFYPSDI AVEWESNGQP ENNYKTTTPV 400
 LSDSGSEFKLV SKLTVDKSRW QGNVFSQSV MHEALHNHYT QKSLSLSPGK 450

Light chain / Chaîne légère / Cadena ligera : L-kappa anti-ERBB2 (L', L'')

DIQMTPQSPSS LSASVGDRTV ITCRASQDVN TAVANYQQK GKAPKLLIYS 50
 ASFLYSGVPS RFGSGRSGTD FTLTISSLQP EDFATYYCQQ HYTTPPTFGQ 100
 GTKVEIKRTR AAPSVEIFPP SDEQLKSGTA SVVCLLNLFY PREAKVQWKV 150
 DNALQSGNSQ ESVTEQDSKD STYLSLSTLT LSKADYEKHK VYACEVTHQG 200
 LSSPVTKSFN RGEC 214

Post-translational modifications

Disulfide bridges location / Position des ponts disulfure / Posiciones de los puentes disulfuro

Intra-H (C23-C104) 22°-96° 147°-203° 264°-324° 370°-428°
 22°-96° 147°-203° 264°-324° 370°-428°

Intra-L (C23-C104) 23°-88° 134°-194°
 23°-88° 134°-194°

Inter-H-L (h 5-CL 126) 222-214° 223°-214°

Inter-H-H (h 11, h 14) 228-229° 231-232°

N-glycosylation sites / Sites de N-glycosylation / Posiciones de N-glicosilación

H CH2 N84.4: 299, 300°

Fucosylated complex bi-antennary CHO-type glycans / Glycanes de type CHO bi-antennaires

complexes fucosylés / Glicanes de tipo CHO biantennarios complejos fucosilados

C-terminal lysine clipping / Coupeure de la lysine C-terminale / Recorte de lisina C-terminal

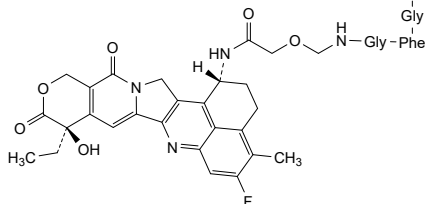
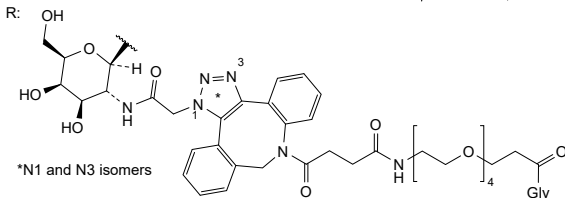
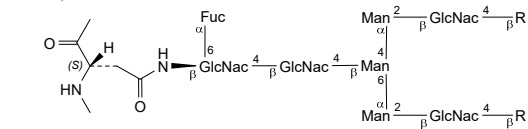
H CHS K2: 449, 450°

Modified distal βdGlcNAc groups / Groupes βdGlcNAc distaux modifiés /

Grupos βdGlcNAc distales modificados

*(*repedatecan:mAb* ~ 3.8:1)

Asn299, Asn300°:



andamertinibum

andamertinib

N-(4-methoxy-2-[4-(3-methoxyazetidín-1-yl)piperidín-1-yl]-5-[[6-(1-méthyl-1*H*-indazol-5-yl)pyrimidin-4-yl]amino]phényl)prop-2-énamide
epidermal growth factor receptor tyrosine kinase inhibitor,
antineoplastique

andamertinib

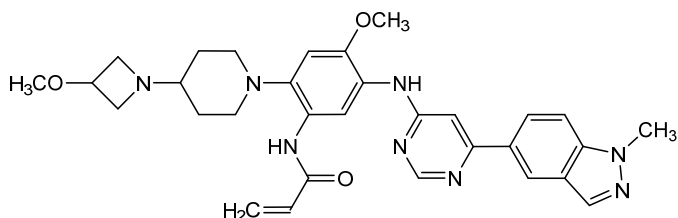
N-(4-méthoxy-2-[4-(3-méthoxyazétidín-1-yl)pépéridín-1-yl]-5-[[6-(1-méthyl-1*H*-indazol-5-yl)pyrimidin-4-yl]amino]phényl)prop-2-énamide
inhibiteur de la tyrosine kinase du récepteur du facteur de croissance épidermique, antinéoplasique

andamertinib

N-(5-[[6-(1-metil-1*H*-indazol-5-il)pirimidín-4-il]amino]-4-metoxi-2-[4-(3-metoxiazetidín-1-il)piperidín-1-il]fenil)prop-2-enamida
inhibidor de la tirosina kinasa del receptor del factor de crecimiento epidérmico, antineoplásico

C₃₁H₃₆N₈O₃

2254145-43-0

**anvumetostatam**

anvumetostat

(4-amino-1,3-dihydrofuro[3,4-*c*][1,7]naphthyridín-8-yl){(3*S*)-3-[4-(trifluorometil)phényl]morfolin-4-yl}metanone
antineoplastique

anvumétostat

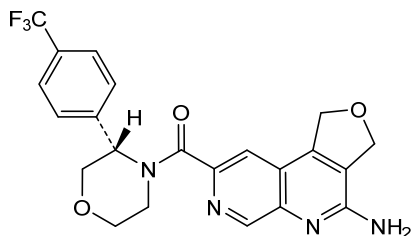
(4-amino-1,3-dihydrofuro[3,4-*c*][1,7]naphthyridín-8-yl){(3*S*)-3-[4-(trifluorométyl)phényl]morfolin-4-yl}méthanone
antineoplasique

anvumetostat

(4-amino-1,3-dihydrofuro[3,4-*c*][1,7]naftiridín-8-il){(3*S*)-3-[4-(trifluorometil)fenil]morfolin-4-il}metanona
antineoplásico

C₂₂H₁₉F₃N₄O₃

2790567-82-5



anzutresgenum autoleucelum #
anzutresgene autoleucel

autologous CD4+/CD8+ enriched T lymphocytes transduced with a self-inactivating, non-replicating lentiviral vector encoding a T cell receptor (TCR) specific for the preferentially expressed antigen in melanoma (PRAME). The TCR transgene consists of a TCR α and a TCR β chain separated by a self-cleaving ribosome skipping sequence derived from porcine teschovirus (P2A) under the control of a murine stem cell virus (MSCV) promoter and a Woodchuck hepatitis virus post-transcriptional response element (WPRE). The viral vector backbone also comprises a packaging signal ψ (psi), residual *gag* sequence, a Rev response element (RRE), a central polypurine tract/central termination sequence (cPPT/CTS) and is flanked by 5' and 3' long terminal repeats (LTRs). The vector is pseudotyped with vesicular stomatitis virus G glycoprotein.

The leukapheresis material is enriched for CD4+ and CD8+ T lymphocytes by positive immunoselection prior to activation with CD3 and CD28 agonists in growth media containing interleukin 7 (IL-7) and interleukin 15 (IL-15). The cells are then transduced with a lentiviral vector and expanded in growth media containing human AB serum, IL-7 and IL-15. The cell suspension consists of CD3+ T lymphocytes ($\geq 90\%$) of which $>20\%$ of the CD3+CD8+ cells express the PRAME-specific TCR. The transduced T lymphocytes release interferon gamma (IFN- γ) by co-culture with PRAME-expressing tumor cells *in vitro* cell-based gene therapy (antineoplastic)

anzutresgène autoleucel

lymphocytes T autologues enrichis en CD4+/CD8+ transduits avec un vecteur lentiviral auto-inactivant et non répliatif codant un récepteur de lymphocytes T (TCR) spécifique de l'antigène préférentiellement exprimé dans le mélanome (PRAME). Le transgène TCR est constitué d'une chaîne TCR α et d'une chaîne TCR β séparées par une séquence auto-clivante de saut de ribosomes dérivée du teschovirus porcin (P2A), sous le contrôle d'un promoteur du virus des cellules souches murines (MSCV) et d'un élément de réponse post-transcriptionnelle du virus de l'hépatite de la marmotte (WPRE). Le squelette du vecteur viral comprend également un signal d'empaquetage ψ (psi), une séquence *gag* résiduelle, un élément de réponse Rev (RRE), un tractus polypurine central/une séquence de terminaison centrale (cPPT/CTS) et, il est flanqué de répétitions terminales longues (LTRs) en 5' et en 3'. Le vecteur est pseudotypé avec la glycoprotéine G du virus de la stomatite vésiculaire (VSV). Le matériel de leucaphérèse est enrichi en lymphocytes T CD4+ et CD8+ par immunosélection positive, avant activation avec des agonistes CD3 et CD28, dans un milieu de croissance contenant de l'interleukine 7 (IL-7) et de l'interleukine 15 (IL-15). Les cellules sont ensuite transduites avec un vecteur lentiviral et expansées dans un milieu de croissance contenant du sérum AB humain, de l'IL-7 et de l'IL-15. La suspension cellulaire est constituée de lymphocytes T CD3+ ($\geq 90\%$) dont $>20\%$ des cellules CD3+CD8+ expriment le TCR spécifique de PRAME. Les lymphocytes T transduits libèrent de l'interféron gamma (IFN- γ) par co-culture avec des cellules tumorales exprimant PRAME *in vitro* thérapie génique à base de cellules (antineoplasique)

anzutresgén autoleucel linfocitos T CD4+/CD8+ autólogos enriquecidos, transducidos con un vector lentiviral auto-inactivante, no replicativo, que codifica un receptor de células T (TCR) específico del antígeno preferentemente expresado en melanoma (PRAME). El transgén del TCR consiste en una cadena TCR α y una cadena TCR β separadas por una secuencia de auto-escisión de salto ribosómico derivada del teschovirus porcino (P2A) bajo el control de un promotor del virus de células madre murino (MSCV) y un elemento regulador post-transcripcional del virus de la hepatitis de la marmota (WPRE). El esqueleto del vector viral también consta de una señal de empaquetamiento ψ (psi), una secuencia residual gag, un elemento de respuesta Rev (RRE), una secuencia de tracto de poli-purina central/terminación central (cPPT/CTS), y está flanqueado por repeticiones terminales largas (LTRs) en 5' y 3'. El vector está pseudotipado con la glicoproteína G del virus de la estomatitis vesicular (VSV). El material de leucoaféresis se enriquece en linfocitos T CD4+ y CD8+ mediante inmunoselección positiva, antes de la activación con agonistas de CD3 y CD28 en medio de crecimiento que contiene interleuquina 7 (IL-7) e interleuquina 15 (IL-15). Las células después se transducen con el vector lentiviral y se expanden más en medio de crecimiento que contiene suero AB humano, IL-7 e IL-15. La suspensión celular consiste en linfocitos T CD3+ ($\geq 90\%$) de los cuales $>20\%$ de las células CD3+CD8+ expresan el TCR específico de PRAME. Los linfocitos T transducidos liberan interferón gamma (IFN- γ) mediante co-cultivo *in vitro* con células tumorales que expresan PRAME
terapia génica basada en células (antineoplásico)

apazunersenum
apazunersen

*all-P-ambo-2'-O,4'-C-methylene-P-thioadenylyl-(3'→5')-2'-O,4'-C-methylene-P-thioguanlylyl-(3'→5')-2'-O,4'-C-methylene-P-thioadenylyl-(3'→5')-2'-deoxy-P-thioadenylyl-(3'→5')-P-thiothymidylyl-(3'→5')-2'-deoxy-P-thioguanlylyl-(3'→5')-2'-deoxy-P-thioguanlylyl-(3'→5')-2'-deoxy-P-thioadenylyl-(3'→5')-2'-deoxy-P-thioadenylyl-(3'→5')-2'-deoxy-P-thioadenylyl-(3'→5')-P-thiothymidylyl-(3'→5')-2'-deoxy-P-thiocytidylyl-(3'→5')-P-thiothymidylyl-(3'→5')-5-methyl-2'-O,4'-C-methylene-P-thiocytidylyl-(3'→5')-5-methyl-2'-O,4'-C-methylene-P-thiouridylyl-(3'→5')-5-methyl-2'-O,4'-C-methylene-P-thiouridylyl-(3'→5')-2'-O,4'-C-methyleneguanosine
*ubiquitin protein ligase E3A-antisense transcript reducer (Angelman Syndrome)**

apazunersen

*tout-P-ambo-2'-O,4'-C-méthylène-P-thioadénylyl-(3'→5')-2'-O,4'-C-méthylène-P-thioguanlylyl-(3'→5')-2'-O,4'-C-méthylène-P-thioadénylyl-(3'→5')-2'-désoxy-P-thioadénylyl-(3'→5')-P-thiothymidylyl-(3'→5')-2'-désoxy-P-thioguanlylyl-(3'→5')-2'-désoxy-P-thioguanlylyl-(3'→5')-2'-désoxy-P-thiocytidylyl-(3'→5')-2'-désoxy-P-thioadénylyl-(3'→5')-2'-désoxy-P-thiocytidylyl-(3'→5')-2'-désoxy-P-thioadénylyl-(3'→5')-P-thiothymidylyl-(3'→5')-2'-désoxy-P-thiocytidylyl-(3'→5')-P-thiothymidylyl-(3'→5')-5-méthyl-2'-O,4'-C-méthylène-P-thiocytidylyl-(3'→5')-5-méthyl-2'-O,4'-C-méthylène-P-thiouridylyl-(3'→5')-5-méthyl-2'-O,4'-C-méthylène-P-thiouridylyl-(3'→5')-2'-O,4'-C-méthylènéguanosine
*réducteur de transcription antisens de l'ubiquitine protéine ligase E3A (syndrome d'Angelman)**

apazunersén *todo-P-ambo-2'-O,4'-C-metileno-P-tioadenilil-(3'→5')-2'-O,4'-C-metileno-P-tioguanilil-(3'→5')-2'-O,4'-C-metileno-P-tioadenilil-(3'→5')-2'-desoxi-P-tioadenilil-(3'→5')-P-tiotimidilil-(3'→5')-2'-desoxi-P-tioguanilil-(3'→5')-2'-desoxi-P-tioguanilil-(3'→5')-2'-desoxi-P-tiocitidilil-(3'→5')-2'-desoxi-P-tioadenilil-(3'→5')-2'-desoxi-P-tiocitidilil-(3'→5')-2'-desoxi-P-tioadenilil-(3'→5')-P-tiotimidilil-(3'→5')-2'-desoxi-P-tiocitidilil-(3'→5')-P-tiotimidilil-(3'→5')-5-metil-2'-O,4'-C-metileno-P-tiocitidilil-(3'→5')-5-metil-2'-O,4'-C-metileno-P-tiouridilil-(3'→5')-5-metil-2'-O,4'-C-metileno-P-tiouridilil-(3'→5')-2'-O,4'-C-metileno-guanosina*
reductor de la transcripción antisense de la ligasa E3A de la proteína ubiquitina (síndrome de Angelman)

C₁₈₄H₂₂₄N₆₇O₉₆P₁₇S₁₇

2919324-01-7

(3'-5')A=G=A=dA=dT=dG=dG=dC=dA=dC=dA=dT=dC=dT=C=U=U=G

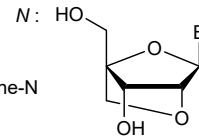
N : nucleoside / nucléoside / nucleósido

B : nucleobase / nucléobase / nucleobase

dN : 2'-deoxy-N / 2'-désoxy-N / 2'-desoxi-N

N : 2'-O,4'-C-methylene-N / 2'-O,4'-C-méthylène-N
/ 2'-O,4'-C-metileno-NN : 5-methyl-N / 5-méthyl-N / 5-metil-N

=: -PO(SH)-

**arumakimigum #**

arumakimig

immunoglobulin (H-gamma1_L-lambda2)_ (H-gamma1_L-kappa), anti-[*Homo sapiens* IL18 (interleukin 18, IL-18, interferon gamma-inducing factor, IGIF, interleukin-1 gamma, IL-1G, IL1F4)] and anti-[*Homo sapiens* IL1B (interleukin 1 beta, IL-1B, 1L1F2)], *Homo sapiens* monoclonal antibody, bispecific, bivalent;

H-gamma1 heavy chain anti-IL18 *Homo sapiens* (1-449) [VH (*Homo sapiens* IGHV1-69*01 (91.8%) -(IGHD) -IGHJ5*01 (92.9%), CDR-IMGT [8.8.12] (26-33.51-58.97-108))] (1-119) -*Homo sapiens* IGHG1*03, G1m3, nG1m1 CH1 R120, CH3 E12, M14, 6-G1-v14 CH2 A1.3, A1.2, 14-G1v74 CH3 C10, 14-G1v32 CH3 W22 (knob) (CH1 R120 (216) (120-217), hinge 1-15 (218-232), CH2 L1.3>A (236), L1.2>A (237) (233-342), CH3 S10>C (356), E12 (358), M14 (360), T22>W (368) (343-447), CHS (448-449)) (120-449)], (222-215')-disulfide with L-lambda2 light chain anti-IL18 *Homo sapiens* (1'-216') [V-Lambda (*Homo sapiens* IGLV1-40*01 (88.3%) -IGLJ2*01 (100%), CDR-IMGT [8.3.11] (26'-33'.51'-53'.90'-100'')] (1'-110') -*Homo sapiens* IGLC2*01 (100%) (C-LAMBDA2) (111'-216')];

H-gamma1 heavy chain anti-IL1B *Homo sapiens* (1''-448'') [VH (*Homo sapiens* IGHV3-30-5*03 (93.9%) -(IGHD) -IGHJ4*01 (100%), CDR-IMGT [8.8.11] (26''-33''.51''-58''.97''-107'')] (1''-118'') -*Homo sapiens* IGHG1*03, G1m3, nG1m1 CH1 R120, CH3 E12, M14, 6-G1v14 CH2 A1.3, A1.2, 14-G1v75 CH3 C5, 14-G1v33 CH3S22, A24, V86 (hole) (CH1 R120 (215'') (119''-216''), hinge 1-15 (217''-231''), CH2 L1.3>A (235''), L1.2>A (236'') (232''-341''), CH3 Y5>C (350''), E12 (357''), M14 (359''), T22>S (367''), L24>A (369''), Y86>V (408'') (342''-446''), CHS (447''-448'') (119''-448'')], (221''-214'')-disulfide with L-kappa light chain anti-IL1B *Homo sapiens* (1'-214'') [V-Kappa (*Homo sapiens* IGKV6-21*01 (98.9%) -IGKJ3*01 (100%), CDR-IMGT [6.3.9] (27'''-32'''-50'''-52'''-89'''-97''')) (1'''-107''') -*Homo sapiens* IGKC*01 (100%) Km3 A45.1, V101 (C-KAPPA A45.1 (153'''), V101 (191''')) (108'''-214''')]; dimer (228-227'':231-230'')-bisdisulfide, produced in Chinese hamster ovary (CHO) cells, cell line CHO-K1, glycoform alfa
anti-inflammatory

- arumakimig immunoglobuline (H-gamma1_L-lambda2)_(H-gamma1_L-kappa), anti-[*Homo sapiens* IL18 (interleukine 18, IL-18, facteur inducteur d'interferon gamma, IGIF, interleukine-1 gamma, IL-1G, IL1F4)] et anti-[*Homo sapiens* IL1B (interleukine 1 bêta, IL-1B, 1L1F2)], anticorps monoclonal *Homo sapiens*, bispécifique, bivalent;
- chaîne lourde H-gamma1 anti-IL18 *Homo sapiens* (1-449) [VH (*Homo sapiens* IGHV1-69*01 (91.8%) -(IGHD) -IGHJ5*01 (92.9%), CDR-IMGT [8.8.12] (26-33.51-58.97-108)) (1-119) -*Homo sapiens* IGHG1*03, G1m3, nG1m1 CH1 R120, CH3 E12, M14, 6-G1v14 CH2 A1.3, A1.2, 14-G1v74 CH3 C10, 14-G1v32 CH3 W22 (knob) (CH1 R120 (216) (120-217), charnière 1-15 (218-232), CH2 L1.3>A (236), L1.2>A (237) (233-342), CH3 S10>C (356), E12 (358), M14 (360), T22>W (368) (343-447), CHS (448-449)) (120-449)], (222-215')-disulfure avec la chaîne légère L-lambda2 anti-IL18 *Homo sapiens* (1'-216') [V-Lambda (*Homo sapiens* IGLV1-40*01 (88.3%) -IGLJ2*01 (100%), CDR-IMGT [8.3.11] (26'-33'.51'-53'.90'-100')) (1'-110') -*Homo sapiens* IGLC2*01 (100%) (C-LAMBDA2) (111'-216')];
- chaîne lourde H-gamma1 anti-IL1B *Homo sapiens* (1"-448") [VH (*Homo sapiens* IGHV3-30-5*03 (93.9%) -(IGHD) -IGHJ4*01 (100%), CDR-IMGT [8.8.11] (26"-33".51"-58".97"-107")) (1"-118") -*Homo sapiens* IGHG1*03, G1m3, nG1m1 CH1 R120, CH3 E12, M14, 6-G1v14 CH2 A1.3, A1.2, 14-G1v75 CH3 C5, 14-G1v33 CH3S22, A24, V86 (hole) (CH1 R120 (215") (119"-216"), charnière 1-15 (217"-231"), CH2 L1.3>A (235"), L1.2>A (236") (232"-341"), CH3 Y5>C (350"), E12 (357"), M14 (359"), T22>S (367"), L24>A (369"), Y86>V (408") (342"-446"), CHS (447"-448")) (119"-448"), (221"-214")]-disulfure avec la chaîne légère L-kappa anti-IL1B *Homo sapiens* (1'-214") [V-Kappa (*Homo sapiens* IGKV6-21*01 (98.9%) -IGKJ3*01 (100%), CDR-IMGT [6.3.9] (27""-32"".50""-52"".89""-97"")) (1""-107"" -*Homo sapiens* IGKC*01 (100%) Km3 A45.1, V101 (C-KAPPA A45.1 (153""), V101 (191"")) (108""-214"")]; dimère (228-227":231-230")-bisdisulfure, produit dans des cellules ovariennes de hamster chinois (CHO), lignée cellulaire CHO-K1, glycoforme alfa
anti-inflammatoire
- arumakimig inmunoglobulina (H-gamma1_L-lambda2)_(H-gamma1_L-kappa), anti-[*Homo sapiens* IL18 (interleukina 18, IL-18, factor inductor del interferón gamma, IGIF, interleukina-1 gamma, IL-1G, IL1F4)] y anti-[*Homo sapiens* IL1B (interleukina 1 beta, IL-1B, 1L1F2)], anticuerpo monoclonal *Homo sapiens*, biespecifico, bivalente;
- cadena pesada H-gamma1 anti-IL18 *Homo sapiens* (1-449) [VH (*Homo sapiens* IGHV1-69*01 (91.8%) -(IGHD) -IGHJ5*01 (92.9%), CDR-IMGT [8.8.12] (26-33.51-58.97-108)) (1-119) -*Homo sapiens* IGHG1*03, G1m3, nG1m1 CH1 R120, CH3 E12, M14, 6-G1v14 CH2 A1.3, A1.2, 14-G1v74 CH3 C10, 14-G1v32 CH3 W22 (knob) (CH1 R120 (216) (120-217), bisagra 1-15 (218-232), CH2 L1.3>A (236), L1.2>A (237) (233-342), CH3 S10>C (356), E12 (358), M14 (360), T22>W (368) (343-447), CHS (448-449)) (120-449)], (222-215')-disulfuro con la cadena ligera L-lambda2 anti-IL18 *Homo sapiens* (1'-216') [V-Lambda (*Homo sapiens* IGLV1-40*01 (88.3%) -IGLJ2*01 (100%), CDR-IMGT [8.3.11] (26'-33'.51'-53'.90'-100')) (1'-110') -*Homo sapiens* IGLC2*01 (100%) (C-LAMBDA2) (111'-216')];
- cadena pesada H-gamma1 anti-IL1B *Homo sapiens* (1"-448") [VH (*Homo sapiens* IGHV3-30-5*03 (93.9%) -(IGHD) -IGHJ4*01 (100%), CDR-IMGT [8.8.11] (26"-33".51"-58".97"-107")) (1"-118") -*Homo sapiens* IGHG1*03, G1m3, nG1m1 CH1 R120, CH3 E12, M14, 6-G1v14 CH2 A1.3, A1.2, 14-G1v75 CH3 C5, 14-G1v33 CH3S22, A24, V86 (hole) (CH1 R120 (215") (119"-216"), bisagra 1-15 (217"-231"), CH2 L1.3>A (235"), L1.2>A (236") (232"-341"), CH3 Y5>C (350"), E12 (357"), M14 (359"), T22>S (367"), L24>A (369"), Y86>V (408") (342"-446"), CHS (447"-448")) (119"-448"), (221"-214")]-disulfuro con la cadena ligera L-kappa anti-IL1B *Homo sapiens* (1'-214") [V-Kappa (*Homo sapiens* IGKV6-21*01 (98.9%) -IGKJ3*01 (100%), CDR-IMGT [6.3.9] (27""-32"".50""-52"".89""-97"")) (1""-107"" -*Homo sapiens* IGKC*01 (100%) Km3 A45.1, V101 (C-KAPPA A45.1 (153""), V101 (191"")) (108""-214"")]; dímero (228-227":231-230")-bisdisulfuro, producido en las células ováricas de hámster chino (CHO), línea celular CHO-K1, forma glicosilada alfa
antiinflamatorio

Heavy chain / Chaîne lourde / Cadena pesada: H-gamma1 anti-IL18 (knob) (H)
 EVQLVQSGAE VKKPGSSVKV SCKASGGTFK SYAISWVRQA PGQGLEWMGN 50
 IIPMTQQYY AQKFGQRTI TADESTSTAY MELSLRSED TAVYYCARAA 100
 YHPLVDENWG QGTLVTVSSA STKGPSVFPL APSSKSTSGG TAALGCLVKD 150
 YFPEPVTYVW NSGALTSQVH TFFPAVLQSSG LYSLSVVTV PSSSLGTQTY 200
 ICNVNHPKSN TKVDKRVPEK SCDKTHTCPP CPAPEAAGGP SVFLFPPKPK 250
 DTLMISRTP E VTCVVVDVSH EDPEVKFNWY VDGVEVHNAK TKPREEQYNS 300
 TYRVVSVLTV LHQDNLNGKE YKCKVSNKAL PAPEKTIISK AKGQPREPQV 350
 YTLPPCREEM TKNQVSLWCL VKGFYPSDIA WEVESNGQPE NNYKTTFPVL 400
 DSDGSFFLYS KLTVDKSRWQ QGNVFCSSVM HEALHNHYTQ KSLSLSPGK 449

Light chain / Chaîne légère / Cadena ligera: L-lambda anti-IL18 (L')
 DIVLTQPPSV SGAPGQRVTI SCSGSSSNIG NHYVNWYQQL PGTA PKLLIY 50
 RNNHRPSGVP DRFSGSKSGT SASLAITGLQ SEDEADYVCO SWDYSGFSTV 100
 FGGGTRKLTWL GQPKAAPSVT LFPPSSEELQ ANKATLVLCIL SDFYPGAVTV 150
 AWKADSSPVK AGVETTTFSK QSNNKYAASS YLSLTPPEQWK SHRSYSCQVT 200
 HEGSTVEKTV APTECS 216

Heavy chain / Chaîne lourde / Cadena pesada: H-gamma1 anti-IL1B (hole) (H')
 QVQLVESGGG VVQPGRLRL SCAASGTFES VYGMNWRVAI PGKGLEWVAI 50
 IWYDGDNQYY ADSVKGRFTI SRDNSKNTLY LQMNGLRAED TAVYYCARDL 100
 RTGPFDFYWGQ GTLVTVSSAS TKGPSVFPLA PSSKSTSGGT AALGLVKDY 150
 FPEPVTYVSW NSGALTSQVH TFFPAVLQSSG LYSLSVVTV PSSSLGTQTY 200
 CNVNHKPSNT KVDKRVPEKS CDKTHTCPPC PAPEAAGGGS VFLFPPKPKD 250
 TLMISRTP E VTCVVVDVSH EDPEVKFNWY VDGVEVHNAK KPREEQYNS 300
 YRVVSVLTVL HQDNLNGKE YKCKVSNKAL PAPEKTIISK AKGQPREPQV 350
 TLPPSREEMT KNQVSLSCAV KGFYPSDIAV EWESNGQPE NYKTTFPVLD 400
 SDGSFFLVSK LTVDKSRWQ GNVFSCSSVM EALHNHYTQK SLSLSPGK 448

Light chain / Chaîne légère / Cadena ligera: L-kappa anti-IL1B (L'')
 EIVLTQSPDF QSVTPKEKVT ITCRASQSIG SSLHWYQKPK DQSPKLLIKY 50
 ASQSFSGVPS RFSGSGSGTD FTLTINSLEA EDAAYYCHQ SSSLPFTFGP 100
 GTKVDIKRRT AAPSVFIFPP SDEQLKSGTA SVVCLLNNFY PREAKVQWK 150
 DNALQSGNSQ ESVTEQDSKD STYLSLSTLT LSKADYEKHK VYACEVTHQG 200
 LSSPVTKSFN RGEC 214

Post-translational modifications

Disulfide bridges location / Position des ponts disulfure / Posiciones de los puentes disulfuro

Intra-H (C23-C104) 22-96 146-202 263-323 369-427
 22"-96" 145"-201" 262"-322" 368"-426"

Intra-L (C23-C104) 22'-89' 138'-197'
 23"-88" 134"-194"

Inter-H-L (h5-CL 126) 222-215' 221"-214"

Inter-H-H (h11, h14) 228-227" 231-230"

Inter-H-H (CH3 C10-C5)* 356-350"

*variants 14-G1v74 (H CH3 C10) and 14-G1v75 (H' CH3 C5) creating an additional inter-H-H disulfide bond.

N-terminal glutaminyl cyclization / Cyclisation du glutaminyle N-terminal / Ciclación del glutaminilo N-terminal

Q > pyroglutamy1 (pE, 5-oxopropyl) / pyroglutamyle (pE, 5-oxopropyle) / piroglutamilo (pE, 5-oxoprolilo)
 H VH Q1: 1"

N-glycosylation sites / Sites de N-glycosylation / Posiciones de N-glicosilación
 H CH2 N84.4: 299, 298"

Fucosylated complex bi-antennary CHO-type glycans / glycanes de type CHO bi-antennaires complexes fucosylés / glicanos de tipo CHO biantenarios complejos fucosilados.

C-terminal lysine clipping / Coupure de la lysine C-terminale / Recorte de lisina C-terminal
 H CHS K2: 449, 448"

astepatidum astepatide

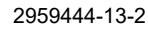
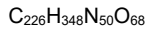
L-tyrosyl-2-methylalanyl-L- α -glutamylglycyl-L-threonyl-L-phenylalanyl-L-threonyl-L-seryl-L- α -aspartyl-L-tyrosyl-L-seryl-L-isoleucyl-L-leucyl-L-leucyl-L- α -glutamyl-N⁶-(N⁶-{N-[N-(17-carboxyheptadecanoyl)-L- γ -glutamyl]-L-lysyl]-L-lysyl]-L-lysyl-L-glutamyl-L-alanyl-L-alanyl-L-arginyl-L- α -glutamyl-L-phenylalanyl-L-isoleucyl-L- α -glutamyl-L-tryptophyl-L-leucyl-L-leucyl-L-alanylglycylglycyl-L-prolyl-L-seryl-L-serylglycyl-L-alanyl-L-prolyl-L-prolyl-L-prolyl-L-serine
gastric inhibitory polypeptide (GIP) receptor and glucagon-like peptide 1 (GLP-1) receptor agonist, antidiabetic

astépatide

L-tyrosyl-2-méthylalanyl-L- α -glutamylglycyl-L-thréonyl-L-phénylalanyl-L-thréonyl-L-séryl-L- α -aspartyl-L-tyrosyl-L-séryl-L-isoleucyl-L-leucyl-L-leucyl-L- α -glutamyl-N⁶-(N⁶-{N⁶-[N-(17-carboxyheptadécanoil)-L- γ -glutamyl]-L-lysyl]-L-lysyl)-L-lysyl-L-glutaminy-L-alanyl-L-alanyl-L-arginyl-L- α -glutamyl-L-phénylalanyl-L-isoleucyl-L- α -glutamyl-L-tryptophyl-L-leucyl-L-leucyl-L-alanylglycylglycyl-L-prolyl-L-séryl-L-sérylglycyl-L-alanyl-L-prolyl-L-prolyl-L-prolyl-L-sérine
agoniste des récepteurs du peptide-1 similaire au glucagon (GLP-1) et du polypeptidique insulino-trope dépendant du glucose (GIP), antidiabétique

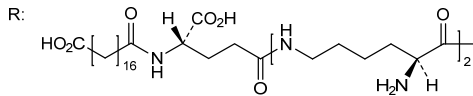
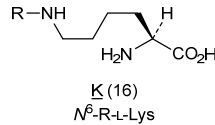
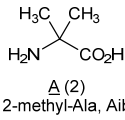
astepatida

L-tirosil-2-metilalanil-L- α -glutamilglicil-L-treonil-L-fenilalanil-L-treonil-L-seril-L- α -aspartil-L-tirosil-L-seril-L-isoleucil-L-leucil-L-leucil-L- α -glutamil-N⁶-(N⁶-{N⁶-[N-(17-carboxiheptadecanoil)-L- γ -glutamyl]-L-lisil]-L-lisil)-L-lisil-L-glutamini-L-alanil-L-alanil-L-arginil-L- α -glutamil-L-fenilalanil-L-isoleucil-L- α -glutamil-L-triptofil-L-leucil-L-leucil-L-alanilglicilglicil-L-prolil-L-seril-L-serilglicil-L-alanil-L-prolil-L-prolil-L-prolil-L-serina
agonista de los receptores del péptido 1 similar al glucagón (GLP-1) y del polipéptido inhibidor gástrico (GIP), antidiabético



YAEGTFTSDY SILLEKQAAR EFIEWLLAGG PSSGAPPPS 39

Modified residues / Résidus modifiés / Restos modificados



atebimetinibum

atebimetinib

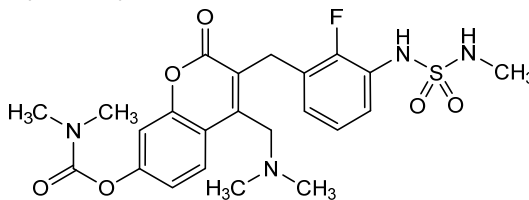
4-[(diméthylamino)méthyl]-3-({2-fluoro-3-[(méthylsulfamoyl)amino]phényl)méthyl}-2-oxo-2H-1-benzopyran-7-yl)diméthylcarbamate
MEK tyrosine kinase inhibitor, antineoplastic

atébimétinib

diméthylcarbamate de 4-[(diméthylamino)méthyl]-3-({2-fluoro-3-[(méthylsulfamoyl)amino]phényl)méthyl}-2-oxo-2H-1-benzopyran-7-yle)
inhibiteur de la tyrosine kinase activée par un mitogène (MEK), antinéoplasique

atebimetinib

dimetilcarbamato de 4-[(dimetilamino)metil]-3-({2-fluoro-3-[(metilsulfamoil)amino]fenil)metil}-2-oxo-2H-1-benzopiran-7-ilo)
inhibidor de la tirosina kinasa MEK, antineoplásico



avicursenum

avicursen

all-P-ambo-2'-O-(2-methoxyethyl)-5-methyl-P-thiocytidylyl-(3'→5')-2'-O-(2-methoxyethyl)-5-methyl-P-thiouridylyl-(3'→5')-2'-O-(2-methoxyethyl)-P-thioguanilyl-(3'→5')-2'-deoxy-P-thioadenilyl-(3'→5')-2'-deoxy-P-thioguanilyl-(3'→5')-P-thiothymidylyl-(3'→5')-2'-deoxy-5-methyl-P-thiocytidylyl-(3'→5')-P-thiothymidylyl-(3'→5')-2'-deoxy-P-thioguanilyl-(3'→5')-P-thiothymidylyl-(3'→5')-P-thiothymidylyl-(3'→5')-P-thiothymidylyl-(3'→5')-2'-O-(2-methoxyethyl)-5-methyl-P-thiouridylyl-(3'→5')-2'-O-(2-methoxyethyl)-5-methyl-P-thiocytidylyl-(3'→5')-2'-O-(2-methoxyethyl)-P-thioadenilyl-(3'→5')-2'-O-(2-methoxyethyl)-5-methyl-P-thiouridylyl-(3'→5')-2'-O-(2-methoxyethyl)-5-methyl-P-thiouridylyl-(3'→5')-2'-O-(2-methoxyethyl)-5-methyl-P-thiocytidylyl-(3'→5')-2'-O-(2-methoxyethyl)-5-methyluridine

integrin alpha-4 synthesis reducer, anti-inflammatory

avicursen

tout-P-ambo-2'-O-(2-méthoxyéthyl)-5-méthyl-P-thiocytidylyl-(3'→5')-2'-O-(2-méthoxyéthyl)-5-méthyl-P-thiouridylyl-(3'→5')-2'-O-(2-méthoxyéthyl)-P-thioguanilyl-(3'→5')-2'-désoxy-P-thioadénylyl-(3'→5')-2'-désoxy-P-thioguanilyl-(3'→5')-P-thiothymidylyl-(3'→5')-2'-désoxy-5-méthyl-P-thiocytidylyl-(3'→5')-P-thiothymidylyl-(3'→5')-2'-désoxy-P-thioguanilyl-(3'→5')-P-thiothymidylyl-(3'→5')-P-thiothymidylyl-(3'→5')-P-thiothymidylyl-(3'→5')-2'-O-(2-méthoxyéthyl)-5-méthyl-P-thiouridylyl-(3'→5')-2'-O-(2-méthoxyéthyl)-5-méthyl-P-thiocytidylyl-(3'→5')-2'-O-(2-méthoxyéthyl)-P-thioadénylyl-(3'→5')-2'-O-(2-méthoxyéthyl)-5-méthyl-P-thiouridylyl-(3'→5')-2'-O-(2-méthoxyéthyl)-5-méthyl-P-thiocytidylyl-(3'→5')-2'-O-(2-méthoxyéthyl)-5-méthyluridine

réducteur de synthèse de l'intégrine alpha-4, anti-inflammatoire

avicursén

todo-P-ambo-5-metil-2'-O-(2-metoxietil)-P-tiocitidilil-(3'→5')-5-metil-2'-O-(2-metoxietil)-P-tiouridilil-(3'→5')-2'-O-(2-metoxietil)-P-tioguanilil-(3'→5')-2'-desoxi-P-tioadenilil-(3'→5')-2'-desoxi-P-tioguanilil-(3'→5')-P-tiotimidilil-(3'→5')-2'-desoxi-5-metil-P-tiocitidilil-(3'→5')-P-tiotimidilil-(3'→5')-2'-desoxi-P-tioguanilil-(3'→5')-P-tiotimidilil-(3'→5')-P-tiotimidilil-(3'→5')-P-tiotimidilil-(3'→5')-5-metil-2'-O-(2-metoxietil)-P-tiouridilil-(3'→5')-5-metil-2'-O-(2-metoxietil)-P-tiocitidilil-(3'→5')-5-metil-2'-O-(2-metoxietil)-P-tiocitidilil-(3'→5')-2'-O-(2-metoxietil)-P-tioadenilil-(3'→5')-5-metil-2'-O-(2-metoxietil)-P-tiouridilil-(3'→5')-5-metil-2'-O-(2-metoxietil)-P-tiouridilil-(3'→5')-5-metil-2'-O-(2-metoxietil)-P-tiocitidilil-(3'→5')-5-metil-2'-O-(2-metoxietil)uridina

inhibidor de la integrina alfa 4, antiinflamatorio

C₂₃₃H₃₂₇N₆₀O₁₂₉P₁₉S₁₉

350263-41-1

m⁵Cmoe=m⁵Umoe=Gmoe=dA=dG=dT=m⁵C_d=dT=dG=dT=dT=dT=m⁵Umoe=m⁵Cmoe=m⁵Cmoe=Amoe=m⁵Umoe=m⁵Umoe=m⁵Cmoe=m⁵Umoe

N : nucleoside / nucléoside / nucleósido

m⁵N : 5-methyl-N / 5-méthyl-N / 5-metil-N

dN & N_d : 2'-deoxy-N / 2'-désoxy-N / 2'-desoxi-N

Nmoe : 2'-O-methoxyethyl-N / 2'-O-méthoxyéthyl-N / 2'-O-metoxietil-N

= : -PO(SH)-

balekafuspum alfa #
balekafusp alfa

humanized immunoglobulin G1-kappa, anti-[human interleukin-2 (IL-2, T-cell growth factor, TCGF)] with an engineered kappa light chain, where a circular permuted form of human interleukin-2 is inserted within CDR-L1 between Y³¹ (Kabat L.27D) and D³⁴ (Kabat L.30), Q³²>del (Kabat L.28), C³³>del (Kabat L.29) through ³²GGG³⁴ and ¹⁶⁷GGGG¹⁷⁰ linkers;
gamma 1 heavy chain (1-451) [VH (*Homo sapiens*IGHV5-51*01 -(IGHD) -IGHJ3*01, CDR-Kabat [5.17.12] (31-35.50-66.99-110)) (1-121) -*Homo sapiens*IGHG1*03 (CH1 (122-219), hinge (220-234), CH2 N>³⁰¹A (235-344), CH3 (345-449), CHS (450-451)) (122-451)]-disulfide with partial kappa light chain fused to a circular permuted form of human interleukin-2 (1'-355') [partial V-KAPPA (*Homo sapiens*IGKV1-39*01, CDR-Kabat [8] (partial CDR-L1: Kabat L.24-L.27D) (24'-31')) (1'-31')] fused via peptide linker ³²GGG³⁴ to human interleukin-2 (IL-2, T-cell growth factor (TCGF)) in a permuted form (C-terminal fragment 77-133 (35'-91' in the current sequence) fused to the N-terminal fragment 2-76 (92'-166' in the current sequence)), variant (¹²⁵C>^S⁸³), fused via peptide linker ¹⁶⁷GGGG¹⁷⁰ to a partial kappa light chain [V-KAPPA (*Homo sapiens*IGKV1-39*01 -IGKJ4*01, CDR-Kabat [5.7.9] (partial CDR-L1: Kabat L.30-L.34) (171'-175'.191'-197'.230'-238')) (171'-248') -*Homo sapiens*IGKC*01 (249'-355')]; dimer (230-230':233-233'')-bisdisulfide, produced in Chinese hamster ovary (CHO) cells, cell line CHO-K1, glycoform alfa
antineoplastique

balékafusp alfa

immunoglobuline humanisée G1-kappa, anti-[interleukine-2 humaine (IL-2, facteur de croissance des lymphocytes T (FCLT)), avec une chaîne légère kappa recombinée, dans laquelle une forme circulaire permutée d'interleukine-2 humaine est insérée dans le CDR-L1 entre Y³¹ (Kabat L.27D) et D³⁴ (Kabat L.30), Q³²>dél (Kabat L.28), G³³>dél (Kabat L.29) jusqu'aux coupleurs ³²GGG³⁴ et ¹⁶⁷GGGG¹⁷⁰; chaîne lourde gamma 1 (1-451) [VH (*Homo sapiens*IGHV5-51*01 -(IGHD) -IGHJ3*01, CDR-Kabat [5.17.12] (31-35.50-66.99-110)) (1-121) -*Homo sapiens*IGHG1*03 (CH1 (122-219), charnière (220-234), CH2 N>³⁰¹A (235-344), CH3 (345-449), CHS (450-451)) (122-451)] -disulfure avec la chaîne légère partielle, fusionnée avec une forme circulaire permutée de l'interleukine-2 humaine (1'-355') [V-KAPPA partielle (*Homo sapiens*IGKV1-39*01, CDR-Kabat [8] (CDR-L1 partiel: Kabat L.24-L.27D) (24'-31')) (1'-31')] fusionnée à l'aide d'un coupleur peptidique ³²GGG³⁴ au fragment de l'interleukine-2 humaine (IL-2, facteur de croissance des lymphocytes T (FCLT)), dans sa forme permutée (fragment C-terminal 77-133 (35'-91' dans la séquence en cours) fusionné au fragment N-terminal 2-76 (92'-166' de la séquence en cours)), variante (¹²⁵C>^S⁸³), fusionné à l'aide du coupleur peptidique ¹⁶⁷GGGG¹⁷⁰ à la chaîne légère kappa partielle [V-KAPPA (*Homo sapiens*IGKV1-39*01 -IGKJ4*01, CDR-Kabat [5.7.9] (CDR-L1 partiel: Kabat L.30-L.34) (171'-175'.191'-197'.230'-238')) (171'-248') -*Homo sapiens*IGKC*01 (249'-355')]; dimère (230-230':233-233'')-bisdisulfure, produit dans des cellules ovariennes de hamster chinois (CHO), lignée cellulaire CHO-K1, glycoforme alfa
antineoplasique

balekafusp alfa

inmunoglobulina humanizada G1-kappa, anti-[interleukina-2 humana (IL-2, factor de crecimiento de células T, TCGF)] con una cadena ligera kappa manipulan, donde una forma circular permutada de una interleukina-2 humana se inserta en CDR-L1 entre Y³¹ (Kabat L.27D) y D³⁴ (Kabat L.30), Q³²>del (Kabat L.28), G³³>del (Kabat L.29) a través de enlaces ³²GGG³⁴ y ¹⁶⁷GGGG¹⁷⁰.

cadena pesada gamma 1(1-451) [VH (*Homo sapiens* IGHV5-51*01 - (IGHD) -IGHJ3*01, CDR-Kabat [5.17.12] (31-35.50-66.99-110)) (1-121) - *Homo sapiens* IGHG1*03 (CH1 (122-219), bisagra (220-234), CH2 N>³⁰¹A (235-344), CH3 (345-449), CHS (450-451)) (122-451)]-disulfuro con una cadena ligera kappa parcial fusionada a una forma permutada circular de interleukina-2 humana (1'-355') [parcial V-KAPPA (*Homo sapiens* IGKV1-39*01, CDR-Kabat [8] (parcial CDR-L1: Kabat L.24-L.27D) (24'-31')) (1'-31')] fusionada a través de un enlace peptídico ³²GGG³⁴ a una interleukina-2 humana (IL-2, factor de crecimiento de células T (TCGF)) en una forma permutada (C-terminal fragmento 77-133 (35'-91' en la secuencia actual) fusionada al fragmento N-terminal 2-76 (92'-166' en la secuencia actual)), variante (¹²⁵C>^S⁸³), fusionada a través de enlace peptídico ¹⁶⁷GGGG¹⁷⁰ a una cadena ligera kappa parcial [V-KAPPA (*Homo sapiens* IGKV1-39*01 -IGKJ4*01, CDR-Kabat [5.7.9] (parcial CDR-L1: Kabat L.30-L.34) (171'-175'.191'-197'.230'-238')) (171'-248') -*Homo sapiens* IGKC*01 (249'-355'))]; dímero (230-230":233-233")-bisulfuro, producido en células ováricas de hamster Chino (CHO) K1, glicofoma alfa antineoplásico

2866185-77-3

Sequence / Séquence / Secuencia

IgG1 heavy chain

EVQLVQSGAE	VKKPGESLKI	CKKSGSYAFT	NYLIEWVRQM	PGKGLEWMGV	50
INPSSGGTNY	NEKFKGQVTI	SADKSIStay	LQWSSLKASD	TAMYCARWR	100
GEGYAYFDV	WGQGTVTVS	SASTKGPSVF	PLAPSSKSTS	GGTAALGLCV	150
KDYFPEPVTV	SWNSGALTS	VHTFPVAVLQ	SGLYSLSSVV	TVPSSSLGTQ	200
TYICNVNHKP	SNTKVDKRV	PKSCDKHTC	PPCPAPELLG	GPSVFLFPK	250
PKDTLMISRT	PEVTCVVVDV	SHEDPEVKFN	WYVDGVEVHN	AKTKPREEQY	300
A STYRVVSVL	TVLHQDWLNG	KEYKCKVSNK	ALPAPIEKTI	SKAKGQPREP	350
QVYTLPPSRE	EMTKNQVSLT	CLVKGFPYPSD	IAVEWESNGQ	PENNYKTTTP	400
VLDSGDSFPL	YSKLTVDKSR	WQQGNVFCSS	VMHEALHNHY	TQKSLSLSPG	450
K					451

IgG1 light chain-permuted IL-2

AIRLTQSPSS	FSASTGDRVT	ITCKASQSDV	<u>YGGNFHLRP</u>	RD LISININVI	50
VLELKGSETT	F MCEYADETA	T IVEFLNRWI	TF SQSIISTL	TPTSSSTKKT	100
QLQLEHLLLD	LQ MILNGINN	YK NPKLTRML	TF KFYMPKKA	TELKHLQCLE	150
ELKPLEEVL	NLAQSK <u>GGGG</u>	DSYMNWYQQK	PGKAPKLLIY	AASNLESGVP	200
SRFSGSGSGT	DFLTITISLQ	SEDFATYCYQ	QSNEDPYTFG	GGTKVEIKRT	250
VAAPEVTFIFP	PSDEQLKSGT	ASVVCLLNPF	YPREAKVQWK	VDNALQSGNS	300
QESVTEQDSK	DSTYSLSSLT	TLSKADYEKH	KVYACEVTHQ	GLSSPVTKSF	350
NRGEC					355

Mutations / Mutations / Mutaciones

N³⁰¹>**A**, ¹²⁵C>^S⁸³

Peptide linker / Peptide liant / Péptido de unión

³²GGG³⁴, ¹⁶⁷GGGG¹⁷⁰

Post-translational modifications

Disulfide bridges location / Position des ponts disulfure / Posiciones de los puentes disulfuro

Intra IgG1 heavy chain: 22-96, 148-204, 265-325, 371-429,
22"-96", 148"-204", 265"-325", 371"-429"

Intra IgG1 light chain-IL-2: 23'-229', 63'-148', 275'-335', 23"-229", 63"-148", 275"-335"

Inter IgG1 heavy chain-light chain-IL-2: 224-355', 224"-355"

Inter IgG1 heavy chain-heavy chain: 230-233, 230"-233"

O-glycosylation sites / Sites de O-glycosylation / Posiciones de O-glicosilación

T93', T93"

C-terminal lysine clipping / Coupure de la lysine C-terminale / Recorte de lisina C-terminal

IgG1 heavy chain: 451, 451"

balertatugum #
balertatug

immunoglobulin G1-kappa, anti-[*Homo sapiens* CD70 (tumor necrosis factor superfamily member 7, TNFSF7, CD27LG, CD27L)], monoclonal antibody; H-gamma1 heavy chain (1-448) [VH (*Homo sapiens*IGHV1-2*02 (86.7%) -(IGHD) -IGHJ4*01 (92.3%) L123>T (113), CDR-IMGT [8.8.11] (26-33.51-58.97-107)) (1-118) -*Homo sapiens*IGHG1*01 (100%) G1m17,1 CH1 K120, CH3 D12, L14 (CH1 K120 (215) (119-216), hinge 1-15 (217-231), CH2 (232-341), CH3 D12 (357), L14 (359) (342-446), CHS (447-448)) (119-448)], (221-218')-disulfide with L-kappa light chain (1'-218') [V-KAPPA *Mus musculus*IGKV3-12*01 (84.8%) -IGKJ1*01 (83.3%) G120>Q (104') , L124>V (108')/*Homo sapiens*IGKV4-1*01 (79.2%) -IGKJ1*01 (100%), CDR-IMGT [10.3.9] (27'-36'.54'-56'.93'-101'') (1'-111') -*Homo sapiens*IGKC*01 (100%) Km3 A45.1, V101 (C-KAPPA A45.1 (157'), V101 (195')) (112'-218''); dimer (227-227":230-230")-bisdisulfide, produced in a cell line from Chinese hamster ovary (CHO) cells, derived from the cell line CHO-K1, glycoform alfa *antineoplastica*

balertatug

immunoglobuline G1-kappa, anti-[*Homo sapiens* CD70 (membre 7 de la superfamille du facteur de nécrose tumorale (TNF), TNFSF7, CD27LG, CD27L)], anticorps monoclonal; chaîne lourde H-gamma1 (1-448) [VH (*Homo sapiens*IGHV1-2*02 (86.7%) -(IGHD) -IGHJ4*01 (92.3%) L123>T (113), CDR-IMGT [8.8.11] (26-33.51-58.97-107)) (1-118) -*Homo sapiens*IGHG1*01 (100%) G1m17,1 CH1 K120, CH3 D12, L14 (CH1 K120 (215) (119-216), charnière 1-15 (217-231), CH2 (232-341), CH3 D12 (357), L14 (359) (342-446), CHS (447-448)) (119-448)], (221-218')-disulfure avec la chaîne légère L-kappa (1'-218') [V-KAPPA *Mus musculus*IGKV3-12*01 (84.8%) -IGKJ1*01 (83.3%) G120>Q (104') , L124>V (108')/*Homo sapiens*IGKV4-1*01 (79.2%) -IGKJ1*01 (100%), CDR-IMGT [10.3.9] (27'-36'.54'-56'.93'-101'') (1'-111') -*Homo sapiens*IGKC*01 (100%) Km3 A45.1, V101 (C-KAPPA A45.1 (157'), V101 (195')) (112'-218''); dimère (227-227":230-230")-bisdisulfure, produit dans une lignée cellulaire des cellules ovariennes de hamster chinois (CHO), dérivant de la lignée cellulaire CHO-K1, glycoforme alfa *antineoplastique*

balertatug

inmunoglobulina G1-kappa, anti-[*Homo sapiens* CD70 (miembro 7 de la superfamilia del factor de necrosis tumoral (TNF), TNFSF7, CD27LG, CD27L)], anticuerpo monoclonal; cadena pesada H-gamma1 (1-448) [VH (*Homo sapiens*IGHV1-2*02 (86.7%) -(IGHD) -IGHJ4*01 (92.3%) L123>T (113), CDR-IMGT [8.8.11] (26-33.51-58.97-107)) (1-118) -*Homo sapiens*IGHG1*01 (100%) G1m17,1 CH1 K120, CH3 D12, L14 (CH1 K120 (215) (119-216), bisagra 1-15 (217-231), CH2 (232-341), CH3 D12 (357), L14 (359) (342-446), CHS (447-448)) (119-448)], (221-218')-disulfuro con la cadena ligera L-kappa (1'-218') [V-KAPPA *Mus musculus*IGKV3-12*01 (84.8%) -IGKJ1*01 (83.3%) G120>Q (104') , L124>V (108')/*Homo sapiens*IGKV4-1*01 (79.2%) -IGKJ1*01 (100%), CDR-IMGT [10.3.9] (27'-36'.54'-56'.93'-101'') (1'-111') -*Homo sapiens*IGKC*01 (100%) Km3 A45.1, V101 (C-KAPPA A45.1 (157'), V101 (195')) (112'-218''); dímero (227-227":230-230")-bisdisulfuro, producido en una línea celular de las células ováricas de hámster chino (CHO), línea celular derivada de CHO-K1, forma glicosilada alfa *antineoplásico*

3010940-29-8

Heavy chain / Chaîne lourde / Cadena pesada

QVQLVQSGAE VKKPGASVKV SCKASGYTFT NYGMNWRQA PGQGLKWMGW 50
 INTYTGPTY ADAFKGRVTM TRDTSISTAY MELSRRLSDD TAVYVCARDY 100
 GDYGMQDYGWQ GTFTVTVSSAS TKGPSVFPFLA PSSKSTSGGT AALGCLVKDY 150
 FPEFVTVSWN SGALTSQVHT FPAVLQSSGL YSLSSVTVF SSSLGTQTYI 200
 CNVNHKPSNT KVDKKVEPKS CDKTHTCPPC PAPELLGGPS VFLFPPKPKD 250
 TLMISRTPEV TCVVVDVSHE DPEVKFNWYV DGVEVHNAKT KPREEQYNST 300
 YRVVSVLTVL HQDWLNGKEY KCKVSNKALP APIEKTISKA KGQPREPQVY 350
 TLPSPRDELT KNQVSLTCLV KGFYPSDIAV EWESNGQPEN NYKTTTPEVLD 400
 SDGSFFLYSK LTVDKSRNQQ GNVFSCSVMH EALHNHYTQK SLSLSPGK 448

Light chain / Chaîne légère / Cadena ligera

DIVMTQSPDS LAVSLGERAT INCRASKSVS TSGYSFMHWY QQKPGQPPL 50
 LIYLASNLES GVPDRFSGSG SGTDFTLTIS SLQAEDVAVY YCQHSREVPW 100
 TFGQGTQVEI KRTVAAPSVF IFPPSDEQLK SGTASVCLL NNFYPREAKV 150
 QWKVDNALQS GNSQESVTEQ DSKDSTYSL SLLTLSKADY EKHKVYACEV 200
 THQGLSSPVT KSFNRGEC 218

Post-translational modifications

Disulfide bridges location / Position des ponts disulfure / Posiciones de los puentes disulfuro

Intra-H (C23-C104) 22-96 145-201 262-322 368-426
 22"-96" 145"-201" 262"-322" 368"-426"

Intra-L (C23-C104) 23"-92" 138"-198"
 23"-92" 138"-198"

Inter-H-L (h 5-CL 126) 221-218" 221"-218"

Inter-H-H (h 11, h 14) 227-227" 230-230"

N-terminal glutaminyl cyclization / Cyclisation du glutaminyle N-terminal / Ciclación del glutamínilo N-terminal

Q > pyroglutamyl (pE, 5-oxopropyl) / pyroglutamyle (pE, 5-oxopropyle) / piroglutamilo (pE, 5-oxopropililo)

H VH Q1: 1, 1"

N-glycosylation sites / Sites de N-glycosylation / Posiciones de N-glicosilación

H CH2 N84.4: 298, 298"

Fucosylated complex bi-antennary CHO-type glycans / glycanes de type CHO bi-antennaires complexes fucosylés / glicanos de tipo CHO biantenaríos complejos fucosilados

C-terminal lysine clipping / Coupure de la lysine C-terminale / Recorte de lisina C-terminal

H CHS K2: 448, 448"

balomenibum

balomenib

4-methyl-1-[[{(2S)-5-oxomorpholin-2-yl]methyl]-5-({2-[6-(2,2,2-trifluoroethyl)quinazolin-4-yl]-2,7-diazaspiro[3.5]nonan-7-yl)methyl}-1H-indole-2-carbonitrile
menin inhibitor, antineoplastic

baloméniB

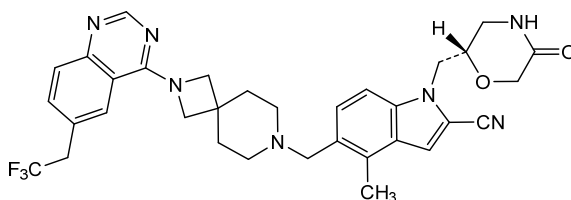
4-méthyl-1-[[{(2S)-5-oxomorpholin-2-yl]méthyl]-5-({2-[6-(2,2,2-trifluoroéthyl)quinazolin-4-yl]-2,7-diazaspiro[3.5]nonan-7-yl)méthyl)-1H-indole-2-carbonitrile
inhibiteur de la ménine, antinéoplasique

balomenib

4-metil-1-[[{(2S)-5-oxomorfolin-2-il]metil]-5-({2-[6-(2,2,2-trifluoroetil)quinazolin-4-il]-2,7-diazaespiro[3.5]nonan-7-il]metil)-1H-indol-2-carbonitrilo
inhibidor de la menina, antineoplásico

C₃₃H₃₄F₃N₇O₂

2939850-17-4



baloncibartum #

baloncibart

immunoglobulin G4-kappa, anti-[*Homo sapiens* NPR1 (natriuretic peptide receptor 1, natriuretic peptide receptor A, NPRA, atrionatriuretic peptide receptor A, ANPRA, guanylate cyclase A, GUCY2A)], *Homo sapiens* monoclonal antibody; H-gamma4 heavy chain *Homo sapiens* (1-447) [VH (*Homo sapiens* IGHV3-23*04 (89.6%) -(IGHD) -IGHJ4*01 (100%), CDR-IMGT [8.8.13] (26-33.51-58.97-109)) (1-120) -*Homo sapiens* IGHG4*01, nG4m(a) CH2 L92, 12-G4v5 h P10 (CH1 (121-218), hinge 1-12 S10>P (228) (219-230), CH2 L92 (309) (231-340), CH3 (341-445), CHS (446-447)) (121-447)], (134-214')-disulfide with L-kappa light chain *Homo sapiens* (1'-214') [V-KAPPA (*Homo sapiens* IGKV1-6*01 (93.7%) -IGKJ3*01 (100%), CDR-IMGT [6.3.9] (27'-32'.50'-52'.89'-97')) (1'-07') -*Homo sapiens* IGKC*01 (100%) Km3 A45.1, V101 (C-KAPPA A45.1 (153'), V101 (191')) (108'-214')]; dimer (226-226":229-229")-bisdisulfide, produced in Chinese hamster ovary (CHO) cells, cell line CHO-K1, glycoform alfa
antihypotensive

baloncibart

immunoglobuline G4-kappa, anti-[*Homo sapiens* NPR1 (récepteur 1 du peptide natriurétique, récepteur A du peptide natriurétique, NPRA, récepteur A du peptide atrionatriurétique, ANPRA, guanylate cyclase A, GUCY2A)], anticorps monoclonal *Homo sapiens*; chaîne lourde H-gamma4 *Homo sapiens* (1-447) [VH (*Homo sapiens* IGHV3-23*04 (89.6%) -(IGHD) -IGHJ4*01 (100%), CDR-IMGT [8.8.13] (26-33.51-58.97-109)) (1-120) -*Homo sapiens* IGHG4*01, nG4m(a) CH2 L92, 12-G4v5 h P10 (CH1 (121-218), charnière 1-12 S10>P (228) (219-230), CH2 L92 (309) (231-340), CH3 (341-445), CHS (446-447)) (121-447)], (134-214')-disulfure avec la chaîne légère L-kappa *Homo sapiens* (1'-214') [V-KAPPA (*Homo sapiens* IGKV1-6*01 (93.7%) -IGKJ3*01 (100%), CDR-IMGT [6.3.9] (27'-32'.50'-52'.89'-97')) (1'-07') -*Homo sapiens* IGKC*01 (100%) Km3 A45.1, V101 (C-KAPPA A45.1 (153'), V101 (191')) (108'-214')]; dimère (226-226":229-229")-bisdisulfure, produit dans des cellules ovariennes de hamster chinois (CHO), lignée cellulaire CHO-K1, glycoforme alfa
antihypotenseur

baloncibart

inmunoglobulina G4-kappa, anti-[*Homo sapiens* NPR1 (receptor 1 del péptido natriurético, receptor A del péptido natriurético, NPRA, receptor A del péptido atrionatriurético ANPRA, guanilato ciclasa A, GUCY2A)], anticuerpo monoclonal *Homo sapiens*; cadena pesada H-gamma4 *Homo sapiens* (1-447) [VH (*Homo sapiens* IGHV3-23*04 (89.6%) -(IGHD) -IGHJ4*01 (100%), CDR-IMGT [8.8.13] (26-33.51-58.97-109)) (1-120) -*Homo sapiens* IGHG4*01, nG4m(a) CH2 L92, 12-G4v5 h P10 (CH1 (121-218), bisagra 1-12 S10>P (228) (219-230), CH2 L92 (309) (231-340), CH3 (341-445), CHS (446-447)) (121-447)], (134-214')-disulfuro con la cadena ligera L-kappa *Homo sapiens* (1'-214') [V-KAPPA (*Homo sapiens* IGKV1-6*01 (93.7%) -IGKJ3*01 (100%), CDR-IMGT [6.3.9] (27'-32'.50'-52'.89'-97')) (1'-07') -*Homo sapiens* IGKC*01 (100%) Km3 A45.1, V101 (C-KAPPA A45.1 (153'), V101 (191')) (108'-214')]; dímero (226-226":229-229")-bisdisulfuro, producido en las células ováricas de hámster chino (CHO), línea celular CHO-K1, forma glicosilada alfa
antihipotensor

2988795-75-9

Heavy chain / Chaîne lourde / Cadena pesada
 EVQLVESGGG LVQPGGSLRL SCAASGFSV SYVMGWVQRQ PGKGLEWVSS 50
 ISGSLTNTYY ADPVKGRFTI SRDNSKNTLY LQMNSLRAED TAAYYCVTYD 100
 ILTGHLEFDYW GQGTLVTVSS ASTKGPVFP LAPCSRSTSE STAALGCLVK 150
 DYFPEPVTVS WNSGALTSV HTFFPAVLQSS GLYSLSLVVT VPSSSLGTKT 200
 YTCNVDPKPS NTKVDKRVES KYGPPCPFCP APEFLGGPSV FLFPPKPKDT 250
 LMISRTPEVT CVVVDVSDQED PEVQFNWYVD GVEVHNAKTK PREEQFNSTY 300
 RVVSLVTLVH QDWLNGKEYK KVSNSKGLPS SIEKTISKAK GQPREPQVYT 350
 LPPSQEEMTK NQVSLTCLVK GFYPSDIAVE WESNGQPENN YKTTTPVLDL 400
 DGSFFLYSRL TVDKSRWQEG NVPFSCVMHE ALHNYHTQKS LLSLSLGLK 447

Light chain / Chaîne légère / Cadena ligera
 AIQMTQSPSS LSASVGDRTV ITCRSSQGIR NDFGWYQQKP GKAPKLLIYA 50
 ASRLQSGVPS RFGSGSGSDT FTLTINLQPF EDFATYYCLO DYTYPFFTFGP 100
 GTKVDIKRTV AAPSVFIFPP SDEQLKSGTA SVVCLLNNFY PREAKVQWKV 150
 DNALQSGNSQ ESVTEQDSKD STYLSLSTLT LSKADYKHKH VYACEVTHQG 200
 LSSPVTKSFN RGECC 214

Post-translational modifications

Disulfide bridges location / Position des ponts disulfure / Posiciones de los puentes disulfuro

Intra-H (C23-C104) 22-96 147-203 261-321 367-425
 22"-96" 147"-203" 261"-321" 367"-425"

Intra-L (C23-C104) 23'-88' 134'-194'
 23'''-88''' 134'''-194'''

Inter-H-L (CH1 10-CL 126) 134-214' 134"-214"

Inter-H-H (h 8, h 11) 226-226" 229-229"

N-glycosylation sites / Sites de N-glycosylation / Posiciones de N-glicosilación
 H CH2 N84.4: 297, 297"

Fucosylated complex bi-antennary CHO-type glycans / glycanes de type CHO bi-antennaires complexes fucosylés / glicanos de tipo CHO biantenarijos complejos fucosilados

C-terminal lysine clipping / Coupure de la lysine C-terminale / Recorte de lisina C-terminal
 H CHS K2: 447, 447"

baluretgenum parvecum #
 baluretgene parvec

recombinant non-replicating adeno-associated virus serotype 5 (rAAV5) vector encoding human photoreceptor-specific nuclear hormone receptor subfamily 2, group E member 3 (NR2E3) under control of the CAG promoter (CMV enhancer / chicken beta-actin (CBA) promoter / chimeric intron) and a simian virus 40 (SV40) polyadenylation signal; flanked by AAV2 inverted terminal repeats
gene therapy (Leber's hereditary optic neuropathy)

baluretgén parvec

vecteur recombinant de virus adéno-associé non répliquatif de sérotype 5 (rAAV5) codant le membre 3 du groupe E de la sous-famille 2 de récepteurs d'hormones nucléaires spécifiques aux photorécepteurs humains (NR2E3), sous le contrôle du promoteur CAG (amplificateur du CMV / promoteur de la bêta-actine de poulet (CBA) / intron chimérique), et un signal de polyadénylation du virus simien 40 (SV40); flanqué des répétitions terminales inversées AAV2
thérapie génique (neuropathie optique héréditaire de Leber)

baluretgén parvec

vector de virus adenoasociado del serotipo 5, recombinante (rAAV5), no replicativo, que codifica el miembro 3 del grupo E de la subfamilia 2 del receptor nuclear de hormona específico de fotorreceptores (NR2E3) humano bajo el control del promotor CAG (potenciador de CMV / promotor de la beta actina de pollo (CBA) / intrón quimérico) y una señal de poliadenilación del virus simio 40 (SV40); flanqueado por las repeticiones terminales invertidas del AAV2
terapia génica (neuropatía óptica hereditaria de Leber)

2964417-29-4

becondogrelum

becondogrel

methyl (S)-(2-chlorophenyl)[(7aS)-2-oxo-2,6,7,7a-tetrahydrothieno[3,2-c]pyridin-5(4H)-yl]acetate
platelet aggregation inhibitor

bécondogrel

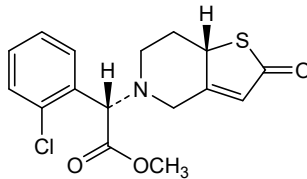
(S)-(2-chlorophényl)[(7aS)-2-oxo-2,6,7,7a-tétrahydrothiéno[3,2-c]pyridin-5(4H)-yl]acétate de méthyle
antiagrégant plaquettaire

becondogrel

(S)-(2-clorofenil)[(7aS)-2-oxo-2,6,7,7a-tetrahidrotieno[3,2-c]piridin-5(4H)-il]acetato de metilo
inhibidor de la agregación plaquetaria

C₁₆H₁₆ClNO₃S

1416696-44-0

**besufetamigum #**

besufetamig

immunoglobulin (H-gamma1_L-kappa)_ (H-gamma1_L-kappa), anti-[*Homo sapiens* PDCD1 (programmed cell death 1, PD-1, PD1, CD279)] and anti-[*Homo sapiens* CD3E (CD3 epsilon, Leu-4)], *Homo sapiens* monoclonal antibody, bispecific;

H-gamma1 heavy chain anti-PDCD1 *Homo sapiens* (1-456) [VH (*Homo sapiens* IGHV7-4-1*02 (90.8%) -(IGHD) -IGHJ3*01 (92.3%) M123>T (122), CDR-IMGT [8.8.20] (26-33.51-58.97-116))] (1-127) - *Homo sapiens* IGHG1*03 G1m3, nG1m1 CH1 R120, CH3 E12, M14, 6-G1v59-1 CH2 G1.2, R1.1, 14-G1v72 CH3 D7, E24 (CH1 R120 (224) (128-225), hinge 1-15 (226-240), CH2 L1.2>G (245), G1.1>R (246) (241-350), CH3 L7>D (361), E12 (366), M14 (368), L24>E (378) (351-455), CHS K2>del (456)) (128-456)], (230-214')-disulfide with common L-kappa light chain *Homo sapiens* (1'-214') [V-KAPPA (*Homo sapiens* IGKV1-39*01 (100%) -IGKJ1*01 (100%), CDR-IMGT [6.3.9] (27'-32'.50'-52'.89'-97')) (1'-107') -*Homo sapiens* IGKC*01 (100%) Km3 A45.1, V101 (C-KAPPA A45.1 (153'), V101 (191')) (108'-214')];

H-gamma1 heavy chain anti-CD3E *Homo sapiens* (1''-447'') [VH (*Homo sapiens* IGHV3-30-5*03 (88.8%) -(IGHD) -IGHJ5*02 (100%), CDR-IMGT [8.8.11] (26''-33''.51''-58''.97''-107'')) (1''-118'') -*Homo sapiens* IGHG1*03 G1m3, nG1m1 CH1 R120, CH3 E12, M14, 6-G1v59-1 CH2 G1.2, R1.1, 14-G1v73 CH3 K7, K22 (CH1 R120 (215) (119''-216''), hinge 1-15 (217'', 231''), CH2 L1.2>G (236''), G1.1>R (237'') (232''-341''), CH3 L7>K (352''), E12 (357''), M14 (359''), T22>K (367'') (342''-446''), CHS K2>del (447'')) (119''-447'')], (221''-214'')-disulfide with common L-kappa light chain *Homo sapiens* (1'''-214''') [V-KAPPA (*Homo sapiens* IGKV1-39*01 (100%) -IGKJ1*01 (100%), CDR-IMGT [6.3.9] (27'''-32''' .50'''-52''' .89'''-97''')) (1'''-107''') -*Homo sapiens* IGKC*01 (100%) Km3 A45.1, V101 (C-KAPPA A45.1 (153'''), V101 (191''')) (108'''-214''')]; dimer (236-227''': 239-230'')-bisdisulfide, produced in Chinese hamster ovary (CHO) cells, cell line CHO-DG44, glycoform alfa

immunosuppressant, antineoplastic

bésufétamig

immunoglobuline (H-gamma1_L-kappa)_(H-gamma1_L-kappa), anti-[*Homo sapiens* PDCD1 (protéine 1 de mort cellulaire programmée, PD-1, PD1, CD279)] et anti-[*Homo sapiens* CD3E (CD3 epsilon, Leu-4)], anticorps monoclonal *Homo sapiens*, bispécifique;

chaîne lourde H-gamma1 anti-PDCD1 *Homo sapiens* (1-456) [VH (*Homo sapiens* IGHV7-4-1*02 (90.8%) -(IGHD) -IGHJ3*01 (92.3%) M123>T (122), CDR-IMGT [8.8.20] (26-33.51-58.97-116))] (1-127) -*Homo sapiens* IGHG1*03 G1m3, nG1m1 CH1 R120, CH3 E12, M14, 6-G1v59-1 CH2 G1.2, R1.1, 14-G1v72 CH3 D7, E24 (CH1 R120 (224) (128-225), charnière 1-15 (226-240), CH2 L1.2>G (245), G1.1>R (246) (241-350), CH3 L7>D (361), E12 (366), M14 (368), L24>E (378) (351-455), CHS K2>del (456)) (128-456)], (230-214')-disulfure avec la chaîne légère commune L-kappa *Homo sapiens* (1'-214') [V-KAPPA (*Homo sapiens* IGKV1-39*01 (100%) -IGKJ1*01 (100%), CDR-IMGT [6.3.9] (27'-32'.50'-52'.89'-97')) (1'-107') -*Homo sapiens* IGKC*01 (100%) Km3 A45.1, V101 (C-KAPPA A45.1 (153'), V101 (191')) (108'-214')];

chaîne lourde H-gamma1 anti-CD3E *Homo sapiens* (1'-447") [VH (*Homo sapiens* IGHV3-30-5*03 (88.8%) -(IGHD) -IGHJ5*02 (100%), CDR-IMGT [8.8.11] (26"-33".51"-58".97"-107")) (1"-118") -*Homo sapiens* IGHG1*03 G1m3, nG1m1 CH1 R120, CH3 E12, M14, 6-G1v59-1 CH2 G1.2, R1.1, 14-G1v73 CH3 K7, K22 (CH1 R120 (215) (119"-216"), charnière 1-15 (217", 231"), CH2 L1.2>G (236"), G1.1>R (237") (232"-341"), CH3 L7>K (352"), E12 (357"), M14 (359"), T22>K (367") (342"-446"), CHS K2>del (447")) (119"-447"), (221"-214"")-disulfure avec la chaîne légère commune L-kappa *Homo sapiens* (1""-214"" [V-KAPPA (*Homo sapiens* IGKV1-39*01 (100%) -IGKJ1*01 (100%), CDR-IMGT [6.3.9] (27""-32"".50""-52"".89""-97"")) (1""-107"" -*Homo sapiens* IGKC*01 (100%) Km3 A45.1, V101 (C-KAPPA A45.1 (153""), V101 (191"")) (108""-214""); dimère (236-227": 239-230")-bisdisulfure, produit dans des cellules ovariennes de hamster chinois (CHO), lignée cellulaire CHO-DG44, glycoforme alfa

immunosuppresseur, antinéoplasique

besufetamig

immunoglobulina (H-gamma1_L-kappa)_(H-gamma1_L-kappa), anti-[*Homo sapiens* PDCD1 (proteína 1 de muerte celular programada, PD-1, PD1, CD279)] y anti-[*Homo sapiens* CD3E (CD3 épsilon, Leu-4)], anticuerpo monoclonal *Homo sapiens*, biespecífico;

cadena pesada H-gamma1 anti-PDCD1 *Homo sapiens* (1-456) [VH (*Homo sapiens* IGHV7-4-1*02 (90.8%) -(IGHD) -IGHJ3*01 (92.3%) M123>T (122), CDR-IMGT [8.8.20] (26-33.51-58.97-116))] (1-127) -*Homo sapiens* IGHG1*03 G1m3, nG1m1 CH1 R120, CH3 E12, M14, 6-G1v59-1 CH2 G1.2, R1.1, 14-G1v72 CH3 D7, E24 (CH1 R120 (224) (128-225), bisagra 1-15 (226-240), CH2 L1.2>G (245), G1.1>R (246) (241-350), CH3 L7>D (361), E12 (366), M14 (368), L24>E (378) (351-455), CHS K2>del (456)) (128-456)], (230-214')-disulfuro con la cadena ligera común L-kappa *Homo sapiens* (1'-214') [V-KAPPA (*Homo sapiens* IGKV1-39*01 (100%) -IGKJ1*01 (100%), CDR-IMGT [6.3.9] (27'-32'.50'-52'.89'-97')) (1'-107') -*Homo sapiens* IGKC*01 (100%) Km3 A45.1, V101 (C-KAPPA A45.1 (153'), V101 (191')) (108'-214')];

cadena pesada H-gamma1 anti-CD3E *Homo sapiens* (1"-447") [VH (*Homo sapiens* IGHV3-30-5*03 (88.8%) -(IGHD) -IGHJ5*02 (100%), CDR-IMGT [8.8.11] (26"-33".51"-58".97"-107")) (1"-118") -*Homo sapiens* IGHG1*03 G1m3, nG1m1 CH1 R120, CH3 E12, M14, 6-G1v59-1 CH2 G1.2, R1.1, 14-G1v73 CH3 K7, K22 (CH1 R120 (215) (119"-216"), bisagra 1-15 (217", 231"), CH2 L1.2>G (236"), G1.1>R (237") (232"-341"), CH3 L7>K (352"), E12 (357"), M14 (359"), T22>K (367") (342"-446"), CHS K2>del (447")) (119"-447")], (221"-214")-disulfuro con la cadena ligera común L-kappa *Homo sapiens* (1"-214") [V-KAPPA (*Homo sapiens* IGKV1-39*01 (100%) -IGKJ1*01 (100%), CDR-IMGT [6.3.9] (27"-32".50"-52".89"-97")) (1"-107") -*Homo sapiens* IGKC*01 (100%) Km3 A45.1, V101 (C-KAPPA A45.1 (153"), V101 (191")) (108"-214")]; dímero (236-227": 239-230")-bisulfuro, producido en las células ováricas de hámster chino (CHO), línea celular CHO-DG44, forma glicosilada alfa

3037124-22-1

Heavy chain / Chaîne lourde / Cadena pesada: H-gamma1 anti-PDCD1 (H)
 VQQLVQSGSE LKQPGASVKV SCKASGYTFT HYALHWLRQA PGQGLEWMMGW 50
 LNTNTENPTF AQQGTGRFVF SLDTSVTTAY LQISSLKAED TAVYYCARGD 100
 MVVPTT IWNV YHFMVWGGQ TTVTIVSSAST KGPSVFFPLAP SSKSTSGGTA 150
 ALGCLVKDYF PEPVTVSWNS GALTSGVHTF PAVLQSSGLY SLSSVTVPS 200
 SSLGTQTYIC NVNHKPSNTK VDKRVEPKSC DKHTHTCPPCP APELGRGSPV 250
 FLFPPKPKDT LMISRTPEVT CVVVDVSHED PEVKFNWYVD GVEVHNATK 300
 PREEQYNSTY RVVSVLTVLH QDWLNGKEYK CKVSNKALPA PIEKTIKAK 350
 GQPREPQVYV DPFPSREEMTK NQVSLTCEVK GFYPSDIAVE WESNGQPENN 400
 YKTTTPVLDL DGSFFLYSKL TVDKSRWQQG NRVFSCVMHE ALHNHYTQKS 450
 LSLSPG 456

Heavy chain / Chaîne lourde / Cadena pesada: H-gamma1 anti-CD3E (H)
 VQQLVQSGGG VVQPGRSRLR SCVASGFTFS SYGMHWVRQA PGRGLEWVAQ 50
 IWYNARKQEF SDSVKGRFTI SRDNSKNTLY LQMSLRAED TAVYYCTRGT 100
 GYNWFDPWGQ GLVTVVSSAS TKGPSVFFPLA PSSKSTSGGT AALGCLVKDY 150
 FPEPVTVSWN SGALTSVHT FPAVLQSSGL YSLSSVTVTP SSSLGTQTYI 200
 CNVNHKPSNT KVDKRVPEKS CDKHTHTCPPC PAVLQSSGLY VFLFPPKPKD 250
 TLMISRTPEV TCVVVDVSHED DPEVKFNWYVD DGVEVHNATK KPREEQYNST 300
 YRVVSVLTVL HQDWLNGKEYK CKVSNKALP APEKTIKAK KQPREPQVY 350
 TKPPSREEMT KNQVSLKCLV KGFYPSDIAV EWESNGQPEN NYKTTTPVLD 400
 SDGSFFLYSK LTVDKSRWQQ GNVFSCVMHE EALHNHYTQK SLSLSPG 447

Light chain / Chaîne légère / Cadena ligera: L-kappa common (L', L")
 DIQMTQSPSS LSASVGRDVT ITCRASQGIS SYLNWYQQKPK GKAPKLLIYA 50
 ASSLQSGVPS RFSGSGSGTD FTLTISLQPEDFATYYCQQ SYSTPPPTFGQ 100
 GTKVEIKRTV AAPSVFIFPP SDEQLKSGTA SVVCLLNNFY PREAKVQWVK 150
 DNALQSGNSQ ESVTEQDSKD STYSLSSLT LSKADYSEKHK VYACEVTHQG 200
 LSSPVTKSFN RGEV 214

Post-translational modifications

Disulfide bridges location / Position des ponts disulfure / Posiciones de los puentes disulfuro

Intra-H (C23-C104) 22-96 154-210 271-331 377-435
 22"-96" 145"-201" 262"-322" 368"-426"

Intra-L (C23-C104) 23"-88" 134"-194"
 23"-88" 134"-194"

Intra-H-L (h 5-CL 126) 230-214" 221"-214"

Inter-H-H (h 11, h 14) 236-227" 239-230"

N-terminal glutaminyl cyclization / Cyclisation du glutaminyle N-terminal / Ciclación del glutaminilo N-terminal

Q > pyroglutamyl (pE, 5-oxopropyl) / pyroglutamyle (pE, 5-oxopropyle) / piroglutamilo (pE, 5-oxoprolilo)
 H VH Q1: 1, 1"

N-glycosylation sites / Sites de N-glycosylation / Posiciones de N-glicosilación

H CH2 N84.4: 307, 298"

Fucosylated complex bi-antennary CHO-type glycans / glycanes de type CHO bi-antennaires complexes fucosylés / glicanos de tipo CHO biantenaricos complejos fucosilados.

betovumelinum

betovumeline

(1*R*,5*R*)-1-(3-méthyl-1,2,4-oxadiazol-5-yl)-3-azabicyclo[3.1.0]hexane
muscarinic receptor agonist

bétovuméline

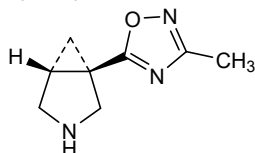
(1*R*,5*R*)-1-(3-méthyl-1,2,4-oxadiazol-5-yl)-3-azabicyclo[3.1.0]hexane
agoniste des récepteurs muscariniques

betovumelina

(1*R*,5*R*)-1-(3-metil-1,2,4-oxadiazol-5-il)-3-azabicyclo[3.1.0]hexano
agonista de los receptores muscarinicos

C₈H₁₁N₃O

1314018-44-4

**birelentinibum**

birelentinib

[(2*S*,5*S*)-5-{4-amino-5-[4-(2,3-difluorophenoxy)phényl]imidazo[5,1-*f*][1,2,4]triazin-7-yl}oxan-2-yl]méthanol
tyrosine kinase inhibitor, antineoplastic

birélatinib

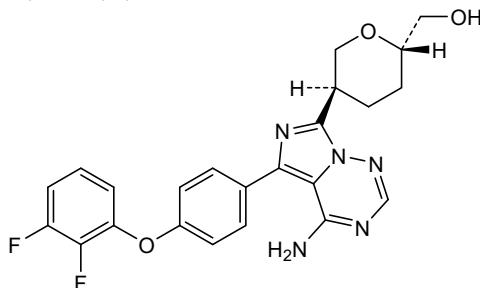
[(2*S*,5*S*)-5-{4-amino-5-[4-(2,3-difluorophénoxy)phényl]imidazo[5,1-*f*][1,2,4]triazin-7-yl}oxan-2-yl]méthanol
inhibiteur de tyrosine kinase, antinéoplasique

birelentinib

[(2*S*,5*S*)-5-{4-amino-5-[4-(2,3-difluorofenoxi)fenil]imidazo[5,1-*f*][1,2,4]triazin-7-il}oxan-2-il]metanol
inhibidor de la tirosina kinasa, antineoplásico

C₂₃H₂₁F₂N₅O₃

2662512-15-2

**blixeprodiolum**

blixeprodiol

(2*R*)-2-(4-fluorophényl)-2-(méthylamino)cyclohexan-1-one
N-methyl-D-aspartate (NMDA) receptor antagonist

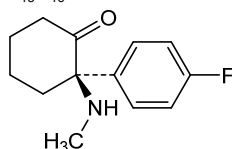
blixéprodiol

(2*R*)-2-(4-fluorophényl)-2-(méthylamino)cyclohexan-1-one
antagoniste des récepteurs du N-méthyl-D-aspartate (NMDA)

blixeprodil

(2R)-2-(4-fluorofenil)-2-(metilamino)ciclohexan-1-ona
*antagonista del receptor de N-metil-D-aspartato (NMDA)*C₁₃H₁₆FNO

2881017-49-6

**bocunebartum #**

bocunebart

immunoglobulin G1-kappa, anti-[*Homo sapiens* ADCYAP1 (adenylate cyclase-activating polypeptide 1, pituitary adenylyl cyclase-activating polypeptide, PACAP)], humanized monoclonal antibody;
H-gamma1 heavy chain humanized (1-442) [VH (*Homo sapiens* IGHV3-66*01 (81.4%) -(IGHD) -IGHJ1*01 (100%), CDR-IMGT [8.7.6] (26-33.51-57.96-101)) (1-112) -*Homo sapiens* IGHG1*03v, G1m3>G1m17, nG1m1 CH1 K120, CH3 E12, M14, 8-G1v29 CH2 A84.4 (CH1 R120>K (209) (113-210), hinge 1-15 (211-225), CH2 N84.4>A (292) (226-335), CH3 E12 (351), M14 (353) (336-440), CHS (441-442)) (113-442)], (215-216')-disulfide with L-kappa light chain humanized (1'-216') [V-KAPPA (*Homo sapiens* IGKV1-5*01 (85.4%) -IGKJ1*01 (90.0%) Q120>G (102'), CDR-IMGT [7.3.10] (27'-33'.51'-53'.90'-99')) (1'-109') -*Homo sapiens* IGKC*01 (100%) Km3 A45.1, V101 (C-KAPPA A45.1 (155'), V101 (193')) (110'-216')]; dimer (221-221''-224-224'')-bisdisulfide, produced in Chinese hamster ovary (CHO) cells, cell line CHO-DG44, non-glycosylated
anti-inflammatory

bocunebart

immunoglobuline G1-kappa, anti-[*Homo sapiens* ADCYAP1 (polypeptide 1 activant l'adénylate cyclase, polypeptide activant l'adénylate cyclase pituitaire, PACAP)]; anticorps monoclonal humanisé;
chaîne lourde H-gamma1 humanisée (1-442) [VH (*Homo sapiens* IGHV3-66*01 (81.4%) -(IGHD) -IGHJ1*01 (100%), CDR-IMGT [8.7.6] (26-33.51-57.96-101)) (1-112) -*Homo sapiens* IGHG1*03v, G1m3>G1m17, nG1m1 CH1 K120, CH3 E12, M14, 8-G1v29 CH2 A84.4 (CH1 R120>K (209) (113-210), charnière 1-15 (211-225), CH2 N84.4>A (292) (226-335), CH3 E12 (351), M14 (353) (336-440), CHS (441-442)) (113-442)], (215-216')-disulfure avec la chaîne légère L-kappa humanisée (1'-216') [V-KAPPA (*Homo sapiens* IGKV1-5*01 (85.4%) -IGKJ1*01 (90.0%) Q120>G (102'), CDR-IMGT [7.3.10] (27'-33'.51'-53'.90'-99')) (1'-109') -*Homo sapiens* IGKC*01 (100%) Km3 A45.1, V101 (C-KAPPA A45.1 (155'), V101 (193')) (110'-216')]; dimère (221-221''-224-224'')-bisdisulfure, produit dans des cellules ovariennes de hamster chinois (CHO), lignée cellulaire CHO-DG44, non-glycosylé
anti-inflammatoire

bocunebart

inmunoglobulina G1-kappa, anti-[*Homo sapiens* ADCYAP1 (polipéptido 1 activador de la adenilato ciclasa, polipéptido activador de la adenilato ciclasa pituitaria, PACAP)]; anticuerpo monoclonal humanizado;

cadena pesada H-gamma1 humanizada (1-442) [VH (*Homo sapiens* IGHV3-66*01 (81.4%) -(IGHD) -IGHJ1*01 (100%), CDR-IMGT [8.7.6] (26-33.51-57.96-101)) (1-112) -*Homo sapiens* IGHG1*03v, G1m3>G1m17, nG1m1 CH1 K120, CH3 E12, M14, 8-G1v29 CH2 A84.4 (CH1 R120>K (209) (113-210), bisagra 1-15 (211-225), CH2 N84.4>A (292) (226-335), CH3 E12 (351), M14 (353) (336-440), CHS (441-442)) (113-442)], (215-216')-disulfuro con la cadena ligera L-kappa humanizada (1'-216') [V-KAPPA (*Homo sapiens* IGKV1-5*01 (85.4%) -IGKJ1*01 (90.0%) Q120>G (102'), CDR-IMGT [7.3.10] (27'-33'.51'-53'.90'-99'')) (1'-109') -*Homo sapiens* IGKC*01 (100%) Km3 A45.1, V101 (C-KAPPA A45.1 (155'), V101 (193')) (110'-216')]; dímero (221-221":224-224")-bisdisulfuro, producido en las células ováricas de hámster chino (CHO), línea celular CHO-DG44, no glicosilado
antiinflamatorio

2984605-64-1

Heavy chain / Chaîne lourde / Cadena pesada

```
EVQLVESGGG LVQPGGSLRL SCAASGIDLN SYMTWVRQA PGKGLEWIGF 50
IDAGGDAYYA SWAKGRFTIS RDNSKNTVYL QMNSLRAEDT AVYFCARDLD 100
LWGQGTLLTVV SSASTKGPSV FPLAPSSKST SGGTAALGCL VKDYFFPEPVT 150
VSWNSGALTS GVHTFFPAVLQ SSGLYSLSSV VTPVSSSLGT QTYICNVNHK 200
PSNTKVDKVK EPKSCDKTHT CPPCPAPELL GGPVSVFLPPP KPKDTLMISR 250
TPEVTCVVVD VSHEDPEVKF NQWYVDGVEVH NAKTKPREEQ YASTYRVVSV 300
LTVLHQDWLW GKEYCKKVSN KALPAPIEKT ISKAKGQPRE PQVYITLPPSR 350
EEMTKNQVSL TCLVKGFYPS DIAVEWESNG QPENNYKTPP PVLDSGDSFF 400
LYSKLTVDKS RWQQGNVFSC SVMHEALHNN YTQKSLSLSP GK 442
```

Light chain / Chaîne légère / Cadena ligera

```
DIQLTQSPST LSASVGRVIT ITCQSSSESVY GNLYLAWFQQK PGKAPKFLIY 50
EASKLESQVP SRFSGSGSGT EFTLTISLSLQ PDDFATYYCA GGDISEGVAF 100
GGGTKVEIKR TVAAPSVEIF PPSDEQLKSG TASVVCLLNN FYPREKVVQW 150
KVDNALQSGN SQESVTEQDS KDSTYLSLST LTLISKADYEK HKVYACEVTH 200
QQLSSPVTKS FNRGEC 216
```

Post-translational modifications

Disulfide bridges location / Position des ponts disulfure / Posiciones de los puentes disulfuro

Intra-H (C23-C104) 22"-95" 139"-195" 256"-316" 362"-420"
22"-95" 139"-195" 256"-316" 362"-420"

Intra-L (C23-C104) 23'-89" 136'-196"
23"-89" 136"-196"

Inter-H-L (h 5-CL 126) 215-216' 215"-216"

Inter-H-H (h 11, h 14) 221-221" 224-224"

No N-glycosylation sites / pas de sites de N-glycosylation / ningún posición de N-glycosilación
H CH2 N84.4>A (8-G1v29): 292, 292"

C-terminal lysine clipping / Coupure de la lysine C-terminale / Recorte de lisina C-terminal
H CHS K2: 442, 442"

bretisilicinum

bretisilicin

N-ethyl-2-(5-fluoro-1*H*-indol-3-yl)-*N*-methylethan-1-amine
serotonin (5-HT_{2A}) receptor agonist

brétisilicine

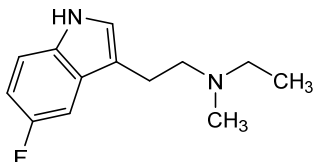
N-éthyl-2-(5-fluoro-1*H*-indol-3-yl)-*N*-méthyléthan-1-amine
agoniste des récepteurs de la sérotonine (5-HT_{2A})

bretisilocina

N-etil-2-(5-fluoro-1*H*-indol-3-il)-*N*-metiletan-1-amina
agonista del receptor de serotonina (5-HT_{2A})

C₁₃H₁₇FN₂

2698331-35-8

**catadegbrutinibum**

catadegbrutinib

3-*tert*-butyl-*N*-{[(1*R*)-1-[1³-methyl-8²,8⁴-dioxo-2⁷*H*-2(4,6)-pyrrolo[2,3-*d*]pyrimidina-8(1)-[1,3]diazinana-4(1,4)-piperazina-3(5,2)-pyridina-6(4,1)-piperidina-1(1),7(1,4)-dibenznaoctaphan-1⁴-yl]ethyl)-1,2,4-oxadiazole-5-carboxamide

Bruton tyrosine kinase degrader, antineoplastic

catadegbrutinib

3-*tert*-butyl-*N*-{[(1*R*)-1-[1³-méthyl-8²,8⁴-dioxo-2⁷*H*-2(4,6)-pyrrolo[2,3-*d*]pyrimidina-8(1)-[1,3]diazinana-4(1,4)-pipérazina-3(5,2)-pyridina-6(4,1)-pipéridina-1(1),7(1,4)-dibenzénaoctaphan-1⁴-yl]éthyl)-1,2,4-oxadiazole-5-carboxamide

dégradeur de tyrosine kinase de Bruton, antinéoplasique

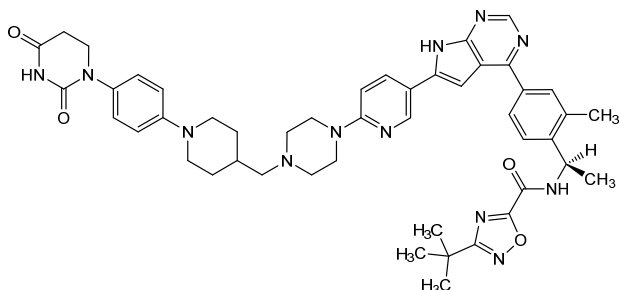
catadegbrutinib

3-*terc*-butil-*N*-{[(1*R*)-1-[1³-metil-8²,8⁴-dioxo-2⁷*H*-2(4,6)-pirrolo[2,3-*d*]pirimidina-8(1)-[1,3]diazinana-4(1,4)-piperazina-3(5,2)-piridina-6(4,1)-piperidina-1(1),7(1,4)-dibencnaoctafan-1⁴-il]etil)-1,2,4-oxadiazol-5-carboxamida

degradador de la tirosina kinasa de Bruton, antineoplásico

C₄₇H₅₄N₁₂O₄

2736508-60-2

**cendifensinum**

cendifensine

(3,4-dichlorophenyl)[(3*S*)-3-propylpyrrolidin-3-yl]methanone monoamine reuptake inhibitor

cendifensine

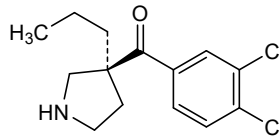
(3,4-dichlorophényl)[(3*S*)-3-propylpyrrolidin-3-yl]méthanone inhibiteur de la recapture des monoamines

cendifensina

(3,4-diclorofenil)[(3*S*)-3-propilpirrolidin-3-il]metanona modulador de la recaptación de monoaminas

C₁₄H₁₇Cl₂NO

1034048-49-1



cenvacibartum #
cenvacibart

immunoglobulin G4-kappa, anti-[*Homo sapiens* F11 (coagulation factor 11, coagulation factor XI, FXI, plasma thromboplastin antecedent, PTA)], *Homo sapiens* monoclonal antibody;
H-gamma4 heavy chain *Homo sapiens* (1-445) [VH (*Homo sapiens* IGHV3-11*01 (91.7%) -(IGHD) -IGHJ3*02 (100%), CDR-IMGT [8.8.11] (26-33.51-58.97-107)) (1-118) -*Homo sapiens* IGHG4*01, nG4m(a) CH2 L92, 12-G4v5 h P10(CH1 (119-216), hinge 1-12 S10>P (226) (217-228), CH2 L92 (307) (229-338), CH3 (339-443), CHS (444-445)) (119-445)], (132-214')-disulfide with L-kappa light chain *Homo sapiens* (1'-214') [V-KAPPA (*Homo sapiens* IGKV1-33*01 (95.8%) -IGKJ2*02 (100%), CDR-IMGT [6.3.9] (27'-32'.50'-52'.89'-97')) (1'-107') -*Homo sapiens* IGKC*01 (100%) Km3 A45.1, V101 (C-KAPPA A45.1 (153'), V101 (191')) (108'-214')]; dimer (224-224":227-227")-bisdisulfide, produced in Chinese hamster ovary (CHO) cells, cell line CHO-K1, glycoform alfa
anticoagulant

cenvacibart

immunoglobuline G4-kappa, anti-[*Homo sapiens* F11 (facteur de coagulation 11, facteur de coagulation XI, FXI, antécédent de la thromboplastine plasmatique, PTA)], anticorps monoclonal *Homo sapiens*;
chaîne lourde H-gamma4 *Homo sapiens* (1-445) [VH (*Homo sapiens* IGHV3-11*01 (91.7%) -(IGHD) -IGHJ3*02 (100%), CDR-IMGT [8.8.11] (26-33.51-58.97-107)) (1-118) -*Homo sapiens* IGHG4*01, nG4m(a) CH2 L92, 12-G4v5 h P10(CH1 (119-216), charnière 1-12 S10>P (226) (217-228), CH2 L92 (307) (229-338), CH3 (339-443), CHS (444-445)) (119-445)], (132-214')-disulfure avec la chaîne légère L-kappa *Homo sapiens* (1'-214') [V-KAPPA (*Homo sapiens* IGKV1-33*01 (95.8%) -IGKJ2*02 (100%), CDR-IMGT [6.3.9] (27'-32'.50'-52'.89'-97')) (1'-107') -*Homo sapiens* IGKC*01 (100%) Km3 A45.1, V101 (C-KAPPA A45.1 (153'), V101 (191')) (108'-214')]; dimère (224-224":227-227")-bisdisulfure, produit dans des cellules ovariennes de hamster chinois (CHO), lignée cellulaire CHO-K1, glycoforme alfa
anticoagulant

cenvacibart

inmunoglobulina G4-kappa, anti-[*Homo sapiens* F11 (factor de coagulación 11, factor de coagulación XI, FXI, antecedente de la tromboplastina plasmática, PTA)], anticuerpo monoclonal *Homo sapiens*;

cadena pesada H-gamma4 *Homo sapiens* (1-445) [VH (*Homo sapiens* IGHV3-11*01 (91.7%) -(IGHD) -IGHJ3*02 (100%), CDR-IMGT [8.8.11] (26-33.51-58.97-107)) (1-118) -*Homo sapiens* IGHG4*01, nG4m(a) CH2 L92, 12-G4v5 h P10(CH1 (119-216), bisagra 1-12 S10>P (226) (217-228), CH2 L92 (307) (229-338), CH3 (339-443), CHS (444-445)) (119-445)], (132-214')-disulfuro con la cadena ligera L-kappa *Homo sapiens* (1'-214') [V-KAPPA (*Homo sapiens* IGKV1-33*01 (95.8%) -IGKJ2*02 (100%), CDR-IMGT [6.3.9] (27'-32'.50'-52'.89'-97')) (1'-107') -*Homo sapiens* IGKC*01 (100%) Km3 A45.1, V101 (C-KAPPA A45.1 (153'), V101 (191')) (108'-214')]; dímero (224-224":227-227")-bisulfuro, producido en las células ováricas de hámster chino (CHO), línea celular CHO-K1, forma glicosilada alfa
anticoagulante

3008610-21-4

Heavy chain / Chaîne lourde / Cadena pesada
 QVQLVESGGG LVKPGGSLRL SCAASGFTFS DYSMNWIRQA PGKGLEWISY 50
 ISFSGNSIYY ADSVKGRFTI SRDNAKNSLY LQMNLSLRVED TAIYYCTSRD 100
 WGYAFDIWQG GTMVTVSSAS TKGFSVFLPA PCSRSTSEST AALGCLVRDY 150
 FPEFVTVSWN SGALTSVGHV FFAVLQSSGL YLSLSSVTVF SSSLGTRKTYT 200
 CNVDHHPSTN KVDRKRVESKY GPFCPPCPAP EFLGGFSVFL FPFKFRDTLM 250
 LSRTPEVTCV VVDVSGQDFE VSNWVYVDGV EVMNAKTRFR EEPFNSTIRV 300
 VSVLTVLHQD WLNKGEYKCK VSMKGLPSSI ERTISKARQG PREPQVITLP 350
 PSQEMTKNQ VSLTCLVKGF YPSDIAVERNE SNGQPENNYK TTPFVLDSDG 400
 SFPLYSLRVL DRSRWQEGNV FSCSVMHREAL HNHYTQKSLLS LSLGK 445

Light chain / Chaîne légère / Cadena ligera
 DIQMTQSPSF LSAALGDRVT ITCQASQDIS NYLNMWYQVK GKAPKLLIYD 50
 ASNLETGVPS RFGSGSGTD FTFTISLQEP EDIATYFCQQ YDNLPIYFGQ 100
 GTKLEIKRVT AAFSVFIFPP SDEQLKSGTA SVVCLLNIFY PREAKVQMKV 150
 DNALQSGNSQ ESVTEQDSKD STYLSLSTLT LSKADYERKH VYACEVTHQG 200
 LSSPVTKSFN RGEK 214

Post-translational modifications
 Disulfide bridges location / Position des ponts disulfure / Posiciones de los puentes disulfuro
 Intra-H (C23-C104) 22-96 145-201 259-319 365-423
 22"-96" 145"-201" 259"-319" 365"-423"
 Intra-L (C23-C104) 23"-88" 134"-194"
 23"-88" 134"-194"
 Inter-H-L (CH1 10-CL 126) 132-214' 132"-214"
 Inter-H-H (h 8, h 11) 224-224" 227-227"

N-terminal glutaminyl cyclization / Cyclisation du glutaminyle N-terminal / Ciclación del glutaminilo N-terminal
 Q > pyroglutamyl (pE, 5-oxopropyl) / pyroglutamyle (pE, 5-oxopropyle) / piroglutamilo (pE, 5-oxopropililo)
 H VH Q1: 1, 1"

N-glycosylation sites / Sites de N-glycosylation / Posiciones de N-glicosilación
 H CH2 N84.4: 295, 295"
 Fucosylated complex bi-antennary CHO-type glycans / glycanes de type CHO bi-antennaires complexes fucosylés / glicanos de tipo CHO biantenarios complejos fucosilados

C-terminal lysine clipping / Coupure de la lysine C-terminale / Recorte de lisina C-terminal
 H CHS K2: 445, 445"

cenestotugum #

cenestotug

immunoglobulin G1-kappa, anti-[*Homo sapiens* TNFRSF4 (tumor necrosis factor receptor (TNFR) superfamily member 4, OX40, CD134)], monoclonal antibody;

H-gamma1 heavy chain (1-443) [VH Musmus/Homsap (*Mus musculus* IGHV2-2*01 (80.4%) -(IGHD) -IGHJ4*01 (91.7%) S123>L (108)/*Homo sapiens* IGHV3-30-5*03 (76.5%) -(IGHD) -IGHJ4*01 (92.9%), CDR-IMGT [8.7.7] (26-33.51-57.96-102)) (1-113) -*Homo sapiens* IGHG1*03v (100%) G1m3>G1m17, nG1m1 CH1 K120, CH3 E12, M14 (CH1 R120>K (210) (114-211), hinge 1-15 (212-226), CH2 (227-336), CH3 E12 (352), M14 (354) (337-441), CHS (442-443)) (114-443)], (216-214')-disulfide with L-kappa light chain (1'-214') [V-KAPPA (*Homo sapiens* IGKV1-33*01 (87.4%) -IGKJ4*01 (81.8%) V124>L (104'), I126>V (106'), CDR-IMGT [6.3.9] (27'-32'.50'-52'.89'-97')) (1'-107') -*Homo sapiens* IGKC*01 (100%) Km3 A45.1, V101 (C-KAPPA A45.1 (153'), V101 (191')) (108'-214')]; dimer (222-222":225-225")-bisulfide, produced in Chinese hamster ovary (CHO) cells, cell line CHO-K1, glycoform alfa
immunostimulant, antineoplastic

cenestotug

immunoglobuline G1-kappa, anti-[*Homo sapiens* TNFRSF4 (membre 4 de la superfamille des récepteurs des facteurs de nécrose tumorale (TNFR), OX40, CD134)]; anticorps monoclonal;

chaîne lourde H-gamma1 (1-443) [VH Musmus/Homsap (*Mus musculus* IGHV2-2*01 (80.4%) -(IGHD) -IGHJ4*01 (91.7%) S123>L (108)/*Homo sapiens* IGHV3-30-5*03 (76.5%) -(IGHD) -IGHJ4*01 (92.9%), CDR-IMGT [8.7.7] (26-33.51-57.96-102)) (1-113) -*Homo sapiens* IGHG1*03v (100%) G1m3>G1m17, nG1m1 CH1 K120, CH3 E12, M14 (CH1 R120>K (210) (114-211), charnière 1-15 (212-226), CH2 (227-336), CH3 E12 (352), M14 (354) (337-441), CHS (442-443)) (114-443)], (216-214')-disulfure avec la chaîne légère L-kappa (1'-214') [V-KAPPA (*Homo sapiens* IGHV1-33*01 (87.4%) -IGKJ4*01 (81.8%) V124>L (104'), I126>V (106'), CDR-IMGT [6.3.9] (27'-32'.50'-52'.89'-97'')) (1'-107') -*Homo sapiens* IGKC*01 (100%) Km3 A45.1, V101 (C-KAPPA A45.1 (153'), V101 (191')) (108'-214''); dimère (222-222'':225-225'')-bisdisulfure, produit dans des cellules ovariennes de hamster chinois (CHO), lignée cellulaire CHO-K1, glycoforme alfa *immunostimulant, antinéoplasique*

cenestetog

inmunoglobulina G1-kappa, anti-[*Homo sapiens* TNFRSF4 (miembro 4 de la superfamilia de los receptores de los factores de necrosis tumoral (TNFR), OX40, CD134)]; anticuerpo monoclonal; cadena pesada H-gamma1 (1-443) [VH Musmus/Homsap (*Mus musculus* IGHV2-2*01 (80.4%) -(IGHD) -IGHJ4*01 (91.7%) S123>L (108)/*Homo sapiens* IGHV3-30-5*03 (76.5%) -(IGHD) -IGHJ4*01 (92.9%), CDR-IMGT [8.7.7] (26-33.51-57.96-102)) (1-113) -*Homo sapiens* IGHG1*03v (100%) G1m3>G1m17, nG1m1 CH1 K120, CH3 E12, M14 (CH1 R120>K (210) (114-211), bisagra 1-15 (212-226), CH2 (227-336), CH3 E12 (352), M14 (354) (337-441), CHS (442-443)) (114-443)], (216-214')-disulfuro con la cadena ligera L-kappa (1'-214') [V-KAPPA (*Homo sapiens* IGHV1-33*01 (87.4%) -IGKJ4*01 (81.8%) V124>L (104'), I126>V (106'), CDR-IMGT [6.3.9] (27'-32'.50'-52'.89'-97'')) (1'-107') -*Homo sapiens* IGKC*01 (100%) Km3 A45.1, V101 (C-KAPPA A45.1 (153'), V101 (191')) (108'-214''); dímero (222-222'':225-225'')-bisdisulfuro, producido en las células ováricas de hámster chino (CHO), línea celular CHO-K1, forma glicosilada alfa *immunoestimulante, antineoplásico*

3014361-58-8

Heavy chain / Chaîne lourde / Cadena pesada

QVQLVDSGEG	VVQPGRLRI	SCAVSGSFLT	SYGVLWVRQA	PGKLEWLVG	50
IWSGGSTDTN	AAFISRLTIS	RDNKSTVYF	QMNSLRAEDT	AVYVCAREEF	100
GYWGQQTTLT	VSSASTKGPS	VFPLAPSSKS	TSGGTAALCG	LVKDYFPEPV	150
TVSWNSGALT	SGVHTFPAVL	QSSGLYSLSS	VVTVPSSSLG	TQTYICNVNH	200
KPSNTKVDKK	VEPKSKDKTH	TCPCPAPEL	LGGPSVFLFP	PKPKDTLMIS	250
RTPVEVTCVVV	DVSHEDPEVK	FNWYVDGVEV	HNAKTKPREE	QYNSTYRVVS	300
VLTVLHQDLN	NGKEYKCKVS	NKALPAPIEK	TISKAKGQPR	EPQVYTLPPS	350
REEMTKNQVS	LTCLVKGFYF	SDIAVEWESN	GQPENNYKTT	PVFLDSGDSG	400
FLYSLKLVDR	SRWQGGNVFS	CSVMHEALHN	HYTQKSLSL	PGK	443

Light chain / Chaîne légère / Cadena ligera

DIQMTQSPFS	LSASVGRDVT	ITCRASQDIN	NYLNWYQQK	GGAVKLLIYY	50
TSRLHTGVPS	RFGSGSGTD	FLLIISLLQP	EDIATYTCQQ	TNTLPTWTFGG	100
GTKLEVKRTV	AAPSVFIFFP	SDEQLKSGTA	SVVCLLNNFY	FREAKVQWKV	150
DNALQSGNSQ	ESVTEQDSKD	STYLSLSTLT	LSKADYEKHK	VYACEVTHQG	200
LSSPVTKSFN	RGEC				214

Post-translational modifications

Disulfide bridges location / Position des ponts disulfure / Posiciones de los puentes disulfuro

Intra-H (C23-C104)	22-95	140-196	257-317	363-421
	22"-95"	140"-196"	257"-317"	363"-421"

Intra-L (C23-C104)	23-88	134-194
	23"-88"	134"-194"

Inter-H-L (h 5-CL 126) 216-214' 216"-214"

Inter-H-H (h 11, h 14) 222-222" 225-225"

N-terminal glutaminyl cyclization / Cyclisation du glutaminyle N-terminal / Ciclación del glutaminilo N-terminal

Q > pyrroglutamyl (pE, 5-oxoprollyl) / pyrroglutamyle (pE, 5-oxoprollyle) / piroglutamilo (pE, 5-oxoprolililo)
H VH Q1: 1, 1"

N-glycosylation sites / Sites de N-glycosylation / Posiciones de N-glicosilación

H CH2 N84.4: 293, 293"

Fucosylated complex bi-antennary CHO-type glycans / glycanes de type CHO bi-antennaires complexes fucosylés / glicanos de tipo CHO biantennarios complejos fucosilados

C-terminal lysine clipping / Coupure de la lysine C-terminale / Recorte de lisina C-terminal

H CHS K2: 443, 443"

ceperognastatum

ceperognastat

N-[4-fluoro-5-((2*S*,4*S*)-2-méthyl-4-[(5-méthyl-1,2,4-oxadiazol-3-yl)méthoxy]pipéridin-1-yl)méthyl)-1,3-thiazol-2-yl]acétamide
O-GlcNAcase (OGA) enzyme inhibitor

cépérogénastat

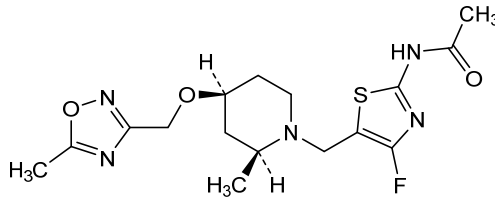
N-[4-fluoro-5-((2*S*,4*S*)-2-méthyl-4-[(5-méthyl-1,2,4-oxadiazol-3-yl)méthoxy]pipéridin-1-yl)méthyl)-1,3-thiazol-2-yl]acétamide
inhibiteur de l'enzyme O-GlcNAcase (OGA)

ceperognastat

N-[4-fluoro-5-((2*S*,4*S*)-2-metil-4-[(5-metil-1,2,4-oxadiazol-3-il)métoxi]pipéridin-1-il)métil)-1,3-tiazol-2-il]acétamida
inhibidor del enzima O-GlcNAcase (OGA)

C₁₆H₂₂FN₅O₃S

2241514-56-5

**ciltistotugum #**

ciltistotug

immunoglobulin G2-kappa, anti-[*Homo sapiens* CD40 (TNFRSF5, tumor necrosis factor receptor (TNFR) superfamily member 5, p50)], monoclonal antibody;
H-gamma2 heavy chain (1-441) [VH Musmus/Homsap (*Mus musculus* IGHV1-47-14*01 (84.7%) -(IGHD) -IGHJ2*01 (100%)/*Homo sapiens* IGHV1-2*02 (79.6%) -(IGHD) -IGHJ6*01 (90.9%) V124>L (111), CDR-IMGT [8.8.8] (26-33.51-58.97-104)) (1-115) -*Homo sapiens* IGHG2*01 G2m.. (100%) CH2 V45.1 (CH1 (116-213), hinge 1-12 (214-225), CH2 V45.1 (276) (226-334), CH3 (335-439), CHS (440-441)) (116-441)], (129-219')-disulfide with L-kappa light chain (1'-219') [V-KAPPA Musmus/Homsap (*Mus musculus* IGKV1-110*01 (88.0%) -IGKJ1*01 (91.7%) L124>V (109')/*Homo sapiens* IGKV2-30*02 (88.0%) -IGKJ4*01 (100%), CDR-IMGT [11.3.9] (27'-37'.55'-57'.94'-102'') (1'-112') -*Homo sapiens* IGKC*01 (100%) Km3 A45.1, V101 (C-KAPPA A45.1 (158'), V101 (196'')) (113'-219'')]; dimer (217-217'':218-218'':221-221'':224-224'')-tetrakisdisulfide, produced in Chinese hamster ovary (CHO) cells, cell line CHO-K1, glycoform alfa
immunostimulant, antineoplastic

ciltistotug

immunoglobuline G2-kappa, anti-[*Homo sapiens*CD40 (TNFRSF5, membre 5 de la superfamille des récepteurs des facteurs de nécrose tumorale (TNFR), p50)], anticorps monoclonal;
chaîne lourde H-gamma2 (1-441) [VH Musmus/Homsap (*Mus musculus* IGHV1-47-14*01 (84.7%) -(IGHD) -IGHJ2*01 (100%)/*Homo sapiens* IGHV1-2*02 (79.6%) -(IGHD) -IGHJ6*01 (90.9%) V124>L (111), CDR-IMGT [8.8.8] (26-33.51-58.97-104)) (1-115) -*Homo sapiens* IGHG2*01 G2m.. (100%) CH2 V45.1 (CH1 (116-213), charnière 1-12 (214-225), CH2 V45.1 (276) (226-334), CH3 (335-439), CHS (440-441)) (116-441)], (129-219')-disulfure avec la chaîne

légère kappa (1'-219') [V-KAPPA Musmus/Homsap (*Mus musculus* IGKV1-110*01 (88.0%) -IGKJ1*01 (91.7%) L124>V (109')/*Homo sapiens* IGKV2-30*02 (88.0%) -IGKJ4*01 (100%), CDR-IMGT [11.3.9] (27'-37'.55'-57'.94'-102')) (1'-112') -*Homo sapiens* IGKC*01 (100%) Km3 A45.1, V101 (C-KAPPA A45.1 (158'), V101 (196')) (113'-219')]; dimère (217-217":218-218":221-221":224-224")-tétrakisdisulfure, produit dans des cellules ovariennes de hamster chinois (CHO), lignée cellulaire CHO-K1, glycoforme alfa immunostimulant, antinéoplasique

ciltistotug

immunoglobulina G2-kappa, anti-[*Homo sapiens* CD40 (TNFRSF5, miembro 5 de la superfamilia de los receptores de los factores de necrosis tumoral (TNFR), p50)], anticuerpo monoclonal; cadena pesada H-gamma2 (1-441) [VH Musmus/Homsap (*Mus musculus* IGHV1-47-14*01 (84.7%) -(IGHD) -IGHJ2*01 (100%)/*Homo sapiens* IGHV1-2*02 (79.6%) -(IGHD) -IGHJ6*01 (90.9%) V124>L (111), CDR-IMGT [8.8] (26-33.51-58.97-104)) (1-115) -*Homo sapiens* IGHG2*01 G2m.. (100%) CH2 V45.1 (CH1 (116-213), bisagra 1-12 (214-225), CH2 V45.1 (276) (226-334), CH3 (335-439), CHS (440-441)) (116-441)], (129-219')-disulfuro con la cadena ligera kappa (1'-219') [V-KAPPA Musmus/Homsap (*Mus musculus* IGKV1-110*01 (88.0%) -IGKJ1*01 (91.7%) L124>V (109')/*Homo sapiens* IGKV2-30*02 (88.0%) -IGKJ4*01 (100%), CDR-IMGT [11.3.9] (27'-37'.55'-57'.94'-102')) (1'-112') -*Homo sapiens* IGKC*01 (100%) Km3 A45.1, V101 (C-KAPPA A45.1 (158'), V101 (196')) (113'-219')]; dímero (217-217":218-218":221-221":224-224")-tetraakisdisulfuro, producido en las células ováricas de hámster chino (CHO), línea celular CHO-K1, forma glicosilada alfa immunostimulante, antineoplásico

3014361-59-9

Heavy chain / Chaîne lourde / Cadena pesada

QVQLVQSGAE VKKPGASVKL SCKASGYTFI SYIYIWVKQA PGQGLEWIGG 50
 INPRNGGTNF NEKFKSRATL TVDTSISTAY MELSLRSED TAVYCYTRHG 100
 NQYVWGQGT LTVSASTKSG PSVFLPAPCS RSTSESTAAL GCLVKDYFPE 150
 PIVTWSNLSGA LITSGVHTFPA VLQSSGLYSL SSVVTVPSSN FGTQTYTCNV 200
 DHKPSNTKVD RTVERKCCVE CPKCPAPVVA GPSVFLPPPK PKDTLMSRT 250
 PEVTCVVVDV SHEDPEVQFN WYVDGVEVHN AKTKPREEQF NSTFRVSVSL 300
 TVVHQDWLNG KEYKCKVSNK GLPAPIEKTI SKTKGQPREP QVYTLPPSRE 350
 EMTKQVSLT CLVKGFPYPSD IAVEWESNGQ PENNYKTTTP MLDSGGSFFL 400
 YSKLTVDKSR WQQGNVFSKS VMHEALHNHY TQKSLSLSPG K 441

Light chain / Chaîne légère / Cadena ligera

DVVTQSPFLS LPVTLGQPAS ISCRSSQSLL HSNQNTYLHW YQRRPGQSPN 50
 HLIYQVSNRF SGVPDRFSGS GSGTDFTLKI SRVEAEDVGV YFCSQTHVP 100
 WTFGGGTVKE IKRTVAAPSV FIFPPSDEQL KSGTASVCL LNNFYFREAK 150
 VQMKVDNALQ SGNSQESVTE QDSKSTYSL SSSLTLSKAD YEKHKVYACE 200
 VTHQGLSSPV TKSFNRGEC 219

Post-translational modifications

Disulfide bridges location / Position des ponts disulfure / Posiciones de los puentes disulfuro

Intra-H (C23-C104) 22-96 142-198 255-315 361-419

22"-96" 142"-198" 255"-315" 361"-419"

Intra-L (C23-C104) 23"-93" 139"-199"

23"-93" 139"-199"

Inter-H-L (CH1 10-CL 126) 129-219' 129"-219"

Inter-H-H (h 4, h 5, h 8, h 11) 217-217" 218-218" 221-221" 224-224"

N-terminal glutaminylation / Cyclisation du glutaminy le N-terminal / Ciclación del glutaminylo N-terminal

Q> pyroglutamyl (pE, 5-oxopropyl) / pyroglutamyle (pE, 5-oxopropyle) / piroglutamilo

(pE, 5-oxopropilo)

H VH Q1: 1, 1"

N-glycosylation sites / Sites de N-glycosylation / Posiciones de N-glicosilación

H CH2 N84.4: 291, 291"

Fucosylated complex bi-antennary CHO-type glycans / glycanes de type CHO bi-antennaires

complexes fucosylés / glicanos de tipo CHO biantennarios complejos fucosilados

C-terminal lysine clipping / Coupure de la lysine C-terminale / Recorte de lisina C-terminal

H CHS K2: 441, 441"

cirtociclibum

cirtociclib

N-[5-(difluorométhoxy)-1*H*-pyrazol-3-yl]-1-[(oxan-4-yl)méthyl]-1*H*-pyrazolo[3,4-*b*]pyrazin-6-amine
cyclin-dependent kinase inhibitor, antineoplastic

cirtociclib

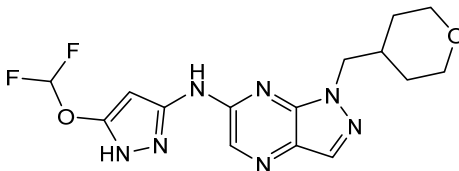
N-[5-(difluorométhoxy)-1*H*-pyrazol-3-yl]-1-[(oxan-4-yl)méthyl]-1*H*-pyrazolo[3,4-*b*]pyrazin-6-amine
inhibiteur de la kinase cycline-dépendante, antinéoplasique

cirtociclib

N-[5-(difluorometoxi)-1*H*-pirazol-3-il]-1-[(oxan-4-il)metil]-1*H*-pirazolo[3,4-*b*]pirazin-6-amina
inhibidor de la kinasa dependiente de ciclinas, antineoplásico

C₁₅H₁₇F₂N₇O₂

2888704-84-3

**claseprubartum #**

claseprubart

immunoglobulin G4-kappa, anti-[*Homo sapiens* C1S (complement C1s)], *Homo sapiens* monoclonal antibody;
 H-gamma4 heavy chain *Homo sapiens* (1-443) [VH (*Homo sapiens* IGHV3-11*01 (96.9%) -(IGHD) - IGHJ1*01 (100%), CDR-IMGT [8.8.10] [26-33.51-58.97-106]) (1-117) -*Homo sapiens* IGHG4*01, *nG4m(a)* CH2 L92, 12-G4v5 h P10, 6-G4v3 CH2 E1.2, 9-G4v21 CH2 Y15.1, T16, E18 (CH1 (118-215), hinge 1-12 S10>P (225) (216-227), CH2 L1.2>E (232), M15.1>Y (249), S16>T (251), T18>E (253), L92 (306) (228-337), CH3 (338-442), CHS K2>del (443)) (118-443)], (131-214')-disulfide with L-kappa light chain *Homo sapiens* (1'-214') [V-KAPPA (*Homo sapiens* IGKV1-33*01 (95.8%) - IGKJ4*01 (100%), CDR-IMGT [6.3.9] (27'-32'.50'-52'.89'-97')) (1'-107') -*Homo sapiens* IGKC*01 (100%) Km3 A45.1, V101 (C-KAPPA A45.1 (153'), V101 (191')) (108'-214')]; dimer (223-223":226-226")-bisdisulfide, produced in Chinese hamster ovary (CHO) cells, cell line CHO-K1, glycoform alfa
immunosuppressant

claséprubart

immunoglobuline G4-kappa, anti-[*Homo sapiens* C1S (complément C1s)], anticorps monoclonal *Homo sapiens*;
 chaîne lourde H-gamma4 *Homo sapiens* (1-443) [VH (*Homo sapiens* IGHV3-11*01 (96.9%) -(IGHD) - IGHJ1*01 (100%), CDR-IMGT [8.8.10] [26-33.51-58.97-106]) (1-117) -*Homo sapiens* IGHG4*01, *nG4m(a)* CH2 L92, 12-G4v5 h P10, 6-G4v3 CH2 E1.2, 9-G4v21 CH2 Y15.1, T16, E18 (CH1 (118-215), charnière 1-12 S10>P (225) (216-227), CH2 L1.2>E (232), M15.1>Y (249), S16>T (251), T18>E (253), L92 (306) (228-337), CH3 (338-442), CHS K2>del (443)) (118-443)], (131-214')-disulfure avec la chaîne légère L-kappa *Homo sapiens*

(1'-214') [V-KAPPA (*Homo sapiens* IGKV1-33*01 (95.8%) - IGKJ4*01 (100%), CDR-IMGT [6.3.9] (27'-32'.50'-52'.89'-97')) (1'-107') -*Homo sapiens* IGKC*01 (100%) Km3 A45.1, V101 (C-KAPPA A45.1 (153'), V101 (191')) (108'-214')]; dimère (223-223":226-226")-bisdisulfure, produit dans des cellules ovariennes de hamster chinois (CHO), lignée cellulaire CHO-K1, glycoforme alfa
immunosuppresseur

claseprubart

inmunoglobulina G4-kappa, anti-[*Homo sapiens* C1S (complemento C1s)], anticuerpo monoclonal *Homo sapiens*;
cadena pesada H-gamma4 *Homo sapiens* (1-443) [VH (*Homo sapiens* IGHV3-11*01 (96.9%) -(IGHD) -IGHJ1*01 (100%), CDR-IMGT [8.8.10] (26-33.51-58.97-106)) (1-117) -*Homo sapiens* IGHG4*01, nG4m(a) CH2 L92, 12-G4v5 h P10, 6-G4v3 CH2 E1.2, 9-G4v21 CH2 Y15.1, T16, E18 (CH1 (118-215), bisagra 1-12 S10>P (225) (216-227), CH2 L1.2>E (232), M15.1>Y (249), S16>T (251), T18>E (253), L92 (306) (228-337), CH3 (338-442), CHS K2>del (443)) (118-443)], (131-214')-disulfuro con la cadena ligera L-kappa *Homo sapiens* (1'-214') [V-KAPPA (*Homo sapiens* IGKV1-33*01 (95.8%) -IGKJ4*01 (100%), CDR-IMGT [6.3.9] (27'-32'.50'-52'.89'-97')) (1'-107') -*Homo sapiens* IGKC*01 (100%) Km3 A45.1, V101 (C-KAPPA A45.1 (153'), V101 (191')) (108'-214')]; dímero (223-223":226-226")-bisdisulfuro, producido en las células ováricas de hámster chino (CHO), línea celular CHO-K1, forma glicosilada alfa
inmunosupresor

2922766-89-8

Heavy chain / Chaîne lourde / Cadena pesada

```
EVQLVESGGG LVKPGGSLRL SCAASGFTFS DYMSWIRQA PGKGLEWVSY 50
ISRSRGSTKYY ADSVKGRFTI SRDNAKNSLY LQMNSLRAED TAVYYCARDE 100
NYALDWGQG TLVTVSSAST KGPSVFPLAP CSRSTSESTA ALGCLVKDYF 150
PEPVTVSWNS GALTSGVHTF PAVLQSSGLY SLSSVTVPS SSLGTKTYTC 200
NVDHKPSNTK VDKRVESKYG PPCPPCPAPE FEGGSPVFLF PPKPKDTLYI 250
TREPEVTCVV VDVSQEDPEV QFNWYVDGVE VHNARKTPRE EQFNSTYRVV 300
SVLTVLHQDW LNKKEYKCKV SNKGLPSSIE KTISKAKGQP REPQVYTLPP 350
SQEEMTKNQV SLTCLVKGFY PSDIAVEWES NGQFENNYKT TTPVLDSDGS 400
FFLYSRLTVD KSRWQEGNVF SCSVMHEALH NHYTQKSLSL SLG 443
```

Light chain / Chaîne légère / Cadena ligera

```
DIQMTQSPSS LSASVGDRTV ITCQASQDIS NYLNWYQQK GKAPKLLIYD 50
ASNLETGVPS RFSGSGSGTD FTFITISLQP EDIATYYCQH YEDYPLTFGG 100
GTKVEIKRTV AAPSVFIFPP SDEQLKSGTA SVVCLLNFFY PRAKVVQWKV 150
DNALQSGNSQ ESVTEQDSKD STYLSLSLT LSKADYERHK VYACEVTHQG 200
LSSPVTKSFN RGEC 214
```

Post-translational modifications

Disulfide bridges location / Position des ponts disulfure / Posiciones de los puentes disulfuro

Intra-H (C23-C104) 22-96 144-200 258-318 364-422
22"-96" 144"-200" 258"-318" 364"-422"

Intra-L (C23-C104) 23'-88' 134'-194'
23"'-88"' 134"'-194"

Inter-H-L (CH1 10-CL 126) 131-214' 131"-214"

Inter-H-H (h 8, h 11) 223-223" 226-226"

N-glycosylation sites / Sites de N-glycosylation / Posiciones de N-glicosilación
H CH2 N84.4: 294, 294"

Fucosylated complex bi-antennary CHO-type glycans / glycanes de type CHO bi-antennaires complexes fucosylés / glicanos de tipo CHO biantennarios complejos fucosilados

claturafenibum

claturafenib

N-[2-chloro-3-[(5-chloro-3-methyl-4-oxo-3,4-dihydroquinazolin-6-yl)amino]-4-fluorophenyl]-3-fluoroazétidine-1-sulfonamide
B-Raf (BRAF) inhibitor, antineoplastic

claturafénib

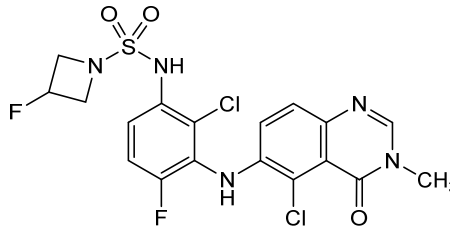
N-[2-chloro-3-[(5-chloro-3-méthyl-4-oxo-3,4-dihydroquinazolin-6-yl)amino]-4-fluorophényl]-3-fluoroazétidine-1-sulfonamide
inhibiteur de B-Raf (BRAF), antinéoplasique

claturafenib

N-[2-cloro-3-[(5-cloro-3-metil-4-oxo-3,4-dihidroquinazolin-6-il)amino]-4-fluorofenil]-3-fluoroazetidina-1-sulfonamida
inhibidor B-Raf (BRAF), antineoplásico

C₁₈H₁₅Cl₂F₂N₅O₃S

2754408-94-9

**cliramitugum #**

cliramitug

immunoglobulin G1-kappa, anti-[*Homo sapiens* TTR (transthyretin) amyloid], *Homo sapiens* monoclonal antibody; H-gamma1 heavy chain *Homo sapiens* (1-450) [VH (*Homo sapiens* IGHV4-39*01 (87.9%) -(IGHD) -IGHJ3*02 (100%), CDR-IMGT [10.7.12](26-35.53-59.98-109)) (1-120) -*Homo sapiens* IGHG1*03 (100%) G1m3, nG1m1 CH1 R120, CH3 E12, M14 (CH1 R120 (217) (121-218), hinge 1-15 (219-233), CH2 (234-343), CH3 E12 (359), M14 (361) (344-448), CHS (449-450)) (121-450)], (223-214')-disulfide with L-kappa light chain *Homo sapiens* (1'-214') [V-KAPPA (*Homo sapiens* IGKV1-39*01 (92.6%) -IGKJ1*01 (100%), CDR-IMGT [6.3.9] (27'-32'.50'-52'.89'-97')) (1'-107') -*Homo sapiens* IGKC*01 (100%) Km3 A45.1, V101 (C-KAPPA A45.1 (153'), V101 (191')) (108'-214')]; dimer (229-229":232-232")-bisdisulfide, produced in Chinese hamster ovary (CHO) cells, cell line CHO-K1, glycoform alfa
transthyretin inhibitor, amyloidosis

cliramitug

immunoglobuline G1-kappa, anti-[*Homo sapiens* TTR (transthyréline) amyloïde], anticorps monoclonal *Homo sapiens*; chaîne lourde H-gamma1 *Homo sapiens* (1-450) [VH (*Homo sapiens* IGHV4-39*01 (87.9%) -(IGHD) -IGHJ3*02 (100%), CDR-IMGT [10.7.12] (26-35.53-59.98-109)) (1-120) -*Homo sapiens* IGHG1*03 (100%) G1m3, nG1m1 CH1 R120, CH3 E12, M14 (CH1 R120 (217) (121-218), charnière 1-15 (219-233), CH2 (234-343), CH3 E12 (359), M14 (361) (344-448), CHS (449-450)) (121-450)], (223-214')-disulfure avec la chaîne légère L-kappa *Homo sapiens* (1'-214') [V-KAPPA (*Homo sapiens* IGKV1-39*01 (92.6%) -IGKJ1*01 (100%), CDR-IMGT [6.3.9] (27'-32'.50'-52'.89'-97')) (1'-107') -*Homo sapiens* IGKC*01 (100%) Km3 A45.1, V101 (C-KAPPA A45.1 (153'), V101 (191')) (108'-214')]; dimère (229-229":232-232")-bisdisulfure, produit dans des cellules ovariennes de hamster chinois (CHO), lignée cellulaire CHO-K1, glycoforme alfa
inhibiteur de la transthyréline, amylose

clirimitug

inmunoglobulina G1-kappa, anti-[*Homo sapiens* TTR (transtiretina) amiloide], anticuerpo monoclonal *Homo sapiens*; cadena pesada H-gamma1 *Homo sapiens* (1-450) [VH (*Homo sapiens* IGHV4-39*01 (87.9%) -(IGHD) -IGHJ3*02 (100%), CDR-IMGT [10.7.12] (26-35.53-59.98-109)) (1-120) -*Homo sapiens* IGHG1*03 (100%) G1m3, nG1m1 CH1 R120, CH3 E12, M14 (CH1 R120 (217) (121-218), bisagra 1-15 (219-233), CH2 (234-343), CH3 E12 (359), M14 (361) (344-448), CHS (449-450)) (121-450)], (223-214')-disulfuro con la cadena ligera L-kappa *Homo sapiens* (1'-214') [V-KAPPA (*Homo sapiens* IGKV1-39*01 (92.6%) -IGKJ1*01 (100%), CDR-IMGT [6.3.9] (27'-32'.50'-52'.89'-97')) (1'-107') -*Homo sapiens* IGKC*01 (100%) Km3 A45.1, V101 (C-KAPPA A45.1 (153'), V101 (191')) (108'-214')]; dímero (229-229":232-232")-bisulfuro, producido en las células ováricas de hámster chino (CHO), línea celular CHO-K1, forma glicosilada alfa *inhibidor de transtiretina, amiloidosis*

2965214-50-8

Heavy chain / Chaîne lourde / Cadena pesada

QLQLQESGPG LVKPSSETLSL TCSVSGGSI SRSSYWGWR QPPGKLEWI 50
 GGIYHSGNTY DNPSLKSRLT MSVDTSKNQF SLNLRSVTAA DTAVYYCARI 100
 VPGGDAFDIW GQGTMTVTVSS ASTKGPSVFP LAPSSKSTSG GTAALGCLVK 150
 DYFPEPVTVS WNSGALTSKV HTFPAVLQSS GLYSLSSVVT VPSSSLGTQT 200
 YICNVNKKPS NTKVDKRVPEP KSCDKTHTCP PCPAPELLGG PSVFLFPPPKP 250
 KDTLMISSRTP EVTTCVVDVSS HEDPEVKFNW YVDGVEVHNA KTKPREQYN 300
 STYRVVSVLT VLHQDWLNGK EYKCKVSNKA LPAPIEKTIK KAKGQPREPQ 350
 VYTLPPSREE MTKNQVSLTLC LVKGFYPSDI AVEWESNGQP ENNYKTTTPV 400
 LDSDSGSFFLY SKLTVDKSRW QQGNVFSCSV MHEALHNHYT QKSLSLSPGK 450

Light chain / Chaîne légère / Cadena ligera

DIQMTQSPSS LSASVGDRTV IACRASQSVG TYLNWYQQR GKAPKLLIFA 50
 ASSLQSGVPS RFGSGSGTD FTLTISLQF EDFATYCCQQ SYSSPPTFGQ 100
 GTKVEIKRTV AAPSVFIFPP SDEQLKSGTA SVVCLLNNFY PREAKVQWVK 150
 DNALQSGNSQ ESVTEQDSKD STYLSLSSTLT LSKADYEKHK VYACEVTHQG 200
 LSSPVTKSFN RGEK 214

Post-translational modifications

Disulfide bridges location / Position des ponts disulfure / Posiciones de los puentes disulfuro

Intra-H (C23-C104) 22-97 147-203 264-324 370-428
 22"-97" 147"-203" 264"-324" 370"-428"

Intra-L (C23-C104) 23'-88' 134'-194'
 23"'-88"" 134"'-194""

Inter-H-L (h 5-CL 126) 223-214' 223"-214""

Inter-H-H (h 11, h 14) 229-229" 232-232"

N-terminal glutaminyl cyclization / Cyclisation du glutaminyle N-terminal / Ciclación del glutaminilo N-terminal

Q > pyroglutamyl (pE, 5-oxopropyl) / pyroglutamyle (pE, 5-oxopropyle) / piroglutamilo (pE, 5-oxoprolilo)

H VH Q1: 1, 1"

N-glycosylation sites / Sites de N-glycosylation / Posiciones de N-glicosilación

H CH2 N84.4: 300, 300"

Fucosylated complex bi-antennary CHO-type glycans / glycanes de type CHO bi-antennaires complexes fucosylés / glicanos de tipo CHO biantenarios complejos fucosilados

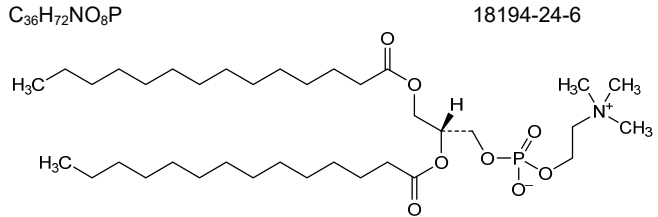
C-terminal lysine clipping / Coupure de la lysine C-terminale / Recorte de lisina C-terminal

H CHS K2: 450, 450"

colfoscerili miristas
 colfosceril miristate

(2*R*)-2,3-bis(tetradecanoyloxy)propyl 2-(trimethylazaniumyl)ethyl phosphate
surfactant replacement

- miristate de colfoscériel phosphate de (2*R*)-2,3-bis(tétradécanoyloxy)propyle et de 2-(triméthylazaniumyl)éthyle *surfactant pulmonaire*
- miristato de colfoscerilo fosfato de (2*R*)-2,3-bis(tetradecanoiloxi)propilo y 2-(trimetilazaniol)etilo *surfactante pulmonar*



colulintidium
colulintide

$N^{2,1}$ -acétyl- $N^{6,11}$ -[(22*S*)-22,42-dicarboxy-10,19,24-trioxo-3,6,12,15-tétraoxa-9,18,23-triazadotétracontan-1-oyl]calcitonin [*Anguilla japonica* (Japanese eel)], [C¹>A, N³>H, C⁷>A, Q¹⁴>2MeAla, Q²⁰>E, T²¹>D, G³⁰>E, T³¹>S]-variant;
N-acetyl-L-alanyl-L-seryl-L-histidyl-L-leucyl-L-seryl-L-thréonyl-L-alanyl-L-valyl-L-leucylglycyl- N^6 -({[*N*-(19-carboxynadécanoyl)-L-γ-glutamyl]amino}-10-oxo-3,6,12,15-tétraoxa-9-azaheptadécanoïc-1-oyl)-L-lysyl-L-leucyl-L-séryl-2-méthylalanyl-L-α-glutamyl-L-leucyl-L-histidyl-L-lysyl-L-leucyl-L-α-glutamyl-L-α-aspartyl-L-tyrosyl-L-prolyl-L-arginyl-L-thréonyl-L-α-aspartyl-L-valylglycyl-L-alanyl-L-α-glutamyl-L-seryl-L-prolylamide
amylin functional analogue, obesity

colulintide

$N^{2,1}$ -acétyl- $N^{6,11}$ -[(22*S*)-22,42-dicarboxy-10,19,24-trioxo-3,6,12,15-tétraoxa-9,18,23-triazadotétracontan-1-oyl]calcitonine [*Anguilla japonica* (anguille du Japon)], variant [C¹>A, N³>H, C⁷>A, Q¹⁴>2MeAla, Q²⁰>E, T²¹>D, G³⁰>E, T³¹>S];
N-acétyl-L-alanyl-L-séryl-L-histidyl-L-leucyl-L-séryl-L-thréonyl-L-alanyl-L-valyl-L-leucylglycyl- N^6 -({[*N*-(19-carboxynadécanoyl)-L-γ-glutamyl]amino}-10-oxo-3,6,12,15-tétraoxa-9-azaheptadécanoïc-1-oyl)-L-lysyl-L-leucyl-L-séryl-2-méthylalanyl-L-α-glutamyl-L-leucyl-L-histidyl-L-lysyl-L-leucyl-L-α-glutamyl-L-α-aspartyl-L-tyrosyl-L-prolyl-L-arginyl-L-thréonyl-L-α-aspartyl-L-valylglycyl-L-alanyl-L-α-glutamyl-L-séryl-L-prolylamide
analogue fonctionnel de l'amyline, obésité

colulintida

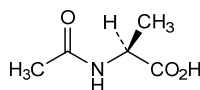
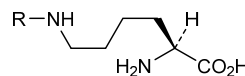
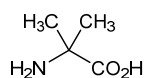
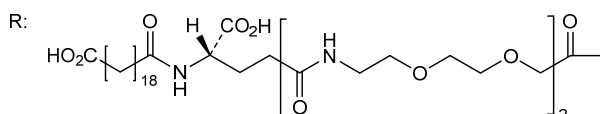
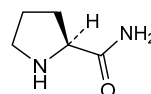
$N^{2,1}$ -acétyl- $N^{6,11}$ -[(22*S*)-22,42-dicarboxi-10,19,24-trioxo-3,6,12,15-tétraoxa-9,18,23-triazadotétracontan-1-oyl]calcitonina (*Anguilla japonica*), variante [C¹>A, N³>H, C⁷>A, Q¹⁴>2MeAla, Q²⁰>E, T²¹>D, G³⁰>E, T³¹>S];
N-acétyl-L-alanyl-L-seryl-L-histidyl-L-leucyl-L-seryl-L-treonil-L-alanyl-L-valil-L-leucilglycyl- N^6 -({[*N*-(19-carboxinadécanoil)-L-γ-glutamyl]amino}-10-oxo-3,6,12,15-tétraoxa-9-azaheptadécanoïc-1-oyl)-L-lisil-L-leucil-L-seryl-2-méthylalanyl-L-α-glutamyl-L-leucil-L-histidil-L-lisil-L-leucil-L-α-glutamyl-L-α-aspartil-L-tirosil-L-prolil-L-arginil-L-treonil-L-α-aspartil-L-valilglycyl-L-alanyl-L-α-glutamyl-L-seryl-L-prolilamide
análogo funcional de la amilina, obesidad

C₁₈₈H₃₀₉N₄₅O₆₂

2891912-36-8

ASHLSTAVLG KLSAELHKLE DYPRTDVGAE SP 32

Modified residues / Résidus modifiés / Restos modificados

A (1)
N-Ac-L-AlaK (11)
N⁶-R-L-LysA (14)
2-methyl-Ala, AibP (32)
L-Pro-NH₂**corabotatum #**
corabotase

botulinum neurotoxin type A (BoNT/A, botA) [*Clostridium botulinum* strain Hall (ATCC 3502, NCTC 13319)], heavy chain fragment (HC 1-424), fused to botulinum neurotoxin type B (BoNT/B, botB) (*Clostridium botulinum* strain Okra), heavy chain, C-terminal fragment (HC 419-850, 425-856 in the final protein), variant (E⁷⁵⁰>M⁷⁵⁶, S⁷⁵⁸>Y⁷⁶⁴), (6-429')-disulfide with botulinum neurotoxin type A (BoNT/A, botA) [*Clostridium botulinum* strain Hall (ATCC 3502, NCTC 13319)], des-Met⁰-light chain (LC 1'-437') (EC:3.4.24.69), produced by *Escherichia coli* muscle relaxant

corabotase

neurotoxine botulique de type A (BoNT/A, botA) [*Clostridium botulinum*, souche Hall (ATCC 3502, NCTC 13319)], chaîne lourde, fragment (HC 1-424), fusionné à la neurotoxine botulique de type B (BoNT/B, botB) (*Clostridium botulinum*, souche Okra), chaîne lourde, fragment C-terminal (HC 419-850, 425-856 dans la protéine finale), variant (E⁷⁵⁰>M⁷⁵⁶, S⁷⁵⁸>Y⁷⁶⁴), (6-429')-disulfure avec neurotoxine botulique de type A (BoNT/A, botA) [*Clostridium botulinum*, souche Hall (ATCC 3502, NCTC 13319)], chaîne légère dés-Met⁰ (LC 1'-437') (EC:3.4.24.69), produite par *Escherichia coli* relaxant musculaire

corabotasa

neurotoxina botulínica tipo A (BoNT/A, botA) [*Clostridium botulinum* cepa Hall (ATCC 3502, NCTC 13319)], cadena pesada, fragmento (HC 1-424), fusionada a neurotoxina botulínica tipo B (BoNT/B, botB) (*Clostridium botulinum* cepa Okra), cadena pesada, fragmento C-terminal (HC 419-850, 425-856 en la proteína final), variante (E⁷⁵⁰>M⁷⁵⁶, S⁷⁵⁸>Y⁷⁶⁴), (6-429')-

disulfuro con neurotoxina botulínica tipo A (BoNT/A, botA)
 [Clostridium botulinum cepa Hall (ATCC 3502, NCTC 13319)],
 cadena ligera des-Met⁰ (LC 1'-437') (EC:3.4.24.69), producida
 por Escherichia coli
 relajante muscular

2616765-46-7

Sequence / Séquence / Secuencia

Heavy chain / Chaîne lourde / Cadena pesada: BoNT/A + BoNT/B

ALNDLCLKVN	NWDLFFSPSE	DNFTNDLNKG	EEITSDTNIE	AAEENISLDL	50
IQQYYLTFNF	DNEPENISIE	NLSSDIIGQL	ELMPNIERFP	NGKKYELDKY	100
TMFHYLRAQE	FEHGKSRIAL	TNSVNEALLN	PSRVYTFPSS	DIYKVKVNAKAT	150
EAAMFLGWVE	QLVYDFTDET	SEVSTTDKIA	DITIIIPYIG	PALNIGNMPLY	200
KDDFVGLALIF	SGAVILLEFI	PEIAIPVLGT	FALVSYIANK	VLTVQITIDNA	250
LSKRNEKWE	VYKYIVTNWL	AKVNTQIDLI	RKKMKEALEN	QAEATKALIN	300
YQYNQYTEEE	KNNINFNIDD	LSSKLNESIN	KAMININKFL	NQCSVSYLMN	350
SMIPYGVKRL	EDFDASLKDA	LLKYIYDNRG	TLIGQVDRLK	DKVNNLTSTD	400
IPFQLSKYVD	NQRLSTFTE	YIKNILNNII	LNLRKDNLNL	IDLSGYGAKV	450
EVYDVELND	KNQFKLTSSA	NSKIRVTQNG	NIIFNSVFLD	FVSVFWIRIP	500
KYKNDGIQNY	IHNEYTIINC	MKNNSGWKIS	IRGNRIWTL	IDINGKTKSV	550
FFEYNIREDI	SEYINRWFFV	TITNNLNAK	IYINGKLESN	TDIKDIREVI	600
ANGEIIFKLD	GDIRTQPIW	MKYFSIFNTE	LSQSNIEERY	KIQSYSEYLK	650
DFWGNPLMYN	KEYYMFNAGN	KNSYIKLKKD	SPVGEILTRS	KYNQNSKYIN	700
YRDLYIGKEF	IIRKNSNSQS	INDDIVRKED	YIYLDFFNLN	QEWRYTYKY	750
FKKEMLKFL	APIYDSDEFY	NTIQIKEYDE	QPTYSCQLLF	KKDEESTDEI	800
GLIGIHRFYE	SGIVFEEYKD	YFCISKWYLK	EVKRKPYNLK	LGCNWFPIPK	850
DEGWE					856

Light chain / Chaîne légère / Cadena ligera: BoNT/A

PFVVKQFNKY	DPVNGVDIAY	IKIPNAGMQ	PVKAFKIHNK	IWVIPERDTF	50
TNPEEGDLNP	PPEAKQVPVS	YYDSTYLSTD	NEKDNYLKGV	TKLPERIYST	100
DLGRMLLTSI	VRGIPFWGGS	TIDTELKVID	TNCINVIQPD	GSYRSEELNL	150
VIIGPSADII	QFECKSFGHE	VLNLRNRYG	STQYIRFSPD	FTFGFEESLE	200
VDTNPLLGA	KFATDPAVTL	AHELHAGHR	LYGIAINPNR	VFKVNTNAYY	250
EMSGLEVSFE	ELRTFGGHDA	KFIDSLQENE	FRLYYXKFK	DIASLTNNAK	300
SIVGTTASLQ	YMKNVFKKEY	LLEDTSQKGF	SVDKLKFDKL	YKMLTEIYTE	350
DNFVKFKVVL	NRKTYLNFDK	AVEKINIVPK	VNYTYIDGFN	LRNTNLAANF	400
NGQNTENINM	NFTKLNFTG	LFEFYKLLCV	RGIIITSK		437

Mutations / Mutations / Mutaciones

BoNT/B C-terminal fragment: E⁷⁵⁶>M⁷⁵⁶, S⁷⁵⁸>Y⁷⁶⁴

Post-translational modifications

Disulfide bridge location / Position du pont disulfure / Posición del puente disulfuro
 6-429'

N-Glycosylation sites / Sites de N-glycosylation / Posiciones de N-glicosilación
 none / aucun / ninguna

crusekitugum #
 crusekitug

immunoglobulin G1-kappa, anti-[*Homo sapiens* IL17A (interleukin 17A, IL-17A)], humanized monoclonal antibody; H-gamma1 heavy chain humanized (1-450) [VH (*Homo sapiens* IGHV4-4*08 (79.4%) -(IGHD) -IGHJ1*01 (100%), CDR-IMGT [8.7.14] (26-33.51-57.96-109))] (1-120) -*Homo sapiens* IGHG1*01 (100%) G1m17,1 CH1 K120, CH3 D12, L14 (CH1 K120 (217) (121-218), hinge 1-15 (219-233), CH2 (234-343), CH3 D12 (359), L14 (361) (344-448), CHS (449-450)) (121-450)]; (223-217')-disulfide with L-kappa light chain humanized (1'-217') [V-KAPPA (*Homo sapiens* IGKV1-12*01 (89.2%) -IGKJ4*01 (91.7%), CDR-IMGT [6.3.12] (27'-32'.50'-52'.89'-100')) (1'-110') - *Homo sapiens* IGKC*01 (100%) Km3 A45.1, V101 (C-KAPPA A45.1 (156'), V101 (194')) (111'-217')]; dimer (229-229'' :232-232'')-bisdisulfide, produced in Chinese hamster ovary (CHO) cells, cell line CHO-S, glycoform alfa
 immunosuppressant, anti-inflammatory

crusékitug

immunoglobuline G1-kappa, anti-[*Homo sapiens* IL17A (interleukine 17A, IL-17A)], anticorps monoclonal humanisé;

chaîne lourde H-gamma1 humanisée (1-450) [VH (*Homo sapiens* IGHV4-4*08 (79.4%) -(IGHD) -IGHJ1*01 (100%), CDR-IMGT [8.7.14] (26-33.51-57.96-109)) (1-120) -*Homo sapiens* IGHG1*01 (100%) G1m17,1 CH1 K120, CH3 D12, L14 (CH1 K120 (217) (121-218), charnière 1-15 (219-233), CH2 (234-343), CH3 D12 (359), L14 (361) (344-448), CHS (449-450)) (121-450)], (223-217')-disulfure avec la chaîne légère L-kappa humanisée (1'-218') [V-KAPPA (*Homo sapiens* IGKV1-12*01 (89.2%) -IGKJ4*01 (91.7%), CDR-IMGT [6.3.12] (27'-32'.50'-52'.89'-100')) (1'-110') -*Homo sapiens* IGKC*01 (100%) Km3 A45.1, V101 (C-KAPPA A45.1 (156'), V101 (194')) (111'-217')]; dimère (229-229":232-232")-bisdisulfure, produit dans des cellules ovariennes de hamster chinois (CHO), lignée cellulaire CHO-S, glycoforme alfa
immunosuppresseur, anti-inflammatoire

crusekitug

immunoglobulina G1-kappa, anti-[*Homo sapiens* IL17A (interleukina 17A, IL-17A)], anticuerpo monoclonal humanizado;
cadena pesada H-gamma1 humanizada (1-450) [VH (*Homo sapiens* IGHV4-4*08 (79.4%) -(IGHD) -IGHJ1*01 (100%), CDR-IMGT [8.7.14] (26-33.51-57.96-109)) (1-120) -*Homo sapiens* IGHG1*01 (100%) G1m17,1 CH1 K120, CH3 D12, L14 (CH1 K120 (217) (121-218), bisagra 1-15 (219-233), CH2 (234-343), CH3 D12 (359), L14 (361) (344-448), CHS (449-450)) (121-450)], (223-217')-disulfuro con la cadena ligera L-kappa humanizada (1'-218') [V-KAPPA (*Homo sapiens* IGKV1-12*01 (89.2%) -IGKJ4*01 (91.7%), CDR-IMGT [6.3.12] (27'-32'.50'-52'.89'-100')) (1'-110') -*Homo sapiens* IGKC*01 (100%) Km3 A45.1, V101 (C-KAPPA A45.1 (156'), V101 (194')) (111'-217')]; dímero (229-229":232-232")-bisdisulfuro, producido en las células ováricas de hámster chino (CHO), línea celular CHO-S, forma glicosilada alfa
immunosupresor, antiinflamatorio

2956768-50-4

Heavy chain / Chaîne lourde / Cadena pesada

```
EVQLQESGGPG LVKPSSETLSL TCTVSGIDL S LFYMSWIRQP PGKGLEWIGT 50
IHEVASSYYA SWAKGRVTIS KDTSKNQFSL KLSSTVAADT AVYYCARETY 100
SSRYYPNIW GQGLTIVTVSS ASTKGPSVFP LAPSSKSTSG GTAALGCLVK 150
DYFPEPVTVS WNSGALTSGV HTFPAVLQSS GLYSLSSVVT VPSSSLGTQT 200
YICNVNHKPS NTKVDRKKVEP KSCDRKHTCP PCPAPPELLGG PSVFLFPPPK 250
KDTLMSRTP EVTCVVVDVS HEDPEVKFNW YVDGVEVHNA KTKPREEQYN 300
STYRVVSVLT VLNQDNLNGK EYKCKVSNKA LPAPIEKTIS KAKGQPREPQ 350
VYTLPPSRDE LTKNQVSLTC LVKGFYPSDI AVEWESNGQP ENNYKTTTPV 400
LDSGDGSFFLY SKLTVDKSRW QQGNVFSVCSV MHEALHNHYT QKSLSLSPGK 450
```

Light chain / Chaîne légère / Cadena ligera

```
DIQMTQSPSS VSASVGDRTV ITCQASQNI GSLAWYQQKP GKAPKLLIYG 50
ASSLASGVPS RFSGSGSDT FTLTISLQ P EDFATYYCQS YNTISTYGLA 100
FGGGTKVEIK RTVAAPSVFI FPPSDEQLKS GTASVVCLLN NFPYREAKVQ 150
WRVDNALQSG NSQESVTEQD SKDSTYLSL TLTLSKADYE KHKVYACEVT 200
HQLSSPVTK SFNRGEC 217
```

Post-translational modifications

Disulfide bridges location / Position des ponts disulfure / Posiciones de los puentes disulfuro

Intra-H (C23-C104) 22-95 147-203 264-324 370-428
22"-95" 147"-203" 264"-324" 370"-428"

Intra-L (C23-C104) 23'-88" 137"-197"
23"'-88"' 137"'-197'"

Inter-H-L (h 5-CL 126) 223-217' 223"-217'"

Inter-H-H (h 11, h 14) 229-229" 232-232"

N-glycosylation sites / Sites de N-glycosylation / Posiciones de N-glicosilación

H CH2 N84.4: 300, 300"

Fucosylated complex bi-antennary CHO-type glycans / glycanes de type CHO bi-antennaires complexes fucosylés / glicanos de tipo CHO biantenaricos complejos fucosilados

C-terminal lysine clipping / Coupure de la lysine C-terminale / Recorte de lisina C-terminal
H CHS K2: 450, 450"

cupri histidinas

copper histidinate

di(L-histidinato)copper
copper supplement

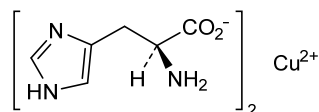
histidinate de cuivre

di(L-histidinato)cuivre
supplément en cuivre

histidinato de cobre

di(L-histidinato)cobre
*suplemento de cobre*C₁₂H₁₆CuN₆O₄

13870-80-9

**dabogratinibum**

dabogratinib

[6-(5-{5-[(1*R*)-1-(3,5-dichloropyridin-4-yl)ethoxy]-1*H*-indazol-3-yl}pyridin-2-yl)-2,6-diazaspiro[3.3]heptan-2-yl](methyl)-λ⁶-sulfanedione
fibroblast growth factor receptor inhibitor, antineoplastic

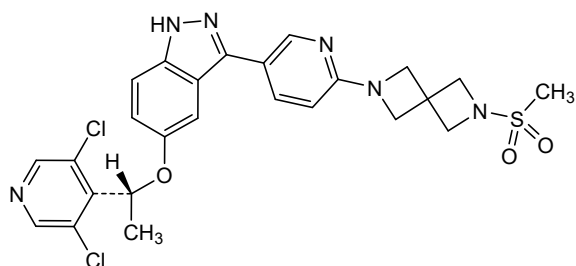
dabogratinib

[6-(5-{5-[(1*R*)-1-(3,5-dichloropyridin-4-yl)éthoxy]-1*H*-indazol-3-yl}pyridin-2-yl)-2,6-diazaspiro[3.3]heptan-2-yl](méthyl)- λ⁶-sulfanedione
inhibiteur du récepteur du facteur de croissance des fibroblastes, antinéoplasique

dabogratinib

[6-(5-{5-[(1*R*)-1-(3,5-dicloropiridin-4-il)etoxi]-1*H*-indazol-3-il}piridin-2-il)-2,6-diazaespiro[3.3]heptan-2-il](metil)-λ⁶-sulfanodiona
*inhibidor del receptor del factor de crecimiento de fibroblastos, antineoplásico*C₂₅H₂₄Cl₂N₆O₃S

2800223-30-5

**dalidnetugum #**

dalidnetug

immunoglobulin G1-kappa, anti-[*Homo sapiens* APP (amyloid beta, A4 precursor protein) Abeta], humanized monoclonal antibody;

	<p>H-gamma1 heavy chain humanized (1-449) [VH (<i>Homo sapiens</i> IGHV3-23*03 (87.8%) -(IGHD) - IGHJ4*01 (100%), CDR-IMGT [8.8.12] (26-33.51-58.97-108)) (1-119) -<i>Homo sapiens</i> IGHG1*03v (100%) G1m3>G1m17, nG1m1 CH1 K120, CH3 E12, M14 (CH1 R120>K (216) (120-217), hinge 1-15 (218-232), CH2 (233-342), CH3 E12 (358), M14 (360) (343-447), CHS (448-449)) (120-449)], (222-219')-disulfide with L-kappa light chain humanized (1'-219') [V-KAPPA (<i>Homo sapiens</i> IGKV2-30*02 (85.0%) - IGKJ1*01 (90.9%), CDR-IMGT [11.3.9] (27'-37'.55'-57'.94'-102')) (1'-112') -<i>Homo sapiens</i> IGKC*01 (100%) Km3 A45.1, V101 (C-KAPPA A45.1 (158'), V101 (196')) (113'-219')]; dimer (228-228":231-231")-bisdisulfide, produced in Chinese hamster ovary (CHO) cells, cell line CHO-S, glycoform alfa <i>clearance of amyloid beta, Alzheimer's disease</i></p>
dalidnetug	<p>immunoglobuline G1-kappa, anti-[<i>Homo sapiens</i> APP (amyloïde bêta, protéine précurseur A4) Abêta]; anticorps monoclonal humanisé; chaîne lourde H-gamma1 humanisée (1-449) [VH (<i>Homo sapiens</i> IGHV3-23*03 (87.8%) -(IGHD) - IGHJ4*01 (100%), CDR-IMGT [8.8.12] (26-33.51-58.97-108)) (1-119) -<i>Homo sapiens</i> IGHG1*03v (100%) G1m3>G1m17, nG1m1 CH1 K120, CH3 E12, M14 (CH1 R120>K (216) (120-217), charnière 1-15 (218-232), CH2 (233-342), CH3 E12 (358), M14 (360) (343-447), CHS (448-449)) (120-449)], (222-219')-disulfure avec la chaîne légère L-kappa humanisée (1'-219') [V-KAPPA (<i>Homo sapiens</i> IGKV2-30*02 (85.0%) - IGKJ1*01 (90.9%), CDR-IMGT [11.3.9] (27'-37'.55'-57'.94'-102')) (1'-112') -<i>Homo sapiens</i> IGKC*01 (100%) Km3 A45.1, V101 (C-KAPPA A45.1 (158'), V101 (196')) (113'-219')]; dimère (228-228":231-231")-bisdisulfure, produit dans des cellules ovariennes de hamster chinois (CHO), lignée cellulaire CHO-S, glycoforme alfa <i>clairance d'amyloïde bêta, maladie d'Alzheimer</i></p>
dalidnetug	<p>immunoglobulina G1-kappa, anti-[<i>Homo sapiens</i> APP (amieloïde beta, proteína precursor A4) Abeta]; anticuerpo monoclonal humanizado; cadena pesada H-gamma1 humanizada (1-449) [VH (<i>Homo sapiens</i> IGHV3-23*03 (87.8%) -(IGHD) - IGHJ4*01 (100%), CDR-IMGT [8.8.12] (26-33.51-58.97-108)) (1-119) -<i>Homo sapiens</i> IGHG1*03v (100%) G1m3>G1m17, nG1m1 CH1 K120, CH3 E12, M14(CH1 R120>K (216) (120-217), bisagra 1-15 (218-232), CH2 (233-342), CH3 E12 (358), M14 (360) (343-447), CHS (448-449)) (120-449)], (222-219')-disulfuro con la cadena ligera L-kappa humanizada (1'-219') [V-KAPPA (<i>Homo sapiens</i> IGKV2-30*02 (85.0%) - IGKJ1*01 (90.9%), CDR-IMGT [11.3.9] (27'-37'.55'-57'.94'-102')) (1'-112') -<i>Homo sapiens</i> IGKC*01 (100%) Km3 A45.1, V101 (C-KAPPA A45.1 (158'), V101 (196')) (113'-219')]; dímero (228-228":231-231")-bisdisulfuro, producido en las células ováricas de hámster chino (CHO), línea celular CHO-S, forma glicosilada alfa <i>eliminación de beta amiloide, enfermedad de Alzheimer</i></p>

2991369-43-6

Heavy chain / Chaîne lourde / Cadena pesada

EVQLLESQGGG LVQPGGSLRL SCAASGFTFS NYGMSWVRQA PGKLEWVAS 50
 IRSGSGRTYY SDNVKGRFTI SRDNSKNTLY LQMNSLRAED TAVYYCVRYD 100
 HYSGSSDYWG QGTLVTVSSA STKGPSVFFL APSSKSTSGG TAALGCLVKD 150
 YFPEPVTVSW NSGALTSGVH TFPVAVLQSSG LYSLSSTVTV PSSSLGTQTY 200
 ICNVNHHKFSN TKVDKVKVEPK SCDKTHTCPP CPAPELLGGP SVFLFPPKPK 250
 DTLMISRTPV VTCVVDVSH EDPEVKFNWY VDGVEVHNAK TKPREEQYNS 300
 TYRIVSVLTV LHQDWLNGKE YKCKVSNKAL PAPIEKTISK AKGQPREPQV 350
 YTLPPSREEM TKNQVSLTCL VKGFYPSDIA VEWESNGQPE NNYKTTTPPV 400
 DSDGSEFLYS KLTVDKSRWQ QGNVFSCSVM HEALHNYHQ KSLSLSPGK 449

Light chain / Chaîne légère / Cadena ligera

DVVMTQSFPLS LPVTLGEPAS ISCKSSQSLD DYDGKTYLWN LLQKPGQSPQ 50
 RLIVRVNTRD TGVPRDFSGS GSGTDFTLKI SRVEAEDVGV YVCWQGTTHP 100
 RSGGQGTKVE IKRTVAAPSV FIFPPSDEQL KSGTASVVL LNNFYPREAK 150
 VQWVKVDNALQ SGNSQESVTE QDSKDYSTYSL SSSLTTLKAD YEKHKVYACE 200
 VTHQGLSSPV TKSFNRGEC 219

Post-translational modifications

Disulfide bridges location / Position des ponts disulfure / Posiciones de los puentes disulfuro

Intra-H (C23-C104) 22"-96" 146"-202" 263"-323" 369"-427"
 22"-96" 146"-202" 263"-323" 369"-427"

Intra-L (C23-C104) 23"-93" 139"-199"
 23"-93" 139"-199"

Inter-H-L (h 5-CL 126) 222"-219" 222"-219"

Inter-H-H (h 11, h 14) 228"-228" 231"-231"

N-glycosylation sites / Sites de N-glycosylation / Posiciones de N-glicosilación

H CH2 N84.4: 299, 299"

Fucosylated complex bi-antennary CHO-type glycans / glycanes de type CHO bi-antennaires complexes fucosylés / glicanos de tipo CHO biantennarios complejos fucosilados

C-terminal lysine clipping / Coupure de la lysine C-terminale / Recorte de lisina C-terminal
H CHS K2: 449, 449"

danifexorum

danifexor

1²,1⁶-dichloro-2⁵-cyclopropyl-4,6-dioxa-7(2)-pyridina-2(3,4)-
 [1,2]oxazola-5(2,6)-naphthalena-1(1)-benzenaheptaphane-7⁵-
 carboxylic acid
farnesoid X receptor agonist

danifexor

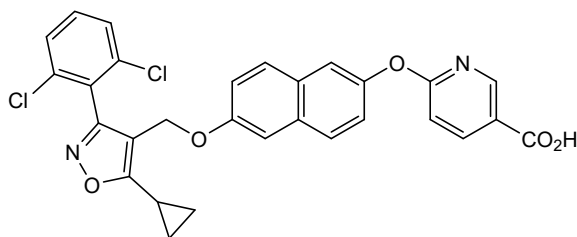
acide 1²,1⁶-dichloro-2⁵-cyclopropyl-4,6-dioxa-7(2)-pyridina-
 2(3,4)-[1,2]oxazola-5(2,6)-naphtaléna-1(1)-
 benzénaheptaphane-7⁵-carboxylique
agoniste du récepteur farnésioïde X

danifexor

ácido 2⁵-ciclopropil-1²,1⁶-dicloro-4,6-dioxa-7(2)-piridina-2(3,4)-
 [1,2]oxazola-5(2,6)-naftalena-1(1)-bencenaheptafano-7⁵-
 carboxílico
agonista del receptor de farnesoide X

C₂₉H₂₀Cl₂N₂O₅

2648738-68-3



daraxonrasibum

daraxonrasib

(1*S*,2*S*)-*N*-[(1²*M*,4*S*,6³*S*)-1¹-éthyl-1²-{2-[(1*S*)-1-méthoxyéthyl]-5-(4-méthylpiperazin-1-yl)pyridin-3-yl}-10,10-diméthyl-5,7-dioxo-1¹*H*-8-oxa-1(5,3)-indola-6(1,3)-[1,2]diazinana-2(4,2)-[1,3]thiazolacycloundécaphan-4-yl]-2-méthylcyclopropane-1-carboxamide

Kirsten rat sarcoma viral oncogene homolog inhibitor, antineoplastic

daraxonrasib

(1*S*,2*S*)-*N*-[(1²*M*,4*S*,6³*S*)-1¹-éthyl-1²-{2-[(1*S*)-1-méthoxyéthyl]-5-(4-méthylpiperazin-1-yl)pyridin-3-yl)-10,10-diméthyl-5,7-dioxo-1¹*H*-8-oxa-1(5,3)-indola-6(1,3)-[1,2]diazinana-2(4,2)-[1,3]thiazolacycloundécaphan-4-yl]-2-méthylcyclopropane-1-carboxamide

inhibiteur d'homologue d'oncogène viral du sarcome de rat de Kirsten, antinéoplasique

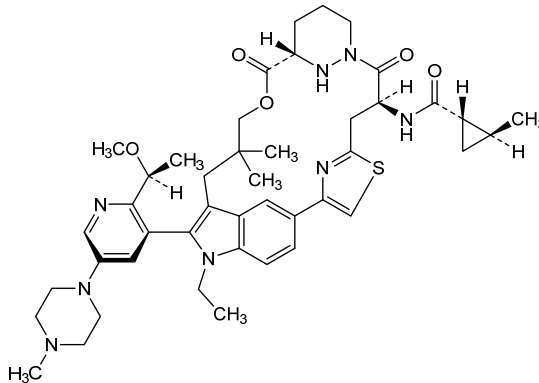
daraxonrasib

(1*S*,2*S*)-*N*-[(1²*M*,4*S*,6³*S*)-1¹-etil-10,10-dimetil-1²-{5-(4-metilpiperazin-1-il)-2-[(1*S*)-1-metoxietil]piridin-3-il)-5,7-dioxo-1¹*H*-8-oxa-1(5,3)-indola-6(2,6)-[1,2]diazinana-2(4,2)-[1,3]thiazolacycloundecafan-4-il]-2-metilciclopropano-1-carboxamida

inhibidor del homólogo del oncogen vírico del sarcoma de rata Kirsten, antineoplásico

C₄₄H₅₈N₈O₅S

2765081-21-6

**daretabartum #**

daretabart

immunoglobulin G1-kappa, anti-[*Homo sapiens* GD2 (disialoganglioside GD2)], monoclonal antibody;

H-gamma1 heavy chain (1-443) [VH Musmus/Homsap (*Mus musculus* IGHV1-42*04 (86.5%) -(IGHD) -IGHJ4*01 (71.4%) Q120>T (105), G121>Q (106), T122>G (107) /*Homo sapiens* IGHV1-46*01 (71.9%) - (IGHD) -IGHJ5*01 (75.0%) Q120>T (105), G121>Q (106), T122>G (107), L123>S (108), CDR-IMGT [8.8.6] (26-33.51-58.97-102)] (1-113) - *Homo sapiens* IGHG1*03, G1m3, nG1m1 CH1 R120, CH3 E12, M14, 5-G1v20 CH2 A105 (CH1 R120 (210) (114-211), hinge 1-15 (212-226), CH2 K105>A (318) (227-336), CH3 E12 (352), M14 (354) (337-441), CHS (442-443) (114-443)], (216-220')-disulfide with L-kappa light chain (1'-220') [V-KAPPA Musmus/Homsap (*Mus musculus* IGKV1-110*01 (94.0%) -IGKJ5*01 (100%) /*Homo sapiens* IGKV2D-29*02 (82.0%) - IGKJ2*01 (81.8%) Q120>A (106'), I126>L (112'), CDR-IMGT [11.3.10] (27'-37'.55'-57'.94'-103')] (1'-113') -*Homo sapiens* IGKC*01 (100%) Km3 A45.1, V101 (C-KAPPA A45.1 (159'), V101 (197')) (114'-220'); dimer (222-222''-.225-225'')-bisdisulfide, produced in YB2/0 cell line, glycoform alfa

antineoplastic

darétabart immunoglobuline G1-kappa, anti-[*Homo sapiens* GD2 (disialoganglioside GD2)]; anticorps monoclonal; chaîne lourde H-gamma1 (1-443) [VH Musmus/Homsap (*Mus musculus* IGHV1-42*04 (86.5%) -(IGHD) -IGHJ4*01 (71.4%) Q120>T (105), G121>Q (106), T122>G (107) /*Homo sapiens* IGHV1-46*01 (71.9%) -(IGHD) -IGHJ5*01 (75.0%) Q120>T (105), G121>Q (106), T122>G (107), L123>S (108), CDR-IMGT [8.8.6] (26-33.51-58.97-102))] (1-113) -*Homo sapiens* IGHG1*03, G1m3, nG1m1 CH1 R120, CH3 E12, M14, 5-G1v20 CH2 A105 (CH1 R120 (210) (114-211), charnière 1-15 (212-226), CH2 K105>A (318) (227-336), CH3 E12 (352), M14 (354) (337-441), CHS (442-443)) (114-443)], (216-220')-disulfure avec la chaîne légère L-kappa (1'-220') [V-KAPPA Musmus/Homsap (*Mus musculus* IGKV1-110*01 (94.0%) -IGKJ5*01 (100%)/*Homo sapiens* IGKV2D-29*02 (82.0%) -IGKJ2*01 (81.8%) Q120>A (106'), I126>L (112'), CDR-IMGT [11.3.10] (27'-37'-55'-57'-94'-103'')] (1'-113') -*Homo sapiens* IGKC*01 (100%) Km3 A45.1, V101 (C-KAPPA A45.1 (159'), V101 (197')) (114'-220''); dimère (222-222":225-225")-bisdisulfure, produit dans la lignée cellulaire YB2/0, glycoforme alfa **antinéoplasique**

daretabart inmunoglobulina G1-kappa, anti-[*Homo sapiens* GD2 (disialogangliósido GD2)]; anticuerpo monoclonal; cadena pesada H-gamma1 (1-443) [VH Musmus/Homsap (*Mus musculus* IGHV1-42*04 (86.5%) -(IGHD) -IGHJ4*01 (71.4%) Q120>T (105), G121>Q (106), T122>G (107) /*Homo sapiens* IGHV1-46*01 (71.9%) -(IGHD) -IGHJ5*01 (75.0%) Q120>T (105), G121>Q (106), T122>G (107), L123>S (108), CDR-IMGT [8.8.6] (26-33.51-58.97-102))] (1-113) -*Homo sapiens* IGHG1*03, G1m3, nG1m1 CH1 R120, CH3 E12, M14, 5-G1v20 CH2 A105 (CH1 R120 (210) (114-211), bisagra 1-15 (212-226), CH2 K105>A (318) (227-336), CH3 E12 (352), M14 (354) (337-441), CHS (442-443)) (114-443)], (216-220')-disulfuro con la cadena ligera L-kappa (1'-220') [V-KAPPA Musmus/Homsap (*Mus musculus* IGKV1-110*01 (94.0%) -IGKJ5*01 (100%)/*Homo sapiens* IGKV2D-29*02 (82.0%) -IGKJ2*01 (81.8%) Q120>A (106'), I126>L (112'), CDR-IMGT [11.3.10] (27'-37'-55'-57'-94'-103'')] (1'-113') -*Homo sapiens* IGKC*01 (100%) Km3 A45.1, V101 (C-KAPPA A45.1 (159'), V101 (197')) (114'-220''); dímero (222-222":225-225")-bisdisulfuro, producido en la línea celular YB2/0, forma glicosilada alfa **antineoplásico**

3011830-62-6

Heavy chain / Chaîne lourde / Cadena pesada

```
EVQLVQSGAE VEKPGASVKI SCKASGSSFT GYNNMWRQN IGKSLIEWIG 50
IDPYLGGTSY NQKPKGRATL TVDKSTSTAY MHLKSLRSED TAVYVCVSGM 100
EYWGQGSVTV VSSASTKGPS VFPLAPSSKS TSGGTAALGC LVKDYFPEPV 150
TVSWNSGALT SGVHTFPAVL QSSGLYSLSS VVTVPSSSLG TQTYICNVNH 200
KPSNTKVDKR VEPKSCDKTH TCPFCPAPEL LGGPSVFLFF PKPKDTLMIS 250
RTEPVTCVVV DVSHEDPEVK FMYVDGVEV HNAKTKPREE QYNSTYRVVS 300
VLTVLHQDWL NGKEYKCAVS NKALPAPIEK TISKARGQPR EPQVYTLFPP 350
REEMTKNQVS LTCLVKGFPY SDIAVEWESH GQFENNYKTT PFVLDSDGSF 400
FLYSKLTVDK SRWQQGNVFS CSMVHEALHN HYTQKSLSLG FGR 443
```

Light chain / Chaîne légère / Cadena ligera

```
DVVMVTQTPLS LPVTPGEPAS ISCRSSQSLV HRNGNTYLHW YLQKPGQSPK 50
LLIHKVSNRF SGVPRDRFSGS GSGTDFTLKI SRVEAEDLGV YFCSQSTHVP 100
PLTFGAGTKL ELKRTVAAPS VFIFPPSDEQ LKSGTASVVC LLNMFYPREA 150
KVQWKVDNAL QSGNSQESVT EQDSKDYSTY LSSTLTLSKA DYEKHKVYAC 200
EVTHQGLSSP VTKSFNRGEC 220
```

Post-translational modifications

Disulfide bridges location / Position des ponts disulfure / Posiciones de los puentes disulfuro

Intra-H (C23-C104) 22-96 140-196 257-317 363-421
 22"-96" 140"-196" 257"-317" 363"-421"
 Intra-L (C23-C104) 23'-93' 140"-200"
 23"-93" 140"-200"
 Inter-H-L (h 5-CL 126) 216-220" 216"-220"
 Inter-H-H (h 11, h 14) 222-222" 225-225"

N-glycosylation sites / Sites de N-glycosylation / Posiciones de N-glicosilación

H CH2 N84.4; 293, 293"

Mainly (>40%) afucosylated complex bi-antennary YB2/0-type glycans / glycanes de type YB2/0 bi-antennaires complexes principalement (>40%) afucosylés / glicanos de tipo YB2/0 biantenarios complejos principalmente (>40%) afucosilados

C-terminal lysine clipping / Coupure de la lysine C-terminale / Recorte de lisina C-terminal
 H CHS K2: 443, 443"

darlifarnibum

darlifarnib

(3*S*)-3-amino-3-(1-methyl-1*H*-imidazol-5-yl)-6-oxa-2(4,6)-quinolina-1,4(1,3)-dibenzenacyclohexaphane-2²,4⁴-dicarbonitrile
farnesyl transferase inhibitor, antineoplastic

darlifarnib

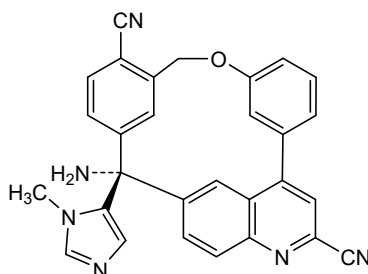
(3*S*)-3-amino-3-(1-méthyl-1*H*-imidazol-5-yl)-6-oxa-2(4,6)-quinoléina-1,4(1,3)-dibenzénacyclohexaphane-2²,4⁴-dicarbonitrile
inhibiteur de farnésyl transférase, antinéoplasique

darlifarnib

(3*S*)-3-amino-3-(1-metil-1*H*-imidazol-5-il)-6-oxa-2(4,6)-quinoleína-1,4(1,3)-dibencenaciclohexafano-2²,4⁴-dicarbonitrilo
inhibidor de la farnesil transferasa, antineoplásico

C₂₉H₂₀N₆O

2939824-30-1

**delocamtenum**

delocamten

(6*S*,7*S*)-6-fluoro-7-(2-fluoro-5-methylphenyl)-3-(oxan-4-yl)-5,6,7,8-tetrahydropyrido[2,3-*d*]pyrimidine-2,4(1*H*,3*H*)-dione
cardiac myosin inhibitor

délocamten

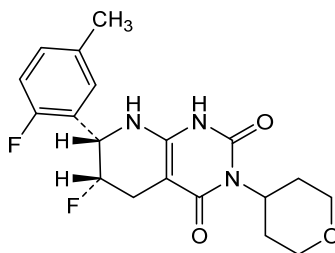
(6*S*,7*S*)-6-fluoro-7-(2-fluoro-5-méthylphényl)-3-(oxan-4-yl)-5,6,7,8-tétrahydropyrido[2,3-*d*]pyrimidine-2,4(1*H*,3*H*)-dione
inhibiteur de myosine cardiaque

delocamtén

(6*S*,7*S*)-6-fluoro-7-(2-fluoro-5-metilfenil)-3-(oxan-4-il)-5,6,7,8-tetrahidropirido[2,3-*d*]pirimidina-2,4(1*H*,3*H*)-diona
inhibidor de la miosina cardíaca

C₁₉H₂₁F₂N₃O₃

2417411-02-8

**dencatistatum**

dencatistat

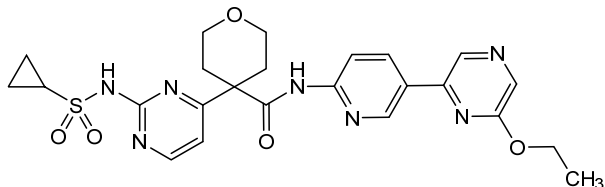
4-[2-(cyclopropanesulfonamido)pyrimidin-4-yl]-*N*-[5-(6-ethoxypyrazin-2-yl)pyridin-2-yl]oxane-4-carboxamide
CTP synthase 1 inhibitor, antineoplastic

dencatistat 4-[2-(cyclopropanesulfonamido)pyrimidin-4-yl]-N-[5-(6-éthoxy-pyrazin-2-yl)pyridin-2-yl]oxane-4-carboxamide
inhibiteur de la CTP synthase 1, antinéoplasique

dencatistat 4-[2-(ciclopropanosulfonamido)pirimidin-4-il]-N-[5-(6-etoxipirazin-2-il)piridin-2-il]oxano-4-carboxamida
inhibidor de la sintasa 1 de CTP, antineoplásico

C₂₄H₂₇N₇O₅S

2377000-84-3

**deulumateperonum**

deulumateperone

1-(4-fluorophényl)-4-[(6*bR*,10*aS*)-3-méthyl-2,3,6*b*,9,10,10*a*-(2-²H)hexahydro(2-²H)-1*H*-pyrido[3',4':4,5]pyrrolo[1,2,3-*de*]quinoxalin-8(7*H*)-yl]butan-1-one
antipsychotic

deumatépérone

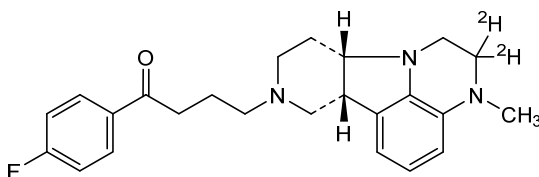
1-(4-fluorophényl)-4-[(6*bR*,10*aS*)-3-méthyl-2,3,6*b*,9,10,10*a*-(2-²H)hexahydro(2-²H)-1*H*-pyrido[3',4':4,5]pyrrolo[1,2,3-*de*]quinoxalin-8(7*H*)-yl]butan-1-one
antipsychotique

deulumateperona

1-(4-fluorofenil)-4-[(6*bR*,10*aS*)-3-metil-2,3,6*b*,9,10,10*a*-(2-²H)hexahidro(2-²H)-1*H*-pirido[3',4':4,5]pirrolo[1,2,3-*de*]quinoxalin-8(7*H*)-il]butan-1-ona
antipsicótico

C₂₄H₂₆²H₂FN₃O

2102683-75-8

**diranersenum**

diranersen

*all-P-ambo-2'-O-(2-methoxyethyl)-5-méthyl-P-thiocytidylyl-(3'→5')-2'-O-(2-methoxyethyl)-5-méthylcytidylyl-(3'→5')-2'-O-(2-methoxyethyl)-P-thioguanylyl-(3'→5')-2'-O-(2-methoxyethyl)-5-méthyl-P-thiouridylyl-(3'→5')-2'-O-(2-methoxyethyl)-5-méthyl-P-thiouridylyl-(3'→5')-P-thiothymidylyl-(3'→5')-P-thiothymidylyl-(3'→5')-2'-deoxy-5-méthyl-P-thiocytidylyl-(3'→5')-P-thiothymidylyl-(3'→5')-P-thiothymidylyl-(3'→5')-2'-deoxy-P-thioadenylyl-(3'→5')-2'-deoxy-5-méthyl-P-thiocytidylyl-(3'→5')-2'-deoxy-5-méthyl-P-thiocytidylyl-(3'→5')-2'-O-(2-methoxyethyl)-P-thioadenylyl-(3'→5')-2'-O-(2-methoxyethyl)-5-méthylcytidylyl-(3'→5')-2'-O-(2-methoxyethyl)-5-méthyl-P-thiocytidylyl-(3'→5')-2'-O-(2-methoxyethyl)-5-méthyl-P-thiocytidylyl-(3'→5')-2'-O-(2-methoxyethyl)-5-méthyl-P-thiocytidylyl-(3'→5')-2'-O-(2-methoxyethyl)-5-méthyluridine
*microtubule-associated protein tau synthesis reducer, Alzheimer's disease**

diranersen

tout-P-ambo-2'-O-(2-méthoxyéthyl)-5-méthyl-P-thiocytidylyl-(3'→5')-2'-O-(2-méthoxyéthyl)-5-méthylcytidylyl-(3'→5')-2'-O-(2-méthoxyéthyl)-P-thioguanilyl-(3'→5')-2'-O-(2-méthoxyéthyl)-5-méthyl-P-thiouridylyl-(3'→5')-2'-O-(2-méthoxyéthyl)-5-méthyl-P-thiouridylyl-(3'→5')-P-thiothymidylyl-(3'→5')-P-thiothymidylyl-(3'→5')-2'-désoxy-5-méthyl-P-thiocytidylyl-(3'→5')-P-thiothymidylyl-(3'→5')-2'-désoxy-5-méthyl-P-thiocytidylyl-(3'→5')-2'-O-(2-méthoxyéthyl)-P-thioadénylyl-(3'→5')-2'-O-(2-méthoxyéthyl)-5-méthylcytidylyl-(3'→5')-2'-O-(2-méthoxyéthyl)-5-méthyl-P-thiocytidylyl-(3'→5')-2'-O-(2-méthoxyéthyl)-5-méthyl-P-thiocytidylyl-(3'→5')-2'-O-(2-méthoxyéthyl)-5-méthyluridine
réducteur de la synthèse de la protéine tau associée aux microtubules, maladie d'Alzheimer

diranersén

todo-P-ambo-5-metil-2'-O-(2-metoxietil)-P-tiocitidilil-(3'→5')-5-metil-2'-O-(2-metoxietil)citidilil-(3'→5')-2'-O-(2-metoxietil)-P-tioguanilil-(3'→5')-5-metil-2'-O-(2-metoxietil)-P-tiouridilil-(3'→5')-5-metil-2'-O-(2-metoxietil)-P-tiouridilil-(3'→5')-P-tiotimidilil-(3'→5')-P-tiotimidilil-(3'→5')-2'-desoxi-5-metil-P-tiocitidilil-(3'→5')-P-tiotimidilil-(3'→5')-2'-desoxi-5-metil-P-tioadenilil-(3'→5')-2'-desoxi-5-metil-P-tiocitidilil-(3'→5')-2'-desoxi-5-metil-P-tiocitidilil-(3'→5')-2'-O-(2-metoxietil)-P-tioadenilil-(3'→5')-5-metil-2'-O-(2-metoxietil)citidilil-(3'→5')-5-metil-2'-O-(2-metoxietil)-P-tiocitidilil-(3'→5')-5-metil-2'-O-(2-metoxietil)-P-tiocitidilil-(3'→5')-5-metil-2'-O-(2-metoxietil)uridina
reductor de la síntesis de la proteína tau asociada al microtúbulo, enfermedad de Alzheimer

C₂₁₀H₃₀₀N₅₃O₁₁₆P₁₇S₁₅

2304711-06-4

(3'-5')C=C-G=U=U=dT=dT=dC=dT=dT=dA=dC=dC=A=C-C=C=U

N : nucleoside / nucléoside / nucleósido

dN : 2'-deoxy-N / 2'-désoxy-N / 2'-desoxi-N

N : 5-methyl-N / 5-méthyl-N / 5-metil-N

N : 2'-O-(2-methoxyethyl)-N / 2'-O-(2-méthoxyéthyl)-N / 2'-O-(metoxietil)-N

- : -PO(OH)- = : -PO(SH)-

dirozalkibum

dirozalkib

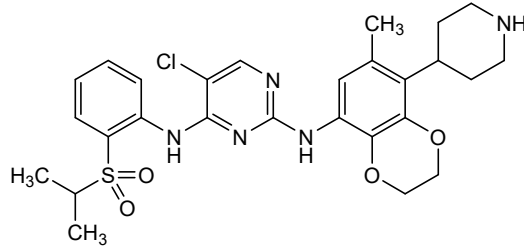
5-chloro-N²-[7-méthyl-8-(piperidin-4-yl)-2,3-dihydro-1,4-benzodioxin-5-yl]-N⁴-[2-(propane-2-sulfonyl)phényl]pyrimidine-2,4-diamine
anaplastic lymphoma kinase (ALK) inhibitor, antineoplastic

dirozalkib

5-chloro-N²-[7-méthyl-8-(pipéridin-4-yl)-2,3-dihydro-1,4-benzodioxin-5-yl]-N⁴-[2-(propane-2-sulfonyl)phényl]pyrimidine-2,4-diamine
inhibiteur de la kinase du lymphome anaplasique (ALK), antinéoplasique

dirozalkib

5-cloro-N²-[7-metil-8-(piperidin-4-il)-2,3-dihidro-1,4-benzodioxin-5-il]-N⁴-[2-(propano-2-sulfonyl)fenil]pirimidina-2,4-diamina
inhibidor de la kinasa de linfoma anaplásico (ALK), antineoplásico



efclorofuspum alfa #
efclorofusp alfa

human vascular endothelial growth factor receptor 1 (VEGFR1, vascular permeability factor receptor, Fms-like tyrosine kinase 1, FLT1, tyrosine-protein kinase receptor FLT, tyrosine-protein kinase FRT, EC:2.7.10.1), fragment 103-206 (containing the Ig-like C2-type domain 2) (1-104), fused to human vascular endothelial growth factor receptor 2 (VEGFR2, fetal liver kinase 1, FLK1, protein-tyrosine kinase receptor flk-1, kinase insert domain receptor, KDR, CD309, EC:2.7.10.1), fragment 208-308 (containing the Ig-like C2-type domain 3) (105-205), fused to an immunoglobulin G1 (IgG1) Fc fragment (h-CH2-CH3-CHS domains) (206-431) [*Homo sapiens* IGHG1*01 (hinge (206-215), CH2 (216-325), CH3 (326-430), CHS K⁴³²>del (431-431))] fused via the peptide linker (G₄S)₃ (432-446) to disintegrin rhodostomin [*Calloselasma rhodostoma* (Malayan pit viper, *Agkistrodon rhodostoma*)] (447-514), [S³⁹>K⁴⁸⁵, R⁴⁰>K⁴⁸⁶, G⁴²>R⁴⁸⁸, K⁴³>T⁴⁸⁹, R⁴⁶>A⁴⁹², I⁴⁷>R⁴⁹³, P⁴⁸>G⁴⁹⁴, M⁵²>N⁴⁹⁸]-variant; dimer (211-211':214-214')-bisdisulfide; produced in Chinese hamster ovary (CHO) cells, cell line CHO-K1; glycoform alfa
angiogenesis inhibitor

efclorofusp alfa

récepteur 1 du facteur de croissance endothélial vasculaire humain (VEGFR1, récepteur du facteur de perméabilité vasculaire, tyrosine kinase 1 de type Fms, FLT1, récepteur tyrosine-protéine kinase FLT, tyrosine-protéine kinase FRT, EC:2.7.10.1), fragment 103-206 (contenant le domaine 2 de type Ig de type C2) (1-104), fusionné au récepteur 2 du facteur de croissance endothélial vasculaire humain (VEGFR2, kinase hépatique 1 fœtale, FLK1, récepteur protéine-tyrosine kinase flk-1, récepteur du domaine d'insertion de kinase, KDR, CD309, EC:2.7.10.1), fragment 208-308 (contenant le domaine 3 de type C2 de type Ig) (105-205), fusionné à un fragment Fc d'immunoglobuline G1 (IgG1) (domaines h-CH2-CH3-CHS) (206-431) [*Homo sapiens* IGHG1*01 (charnière (206-215), CH2 (216-325), CH3 (326-430), CHS K⁴³²>del (431-431))] fusionné via le coupleur peptidique (G₄S)₃ (432-446) à la désintégrine rhodostomine [*Calloselasma rhodostoma* (vipère malaise, *Agkistrodon rhodostoma*)] (447-514), variant [S³⁹>K⁴⁸⁵, R⁴⁰>K⁴⁸⁶, G⁴²>R⁴⁸⁸, K⁴³>T⁴⁸⁹, R⁴⁶>A⁴⁹², I⁴⁷>R⁴⁹³, P⁴⁸>G⁴⁹⁴, M⁵²>N⁴⁹⁸]; dimère (211-211':214-214')-bisdisulfure; produit dans des cellules d'ovaire de hamster chinois (CHO), lignée cellulaire CHO-K1; glycoforme alfa
inhibiteur de l'angiogénèse

efclarofusp alfa

receptor 1 del factor de crecimiento endotelial vascular humano (VEGFR1, receptor del factor de permeabilidad vascular, tirosina quinasa 1 similar a Fms, FLT1, receptor de tirosina-proteína quinasa FLT, tirosina-proteína quinasa FRT, EC:2.7.10.1), fragmento 103-206 (que contiene el dominio 2 tipo C2 similar a Ig) (1-104), fusionado al receptor 2 del factor de crecimiento endotelial vascular humano (VEGFR2, quinasa 1 de hígado fetal, FLK1, receptor de proteína tirosina quinasa flk-1, receptor de dominio de inserción de quinasa, KDR, CD309, EC:2.7.10.1), fragmento 208-308 (que contiene el dominio 3 tipo C2 similar a Ig) (105-205), fusionado a un fragmento Fc de inmunoglobulina G1 (IgG1) (dominios h-CH2-CH3-CHS) (206-431) [*Homo sapiens* IGHG1*01 (bisagra (206-215), CH2 (216-325), CH3 (326-430), CHS K⁴³²>del (431-431))] fusionado mediante el enlazador peptídico (G₄S)₃ (432-446) a la desintegrina rodostomina [*Calloselasma rhodostoma* (víbora malaya, *Agkistrodon rhodostoma*)] (447-514), variante [S³⁹>K⁴⁸⁵, R⁴⁰>K⁴⁸⁶, G⁴²>R⁴⁸⁸, K⁴³>T⁴⁸⁹, R⁴⁶>A⁴⁹², I⁴⁷>R⁴⁹³, P⁴⁸>G⁴⁹⁴, M⁵²>N⁴⁹⁸]; dímero (211-211':214-214')-bisdisulfuro; producido en células ováricas de hámster chino (CHO), línea celular CHO-K1; forma glicosilada alfa

inhibidor de la angiogénesis

3053638-35-7

Sequence / Séquence / Secuencia

SDTGRPFVEM YSEIPEIIHM TEGRELVIPC RVTSFNITVT LKKFFLDLTI	50
PDGRRITWDS RKGFIISNAT YKEIGLLTCE ATVNGHLYKT NYLTHRQYNT	100
IIDVVLSPSH GIELSVGEKL VLNCTARTEL NVGIDFNWEY PSSKHQHKKL	150
VNRDLKTQSG SEMKKFLSTL TIDGVTRSDQ GLYTCAASSG LMTKKNSTFV	200
RVHEKDKTHT CPCCPAPELL GGPSVFLFPP KPKDTLMISR TPEVTCVVVD	250
VSHDEPVKF NWYVDGVEVH NAKTKPREEQ YNSTYRVVSV LTVLHQDWLN	300
GKEYKCKVSN KALPAPIEKT ISKAKGQPRE PQVYTLPPSR DELTKNQVSL	350
TCLVKGFPYS DIAVEWESNG QPENNYRTTP PVLDSGSGFF LYSKLTVDKS	400
RWQQGNVFSQ SVMHEALHNN YTKSLSLSP GGGGGSGGGG SGGGGGCKEC	450
DCSSPENPCC DAATCKLRPG AQCCEGLCCE QCKFKKARTI CARGRGNPD	500
DRCTGQSADC PRYH	514

Mutations / Mutations / Mutaciones

disintegrin: S³⁹>K⁴⁸⁵, R⁴⁰>K⁴⁸⁶, G⁴²>R⁴⁸⁸, K⁴³>T⁴⁸⁹, R⁴⁶>A⁴⁹², I⁴⁷>R⁴⁹³, P⁴⁸>G⁴⁹⁴, M⁵²>N⁴⁹⁸

Peptide linker / Peptide liant / Péptido de unión

⁴³²GGGGSGGGG ⁴⁴⁶SGGGG

Post-translational modifications

Disulfide bridges location / Position des ponts disulfure / Posiciones de los puentes disulfuro

VEGFR1 IgC2 domain 2: 30-79	VEGFR2 IgC2 domain 3: 124-185
30'-79'	124'-185'
IgG1 Fc: 246-306 352-410	inter-IgG1 Fc: 211-211' 214-214'
246'-306' 352'-410'	
disintegrin: 450-465 452-460 459-482 473-479 478-503 491-510	
450'-465' 452'-460' 459'-482' 473'-479' 478'-503' 491'-510'	

N-glycosylation sites / Sites de N-glycosylation / Posiciones de N-glicosilación

VEGFR1 IgC2 domain 2: N36, N68, N36', N68'
VEGFR2 IgC2 domain 3: N123, N196, N123', N196'; IgG1 Fc: N282, N282'

efitazanamivirum alfa #

efitazanamivir alfa

Fc fragment of human immunoglobulin G1 (1-247) [*Homo sapiens* IGHG1*01(CH1 final 15 residues (1-15), hinge (16-30), CH2 M⁵²>Y, S⁵⁴>T, T⁵⁶>E (31-140), CH3 (141-245), CHS (246-247))], dimer (26-26':29-29')-bisdisulfide, produced in Chinese hamster ovary (CHO) cells, cell line CHO-K1, glycoform alfa; substituted on an average of 4 to 5 L-lysine residues at N⁶ with radical group 1-{4-[(23R,24R)-23-[(2R,3R,4S)-3-acetamido-4-(carbamimidoylamino)-6-carboxy-3,4-dihydro-2H-pyran-2-yl]-14-(2-{2-[(1R,2R)-1-[(2R,3R,4S)-3-acetamido-4-(carbamimidoylamino)-6-carboxy-3,4-dihydro-2H-pyran-2-yl]-2,3-dihydroxypropoxy}carbonyl)(methyl)amino]ethoxy)ethyl)-24,25-dihydroxy-20-methyl-21-oxo-2,5,8,11,17,22-hexaoxa-14,20-diazapentacosan-1-yl]-1H-1,2,3-triazol-1-yl]-3,6,9,12-tetraoxapentadecan-15-oyl

neuraminidase inhibitor, antiviral

éfitazanamivir alfa

fragment Fc d'immunoglobuline humaine G1 (1-247) [*Homo sapiens* IGHG1*01(15 résidus finaux CH1 (1-15), charnière (16-30), CH2 M⁵²>Y, S⁵⁴>T, T⁵⁶>E (31-140), CH3 (141-245), CHS (246-247))], dimère (26-26':29-29')-bisdisulfure, produit dans des cellules ovariennes de hamster chinois (CHO), lignée cellulaire CHO-K1, glycoforme alfa; substitué en N^o de 4 à 5 résidus L-lysine en moyenne avec le groupe 1-(4-((23*R*,24*R*)-14-(2-[2-[[{(1*R*,2*R*)-1-[(2*R*,3*R*,4*S*)-3-acétamido-4-carbamimidamido-6-carboxy-3,4-dihydro-2*H*-pyran-2-yl]-2,3-dihydroxypropoxy)carbonyl)(méthyl)amino]éthoxy)éthyl)-23-[(2*R*,3*R*,4*S*)-3-acétamido-4-(carbamimidoylamino)-6-carboxy-3,4-dihydro-2*H*-pyran-2-yl]-24,25-dihydroxy-20-méthyl-21-oxo-2,5,8,11,17,22-hexaoxa-14,20-diazapentacosan-1-yl)-1*H*-1,2,3-triazol-1-yl)-15-oxo-3,6,9,12-tétraoxapentadécan-15-yle *inhibiteur de la neuraminidase, antiviral*

efitazanamivir alfa

fragmento Fc de inmunoglobulina humana G1 (1-247) [*Homo sapiens* IGHG1*01(15 residuos finales CH1 (1-15), bisagra (16-30), CH2 M⁵²>Y, S⁵⁴>T, T⁵⁶>E (31-140), CH3 (141-245), CHS (246-247))], dímero (26-26':29-29')-bisdisulfuro, producido en las células ováricas de hámster chino (CHO), línea celular CHO-K1, forma glicosilada alfa; sustituido en N^o de 4 a 5 residuos L-lisina por término medio con el grupo 1-(4-((23*R*,24*R*)-14-(2-[2-[[{(1*R*,2*R*)-1-[(2*R*,3*R*,4*S*)-3-acetamido-4-carbamimidamido-6-carboxi-3,4-dihidro-2*H*-piran-2-il]-2,3-dihidroxiopropoxi]carbonil)(metil)amino]etoxi)etil)-23-[(2*R*,3*R*,4*S*)-3-acetamido-4-(carbamimidoilamino)-6-carboxi-3,4-dihidro-2*H*-piran-2-il]-24,25-dihidroxi-20-metil-21-oxo-2,5,8,11,17,22-hexaoxa-14,20-diazapentacosan-1-il)-1*H*-1,2,3-triazol-1-il)-15-oxo-3,6,9,12-tetraoxapentadecan-15-ilo *inhibidor de la neuraminidasa, antiviral*

2781830-14-4

Monomer sequence / Séquence du monomère / Secuencia del monómero

NVNHKPSNTK	VDKKVEPKSS	DKTHTCPPCP	APELLGGPSV	FLFPPPKPDT	50
LYITREPEVT	CVVVDVSHED	PEVKFNWYVD	GVEVHNAKTK	PREEQYNSTY	100
RVSVLTVLH	QDWLNGKEYK	CKVSNKALPA	PIEKTISKAK	GQPREPQVYT	150
LPSPRDELTK	NQVSLTCLVK	GFYPDSIAVE	WESNGQPENN	YKTTTPVPLDS	200
DGSFFLYSKL	TVDKSRWQQG	NVFSCSMHE	ALHNYHTQKS	LSLSPGK	247

Post-translational modifications

Disulfide bridges location / Position des ponts disulfure / Posiciones de los puentes disulfuro

Intra	61-121	167-225
	61'-121'	167'-225'
Inter	26-26'	29-29'

N-glycosylation sites / Sites de N-glycosylation / Posiciones de N-glicosilación

97, 97'

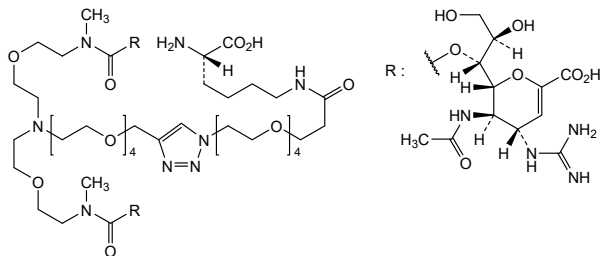
C-terminal lysine clipping / Coupure de la lysine C-terminale / Recorte de lisina C-terminal

H CHS: 247, 247''

Potential modified residues / résidus modifiés potentiels / restos modificados potenciales*

K

*(zanamivir:protein ~ 9:1)



efranarelixinum alfa #
efranarelixin alfa

human immunoglobulin G1 (IgG1) Fc fragment (h-CH2-CH3-CHS domains) (1-226) [*Homo sapiens* IGHG1*03 (hinge (1-10), CH2 L¹⁴>F, L¹⁵>E, P¹¹¹>S (11-120), CH3 S¹³⁴>C, T¹⁴⁶>W (121-225), CHS K²²⁷>del (226))] fused via peptide linker (G₄S)₃G₅S (227-247) to the chain A of human relaxin H2 (RLN2) (1-24, 248-271 in the actual sequence), heterodimer (6-6':9-9':134-129':258-257':271-269')-pentakisdisulfide with human immunoglobulin G1 (IgG1) Fc fragment (h-CH2-CH3-CHS domains) (1'-226') [*Homo sapiens* IGHG1*03 (hinge (1'-10'), CH2 L¹⁴>F, L¹⁵>E, P¹¹¹>S (11'-120'), CH3 T¹⁴⁶>S, L¹⁴⁸>A, Y¹⁸⁷>V (121'-225'), CHS K²²⁷>del (226'))] fused via peptide linker (G₄S)₃G₅S (227'-247') to the des-Asp¹-chain B of human relaxin H2 (RLN2) (2-29, 248'-275' in the actual sequence), produced in Chinese hamster ovary (CHO) cells, cell line CHO-K1, glycoform alfa
relaxin analogue

efranarélixine alfa

fragment Fc de l'immunoglobuline G1 humaine (1-226) [*Homo sapiens* IGHG1*03 (charnière (1-10), CH2 L¹⁴>F, L¹⁵>E, P¹¹¹>S (11-120), CH3 S¹³⁴>C, T¹⁴⁶>W (121-225), CHS K²²⁷>del (226))] fusionné via un coupleur peptidique (G₄S)₃G₅S (227-247) à la chaîne A de la relaxine H2 (RLN2) humaine (1-24, 248-271 dans la séquence actuelle), hétérodimère (6-6':9-9':134-129':258-257':271-269')-pentakisdisulfure avec fragment Fc de l'immunoglobuline G1 humaine (1'-226') [*Homo sapiens* IGHG1*03 (charnière (1'-10'), CH2 L¹⁴>F, L¹⁵>E, P¹¹¹>S (11'-120'), CH3 T¹⁴⁶>S, L¹⁴⁸>A, Y¹⁸⁷>V (121'-225'), CHS K²²⁷>del (226'))] fusionné via un coupleur peptidique (G₄S)₃G₅S (227'-247') à la dés-Asp¹-chaîne B de la relaxine H2 (RLN2) humaine (2-29, 248'-275' dans la séquence actuelle), produit dans des cellules ovariennes de hamster chinois (CHO), lignée cellulaire CHO-K1, glycoforme alfa
analogue de la relaxine

efranarelixina alfa

fragmento Fc de la inmunoglobulina G1 humana (1-226) [*Homo sapiens* IGHG1*03 (bisagra (1-10), CH2 L¹⁴>F, L¹⁵>E, P¹¹¹>S (11-120), CH3 S¹³⁴>C, T¹⁴⁶>W (121-225), CHS K²²⁷>del (226))] fusionado mediante el enlazador peptídico (G₄S)₃G₅S (227-247) a la cadena A de la relaxina H2 (RLN2) humana (1-24, 248-271 en la secuencia actual), heterodímero (6-6':9-9':134-129':258-257':271-269')-pentakisdisulfuro con fragmento Fc de la inmunoglobulina G1 humana (1'-226') [*Homo sapiens* IGHG1*03 (bisagra (1'-10'), CH2 L¹⁴>F, L¹⁵>E, P¹¹¹>S (11'-120'), CH3 T¹⁴⁶>S, L¹⁴⁸>A, Y¹⁸⁷>V (121'-225'), CHS K²²⁷>del (226'))] fusionado mediante el enlazador peptídico (G₄S)₃G₅S (227'-247') a la des-Asp¹-cadena B de la relaxina H2 (RLN2) humana (2-29, 248'-275' en la secuencia actual), producido en las células ováricas de hámster chino (CHO), línea celular CHO-K1, glicofoma alfa
análogo de la relaxina

2969217-22-7

Sequences / Séquences / Secuencias

Fc-(G₄S)₃G₅S-RLN2 A

DKTHTCPCP	APEFE	GGPSV	FLFPPKPKDT	LMISRTPEVT	CVVVDVSHED	50
PEVKFNWYVD	GVEVHNAKTK	PREEQYNSTY	RVVSVLTVLH	QDWLNGKEYK		100
CKVSNKALFA	SIEKTISKAK	GQPREPQVY	LPPCREEMTK	NQVSLWCLVK		150
GFYPSDIAVE	WESNGQPENN	YKTPPVLD	DGSFFLYSKL	TVDKSRWQQG		200
NVFSCSVMHE	ALHNHYTQKS	LSLSPGGGGG	SGGGSGGGG	SGGGGSQLY		250
SALANKCCHV	GCTKRSLARF	C				271

Fc-(G₄S)₃G₅S-RLN2 B

DKTHTCPCP	APEFE	GGPSV	FLFPPKPKDT	LMISRTPEVT	CVVVDVSHED	50
PEVKFNWYVD	GVEVHNAKTK	PREEQYNSTY	RVVSVLTVLH	QDWLNGKEYK		100
CKVSNKALFA	SIEKTISKAK	GQPREPQVCT	LPPSREEMTK	NQVSLSCAVK		150
GFYPSDIAVE	WESNGQPENN	YKTPPVLD	DGSFFLVSKL	TVDKSRWQQG		200
NVFSCSVMHE	ALHNHYTQKS	LSLSPGGGGG	SGGGSGGGG	SGGGGSSTM		250
EEVIKLCGRE	LVRAQIAICG	MSTWS				275

Mutations / Mutations / Mutaciones

L¹⁴>E, L¹⁵>E, p¹¹¹>S, S¹³⁴>C, T¹⁴⁶>W;
 L¹⁴>E, L¹⁵>E, p¹¹¹>S, Y¹²⁹>C, T¹⁴⁶>S, L¹⁴⁸>A, Y¹⁸⁷>V

Peptide linkers / Peptides liants / Péptidos de unión

²²⁷GGGGSGGGG GGGSGGGG S²⁴⁷ (1-21);
²²⁷GGGGSGGGG GGGSGGGG S²⁴⁷ (1-21)

Post-translational modifications

Disulfide bridges location / Position des ponts disulfure / Posiciones de los puentes disulfuro

intra-Fc: 41-101 147-205 intra-RLN2 A: 257-261

41'-101' 147'-205'

inter-Fc-Fc': 6-6' 9-9' 134-129' inter-RLN2 A-B: 258-257' 271-269'

N-glycosylation sites / Sites de N-glycosylation / Posiciones de N-glicosilación

N77, N77'

egalognastatum

egalognastat

N-(5-{4-[(1*S*)-1-(2*H*-1,3-benzodioxol-5-yl)ethyl]piperazin-1-yl}-1,3,4-thiadiazol-2-yl)acetamide
O-GlcNAcase enzyme inhibitor

égalognastat

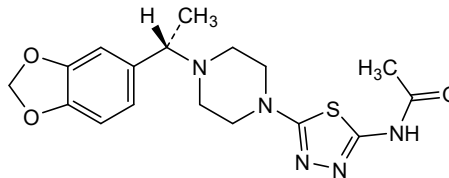
N-(5-{4-[(1*S*)-1-(2*H*-1,3-benzodioxol-5-yl)éthyl]pipérazin-1-yl}-1,3,4-thiadiazol-2-yl)acétamide
inhibiteur de l'enzyme O-GlcNAcase

egalognastat

N-(5-{4-[(1*S*)-1-(2*H*-1,3-benzodioxol-5-il)etil]piperazin-1-il}-1,3,4-tiadiazol-2-il)acetamida
inhibidor del enzima O-GlcNAcase

C₁₇H₂₁N₅O₃S

1884154-02-2



elecgliptonum

elecglipton (3⁴S)-3²-(3-cyclopropyl-4-fluorophényl)-5⁷-[(4S)-2,2-diméthoxy-4-yl]-1⁴-fluoro-1¹,3⁴-diméthyl-3²,3⁴,3⁶,3⁷-tétrahydro-1¹H,2²H-3(3,5)-pyrazolo[4,3-c]pyridina-1(5)-indazola-5(2,3)-indolizina-7(3)-[1,2,4]oxadiazola-2(1,3)-imidazola-6(1,1)-cyclopropanaheptaphane-2²,4,7⁵(7²H)-trione *glucagon-like peptide 1 (GLP-1) receptor agonist*

élécglipton

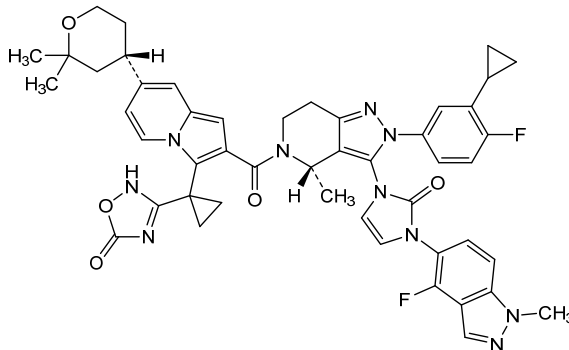
(3⁴S)-3²-(3-cyclopropyl-4-fluorophényl)-5⁷-[(4S)-2,2-diméthoxy-4-yl]-1⁴-fluoro-1¹,3⁴-diméthyl-3²,3⁴,3⁶,3⁷-tétrahydro-1¹H,2²H-3(3,5)-pyrazolo[4,3-c]pyridina-1(5)-indazola-5(2,3)-indolizina-7(3)-[1,2,4]oxadiazola-2(1,3)-imidazola-6(1,1)-cyclopropanaheptaphane-2²,4,7⁵(7²H)-trione *agoniste du récepteur du peptide 1 de type glucagon (GLP-1)*

elecglipton

(3⁴S)-3²-(3-ciclopropil-4-fluorofenil)-5⁷-[(4S)-2,2-dimetiloxan-4-il]-1⁴-fluoro-1¹,3⁴-dimetil-3²,3⁴,3⁶,3⁷-tetrahidro-1¹H,2²H-3(3,5)-pirazolo[4,3-c]piridina-1(5)-indazola-5(2,3)-indolizina-7(3)-[1,2,4]oxadiazola-2(1,3)-imidazola-6(1,1)-ciclopropanaheptafano-2²,4,7⁵(7²H)-triona *agonista del receptor del péptido 1 similar al glucagón (GLP-1)*

C₄₈H₄₆F₂N₁₀O₅

3011682-49-5

**elegrobartum #****elegrobart**

immunoglobulin G1-kappa, anti-[*Homo sapiens* IGF1R (insulin-like growth factor 1 receptor, IGF1-R, IGF-1R, CD221)], monoclonal antibody; H-gamma1 heavy chain (1-453) [VH Musmus/Homsap (*Mus musculus*IGHV1-69-5*01 (92.9%) -(IGHD) -IGHJ1*01 (93.8%) A120>Q (116)/*Homo sapiens* IGHV1-46*01 (77.6%) C104>F (96) -(IGHD) -IGHJ6*01 (100%), CDR-IMGT [8.8.17] (26-33.51-58.97-113)) (1-124) -*Homo sapiens* IGHG1*01, G1m17,1 CH1 K120, CH3 D12, L14, 9-G1v21 CH2 Y15.1, T16, E18 (CH1 K120 (221) (125-222), hinge 1-15 (223-237), CH2 M15.1>Y (259), S16>T (261), T18>E (263) (238-347), CH3 D12 (363), L14 (365) (348-452), CHS K2>del (453)) (125-453)], (227-219')-disulfide with L-kappa light chain (1'-219') [V-KAPPA Musmus/Homsap (*Mus musculus* IGKV1-117*01 (93.0%) -IGKJ1*02 (100%)/*Homo sapiens* IGKV2-30*02 (81.0%) -IGKJ4*01 (90.9%) V124>L (109), CDR-IMGT [11.3.9] (27'-37'.55'-57'.94'-102')] (1'-112') -*Homo sapiens* IGKC*01 (100%) Km3 A45.1, V101 (C-KAPPA A45.1 (158'), V101 (196')) (113'-219')]; dimer (233-233":236-236")-bisdisulfide, produced in a cell line from Chinese hamster ovary (CHO) cells, derived from the cell line CHO-K1, glycoform alfa *thyroid eye disease*

élégrobart

immunoglobuline G1-kappa, anti-[*Homo sapiens* IGF1R (récepteur du facteur de croissance insuline-like 1, IGF1-R, IGF-1R, CD221)], anticorps monoclonal ; chaîne lourde H-gamma1 (1-453) [VH Musmus/Homsap (*Mus musculus*

IGHV1-69-5*01 (92.9%) -(IGHD) -IGHJ1*01 (93.8%) A120>Q (116)/*Homo sapiens* IGHV1-46*01 (77.6%) C104>F (96) -(IGHD) -IGHJ5*04 (100%), CDR-IMGT [8.8.17] (26-33.51-58.97-113)) (1-124) -*Homo sapiens* IGHG1*01, G1m17,1 CH1 K120, CH3 D12, L14, 9-G1v21 CH2 Y15.1, T16, E18 (CH1 K120 (221) (125-222), charnière 1-15 (223-237), CH2 M15.1>Y (259), S16>T (261), T18>E (263) (238-347), CH3 D12 (363), L14 (365) (348-452), CHS K2>del (453)) (125-453)], (227-219')-disulfure avec la chaîne légère L-kappa (1'-219') [V-KAPPA Musmus/Homsap (*Mus musculus* IGKV1-117*01 (93.0%) -IGKJ1*02 (100%)/*Homo sapiens* IGKV2-30*02 (81.0%) -IGKJ4*01 (90.9%) V124>L (109'), CDR-IMGT [11.3.9] (27'-37'.55'-57'.94'-102')) (1'-112') -*Homo sapiens* IGKC*01 (100%) Km3 A45.1, V101 (C-KAPPA A45.1 (158'), V101 (196')) (113'-219')]; dimère (233-233":236-236")-bisdisulfure, produit dans une lignée cellulaire des cellules ovariennes de hamster chinois (CHO), dérivant de la lignée cellulaire CHO-K1, glycoforme alfa
maladie ophtalmologique liée à la thyroïde

elegrobart immunoglobulina G1-kappa, anti-[*Homo sapiens* IGF1R (receptor 1 del factor de crecimiento similar a la insulina, IGF1-R, IGF-1R, CD221)], anticuerpo monoclonal;
cadena pesada H-gamma1 (1-453) [VH Musmus/Homsap (*Mus musculus* IGHV1-69-5*01 (92.9%) -(IGHD) -IGHJ1*01 (93.8%) A120>Q (116)/*Homo sapiens* IGHV1-46*01 (77.6%) C104>F (96) -(IGHD) -IGHJ5*04 (100%), CDR-IMGT [8.8.17] (26-33.51-58.97-113)) (1-124) -*Homo sapiens* IGHG1*01, G1m17,1 CH1 K120, CH3 D12, L14, 9-G1v21 CH2 Y15.1, T16, E18 (CH1 K120 (221) (125-222), bisagra 1-15 (223-237), CH2 M15.1>Y (259), S16>T (261), T18>E (263) (238-347), CH3 D12 (363), L14 (365) (348-452), CHS K2>del (453)], (227-219')-disulfuro con la cadena ligera L-kappa (1'-219') [V-KAPPA Musmus/Homsap (*Mus musculus* IGKV1-117*01 (93.0%) -IGKJ1*02 (100%)/*Homo sapiens* IGKV2-30*02 (81.0%) -IGKJ4*01 (90.9%) V124>L (109'), CDR-IMGT [11.3.9] (27'-37'.55'-57'.94'-102')) (1'-112') -*Homo sapiens* IGKC*01 (100%) Km3 A45.1, V101 (C-KAPPA A45.1 (158'), V101 (196')) (113'-219')]; dímero (233-233":236-236")-bisdisulfuro, producido en una línea celular de las células ováricas de hamster chino (CHO), línea celular derivada de CHO-K1, forma glicosilada alfa
enfermedad ocular tiroidea

2832924-76-0

Heavy chain / Chaîne lourde / Cadena pesada
QVQLVQSGAE VVKPGASVKL SCKASGYTF SYMMHWKQR PGQGLEWIGE 50
INPNSGRITNY NQKFGQKATL TVDKSSSTAY MQLSSLTSED SAVYFFARGR 100
FDYFGSSRWY FDWVQGGTTV TVSSASTKGP SVFFLAPFSK STSGGTALRG 150
CLMKDYFPEP YFVSNMNSGL TSGVHTFPAY LQSSGLYISL SWVTPSSSL 200
GVTYTCNWN HPSMTKTKDK KVEKSKCDST HCPCPCRAPE LLGGPSVFLF 250
PEKPKDTLYI TREPEYTCVV VDVSHEDPEV KFNWYVDGVE VHNAKTKPRE 300
EQYNSTYRVV SVLTVLHQWD LNGKEYKCKY SNKALPAFIE KTIKSAKQDP 350
REPQVYVLEP SRDELTKNDV SLTCLVKGFY PSDIAVEVES NGQPENNYKT 400
TPEVLDSVGS FFLYSKLTVD KSRWQQGNVF SCSVMHEALH NHYTKSLSL 450
SPG 453

Light chain / Chaîne légère / Cadena ligera
DVMVTQTPLS LPVSLGDPAS ISCRSSQSV HSNVNTYLEW YLQKPGQSPR 50
LLLYKVSNRF SGVPDRFSGS GAGTDFTLRI SRVEAEDLGI YYCFQGSHPV 100
PTFGGGTKLE IKRTVAAPSV FIFPPSDEQL KSGTASVVEL LNNFYPREAK 150
VQWKVDNALQ SGNSQESVTE QDSKDYSTSL SSTLTLSKAD YEKHKVYACE 200
VTHQGLSSPV TKSFNREGC 219

Post-translational modifications
Disulfide bridges location / Position des ponts disulfure / Posiciones de los puentes disulfuro
Intra-H (C23-C104) 22* 151-207 268-328 374-432
22* 151-207* 268-328* 374-432*
Intra-L (C23-C104) 23-93* 139-199*
23-93* 139-199*
Inter-H-L (h5-CL 126) 227-219* 227'-219**
Inter-H-H (h 11, h 14) 233-233* 236-236*
* Free sulphydryl owing to the amino acid change C104>F (96, 96**).

N-terminal glutaminyI cyclization / Cyclisation du glutaminyI N-terminal / Ciclación del glutaminyI N-terminal
Q> pyroglutamyl (pE, 5-oxopropyl) / pyroglutamyle (pE, 5-oxopropyle) / piroglutamilo (pE, 5-oxopropilo)
H VH Q1: 1, 1**

N-glycosylation sites / Sites de N-glycosylation / Posiciones de N-glicosilación
HCH2 N84.4: 304, 304**
Fucosylated complex; bi-antennary CHO-type glycans / glycanes de type CHO bi-antennaires complexes fucosylés / glicanos de tipo CHO biantennarios complejos fucosilados

elironrasibum

elironrasib

1-[4-(diméthylamino)-4-méthylpent-2-ynoïl]-N-[(2S)-1-{{[(1²M,2²S,4S,6³S)-1¹-éthyl-1²-{2-[(1S)-1-méthoxyéthyl]pyridin-3-yl)-10,10-diméthyl-5,7-dioxo-1¹H-8-oxa-1(5,3)-indola-2(4,2)-morpholina-6(1,3)-[1,2]diazinanacycloundécaphan-4-yl]amino}-3-méthyl-1-oxobutan-2-yl]-4-fluoro-N-méthylpiperidine-4-carboxamide

Kirsten rat sarcoma viral oncogene homolog inhibitor, antineoplastic

éironrasib

1-[4-(diméthylamino)-4-méthylpent-2-ynoïl]-N-[(2S)-1-{{[(1²M,2²S,4S,6³S)-1¹-éthyl-1²-{2-[(1S)-1-méthoxyéthyl]pyridin-3-yl)-10,10-diméthyl-5,7-dioxo-1¹H-8-oxa-1(5,3)-indola-2(4,2)-morpholina-6(1,3)-[1,2]diazinanacycloundécaphan-4-yl]amino}-3-méthyl-1-oxobutan-2-yl]-4-fluoro-N-méthylpipéridine-4-carboxamide

inhibiteur d'homologue d'oncogène viral du sarcome de rat de Kirsten, antinéoplasique

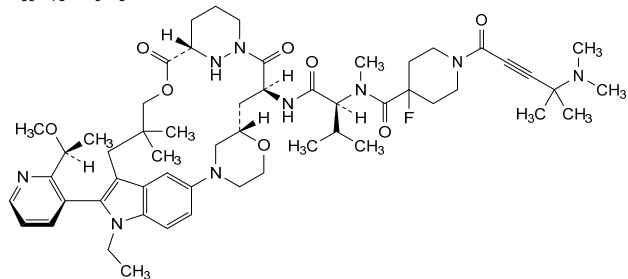
elironrasib

1-[4-(diméthylamino)-4-méthylpent-2-inoïl]-N-[(2S)-1-{{[(1²M,2²S,4S,6³S)-1¹-éthyl-10,10-diméthyl-1²-{2-[(1S)-1-méthoxyéthyl]pyridin-3-yl)-5,7-dioxo-1¹H-8-oxa-1(5,3)-indola-2(4,2)-morpholina-6(2,6)-[1,2]diazinanacycloundécaphan-4-yl]amino}-3-méthyl-1-oxobutan-2-yl]-4-fluoro-N-méthylpiperidina-4-carboxamida

inhibidor del homólogo del oncogen vírico del sarcoma de rata Kirsten, antineoplásico

C₅₅H₇₈FN₉O₈

2641998-63-0

**elisrasibum**

elisrasib

[(2S)-4-[(7S)-7-[3-amino-2-fluoro-5-méthyl-6-(trifluorométhyl)phényl]-2-[[{(2R,7aS)-2-fluorotétrahydro-1H-pyrrolizin-7a(5H)-yl]méthoxy}-7,8-dihydro-5H-pyrano[4,3-d]pyrimidin-4-yl]-1-(2-fluoroprop-2-énoyl)piperazin-2-yl]acétonitrile

Kirsten rat sarcoma viral oncogene homolog inhibitor, antineoplastic

élisrasib

[(2S)-4-[(7S)-7-[3-amino-2-fluoro-5-méthyl-6-(trifluorométhyl)phényl]-2-[[{(2R,7aS)-2-fluorotétrahydro-1H-pyrrolizin-7a(5H)-yl]méthoxy}-7,8-dihydro-5H-pyrano[4,3-d]pyrimidin-4-yl]-1-(2-fluoroprop-2-énoyl)pipérazin-2-yl]acétonitrile

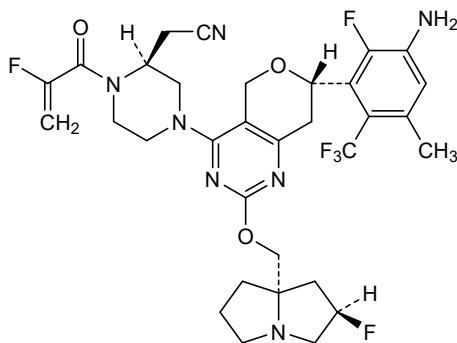
inhibiteur d'homologue d'oncogène viral du sarcome de rat de Kirsten, antinéoplasique

elisrasib

[(2S)-4-[(7S)-7-[3-amino-2-fluoro-5-metil-6-(trifluorometil)fenil]-2-
 {{{(2R,7aS)-2-fluorotetrahydro-1H-pirrolizin-7a(5H)-il]metoxi}-7,8-
 dihidro-5H-pirano[4,3-d]pirimidin-4-il]-1-(2-fluoroprop-2-
 enoil)piperazin-2-il]acetoniitrilo
*inhibidor del homólogo del oncogen vírico del sarcoma de rata
 Kirsten, antineoplásico*

C₃₂H₃₅F₆N₇O₃

2914919-85-8

**elsovaptanum**

elsovaptan

[(3S)-7-chloro-3-methyl-2,3-dihydro-4H-1,4-benzoxazin-4-yl][6-
 (pyrimidin-2-yl)-2,6-diazaspiro[3.3]heptan-2-yl]methanone
vasopressin receptor antagonist, Alzheimer disease

elsovaptan

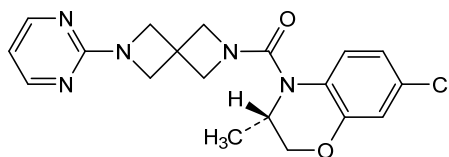
[(3S)-7-chloro-3-méthyl-2,3-dihydro-4H-1,4-benzoxazin-4-yl][6-
 (pyrimidin-2-yl)-2,6-diazaspiro[3.3]heptan-2-yl]méthanone
*antagoniste du récepteur de la vasopressine, maladie
 d'Alzheimer*

elsovaptán

[(3S)-7-cloro-3-metil-2,3-dihidro-4H-1,4-benzoxazin-4-il][6-
 (pirimidin-2-il)-2,6-diazaespiro[3.3]heptan-2-il]metanona
*antagonista del receptor de vasopresina, enfermedad de
 Alzheimer*

C₁₉H₂₀ClN₅O₂

2296801-25-5

**elunetiromum**

elunetirom

2-(3,5-dichloro-4-[[4-hydroxy-3-(propan-2-
 yl)phenyl]methyl]phenoxy)-N-methylacetamide
thyroid hormone beta receptor agonist

élunétirom

2-(3,5-dichloro-4-[[4-hydroxy-3-(propan-2-
 yl)phényl]méthyl]phénoxy)-N-méthylacétamide
agoniste des récepteurs bêta de l'hormone thyroïdienne

Proposed INN: List 132

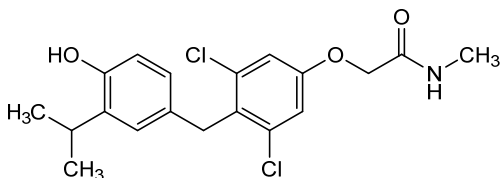
elunetirom

WHO Drug Information, Vol. 38 , No. 4, 2024

2-(3,5-dicloro-4-[[4-hidroxi-3-(propan-2-il)fenil]metil]fenoxi)-*N*-metilacetamida
agonista del receptor beta de la hormona tiroidea

C₁₉H₂₁Cl₂NO₃

2156649-32-8



emupertinibum

emupertinib

N-{4-[4-amino-6-etinil-5-(quinolin-3-yl)-7*H*-pirrolo[2,3-*d*]pirimidin-7-yl]bicyclo[2.2.1]heptan-1-yl}-5-metilpirazina-2-carboxamida
epidermal growth factor receptor tyrosine kinase inhibitor, antineoplástico

émupertinib

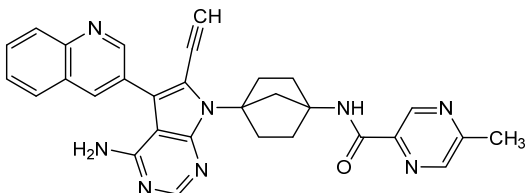
N-{4-[4-amino-6-éthynil-5-(quinoléin-3-yl)-7*H*-pirrolo[2,3-*d*]pirimidin-7-yl]bicyclo[2.2.1]heptan-1-yl}-5-méthylpirazina-2-carboxamide
inhibiteur de la tyrosine kinase du récepteur du facteur de croissance épidermique, antinéoplasique

emupertinib

N-{4-[4-amino-6-etinil-5-(quinolein-3-il)-7*H*-pirrolo[2,3-*d*]pirimidin-7-il]bicyclo[2.2.1]heptan-1-il}-5-metilpirazina-2-carboxamida
inhibidor de la tirosina kinasa del receptor del factor de crecimiento epidérmico, antineoplásico

C₃₀H₂₆N₈O

2472802-77-8



encofosbuvirum

encofosbuvir

propan-2-yl *N*-[*(P*⁵*S*,2'*R*)-2'-deoxy-2'-fluoro-3-({[*N*-(metoxycarbonyl)-*L*-metionil]oxy)methyl}-2'-metil-*O*^{*P*}-fenil-5'-uridilil]-*L*-alaninato
antiviral

encofosbuvir

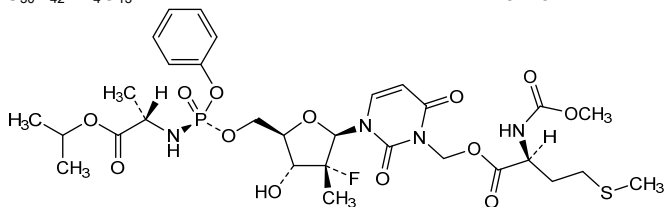
N-[*(P*⁵*S*,2'*R*)-2'-désoxy-2'-fluoro-3-({[*N*-(méthoxycarbonyl)-*L*-méthionil]oxy)méthyl}-2'-méthyl-*O*^{*P*}-phényl-5'-uridilil]-*L*-alaninate de propan-2-yle
antiviral

encofosbuvir

N-[*(P*⁵*S*,2'*R*)-2'-desoxi-*O*^{*P*}-fenil-2'-fluoro-2'-metil-3-({[*N*-(metoxicarbonil)-*L*-metionil]oxi)metil}-5'-uridilil]-*L*-alaninato de propan-2-ilo
antiviral

C₃₀H₄₂FN₄O₁₃PS

2232134-77-7

**engasertibum**

engasertib

6-{4-[(1S,3S)-1-amino-3-hydroxycyclobutyl]phenyl}-1-ethyl-7-phenyl-1*H*-pyrido[2,3-*b*][1,4]oxazin-2(3*H*)-one
serine/threonine kinase inhibitor

engasertib

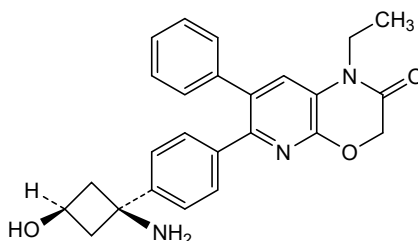
6-{4-[(1S,3S)-1-amino-3-hydroxycyclobutyl]phényl}-1-éthyl-7-phényl-1*H*-pyrido[2,3-*b*][1,4]oxazin-2(3*H*)-one
inhibiteur de sérine/thréonine kinases

engasertib

6-{4-[(1S,3S)-1-amino-3-hidroxiciclobutil]fenil}-1-etil-7-fenil-1*H*-pirido[2,3-*b*][1,4]oxazin-2(3*H*)-ona
inhibidor de la serina/treonina kinasa

C₂₅H₂₅N₃O₃

1313439-71-2

**enozertinibum**

enozertinib

N-[(7³*R*)-8³,8⁵-difluoro-4⁵-methoxy-5-aza-6(4,6)-pyrimidina-2(1,4)-piperazina-3(4,1)-piperidina-7(2,3)-[1,2]oxazolidina-4(1,4),8(1)-dibenzena-1(1)-cyclopropanaoctaphan-4²-yl]prop-2-enamide
epidermal growth factor receptor tyrosine kinase inhibitor, antineoplastic

énozeritinib

N-[(7³*R*)-8³,8⁵-difluoro-4⁵-méthoxy-5-aza-6(4,6)-pyrimidina-2(1,4)-pipérazina-3(4,1)-pipéridina-7(2,3)-[1,2]oxazolidina-4(1,4),8(1)-dibenzéna-1(1)-cyclopropanaoctaphan-4²-yl]prop-2-énamide
inhibiteur de la tyrosine kinase du récepteur du facteur de croissance épidermique, antinéoplasique

enozertinib

N-[(7³*R*)-8³,8⁵-difluoro-4⁵-metoxi-5-aza-6(4,6)-pirimidina-2(1,4)-piperazina-3(4,1)-piperidina-7(2,3)-[1,2]oxazolidina-4(1,4),8(1)-dibencena-1(1)-ciclopropanaoctafan-4²-il]prop-2-enamida
inhibidor de la tirosina kinasa del receptor del factor de crecimiento epidérmico, antineoplásico

cadena pesada H-gamma1 humanizada (1-449) [VH (*Homo sapiens* IGHV3-23*01 (81.6%) -(IGHD) -IGHJ3*02 (91.7%) M123>T (114), CDR-IMGT [8.7.13] (26-33.51-57.96-108))] (1-119) -*Homo sapiens* IGHG1*03v (100%) G1m3>G1m17, nG1m1 CH1 K120, CH3 E12, M14 (CH1 R120>K (216) (120-217), bisagra 1-15 (218-232), CH2 (233-342), CH3 E12 (358), M14 (360) (343-447), CHS (448-449)) (120-449)], (222-218')-disulfuro con la cadena ligera L-kappa humanizada (1'-218') [V-KAPPA (*Homo sapiens* IGKV1-33*01 (87.8%) -IGKJ4*01 (100%), CDR-IMGT [6.3.13] (27'-32'.50'-52'.89'-101'')) (1'-111') -*Homo sapiens* IGKC*01 (100%) Km3 A45.1, V101 (C-KAPPA A45.1 (157'), V101 (195')) (112'-218'')]; dímero (228-228'':231-231'')-bisulfuro, producido en las células ováricas de hámster chino (CHO), línea celular CHO-K1, forma glicosilada alfa

antineoplásico

2999644-88-9

Heavy chain / Chaîne lourde / Cadena pesada

EVQLLESGGG LVQPGGSLRL SCAASGIDLS TYAMGWVRQA PGKGLEWVGL 50
IHRSGRTYYA TWAKGRFTIS KDSSKNTLYL QMNSLRAEDT AVYCTRSTYP 100
DYSATASING QGTTTVVSSA STKGPSVFPFL APSKSTSGG TAALGCLVKD 150
YFPPEVTVSW NSGALTSQVW TFPVAVLQSSG LYSLSLSVTV PSSSLGTQTY 200
ICNVNHHKPSN TKVDKKVEPK SCDKTHTCPP CPAPELLGGP SVFLFPPKPK 250
DTLMISRTP E VTCVVVDVSH EDPEVKFNWY VDGVEVHNAK TKPREEQYNS 300
TYRVVSVLTV LHQDNLNGKE YKCKVSNKAL PAPIEKTISK AKGQPREPQV 350
YTLPPSRREEM TKNQVSLTCL VKGFYPSDIA WEWESNGQPE NNYKTTPEVL 400
DSDGSEFFLYS KLTVDKSRWQ QGNVFSCSVM HEALHNHYTQ KSLSLSPGK 449

Light chain / Chaîne légère / Cadena ligera

DIQVTSQSPSS LSASVGDVTV ITCQASENIA NALAWYQQKP GKPPKFLIYG 50
ASNLASGVPS RFSGSGSGTD FTFITISLQP EDIATYYCQQ AYYGNSFVEG 100
TFGGGTKEVEI KRTVAAPSVEF IFPPSDEQLK SGTASVVCLL NNFYPREAKV 150
QWKVDNALQS GNSQESVTEQ DSKDSTYSLS STLTLSKADY EKHKVYACEV 200
THQGLSSPVT KSFNRGEC 218

Post-translational modifications

Disulfide bridges location / Position des ponts disulfure / Posiciones de los puentes disulfuro

Intra-H (C23-C104) 22-95 146-202 263-323 369-427
22"-95" 146"-202" 263"-323" 369"-427"

Intra-L (C23-C104) 23'-88" 138"-198"
23"'-88"' 138"'-198'"

Inter-H-L (h 5-CL 126) 222-218" 222"-218"

Inter-H-H (h 11, h 14) 228-228" 231-231"

N-glycosylation sites / Sites de N-glycosylation / Posiciones de N-glicosilación

H CH2 N84.4: 299, 299"

Low fucosylated (<15%) complex bi-antennary CHO-type glycans / glycanes de type CHO bi-antennaires complexes faiblement fucosylés (<15%) / glicanos de tipo CHO biantenarijos complejos bajo fucosilados (<15%)

C-terminal lysine clipping / Coupure de la lysine C-terminale / Recorte de lisina C-terminal
H CHS K2: 449, 449"

epaldeudomidum

epaldeudomide

(1³S)-5²-fluoro(1^{3,2}H)-3-oxa-2(2,4)-isoindola-7(4)-morpholina-1(3)-piperidina-5(1,4)-benzenaheptaphane-1²,1⁶,2¹(2³H)-trione
immunomodulator, antineoplásico

épaldeudomide

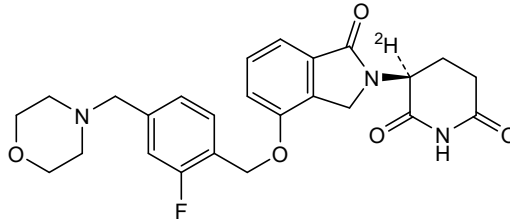
(1³S)-5²-fluoro(1^{3,2}H)-3-oxa-2(2,4)-isoindola-7(4)-morpholina-1(3)-pipéridina-5(1,4)-benzenaheptaphane-1²,1⁶,2¹(2³H)-trione
immunomodulateur, antinéoplasique

epaldeudomida

(1³S)-5²-fluoro(1^{3,2}H)-3-oxa-2(2,4)-isoindola-7(4)-morfolina-1(3)-piperidina-5(1,4)-bencenaheptafano-1²,1⁶,2¹(2³H)-triona
immunomodulador, antineoplásico

C₂₅H₂₅²HFN₃O₅

1918159-31-5



etuptamigum #
etuptamig

immunoglobulin L-kappa-H-gamma1_L-lambda-H-gamma1, anti-[*Homo sapiens* NCR3LG1 (natural killer cell cytotoxicity receptor 3 ligand 1, B7 homolog 6, B7-H6)] and anti-[*Homo sapiens* CD3E (CD3 epsilon, Leu-4)], monoclonal antibody, bispecific;

fused chain L-kappa-H-gamma1 anti-NCR3LG1 (1-698) (knob) [L-kappa anti-NCR3LG1 (1-214) [V-KAPPA (*Homo sapiens* IGKV1-16*01 (85.3%) -IGKJ2*01 (90.9%) Q120>A (100), CDR-IMGT [6.3.9] (27-32.50-52.89-97)) (1-107)-*Homo sapiens* IGKC*01 (100%) Km3 A45.1, V101 (C-KAPPA A45.1 (153), V101 (191')) (108'-214')] -38-mer(tetraglycylseryl-bis(EGKSSGSGSESKST)-tetraglycylseryl) linker (215-252) -[H-gamma-1 heavy chain anti-NCR3LG1 (253-698) [VH (*Homo sapiens* IGHV1-46*01 (81.6%) -(IGHD) -IGHJ5*01 (92.3%), CDR-IMGT [8.8.10] (278-285.303-310.349-358)) (253-369)-*Homo sapiens* IGHG1*03, G1m3, nG1m1, CH1 R120, CH3 E12, M14,6-G1v14 CH2 A1.3, A1.2, 14-G1v32 CH3 W22 (knob) (CH1 R120 (466) (370-467), hinge 1-15 (468-482), CH2 L1.3>A (486), L1.2>A (487) (483-592), CH3 E12 (608), M14 (610), T22>W (618) (593-697), CHS K2>del (698)) (370-698)]];

fused chain L-lambda6-H-gamma1 anti-CD3E (1-707) (hole) [L-lambda6 anti-CD3E (1'-215') [V-LAMBDA Musmus/Homsap (*Mus musculus* IGLV1*01 (82.3%) -IGLJ1*01 (100%)/*Homo sapiens* IGLV7-46*01 (76.8%) -IGLJ3*02 (100%), CDR-IMGT [9.3.9] (26'-34'-52'-54'-91'-99')) (1'-109') -*Homo sapiens* IGLC6*01 (100%) (C-LAMBDA6) (110'-215')] -38-mer (tetraglycylseryl-bis(EGKSSGSGSESKST)-tetraglycylseryl) linker (216'-253') -[H-gamma-1 anti-CD3E (254'-707')] [VH Musmus/Homsap (*Mus musculus* IGHV10-1*04 (93.0%) -(IGHD) -IGHJ3*01 (100%)/*Homo sapiens* IGHV3-73*01 (87.0%) -(IGHD) -IGHJ6*01 (81.8%) T123>L (373'), S128>A (378'), CDR-IMGT [8.10.16] (279'-286'-304'-313'-352'-367')) (254'-378')-*Homo sapiens* IGHG1*03, G1m3, nG1m1, CH1 R120, CH3 E12, M14, 6-G1v14 CH2 A1.3, A1.2, 14-G1v33 CH3 S22, A24, V86 (hole), 10-G1v83 CH3 R115, F116 (CH1 R120 (475') (379'-476'), hinge 1-15 (477'-491'), CH2 L1.3>A (495'), L1.2>A (496') (492'-601'), CH3 E12 (617'), M14 (619'), T22>S (627'), L24>A (629'), Y86>V (668'), H115>R (696'), Y116>F (697') (602'-706'), CHS K2>del (707')) (379'-707')]]; dimer (478-487':481-490')-bisdisulfide, produced in Chinese hamster ovary (CHO) cells, cell line CHO-K1, glycoform alfa
antineoplastic

étuptamig

immunoglobuline L-kappa-H-gamma1_L-lambda-H-gamma1, anti-[*Homo sapiens* NCR3LG1 (ligand 1 du récepteur 3 de la cytotoxicité des cellules tueuses naturelles, B7 homologue 6, B7-H6)] et anti-[*Homo sapiens* CD3E (CD3 epsilon, Leu-4)], anticorps monoclonal, bispécifique;

chaîne fusionnée L-kappa-H-gamma1 anti-NCR3LG1 (1-698) (knob) [L-kappa anti-NCR3LG1 (1-214) [V-KAPPA (*Homo sapiens* IGKV1-16*01(85.3%) -IGKJ2*01 (90.9%) Q120>A (100), CDR-IMGT [6.3.9] (27-32.50-52.89-97)) (1-107)-*Homo sapiens* IGKC*01 (100%) Km3 A45.1,

V101 (C-KAPPA A45.1 (153'), V101 (191')) (108'-214')] -38-mer(GGGGS tétraglycylséryl-bis(EGKSSGSGSESKST)-tétraglycylséryl) linker (215-252) -[H-gamma1 anti-NCR3LG1 (253-698) [VH (*Homo sapiens* IGHV1-46*01 (81.6%) - (IGHD) -IGHJ5*01 (92.3%), CDR-IMGT [8.8.10] (278-285.303-310.349-358)) (253-369)-*Homo sapiens* IGHG1*03, G1m3, nG1m1, CH1 R120, CH3 E12, M14,6-G1v14 CH2 A1.3, A1.2, 14-G1v32 CH3 W22 (knob) (CH1 R120 (466) (370-467), charnière 1-15 (468-482), CH2 L1.3>A (486), L1.2>A (487) (483-592), CH3 E12 (608), M14 (610), T22>W (618) (593-697), CHS K2>del (698)) (370-698)]; chaîne fusionnée L-lambda6-H-gamma1 anti-CD3E (1-707) (hole) [L-lambda6 anti-CD3E (1'-215') [V-LAMBDA Musmus/Homsap (*Mus musculus* IGLV1*01 (82.3%) -IGLJ1*01 (100%)]/*Homo sapiens* IGLV7-46*01 (76.8%) -IGLJ3*02 (100%), CDR-IMGT [9.3.9] (26'-34'.52'-54'.91'-99'')] (1'-109') -*Homo sapiens* IGLC6*01 (100%) (C-LAMBDA6) (110'-215')] -38-mer (GGGGS tétraglycylséryl-bis(EGKSSGSGSESKST)-tétraglycylséryl) linker (216'-253') - [H-gamma1 anti-CD3E (254'-707')] [VH Musmus/Homsap (*Mus musculus* IGHV10-1*04 (93.0%) - (IGHD) -IGHJ3*01 (100%)]/*Homo sapiens* IGHV3-73*01 (87.0%) - (IGHD) -IGHJ6*01 (81.8%) T123>L (373'), S128>A (378'), CDR-IMGT [8.10.16] (279'-286'.304'-313'.352'-367'')] (254'-378')-*Homo sapiens* IGHG1*03, G1m3, nG1m1, CH1 R120, CH3 E12, M14, 6-G1v14 CH2 A1.3, A1.2, 14-G1v33 CH3 S22, A24, V86 (hole), 10-G1v83 CH3 R115, F116 (CH1 R120 (475') (379'-476'), charnière 1-15 (477'-491'), CH2 L1.3>A (495'), L1.2>A (496') (492'-601'), CH3 E12 (617'), M14 (619'), T22>S (627'), L24>A (629'), Y86>V (668'), H115>R (696'), Y116>F (697') (602'-706'), CHS K2>del (707'')] (379'-707')]; dimère (478-487':481-490')-bisdisulfure, produit dans des cellules ovariennes de hamster chinois (CHO), lignée cellulaire CHO-K1, glycoforme alfa
antineoplasique

etuptamig

immunoglobulina L-kappa-H-gamma1_L-lambda-H-gamma1, anti-[*Homo sapiens* NCR3LG1 (ligando 1 del receptor 3 de la citotoxicidad de las células asesinas naturales, B7 homólogo 6, B7-H6)] y anti-[*Homo sapiens* CD3E (CD3 épsilon, Leu-4)], anticuerpo monoclonal, biespecífico; cadena fusionada L-kappa-H-gamma1 anti-NCR3LG1 (1-698) (knob) [L-kappa anti-NCR3LG1 (1-214) [V-KAPPA (*Homo sapiens* IGKV1-16*01 (85.3%) - IGKJ2*01 (90.9%) Q120>A (100), CDR-IMGT [6.3.9] (27-32.50-52.89-97))] (1-107)-*Homo sapiens* IGKC*01 (100%) Km3 A45.1, V101 (C-KAPPA A45.1 (153'), V101 (191')) (108'-214')] -38-mer(GGGGS tetraglicilseril-bis(EGKSSGSGSESKST)-tetraglicilseril) enlace (215-252) -[H-gamma1 anti-NCR3LG1 (253-698) [VH (*Homo sapiens* IGHV1-46*01 (81.6%) - (IGHD) - IGHJ5*01 (92.3%), CDR-IMGT [8.8.10] (278-285.303-310.349-358)) (253-369)-*Homo sapiens* IGHG1*03, G1m3, nG1m1, CH1 R120, CH3 E12, M14,6-G1v14 CH2 A1.3, A1.2, 14-G1v32 CH3 W22 (knob) (CH1 R120 (466) (370-467), bisagra 1-15 (468-482), CH2 L1.3>A (486), L1.2>A (487) (483-592), CH3 E12 (608), M14 (610), T22>W (618) (593-697), CHS K2>del (698)) (370-698)]; cadena fusionada L-lambda6-H-gamma1 anti-CD3E (1-707) (hole) [L-lambda6 anti-CD3E (1'-215') [V-LAMBDA Musmus/Homsap (*Mus musculus* IGLV1*01 (82.3%) -IGLJ1*01 (100%)]/*Homo sapiens* IGLV7-46*01 (76.8%) -IGLJ3*02 (100%), CDR-IMGT [9.3.9] (26'-34'.52'-54'.91'-99'')] (1'-109') -*Homo sapiens* IGLC6*01 (100%) (C-LAMBDA6) (110'-215')] -38-mer (GGGGS tetraglicilseril-bis(EGKSSGSGSESKST)-tetraglicilseril) enlace (216'-253') -[H-gamma1 anti-CD3E (254'-707')] [VH Musmus/Homsap (*Mus musculus* IGHV10-1*04 (93.0%) - (IGHD) -IGHJ3*01 (100%)]/*Homo sapiens* IGHV3-73*01 (87.0%) - (IGHD) - IGHJ6*01 (81.8%) T123>L (373'), S128>A (378'), CDR-IMGT [8.10.16] (279'-286'.304'-313'.352'-367'')] (254'-378')-*Homo sapiens* IGHG1*03, G1m3, nG1m1, CH1 R120, CH3 E12, M14, 6-G1v14 CH2 A1.3, A1.2, 14-G1v33 CH3 S22, A24, V86 (hole), 10-G1v83 CH3 R115, F116 (CH1 R120 (475') (379'-476'), bisagra 1-15 (477'-491'), CH2 L1.3>A (495'), L1.2>A (496') (492'-601'), CH3 E12 (617'), M14 (619'), T22>S (627'), L24>A (629'), Y86>V (668'), H115>R (696'), Y116>F (697') (602'-706'), CHS K2>del (707'')] (379'-707')]; dímero (478-487':481-490')-bisdisulfuro, producido en las células ováricas de hamster chino (CHO), línea celular CHO-K1, forma glicosilada alfa
antineoplásico

3009874-10-3

Fused chain / Chaîne fusionnée / Cadena fusionada:

L-kappa-H-gamma1 (L-H) anti-NCR3LG1 (knob)

DIQMTQSPSS LSASVGDVRT ITCKASQNVG KYVAWYQQKP GKAPKSLIYS 50
 ASNRYDGVPS RFSGSGSGTD FTLTISLQPF EDFATYFCQQ YISYPLTFGA 100
 GTKLEIKRTV AAPSVFIFPP SDEQLKSGTA SVVCLLNNFY PREAKVQWKV 150
 DNALQSGNSQ ESVTEQDSKD STYSLSSLT LT LSKADYEKHK VYACEVTHQG 200
 LSSPVTKSFN RGECCGGGSE GKSSGSGSE S KSTEGKSSGS GSESKSTGGG 250
 GSQVQLVQSG AEVVKPGASV KVSCKASGYT FTNYWMNWMK QAPQGQLEWI 300
 GGIYLNQDST DYNEKFKGKV TMTVDSTST VYMEISSLRS EDTAVYYCTR 350
 RGDYFGDFWG QGTLVTVSSA STKGPSVFPFL APSKSTSGG TAALGCLVKD 400
 YFPEPVTVSW NSGALTSGVH TFPVAVLQSSG LYSLSSVVTV PSSSLGTQTY 450
 ICNVNHHKPSN TKVDRKVEPK SCDKTHTCPP CPAPEAAGGP SVFLFPPPKPK 500
 DTLMISRTPE VTCVVVDVSH EDPEVKFNWY VDGVEVHNAK TKPREEQYNS 550
 TYRVVSVLTV LHQDWLNGKE YKCKVSNKAL PAPIEKTISK AKGQPREPQV 600
 YTLPPSREEM TKNQVSLWCL VKGFYPSDIA VEWESNGQPE NNYKTTTPVL 650
 DSDGSEFFLYS KLTVDKSRWQ QGNVFSCSVM HEALHNHYTQ KSLSLSPG 698

Fused chain / Chaîne fusionnée / Cadena fusionada:

L-lambda6-H-gamma1 (L'-H') anti-CD3E (hole)

EAVVTQEPFL TVSPGGTVTL TCRSSTGAVT TSNYANWVQE KPGQLPRGLI 50
 GGTNKRAPWV PARFSGSLLG GKAALTLGSA QPEDEAEYFC ALWYSNLWVF 100
 GGGTKLTVLG QPKAAPSVTL FPPSSEELQA NKATLVCLIS DFYPGAQVKA 150
 WKADGSPVNT GVETTTPSKQ SNNKYAASSY LSLTPPEQWKS HRSYSQCQVTH 200
 EGSTVEKIVA PAECSSGGGS EGKSSGSGSE SKSTEGKSSG SGSESKSTGG 250
 GGSEVQLVES GGLLVQPGGS LKLSAASGF TFNTYAMNWV RQAPGKLEW 300
 VARIRSKYNN YATYYADSVK DRFTISRDDS KNTAYLQMN N LKTEDTAVY 350
 CVRHNGFNS YVSWFAYWGQ GTLVTVSAAS TKGPSVFPFL PSSKSTSGG 400
 AALGCLVKDY FPEPVTVSWN SGALTSGVHT FPAVLQSSGL YSLSSVVTV 450
 SSSLGTQTYI CNVNHKPSNT KVDKRVPEPKS CDKTHTCPP CPAPEAAGGS 500
 VFLFPPPKPKD TLMISRTPEV TCVVVDVSH EDPEVKFNWY V DGVEVHNAK 550
 KPREEQYNST YRVVSVLTVL HQDWLNGKEY KCKVSNKALP APIEKTISKA 600
 KGQPREPQVY TLPSPREEMT KNQVSLSCAV KGFYPSDIAV EWESNGQPE 650
 NYKTTTPVLD SDGSEFFLVSK LTVDKSRWQ QGNVFSCSVMH EALHNRTQK 700
 SLSLSPG 707

Post-translational modifications

Disulfide bridges location / Position des ponts disulfure / Posiciones de los puentes disulfuro

L-H Intra-L (C23-C104) 23-88 134-194
 (knob) Intra-H (C23-C104) 274-348 396-452 513-573 619-677
 Intra-(L-H) (h 5-CL 126) 472-214
 L'-H' Intra-L' (C23-C104) 22'-90' 137'-196'
 (hole) Intra-H' (C23-C104) 275'-351' 405'-461' 522'-582' 628'-686'
 Intra-(L'-H') (h 5-CL 126) 481'-214'
 Inter-(L-H)-(L'-H') (h 11, h 14) 478-487' 481-490'

N-glycosylation sites / Sites de N-glycosylation / Posiciones de N-glicosilación

H CH2 N84.4: 549, 558"

Fucosylated complex bi-antennary CHO-type glycans / glicanes de type CHO bi-antennaires
 complexes fucosylés / glicanos de tipo CHO biantennarios complejos fucosilados

exerenibartum

exerenibart

immunoglobulin G4-kappa, anti-[*Homo sapiens* Tmprss6 (transmembrane serine protease 6, matrilysin-2, MT2)], *Homo sapiens* monoclonal antibody; H-gamma4 heavy chain *Homo sapiens* (1-451) [VH (*Homo sapiens*IGHV3-23*04 (95.9%) -(IGHD) -IGHJ1*01 (90.9%) L123>T (119), CDR-IMGT [8.8.17] (26-33.51-58.97-113)) (1-124) -*Homo sapiens* IGHG4*01, nG4m(a) CH2 L92, 12-G4v5 h P10 (CH1 (125-222), hinge 1-12 S10>P (232) (223-234), CH2 L92 (313) (235-344), CH3 (345-449), CHS (450-451)) (125-451)], (138-214')-disulfide with L-kappa light chain *Homo sapiens* (1'-214') [V-KAPPA (*Homo sapiens* IGKV1-12*01 (92.6%) -IGKJ3*01 (100%), CDR-IMGT [6.3.9] (27'-32'.50'-52'.89'-97')) (1'-107') -*Homo sapiens* IGKC*01 (100%) Km3 A45.1, V101 (C-KAPPA A45.1 (153'), V101 (191')) (108'-214')]; dimer (230-230":233-233")-bisdisulfide, produced in Chinese hamster ovary (CHO) cells, cell line CHO-K1, glycoform alfa
iron metabolism regulator

exéréribart immunoglobuline G4-kappa, anti-[*Homo sapiens* Tmprss6 (sérine protéase transmembranaire 6, matriptase-2, MT2)], anticorps monoclonal *Homo sapiens*;
chaîne lourde H-gamma4 *Homo sapiens* (1-451) [VH (*Homo sapiens* IGHV3-23*04 (95.9%) -(IGHD) -IGHJ1*01 (90.9%) L123>T (119), CDR-IMGT [8.8.17] (26-33.51-58.97-113)) (1-124) -*Homo sapiens* IGHG4*01, nG4m(a) CH2 L92, 12-G4v5 h P10(CH1 (125-222), charnière 1-12 S10>P (232) (223-234), CH2 L92 (313) (235-344), CH3 (345-449), CHS (450-451)) (125-451)], (138-214')-disulfure avec la chaîne légère L-kappa *Homo sapiens* (1'-214') [V-KAPPA (*Homo sapiens* IGKV1-12*01 (92.6%) -IGKJ3*01 (100%), CDR-IMGT [6.3.9] (27'-32'.50'-52'.89'-97'')) (1'-107') -*Homo sapiens* IGKC*01 (100%) Km3 A45.1, V101 (C-KAPPA A45.1 (153'), V101 (191')) (108'-214')]; dimère (230-230":233-233")-bisdisulfure, produit dans des cellules ovaires de hamster chinois (CHO), lignée cellulaire CHO-K1, glycoforme alpha régulateur du métabolisme du fer

exerenibart inmunoglobulina G4-kappa, anti-[*Homo sapiens* Tmprss6 (serina proteasa transmembranaria 6, matriptasa-2, MT2)], anticuerpo monoclonal *Homo sapiens*;
cadena pesada H-gamma4 *Homo sapiens* (1-451) [VH (*Homo sapiens* IGHV3-23*04 (95.9%) -(IGHD) -IGHJ1*01 (90.9%) L123>T (119), CDR-IMGT [8.8.17] (26-33.51-58.97-113)) (1-124) -*Homo sapiens* IGHG4*01, nG4m(a) CH2 L92, 12-G4v5 h P10(CH1 (125-222), bisagra 1-12 S10>P (232) (223-234), CH2 L92 (313) (235-344), CH3 (345-449), CHS (450-451)) (125-451)], (138-214')-disulfuro con la cadena ligera L-kappa *Homo sapiens* (1'-214') [V-KAPPA (*Homo sapiens* IGKV1-12*01 (92.6%) -IGKJ3*01 (100%), CDR-IMGT [6.3.9] (27'-32'.50'-52'.89'-97'')) (1'-107') -*Homo sapiens* IGKC*01 (100%) Km3 A45.1, V101 (C-KAPPA A45.1 (153'), V101 (191')) (108'-214')]; dímero (230-230":233-233")-bisdisulfuro, producido en las células ováricas de hámster chino (CHO), línea celular CHO-K1, forma glicosilada alfa regulador del metabolismo del hierro

2996101-49-4

Heavy chain / Chaîne lourde / Cadena pesada

```
EVQLVESGGG LVQPGGSLRL SCAASGFTFS SYAMTWVRQA PGKGLEWVSA 50
ISGSDTSTYY ADSVKGRFTI SRDNSKNTLF LQMNSLRAED TAVYYCAKHK 100
DYDFSYYYSA MDVWGQGTIV TVSSASTKGP SVFPLAPCSR STSESTAALG 150
CLVKDYFPEP VTVSWNSGAL TSGVHTFPAV LQSSGLYSLS SVTVTPSSSL 200
GKTKYTCNVD HKPSNTKVDK RVESKYGPPC PPCPAPEFLG GPSVFLFPFK 250
PKDTLMISRT PEVTCVVVDV SQEDPEVQFN WYDVGVEVHN AKTKPREEQF 300
NSTYRVVSVL TVLHQDWLNG KEYKCKVSNK GLPSSIEKTI SKAKGQPREP 350
QVYTLPPSQE EMTKNQVSLT CLVKGFYPSD IAVEWESNGQ PENNYKTPFP 400
VLDSDGSGFPL YSRLTVDKSR WQEGNVFSCS VMHEALHNNH YTKSLSLSLG 450
K 451
```

Light chain / Chaîne légère / Cadena ligera

```
DIQMTQSPSS LSASVGRDVI ITCRASQDFN SWLAWYQQKP GKAPKLLIYA 50
ASSLQSGVPS RFGSGSGDFT FTLTISSLQP EDFATYYCQQ TDSFPPTFGP 100
GTKVDIKRVT AAPSVFIFPP SDEQLKSGTA SVVCLLNNFY PREAKVQWKV 150
DNALQSGNSQ ESVTEQDSKD STYLSLSTLT LSKADYKHK VYACEVTHQG 200
LSSPVTKSFN RGEK 214
```

Post-translational modifications

Disulfide bridges location / Position des ponts disulfure / Posiciones de los puentes disulfuro

Intra-H (C23-C104) 22-96 151-207 265-325 371-429
22"-96" 151"-207" 265"-325" 371"-429"

Intra-L (C23-C104) 23'-88' 134'-194'
23"'-88"' 134"'-194"

Inter-H-L (CH1 10-CL 126) 138-214' 138"-214"

Inter-H-H (h 8, h 11) 230-230" 233-233"

N-glycosylation sites / Sites de N-glycosylation / Posiciones de N-glicosilación

H CH2 N84.4: 301, 301"

Fucosylated complex bi-antennary CHO-type glycans / glycanes de type CHO bi-antennaires complexes fucosylés / glicanos de tipo CHO biantennarios complejos fucosilados

C-terminal lysine clipping / Coupure de la lysine C-terminale / Recorte de lisina C-terminal

H CHS K2: 451, 451"

famlasertibum

famlasertib

2-[4-({4-[3-(3-chlorophenyl)-1*H*-pyrrolo[2,3-*b*]pyridin-5-yl]phenyl)methyl)piperazin-1-yl]ethan-1-ol
serine/threonine kinase inhibitor, amyotrophic lateral sclerosis

famlasertib

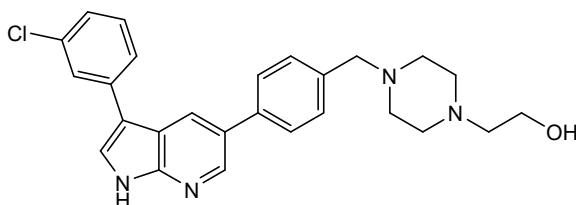
2-[4-({4-[3-(3-chlorophényl)-1*H*-pyrrolo[2,3-*b*]pyridin-5-yl]phényl)méthyl)pipérazin-1-yl]éthan-1-ol
inhibiteur de sérine/thréonine kinases, sclérose latérale amyotrophique

famlasertib

2-[4-({4-[3-(3-clorofenil)-1*H*-pirrolo[2,3-*b*]piridin-5-il]fenil)metil)piperazin-1-il]etan-1-ol
inhibidor de la serina/treonina kinasa, esclerosis lateral amiotrófica

C₂₆H₂₇ClN₄O

2375591-69-6

**fexlamosum**

fexlamose

6-thio- α -D-glucopyranosyl 6-thio- α -D-glucopyranoside; 6,6'-dithiotrehalose
mucolytic

fexlamose

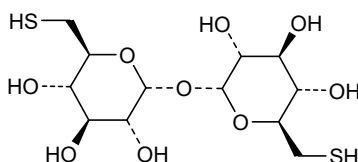
6-thio- α -D-glucopyranoside de 6-thio- α -D-glucopyranosyle; 6,6'-dithiotréhalose
mucolytique

fexlamosa

6-tio- α -D-glucopiranosido de 6-tio- α -D-glucopiranosilo; 6,6'-ditiotrehalosa
mucolítico

C₁₂H₂₂O₉S₂

1285607-08-0

**firsekibartum #**

firsekibart

immunoglobulin G4-lambda2, anti-[*Homo sapiens* IL1B (interleukin 1 beta, IL-1B, 1L1F2)], *Homo sapiens* monoclonal antibody;
H-gamma4 heavy chain *Homo sapiens* (1-455) [VH (*Homo sapiens* IGHV3-49*05 (94.0%) -(IGHD) -IGHJ6*01 (94.4%), CDR-IMGT [8.10.19] (26-33.51-60.99-117)) (1-128) -*Homo sapiens* IGHG4*01, nG4m(a) CH2 L92, 12-G4v5 h P10(CH1 (129-226), hinge 1-12 S10>P (236) (227-238), CH2 L92 (317) (239-348), CH3 (349-453), CHS (454-455)) (129-455)], (142-211')-disulfide

with L-lambda2 light chain *Homo sapiens* (1'-212') [V-LAMBDA (*Homo sapiens* IGLV3-1*01 (96.8%) -IGLJ2*01 (100%), CDR-IMGT [6.3.9] (26'-31'.49'-51'.88'-96'')) (1'-106') -*Homo sapiens* IGLC2*01 (100%) (C-LAMBDA2) (107'-212')]; dimer (234-234":237-237")-bisdisulfide, produced in Chinese hamster ovary (CHO) cells, cell line CHO-K1, glycoform alfa
anti-inflammatory

firsékibart immunoglobuline G4-lambda2, anti-[*Homo sapiens* IL1B (interleukine 1 bêta, IL-1B, 1L1F2)], anticorps monoclonal *Homo sapiens*;
chaîne lourde H-gamma4 *Homo sapiens* (1-455) [VH (*Homo sapiens* IGHV3-49*05 (94.0%) -(IGHD) -IGHJ6*01 (94.4%), CDR-IMGT [8.10.19] (26-33.51-60.99-117)) (1-128) -*Homo sapiens* IGHG4*01, nG4m(a) CH2 L92, 12-G4v5 h P10(CH1 (129-226), charnière 1-12 S10>P (236) (227-238), CH2 L92 (317) (239-348), CH3 (349-453), CHS (454-455)) (129-455)], (142-211')-disulfure avec la chaîne légère L-lambda2 *Homo sapiens* (1'-212') [V-LAMBDA (*Homo sapiens* IGLV3-1*01 (96.8%) -IGLJ2*01 (100%), CDR-IMGT [6.3.9] (26'-31'.49'-51'.88'-96'')) (1'-106') -*Homo sapiens* IGLC2*01 (100%) (C-LAMBDA2) (107'-212')]; dimère (234-234":237-237")-bisdisulfure, produit dans des cellules ovariennes de hamster chinois (CHO), lignée cellulaire CHO-K1, glycoforme alfa
anti-inflammatoire

firsekibart inmunoglobulina G4-lambda2, anti-[*Homo sapiens* IL1B (interleukina 1 beta, IL-1B, 1L1F2)], anticuerpo monoclonal *Homo sapiens*;
cadena pesada H-gamma4 *Homo sapiens* (1-455) [VH (*Homo sapiens* IGHV3-49*05 (94.0%) -(IGHD) -IGHJ6*01 (94.4%), CDR-IMGT [8.10.19] (26-33.51-60.99-117)) (1-128) -*Homo sapiens* IGHG4*01, nG4m(a) CH2 L92, 12-G4v5 h P10(CH1 (129-226), bisagra 1-12 S10>P (236) (227-238), CH2 L92 (317) (239-348), CH3 (349-453), CHS (454-455)) (129-455)], (142-211')-disulfuro con la cadena ligera L-lambda2 *Homo sapiens* (1'-212') [V-LAMBDA (*Homo sapiens* IGLV3-1*01 (96.8%) -IGLJ2*01 (100%), CDR-IMGT [6.3.9] (26'-31'.49'-51'.88'-96'')) (1'-106') -*Homo sapiens* IGLC2*01 (100%) (C-LAMBDA2) (107'-212')]; dímero (234-234":237-237")-bisdisulfuro, producido en las células ováricas de hámster chino (CHO), línea celular CHO-K1, forma glicosilada alfa
antiinflamatorio

2981430-39-9

Heavy chain / Chaîne lourde / Cadena pesada
 DYALNWFQRQA PGMGLEWVGF 50
 IRGKAYGGTT EYAASVKGRF TRSRDSSKSI AYLQMNLSKT EDTAVYYCNR 100
 EYEVCRSSEN YCYGMDWQGT GTTIVTVSSAS TKGFSVFPLA PCRSRSTSEST 150
 AALGLVVKDY FPEPFTVSNH SGALTSQVHT FFAVLQSSGL YLSSVTVTF 200
 SSSLGTRKTYT CNVDHKPSNT KVDRRVESKY GPFCPCPCAP EFLGFSVFL 250
 FPKPKRDTLM ISRTPVCTVV VDVVSQEDPE VQFNWYVDGV EVHNAKTRR 300
 EEQFNSTYRV VSVLTVLHQD WLNKGEYKCK VSNKGLPSSI EKTISKAKGQ 350
 PREPQVYITL F SQEEMTKNQ VSLTCLVKGK YPSDIAVEWE SNGQPENNYK 400
 TTPFVLDSDG SFFLYSLRV DKSRLWQEGNV FSCSVMHEAL HNHYTQKSL 450
 LSLGK 455

Light chain / Chaîne légère / Cadena ligera
 SYELTQPPSV SVSPGQTASI TCSGDKLGDK FACWYQKPG QSPVLVIYQD 50
 TKRPSGIFER FSGSNSGNTA TLTISGTQAM DEADYICQAW DSNTVVFVGG 100
 TKLTVLQPK AAPSVTLFPP SSEEELQANK TLVCLISDFY PGAVTVAWKA 150
 DSSPVKAGVE TTPFSKQSN KYAASSYLST TPEQWKSRRS YSCQVTHEGS 200
 TVEKTVAPTE CS 212

Post-translational modifications
 Disulfide bridges location / Position des ponts disulfure / Posiciones de los puentes disulfuro
 Intra-H (C23-C104) 22-98 105-112 155-211 269-329 375-433
 22"-98" 105"-112" 155"-211" 269"-329" 375"-433"
 Intra-L (C23-C104) 22-87 134-193
 22"-87" 134"-193"
 Inter-H-L (CH1 10-CL 126) 142-211" 142"-211"
 Inter-H-H (h 8, h 11) 234-234" 237-237"

N-glycosylation sites / Sites de N-glycosylation / Posiciones de N-glicosilación
 H CH2 N84.4: 305, 305"
 Fucosylated complex bi-antennary CHO-type glycans / glycanes de type CHO bi-antennaires complexes fucosylés / glicanos de tipo CHO biantennarios complejos fucosilados

C-terminal lysine clipping / Coupeure de la lysine C-terminale / Recorte de lisina C-terminal
 H CHS K2: 455, 455"

florcicaperum (¹⁸F)
florcicaper (¹⁸F)

rac-{[(1*R*,2*S*)-2-[(5*RS*)-5-(¹⁸F)fluorotridecyl]cyclopropyl]acetic acid
imaging agent

florcicaper (¹⁸F)

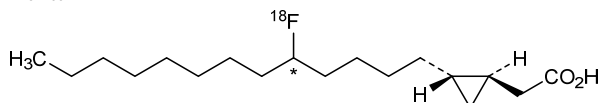
acide *rac*-{[(1*R*,2*S*)-2-[(5*RS*)-5-(¹⁸F)fluorotridécyl]cyclopropyl]acétique
agent d'imagerie diagnostique

florcicapero (¹⁸F)

ácido *rac*-{[(1*R*,2*S*)-2-[(5*RS*)-5-(¹⁸F)fluorotridecil]ciclopropil]acético
agente de diagnóstico por imagen

C₁₈H₃₃¹⁸F O₂

855927-17-2



its epimer at C* and their enantiomers
son épimère en C* et leurs énantiomères
su epimero al C* y sus enantiómeros

florensocatibum
florensocatib

(2*S*)-*N*-{[(1*S*)-1-cyano-2-[2-fluoro-4-(3-methyl-2-oxo-2,3-dihydro-1,3-benzoxazol-5-yl)phenyl]ethyl]-1,4-oxazepane-2-carboxamide
cathepsin inhibitor

florensocatib

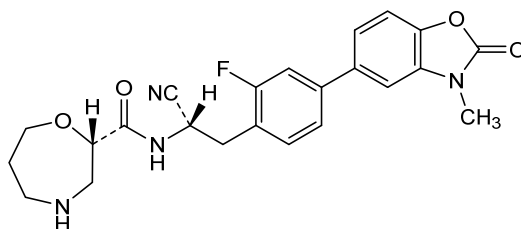
(2*S*)-*N*-{[(1*S*)-1-cyano-2-[2-fluoro-4-(3-méthyl-2-oxo-2,3-dihydro-1,3-benzoxazol-5-yl)phényl]éthyl]-1,4-oxazépane-2-carboxamide
inhibiteur de la cathepsine

florensocatib

(2*S*)-*N*-{[(1*S*)-1-ciano-2-[2-fluoro-4-(3-metil-2-oxo-2,3-dihidro-1,3-benzoxazol-5-il)fenil]etil]-1,4-oxazepano-2-carboxamida
inhibidor de la catepsina

C₂₃H₂₃FN₄O₄

2762114-61-2



flormotridazum (¹⁸F)
flormotridaz (¹⁸F)

2-*tert*-butyl-4-chloro-5-[(3-{[4-({2-[2-(¹⁸F)fluoroethoxy]ethoxy)methyl]-1*H*-1,2,3-triazol-1-yl]methyl}phenyl)methoxy]pyridazin-3(2*H*)-one
imaging agent

flormotridaz (¹⁸F)

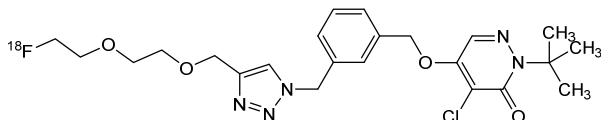
2-*tert*-butyl-4-chloro-5-[(3-[[4-({2-[2-(¹⁸F)fluoroéthoxy]éthoxy)méthyl]-1*H*-1,2,3-triazol-1-yl)méthyl]phényl)méthoxy]pyridazin-3(2*H*)-one
agent d'imagerie diagnostique

flormotridaz (¹⁸F)

2-*tert*-butyl-4-chloro-5-[(3-[[4-({2-[2-(¹⁸F)fluoroetoxi]etoxi)metil]-1*H*-1,2,3-triazol-1-il]metil]fenil)metoxi]piridazin-3(2*H*)-ona
agente de diagnóstico por imagen

C₂₃H₂₉Cl¹⁸FN₅O₄

2798832-03-6

**fosizensertibum**

fosizensertib

(2*S*)-1-(5-[[1-(difluorométhyl)-1*H*-pyrazol-4-yl]éthynyl]-*N*-méthylpyridine-3-carboxamido)-3-phénylpropan-2-yl dihydrogen phosphate
receptor-interacting serine/threonine protein (RIP-1) kinase inhibitor

fosizensertib

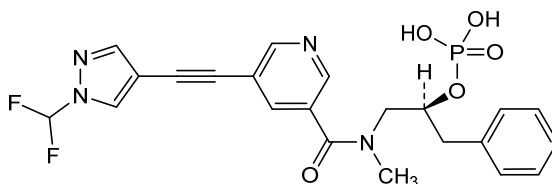
dihydrogénophosphate de (2*S*)-1-(5-[[1-(difluorométhyl)-1*H*-pyrazol-4-yl]éthynyl]-*N*-méthylpyridine-3-carboxamido)-3-phénylpropan-2-yle
inhibiteur de la protéine kinase 1 interagissant avec les récepteurs (RIP-1)

fosizensertib

dihidrógenofosfato de (2*S*)-1-(5-[[1-(difluorometil)-1*H*-pirazol-4-il]etnil]-*N*-metilpiridina-3-carboxamido)-3-fenilpropan-2-ilo
inhibidor del receptor que interactua con la proteína serina/treonina (RIP-1) kinasa

C₂₂H₂₁F₂N₄O₅P

2905377-00-4

**fosrugocrixanum**

fosrugocrixan

(2*R*)-2-[(2-amino-5-[[1*S*]-1-phényléthyl]sulfanyl)[1,3]thiazolo[4,5-*d*]pyrimidin-7-yl)amino]-4-méthylpentyl dihydrogen phosphate
CX3C chemokine receptor 1 (CX3CR1) antagonist, anti-inflammatory

fosrugocrixan

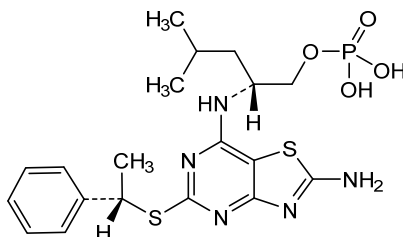
dihydrogénophosphate de (2*R*)-2-[(2-amino-5-[[1*S*]-1-phényléthyl]sulfanyl)[1,3]thiazolo[4,5-*d*]pyrimidin-7-yl)amino]-4-méthylpentyle
antagoniste du récepteur 1 de la chimioquine CX3C (CX3CR1), anti-inflammatoire

fosrugocixán

dihidrogenofosfato de (2R)-2-[(2-amino-5-[(1S)-1-feniletil]sulfanil)[1,3]tiazolo[4,5-d]pirimidin-7-il)amino]-4-metilpentilo
antagonista del receptor 1 de la quimioquina CX3C (CX3CR1), antiinflamatorio

C₁₉H₂₆N₅O₄PS₂

2408145-38-8

**fudapirinum**

fudapirine

(1R,2S)-1-[5-(4-clorofenil)-2-metoxipiridin-3-yl]-4-(dimetilamino)-2-(naphthalen-1-yl)-1-fenilbutan-2-ol
antibacterial

fudapirine

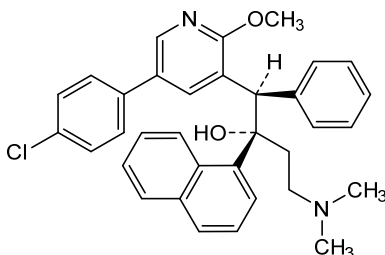
(1R,2S)-1-[5-(4-clorofénil)-2-métoxipiridin-3-yl]-4-(diméthylamino)-2-(naphtalén-1-yl)-1-fenylbutan-2-ol
antibactérien

fudapirina

(1R,2S)-1-[5-(4-clorofenil)-2-metoxipiridin-3-il]-4-(dimetilamino)-1-fenil-2-(naftalen-1-il)butan-2-ol
antibacteriano

C₃₄H₃₃ClN₂O₂

1859978-72-5

**fulipiftidum**

fulipiftide

pigment epithelium-derived factor (*Homo sapiens*) (PEDF, cell proliferation-inducing gene 35 protein, PIG-35, EPC-1, serpin F1), N²-acetyl-(74-102)-peptide (1-29)-29-amide;
N-acetyl-L-seryl-L-leucylglycyl-L-alanyl-L-α-glutamyl-L-glutamyl-L-arginyl-L-threonyl-L-α-glutamyl-L-seryl-L-isoleucyl-L-isoleucyl-L-histidyl-L-arginyl-L-alanyl-L-leucyl-L-tyrosyl-L-tyrosyl-L-α-aspartyl-L-leucyl-L-isoleucyl-L-seryl-L-seryl-L-prolyl-L-α-aspartyl-L-isoleucyl-L-histidylglycyl-L-threoninamide
anti-inflammatory

chaîne lourde H-gamma1 humanisée (1-452) [VH (*Homo sapiens* IGHV3-23*04 (90.8%) -(IGHD) -IGHJ4*01 (80.0%) S128>A (122), CDR-IMGT [8.8.15] (26-33.51-58.97-111)) (1-122) -*Homo sapiens* IGHG1*03v (100%) G1m3>G1m17, nG1m1 CH1 K120, CH3 E12, M14 (CH1 R120>K (219) (123-220), charnière 1-15 (221-235), CH2 (236-345), CH3 E12 (361), M14 (363) (346-450), CHS (451-452)) (123-452)], (225-214')-disulfure avec la chaîne légère L-kappa humanisée (1'-214') [V-KAPPA (*Homo sapiens* IGKV1-9*01 (85.3%) -IGKJ4*01 (90.9%) V124>L (104'), CDR-IMGT [6.3.9] (27'-32'.50'-52'.89'-97')) (1'-107') -*Homo sapiens* IGKC*01 (100%) Km3 A45.1, V101 (C-KAPPA A45.1 (153'), V101 (191')) (108'-214')]; dimère (231-231'':234-234'')-bisdisulfure, produit dans des cellules ovariennes de hamster chinois (CHO), lignée cellulaire CHO-K1, glycoforme alfa *immunostimulant, antinéoplasique*

futermostotug

inmunoglobulina G1-kappa, anti-[*Homo sapiens* CTLA4 (proteína 4 asociada a los linfocitos T citotóxicos, CTLA-4, CD152)], anticuerpo monoclonal humanizado;

cadena pesada H-gamma1 humanizada (1-452) [VH (*Homo sapiens* IGHV3-23*04 (90.8%) -(IGHD) -IGHJ4*01 (80.0%) S128>A (122), CDR-IMGT [8.8.15] (26-33.51-58.97-111)) (1-122) -*Homo sapiens* IGHG1*03v (100%) G1m3>G1m17, nG1m1 CH1 K120, CH3 E12, M14 (CH1 R120>K (219) (123-220), bisagra 1-15 (221-235), CH2 (236-345), CH3 E12 (361), M14 (363) (346-450), CHS (451-452)) (123-452)], (225-214')-disulfuro con la cadena ligera L-kappa humanizada (1'-214') [V-KAPPA (*Homo sapiens* IGKV1-9*01 (85.3%) -IGKJ4*01 (90.9%) V124>L (104'), CDR-IMGT [6.3.9] (27'-32'.50'-52'.89'-97')) (1'-107') -*Homo sapiens* IGKC*01 (100%) Km3 A45.1, V101 (C-KAPPA A45.1 (153'), V101 (191')) (108'-214')]; dímero (231-231'':234-234'')-bisdisulfuro, producido en las células ováricas de hámster chino (CHO), línea celular CHO-K1, forma glicosilada alfa *immunoestimulante, antineoplásico*

3014361-57-7

Heavy chain / Chaîne lourde / Cadena pesada

```
EVQLVESGGG LVQPGGSLRL SCAASGFTFS SYTMSWVRQA PGKLEWVAT 50
ISRGGGYSY PDSVKGRFTI SRDNSKNTLY LQMNSLRAED TAVYICARE 100
YGSYYVHWF A YWQGQTLVTV SAASTKGPSV FPLAPSSKST SGGTAAALGCL 150
VKDYFPEPVT VSWNSGALTS GVHTFPAVLQ SSGLYSLSSV VTVPSSSLGT 200
QTYICNVNHK PSNTKVDKVK EPKSCDKTHT CPPCPAPELL GGPSVFLFPP 250
KPKDTLMISR TPEVTCVVVD VSHEDPEVKF NNYVDGVEVH NAKTKPREEQ 300
YNSTYRVVSV LTVLHQDNLN GKEYKCKVSN KALPAPIEKT ISKARGQPRE 350
PQVYTLPPSR EEMTRKQVSL TCLVKGFYPS DIAVEWESNG QPENNYKTFP 400
FVLDSGDSFF LYSKLTVDKS RWQQGNVFSC SVMHEALHNN YTQKSLSLSP 450
GK 452
```

Light chain / Chaîne légère / Cadena ligera

```
DIQMTQSPSF LSASVGRVIT ITCRAGENIY SYLAWYQQKPK GKAPKLLIYN 50
ARTLAEGVPS RFSGSGSGTE FTLTISSLQP EDFATYYCQH HYGSPRTFFG 100
GTKLEIKRVT AAPSIVFIFPP SDEQLKSGTA SVVCLLNNFY PREAKVQKWK 150
DNALQSGNSQ ESVTEQDSKD STYLSLSTLT LSKADYKHKH VYACEVTHQG 200
LSSPVTKSFN RGEK 214
```

Post-translational modifications

Disulfide bridges location / Position des ponts disulfure / Posiciones de los puentes disulfuro

Intra-H (C23-C104) 22-96 149-205 266-326 372-430
22"-96" 149"-205" 266"-326" 372"-430"

Intra-L (C23-C104) 23'-88' 134'-194'
23'''-88''' 134'''-194'''

Inter-H-L (h 5-CL 126) 225-214' 225"-214"

Inter-H-H (h 11, h 14) 231-231" 234-234"

N-glycosylation sites / Sites de N-glycosylation / Posiciones de N-glicosilación

H CH2 N84.4: 302, 302"

Fucosylated complex bi-antennary CHO-type glycans / glycanes de type CHO bi-antennaires complexes fucosylés / glicanos de tipo CHO biantenarios complejos fucosilados

C-terminal lysine clipping / Coupeure de la lysine C-terminale / Recorte de lisina C-terminal
H CHS K2: 452, 452"

gadosircoclamidum

gadosircoclamide

[2,2',2''-(10-{2-[(cyclohexylmethyl)amino]-2-oxo-κO-éthyl}-1,4,7,10-tetraazacyclododécane-1,4,7-triyl-κ⁴N¹,N⁴,N⁷,N¹⁰})tri(acétato-κO)]gadolinium
radiodiagnostic agent

gadosircoclamide

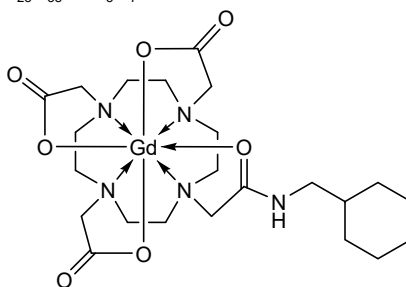
[2,2',2''-(10-{2-[(cyclohexylméthyl)amino]-2-oxo-κO-éthyl}-1,4,7,10-tétraazacyclododécane-1,4,7-triyl-κ⁴N¹,N⁴,N⁷,N¹⁰})tri(acétato-κO)]gadolinium
produit de radiodiagnostic

gadosircoclamida

[2,2',2''-(10-{2-[(ciclohexilmetil)amino]-2-oxo-κO-etil}-1,4,7,10-tetraazaciclododécano-1,4,7-triil-κ⁴N¹,N⁴,N⁷,N¹⁰})tri(acetato-κO)]gadolinio
agente de radiodiagnóstico

C₂₃H₃₈GdN₅O₇

1801159-68-1

**garetatugum #**

garetatug

immunoglobulin G1-kappa, anti-[*Homo sapiens* CLDN18 (claudin 18, claudin-18, surfactant associated protein J, SFTPJ) isoform 2], humanized monoclonal antibody;

H-gamma1 heavy chain humanized (1-448) [VH (*Homo sapiens* IGHV1-3*01 (87.8%) -(IGHD) - IGHJ4*01 (92.9%) L123>T (113), CDR-IMGT [8.8.11] (26-33,51-58,97-107)) (1-118) -*Homo sapiens* IGHG1*01 (100%) G1m17,1 CH1 K120, CH3 D12, L14 (CH1 K120 (215) (119-216), hinge 1-15 (217-231), CH2 (232-341), CH3 D12 (357), L14 (359) (342-446), CHS (447-448)) (119-448)], (221-220')-disulfide with L-kappa light chain humanized (1'-220') [V-KAPPA (*Homo sapiens* IGKV4-1*01 (90.1%) -IGKJ2*02 (100%), CDR-IMGT [12.3.9] (27'-38'.56'-58'.95'-103'')) (1'-113') -*Homo sapiens* IGKC*01 (100%) Km3 A45.1, V101 (C-KAPPA A45.1 (159'), V101 (197'')) (114'-220')]; dimer (227-227":230-230")-bisdisulfide, produced in Chinese hamster ovary (CHO) cells, cell line CHO-K1, glycoform alfa
antineoplastic

garétatug

immunoglobuline G1-kappa, anti-[*Homo sapiens* CLDN18 (claudine 18, claudine-18, protéine J associée au surfactant, SFTPJ) isoforme 2], anticorps monoclonal humanisé;

chaîne lourde H-gamma1 humanisée (1-448) [VH (*Homo sapiens* IGHV1-3*01 (87.8%)-(IGHD) -IGHJ4*01 (92.9%) L123>T (113), CDR-IMGT [8.8.11] (26-33.51-58.97-107)) (1-118) -*Homo sapiens* IGHG1*01 (100%) G1m17,1 CH1 K120, CH3 D12, L14 (CH1 K120 (215) (119-216), charnière 1-15 (217-231), CH2 (232-341), CH3 D12 (357), L14 (359) (342-446), CHS (447-448)) (119-448)], (221-220')-disulfure avec la chaîne légère L-kappa humanisée (1'-220') [V-KAPPA (*Homo sapiens* IGKV4-1*01 (90.1%) -IGKJ2*02 (100%), CDR-IMGT [12.3.9] (27'-38'.56'-58'.95'-103')) (1'-113') -*Homo sapiens* IGKC*01 (100%) Km3 A45.1, V101 (C-KAPPA A45.1 (159'), V101 (197')) (114'-220')]; dimère (227-227":230-230")-bisdisulfure, produit dans des cellules ovariennes de hamster chinois (CHO), lignée cellulaire CHO-K1, glycoforme alfa *antineoplasique*

garetatug

inmunoglobulina G1-kappa, anti-[*Homo sapiens* CLDN18 (claudina 18, claudina-18, proteína J asociada al surfactante, SFTPJ) isoforma 2], anticuerpo monoclonal humanizado;
cadena pesada H-gamma1 humanizada (1-448) [VH (*Homo sapiens* IGHV1-3*01 (87.8%)-(IGHD) -IGHJ4*01 (92.9%) L123>T (113), CDR-IMGT [8.8.11] (26-33.51-58.97-107)) (1-118) -*Homo sapiens* IGHG1*01 (100%) G1m17,1 CH1 K120, CH3 D12, L14 (CH1 K120 (215) (119-216), bisagra 1-15 (217-231), CH2 (232-341), CH3 D12 (357), L14 (359) (342-446), CHS (447-448)) (119-448)], (221-220')-disulfuro con la cadena ligera L-kappa humanizada (1'-220') [V-KAPPA (*Homo sapiens* IGKV4-1*01 (90.1%) -IGKJ2*02 (100%), CDR-IMGT [12.3.9] (27'-38'.56'-58'.95'-103')) (1'-113') -*Homo sapiens* IGKC*01 (100%) Km3 A45.1, V101 (C-KAPPA A45.1 (159'), V101 (197')) (114'-220')]; dímero (227-227":230-230")-bisdisulfuro, producido en las células ováricas de hámster chino (CHO), línea celular CHO-K1, forma glicosilada alfa *antineoplásico*

3023285-05-1

Heavy chain / Chaîne lourde / Cadena pesada

```
EVQLVQSGAE VKKPGASVKV SCKASGYTFT SYWMHWVRQA PGQRLEWGMG 50
IHPNSGTSNY NEKFKGRVTI TRDTSASTAY MELSSLRSED TAVYICARLK 100
TGNSTFDYWQ GTTVTVSSAS TKGPSVFLPLA PSSKSTSGGT AALGCLVKDY 150
FPEPVTVSWN SGALTSQVHT FPAVLQSSGL YSLSSVVTVP SSSLGTQTYI 200
CIVNHNKPSNT KVDKKVEPKS CDKTHTCPPC PAPELLGGPS VFLFPPKPKD 250
TLMISRTPEV TCVVVDVSHS DPEVKFNWYV DGVEVHNAKT KPREEQYNST 300
YRVVSVLTVL HQDWLNGKEY KCKVSNKALP APIEKTISKA KGQPREPQVY 350
TLPPSRDELK KNQVSLTCLV KGFYPSDIAV EWESNGQPEN NYKTTTPVLD 400
SDGSFFLYSK LTVDKSRWQQ GNVFSCSVMH EALHNNHYTQK SLSLSPGK 448
```

Light chain / Chaîne légère / Cadena ligera

```
DIVLTQSPDS LAVSLGERAT INCKSSQSLN NSGNQKNYLT WYQQKPGQPP 50
KLLIYWASTR ESGVPRDFSG SSGTDFDTLT ISSLQAEDVA VYYCQNAVY 100
PTTFGQGTKL EIKRTVAAPS VFIFPPSDEQ LKSGTASVVC LLNFPYPREA 150
KVQWKVDNAL QSGNSQESVT EQDSKSTYS LSSITLTSKA DYKHKVYAC 200
EVTHQGLSSP VTKSNRNGEC 220
```

Post-translational modifications

Disulfide bridges location / Position des ponts disulfure / Posiciones de los puentes disulfuro

Intra-H (C23-C104) 22-96 145-201 262-322 368-426
22"-96" 145"-201" 262"-322" 368"-426"
Intra-L (C23-C104) 23'-94' 140"-200"
23'''-94''' 140'''-200'''

Inter-H-L (h 5-CL 126) 221-220' 221"-220"

Inter-H-H (h 11, h 14) 227-227" 230-230"

N-glycosylation sites / Sites de N-glycosylation / Posiciones de N-glicosilación

H CH2 N84.4: 298, 298"

Fucosylated complex bi-antennary CHO-type glycans / glycanes de type CHO bi-antennaires complexes fucosylés / glicanos de tipo CHO biantennarios complejos fucosilados

C-terminal lysine clipping / Coupure de la lysine C-terminale / Recorte de lisina C-terminal
H CHS K2: 448, 448"

garetatugum rezetecanum #

garetatugum rezetecanum immunoglobulin G1-kappa, anti-[*Homo sapiens* CLDN18 (claudin 18, claudin-18, surfactant associated protein J, SFTPJ) isoform 2], humanized monoclonal antibody; conjugated on an average of four cysteinyl residues to *rezetecan*, comprising a linker and a camptothecin derivative (*exatecan*);
H-gamma1 heavy chain humanized (1-448) [VH (*Homo sapiens*IGHV1-3*01 (87.8%) -(IGHD) -IGHJ4*01 (92.9%) L123>T (113), CDR-IMGT [8.8.11] (26-33.51-58.97-107)) (1-118) -*Homo sapiens*IGHG1*01 (100%) G1m17,1 CH1 K120, CH3 D12, L14 (CH1 K120 (215) (119-216), hinge 1-15 (217-231), CH2 (232-341), CH3 D12 (357), L14 (359) (342-446), CHS (447-448)) (119-448)], (221-220')-disulfide with L-kappa light chain humanized (1'-220') [V-KAPPA (*Homo sapiens*IGKV4-1*01 (90.1%) -IGKJ2*02 (100%), CDR-IMGT [12.3.9] (27'-38'.56'-58'.95'-103')) (1'-113') -*Homo sapiens*IGKC*01 (100%) Km3 A45.1, V101 (C-KAPPA A45.1 (159'), V101 (197')) (114'-220')]; dimer (227'-227":230-230")-bisdisulfide, produced in Chinese hamster ovary (CHO) cells, cell line CHO-K1, glycoform alfa; substituted at the sulfur atoms of four L-cysteinyl residues on an average among 220', 220"', 221, 221"', 227, 227"', 230 and 230" with (3RS)-1-[(2R,10S)-10-benzyl-2-cyclopropyl-1-[[[(1S,9S)-9-ethyl-5-fluoro-9-hydroxy-4-methyl-10,13-dioxo-2,3,9,10,13,15-hexahydro-1H,12H-benzo[de]pyrano[3',4':6,7]indolizino[1,2-b]quinolin-1-yl]amino]-1,6,9,12,15,18-hexaoxo-3-oxa-5,8,11,14,17-pentaazatricosan-23-yl]-2,5-dioxopyrrolidin-3-yl] (*rezetecan*) groups
antineoplastic

garétatug rézétécán immunoglobuline G1-kappa, anti-[*Homo sapiens* CLDN18 (claudine 18, claudine-18, protéine J associée au surfactant, SFTPJ) isoforme 2], anticorps monoclonal humanisé, conjuguée par quatre résidus cystéinyles en moyenne au *rézétécán*, comprenant un linker et un dérivé de la camptothécine (*exatécan*);
chaîne lourde H-gamma1 humanisée (1-448) [VH (*Homo sapiens*IGHV1-3*01 (87.8%) -(IGHD) -IGHJ4*01 (92.9%) L123>T (113), CDR-IMGT [8.8.11] (26-33.51-58.97-107)) (1-118) -*Homo sapiens*IGHG1*01 (100%) G1m17,1 CH1 K120, CH3 D12, L14 (CH1 K120 (215) (119-216), charnière 1-15 (217-231), CH2 (232-341), CH3 D12 (357), L14 (359) (342-446), CHS (447-448)) (119-448)], (221-220')-disulfure avec la chaîne légère L-kappa humanisée (1'-220') [V-KAPPA (*Homo sapiens*IGKV4-1*01 (90.1%) -IGKJ2*02 (100%), CDR-IMGT [12.3.9] (27'-38'.56'-58'.95'-103')) (1'-113') -*Homo sapiens*IGKC*01 (100%) Km3 A45.1, V101 (C-KAPPA A45.1 (159'), V101 (197')) (114'-220')]; dimère (227'-227":230-230")-bisdisulfure, produit dans des cellules ovariennes de hamster chinois (CHO), lignée cellulaire CHO-K1, glycoforme alfa; substitué, sur les atomes de soufre de quatre résidus L-cystéinyle en moyenne parmi 220', 220"', 221, 221"', 227, 227"', 230 et 230", avec des groupes (3RS)-1-[(2R,10S)-10-benzyl-2-cyclopropyl-1-[[[(1S,9S)-9-éthyl-5-fluoro-9-hydroxy-4-méthyl-10,13-dioxo-2,3,9,10,13,15-hexahydro-1H,12H-benzo[de]pyrano[3',4':6,7]indolizino[1,2-b]quinoléin-1-yl]amino]-1,6,9,12,15,18-hexaoxo-3-oxa-5,8,11,14,17-pentaazatricosan-23-yl]-2,5-dioxopyrrolidin-3-yle (*rézétécán*)
antinéoplasique

garetatug rezetecán inmunoglobulina G1-kappa, anti-[*Homo sapiens* CLDN18 (claudina 18, claudina-18, proteína J asociada al surfactante, SFTPJ) isoforma 2], anticuerpo monoclonal humanizado, conjugado, por cuatro residuos de cisteinilo, por término medio a *rezetecán*, que comprende un enlace y un derivado de la camptotecina (*exatecán*);

cadena pesada H-gamma1 humanizada (1-448) [VH (*Homo sapiens* IGHV1-3*01 (87.8%)-(IGHD)-IGHJ4*01 (92.9%) L123>T (113), CDR-IMGT [8.8.11] (26-33.51-58.97-107)) (1-118)-*Homo sapiens* IGHG1*01 (100%) G1m17.1 CH1 K120, CH3 D12, L14 (CH1 K120 (215) (119-216), bisagra 1-15 (217-231), CH2 (232-341), CH3 D12 (357), L14 (359) (342-446), CHS (447-448)) (119-448)], (221-220')-disulfuro con la cadena ligera L-kappa humanizada (1'-220') [V-KAPPA (*Homo sapiens* IGKV4-1*01 (90.1%) -IGKJ2*02 (100%), CDR-IMGT [12.3.9] (27'-38'.56'-58'.95'-103')) (1'-113')-*Homo sapiens* IGKC*01 (100%) Km3 A45.1, V101 (C-KAPPA A45.1 (159'), V101 (197')) (114'-220')]; dímero (227'-227":230-230")-bisdisulfuro, producido en las células ováricas de hámster chino (CHO), línea celular CHO-K1, forma glicosilada alfa; sustituido, en los átomos de azufre de cuatro residuos de L-cisteinilo en promedio de 220', 220"', 221, 221", 227, 227"', 230 y 230", con grupos (3RS)-1-[(2R,10S)-10-bencil-2-ciclopropil-1-[[[(1S,9S)-9-etil-5-fluoro-9-hidroxi-4-metil-10,13-dioxo-2,3,9,10,13,15-hexahidro-1H,12H-benzo[de]pirano[3',4':6,7]indolizino[1,2-b]quinolein-1-il]amino)-1,6,9,12,15,18-hexaoxo-3-oxa-5,8,11,14,17-pentaazatricosan-23-il]-2,5-dioxopirrolidin-3-ilo (rezetecán)

antineoplásico

3023285-06-2

Heavy chain / Chaîne lourde / Cadena pesada (H, H')

```
EVQLVQSGAE VKKPGASVKV SCKASGYTFT SYWMHWVRQA PGQRLEWMMGM 50
IHPNSGSTNY NEKFKGRVTI TRDTSASTAY MELSSLRSED TAVYYCARLK 100
TGNSFDYWGQ GTTVTVSAS TKGPSVFPLA PSSKSTSGGT AALGCLVKDY 150
FPEPVTWSN SGALTSGVHT FFAVLQSSGL YSLSSVVTVP SSSLGTQTYI 200
CNVNHKPSNT KVDKKEPKS CDKHTCPPC PAPELLGGPS VFLFPPKPKD 250
TLMISRTPEV TCVVVDVSH EDPVKFNWYV DGEVFNHAKT KPREEQYNST 300
YRVSVLTVL HQDNLNGKEY KCKVSNKALP APIEKTISKA KGPREPQVY 350
TLPFSRDEL TKNQVSLTCLV KGFYPSDIAV EWESNGQPEN NYKTTPPVLD 400
SDGSFFLYSK LTVDKSRWQK GNVFSCSMVH EALHNHYTQK SLSLSPGK 448
```

Light chain / Chaîne légère / Cadena ligera (L, L')

```
DIVLTQSPDS LAVSLGERAT INCKSSQSL NSGNQKNYLT WYQQKPGQPP 50
KLLIYWASTR ESVGVPDRFSG SSGTDFTLT ISSLQAEDVA VYYCQNAVY 100
PFTFGQGTKL EIKRTVAAPS VFIFPPSDEQ LKSGTASVVC LLNMFYPREA 150
KVQWKVDNAL QSGNSQESVT EQDSKDYSTYS LSSTLTLSKA DYEKHKVYAC 200
EVTHQGLSPP VTKSFNRGEC 220
```

Post-translational modifications

Disulfide bridges location / Position des ponts disulfure / Posiciones de los puentes disulfuro

Intra-H (C23-C104) 22-96 145-201 262-322 368-426
22"-96" 145"-201" 262"-322" 368"-426"

Intra-L (C23-C104) 23'-94' 140"-200"
23"'-94"' 140"'-200"

Inter-H-L (h 5-CL 126)* 221-220' 221"-220"

Inter-H-H (h 11, h 14)* 227'-227" 230-230"

*Three or four of the four inter-chain disulfide bridges are not present, an average of 4 (3.5-4.5) cysteinyl being conjugated each via a thioether bond to a drug linker.

*Trois ou quatre des quatre ponts disulfures inter-chaînes ne sont pas présents, 4 (3.5-4.5) cystéinyl en moyenne étant chacun conjugué via une liaison thioéther à un linker-principe actif.

*Tres o cuatro de los cuatro puentes disulfuro inter-catenarios no estan presentes, una media de 4 (3.5-4.5) cisteinil está conjugada a conectores de principio activo.

N-glycosylation sites / Sites de N-glycosylation / Posiciones de N-glicosilación

H CH2 N84.4: 298, 298"

Fucosylated complex bi-antennary CHO-type glycans / glycanes de type CHO bi-antennaires complexes fucosylés / glicanos de tipo CHO biantenarios complejos fucosilados

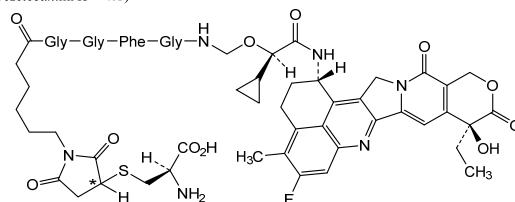
C-terminal lysine clipping / Coupure de la lysine C-terminale / Recorte de lisina C-terminal

HCHS K2: 448, 448"

Modified residues / Résidus modifiés / Restos modificados*

C (221, 227, 230, 220', 221", 227", 230", 220")

*(rezetecan:mAb ~4:1)



gatzosirán *todo-P-ambo-5'-O-(((2R,3S)-3-(((cis-4-((3S,8S)-17-[(2-acetamido-2-desoxi-β-D-galactopiranosil)oxi]-3,8-bis[(2-[2-[(2-acetamido-2-desoxi-β-D-galactopiranosil)oxi]etoxi)etil]carbamoil]-6,11-dioxo-15-oxa-2,7,12-triazahéptadecan-1-ol)ciclohexil)oxi]hidroxifosforotioil)oxi)oxolan-2-il]metoxi]hidroxifosforotioil)-2'-O-metilcitolilil-(3'→5')-2'-O-metilguanilil-(3'→5')-2'-O-metiluridilil-(3'→5')-2'-O-metiladenilil-(3'→5')-2'-O-metiladenilil-(3'→5')-2'-O-metilguanilil-(3'→5')-2'-O-metiladenilil-(3'→5')-2'-O-metiladenilil-(3'→5')-2'-desoxi-2'-fluoroguanilil-(3'→5')-2'-O-metiluridilil-(3'→5')-2'-desoxi-2'-fluorocitolilil-(3'→5')-2'-O-metiluridilil-(3'→5')-2'-desoxi-2'-fluorocitolilil-(5'→3')-2'-O-metiluridilil-(5'→3')-2'-desoxi-2'-fluorocitolilil-(5'→3')-2'-O-metiluridilil-(5'→3')-2'-desoxi-2'-fluoroadenilil-(5'→3')-2'-O-metilguanilil-(5'→3')-2'-O-metiladenilil-(5'→3')-2'-O-metilcitolilil-(5'→3')-2'-O-metiluridilil-(5'→3')-2'-O-metiladenilil-(5'→3')-2'-desoxi-2'-fluorouridilil-(5'→3')-2'-O-metilcitolilil-(5'→3')-2'-desoxi-2'-fluoro-*P*-tiouridilil-(5'→3')-2'-O-metil-*P*-tioadenilil-(5'→3')-2'-desoxi-2'-fluoro-*P*-tiocitolilil-(5'→3')-2'-O-metiluridina*
reductor de la síntesis de la 17-beta-hydroxiesteroide deshidrogenasa 13, enfermedad del hígado graso

C₄₉₃H₆₅₃F₁₁N₁₆₃O₃₁₁P₄₃S₇

2409783-34-0

(3'→5')R1-C-G-U-A-A-G-A-A-G-U-C-U-G-A-U-A-G-A-U-G-A-R2
 (5'→3')G-C-A-U-U-C-U-U-C-A-G-A-C-U-A-U-C-U-A-C-U

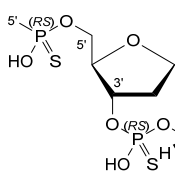
N : A,C,G,U

N : 2'-O-methyl-N / 2'-O-méthyl-N / 2'-O-metil-N

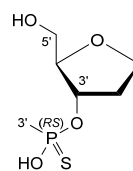
N : 2'-deoxy-2'-fluoro-N / 2'-désoxy-2'-fluoro-N / 2'-desoxi-2'-fluoro-N

- : -PO(OH)- =: -PO(SH)-

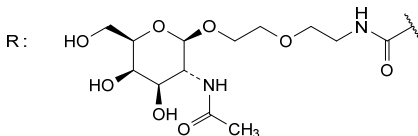
R1 :



R2 :



R :

**gintemetostatam**

gintemetostat (1S)-1-[(3R)-3-amino-4'-[(6-amino-9H-purin-9-yl)methyl]-6'-(2,5-difluoro-4-methoxyphenyl)-3,4,5,6-tetrahydro-2H-[1,3'-bipyridin]-3-yl]-2,2-difluoroethan-1-ol
antineoplastic

gintémétostat

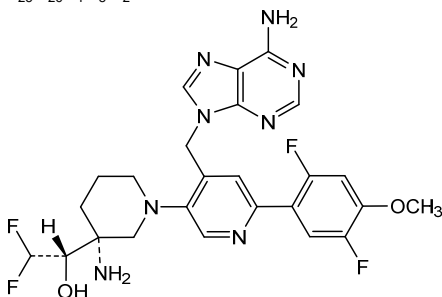
(1S)-1-[(3R)-3-amino-4'-[(6-amino-9H-purin-9-yl)méthyl]-6'-(2,5-difluoro-4-méthoxyphényl)-3,4,5,6-tétrahydro-2H-[1,3'-bipyridin]-3-yl]-2,2-difluoroéthan-1-ol
antinéoplasique

gintemetostat

(1S)-1-[(3R)-3-amino-4'-[(6-amino-9H-purin-9-yl)methyl]-6'-(2,5-difluoro-4-metoxifenil)-3,4,5,6-tetrahydro-2H-[1,3'-bipiridin]-3-il]-2,2-difluoroetan-1-ol antineoplásico

C₂₅H₂₆F₄N₆O₂

2604513-16-6

**givopegsomatropinum #**

givopegsomatropin

human somatotropin (growth hormone, GH), conjugated to a two-arm polyethylene glycol carrier molecule; produced by *Escherichia coli*, mono-substituted at the N-terminus (F1) or at N⁶.Lys of either K38, K140, K145 or K158 with one N²,N⁶-bis[α-methylpoly(oxyethylene)-ω-oxy]carbonyl-L-lysyl group (~40 kDa)
growth hormone derivative

givopegsomatropine

somatotropine humaine (hormone de croissance, GH), conjuguée à une molécule porteuse de polyéthylène glycol à deux bras; produite par *Escherichia coli*, mono-substituée à l'extrémité N-terminale (F1) ou en N⁶.Lys de K38, K140, K145 ou K158 par un groupe N²,N⁶-bis[α-méthylpoly(oxyéthylène)-ω-oxy]carbonyl-L-lysyle (~40 kDa)
dérivé de l'hormone de croissance

givopegsomatropina

somatotropina humana (hormona de crecimiento, GH), conjugada con una molécula portadora con dos brazos de polietilenglicol; producida por *Escherichia coli*, mono-sustituída en el extremo N-terminal (F1) o en N⁶.Lys de K38, K140, K145 o K158 con un grupo N²,N⁶-bis[α-metilpoli(oxiétileno)-ω-oxi]carbonil-L-lisilo (~40 kDa)
derivado de la hormona de crecimiento

3001334-30-8

Sequence / Séquence / Secuencia

F PTIPLSRIF DNAMLAHRLH HQLAFDTYQE FEEAYI K EQ KYSFLQNPQT	50
SLCFSES IPT PSNREETQOK SNLELLRISL LLIQSWLEPV QFLRSVFANS	100
LVYGASDSNV YDLLKDLEEG IQTLMGRLED GSPRTGQI K QTY K EDTNS	150
HNDALL K NY GLLYCFRKDM DKVETFLRIV QCRSVEGSCG F	191

Post-translational modifications

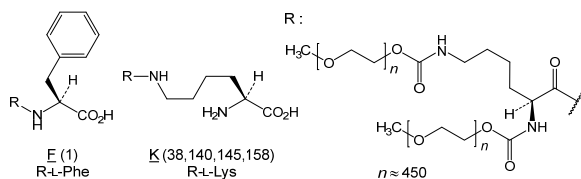
Disulfide bridges location / Position des ponts disulfure / Posiciones de los puentes disulfuro

53-165 182-189

N-glycosylation sites / Sites de N-glycosylation / Posiciones de N-glicosilación

none / aucun / ninguna

Potential modified residues / Résidus modifiés potentiels / restos modificados potenciales

F1, **K38**, **K140**, **K145**, or **K158**

gozanertinibum

gozanertinib

(2E)-4-(dimethylamino)-N-[3-(4-[[[(1S)-2-hydroxy-1-phenylethyl]amino]-6-phenylfuro[2,3-d]pyrimidin-5-yl)phenyl]but-2-enamide

epidermal growth factor receptor tyrosine kinase inhibitor, antineoplastic

gozanertinib

(2E)-4-(diméthylamino)-N-[3-(4-[[[(1S)-2-hydroxy-1-phényléthyl]amino]-6-phénylfuro[2,3-d]pyrimidin-5-yl)phényl]but-2-énamide

inhibiteur de la tyrosine kinase du récepteur du facteur de croissance épidermique, antinéoplasique

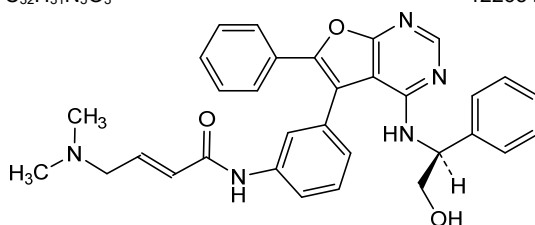
gozanertinib

(2E)-4-(dimetilamino)-N-[3-(6-fenil-4-[[[(1S)-1-fenil-2-hidroxietil]amino]furo[2,3-d]pirimidin-5-il)fenil]but-2-enamida

inhibidor del receptor de la tirosina kinasa del receptor del factor de crecimiento epidérmico, antineoplásico

C₃₂H₃₁N₅O₃

1226549-49-0

**ifupinostat**

ifupinostat

N-hydroxy-2-[methyl({2-[6-(methylamino)pyridin-3-yl]-4-(morpholin-4-yl)thieno[3,2-d]pyrimidin-6-yl)methyl}amino)pyrimidine-5-carboxamide

histone deacetylase inhibitor, antineoplastic

ifupinostat

N-hydroxy-2-[méthyl({2-[6-(méthylamino)pyridin-3-yl]-4-(morpholin-4-yl)thiéno[3,2-d]pyrimidin-6-yl)méthyl}amino)pyrimidine-5-carboxamide

inhibiteur d'histone désacétylase, antinéoplasique

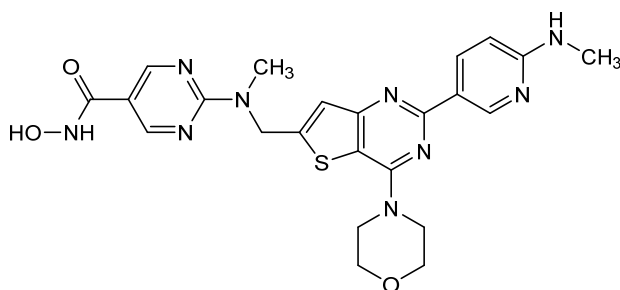
ifupinostat

N-hidroxi-2-[metil({2-[6-(metilamino)piridin-3-il]-4-(morfolin-4-il)tiéno[3,2-d]pirimidin-6-il)metil}amino)pirimidina-5-carboxamida

inhibidor de la deacetilasa de la histona, antineoplásico

C₂₃H₂₅N₉O₃S

1235449-52-1



imapexetidum

imapextide

glucagon-like peptide 1(15-35) [human GLP-1(15-35)] (1-21 in the real sequence), [G²²>E⁸, A²⁵>V¹¹, K²⁶>R¹², K³⁴>R²⁰]-variant, fused to the C-terminal (30-39)-peptide of exendin-4 (*Heloderma suspectum*) (22-31), substituted at the N-atom of the L-α-aspartyl residue 1 with a 17-carboxyheptadecanoyl group;
N-(17-carboxyheptadecanoyl)-L-α-aspartyl-L-valyl-L-seryl-L-seryl-L-tyrosyl-L-leucyl-L-α-glutamyl-L-α-glutamyl-L-glutaminyl-L-alanyl-L-valyl-L-arginyl-L-α-glutamyl-L-phenylalanyl-L-isoleucyl-L-alanyl-L-tryptophyl-L-leucyl-L-valyl-L-arginylglycylglycyl-L-prolyl-L-seryl-L-serylglycyl-L-alanyl-L-prolyl-L-prolyl-L-prolyl-L-serine
glucagon-like peptide-1 (GLP-1) receptor antagonist, treatment of hypoglycemia

imapextide

peptide similaire au glucagon de type 1(15-35) [GLP-1(15-35) humain] (1-21 dans la séquence réelle), variante [G²²>E⁸, A²⁵>V¹¹, K²⁶>R¹², K³⁴>R²⁰], fusionné au (30-39)-peptide C-terminal d'exendine-4 (*Heloderma suspectum*) (22-31), substitué en l'atome N du résidu L-α-aspartyle 1 par un groupe 17-carboxyheptadécanoyle;
N-(17-carboxyheptadécanoyle)-L-α-aspartyl-L-valyl-L-séryl-L-séryl-L-tyrosyl-L-leucyl-L-α-glutamyl-L-α-glutamyl-L-glutaminyl-L-alanyl-L-valyl-L-arginyl-L-α-glutamyl-L-phénylalanyl-L-isoleucyl-L-alanyl-L-tryptophyl-L-leucyl-L-valyl-L-arginylglycylglycyl-L-prolyl-L-séryl-L-sérylglycyl-L-alanyl-L-prolyl-L-prolyl-L-prolyl-L-sérine
antagoniste du récepteur du peptide-1 similaire au glucagon (GLP-1), traitement de l'hypoglycémie

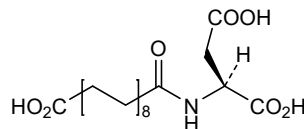
imapextida

péptido similar al glucagón tipo 1(15-35) [GLP-1(15-35) humano] (1-21 en la secuencia real), variante [G²²>E⁸, A²⁵>V¹¹, K²⁶>R¹², K³⁴>R²⁰], fusionado al (30-39)-péptido C-terminal de exendina-4 (*Heloderma suspectum*) (22-31), sustituido en el átomo de N del residuo L-α-aspartilo con un grupo 17-carboxiheptadecanoilo;
N-(17-carboxiheptadecanoilo)-L-α-aspartil-L-valil-L-seril-L-seril-L-tyrosil-L-leucil-L-α-glutamil-L-α-glutamil-L-glutaminil-L-alanil-L-valil-L-arginil-L-α-glutamil-L-fenilalanil-L-isoleucil-L-alanil-L-triptofil-L-leucil-L-valil-L-arginilglicilglicil-L-prolil-L-seril-L-serilglicil-L-alanil-L-prolil-L-prolil-L-prolil-L-serina
antagonista del receptor del péptido 1 similar al glucagón (GLP-1), tratamiento de la hipoglucemia

C₁₆₆H₂₅₇N₃₉O₅₀ 3004569-93-8

DVSSYLEEQA VREFIAWLVR GGPSSGAPPP S 31

Modified residue / Résidu modifié / Resto modificado



D (1)

N-(HO₂C-[CH₂]₁₆-CO)-L-Asp

imofinostat

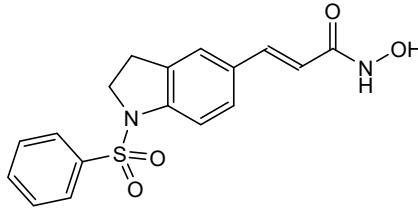
imofinostat (2E)-3-[1-(benzenesulfonyl)-2,3-dihydro-1H-indol-5-yl]-N-hydroxyprop-2-enamide
histone deacetylase inhibitor, antineoplastic

imofinostat (2E)-3-[1-(benzènesulfonyl)-2,3-dihydro-1H-indol-5-yl]-N-hydroxyprop-2-énamide
inhibiteur d'histone désacétylase, antinéoplasique

imofinostat (2E)-3-[1-(bencenosulfonil)-2,3-dihidro-1H-indol-5-il]-N-hidroxi-prop-2-enamida
inhibidor de la deacetilasa de la histona, antineoplásico

C₁₇H₁₆N₂O₄S

1338320-94-7

**infliximabum beta #**

infliximab beta immunoglobulin G1-kappa, anti-[*Homo sapiens* TNF (tumor necrosis factor, TNF superfamily member 2, TNFSF2, TNF-alpha, TNFA)], chimeric monoclonal antibody;
H-gamma1 heavy chain chimeric (1-450) [VH (*Mus musculus* IGHV6-6*02 (89.0%) -(IGHD) -IGHJ2*01 (92.9%), CDR-IMGT [8.10.11] (26-33.51-60.99-109)) (1-120) -*Homo sapiens* IGHG1*01 (100%) G1m17,1 CH1 K120, CH3 D12, L14 (CH1 K120 (217) (121-218), hinge 1-15 (219-233), CH2 (234-343), CH3 D12 (359), L14 (361) (344-448), CHS (449-450)) (121-450)], (223-214')-disulfide with L-kappa light chain chimeric (1'-214') [V-KAPPA (*Mus musculus* IGKV5-48*01 (93.7%) -IGKJ4*01 (83.3%) K123>N (103'), I126>V (106'), CDR-IMGT [6.3.9] (27'-32'.50'-52'.89'-97')) (1'-107') -*Homo sapiens* IGKC*01 (100%) Km3 A45.1, V101 (C-KAPPA A45.1 (153'), V101 (191')) (108'-214')]; dimer (229-229':232-232'')-bisdisulfide, produced in Chinese hamster ovary (CHO) cells, cell line CHO-S, glycoform alfa
anti-inflammatory

infliximab bêta immunoglobuline G1-kappa, anti-[*Homo sapiens* TNF (facteur de nécrose tumorale, membre 2 de la superfamille du TNF, TNFSF2, TNF-alpha, TNFA)], anticorps monoclonal chimérique;
chaîne lourde H-gamma1 chimérique (1-450) [VH (*Mus musculus* IGHV6-6*02 (89.0%) -(IGHD) -IGHJ2*01 (92.9%), CDR-IMGT [8.10.11] (26-33.51-60.99-109)) (1-120) -*Homo sapiens* IGHG1*01 (100%) G1m17,1 CH1 K120, CH3 D12, L14 (CH1 K120 (217) (121-218), charnière 1-15 (219-233), CH2 (234-343), CH3 D12 (359), L14 (361) (344-448), CHS (449-450)) (121-450)], (223-214')-disulfure avec la chaîne légère L-kappa chimérique (1'-214') [V-KAPPA (*Mus musculus* IGKV5-48*01 (93.7%) -IGKJ4*01 (83.3%) K123>N (103'), I126>V (106'), CDR-IMGT [6.3.9] (27'-32'.50'-52'.89'-97')) (1'-107') -*Homo sapiens* IGKC*01 (100%) Km3 A45.1, V101 (C-KAPPA A45.1 (153'), V101 (191')) (108'-214')]; dimère (229-229':232-232'')-bisdisulfure, produit dans des cellules ovariennes de hamster chinois (CHO), lignée cellulaire CHO-S, glycoforme alfa
anti-inflammatoire

infliximab beta

inmunoglobulina G1-kappa, anti-[*Homo sapiens* TNF (factor de necrosis tumoral, miembro 2 de la superfamilia del TNF, TNFSF2, TNF-alfa, TNFA)], anticuerpo monoclonal quimérico;
 cadena pesada H-gamma1 quimérica (1-450) [VH (*Mus musculus* IGHV6-6*02 (89.0%) -(IGHD) -IGHJ2*01 (92.9%), CDR-IMGT [8.10.11] (26-33.51-60.99-109)) (1-120) -*Homo sapiens* IGHG1*01 (100%) G1m17,1 CH1 K120, CH3 D12, L14 (CH1 K120 (217) (121-218), bisagra 1-15 (219-233), CH2 (234-343), CH3 D12 (359), L14 (361) (344-448), CHS (449-450)) (121-450)], (223-214')-disulfuro con la cadena ligera L-kappa quimérica (1'-214') [V-KAPPA (*Mus musculus* IGKV5-48*01 (93.7%) -IGKJ4*01 (83.3%) K123>N (103'), I126>V (106'), CDR-IMGT [6.3.9] (27'-32'.50'-52'.89'-97')) (1'-107') -*Homo sapiens* IGKC*01 (100%) Km3 A45.1, V101 (C-KAPPA A45.1 (153'), V101 (191')) (108'-214');
 dímero (229-229'':232-232'')-bisulfuro, producido en las células ováricas de hámster chino (CHO), línea celular CHO-S, forma glicosilada alfa
antiinflamatorio

2639475-46-8

Heavy chain / Chaîne lourde / Cadena pesada

```

EVKLEESGGG LVQPGGSMKL SCVASGFIFS NHWMNWRQS PEKGLEWVAE 50
IRSKSINSAT HYAESVKGRF TISRDDSKSA VYLQMTDLRT EDTGVVYCSR 100
NYYGSTYDYW GQGTTLTVSS ASTKGPSVFP LAPSSKSTSG GTAALGLVK 150
DYFPEPVTVS WNSGALTSKV HTFPAVLQSS GLYSLSSVVT VPSSSLGTQT 200
YICNVNKKPS NTKVDKKVEP KSCDKTHTCP PCPAPELLGG PSVFLFPPK 250
KDTLMISRTPEVTCVVVDVSHEDPEVKFNWYVDGVEVHNAKTKPREEQYN 300
STYRVVSVLT VLGQDWLNGK EYKCKVSNKALPAPIEKTIS KAKGQPREPQ 350
VYTLPPSRDE LTKNQVSLTCLVKGFYPSDIAVEWESNGQPENNYKTTPPV 400
LDSGDGSFFLYSKLTVDKSRWQQGNVVFSCSV MHEALHNYHT QKSLSLSPGK 450

```

Light chain / Chaîne légère / Cadena ligera

```

DILLTQSPAI LSVSPGERVS FSCRASQFVGSIIHWYQORT NGSPRLLIKY 50
ASESMGSIPT RFSGSGSGTDFTLSINTVESHEDIADYCCQSHSWPFTFGS 100
GTNLEVKRTVAAPSVFIFPPSDEQLKSGTASVVCCLNNFYPREAKVQWVK 150
DNALQSGNSQESVTEQDSKIDSTYLSLSLTITLSKADYEEKHRYACEVTHQG 200
LSSPVTKSFN RGECL 214

```

Post-translational modifications

Disulfide bridges location / Position des ponts disulfure / Posiciones de los puentes disulfuro

Intra-H (C23-C104) 22-98 147-203 264-324 370-428
 22"-98" 147"-203" 264"-324" 370"-428"

Intra-L (C23-C104) 23'-88' 134'-194'
 23"'-88"' 134"'-194"

Inter-H-L (h 5-CL 126) 223-214' 223"-214"

Inter-H-H (h 11, h 14) 229-229" 232-232"

N-glycosylation sites / Sites de N-glycosylation / Posiciones de N-glicosilación

H CH2 N84.4: 300, 300"

Fucosylated complex bi-antennary CHO-type glycans / glycanes de type CHO bi-antennaires complexes fucosylés / glicanos de tipo CHO biantenarios complejos fucosilados

C-terminal lysine clipping / Coupure de la lysine C-terminale / Recorte de lisina C-terminal
 H CHS K2: 450, 450"**inidascaminum**

inidascamine

(2*R*,3*S*)-2-amino-3-hydroxy-3-(pyridin-4-yl)-1-(pyrrolidin-1-yl)propan-1-one
schizophrenia

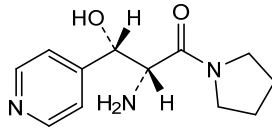
inidascamine

(2*R*,3*S*)-2-amino-3-hydroxy-3-(pyridin-4-yl)-1-(pyrrolidin-1-yl)propan-1-one
schizophrénie

inidascamina (2*R*,3*S*)-2-amino-3-hidroxi-3-(piridin-4-il)-1-(pirrolidin-1-il)propan-1-ona
esquizofrenia

C₁₂H₁₇N₃O₂

903884-71-9



inlecitugum

inlecitug

immunoglobulin G1-kappa, anti-[*Homo sapiens* KDR (kinase insert domain receptor, vascular endothelial growth factor receptor 2, VEGFR2, VEGF-R2, FLK1, CD309)], chimeric monoclonal antibody;
H-gamma1 heavy chain chimeric (1-447) [VH (*Mus musculus* IGHV14-4*02 (91.8%) -(IGHD) -IGHJ4*01 (91.7%) S123>T (112), CDR-IMGT [8.8.10] (26-33.51-58.97-106)) (1-117) -*Homo sapiens* IGHG1*01 (100%) G1m17,1 CH1 K120, CH3 D12, L14 (CH1 K120 (214) (118-215), hinge 1-15 (216-230), CH2 (231-340), CH3 D12 (356), L14 (358) (341-445), CHS (446-447)) (118-447)], (220-213')-disulfide with L-kappa light chain chimeric (1'-213') [V-KAPPA (*Mus musculus* IGKV4-57*01 (98.9%) -IGKJ4*01 (100%), CDR-IMGT [5.3.9] (27'-31'.49'-51'.88'-96')) (1'-106') -*Homo sapiens* IGKC*01 (100%) Km3 A45.1, V101 (C-KAPPA A45.1 (152'), V101 (190')) (107'-213')]; dimer (226-226":229-229")-bisdisulfide, produced in Chinese hamster ovary (CHO) cells, cell line CHO-DG44, glycoform alfa
angiogenesis inhibitor, antineoplastic

inlécitug

immunoglobuline G1-kappa, anti-[*Homo sapiens* KDR (récepteur à domaine insert kinase, récepteur 2 du facteur de croissance endothélial vasculaire, VEGFR2, VEGF-R2, FLK1, CD309)], anticorps monoclonal chimérique;
chaîne lourde H-gamma1 chimérique (1-447) [VH (*Mus musculus* IGHV14-4*02 (91.8%) -(IGHD) -IGHJ4*01 (91.7%) S123>T (112), CDR-IMGT [8.8.10] (26-33.51-58.97-106)) (1-117) -*Homo sapiens* IGHG1*01 (100%) G1m17,1 CH1 K120, CH3 D12, L14 (CH1 K120 (214) (118-215), charnière 1-15 (216-230), CH2 (231-340), CH3 D12 (356), L14 (358) (341-445), CHS (446-447)) (118-447)], (220-213')-disulfure avec la chaîne légère L-kappa chimérique (1'-213') [V-KAPPA (*Mus musculus* IGKV4-57*01 (98.9%) -IGKJ4*01 (100%), CDR-IMGT [5.3.9] (27'-31'.49'-51'.88'-96')) (1'-106') -*Homo sapiens* IGKC*01 (100%) Km3 A45.1, V101 (C-KAPPA A45.1 (152'), V101 (190')) (107'-213')]; dimère (226-226":229-229")-bisdisulfure, produit dans des cellules ovariennes de hamster chinois (CHO), lignée cellulaire CHO-DG44, glycoforme alfa
inhibiteur de l'angiogenèse, antinéoplasique

inlecitug

inmunoglobulina G1-kappa, anti-[*Homo sapiens* KDR (receptor de dominio kinasa de inserción, receptor 2 del factor de crecimiento endotelial vascular, VEGFR2, VEGF-R2, FLK1, CD309)], anticuerpo monoclonal quimérico;
cadena pesada H-gamma1 quimérica (1-447) [VH (*Mus musculus* IGHV14-4*02 (91.8%) -(IGHD) -IGHJ4*01 (91.7%) S123>T (112), CDR-IMGT [8.8.10] (26-33.51-58.97-106)) (1-117) -*Homo sapiens* IGHG1*01 (100%) G1m17,1 CH1 K120, CH3 D12, L14 (CH1 K120 (214) (118-215), bisagra 1-15 (216-230), CH2 (231-340), CH3 D12 (356), L14 (358) (341-445), CHS (446-447)) (118-447)], (220-213')-disulfuro con la cadena ligera L-kappa quimérica (1'-213') [V-KAPPA (*Mus musculus* IGKV4-57*01 (98.9%) -IGKJ4*01 (100%), CDR-IMGT [5.3.9] (27'-31'.49'-51'.88'-96')) (1'-106') -*Homo sapiens* IGKC*01 (100%) Km3 A45.1, V101 (C-KAPPA A45.1 (152'), V101 (190')) (107'-213')]; dímero (226-226":229-229")-bisdisulfuro, producido en las células ováricas de hámster chino (CHO), línea celular CHO-DG44, forma glicosilada alfa
inhibidor de la angiogénesis, antineoplásico

2997627-68-4

Heavy chain / Chaîne lourde / Cadena pesada

QVKLQQSGAE LVGSGASVKL SCTTSGFNK DFYMHVVKQR PEQGLEWIGW 50
 IDPENGSDY APKFQKATM TADSSNTAY LQLSSLTSED TAVYYCNAYY 100
 GDYEGYWQQG TTVTSSAST KGPSVFPLAP SSKSTSGGTA ALGCLVKDYF 150
 PEPVTVSWSN GALTSGVHTF PAVLQSSGLY SLSSVVTVPS SSLGTQTYIC 200
 NVNHKPSNTK VDKKVEPKSC DKHTCPCPC APELLGGPSV FLFPPKPKDT 250
 LMISRTPEVT CVVVDVSHED FEVKFNWYVD GVEVHNAKTK PREEQYNSTY 300
 RVVSVLTVLH QDWLNGKEYK CKVSNKALPA PIEKTIKAK GQPREPQVYT 350
 LPPSRDELTK NQVSLTCLVK GFYPSDIAVE WESNGQPENN YKTTTPVLDS 400
 DGSFFLYSKL TVDKSRWQQG NVFSCSVME ALHNHYTQKS LLSLSPGK 447

Light chain / Chaîne légère / Cadena ligera

DIELTQSPAI MSASPGKVT ITCSASSSVS YMHWFQKPG TSPKLIWYST 50
 SNLAGSVPAR FSGSGSSTYS SLTISRMEAE DAATYYCQQR SYPPTFGSG 100
 TKLEIKRTVA APSVFIPPPS DEQLKSGTAS VVCLLNNFYP REAKVQTKVD 150
 NALQSGNSQE SVTEQDSKDS TYSLSSTLTL SKADYEKHKV YACEVTHQGL 200
 SSPVTKSFNR GEC 213

Post-translational modifications

Disulfide bridges location / Position des ponts disulfure / Posiciones de los puentes disulfuro

Intra-H (C23-C104) 22-96 144-200 261-321 367-425
 22"-96" 144"-200" 261"-321" 367"-425"

Intra-L (C23-C104) 23'-87' 133'-193'
 23"'-87'" 133"'-193'"

Inter-H-L (h 5-CL 126) 220-213' 220"-213"

Inter-H-H (h 11, h 14) 226-226" 229-229"

N-terminal glutaminyl cyclization / Cyclisation du glutaminyle N-terminal / Ciclación del glutamínilo N-terminal

Q > pyroglutamyl (pE, 5-oxoprolyl) / pyroglutamyle (pE, 5-oxopropyle) / piroglutamilo (pE, 5-oxoprolilo)
 H VH Q1: 1, 1"

N-glycosylation sites / Sites de N-glycosylation / Posiciones de N-glicosilación

H CH2 N84.4:

297,297"

Fucosylated complex bi-antennary CHO-type glycans / glycanes de type CHO bi-antennaires complexes fucosylés / glicanos de tipo CHO biantenarijos complejos fucosilados

C-terminal lysine clipping / Coupure de la lysine C-terminale / Recorte de lisina C-terminal

H CHS K2: 447, 447"

ipanumeranum

ipanumeran

messenger RNA (mRNA), 5'[1,2-[m⁷G_m-(5'→5')-p-[P(R)]-s^p-p-G]]-capped, encoding codon-optimised human claudin-6 (CLDN6), flanked by 5' and 3' untranslated regions (UTRs), followed by a 3' polyadenylation (polyA) tail. The 5' UTR is derived from the human alpha-globin gene and contains an optimised Kozak sequence; the synthetic 3' UTR is a combination of two elements derived from the amino-terminal enhancer of split (AES) mRNA and the mitochondrial encoded 12S ribosomal RNA. The polyA tail consists of 30 adenosine residues followed by a 10-nucleotide linker sequence and another 70 adenosine residues
immunological agent for active immunization (antineoplastic)

ipanuméran

ARN messenger (ARNm), coiffé en 5'[1,2-[m⁷G_m-(5'→5')-p-[P(R)]-s^p-p-G]], codant, avec des codons optimisés, la claudine-6 humaine (CLDN6), flanqué des régions non traduites (UTRs) en 5' et en 3' et suivie d'une queue de polyadénylation (polyA) en 3'. La région UTR en 5' est dérivée du gène de l'alpha-globine humaine et contient une séquence Kozak optimisée; la région UTR en 3' synthétique est une combinaison de deux éléments dérivés de l'ARNm de l'amplificateur amino-terminal divisé (AES) et de l'ARN ribosomique 12S codé par les mitochondries. La queue polyA se compose de 30 résidus d'adénosine, suivis d'une séquence de liaison de 10 nucléotides et de 70 autres résidus d'adénosine
agent immunologique pour immunisation active (antinéoplasique)

ipanumerán ARN mensajero (ARNm), protegido con la caperuza 5'[1,2-[m⁷G_m-(5'→5')-p-[P(R)]-s^p-p-G]], que codifica, con codones optimizados, claudina-6 (CLDN6) humana, flanqueado por regiones sin traducir (UTRs) 5' y 3' seguido de una cola de poliadenilación (poliA) en 3'. La 5' UTR deriva del gen de la alfa-globina humana y contiene una secuencia Kozak optimizada; la 3' UTR sintética es una combinación de dos elementos derivados del ARNm del potenciador amino-terminal de división (AES) y el ARN ribosómico 12S codificado en la mitocondria. El poliA consta de 30 residuos de adenosina seguidos de una secuencia enlazadora de 10 nucleótidos y otros 70 residuos de adenosina

agente inmunológico para inmunización activa (antineoplásico)

3026599-66-3

irodanoprostum

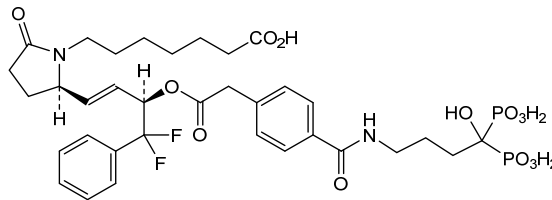
irodanoprost 7-[(2R)-2-((1E,3R)-4,4-difluoro-3-[[4-[(4-hydroxy-4,4-diphosphonobutyl)carbamoyl]phenyl]acetyl)oxy]-4-phenylbut-1-en-1-yl]-5-oxopyrrolidin-1-yl]heptanoic acid
prostaglandin receptor agonist, osteogenesis-related diseases

irodanoprost acide 7-[(2R)-2-((1E,3R)-4,4-difluoro-3-[[4-[(4-hydroxy-4,4-diphosphonobutyl)carbamoyl]phényl]acétyl)oxy]-4-phénylbut-1-én-1-yl]-5-oxopyrrolidin-1-yl]heptanoïque
agoniste des récepteurs des prostaglandines, maladies liées à l'ostéogénèse

irodanoprost ácido 7-[(2R)-2-((1E,3R)-3-[[4-[(4,4-difosfono-4-hidroxi-butil)carbamoi]fenil]acetil)oxi]-4-fenil-4,4-difluorobut-1-en-1-il]-5-oxopirrolidin-1-il]heptanoico
agonista del receptor de prostaglandinas, enfermedades relacionadas con la osteogénesis

C₃₄H₄₄F₂N₂O₁₃P₂

2055490-48-5



isuventatugum

isuventatug immunoglobulin G1-kappa, anti-[*Homo sapiens* MICA (MIC-A, MH1-like A) and *Homo sapiens* MICB (MIC-B, MH1-like B)], monoclonal antibody; H-gamma1 heavy chain (1-450) [VH (*Homo sapiens* IGHV3-11*01 (93.8%) - (IGHD) -IGHJ4*01 (100%), CDR-IMGT [8.8.14] (26-33.51-58.97-110)) (1-121) -*Homo sapiens* IGHG1*03v (100%) G1m3>G1m17, nG1m1 CH1 K120, CH3 E12, M14 (CH1 R120>K (218) (122-219), hinge 1-15 (220-234), CH2 (235-344), CH3 E12 (360), M14 (362) (345-449), CHS K2>del (450)) (122-450)], (224-219')-disulfide with L-kappa light chain (1'-219') [V-KAPPA Musmus/Homsap (*Mus musculus* IGKV2-137*01 (90.0%) -IGKJ4*01 (91.7%) S120>P (105')/*Homo sapiens* IGKV2-28*01 (86.0%) -IGKJ2*02 (90.9%) Q120>P (105'), CDR-IMGT [11.3.9] (27'-37'.55'-57'.94'-102')] (1'-112') -*Homo sapiens* IGKC*01 (100%) Km3 A45.1, V101 (C-KAPPA A45.1 (158'), V101 (196')) (113'-219')]; dimer (230-230":233-233")-bisdisulfide, produced in Chinese hamster ovary (CHO) cells, cell line CHO-DG44, glycoform alfa
antineoplastic

isuventatug immunoglobuline G1-kappa, anti-[*Homo sapiens* MICA (MIC-A, MH1-like A) et *Homo sapiens* MICB (MIC-B, MH1-like B)], anticorps monoclonal; chaîne lourde H-gamma1 (1-450) [VH (*Homo sapiens*IGHV3-11*01 (93.8%) -(IGHD) -IGHJ4*01 (100%), CDR-IMGT [8.8.14] (26-33.51-58.97-110)) (1-121) -*Homo sapiens*IGHG1*03v (100%) G1m3>G1m17, nG1m1 CH1 K120, CH3 E12, M14 (CH1 R120>K (218) (122-219), charnière 1-15 (220-234), CH2 (235-344), CH3 E12 (360), M14 (362) (345-449), CHS K2>del (450)) (122-450)], (224-219')-disulfure avec la chaîne légère L-kappa (1'-219') [V-KAPPA Musmus/Homsap (*Mus musculus*IGKV2-137*01 (90.0%) -IGKJ4*01 (91.7%) S120>P (105')/*Homo sapiens*IGKV2-28*01 (86.0%) -IGKJ2*02 (90.9%) Q120>P (105'), CDR-IMGT [11.3.9] (27'-37'.55'-57'.94-102'') (1'-112'') -*Homo sapiens*IGKC*01 (100%) Km3 A45.1, V101 (C-KAPPA A45.1 (158'), V101 (196'') (113'-219'')); dimère (230-230'':233-233'')-bisdisulfure, produit dans des cellules ovariennes de hamster chinois (CHO), lignée cellulaire CHO-DG44, glycoforme alfa antinéoplasique

isuventatug inmunoglobulina G1-kappa, anti-[*Homo sapiens* MICA (MIC-A, MH1-like A) y *Homo sapiens* MICB (MIC-B, MH1-like B)], anticuerpo monoclonal; cadena pesada H-gamma1 (1-450) [VH (*Homo sapiens*IGHV3-11*01 (93.8%) -(IGHD) -IGHJ4*01 (100%), CDR-IMGT [8.8.14] (26-33.51-58.97-110)) (1-121) -*Homo sapiens*IGHG1*03v (100%) G1m3>G1m17, nG1m1 CH1 K120, CH3 E12, M14 (CH1 R120>K (218) (122-219), bisagra 1-15 (220-234), CH2 (235-344), CH3 E12 (360), M14 (362) (345-449), CHS K2>del (450)) (122-450)], (224-219')-disulfuro con la cadena ligera L-kappa (1'-219') [V-KAPPA Musmus/Homsap (*Mus musculus*IGKV2-137*01 (90.0%) -IGKJ4*01 (91.7%) S120>P (105')/*Homo sapiens*IGKV2-28*01 (86.0%) -IGKJ2*02 (90.9%) Q120>P (105'), CDR-IMGT [11.3.9] (27'-37'.55'-57'.94-102'') (1'-112'') -*Homo sapiens*IGKC*01 (100%) Km3 A45.1, V101 (C-KAPPA A45.1 (158'), V101 (196'') (113'-219'')); dímero (230-230'':233-233'')-bisdisulfuro, producido en las células ováricas de hamster chino (CHO), línea celular CHO-DG44, forma glicosilada alfa antineoplásico

2986317-23-9

Heavy chain / Chaîne lourde / Cadena pesada

QVQLVDSGGG	LVKPGGSLRL	SCAASGFTFS	NYAMSWIRQA	PKGLEWVSY	50
ISFGGDYIYY	ADSVKGRFTI	SRDNAKNSLY	LQMSLRAED	TAVYYCTDR	100
RHYGSYAMDY	WGQGITLVTVS	SASTKGPSVF	PLAPSSKSTS	GGTAALGCLV	150
KDYFFPEPVTV	SWNSGALTSV	VHTFFPAVLQS	SGLYSLSSVV	TVFSSSLGTQ	200
TYICNVNHKP	SNTRKDKKVE	PKSCDKTHTC	PPCAPELLG	GPSVFLFPFK	250
PKDTLMISRT	PEVTCVVVDV	SHEDPEVKFN	WYVDGVEVHN	AKTKFREEQY	300
NSTYRVVSVL	TVLHQDWLNG	KEYKCKVSNK	ALPAPIEKTI	SKAKGQPREP	350
QVYTLPPSRE	EMTKNQVSLT	CLVKGFPYPSD	IAVEWESNGQ	PENNYKTTTP	400
VLDSDSGFFL	YSKLTVDKSR	WQQGNVFSCS	VMHEALHNHY	TQKSLSLSPG	450

Light chain / Chaîne légère / Cadena ligera

DIVMTQSPPLS	LPVTFGEPAS	ISCRSSKSLL	HSNLNTLYLV	FLQKFGQSPQ	50
ILLYRMSNLA	SGVPDRFSGS	GSGETAFLKI	SRVEAEDVGV	YYCMQHLEYP	100
FTFGPGTKLE	IKRTVAAPSV	FIFPPSDEQL	KSGTASVIVCL	LNNFYPREAK	150
VQWVKVDNALQ	SGNSQESVTE	QDSKDYSTYSL	SSTLTLSKAD	YEKHKVYACE	200
VTHQGLSSPV	TKSFNRGEC				219

Post-translational modifications

Disulfide bridges location / Position des ponts disulfure / Posiciones de los puentes disulfuro

Intra-H (C23-C104)	22-96	148-204	265-325	371-429
	22"-96"	148"-204"	265"-325"	371"-429"

Intra-L (C23-C104)	23-93'	139"-199"
	23'''-93'''	139'''-199'''

Inter-H-L (h 5-CL 126)	224-219'	224"-219'''
Inter-H-H (h 11, h 14)	230-230"	233-233"

N-terminal glutaminyl cyclization / Cyclisation du glutaminyle N-terminal / Ciclación del glutaminilo N-terminal

Q > pyroglutamyl (pE, 5-oxoprollyl) / pyroglutamyle (pE, 5-oxoprolyle) / piroglutamilo (pE, 5-oxoprolilo)
H VH Q1: 1, 1"

N-glycosylation sites / Sites de N-glycosylation / Posiciones de N-glicosilación

H CH2 N84.4: 301, 301"

Fucosylated complex bi-antennary CHO-type glycans / glycanes de type CHO bi-antennaires complexes fucosylés / glicanos de tipo CHO biantennarios complejos fucosilados

itareparibum

itareparib 2-(1-cyclohexylpiperidin-4-yl)-6-fluoro-3-oxo-2,3-dihydro-1*H*-isoindole-4-carboxamide
poly (ADP-ribose) polymerase (PARP) inhibitor, antineoplastic

itaréparib

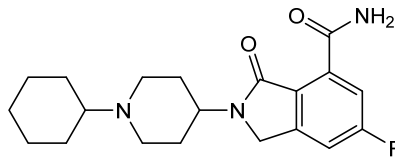
2-(1-cyclohexylpipéridin-4-yl)-6-fluoro-3-oxo-2,3-dihydro-1*H*-isoindole-4-carboxamide
inhibiteur de la poly-ADP-ribose polymérase, antinéoplasique

itareparib

2-(1-ciclohexilpiperidin-4-il)-6-fluoro-3-oxo-2,3-dihidro-1*H*-isoindol-4-carboxamida
inhibidor de poli-ADP-ribosa polimerasa, antineoplásico

C₂₀H₂₆FN₃O₂

1606995-47-4

**ixotatugum #**

ixotatug

immunoglobulin G1-kappa, anti-[*Homo sapiens* CLDN6 (claudin 6, claudin-6)], monoclonal antibody;
H-gamma1 heavy chain (1-447) [VH Musmus/Homsap (*Mus musculus* IGHV6-3*01 (88.8%) -(IGHD) -IGHJ2*01 (90.9%) T123>L (112)/*Homo sapiens* IGHV3-23*03 (82.7%) -(IGHD) -IGHJ5*01 (91.7%) V124>L (113), CDR-IMGT [8.10.8] (26-33.51-60.99-106)) (1-117) -*Homo sapiens* IGHG1*01 (100%) G1m17,1 CH1 K120, CH3 D12, L14 (CH1 K120 (214) (118-215), hinge 1-15 (216-230), CH2 (231-340), CH3 D12 (356), L14 (358) (341-445), CHS (446-447)) (118-447)], (220-214')-disulfide with L-kappa light chain (1'-214') [V-KAPPA Musmus/Homsap (*Mus musculus* IGKV12-44*01 (83.2%) -IGKJ1*01 (91.7%) G120>Q (100')/*Homo sapiens* IGKV1-39*01 (83.2%) -IGKJ2*02 (100%), CDR-IMGT [6.3.9] (27'-32'.50'-52'.89'-97')) (1'-107') -*Homo sapiens* IGKC*01 (100%) Km3 A45.1, V101 (C-KAPPA A45.1 (153'), V101 (191')) (108'-214')]; dimer (226-226":229-229")-bisdisulfide, produced in a cell line from Chinese hamster ovary (CHO) cells, derived from the cell line CHO-S, glycoform alfa
antineoplastic

ixotatug

immunoglobuline G1-kappa, anti-[*Homo sapiens* CLDN6 (claudine 6, claudine-6)], anticorps monoclonal;
chaîne lourde H-gamma1 (1-447) [VH Musmus/Homsap (*Mus musculus* IGHV6-3*01 (88.8%) -(IGHD) -IGHJ2*01 (90.9%) T123>L (112)/*Homo sapiens* IGHV3-23*03 (82.7%) -(IGHD) -IGHJ5*01 (91.7%) V124>L (113), CDR-IMGT [8.10.8] (26-33.51-60.99-106)) (1-117) -*Homo sapiens* IGHG1*01 (100%) G1m17,1 CH1 K120, CH3 D12, L14 (CH1 K120 (214) (118-215), charnière 1-15 (216-230), CH2 (231-340), CH3 D12 (356), L14 (358) (341-445), CHS (446-447)) (118-447)], (220-214')-disulfure avec la chaîne légère L-kappa (1'-218') [V-KAPPA Musmus/Homsap (*Mus musculus* IGKV12-44*01 (83.2%) -IGKJ1*01 (91.7%) G120>Q (100')/*Homo sapiens* IGKV1-39*01 (83.2%) -IGKJ2*02 (100%), CDR-IMGT [6.3.9] (27'-32'.50'-52'.89'-97')) (1'-107') -*Homo sapiens* IGKC*01 (100%) Km3 A45.1, V101 (C-KAPPA A45.1 (153'), V101 (191')) (108'-214')]; dimère (226-226":229-229")-bisdisulfure, produit dans une lignée cellulaire des cellules ovariennes de hamster chinois (CHO), dérivant de la lignée cellulaire CHO-S, glycoforme alfa
antineoplasique

ixotatug

inmunoglobulina G1-kappa, anti-[*Homo sapiens* CLDN6 (claudina 6, claudina-6)], anticuerpo monoclonal; cadena pesada H-gamma1 (1-447) [VH Musmus/Homsap (*Mus musculus* IGHV6-3*01 (88.8%) -(IGHD) -IGHJ2*01 (90.9%) T123>L (112)/*Homo sapiens* IGHV3-23*03 (82.7%) - (IGHD) -IGHJ5*01 (91.7%) V124>L (113), CDR-IMGT [8.10.8] (26-33.51-60.99-106)) (1-117) -*Homo sapiens* IGHG1*01 (100%) G1m17,1 CH1 K120, CH3 D12, L14 (CH1 K120 (214) (118-215), bisagra 1-15 (216-230), CH2 (231-340), CH3 D12 (356), L14 (358) (341-445), CHS (446-447)) (118-447)], (220-214')-disulfuro con la cadena ligera L-kappa (1'-218') [V-KAPPA Musmus/Homsap (*Mus musculus* IGKV12-44*01 (83.2%) -IGKJ1*01 (91.7%) G120>Q (100')/*Homo sapiens* IGKV1-39*01 (83.2%) -IGKJ2*02 (100%), CDR-IMGT [6.3.9] (27'-32'.50'-52'.89'-97')) (1'-107') -*Homo sapiens* IGKC*01 (100%) Km3 A45.1, V101 (C-KAPPA A45.1 (153'), V101 (191')) (108'-214')]; dímero (226-226"-229-229")-bisdisulfuro, producido en una línea celular de las células ováricas de hámster chino (CHO), línea celular derivada de CHO-S, forma glicosilada alfa *antineoplásico*

3018936-99-4

Heavy chain / Chaîne lourde / Cadena pesada

EVQLLESGGG LVQPGGSMRL SCAASGTFPS NYWMNWVROA PGKGLEWVAQ 50
 IRLKSDNYAT HYADSVKGRF TISRDDSKNT VYLQMNLSRA EDTGVYYCND 100
 PPSGSGWQGG TLLTVSSAST KGPSVFPLAP SSKSTSGGTA ALGCLVKDYF 150
 GEPVTVSWNS GALTSGVHTF PAVLQSSGLY SLSSVVTVPS SSLGTQTYIC 200
 NVNHKPSNTK VDKKVEPKSC DKTHTCPPCP APELLGGPSV FLFPPKPKDT 250
 LMISRTPEVT CVVVDVSHED PEVKFNWYVD GVEVHNARTK PREEQYNSTY 300
 RVVSVLTVLH QDWLNGKEYK CKVSNKALPA PIEKTISKAK GQPREPQVYT 350
 LPPSRDELTK NQVSLTCLVK GFYPSDIAVE WESNGQPENN YKTTTPVLDL 400
 DGSFFLYSKL TVDKSRWQGG NVFSCVMHE ALHNHYTQKS LSLSPGK 447

Light chain / Chaîne légère / Cadena ligera

DIQMTQSPSS LSASVGRVIT ITCRISENIY SYLAWYQQKPK GKAPKLLVYN 50
 AKILVEGVPS RFGSGSGSDT FTLTISLQPE EDFGTYICQH HYTVPWTFGQ 100
 GTKLEIKRTV AAPSVFIFPP SDEQLKSGTA SVVCLNNFY PREAKVQWVK 150
 DNALQSGNSQ ESVTEQDSKD STYLSLSTLT LSKADYEKHK YVACEVTHQG 200
 LSSPVTKSFN RGEC 214

Post-translational modifications

Disulfide bridges location / Position des ponts disulfure / Posiciones de los puentes disulfuro
 Intra-H (C23-C104) 22"-98" 144-200 261-321 367-425
 22"-98" 144"-200" 261"-321" 367"-425"
 Intra-L (C23-C104) 23"-88" 134"-194"
 23"-88" 134"-194"
 Inter-H-L (h 5-CL 126) 220-214" 220"-214"
 Inter-H-H (h 11, h 14) 226-226" 229-229"

N-glycosylation sites / Sites de N-glycosylation / Posiciones de N-glicosilación
 H CH2 N84.4: 297, 297"

Fucosylated complex bi-antennary CHO-type glycans / glycanes de type CHO bi-antennaires complexes fucosylés / glicanos de tipo CHO biantenarios complejos fucosilados

C-terminal lysine clipping / Coupure de la lysine C-terminale / Recorte de lisina C-terminal
 H CHS K2: 447, 447"

ixotatugum vedotinum #
 ixotatug vedotin

immunoglobulin G1-kappa, anti-[*Homo sapiens* CLDN6 (claudin 6, claudin-6)], monoclonal antibody, conjugated on an average of four cysteinyl residues to *vedotin*, comprising a cleavable linker and monomethylauristatin E (MMAE);

H-gamma1 heavy chain (1-447) [VH Musmus/Homsap (*Mus musculus* IGHV6-3*01 (88.8%) -(IGHD) -IGHJ2*01 (90.9%) T123>L (112)/*Homo sapiens* IGHV3-23*03 (82.7%) -(IGHD) -IGHJ5*01 (91.7%) V124>L (113), CDR-IMGT [8.10.8] (26-33.51-60.99-106)) (1-117) -*Homo sapiens* IGHG1*01 (100%) G1m17,1 CH1 K120, CH3 D12, L14 (CH1 K120 (214) (118-215), hinge 1-15 (216-230), CH2 (231-340), CH3 D12 (356), L14 (358) (341-445), CHS (446-447)) (118-447)], (220-214')-disulfide with L-kappa light chain (1'-214') [V-KAPPA Musmus/Homsap (*Mus musculus* IGKV12-44*01 (83.2%) -IGKJ1*01 (91.7%) G120>Q (100')/*Homo sapiens* IGKV1-39*01 (83.2%) -IGKJ2*02 (100%), CDR-IMGT [6.3.9] (27'-32'.50'-52'.89'-97'')) (1'-107') -*Homo sapiens* IGKC*01 (100%) Km3 A45.1, V101 (C-KAPPA A45.1 (153'), V101 (191'')) (108'-214''); dimer (226-226":229-229")-bisdisulfide, produced in a cell line from Chinese hamster ovary (CHO) cells, derived from the cell line CHO-S, glycoform alfa; substituted at the sulfur atoms of an average of four L-cysteinyl residues among 220, 226, 229, 214', 220", 226", 229" and 214" with (3RS)-1-(6-(((2S)-1-(((2S)-5-(carbamoylamino)-1-{4-(((2S)-1-(((2S)-1-(((3R,4S,5S)-1-((2S)-2-[(1R,2R)-3-(((1S,2R)-1-hydroxy-1-phenylpropan-2-yl]amino)-1-methoxy-2-methyl-3-oxopropyl]pyrrolidin-1-yl)-3-methoxy-5-methyl-1-oxoheptan-4-yl](methyl)amino)-3-methyl-1-oxobutan-2-yl]amino)-3-methyl-1-oxobutan-2-yl](methyl)carbamoyl]oxy)methyl]anilino)-1-oxopentan-2-yl]amino)-3-methyl-1-oxobutan-32-yl]amino)-6-oxohexyl)-2,5-dioxopyrrolidin-3-yl (*vedotin*) groups *antineoplastic*

ixotatug védotine

immunoglobuline G1-kappa, anti-[*Homo sapiens* CLDN6 (claudine 6, claudine-6)], anticorps monoclonal, conjugué par quatre résidus cystéinyle en moyenne à la *védotine*, comprenant un linker clivable et monométhylauristatine E (MMAE); chaîne lourde H-gamma1 (1-447) [VH Musmus/Homsap (*Mus musculus* IGHV6-3*01 (88.8%) -(IGHD) -IGHJ2*01 (90.9%) T123>L (112)/*Homo sapiens* IGHV3-23*03 (82.7%) -(IGHD) -IGHJ5*01 (91.7%) V124>L (113), CDR-IMGT [8.10.8] (26-33.51-60.99-106)) (1-117) -*Homo sapiens* IGHG1*01 (100%) G1m17,1 CH1 K120, CH3 D12, L14 (CH1 K120 (214) (118-215), charnière 1-15 (216-230), CH2 (231-340), CH3 D12 (356), L14 (358) (341-445), CHS (446-447)) (118-447)], (220-214')-disulfure avec la chaîne légère L-kappa (1'-218') [V-KAPPA Musmus/Homsap (*Mus musculus* IGKV12-44*01 (83.2%) -IGKJ1*01 (91.7%) G120>Q (100')/*Homo sapiens* IGKV1-39*01 (83.2%) -IGKJ2*02 (100%), CDR-IMGT [6.3.9] (27'-32'.50'-52'.89'-97'')) (1'-107') -*Homo sapiens* IGKC*01 (100%) Km3 A45.1, V101 (C-KAPPA A45.1 (153'), V101 (191'')) (108'-214''); dimère (226-226":229-229")-bisdisulfure, produit dans une lignée cellulaire des cellules ovariennes de hamster chinois (CHO), dérivant de la lignée cellulaire CHO-S, glycoforme alfa;

	<p>substitué sur l'atome de soufre de quatre résidus L-cystéinyle en moyenne parmi 220, 226, 229, 214', 220", 226", 229" et 214"" avec des groupes (3<i>RS</i>)-1-(6-(((2<i>S</i>)-1-(((2<i>S</i>)-5-(carbamoylamino)-1-4-(((2<i>S</i>)-1-(((2<i>S</i>)-1-(((3<i>R</i>,4<i>S</i>,5<i>S</i>)-1-((2<i>S</i>)-2-((1<i>R</i>,2<i>R</i>)-3-(((1<i>S</i>,2<i>R</i>)-1-hydroxy-1-phénylpropan-2-yl]amino)-1-méthoxy-2-méthyl-3-oxopropyl]pyrrolidin-1-yl)-3-méthoxy-5-méthyl-1-oxoheptan-4-yl])(méthyl)amino)-3-méthyl-1-oxobutan-2-yl]amino)-3-méthyl-1-oxobutan-2-yl)(méthyl)carbamoyl]oxy)méthyl]anilino)-1-oxopentan-2-yl]amino)-3-méthyl-1-oxobutan-3-yl]amino)-6-oxohexyl)-2,5-dioxopyrrolidin-3-yle (<i>vedotina</i>) <i>antineoplasique</i></p>
ixotatug vedotina	<p>inmunoglobulina G1-kappa, anti-[<i>Homo sapiens</i> CLDN6 (claudina 6, claudina-6)], anticuerpo monoclonal, conjugado en una media de cuatro residuos cisteinilo a la <i>vedotina</i>, que comprende un enlace escindible y monometilauristatina E (MMAE); cadena pesada H-gamma1 (1-447) [VH Musmus/Homsap (<i>Mus musculus</i> IGHV6-3*01 (88.8%) -(IGHD) -IGHJ2*01 (90.9%) T123>L (112)/<i>Homo sapiens</i> IGHV3-23*03 (82.7%) -(IGHD) -IGHJ5*01 (91.7%) V124>L (113), CDR-IMGT [8.10.8] (26-33.51-60.99-106)) (1-117) -<i>Homo sapiens</i> IGHG1*01 (100%) G1m17,1 CH1 K120, CH3 D12, L14 (CH1 K120 (214) (118-215), bisagra 1-15 (216-230), CH2 (231-340), CH3 D12 (356), L14 (358) (341-445), CHS (446-447)) (118-447)], (220-214')-disulfuro con la cadena ligera L-kappa (1'-218') [V-KAPPA Musmus/Homsap (<i>Mus musculus</i> IGKV12-44*01 (83.2%) -IGKJ1*01 (91.7%) G120>Q (100')/<i>Homo sapiens</i> IGKV1-39*01 (83.2%) -IGKJ2*02 (100%), CDR-IMGT [6.3.9] (27'-32'.50'-52'.89'-97')) (1'-107') -<i>Homo sapiens</i> IGKC*01 (100%) Km3 A45.1, V101 (C-KAPPA A45.1 (153'), V101 (191')) (108'-214')]; dímero (226-226":229-229")-bisdisulfuro, producido en una línea celular de las células ováricas de hámster chino (CHO), línea celular derivada de CHO-S, forma glicosilada alfa; sustituido en el átomo de azufre de cuatro residuos L-cisteinilo en promedio entre 220, 226, 229, 214', 220", 226", 229" y 214"" con grupos (3<i>RS</i>)-1-(6-(((2<i>S</i>)-1-(((2<i>S</i>)-5-(carbamoylamino)-1-4-(((2<i>S</i>)-1-(((2<i>S</i>)-1-(((3<i>R</i>,4<i>S</i>,5<i>S</i>)-1-((2<i>S</i>)-2-((1<i>R</i>,2<i>R</i>)-3-(((1<i>S</i>,2<i>R</i>)-1-fenil-1-hidroxiopropan-2-yl]amino)-2-metil-1-metoxi-3-oxopropil]pirrolidin-1-yl)-5-metil-3-metoxi-1-oxoheptan-4-yl])(metil)amino)-3-metil-1-oxobutan-2-yl]amino)-3-metil-1-oxobutan-2-yl)(metil)carbamoyl]oxi)metil]anilino)-1-oxopentan-2-yl]amino)-3-metil-1-oxobutan-3-yl]amino)-6-oxohexil)-2,5-dioxopyrrolidin-3-ilo (<i>vedotina</i>) <i>antineoplásico</i></p>

3018937-00-0

Heavy chain / Chaîne lourde / Cadena pesada (H, H')

EVQLLESGGG LVQPGGSMRL SCAASGFTFS NYWMNWRQA PGKGLEWVAQ 50
 IRLKSDNYAT HYADSVKGRF TISRDDSKNT VYLMNSLRA EDTGVYYCND 100
 GPPSGSWGQG TLLTVSSAST KGPSVFPPLAP SSKSTSGGTA ALGCLVKDYF 150
 PEPVTVSWNS GALTSGVHTF PAVLQSSGLY SLSSVVTVPS SSLGTQTYIC 200
 NVNHKPSNTK VDKKVEPKSC DKHTTCPFPC APELLGGPSV FLFPPKPKDT 250
 LMISRTPEVT CVVVDVSHED PEVKFNWYVD GVEVHNAKTK PREEQYNSTY 300
 RVVSVLTVLH QDWLNGKEYK CKVSNKALPA PIEKTIKAK GQPREPQVYT 350
 LPPSRDELTK NQVSLTCLVK GFYPSDIAVE WESNGQPENN YKTTTPVLDL 400
 DGSFFLYSKL TVDKSRWQQG NVFSCSVMHE ALHNHYTQKS LSLSPGK 447

Light chain / Chaîne légère / Cadena ligera (L, L')

DIQMTQSPSS LSASVGDVRT ITCRISENIY SYLAWYQQKPK GKAPKLLVYN 50
 AKILVEGVPES RFGSGSGGTD FTLTISLQPD EDFGTYYCQH HYTPVPTFGQ 100
 GTKLEIKRTV AAPSVEIFPP SDEQLKSGTA SVVCLLNPFY PREAKVQWKV 150
 DNALQSGNSQ ESVTEQDSKD STYLSLSTLT LSKADYEKHK VYACEVTHQG 200
 LSSPVTKSFN RGEK 214

Post-translational modifications

Disulfide bridges location / Position des ponts disulfure / Posiciones de los puentes disulfuro

Intra-H (C23-C104) 22-98 144-200 261-321 367-425
 22"-98" 144"-200" 261"-321" 367"-425"

Intra-L (C23-C104) 23'-88' 134'-194'
 23'''-88''' 134'''-194'''

Inter-H-L (h 5-CL 126)* 220-214' 220"-214'"

Inter-H-H (h 11, h 14)* 226-226" 229-229"

*Two or three of the four inter-chain disulfide bridges are not present, an average of 4 cysteinyl being conjugated each via a thioether bond to a drug linker.

*Deux ou trois des quatre ponts disulfures inter-chaînes ne sont pas présents, 4 cystéinyl en moyenne étant chacun conjugué via une liaison thioéther à un linker-principe actif.

*Dos o tres de los cuatro puentes disulfuro inter-catenarios no estan presentes, una media de 4 cisteinil está conjugada a conectores de principio activo.

N-glycosylation sites / Sites de N-glycosylation / Posiciones de N-glicosilación

H CH2 N84.4: 297, 297"

Fucosylated complex bi-antennary CHO-type glycans / glycanes de type CHO bi-antennaires complexes fucosylés / glicanos de tipo CHO biantennarios complejos fucosilados

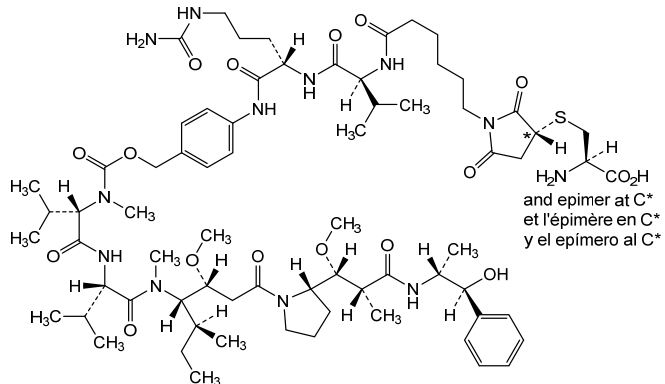
C-terminal lysine clipping / Coupure de la lysine C-terminale / Recorte de lisina C-terminal

H CHS K2: 447, 447"

Potential modified residues / résidus modifiés potentiels / restos modificados potenciales*

C (220, 226, 229, 214', 220", 226", 229", 214'"")

*(*vedotin*:mAb ~ 4:1)



lanisidenibum
lanisidenib

(3S)-N-[(1S)-1-(2-chlorophenyl)-2-[(3,3-difluorocyclobutyl)amino]-2-oxoethyl]-2-(4-cyanopyridin-2-yl)-N-(3-fluorophenyl)-1,1-dioxo-1λ⁶,2-thiazolidine-3-carboxamide
isocitrate dehydrogenase inhibitor, antineoplastic

lanisidénib

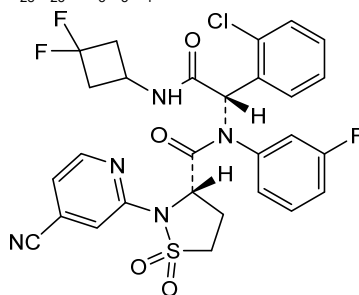
(3*S*)-*N*-((1*S*)-1-(2-chlorophenyl)-2-[(3,3-difluorocyclobutyl)amino]-2-oxoethyl)-2-(4-cyanopyridin-2-yl)-*N*-(3-fluorophenyl)-1,1-dioxo-1λ⁶,2-thiazolidine-3-carboxamide
inhibiteur de l'isocitrate déshydrogénase, antinéoplasique

lanisidenib

(3*S*)-*N*-((1*S*)-1-(2-chlorophenyl)-2-[(3,3-difluorocyclobutyl)amino]-2-oxoethyl)-2-(4-cyanopyridin-2-yl)-*N*-(3-fluorophenyl)-1,1-dioxo-1λ⁶,2-thiazolidine-3-carboxamide
inhibidor de la isocitrato deshidrogenasa, antineoplásico

C₂₈H₂₃ClF₃N₅O₄S

2135537-20-9



lanoracopanum

lanoracopan

4-((2*S*,4*S*)-4-(cyclopropylmethoxy)-1-[(5-methoxy-7-methyl-1*H*-indol-4-yl)methyl]piperidin-2-yl)benzoic acid
complement factor B inhibitor

lanoracopan

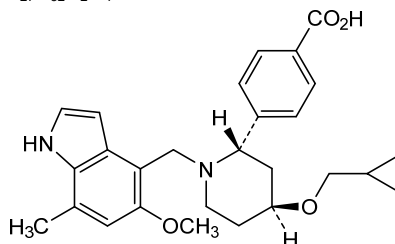
acide 4-((2*S*,4*S*)-4-(cyclopropylméthoxy)-1-[(5-méthoxy-7-méthyl-1*H*-indol-4-yl)méthyl]pipéridin-2-yl)benzoïque
inhibiteur du facteur B du complément

lanoracopán

ácido 4-((2*S*,4*S*)-4-(ciclopropilmetoxi)-1-[(7-metil-5-metoxi-1*H*-indol-4-il)metil]piperidin-2-il)benzoico
inhibidor del factor B del complemento

C₂₇H₃₂N₂O₄

2797066-85-2



laporolimusum

laporolimus

(1*R*,2*R*,4*S*)-4-((2*R*)-2-
 [(3*S*,6*R*,7*E*,9*R*,10*R*,12*R*,14*S*,15*E*,17*E*,19*E*,21*S*,23*S*,2
 6*R*,27*R*,34*aS*)-9,27-dihydroxy-10,21-dimethoxy-
 6,8,12,14,20,26-hexamethyl-1,5,11,28,29-pentaoxo-
 1,4,5,6,9,10,11,12,13,14,21,22,23,24,25,26,27,28,29,3
 1,32,33,34,34a-tetracosahydro-3*H*-23,27-
 epoxyprido[2,1-*c*][1,4]oxazacyclohentriacontin-3-
 yl]propyl)-2-methoxycyclohexyl
 cyclohexanecarboxylate
immunosuppressant

laporolimus

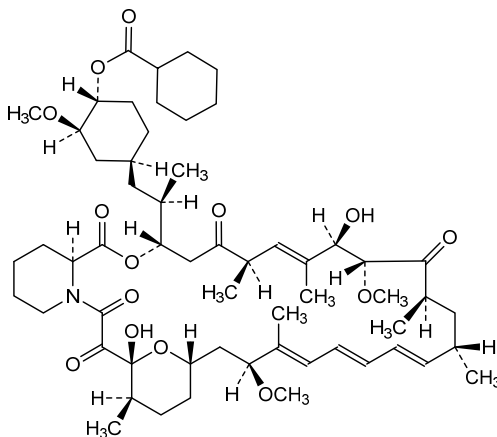
cyclohexanecarboxylate de (1*R*,2*R*,4*S*)-4-((2*R*)-2-
 [(3*S*,6*R*,7*E*,9*R*,10*R*,12*R*,14*S*,15*E*,17*E*,19*E*,21*S*,23*S*,2
 6*R*,27*R*,34*aS*)-9,27-dihydroxy-10,21-diméthoxy-
 6,8,12,14,20,26-hexaméthyl-1,5,11,28,29-pentaoxo-
 1,4,5,6,9,10,11,12,13,14,21,22,23,24,25,26,27,28,29,3
 1,32,33,34,34a-tétracosahydro-3*H*-23,27-
 époxypyrido[2,1-*c*][1,4]oxaazacyclohentriacontin-3-
 yl]propyl)-2-méthoxycyclohexyle
immunosuppresseur

laporólimus

ciclohexanocarboxilato de (1*R*,2*R*,4*S*)-4-((2*R*)-2-
 [(3*S*,6*R*,7*E*,9*R*,10*R*,12*R*,14*S*,15*E*,17*E*,19*E*,21*S*,23*S*,2
 6*R*,27*R*,34*aS*)-9,27-dihidroxi-10,21-dimetoxi-6,8,12,14,20,26-
 hexametil-10,21-dimetoxi-1,5,11,28,29-pentaoxo-
 1,4,5,6,9,10,11,12,13,14,21,22,23,24,25,26,27,28,29,3
 1,32,33,34,34a-tetracosahidro-3*H*-23,27-
 epoxipirido[2,1-*c*][1,4]oxaazacyclohentriacontin-3-
 il]propil)-2-metoxiciclohexilo
immunosupresor

C₅₈H₈₉NO₁₄

1504576-27-5



Iaromestrocelum

Iaromestrocel

allogeneic mesenchymal stromal cells (MSC) derived from bone marrow of healthy human donors. The cells are expanded in media containing fetal bovine serum. The cells are positive ($\geq 95\%$) for the mesenchymal stromal cell surface markers CD73, CD90, CD105, and are negative ($\leq 5\%$) for CD34 and negative ($\leq 2\%$) for markers CD11b, CD19, CD45, and HLA class II histocompatibility antigen gamma chain (HLA-DR). The cells secrete immunomodulatory factors including the interleukin 1 receptor antagonist (IL-1RA), interleukin 4 (IL-4), IL-7, IL-8, IL-10, IL-13, and granulocyte colony stimulating factor (G-CSF) upon stimulation. In absence of exogenous stimulation, the MSCs also secrete vascular endothelial growth factor A (VEGF-A) and tissue inhibitor of metalloproteinases 2 (TIMP-2). The secreted TIMP-2 is able to inhibit matrix metalloproteinase-14 (MMP-14) activity in an *in vitro* assay
cell therapy (anti-inflammatory)

Iaromestrocel

cellules stromales mésenchymateuses (CSM) allogéniques dérivées de la moelle osseuse de donneurs humains sains. Les cellules sont expansées dans un milieu contenant du sérum bovin fœtal. Les cellules sont positives ($\geq 95\%$) pour les marqueurs de surface des cellules stromales mésenchymateuses CD73, CD90, CD105, et sont négatives ($\leq 5\%$) pour CD34 et négatives ($\leq 2\%$) pour les marqueurs CD11b, CD19, CD45 et la chaîne gamma de l'antigène d'histocompatibilité (HLA) de classe II (HLA-DR). Les cellules sécrètent des facteurs immunomodulateurs, notamment l'antagoniste du récepteur de l'interleukine 1 (IL-1RA), l'interleukine 4 (IL-4), l'IL-7, l'IL-8, l'IL-10, l'IL-13 et le facteur de stimulation des colonies de granulocytes (G-CSF), lors de la stimulation. En l'absence de stimulation exogène, les CSM sécrètent également le facteur de croissance endothélial vasculaire A (VEGF-A) et l'inhibiteur tissulaire des métalloprotéinases 2 (TIMP-2). Le TIMP-2 sécrété est capable d'inhiber l'activité de la métalloprotéase matricielle 14 (MMP-14) dans un essai *in vitro*
thérapie cellulaire (anti-inflammatoire)

Iaromestrocel

células estromales mesenquimales (MSC) alogénicas derivadas de médula ósea de donantes sanos. Las células se expanden en medio que contiene suero bovino fetal. Las células son positivas ($\geq 95\%$) para los marcadores de superficie de células estromales mesenquimales CD73, CD90, CD105 y son negativas ($\leq 5\%$) para CD34 y negativas ($\leq 2\%$) para los marcadores CD11b, CD19, CD45 y la cadena gamma del antígeno de histocompatibilidad HLA de clase II (HLA-DR). Las células secretan factores inmunomoduladores incluyendo el antagonista del receptor de interleuquina 1 (IL-1RA), interleuquina 4 (IL-4), IL-7, IL-8, IL-10, IL-13 y factor estimulador de colonias de granulocitos (G-CSF) tras estimulación. En ausencia de estimulación exógena, las MSC también secretan factor de crecimiento del endotelio vascular A (VEGF-A) e inhibidor tisular de metaloproteinasas 2 (TIMP-2). El TIMP-2 secretado es capaz de inhibir la actividad de la metaloproteinasas de matriz 14 (MMP-14) en un ensayo *in vitro*
terapia celular (antiinflamatorio)

larubrilstatum

larubrilstat

(2-(((5*R*)-6,7-dihydro-5*H*-cyclopenta[*b*]pyridin-5-yl)amino)pyrimidin-5-yl)(8-oxa-2-azaspiro[4.5]decan-2-yl)methanone

vascular non-inflammatory molecule-1 (VNN1) inhibitor

larubrilstat

(2-(((5*R*)-6,7-dihydro-5*H*-cyclopenta[*b*]pyridin-5-yl)amino)pyrimidin-5-yl)(8-oxa-2-azaspiro[4.5]décan-2-yl)méthanone

inhibiteur de molécule-1 vasculaire non inflammatoire

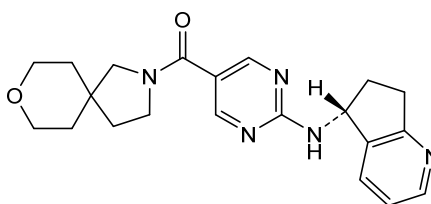
larubrilstat

(2-(((5*R*)-6,7-dihidro-5*H*-ciclopenta[*b*]piridin-5-il)amino)pirimidin-5-il)(8-oxa-2-azaespiro[4.5]decan-2-il)metanona

inhibidor de la molécula 1 vascular no inflamatoria

C₂₁H₂₅N₅O₂

2765226-31-9

**lasmotinibum**

lasmotinib

3-(carbamoylamino)-5-[(3-fluorophenyl)ethynyl]-*N*-[(3*S*)-piperidin-3-yl]thiophene-2-carboxamide
tyrosine kinase inhibitor, antineoplastic

lasmotinib

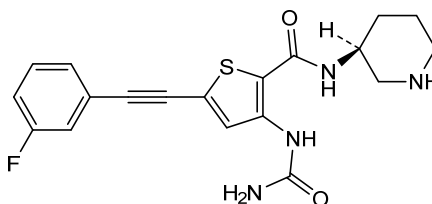
3-(carbamoylamino)-5-[(3-fluorophényl)éthynyl]-*N*-[(3*S*)-pipéridin-3-yl]thiophène-2-carboxamide
inhibiteur de tyrosine kinase, antinéoplasique

lasmotinib

3-(carbamoilamino)-5-[(3-fluorofenil)etinil]-*N*-[(3*S*)-piperidin-3-il]tiofeno-2-carboxamida
inhibidor de la tirosina kinasa, antineoplásico

C₁₉H₁₉FN₄O₂S

2127107-15-5



lasrekibartum #

lasrekibart

immunoglobulin G1-kappa, anti-[*Homo sapiens* IL5 (interleukin 5, IL-5)], humanized monoclonal antibody; H-gamma1 heavy chain humanized (1-448) [VH (*Homo sapiens* IGHV3-23*02 (88.7%) -(IGHD) -IGHJ4*01 (100%), CDR-IMGT [8.8.11] (26-33.51-58.97-107)) (1-118) -*Homo sapiens* IGHG1*01, G1m17,1 CH1 K120, CH3 D12, L14, 9-G1v21 CH2 Y15.1, T16, E18 (CH1 K120 (215) (119-216), hinge 1-15 (217-231), CH2 M15.1>Y (253), S16>T (255), T18>E (257) (232-341), CH3 D12 (357), L14 (359) (342-446), CHS (447-448)) (119-448)], (221-214')-disulfide with L-kappa light chain humanized (1'-214') [V-KAPPA (*Homo sapiens* IGKV1-6*01 (84.0%) -IGKJ4*01 (100%), CDR-IMGT [6.3.9] (27'-32'.50'-52'.89'-97')) (1'-107') -*Homo sapiens* IGKC*01 (100%) Km3 A45.1, V101 (C-KAPPA A45.1 (153'), V101 (191')) (108'-214')]; dimer (227-227":230-230")-bisdisulfide, produced in Chinese hamster ovary (CHO) cells, cell line CHO-K1, glycoform alfa *anti-inflammatory*

lasrekibart

immunoglobuline G1-kappa, anti-[*Homo sapiens* IL5 (interleukine 5, IL-5)], anticorps monoclonal humanisé; chaîne lourde H-gamma1 humanisée (1-448) [VH (*Homo sapiens* IGHV3-23*02 (88.7%) -(IGHD) -IGHJ4*01 (100%), CDR-IMGT [8.8.11] (26-33.51-58.97-107)) (1-118) -*Homo sapiens* IGHG1*01, G1m17,1 CH1 K120, CH3 D12, L14, 9-G1v21 CH2 Y15.1, T16, E18 (CH1 K120 (215) (119-216), charnière 1-15 (217-231), CH2 M15.1>Y (253), S16>T (255), T18>E (257) (232-341), CH3 D12 (357), L14 (359) (342-446), CHS (447-448)) (119-448)], (221-214')-disulfure avec la chaîne légère L-kappa humanisée (1'-214') [V-KAPPA (*Homo sapiens* IGKV1-6*01 (84.0%) -IGKJ4*01 (100%), CDR-IMGT [6.3.9] (27'-32'.50'-52'.89'-97')) (1'-107') -*Homo sapiens* IGKC*01 (100%) Km3 A45.1, V101 (C-KAPPA A45.1 (153'), V101 (191')) (108'-214')]; dimère (227-227":230-230")-bisdisulfure, produit dans des cellules ovariennes de hamster chinois (CHO), lignée cellulaire CHO-K1, glycoforme alfa *anti-inflammatoire*

lasrekibart

inmunoglobulina G1-kappa, anti-[*Homo sapiens* IL5 (interleukina 5, IL-5)], anticuerpo monoclonal humanizado; cadena pesada H-gamma1 humanizada (1-448) [VH (*Homo sapiens* IGHV3-23*02 (88.7%) -(IGHD) -IGHJ4*01 (100%), CDR-IMGT [8.8.11] (26-33.51-58.97-107)) (1-118) -*Homo sapiens* IGHG1*01, G1m17,1 CH1 K120, CH3 D12, L14, 9-G1v21 CH2 Y15.1, T16, E18 (CH1 K120 (215) (119-216), bisagra 1-15 (217-231), CH2 M15.1>Y (253), S16>T (255), T18>E (257) (232-341), CH3 D12 (357), L14 (359) (342-446), CHS (447-448)) (119-448)], (221-214')-disulfuro con la cadena ligera L-kappa humanizada (1'-214') [V-KAPPA (*Homo sapiens* IGKV1-6*01 (84.0%) -IGKJ4*01 (100%), CDR-IMGT [6.3.9] (27'-32'.50'-52'.89'-97')) (1'-107') -*Homo sapiens* IGKC*01 (100%) Km3 A45.1, V101 (C-KAPPA A45.1 (153'), V101 (191')) (108'-214')]; dímero (227-227":230-230")-bisdisulfuro, producido en las células ováricas de hámster chino (CHO), línea celular CHO-K1, forma glicosilada alfa *antiinflamatorio*

3021525-26-5

Heavy chain / Chaîne lourde / Cadena pesada

EVQLVESGGG LVQPGGSLRL SCAASGFTFS HYIMAWVRQA PGKLEWVTS 50
 ISYEGDITYY GDSVKGRFTI SRDNSKNTLY LQMNSLRAED TATYYCASQT 100
 LRESFDYWGQ GTLTVVSSAS TKGPSVFPLA PSSKSTSGGT AALGCLVKDY 150
 FPEPVTVSWN SGALTSVGHV FPAVLQSSGL YSLSSVVTVP SSSLGTQTYI 200
 CAVNHKPSNT KYDKKVEPKS CDKTHTCPPC PAPELLGSPS VLFPPKPKD 250
 TLYITREPEV TCVVVDVSH EPEVKFNWYV DGEVHNAKT KPREEQYNST 300
 YRVVSVLTVL HQDNLNGKEY KCKVSNKALP APIEKTISKA KGQPREPQVY 350
 TLPSPRDELT KNQVSLTCLV KGFYPSDIAV EWESNGQPEN NYKTTTPVLD 400
 SDGSFFLYSK LTVDKSRWQQ GNVFSCSVMH EALHNHYTQK SLSLSPGK 448

Light chain / Chaîne légère / Cadena ligera

DIQMTQSPSS VSASVGDRTV ITCRASQDIA NYLSWYQQPK GKSPKLLIYG 50
 TSNLELVGPS RFSGSRSGTD FTLTISSLQP EDFATYYCLQ DKFPRTFGG 100
 GTKVEIKRTV AAPSVFIFPP SDEQLKSGTA SVVCLLNPFY PREAKVQKWK 150
 DNALQSGNSQ ESVTEQDSKD STYLSLSLT LSKADYERKK VYACEVTHQG 200
 LSSPVTKSFN RGEC 214

Post-translational modifications

Disulfide bridges location / Position des ponts disulfure / Posiciones de los puentes disulfuro

Intra-H (C23-C104) 22-96 145-201 262-322 368-426
 22"-96" 145"-201" 262"-322" 368"-426"

Intra-L (C23-C104) 23"-88" 134"-194"
 23"-88" 134"-194"

Inter-H-L (h 5-CL 126) 221-214' 221"-214"

Inter-H-H (h 11, h 14) 227-227" 230-230"

N-glycosylation sites / Sites de N-glycosylation / Posiciones de N-glicosilación
 H CH2 N84.4: 298, 298"

Fucosylated complex bi-antennary CHO-type glycans / glycanes de type CHO bi-antennaires
 complexes fucosylés / glicanos de tipo CHO biantennarios complejos fucosilados

C-terminal lysine clipping / Coupure de la lysine C-terminale / Recorte de lisina C-terminal
 H CHS K2: 448, 448"

laventatugum tivedotinum #
 laventatug tivedotin

immunoglobulin G1-kappa, anti-[*Homo sapiens* SLC39A6 (solute carrier family 39 member 6, solute carrier family 39 (metal ion transporter) member 6, LIV-1, ZIP6)], humanized monoclonal antibody, conjugated on an average of four cysteinyl residues to *tivedotin*, comprising a cleavable monovalent linker and monomethylauristatin E (MMAE);
 H-gamma1 heavy chain humanized (1-450) [VH (*Homo sapiens* IGHV1-69-2*01 (88.5%) -(IGHD) -IGHJ6*05 (81.8%) K120>Q (112), A127>S (119), CDR-IMGT [8.8.13] (26-33.51-58.97-109)) (1-120) -*Homo sapiens* IGHG1*01, G1m17,1 CH1 K120, CH3 D12, L14 (CH1 K120 (217) (121-218), hinge 1-15 (219-233), CH2 (234-343), CH3 D12 (359), L14 (361) (344-448), CHS (449-450)) (121-450)], (223-219')-disulfide with L-kappa light chain humanized (1'-219') [V-KAPPA (*Homo sapiens* IGKV2-29*02 (89.0%) -IGKJ2*01 (91.7%) Q120>G (105'), CDR-IMGT [11.3.9] (27'-37'.55'-57'.94'-102')) (1'-112') -*Homo sapiens* IGKC*01 (100%) Km3 A45.1, V101 (C-KAPPA A45.1 (158'), V101 (196')) (113'-219')]; dimer (229-229":232-232")-bisdisulfide, produced in Chinese hamster ovary (CHO) cells, cell line CHO-S, glycoform alfa; substituted at the sulfur atoms of an average of four L-cysteinyl residues among 223, 229, 232, 219', 223", 229", 232" and 219"' with 2-oxo-2-((L-valyl-N⁶-carbamoyl-L-ornithyl[(4-aminophenyl)methoxy]carbonyl-N-methyl-L-valyl-L-valyl-(3R,4S,5S)-3-methoxy-5-methyl-4-(methylamino)heptanoyl-(2R,3R)-N-[(1S,2R)-1-hydroxy-1-phenylpropan-2-yl]-3-methoxy-2-methyl-3-[(2S)-pyrrolidin-2-yl]propanamide)-N^{2,1}-yl)ethyl (*tivedotin*) groups
antineoplastic

laventatug tivédotine

immunoglobuline G1-kappa, anti-[*Homo sapiens* SLC39A6 (membre 6 de la famille 39 des transporteurs de solutés, membre 6 de la famille 39 (transporteur d'ion métal) des transporteurs de solutés, membre 6 de la famille 39 (transporteur du zinc) des transporteurs de solutés, LIV-1, ZIP6)], anticorps monoclonal humanisé; conjugué par quatre résidus cystéinyle en moyenne à la *tivédotine*, comprenant un linker monovalent clivable et monométhylauristatine E (MMAE); chaîne lourde H-gamma1 humanisée (1-450) [VH (*Homo sapiens* IGHV1-69-2*01 (88.5%) -(IGHD) -IGHJ6*05 (81.8%) K120>Q (112), A127>S (119), CDR-IMGT [8.8.13] (26-33.51-58.97-109)) (1-120) -*Homo sapiens* IGHG1*01, G1m17,1 CH1 K120, CH3 D12, L14 (CH1 K120 (217) (121-218), charnière 1-15 (219-233), CH2 (234-343), CH3 D12 (359), L14 (361) (344-448), CHS (449-450)) (121-450)], (223-219')-disulfure avec la chaîne légère L-kappa humanisée (1'-219') [V-KAPPA (*Homo sapiens* IGKV2-29*02 (89.0%) -IGKJ2*01 (91.7%) Q120>G (105'), CDR-IMGT [11.3.9] (27'-37'.55'-57'.94'-102'')) (1'-112') -*Homo sapiens* IGKC*01 (100%) Km3 A45.1, V101 (C-KAPPA A45.1 (158'), V101 (196')) (113'-219')]; dimère (229-229'':232-232'')-bisdisulfure, produit dans des cellules ovariennes de hamster chinois (CHO), lignée cellulaire CHO-S, glycoforme alfa; substitué sur l'atome de soufre de quatre résidus L-cystéinyle en moyenne parmi 223, 229, 232, 219', 223'', 229'', 232'' et 219''' avec des groupes 2-oxo-2-([L-valyl-N⁶-carbamoyl-L-ornithyl]([4-aminophényl)méthoxy]carbonyl-N-méthyl-L-valyl-L-valyl-(3R,4S,5S)-3-méthoxy-5-méthyl-4-(méthylamino)heptanoyl-(2R,3R)-N-[(1S,2R)-1-hydroxy-1-phénylpropan-2-yl]-3-méthoxy-2-méthyl-3-[(2S)-pyrrolidin-2-yl]propanamide)-N^{2,1}-yl)éthyle (*tivédotine*) *antineoplasique*

laventatug tivedotina

inmunoglobulina G1-kappa, anti-[*Homo sapiens* SLC39A6 (miembro 6 de la familia 39 de los transportadores de solutos, miembro 6 de la familia 39 (transportador del ión metal) de los transportadores de los solutos, miembro 6 de la familia 39 (transportador del zinc) de los transportadores de solutos, LIV-1, ZIP6)], anticuerpo monoclonal humanizado, conjugado en una media de cuatro residuos cisteinilo a la *tivedotina*, que comprende un enlace monovalente escindible y monometilauristatina E (MMAE); cadena pesada H-gamma1 humanizada (1-450) [VH (*Homo sapiens* IGHV1-69-2*01 (88.5%) -(IGHD) -IGHJ6*05 (81.8%) K120>Q (112), A127>S (119), CDR-IMGT [8.8.13] (26-33.51-58.97-109)) (1-120) -*Homo sapiens* IGHG1*01 (100%) G1m17,1 CH1 K120, CH3 D12, L14 (CH1 K120 (217) (121-218), bisagra 1-15 (219-233), CH2 (234-343), CH3 D12 (359), L14 (361) (344-448), CHS (449-450)) (121-450)], (223-219')-disulfuro con la cadena ligera L-kappa humanizada (1'-219') [V-KAPPA (*Homo sapiens* IGKV2-29*02 (89.0%) -IGKJ2*01 (91.7%) Q120>G (105'), CDR-IMGT [11.3.9] (27'-37'.55'-57'.94'-102'')) (1'-112') -*Homo sapiens* IGKC*01 (100%) Km3 A45.1, V101 (C-KAPPA A45.1 (158'), V101 (196')) (113'-219')]; dímero (229-229'':232-232'')-bisdisulfuro, producido en las células ováricas de hámster chino (CHO), línea celular CHO-S, forma glicosilada alfa, sustituido en el átomo de

azufre de 4 residuos L-cisteinilo en promedio entre 223, 229, 232, 219ⁿ, 223ⁿ, 229ⁿ, 232ⁿ y 219^m con grupos 2-oxo-2-({L-valil-N⁶-carbamoil-L-ornitil[(4-aminofenil)metoxi]carbonil-N-metil-L-valil-L-valil-(3R,4S,5S)-5-metil-4-(metilamino)-3-metoxiheptanoil-(2R,3R)-N-[(1S,2R)-1-fenil-1-hidroxiopropan-2-il]-2-metil-3-metoxi-3-[(2S)-pirrolidin-2-il]propanamida)-N²-il)etilo (*tivedotina*)
antineoplásico

3009829-96-0

Heavy chain / Chaîne lourde / Cadena pesada (H, Hⁿ)

```
EVQLVQSGAE VKKPGATVKI SCKASGLNIE DYMHVWVQQA PGKGLEWGMW 50
IDPENGDT EY AEKFGQGRVTI TADTSTNTAY MELSSLRSED TAVYYCTVHN 100
AHYGTWFAYW GQGTTVTVSS ASTKGPSVFP LAPSSKSTSG GTAALGCLVK 150
DYFPEPVTVS WNSGALTSVG HTFFAVLQSS GLYSLSSVVT VPSSSLGTQT 200
YICNVNHPKS NTKVDKKVEP KSCDKTHTCP PCPAPPELLGG PSVFLFPPPK 250
KDTLMISRTP EVTCVVDVDS HEDPEVKFNW YVDGVEVHNA KTKPREEQYN 300
STYRVVSVLT VLHQDWLNGK EYCKVSNKA LPAPIEKTIS KAKGQPREPQ 350
VYTLPPSRDE LTKNQVSLTC LVKGFYPSDI AVEWESNGQP ENNYKTTTPV 400
LDSGDSFFLY SKLTVDKSRW QQGNVFCSCV MHEALHNHYT QKSLSLSPGK 450
```

Light chain / Chaîne légère / Cadena ligera (L, Lⁿ)

```
DIIVMTQTPLS LSVTPGQPAS ISCRSSQTLV RSDGNTYLEW YLQKPGQSPQ 50
LLIYRVSNRF SGVPRDFSGS GSGTDFTLKI SRVEAEDVGV YYCFQGSHPV 100
YTFGGGKTLE IKRTVAAPSV FIFPPSDEQL KSGTASVVCV LNNFYPREAK 150
VQWKNVDNALQ SGNQSQESVTE QDSKDYSTYSL SSTITLSKAD YEKHKVYACE 200
VTHQGLSSPV TKSFNREGC 219
```

Post-translational modifications

Disulfide bridges location / Position des ponts disulfure / Posiciones de los puentes disulfuro

Intra-H (C23-C104) 22ⁿ-96ⁿ 147ⁿ-203ⁿ 264ⁿ-324ⁿ 370ⁿ-428ⁿ
 Intra-L (C23-C104) 23^m-93^m 139^m-199^m
 23^m-93^m 139^m-199^m

Inter-H-L (h 5-CL 126)* 223-219ⁿ 223ⁿ-219^mInter-H-H (h 11, h 14)* 229-229ⁿ 232-232ⁿ

*Two or three of the four inter-chain disulfide bridges are not present, an average of 4 (3.8) cysteinyl being conjugated each via a thioether bond to a drug linker.

*Deux ou trois des quatre ponts disulfures inter-chaînes ne sont pas présents, 4 (3,8) cystéinyl en moyenne étant chacun conjugué via une liaison thioéther à un linker-principe actif.

*Dos o tres de los cuatro puentes disulfuro inter-catenarios no estan presentes, una media de 4 (3.8) cisteinil está conjugada a conectores de principio activo.

N-glycosylation sites / Sites de N-glycosylation / Posiciones de N-glicosilación

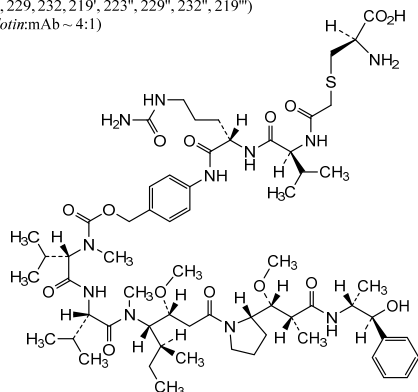
H CH2 N84.4; 300, 300ⁿ

Fucosylated complex bi-antennary CHO-type glycans / glycanes de type CHO bi-antennaires complexes fucosylés / glicanos de tipo CHO biantennarios complejos fucosilados

C-terminal lysine clipping / Coupure de la lysine C-terminale / Recorte de lisina C-terminal

H CHS K2; 450, 450ⁿ

Potential modified residues / résidus modifiés potentiels / restos modificados potenciales*

C (223, 229, 232, 219ⁿ, 223ⁿ, 229ⁿ, 232ⁿ, 219^m)*(*tivedotin*:mAb ~ 4:1)

laventatugum #

laventatug

immunoglobulin G1-kappa, anti-[*Homo sapiens* SLC39A6 (solute carrier family 39 member 6, solute carrier family 39 (metal ion transporter) member 6, solute carrier family 39 (zinc transporter) member 6, LIV-1), ZIP6], humanized monoclonal antibody; H-gamma1 heavy chain humanized (1-450) [VH (*Homo sapiens*IGHV1-69-2*01 (88.5%) -(IGHD) -IGHJ6*05 (81.8%) K120>Q (112), A127>S (119), CDR-IMGT [8.8.13] (26-33.51-58.97-109)) (1-120) -*Homo sapiens*IGHG1*01 (100%) G1m17,1 CH1 K120, CH3 D12, L14 (CH1 K120 (217) (121-218), hinge 1-15 (219-233), CH2 (234-343), CH3 D12 (359), L14 (361) (344-448), CHS (449-450)) (121-450)], (223-219')-disulfide with L-kappa light chain humanized (1'-219') [V-KAPPA (*Homo sapiens*IGKV2-29*02 (89.0%) -IGKJ2*01 (91.7%) Q120>G (105'), CDR-IMGT [11.3.9] (27'-37'.55'-57'.94'-102'')) (1'-112') -*Homo sapiens*IGKC*01 (100%) Km3 A45.1, V101 (C-KAPPA A45.1 (158'), V101 (196'')) (113'-219')]; dimer (229-229":232-232")-bisdisulfide, produced in Chinese hamster ovary (CHO) cells, cell line CHO-S, glycoform alfa
antineoplastica

laventatug

immunoglobuline G1-kappa, anti-[*Homo sapiens* SLC39A6 (membre 6 de la famille 39 des transporteurs de solutés, membre 6 de la famille 39 (transporteur d'ion métal) des transporteurs de solutés, membre 6 de la famille 39 (transporteur du zinc) des transporteurs de solutés, LIV-1, ZIP6)], anticorps monoclonal humanisé; chaîne lourde H-gamma1 humanisée (1-450) [VH (*Homo sapiens*IGHV1-69-2*01 (88.5%) -(IGHD) -IGHJ6*05 (81.8%) K120>Q (112), A127>S (119), CDR-IMGT [8.8.13] (26-33.51-58.97-109)) (1-120) -*Homo sapiens*IGHG1*01 (100%) G1m17,1 CH1 K120, CH3 D12, L14 (CH1 K120 (217) (121-218), charnière 1-15 (219-233), CH2 (234-343), CH3 D12 (359), L14 (361) (344-448), CHS (449-450)) (121-450)], (223-219')-disulfure avec la chaîne légère L-kappa humanisée (1'-219') [V-KAPPA (*Homo sapiens*IGKV2-29*02 (89.0%) -IGKJ2*01 (91.7%) Q120>G (105'), CDR-IMGT [11.3.9] (27'-37'.55'-57'.94'-102'')) (1'-112') -*Homo sapiens*IGKC*01 (100%) Km3 A45.1, V101 (C-KAPPA A45.1 (158'), V101 (196'')) (113'-219')]; dimère (229-229":232-232")-bisdisulfure, produit dans des cellules ovariennes de hamster chinois (CHO), lignée cellulaire CHO-S, glycoforme alfa
antineoplasique

laventatug

immunoglobulina G1-kappa, anti-[*Homo sapiens* SLC39A6 (miembro 6 de la familia 39 de los transportadores de solutos, miembro 6 de la familia 39 (transportador del ión metal) de los transportadores de los solutos, miembro 6 de la familia 39 (transportador del zinc) de los transportadores de solutos, LIV-1, ZIP6)], anticuerpo monoclonal humanizado; cadena pesada H-gamma1 humanizada (1-450) [VH (*Homo sapiens*IGHV1-69-2*01 (88.5%) -(IGHD) -IGHJ6*05 (81.8%) K120>Q (112), A127>S (119), CDR-IMGT [8.8.13] (26-33.51-58.97-109)) (1-120) -*Homo sapiens*IGHG1*01 (100%) G1m17,1 CH1 K120, CH3 D12, L14 (CH1 K120 (217) (121-218), bisagra 1-15 (219-233), CH2 (234-343), CH3 D12 (359), L14 (361) (344-448), CHS (449-450)) (121-450)], (223-219')-disulfuro con la cadena ligera L-kappa humanizada (1'-219') [V-KAPPA (*Homo sapiens*IGKV2-29*02 (89.0%) -IGKJ2*01 (91.7%) Q120>G (105'), CDR-IMGT [11.3.9] (27'-37'.55'-57'.94'-102'')) (1'-112') -*Homo sapiens*IGKC*01 (100%) Km3 A45.1, V101 (C-KAPPA A45.1 (158'), V101 (196'')) (113'-219')]; dímero (229-229":232-232")-bisdisulfuro, producido en las células ováricas de hámster chino (CHO), línea celular CHO-S, forma glicosilada alfa
antineoplásico

3009829-91-5

Heavy chain / Chaîne lourde / Cadena pesada

EVQLVQSGAE VKKPGATVKI SCKASGLNIE DYYMHVWQQA PGKGLEWMGW 50
 IDPENGDT EY AEKFGGRVTI TADTSTNTAY MELSSLRS ED TAVYYCTVHN 100
 AHYGTWFAYW GQGTVTVSS ASTKGPSVFP LAPSSKSTSG GTAALGCLVK 150
 DYFPEPVTVS WNSGALTS GV HTFFPAVLQSS GLYSLSSVVT VPSSSLGTQT 200
 YICNVNHKPS NTKVDKKVEP KSCDKTHTCP PCPAPPELLGG PSVFLFPPKPK 250
 KDTLMISRTP EVTCVVVDVS HEDPEVKFNW YVDGVEVHNA KTKPREEQYN 300
 STYRVVSVLT VLHQDWLNGK EYKCKVSNKA LPAPIEKTIS KAKGQPREPQ 350
 VYTLPPSRDE LTKNQVSLTC LVKGFYPSDI AVEWESNGQP ENNYKTTPEPV 400
 LDSDDGSFFLY SKLTVDKSRW QQGNVFS CSV MHEALHNHYT QKSLSLSPGK 450

Light chain / Chaîne légère / Cadena ligera

DIVMTQTPLS LSVTPGQPAS TSCRSSQTLV RSDGNTYLEW YLQKPGQSPQ 50
 LLIYRVSNRF SGVPDRFSGS GSGTDFTLKI SRVEAEDVGV YYCFQGSHPV 100
 YTPGGGKLE IKRTVAAPSV FIFPPSDEQL KSGTASVCL LNNFYPREAK 150
 VQWKVDNALQ SGNSQESVTE QDSKSTYSLS SSTLTLSKAD YEKHKVYACE 200
 VTHQGLSSPV TKSFNREGC 219

Post-translational modifications

Disulfide bridges location / Position des ponts disulfure / Posiciones de los puentes disulfuro

Intra-H (C23-C104) 22"-96" 147"-203" 264"-324" 370"-428"
 22"-96" 147"-203" 264"-324" 370"-428"

Intra-L (C23-C104) 23"-93" 139"-199"
 23"-93" 139"-199"

Inter-H-L (h 5-CL 126) 223"-219" 223"-219"

Inter-H-H (h 11, h 14) 229"-229" 232"-232"

N-glycosylation sites / Sites de N-glycosylation / Posiciones de N-glicosilación

H CH2 N84.4: 300, 300"

Fucosylated complex bi-antennary CHO-type glycans / glycanes de type CHO bi-antennaires complexes fucosylés / glicanos de tipo CHO biantennarios complejos fucosilados

C-terminal lysine clipping / Coupure de la lysine C-terminale / Recorte de lisina C-terminal

H CHS K2: 450, 450"

**Iecankitugum #
Iecankitug**

immunoglobulin G1-kappa, anti-[*Homo sapiens* IL17A (interleukin 17A, IL-17A) and IL17F (interleukin 17F, IL-17F)], humanized monoclonal antibody;
 H-gamma1 heavy chain humanized (1-448) [VH (*Homo sapiens* IGHV1-46*01 (83.7%) -(IGHD) -IGHJ4*01 (100%), CDR-IMGT [8.8.11] (26-33.51-58.97-107)) (1-118) -*Homo sapiens* IGHG1*01 (100%) G1m17,1 CH1 K120, CH3 D12, L14 (CH1 K120 (215) (119-216), hinge 1-15 (217-231), CH2 (232-341), CH3 D12 (357), L14 (359) (342-446), CHS (447-448)) (119-448)], (221-219')-disulfide with L-kappa light chain humanized (1'-219') [V-KAPPA (*Homo sapiens* IGKV2D-29*01 (89.0%) -IGKJ2*01 (100%), CDR-IMGT [11.3.9] (27'-37'.55'-57'.94'-102')) (1'-112') -*Homo sapiens* IGKC*01 (100%) Km3 A45.1, V101 (C-KAPPA A45.1 (158'), V101 (196')) (113'-219')]; dimer (227-227":230-230")-bisdisulfide, produced in a cell line from Chinese hamster ovary (CHO) cells, derived from the cell line CHO-K1, glycoform alfa
anti-inflammatory

Iécankitug

immunoglobuline G1-kappa, anti-[*Homo sapiens* IL17A (interleukine 17A, IL-17A) et IL17F (interleukine 17F, IL-17F)]; anticorps monoclonal humanisé;

chaîne lourde H-gamma1 humanisée (1-448) [VH (*Homo sapiens* IGHV1-46*01 (83.7%) -(IGHD) -IGHJ4*01 (100%), CDR-IMGT [8.8.11] (26-33.51-58.97-107)) (1-118) -*Homo sapiens* IGHG1*01 (100%) G1m17,1 CH1 K120, CH3 D12, L14 (CH1 K120 (215) (119-216), charnière 1-15 (217-231), CH2 (232-341), CH3 D12 (357), L14 (359) (342-446), CHS (447-448)) (119-448)], (221-219')-disulfure avec la chaîne légère L-kappa humanisée (1'-219') [V-KAPPA (*Homo sapiens* IGKV2D-29*01 (89.0%) -IGKJ2*01 (100%), CDR-IMGT [11.3.9] (27'-37'.55'-57'.94'-102')) (1'-112') -*Homo sapiens* IGKC*01 (100%) Km3 A45.1, V101 (C-KAPPA A45.1 (158'), V101 (196')) (113'-219')]; dimère (227-227":230-230")-bisdisulfure, produit dans une lignée cellulaire des cellules ovariennes de hamster chinois (CHO), dérivant de la lignée cellulaire CHO-K1, glycoforme alfa *anti-inflammatoire*

Iecankitug

immunoglobulina G1-kappa, anti-[*Homo sapiens* IL17A (interleukina 17A, IL-17A) y IL17F (interleukina 17F, IL-17F)]; anticuerpo monoclonal humanizado;

cadena pesada H-gamma1 humanizada (1-448) [VH (*Homo sapiens* IGHV1-46*01 (83.7%) -(IGHD) -IGHJ4*01 (100%), CDR-IMGT [8.8.11] (26-33.51-58.97-107)) (1-118) -*Homo sapiens* IGHG1*01 (100%) G1m17,1 CH1 K120, CH3 D12, L14 (CH1 K120 (215) (119-216), bisagra 1-15 (217-231), CH2 (232-341), CH3 D12 (357), L14 (359) (342-446), CHS (447-448)) (119-448)], (221-219')-disulfuro con la cadena ligera L-kappa humanizada (1'-219') [V-KAPPA (*Homo sapiens* IGKV2D-29*01 (89.0%) -IGKJ2*01 (100%), CDR-IMGT [11.3.9] (27'-37'.55'-57'.94'-102')) (1'-112') -*Homo sapiens* IGKC*01 (100%) Km3 A45.1, V101 (C-KAPPA A45.1 (158'), V101 (196')) (113'-219')]; dímero (227-227":230-230")-bisdisulfuro, producido en una línea celular de las células ováricas de hámster chino (CHO), línea celular derivada de CHO-K1, forma glicosilada alfa *antiinflamatorio*

2923284-76-6

Heavy chain / Chaîne lourde / Cadena pesada

QFQLVQSGAE VKKPGASVKV SCKASGYFTT DYNLNWVRQA PGKGLEWGMV 50
 IHDYDGTTSY NQRFKDRVTM TVDTSTSTVY MELSSLRSED TAVVYCVRYD 100
 YGDAMDYWGQ GTLVTVSSAS TKGPSVFPLA PSSKSTSGGT AALGCLVKVDY 150
 FPEPVTVSWN SGALTSVGVHT FPAVLQSSGL YSLSSVVTVP SSSLGTQTYI 200
 CNVNHKPSNT KVDKKEVPEKS CDKTHTCPPC PAPELLGGPS VFLFPPKPKD 250
 TLMISRTPEV TCVVVDVSH EDPVKFNWYV DGVEVHNAKT KPREEQYNST 300
 YRVVSVLTVL HQDWLNGKEY KCKVSNKALP APIEKTISKA KGQPREPQVY 350
 TLPFSRDEL T KNQVSLTCLV KGFYPSDIAV EWESNGQPEN NYKTTTPVLD 400
 SDGSFFLYSK LTVDKSRWQ GNVFSCSVMH EALHNHYTQK SLSLSPGK 448

Light chain / Chaîne légère / Cadena ligera

DIVMTQSPLS LSVTPGQPAS ISCRSSQSLV HSNNGTYLHW YLQKPGQPPQ 50
 LLLYKVSNNRF SGPVDRFSGS GSGTDFTLKI SRVEAEDVGV YYCSQSTHVP 100
 LTFGQGTKLE IKRTVAAPSV FIFPPSDEQL KSGTASVCL LNNFYPREAK 150
 VQWKVDNALQ SGNSQESVTE QDSKSTYSL SSSLTTLKAD YERHKYVYACE 200
 VTHQGLSSPV TKSFNRRGEC 219

Post-translational modifications

Disulfide bridges location / Position des ponts disulfure / Posiciones de los puentes disulfuro

Intra-H (C23-C104) 22-96 145-201 262-322 368-426

22"-96" 145"-201" 262"-322" 368"-426"

Intra-L (C23-C104) 23'-93' 139'-199'

23"-93" 139"-199"

Inter-H-L (h 5-CL 126) 221-219' 221"-219"

Inter-H-H (h 11, h 14) 227-227" 230-230"

N-terminal glutaminyl cyclization / Cyclisation du glutaminyle N-terminal / Ciclación del glutaminilo N-terminal

Q > pyroglutamyl (pE, 5-oxopropyl) / pyroglutamyle (pE, 5-oxopropyle) / piroglutamilo (pE, 5-oxopropililo)

H VH Q1: 1, 1"

N-glycosylation sites / Sites de N-glycosylation / Posiciones de N-glicosilación

H CH2 N84.4: 298, 298"

Fucosylated complex bi-antennary CHO-type glycans / glycanes de type CHO bi-antennaires complexes fucosylés / glicanos de tipo CHO biantennarios complejos fucosilados

C-terminal lysine clipping / Coupure de la lysine C-terminale / Recorte de lisina C-terminal

H CHS K2: 448, 448"

ledostomigum #

ledostomig immunoglobulin (H-gamma1-scFvvhk_L-kappa) dimer, anti-[*Homo sapiens* NT5E (5'-nucleotidase ecto, 5'-nucleotidase, NT5, eN, eNT, NTE, CALJA, CD73)] and anti-[*Homo sapiens* PDCD1 (programmed cell death 1, PD-1, PD1, CD279)], monoclonal antibody, bispecific, tetravalent; H-gamma1 heavy chain anti-NT5E fused to a scFvvhk anti-PDCD1 (1-717) [H-gamma1 heavy chain anti-NT5E (1-451) [VH Musmus/Homsap (*Mus musculus* IGHV1-42-1*01 (82.7%) -(IGHD) -IGHJ2*01 (100%)/*Homo sapiens* IGHV1-46*01 (81.6%) -(IGHD) -IGHJ4*01 (86.7%) L123>T (116), V124>L (117), CDR-IMGT [8.8.14] (26-33.51-58.97-110)) (1-121)-*Homo sapiens* IGHG1*01, G1m17.1 CH1 K120, CH3 D12, L14, 6-G1v14-1 CH2 A1.3, A1.2, A1(CH1 K120 (218) (122-219), hinge 1-15 (220-234), CH2 L1.3>A (238), L1.2>A (239), G1>A (241) (235-344), CH3 D12 (360), L14 (362) (345-449), CHS (450-451)) (122-451)] -20-mer tetrakis(tetraglycyl-seryl) linker (452-471) -scFvvhk anti-PDCD1 (472-717) [VH (*Homo sapiens* IGHV3-23*04 (88.7%) -(IGHD) -IGHJ6*01 (90.9%) T123>L (584), CDR-IMGT [8.8.11] (497-504.522-529.568-578)) (472-589) -20-mer tetrakis(tetraglycyl-seryl) linker (590-609) -V-KAPPA Musmus/Homsap (*Mus musculus* IGKV14-111*01 (86.3%) -IGKJ5*01 (100%)/*Homo sapiens* IGKV1-16*01 (80.0%) -IGKJ2*01 (81.8%) Q120>A (709), I126>L (715), CDR-IMGT [6.3.9] (636-641.659-661.698-706)) (610-717)]; (224-220')-disulfide with L-kappa light chain anti-NT5E humanized (1'-220') [V-KAPPA (*Homo sapiens* IGKV4-1*01 (89.1%) -IGKJ2*01 (91.7%) Q120>G (106'), CDR-IMGT [12.3.9] (27'-38'.56'-58'.95'-103'')) (1'-113') -*Homo sapiens* IGKC*01 (100%) Km3 A45.1, V101 (C-KAPPA A45.1 (159'), V101 (197')) (114'-220')]; dimer (230-230":233-233")-bisdisulfide, produced in Chinese hamster ovary (CHO) cells, glycoform alfa *immunostimulant, antineoplastic*

lédostomig immunoglobuline (H-gamma1-scFvvhk_L-kappa) dimère, anti-[*Homo sapiens* NT5E (5'-nucléotidase ecto, 5'-nucléotidase, NT5, eN, eNT, NTE, CALJA, CD73)] et anti-[*Homo sapiens* PDCD1 (protéine 1 de mort cellulaire programmée, PD-1, PD1, CD279)], anticorps monoclonal, bispécifique, tétravalent; chaîne lourde H-gamma1 anti-NT5E fusionnée à un scFvvhk anti-PDCD1 (1-717) [chaîne lourde H-gamma1 anti-NT5E (1-451) [VH Musmus/Homsap (*Mus musculus* IGHV1-42-1*01 (82.7%) -(IGHD) -IGHJ2*01 (100%)/*Homo sapiens* IGHV1-46*01 (81.6%) -(IGHD) -IGHJ4*01 (86.7%) L123>T (116), V124>L (117), CDR-IMGT [8.8.14] (26-33.51-58.97-110)) (1-121)-*Homo sapiens* IGHG1*01 G1m17.1 CH1 K120, CH3 D12, L14, 6-G1v14-1 CH2 A1.3, A1.2, A1(CH1 K120 (218) (122-219), charnière 1-15 (220-234), CH2 L1.3>A (238), L1.2>A (239), G1>A (241) (235-344), CH3 D12 (360), L14 (362) (345-449), CHS (450-451)) (122-451)] -20-mer tétrakis(tétraglycyl-séryl) linker (452-471) -scFvvhk anti-PDCD1 (472-717) [VH (*Homo sapiens* IGHV3-23*04 (88.7%) -(IGHD) -IGHJ6*01 (90.9%) T123>L (584), CDR-IMGT [8.8.11] (497-504.522-529.568-578)) (472-589) -20-mer tétrakis(tétraglycyl-séryl) linker (590-609) -V-KAPPA Musmus/Homsap (*Mus musculus* IGKV14-111*01 (86.3%) -IGKJ5*01 (100%)/*Homo sapiens* IGKV1-16*01 (80.0%) -IGKJ2*01 (81.8%) Q120>A (709), I126>L (715), CDR-IMGT [6.3.9] (636-641.659-661.698-706)) (610-717)]; (224-220')-disulfure avec la chaîne légère L-kappa anti-NT5E humanisée (1'-220') [V-KAPPA (*Homo sapiens* IGKV4-1*01 (89.1%) -IGKJ2*01 (91.7%) Q120>G (106'), CDR-IMGT [12.3.9] (27'-38'.56'-58'.95'-103'')) (1'-113') -*Homo sapiens* IGKC*01 (100%) Km3 A45.1, V101 (C-KAPPA A45.1 (159'), V101 (197')) (114'-220')]; dimère (230-230":233-233")-bisdisulfure, produit dans des cellules ovariennes de hamster chinois (CHO), glycoforme alfa *immunostimulant, antinéoplasique*

ledostomig inmunoglobulina (H-gamma1-scFvvhk_L-kappa) dímero, anti-[*Homo sapiens* NT5E (5'-nucleotidasa ecto, 5'-nucleotidasa, NT5, eN, eNT, NTE, CALJA, CD73)] y anti-[*Homo sapiens* PDCD1 (proteína 1 de muerte celular programada, PD-1, PD1, CD279)], anticuerpo monoclonal, biespecífico, tetravalente;

cadena pesada H-gamma1 anti-NT5E fusionada con un scFvbk anti-PDCD1 (1-717) [cadena pesada H-gamma1 anti-NT5E (1-451) [VH Musmus/Homsap (*Mus musculus* IGHV1-42-1*01 (82.7%) -(IGHD) -IGHJ2*01 (100%)/*Homo sapiens* IGHV1-46*01 (81.6%) -(IGHD) -IGHJ4*01 (86.7%) L123>T (116), V124>L (117), CDR-IMGT [8.8.14] (26-33.51-58.97-110)) (1-121)-*Homo sapiens* IGHG1*01 G1m17,1 CH1 K120, CH3 D12, L14, 6-G1v14-1 CH2 A1.3, A1.2, A1(CH1 K120 (218) (122-219), bisagra 1-15 (220-234), CH2 L1.3>A (238), L1.2>A (239), G1>A (241) (235-344), CH3 D12 (360), L14 (362) (345-449), CHS (450-451)) (122-451)] -20-mer tetrakis(tetraglicil-seril) enlace (452-471) -scFvbk anti-PDCD1 (472-717) [VH (*Homo sapiens* IGHV3-23*04 (88.7%) -(IGHD) -IGHJ6*01 (90.9%) T123>L (584), CDR-IMGT [8.8.11] (497-504.522-529.568-578)) (472-589) -20-mer tetrakis(tetraglicil-seril) enlace (590-609) -V-KAPPA Musmus/Homsap (*Mus musculus* IGKV14-111*01 (86.3%) -IGKJ5*01 (100%)/*Homo sapiens* IGKV1-16*01 (80.0%) -IGKJ2*01 (81.8%) Q120>A (709), I126>L (715), CDR-IMGT [6.3.9] (636-641.659-661.698-706)) (610-717)]; (224-220)-disulfuro com la cadena ligera L-kappa anti-NT5E humanizada (1'-220') [V-KAPPA (*Homo sapiens* IGKV4-1*01 (89.1%) -IGKJ2*01 (91.7%) Q120>G (106'), CDR-IMGT [12.3.9] (27'-38'.56'-58'.95'-103')) (1'-113') -*Homo sapiens* IGKC*01 (100%) Km3 A45.1, V101 (C-KAPPA A45.1 (159'), V101 (197')) (114'-220')]; dímero (230-230":233-233")-bisdisulfuro, producido en las células ováricas de hámster chino (CHO), forma glicosilada alfa

inmunoestimulante, antineoplásico

2769743-01-1

Heavy chain / Chaîne lourde / Cadena pesada: fused H-gamma1 anti-NT5E -scFvbk anti-PDCD1 (H, H¹)

```

QVQLVQSGAE VVKPGASVKV SCKASGYSFT GYTMNWVRQA PGQNLIEWIGL 50
INPYNAGTSY NQKFQCKVTL TVDKSTSTAY MELSSLRSED TAVYCARSE 100
YRYGGDYFDY WQGTTLTVS SASTKGFPSV PLAPSSKSTS GGTAAALGCLV 150
KDYFPEPVTV SWNSGALTSV VHTFPAVLQS SGLYSLSSVV TWPSSSLGTQ 200
TYICNVNHKP SNTKVDKQVE PKSCDKTHC PCCPAPEAAG APSVFLFPPK 250
PKDTLMISRT PEVTCVVVDV SHEDPEVKFN WYVDGVEVHN ARTKPREEQY 300
NSTYRVVSVL TVLHQDWLNG KEYRCKVSNK ALPAPIEKTI SKARGQPREP 350
QVYTLPPSRD ELTKNQVSLT CLVKGFPYSD IAVWEWESNGQ PENNYKTTTP 400
VLDSDSGFFL YSKLTVDKSR WQQGNVFSCS VMHEALHNHY TQKSLSLSPG 450
KGGGGSGGGG SGGGSGGGGG SEVQLVESGG GLVQPGGSLR LSCAASGFGA 500
SSYDMSWVRQ APGKGLDWVA TISGGGRYTY YPDSVKGRFT ISRDNSKNNL 550
YLQMNSLRAE DTALYYCANR YGEAWFAYNG QGTLVTVSSG GGGSGGGGGG 600
GGGSGGGGGG IQMTQSPSSM SASVGDRTVF TCRASQDINT YLSWFQKQPG 650
KSPKTLIYRA NRLVSGVPSR FSGSGSGQDY TLTISLQPE DMATYYCLYQ 700
DEFPLTFGAG TKLELKR 717

```

Light chain / Chaîne légère / Cadena ligera: L-kappa anti-NT5E (L, L¹)

```

DIVMTQSPSS LAVSVGERVT ISCKSSQSL NNSNQKNYLA WYQKPGQPAP 50
KLLIYFASTR ESGVPDRFSG SGSGTDFTLT ISSLQAEVDA VYCCQQHYDT 100
PYTFGGGTKL EIKRTVAAPS VFIFPPSDEQ LKSGTASVVC LLNNFYPREA 150
KVQWKVDNAL QSGNSQESVT EQDSKDSITY LSSTLTLSKA DYERKHKVYAC 200
EVTHQGLSSP VTKSFRNGEC 220

```

Post-translational modifications

Disulfide bridges location / Position des ponts disulfure / Posiciones de los puentes disulfuro

Intra-H (C23-C104)	22-96	148-204	265-325	371-429
	22"-96"	148"-204"	265"-325"	371"-429"
	493-567	632-697		
	493"-567"	632"-697"		
Intra-L (C23-C104)	23'-94'	140"-200"		
	23'''-94'''	140'''-200'''		
Intra-H-L (h 5-CL 126)	224-220'	224"-220'''		
Inter-H-H (h 11, h 14)	230-230"	233-233"		

N-terminal glutaminyl cyclization / Cyclisation du glutaminyle N-terminal / Ciclación del glutaminilo N-terminal

Q > pyroglutamyl (pE, 5-oxopropyl) / pyroglutamyle (pE, 5-oxopropyle) / piroglutamilo (pE, 5-oxoprolilo)

H VH Q1: 1, I"

N-glycosylation sites / Sites de N-glycosylation / Posiciones de N-glicosilación

H CH2 N84: 301, 301"

Fucosylated complex bi-antennary CHO-type glycans / glycanes de type CHO bi-antennaires complexes fucosylés / glicanos de tipo CHO biantenarijos complejos fucosilados.

lerepmeranum #

lerepmeran

messenger RNA (mRNA), 5'(m⁷G-(5'→5')-ppp-Gm)-capped, encoding codon-optimised human propionyl-CoA carboxylase subunit alpha (PCCA), flanked by 5' and 3' untranslated regions (UTRs), followed by a 3' polyadenylation (polyA) tail and concluded by a 5-nucleotide *Xba*I scar. The 3' UTR contains three microRNA-142 (miR-142) binding sites. Contains N¹-methylpseudouridine instead of uridine (*all-U*>m¹ψ) *enzyme replacement therapy (propionic acidemia)*

lérepméran

ARN messenger (ARNm), coiffé en 5'(m⁷G-(5'→5')-ppp-Gm), codant, avec des codons optimisés, la sous-unité alpha de la propionyl-CoA carboxylase humaine (PCCA), flanqué des régions non traduites (UTRs) en 5' et 3', suivie d'une queue de polyadénylation (polyA) en 3' et conclue par une cicatrice *Xba*I de 5 nucléotides. Le 3' UTR contient trois sites de liaison du microARN-142 (miR-142). Contient de la N¹-méthylpseudouridine au lieu de l'uridine (*tout-U*>m¹ψ) *thérapie enzymatique substitutive (acidémie propionique)*

lerepmerán

ARN mensajero (ARNm), protegido con la caperuza 5'(m⁷G-(5'→5')-ppp-Gm), que codifica, con codones optimizados, la subunidad alfa de la propionil-CoA carboxilasa (PCCA), flanqueado por regiones sin traducir (UTRs) 5' y 3', seguido de una cola de poliadenilación (poliA) en 3' y concluido con una cicatriz *Xba*I de 5 nucleótidos. La 3' UTR contiene tres sitios de unión del microARN-142 (miR-142). Contiene N¹-metilpseudouridina en lugar de uridina (*todo-U*>m¹ψ) *tratamiento enzimático de sustitución (acidemia propiónica)*

2924731-63-3

linvemastatum

linvemastat

rac-(1⁴R)-7²-methyl-5-oxa-3-thia-7(4)-pyridina-1(4)-imidazolidina-2(2,3)-furana-4(1,4)-benzenaheptaphane-1²,1⁵-dione
matrix metalloproteinase-12 inhibitor, lung diseases

linvémastat

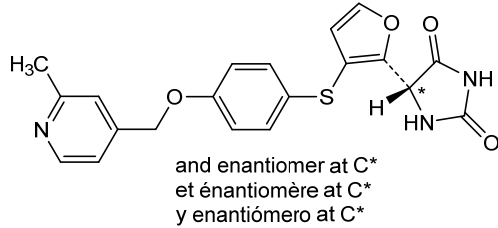
rac-(1⁴R)-7²-méthyl-5-oxa-3-thia-7(4)-pyridina-1(4)-imidazolidina-2(2,3)-furana-4(1,4)-benzénaheptaphane-1²,1⁵-dione
inhibiteur de la métalloprotéinase matricielle-12, maladies pulmonaires

linvemastat

rac-(1⁴R)-7²-metil-5-oxa-3-tia-7(4)-piridina-1(4)-imidazolidina-2(2,3)-furana-4(1,4)-bencenaheptafano-1²,1⁵-diona
inhibidor de la metaloproteinasa 12 de la matrix, enfermedades pulmonares

C₂₀H₁₇N₃O₄S

2389060-50-6



liraltagenium autoleucelum #
liraltagène autoleucel

autologous CD4+/CD8+ enriched T lymphocytes derived from leukapheresis material, transduced with a non-replicating murine stem cell virus (MSCV)-derived gamma retroviral vector, encoding codon-optimised follicle-stimulating hormone (FSH) (subunits FSHβ and CGα, linked by a glycine/serine spacer), preceded by the FSHβ signal peptide, and fused to a CD8α hinge and transmembrane domain, a 4-1BB co-stimulatory domain and a CD3ζ signalling domain, under control of the Moloney murine leukemia virus (MMLV) LTR promoter. The vector also has long terminal repeats (LTRs) derived from MSCV and an extended packaging signal (Ψ+) derived from MMLV and has a splice acceptor sequence immediately upstream of the start codon. A Kozak sequence precedes the transgene.

The leukapheresis material is enriched for the lymphocyte fraction prior to activation with anti-CD3 and interleukin 2 (IL-2). The cells are then transduced with the retroviral vector and expanded in growth media containing anti-CD3 and IL-2. The cell suspension consists of T lymphocytes (≥90% CD3+; ≤0.5% CD14+, ≤0.08% CD19+, ≤5% CD3-CD56+, ≤0.55% CD3-CD33+), with ≥10% of the T lymphocytes expressing the transgene. The transduced T lymphocytes demonstrate cytotoxicity against follicle-stimulating hormone receptor (FSHR)-expressing cells *cell-based gene therapy (antineoplastic)*

liraltagène autoleucel

lymphocytes T autologues enrichis en CD4+/CD8+, dérivés de matériel de leucaphérèse, transduits avec un vecteur rétroviral gamma dérivé du virus des cellules souches murines (MSCV), non répliatif, codant l'hormone folliculo-stimulante (FSH) à codons optimisés (sous-unités FSHβ et CGα, liées par un espaceur glycine/sérine), précédé du peptide signal FSHβ, et fusionné à un domaine charnière et un domaine transmembranaire CD8α, un domaine co-stimulateur 4-1BB et un domaine de signalisation CD3ζ, sous le contrôle du promoteur LTR du virus de la leucémie murine Moloney (MMLV). Le vecteur possède de répétitions terminales longues (LTRs) dérivées du MSCV et un signal d'encapsulation (Ψ+) dérivé du MMLV et possède une séquence accepteur d'épissage immédiatement en amont du codon d'initiation. Une séquence Kozak précède le transgène.

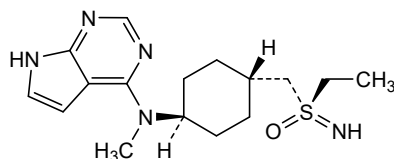
	<p>Le matériel de leucaphérèse est enrichi en fraction lymphocytaire avant l'activation avec de l'anti-CD3 et de l'interleukine 2 (IL-2). Les cellules sont ensuite transduites avec le vecteur rétroviral et expansées dans un milieu de croissance contenant de l'anti-CD3 et de l'IL-2. La suspension cellulaire est constituée de lymphocytes T ($\geq 90\%$ CD3+; $\leq 0,5\%$ CD14+, $\leq 0,08\%$ CD19+, $\leq 5\%$ CD3-CD56+, $\leq 0,55\%$ CD3-CD33+), avec $\geq 10\%$ des lymphocytes T exprimant le transgène. Les lymphocytes T transduits démontrent une cytotoxicité contre les cellules exprimant le récepteur de l'hormone folliculo-stimulante (FSHR)</p> <p><i>thérapie génique à base de cellules (antineoplasique)</i></p>
liraltagén autoleucel	<p>linfocitos T CD4+/CD8+ enriquecidos autólogos derivados de material de leucoaféresis, transducidos con un vector gamma retroviral derivado del virus de células madre murino (MSCV), no replicativo, que codifica, con codones optimizados, la hormona estimuladora del folículo (FSH) (subunidades FSHβ an CGα, unidas mediante un espaciador glicina/serina), precedido por el péptido señal de FSHβ y fusionado a un dominio bisagra y transmembrana de CD8α, un dominio coestimulador de 4-1BB y un dominio de señalización de CD3ζ, bajo el control del promotor LTR del virus de la leucemia murina de Moloney (MMLV). El vector tiene repeticiones terminales largas (LTRs) derivadas del MSCV y una señal empaquetadora (Ψ+) derivada del MMLV y tiene una secuencia aceptora del procesamiento inmediatamente antes del codón de iniciación. Una secuencia Kozack precede al transgén.</p> <p>El material de leucoaféresis se enriquece para la fracción de linfocitos antes de la activación con anti-CD3 e interleuquina 2 (IL-2). Las células después se transducen con el vector retroviral y se expanden en medio que contiene anti-CD3 e IL-2. La suspensión celular consiste en linfocitos T ($\geq 90\%$ CD3+; $\leq 0.5\%$ CD14+, $\leq 0.08\%$ CD19+, $\leq 5\%$ CD3-CD56+, $\leq 0.55\%$ CD3-CD33+), con $\geq 10\%$ de los linfocitos T que expresan el transgén. Los linfocitos T transducidos muestran actividad citotóxica frente a células que expresan el receptor de la hormona estimuladora del folículo (FSHR)</p> <p><i>terapia génica basada en células (antineoplásico)</i></p>
lirucitinibum lirucitinib	<p>(R)-ethyl(imino)({trans-4-[methyl(7H-pyrrolo[2,3-d]pyrimidin-4-yl)amino]cyclohexyl)methyl}-λ^6-sulfanone <i>Janus tyrosine kinase inhibitor, anti-inflammatory</i></p>
lirucitinib	<p>(R)-éthyl(imino)({méthyl(7H-pyrrolo[2,3-d]pyrimidin-4-yl)amino]cyclohexyl)méthyl)-λ^6-sulfanone <i>inhibiteur de la tyrosine kinase Janus, anti-inflammatoire</i></p>

lirucitinib

(*R*)-etil(imino)({*trans*-4-[metil(7*H*-pirrolo[2,3-*d*]pirimidin-4-il)amino]ciclohexil)metil)-λ²-sulfanona
inhibidor de la tirosina kinasa Janus, antiinflamatorio

C₁₆H₂₅N₅O_S

2458115-78-9

**lixosiconum**

lixosicone

3β-[(4-methoxyphenyl)methoxy]pregn-5-en-20-one
cannabinoid CB1 receptor signalling inhibitor

lixosicone

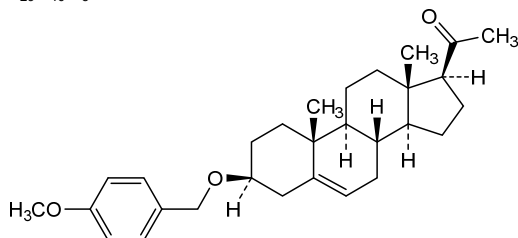
3β-[(4-méthoxyphényl)méthoxy]prégn-5-én-20-one
inhibiteur de signalisation du récepteur cannabinoïde CB1

lixosicona

3β-[(4-metoxifenil)metoxi]pregn-5-en-20-ona
inhibidor de la señalización del receptor cannabinoide CB1

C₂₉H₄₀O₃

1610878-71-1

**lomonitinibum**

lomonitinib

3-(3,4-dimethoxyphenyl)-1-(1,2,3,4-tetrahydroisoquinolin-7-yl)-1*H*-pyrazolo[4,3-*c*]quinoline
tyrosine kinase inhibitor, antineoplastica

lomonitinib

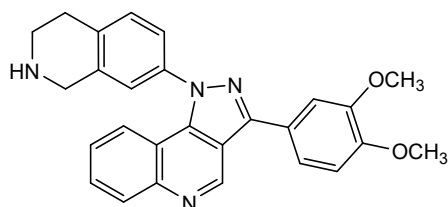
3-(3,4-diméthoxyphényl)-1-(1,2,3,4-tétrahydroisoquinoléin-7-yl)-1*H*-pyrazolo[4,3-*c*]quinoléine
inhibiteur de tyrosine kinase, antinéoplasique

lomonitinib

3-(3,4-dimetoxifenil)-1-(1,2,3,4-tetrahidroisoquinolein-7-il)-1*H*-pirazolo[4,3-*c*]quinoleína
inhibidor de la tirosina kinasa, antineoplásico

C₂₇H₂₄N₄O₂

2923221-56-9



lonitoclaxum

lonitoclax

5-(5-chloro-2-((3S)-3-[(morpholin-4-yl)methyl]-3,4-dihydroisoquinoline-2(1H)-carbonyl)phenyl)-N-(4-hydroxyphenyl)-N-[(3-methoxy-2-methylphenyl)methyl]-1,2-dimethyl-1H-pyrrole-3-carboxamide

B-cell lymphoma 2 (Bcl-2) inhibitor, antineoplastic

lonitoclax

5-(5-chloro-2-((3S)-3-[(morpholin-4-yl)méthyl]-3,4-dihydroisoquinoléine-2(1H)-carbonyl)phényl)-N-(4-hydroxyphényl)-N-[(3-méthoxy-2-méthylphényl)méthyl]-1,2-diméthyl-1H-pyrrole-3-carboxamide

inhibiteur du lymphome à cellules B 2 (Bcl-2), antinéoplasique

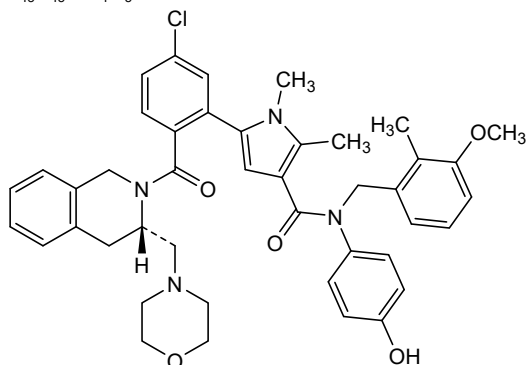
lonitoclax

5-(5-cloro-2-((3S)-3-[(morfolin-4-il)metil]-3,4-dihidroisoquinoléina-2(1H)-carbonil)fenil)-N-(4-hidroxifenil)-1,2-dimetil-N-[(2-metil-3-metoxifenil)metil]-1H-pirrol-3-carboxamida

inhibidor del linfoma de células B 2 (Bcl-2), antineoplásico

C₄₃H₄₅ClN₄O₅

2952589-57-8

**lumekefamidum**

lumekefamide

L-tyrosyl-D-arginyl-L-phenylalanylglycinamide
μ-opioid receptor agonist, analgesic

lumékéfamide

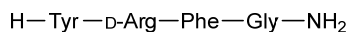
L-tyrosyl-D-arginyl-L-phénylalanilglycinamide
agoniste du récepteur opioïde μ, analgésique

lumekefamida

L-tirosil-D-arginil-L-fenilalanilglicinamida
agonista del receptor opioide μ, analgésico

C₂₆H₃₆N₈O₅

100304-60-7



lunsotogenum parvecum #

lunsotogene parvec

two recombinant, non-replicating adeno-associated virus serotype 1 (rAAV1) vectors containing the 5' and 3' portions, respectively, of the wild-type human otoferlin (OTOF) isoform 5 gene. The 5' vector contains exons 1-20 of the OTOF gene under expression control of the hair cell-specific myosin 15 (Myo15) promoter, followed by a splice donor and alkaline phosphatase homology region 3' to the transgene. The 3' vector contains the alkaline phosphatase homology region and a splice acceptor, followed by exons 21-45, and 47 of the OTOF gene and is terminated by a bovine somatotropin growth hormone polyadenylation sequence. Both vectors are flanked by AAV2 inverted terminal repeats
gene therapy (otoferlin-related auditory neuropathy)

lunsotogène parvec

deux vecteurs recombinants de virus adéno-associés de sérotype 1 (rAAV1), non réplicatifs, contenant les parties 5' et 3', respectivement, de l'isoforme 5 du gène de l'otoferline humaine sauvage (OTOF). Le vecteur 5' contient les exons 1 à 20 du gène OTOF sous le contrôle de l'expression du promoteur de la myosine 15 (Myo15) spécifique des cellules ciliées, suivis d'un donneur d'épissage et d'une région d'homologie de la phosphatase alcaline 3' du transgène. Le vecteur 3' contient la région d'homologie de la phosphatase alcaline et un accepteur d'épissage, suivi des exons 21-45 et 47 du gène OTOF et se termine par une séquence de polyadénylation de l'hormone de croissance somatotropine bovine. Les deux vecteurs sont flanqués des répétitions terminales inversées de l'AAV2
thérapie génique (neuropathie auditive liée à l'otoferline)

lunsotogén parvec

dos vectores de virus adenoasociado del serotipo 1, recombinantes (rAAV1), no replicativos, que contienen las porciones 5' y 3', respectivamente, del tipo silvestre de la isoforma 5 del gen de la otoferlina (OTOF) humana. El vector 5' contiene los exones 1-20 del gen de OTOF bajo el control de expresión del promotor de la miosina 15 (Myo15) específica de células ciliadas, seguido de un dador del procesamiento y una región de homología de la fosfatasa alcalina 3' del transgén. El vector 3' contiene la región de homología de la fosfatasa alcalina y un aceptor de procesamiento, seguido de los exones 21-45 y 47 del gen de OTOF y se termina por una secuencia de poliadenilación de la hormona de crecimiento somatotropina bovina. Ambos vectores están flanqueados por las repeticiones terminales invertidas del AAV2
terapia génica (neuropatía auditiva relacionada con otoferlin)

2907748-12-1

macupatidum

macupatide

L-tyrosyl-2-methylalanyl-L- α -glutamylglycyl-L-threonyl-L-phenylalanyl-L-isoleucyl-L-seryl-L- α -aspartyl-L-tyrosyl-L-seryl-L-isoleucyl-2-methyl-L-leucyl-L-leucyl-L- α -aspartyl-L-lysyl-L- N^{δ} -(17-[[N-(19-carboxynonadecanoyl)-L- γ -glutamyl]amino]-10-oxo-3,6,12,15-tetraoxa-9-azaheptadecan-1-oyl)-L-lysyl-L-histidyl-L-glutamyl-2-methylalanyl-L- α -aspartyl-L-phenylalanyl-L-valyl-L- α -glutamyl-3-(pyridine-4-yl)-L-alanyl-L-leucyl-L-leucyl-L- α -glutamyl-L-alanylglycyl-L-prolyl-L-seryl-L-serylglycyl-L-alanyl-L-prolyl-L-prolyl-L-prolyl-L-serinamide

gastric inhibitory polypeptide (GIP) receptor agonist, antidiabetic

macupatide

L-tyrosyl-2-méthylalanyl-L- α -glutamylglycyl-L-thréonyl-L-phénylalanyl-L-isoleucyl-L-séryl-L- α -aspartyl-L-tyrosyl-L-séryl-L-isoleucyl-2-méthyl-L-leucyl-L-leucyl-L- α -aspartyl-L-lysyl-L- N^{δ} -(17-[[N-(19-carboxynonadécanoïl)-L- γ -glutamyl]amino]-10-oxo-3,6,12,15-tétraoxa-9-azaheptadécan-1-oyl)-L-lysyl-L-histidyl-L-glutamyl-2-méthylalanyl-L- α -aspartyl-L-phénylalanyl-L-valyl-L- α -glutamyl-3-(pyridine-4-yl)-L-alanyl-L-leucyl-L-leucyl-L- α -glutamyl-L-alanylglycyl-L-prolyl-L-séryl-L-sérylglycyl-L-alanyl-L-prolyl-L-prolyl-L-prolyl-L-sérinamide

agoniste des récepteurs polypeptidiques inhibiteurs gastriques, antidiabétique

macupatida

L-tirosil-2-metilalanil-L- α -glutamylglicil-L-treonil-L-fenilalanil-L-isoleucil-L-seril-L- α -aspartil-L-tirosil-L-seril-L-isoleucil-2-metil-L-leucil-L-leucil-L- α -aspartil-L-lisil-L- N^{δ} -(17-[[N-(19-carboxinonadecanoïl)-L- γ -glutamyl]amino]-10-oxo-3,6,12,15-tetraoxa-9-azaheptadecan-1-oyl)-L-lisil-L-histidil-L-glutaminiil-2-metilalanil-L- α -aspartil-L-fenilalanil-L-valil-L- α -glutamil-3-(piridina-4-il)-L-alanil-L-leucil-L-leucil-L- α -glutamil-L-alanilglicil-L-prolil-L-seril-L-serilglicil-L-alanil-L-prolil-L-prolil-L-prolil-L-serinamida

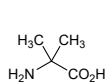
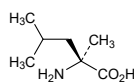
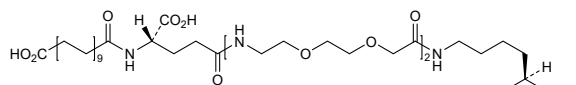
agonista del receptor del polipéptido inhibidor gástrico, antidiabético

C₂₃₂H₃₅₇N₄₉O₇₂

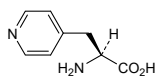
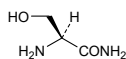
2923558-68-1

Y A E G T F I S D Y S I L L D K K H Q A D F V E X L L E A G P S S G A P P P S 39

Modified residues / Résidus modifiés / Restos modificados

A (2, 20)
2-Me-L-AlaL (13)
2-Me-L-Leu

K (17)

 N^{δ} -(HO₂C-[CH₂]₁₈-CO-L-Glu-[NH-CH₂-CH₂-O-CH₂-CH₂-O-CH₂-CO]₂)-L-LysX (25)
pyridin-4-yl-L-AlaS (39)
L-Ser-NH₂

marpinersenum

marpinersen

all-P-ambo-2'-O-(2-methoxyethyl)-5-methyl-P-thiouridylyl-(3'→5')-2'-O-(2-methoxyethyl)guanylyl-(3'→5')-2'-O-(2-methoxyethyl)guanylyl-(3'→5')-2'-O-(2-methoxyethyl)adenylyl-(3'→5')-2'-O-(2-methoxyethyl)-5-methyluridylyl-(3'→5')-2'-O-(2-methoxyethyl)-5-methyluridylyl-(3'→5')-2'-deoxy-5-methyl-P-thiocytidylyl-(3'→5')-P-thiothymidylyl-(3'→5')-2'-deoxy-P-thioguanilyl-(3'→5')-P-thiothymidylyl-(3'→5')-2'-deoxy-P-thioadenilyl-(3'→5')-2'-deoxy-5-methyl-P-thiocytidylyl-(3'→5')-P-thiothymidylyl-(3'→5')-P-thiothymidylyl-(3'→5')-P-thiothymidylyl-(3'→5')-2'-O-(2-methoxyethyl)-5-methylcytidylyl-(3'→5')-2'-O-(2-methoxyethyl)-5-methyl-P-thiouridylyl-(3'→5')-2'-O-(2-methoxyethyl)-5-methyl-P-thiocytidylyl-(3'→5')-2'-O-(2-methoxyethyl)adenosine
ataxin-2 synthesis reducer, amyotrophic lateral sclerosis

marpinersen

tout-P-ambo-2'-O-(2-méthoxyéthyl)-5-méthyl-P-thiouridylyl-(3'→5')-2'-O-(2-méthoxyéthyl)guanylyl-(3'→5')-2'-O-(2-méthoxyéthyl)guanylyl-(3'→5')-2'-O-(2-méthoxyéthyl)adénylyl-(3'→5')-2'-O-(2-méthoxyéthyl)-5-méthyluridylyl-(3'→5')-2'-O-(2-méthoxyéthyl)-5-méthyluridylyl-(3'→5')-2'-désoxy-5-méthyl-P-thiocytidylyl-(3'→5')-P-thiothymidylyl-(3'→5')-2'-désoxy-P-thioguanilyl-(3'→5')-P-thiothymidylyl-(3'→5')-2'-désoxy-P-thioadénylyl-(3'→5')-2'-désoxy-5-méthyl-P-thiocytidylyl-(3'→5')-P-thiothymidylyl-(3'→5')-P-thiothymidylyl-(3'→5')-P-thiothymidylyl-(3'→5')-2'-O-(2-méthoxyéthyl)-5-méthylcytidylyl-(3'→5')-2'-O-(2-méthoxyéthyl)-5-méthyl-P-thiouridylyl-(3'→5')-2'-O-(2-méthoxyéthyl)-5-méthyl-P-thiocytidylyl-(3'→5')-2'-O-(2-méthoxyéthyl)adénosine
réducteur de synthèse d'ataxine-2, sclérose latérale amyotrophique

marpinersén

todo-P-ambo-5-metil-2'-O-(2-metoxietil)-P-tiouridilil-(3'→5')-2'-O-(2-metoxietil)guanilil-(3'→5')-2'-O-(2-metoxietil)guanilil-(3'→5')-2'-O-(2-metoxietil)adenilil-(3'→5')-5-metil-2'-O-(2-metoxietil)uridilil-(3'→5')-5-metil-2'-O-(2-metoxietil)uridilil-(3'→5')-2'-desoxi-5-metil-P-tiocitidilil-(3'→5')-P-tiotimidilil-(3'→5')-2'-desoxi-P-tioguanilil-(3'→5')-P-tiotimidilil-(3'→5')-2'-desoxi-P-tioadenilil-(3'→5')-2'-desoxi-5-metil-P-tiocitidilil-(3'→5')-P-tiotimidilil-(3'→5')-P-tiotimidilil-(3'→5')-P-tiotimidilil-(3'→5')-5-metil-2'-O-(2-metoxietil)citidilil-(3'→5')-5-metil-2'-O-(2-metoxietil)-P-tiouridilil-(3'→5')-5-metil-2'-O-(2-metoxietil)-P-tiocitidilil-(3'→5')-2'-O-(2-metoxietil)adenosina
reductor de la síntesis de ataxina 2, esclerosis lateral amiotrófica

C₂₃₀H₃₁₉N₆₂O₁₃₂P₁₉S₁₃

2757908-12-4

(3'-5')U=G-G-A-U-U-dC=dT=dG=dT=dA=dC=dT=dT=dT=dT=C-U=C=A

N : nucleoside / nucléoside / nucleósido

dN : 2'-deoxy-N / 2'-désoxy-N / 2'-desoxi-N

N : 5-methyl-N / 5-méthyl-N / 5-metil-N

N : 2'-O-(2-methoxyethyl)-N / 2'-O-(2-méthoxyéthyl)-N / 2'-O-(metoxietil)-N

- : -PO(OH)- =: -PO(SH)-

mazisotinum

mazisotine

(1*R*,5*S*,6*r*)-*N*-{2-methyl-1-[(3-methylpyridin-2-yl)oxy]propan-2-yl}-3-azabicyclo[3.1.0]hexane-6-carboxamide
somatostatin receptor receptor agonist

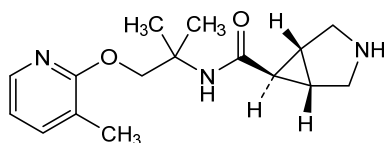
mazisotine

(1*R*,5*S*,6*r*)-*N*-{2-méthyl-1-[(3-méthylpyridin-2-yl)oxy]propan-2-yl}-3-azabicyclo[3.1.0]hexane-6-carboxamide
agoniste des récepteurs de la somatostatine

mazisotina

(1*R*,5*S*,6*r*)-*N*-{2-metil-1-[(3-metilpiridin-2-il)oxi]propan-2-il}-3-azabicyclo[3.1.0]hexano-6-carboxamida
*agonista del receptor de somatostatina*C₁₆H₂₃N₃O₂

1638588-92-7

**milpecitinibum**

milpecitinib

N-(3-{4-[5-(pyrrolidine-1-carbonyl)-1*H*-pyrrol-3-yl]-1,3-thiazol-2-yl}phenyl)acetamide
Janus tyrosine kinase inhibitor, anti-inflammatory (veterinary use)

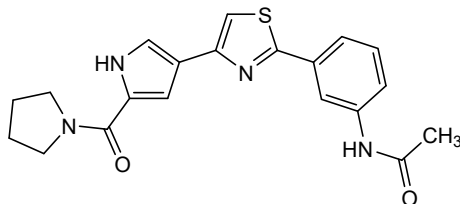
milpécitinib

N-(3-{4-[5-(pyrrolidine-1-carbonyl)-1*H*-pyrrol-3-yl]-1,3-thiazol-2-yl}phényl)acétamide
inhibiteur de tyrosine kinase Janus, anti-inflammatoire (usage vétérinaire)

milpecitinib

N-(3-{4-[5-(pirrolidina-1-carbonil)-1*H*-pirrol-3-il]-1,3-tiazol-2-il}fenil)acetamida
*inhibidor de la tirosina kinasa Janus, antiinflamatorio (uso veterinario)*C₂₀H₂₀N₄O₂S

1415819-54-3



mirivadelgatum

mirivadelgat

{2-[4-(cyclopropylmethoxy)-3-[[3-(3-fluoro-4-methoxyphenyl)methyl]carbamoyl]phenyl]pyridin-3-yl)methyl
L-valinate
aldehyde dehydrogenase 2 activator, antianaemic

mirivadelgat

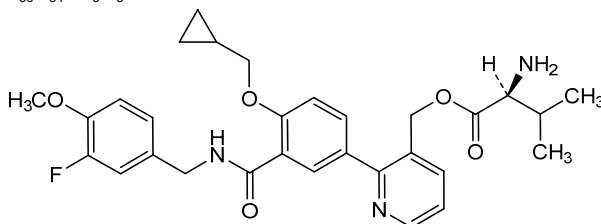
L-valinate de {2-[4-(cyclopropylméthoxy)-3-[[3-(3-fluoro-4-méthoxyphényl)méthyl]carbamoil]phényl]pyridin-3-yl)méthyle
activateur de l'aldéhyde déshydrogénase-2, antianémique

mirivadelgat

L-valinato de {2-[4-(ciclopropilmetoxi)-3-[[3-(3-fluoro-4-metoxifenil)métill]carbamoil]fenil]piridin-3-il]metilo
activador de la aléhidó deshidrogenasa 2, antianémico

C₃₀H₃₄FN₃O₅

1804941-96-5

**mivocabtagenum autoleucelum #**

mivocabtagene autoleucel

autologous CD4⁺/CD8⁺ enriched T lymphocytes derived from leukapheresis material, transduced with a self-inactivating, non-replicating lentiviral vector encoding a CD19 targeting chimeric antigen receptor (CAR) comprising a CD8 alpha (CD8α) signal peptide, a single-chain variable fragment (scFv) derived from the human anti-CD19 monoclonal antibody clone 47G4, a CD8α hinge and transmembrane domain, a CD28 cytoplasmic co-stimulatory domain, and a CD3-zeta (CD3ζ) signaling domain, under control of the murine stem cell virus promoter.

The construct is flanked by 5' and 3' long terminal repeats (LTRs) and also contains a Ψ packaging signal, a Rev response element (RRE), a central polypurine tract (cPPT) sequence /central termination sequence (CTS) and an optimised Woodchuck hepatitis virus posttranscriptional regulatory element. The vector is pseudotyped with vesicular stomatitis virus (VSV) G glycoprotein.

The leukapheresis material is enriched for CD4⁺ and CD8⁺ T lymphocytes by positive immunoselection prior to activation with CD3 and CD28 agonists in growth media containing human serum, interleukin 7 (IL-7) and interleukin 5 (IL-5). The cells are then transduced with the lentiviral vector and expanded in growth media containing interleukin 7 (IL-7) and interleukin 5 (IL-5). The cell suspension consists of T lymphocytes (>80%), with greater than 10% of the T lymphocytes expressing the CAR-CD19 transgene. The transduced T lymphocytes demonstrate cytotoxicity against CD19-expressing cells and secrete interferon gamma (IFN-γ) and interleukin 2 (IL-2)

cell-based gene therapy (antineoplastic)

mivocabtagène autoleucel

lymphocytes T autologues enrichis en CD4+/CD8+ dérivés de matériel obtenu par leucaphérèse, transduits avec un vecteur lentiviral auto-inactivant et non répliatif codant un récepteur antigénique chimérique (RAC) ciblant CD19, comprenant un peptide signal CD8 alpha (CD8 α), un fragment variable à chaîne unique (scFv) dérivé du clone 47G4 d'anticorps monoclonal anti-CD19 humain, un domaine charnière et transmembranaire CD8 α , un domaine co-stimulateur cytoplasmique CD28 et un domaine de signalisation CD3-zêta (CD3 ζ), sous le contrôle du promoteur du virus des cellules souches murines. La construction est flanquée de répétitions terminales longues (LTRs) en 5' et en 3' et contient également un signal d'emballage Ψ , un élément de réponse Rev (RRE), une séquence de tractus polypurine central (cPPT)/séquence de terminaison centrale (CTS) et un élément de régulation post-transcriptionnel optimisé du virus de l'hépatite de la marmotte. Le vecteur est pseudotypé avec la glycoprotéine G du virus de la stomatite vésiculaire (VSV).

Le matériel de leucaphérèse est enrichi en lymphocytes T CD4+ et CD8+ par immunosélection positive avant activation avec des agonistes CD3 et CD28 dans un milieu de croissance contenant du sérum humain, de l'interleukine 7 (IL-7) et de l'interleukine 5 (IL-5). Les cellules sont ensuite transduites avec le vecteur lentiviral et expansées dans un milieu de croissance contenant de l'interleukine 7 (IL-7) et de l'interleukine 5 (IL-5). La suspension cellulaire est constituée de lymphocytes T (>80%), avec plus de 10% des lymphocytes T exprimant le transgène CAR-CD19. Les lymphocytes T transduits démontrent une cytotoxicité contre les cellules exprimant CD19 et sécrètent de l'interféron gamma (IFN- γ) et de l'interleukine 2 (IL-2)

thérapie génique à base de cellules (antinéoplasique)

mivocabtagén autoleucel

linfocitos T CD4+/CD8+ autólogos enriquecidos, derivados de material de leucoaféresis, transducidos con un vector lentiviral auto inactivante, no replicativo, que codifica un receptor de antígenos quimérico (CAR) dirigido a CD19, que consta de un péptido señal de CD8 alfa (CD8 α), un fragmento variable de cadena sencilla (scFv) derivado del anticuerpo monoclonal anti-CD19 clon 47G4, un dominio bisagra y transmembrana de CD8 α , un dominio coestimulador citoplásmico de CD28 y un dominio de señalización de CD3-zeta (CD3 ζ), bajo el control del promotor del virus de células madre murino.

El constructo está flanqueado por repeticiones terminales largas (LTRs) en 5' y 3' y también contiene una señal de empaquetamiento ψ , un elemento de respuesta Rev (RRE), una secuencia de tracto de polipurina (cPPT) central/terminación central (CTS) y un elemento regulador post-transcripcional del virus de la hepatitis de la marmota (WPRE) optimizado. El vector está seudotipado con la glicoproteína G del virus de la estomatitis vesicular (VSV).

El material de leucoaféresis se enriquece en linfocitos T CD4+ y CD8+ mediante inmunoselección positiva antes de la activación con agonistas de CD3 y CD28 en medio de crecimiento que contiene suero humano, interleuquina 7 (IL-7) e interleuquina 5 (IL-5). Las células se transducen a continuación con el vector lentiviral y se expanden en medio de crecimiento que contiene interleuquina 7 (IL-7) e interleuquina 5 (IL-5). La suspensión celular consiste en linfocitos T (≥80%) con más del 10% de los linfocitos T que expresan el transgén del CAR-CD19. Los linfocitos T transducidos muestran citotoxicidad frente a células que expresan CD19 y secretan interferón gamma (IFN-γ) e interleuquina 2 (IL-2)

terapia génica basada en células (antineoplásico)

moflerafuspum alfa #
moflerafusp alfa

human signal regulatory protein alpha (SIRPα) variant V2 D1 domain, (SIRPα V2D1) fragment 30-154 (1-125 in the actual sequence, comprising the first two extracellular loops of the D1 domain) variant (N¹¹⁰>A⁸⁰) fused via peptide linker ¹²⁶GGGGSGGGSGGGGS¹⁴⁰ to the gamma 1 heavy chain of anti-(human programmed cell death 1 ligand 1 (PD-L1, programmed death ligand 1, PDCD1 ligand 1, B7 homolog 1, B7-H1, CD274)) (141-591) [VH (*Homo sapiens* IGHV1-46*01 -(IGHD) -IGHJ4*01, CDR-Kabat [5.17.12] (171-175.190-206.239-250)) (141-261) -*Homo sapiens* IGHG1*03 (CH1 (262-359), hinge (360-374), CH2 S⁴⁴²>A, E⁴⁷⁷>A, K⁴⁷⁸>A (375-484), CH3 (485-589), CHS (590-591)) (262-591)], (364-214')-disulfide with kappa light chain anti-(human programmed cell death 1 ligand 1 (PD-L1, programmed death ligand 1, PDCD1 ligand 1, B7 homolog 1, B7-H1, CD274)) (1'-214') [V-KAPPA (*Homo sapiens* IGKV1-33*01 -IGKJ1*01, CDR-Kabat [11.7.9] (24'-34'.50'-56'.89'-97')) (1'-107') -*Homo sapiens* IGKC*01 (108'-214')]; dimer (370-370":373-373")-bisulfide, produced in Chinese hamster ovary (CHO) cells, cell line CHO-K1, glycoform alfa
antineoplastica

moflérafusp alfa

protéine régulatrice de signal alpha (SIRPα) humaine variant V2 domaine D1 (SIRPα V2D1) fragment 30-154 (1-125 dans la séquence réelle, comprenant les deux premières boucles extracellulaires du domaine D1), variant (N¹¹⁰>A⁸⁰) fusionné, via un coupleur peptidique ¹²⁶GGGGSGGGSGGGGS¹⁴⁰, à la chaîne lourde gamma 1 de l'anti-(ligand 1 de mort cellulaire programmée 1 humaine (PD-L1, ligand de mort programmée 1, ligand 1 PDCD1, homologue 1 B7, B7-H1, CD274)) (141-591) [VH (*Homo sapiens* IGHV1-46*01 -(IGHD) -IGHJ4*01, CDR-Kabat [5.17.12] (171-175.190-206.239-250)) (141-261) -*Homo sapiens* IGHG1*03 (CH1 (262-359), charnière (360-374), CH2 S⁴⁴²>A, E⁴⁷⁷>A, K⁴⁷⁸>A (375-484), CH3 (485-589), CHS (590-591)) (262-591)], (364-214')-disulfure avec chaîne légère kappa anti-(ligand 1 de mort cellulaire programmée 1 humaine (PD-L1, ligand de mort programmée 1, ligand 1 PDCD1, homologue B7 1, B7-H1, CD274)) (1'-214') [V-KAPPA (*Homo sapiens* IGKV1-33*01 -IGKJ1*01, CDR-Kabat [11.7.9] (24'-34'.50'-56'.89'-97')) (1'-107') -*Homo sapiens* IGKC*01 (108'-214')]; dimère (370-370":373-373")-bisulfure, produit dans les cellules d'ovaire de hamster chinois (CHO), lignée cellulaire CHO-K1, glycoforme alfa
antineoplastique

moflerafusp alfa

proteína reguladora de señales alfa humana (SIRP α) variante V2 dominio D1 (SIRP α V2D1) fragmento 30-154 (1-125 en la secuencia real, que comprende los dos primeros bucles extracelulares del dominio D1) variante (N110>A80) fusionado mediante un enlazador peptídico ¹²⁶GGGGSGGGSGGGGS¹⁴⁰ a la cadena pesada gamma 1 de anti-(ligando 1 de muerte celular programada 1 humana (PD-L1, ligando 1 de muerte programada, ligando 1 de PDCD1, homólogo 1 de B7, B7-H1, CD274)) (141-591) [VH (*Homo sapiens* IGHV1-46*01 -(IGHD) -IGHJ4*01, CDR-Kabat [5.17.12] (171-175.190-206.239-250)) (141-261) -*Homo sapiens* IGHG1*03 (CH1 (262-359)), bisagra (360-374), CH2 S⁴⁴²>A, E⁴⁷⁷>A, K⁴⁷⁸>A (375-484), CH3 (485-589), CHS (590-591)) (262-591)], (364 -214')-disulfuro con cadena ligera kappa anti-(ligando 1 de muerte celular programada 1 humana (PD-L1, ligando 1 de muerte programada, ligando 1 de PDCD1, homólogo 1 de B7, B7-H1, CD274)) (1'-214') [V-KAPPA (*Homo sapiens* IGKV1-33*01 -IGKJ1*01, CDR-Kabat [11.7.9] (24'-34'.50'-56'.89'-97')) (1'- 107') -*Homo sapiens* IGKC*01 (108'-214')]; dímero (370-370":373-373")-bisulfuro, producido en células de ovario de hámster chino (CHO), línea celular CHO-K1, glicofoma alfa *antineoplásico*

2983848-20-8

Sequence / Séquence / Secuencia

SIRP α - IgG1 heavy chain

EEELQVIQPD	KSVSVAAGES	AILHCTVTSL	IPVGPQWFR	GAGPARELIY	50
NQKEGFPRV	TVSESTKRE	NMDFISISA	ITPADAGTYI	CVKFRKSGPD	100
TEFKSGAGTE	LSVRAKPSAP	VVSGP ^{GGGGG}	^{GGGGSGGGGS}	QVQLVQSGAE	150
VKKPGASVKV	SKASGYTFT	SNWMHWVRQA	PGGLEWMGM	IHPNSGSSNY	200
NEKFKSRVTM	TRDTSTSTVY	MELSSLRSED	TAVYYCARSY	YGSSPYFDY	250
WQGTLVTVS	SASTKGPSVF	PLAPSSKSTS	GGTAALGLV	KDYFPEPVTV	300
SWNSGALTS	VHTFPAVLQS	SGLYSLSSV	TVPSSSLGTQ	TYICNVNHPK	350
SNTKVDKRV	PKSCDKHTC	PPCPAPPELLG	GPSVFLFPPK	PKDTLMISRT	400
PEVTCVVVDV	SHEDPEVKFN	WYVDGVEVHN	AKTKPREEQY	N ATYRVVSVL	450
TVLHQDWLNG	KEYKCKVSNK	ALPAP IAATI	SKARGQPREP	QVYTLPPSRE	500
EMTKNQVSLT	CLVKGFPYSD	IAVEWESNGQ	PENNYKTPPP	VLDSDGSSFFL	550
YSKLTVDKSR	WQQGNVFCSS	VMHEALHNHY	TQKLSLSLSPG	K	591

IgG1 light chain

DIQMTQSPSS	LSASVGRVIT	ITCRASQDII	NYLNWYQQK	GKAPKLLIYY	50
TSRLHSGVPS	RFGSGSGTD	FTFTISLQ	EDIATYYCQ	GDTPWTFGQ	100
GTKVEIKRTV	AAPSVFIFPP	SDEQLKSGTA	SVVCLLNFF	PREAKVQMKV	150
DNALQSGNSQ	ESVTEQDSK	STYLSLSTLT	LSKADYKHK	VYACEVTHQG	200
LSSPVTKSFN	RGEC				214

Mutations / Mutations / Mutaciones

SIRP α - IgG1 heavy chain: N¹¹⁰>**A**⁸⁰, S⁴⁴²>**A**, E⁴⁷⁷>**A**, K⁴⁷⁸>**A**

Peptide linker / Coupleur peptidique / Enlazador peptidico

¹²⁶GGGGSGGGSGGGGS¹⁴⁰

Post-translation modifications

Disulfide bridges location / Position des ponts disulfure / Posiciones de los puentes disulfuro

Intra SIRP α -IgG1 heavy chain: 25-91, 162-236, 288-344, 405-465, 511-569, 25"-91", 162"-236", 288"-344", 405"-465", 511"-569"

Intra IgG1 light chain: 23'-88', 134'-194', 23'''-88'''', 134'''-194'''

Inter IgG1 light chain - SIRP α -IgG1 heavy chain: 214'-364, 214'''-364''Inter SIRP α -IgG1 heavy chain: 370-370", 373-373"

N-glycosylation sites / Sites de N-glycosylation / Posiciones de N-glicosilación

SIRP α -IgG1 heavy chain: 441, 441"

C-terminal lysine clipping / Coupe de la lysine C-terminale / Recorte de lisina C-terminal

SIRP α -IgG1 heavy chain: K591, K591"

moxetomidatum

moxetomidate

2-methoxyethyl 1-[(1*R*)-1-phenylethyl]-1*H*-imidazole-5-carboxylate
GABA_A receptor agonist, hypnotic

moxétomidate

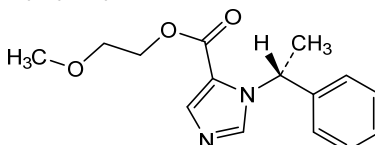
1-[(1*R*)-1-phényléthyl]-1*H*-imidazole-5-carboxylate de 2-méthoxyéthyle
 agoniste du récepteur *GABA_A*, hypnotique

moxetomidato

1-[(1*R*)-1-feniletíl]-1*H*-imidazol-5-carboxilato de 2-metoxietilo
 agonista de los receptores *GABA_A*, hipnótico

C₁₅H₁₈N₂O₃

1567838-90-7

**navlimetostatum**

navlimetostat

(2*M*)-2-{4-[4-(aminométhyl)-1-oxo-1,2-dihydrophthalazin-6-yl]-1-méthyl-1*H*-pyrazol-5-yl]-4-chloro-6-(cyclopropyloxy)-3-fluorobenzonitrile
antineoplastic

navlimétostat

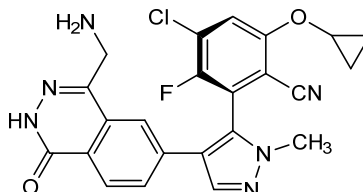
(2*M*)-2-{4-[4-(aminométhyl)-1-oxo-1,2-dihydrophthalazin-6-yl]-1-méthyl-1*H*-pyrazol-5-yl]-4-chloro-6-(cyclopropyloxy)-3-fluorobenzonitrile
antinéoplasique

navlimetostat

(2*M*)-2-{4-[4-(aminometil)-1-oxo-1,2-dihidroftalazin-6-il]-1-metil-1*H*-pirazol-5-il]-4-cloro-6-(ciclopropiloxi)-3-fluorobenzonitrilo
antineoplásico

C₂₃H₁₈ClFN₆O₂

2630904-45-7

**nedizantrepum**

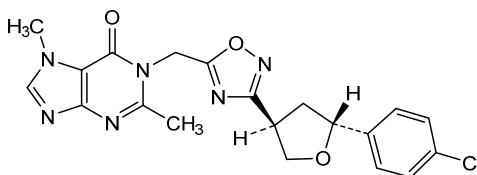
nedizantrep

1-({3-[(3*R*,5*R*)-5-(4-chlorophenyl)oxolan-3-yl]-1,2,4-oxadiazol-5-yl)méthyl)-2,7-diméthyl-1,7-dihydro-6*H*-purin-6-one
transient receptor potential (TRP) ion channel antagonist

- nédizantrep 1-({3-[(3*R*,5*R*)-5-(4-chlorophényl)oxolan-3-yl]-1,2,4-oxadiazol-5-yl)méthyl)-2,7-diméthyl-1,7-dihydro-6*H*-purin-6-one
antagoniste des canaux ioniques à potentiel de récepteur transitoire
- nedizantrep 1-({3-[(3*R*,5*R*)-5-(4-clorofenil)oxolan-3-il]-1,2,4-oxadiazol-5-il)metil)-2,7-dimetil-1,7-dihidro-6*H*-purin-6-ona
antagonista del canal iónico del receptor de potencial transitorio

C₂₀H₁₉ClN₆O₃

2376824-99-4



nelremagpranum
nelremagpran

3-[[2-chloro-4-(trifluorométhyl)phénoxy]méthyl]-2-fluorobenzoic acid
Mas-related G protein-coupled receptor inverse agonist, anti-inflammatory

nelrémagpran

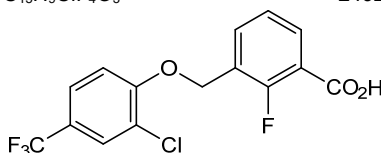
acide 3-[[2-chloro-4-(trifluorométhyl)phénoxy]méthyl]-2-fluorobenzoïque
agoniste inverse des récepteurs couplés aux protéines G liés à Mas, anti-inflammatoire

nelremagprán

ácido 3-[[2-cloro-4-(trifluorometil)fenoxi]metil]-2-fluorobenzoico
agonista inverso del receptor Mas acoplado a proteínas G, antiinflamatorio

C₁₅H₉ClF₄O₃

2492595-24-9



nesfrotamigum #
nesfrotamig

immunoglobulin (H-gamma1-scFvIh_L-kappa) dimer, anti-[*Homo sapiens* ERBB2 (receptor tyrosine-protein kinase erbB-2, epidermal growth factor receptor 2, EGFR2, HER2, HER-2, p185c-erbB2, NEU, CD340)] and anti-[*Homo sapiens* TNFRSF9 (TNF receptor superfamily member 9, 4-1BB, T cell antigen ILA, CD137)], humanized and *Homo sapiens* monoclonal antibody; bispecific, tetravalent;

- H-gamma1 heavy chain anti-ERBB2 fused to a scFvLh anti-TNFRSF9 (1-719) [H-gamma1 heavy chain anti-ERBB2 humanized (1-450) [VH (*Homo sapiens*IGHV3-66*01 (81.6%) -(IGHD) -IGHJ4*01 (100%), CDR-IMGT [8.8.13] (26-33.51-58.97-109)) (1-120) -*Homo sapiens*IGHG1*03v (100%) G1m3>G1m17, nG1m1 CH1 K120, CH3 E12, M14 (CH1 R120>K (217) (121-218), hinge 1-15 (219-233), CH2 (234-343), CH3 E12 (359), M14 (361) (344-448), CHS (449-450)) (121-450)] -18-mer enneakis (glycylseryl) linker (451-468) -scFvLh anti-TNFRSF9 *Homo sapiens* (469-719), 11-scFv-v2 C120 (VL)-C49 (VH) [V-LAMBDA (*Homo sapiens* IGLV1-47*02 (91.8%) -IGLJ2*01 (90.9%) VL G120>C (571), CDR-IMGT [8.3.11] (493-501.519-521.558-568)) (469-578) -20-mer tetrakis(tetraglycylseryl) linker (579-598) -VH (*Homo sapiens* IGHV3-23*01 (93.9%) -IGHD -IGHJ4*01 (100%) VH G49>C (642), CDR-IMGT [8.8.14] (624-631.649-656.695-708)) (599-719)]; (223-214')-disulfide with L-kappa light chain humanized (1'-214') [V-KAPPA (*Homo sapiens* IGKV1-39*01 (86.3%) -IGKJ1*01 (100%), CDR-IMGT [6.3.9] (27'-32'.50'-52'.89'-97')) (1'-107') -*Homo sapiens* IGKC*01 (100%) Km3 A45.1, V101 (C-KAPPA A45.1 (153'), V101 (191')) (108'-214')]; dimer (229-229":232-232")-bisdisulfide, produced in Chinese hamster ovary (CHO) cells, derived from the cell line CHO-K1, lacking the glutamine synthetase (GS-KO) gene, glycoform alfa
immunostimulant, antineoplastic
- nesfrotamig immunoglobuline (H-gamma1-scFvLh_L-kappa) dimère, anti-[*Homo sapiens* ERBB2 (récepteur tyrosine-protéine kinase erbB-2, récepteur 2 du facteur de croissance épidermique, EGFR2, HER2, HER-2, p185c-erbB2, NEU, CD340)] et anti-[*Homo sapiens* TNFRSF9 (membre 9 de la superfamille des récepteurs du TNF, 4-1BB, antigène ILA des cellules T, CD137)], anticorps monoclonal humanisé et *Homo sapiens*; bispécifique, tétravalent;
- chaîne lourde H-gamma1 anti-ERBB2 fusionnée à un scFvLh anti-TNFRSF9 (1-719) [H-gamma1 chaîne lourde anti-ERBB2 humanisée (1-450) [VH (*Homo sapiens* IGHV3-66*01 (81.6%) -(IGHD) -IGHJ4*01 (100%), CDR-IMGT [8.8.13] (26-33.51-58.97-109)) (1-120) -*Homo sapiens* IGHG1*03v (100%) G1m3>G1m17, nG1m1 CH1 K120, CH3 E12, M14 (CH1 R120>K (217) (121-218), charnière 1-15 (219-233), CH2 (234-343), CH3 E12 (359), M14 (361) (344-448), CHS (449-450)) (121-450)] -18-mer énnéakis(glycyl-séryl) linker (451-468) -scFvLh anti-TNFRSF9 *Homo sapiens* (469-719), 11-scFv-v2 C120 (VL)-C49 (VH) [V-LAMBDA (*Homo sapiens* IGLV1-47*02 (91.8%) -IGLJ2*01 (90.9%) VL G120>C (571), CDR-IMGT [8.3.11] (493-501.519-521.558-568)) (469-578) -20-mer tétrakis(tetraglycyl-séryl) linker (579-598) -VH (*Homo sapiens* IGHV3-23*01 (93.9%) -IGHD -IGHJ4*01 (100%) VH G49>C (642), CDR-IMGT [8.8.14] (624-631.649-656.695-708)) (599-719)]; (223-214')-disulfide avec la chaîne légère L-kappa humanisée (1'-214') [V-KAPPA (*Homo sapiens* IGKV1-39*01 (86.3%) -IGKJ1*01 (100%), CDR-IMGT [6.3.9] (27'-32'.50'-52'.89'-97')) (1'-107') -*Homo sapiens* IGKC*01 (100%) Km3 A45.1, V101 (C-KAPPA A45.1 (153'), V101 (191')) (108'-214')]; dimère (229-229":232-232")-bisdisulfure, produit dans des cellules ovariennes de hamster chinois (CHO), dérivant de la lignée cellulaire CHO-K1, ne présentant pas le gène de la glutamine synthétase (GS-KO), glycoforme alfa
immunostimulant, antinéoplasique
- nesfrotamig inmunoglobulina (H-gamma1-scFvLh_L-kappa) dímero, anti-[*Homo sapiens* ERBB2 (receptor tirosina-proteína kinasa erbB-2, receptor 2 del factor de crecimiento epidérmico, EGFR2, HER2, HER-2, p185c-erbB2, NEU, CD340)] y anti-[*Homo sapiens* TNFRSF9 (miembro 9 de la superfamilia de los receptores del TNF, 4-1BB, antígeno ILA de las células, CD137)],

anticuerpo monoclonal humanizado y *Homo sapiens*; biespecífico, tetravalente;
 cadena pesada H-gamma1 anti-ERBB2 fusionada con un scFvH anti-TNFRSF9 (1-719) [H-gamma1 cadena pesada anti-ERBB2 humanizada (1-450) [VH (*Homo sapiens* IGHV3-66*01 (81.6%) -(IGHD) -IGHJ4*01 (100%), CDR-IMGT [8.8.13] (26-33.51-58.97-109)) (1-120)-*Homo sapiens* IGHG1*03v (100%) G1m3>G1m17, nG1m1 CH1 K120, CH3 E12, M14 (CH1 R120>K (217) (121-218), bisagra 1-15 (219-233), CH2 (234-343), CH3 E12 (359), M14 (361) (344-448), CHS (449-450)) (121-450)] -18-mer eneakis(glicil-seril) enlace (451-468) -scFvH anti-TNFRSF9 *Homo sapiens* (469-719), 11-scFv-v2 C120 (VL)-C49 (VH) [V-LAMBDA (*Homo sapiens* IGLV1-47*02 (91.8%) -IGLJ2*01 (90.9%) VL G120>C (571), CDR-IMGT [8.3.11] (493-501.519-521.558-568)) (469-578) -20-mer tetrakis(tetraglicil-seril) enlace(579-598) -VH (*Homo sapiens* IGHV3-23*01 (93.9%) -IGHD -IGHJ4*01 (100%) VH G49>C (642), CDR-IMGT [8.8.14] (624-631.649-656.695-708)) (599-719)]; (223-214')-disulfuro con la cadena ligera L-kappa humanizada (1'-214') [V-KAPPA (*Homo sapiens* IGKV1-39*01 (100%), CDR-IMGT [6.3.9] (27'-32'.50'-52'.89'-97')) (1'-107') -*Homo sapiens* IGKC*01 (100%) Km3 A45.1, V101 (C-KAPPA A45.1 (153'), V101 (191')) (108'-214')]; dímero (229-229":232-232")-bisulfuro, producido en las células ováricas de hámster chino (CHO), línea celular derivada de CHO-K1, en ausencia del gen glutamina sintetasa (GS-KO), forma glicosilada alfa
inmunoestimulante, antineoplásico

2966936-23-0

Heavy chain / Chaîne lourde / Cadena pesada: fused H-gamma1 anti-ERBB2 -scFvH anti-TNFRSF9 (H, H')

```
EVQLVHESGGG LVQPGGSLRL SCAASGFENIK DTYIHWVRQA PGKGLEWVAR 50
IYPNGYTRY ADSVKGFRFTI SADTSKNTAY LQMNSLRAED TAVYYCSRWG 100
GDGFYAMDYV GQGTLVTVSS ASTKGPSVFP LAPSSKSTSG GTAALGLCLV 150
DYFPEPVTVS WNSGALTSVG HTFFPAVLQSS GLYSLSSVVT VPSSSLGTQT 200
YICNVNHNKPS NTKVDKVKVEP KSCDKTHTCP PCPAPPELLGG PSVFLFPPPK 250
KDTLMSRTP EVTCVVVDVS HEDPEVKFNW YVDGVEVHNA KTKPREEQYN 300
STYRVVSVLT VLHQDWLNGK EYKCKVSNKA LPAPIEKTIS KAKGQPREPQ 350
YVITLPSREE MTKNQVSLTCL LKVGIFYPSDI AVEWESNGQP ENNYKTTTTPV 400
LDSGSGFFLY SKLTVDKSRW QQGNVVFCSV MHEALHNHYT QKSLSLSPGK 450
GSGSGSGSGS GSGSGSGSQS VLTQPPSASG TPGQRTVITSC SGSSSNIGNN 500
YVTTYQQLPG TAPKLLIYAD SHRPSGVPDR FSGSKSGTSA SLAISGLRSE 550
DEADYCATW DYSLSGYVFG CGTKLTVLGG GSGGGGSGG GSGGGGSGV 600
QLLESGLLV QPGLSLRLSC AASGFTFSSY DMSWVRQAPG KCLEWVSWIS 650
YSGGSYYAD SVKGRFTISR DNSKNTLYLQ MNSLRAEDTA VYYCARDAQR 700
NSMREFDYWG QGTLVTVSS 719
```

Light chain / Chaîne légère / Cadena ligera: L-kappa (L', L'')

```
DIQMTQSPSS LSASVGRDRTV ITCRASQDVN TAVAWYQQKP GKAPKLLIYS 50
ASFLYSGVPS RFGSGRSGTD FTLTISSLQP EDFATYYCQQ HYTTPPTFGQ 100
GTKVETKRTV AAPSVFIFPP SDEQLKSGTA SVVCLLNNFY PREAKVQWVK 150
DNALQSGNSQ ESVTEQDSKD STYLSLSTLT LSKADYEKHK VYACEVTHQG 200
LSSPVTKSFN RGEK 214
```

Post-translational modifications

Disulfide bridges location / Position des ponts disulfure / Posiciones de los puentes disulfuro

Intra-H (C23-C104) 22-96 147-203 264-324 370-428
 22"-96" 147"-203" 264"-324" 370"-428"
 490-557 620-694
 490"-557" 620"-694"

Intra-H scFv C120 (VL)-C49 (VH)* 571-642
 571"-642"

Intra-L (C23-C104) 23'-88' 134'-194'
 23"'-88"' 134"'-194"

Inter-H-L ((h 5-CL 126)) 223-214' 223"-214"

Inter-H-H (h 11, h 14) 229-229" 232-232"

*engineered additional disulfide bond C120 (VL)-C49 (VH) to stabilize the scFv (variant 11-scFv-v2).

N-glycosylation sites / Sites de N-glycosylation / Posiciones de N-glicosilación

H CH2 N84.4:300, 300"

Fucosylated complex bi-antennary CHO-type glycans / glycanes de type CHO bi-antennaires complexes fucosylés / glicanos de tipo CHO biantennarios complejos fucosilados.

netanasvirum

netanasvir

methyl {(2S)-1-[(1²S,1⁵S,5²S,5⁴S,7R)-7-[(methoxycarbonyl)amino]-5⁴-(methoxymethyl)-1⁵-methyl-6-oxo-3²,3³-dihydro-2¹H,3¹H,4¹H-2(2,7)-naphtho[1,2-d]imidazola-4(4,2)-imidazola-1(2),5(2,1)-dipyrrolidina-3(4,7)-indena-8(1)-benzenaocctaphan-1¹-yl]-3-methyl-1-oxobutan-2-yl}carbamate
antiviral

nétanasvir

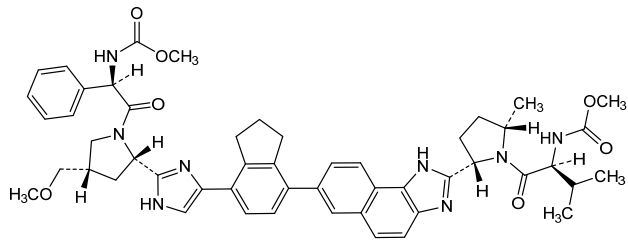
{(2S)-1-[(1²S,1⁵S,5²S,5⁴S,7R)-7-[(méthoxycarbonyl)amino]-5⁴-(méthoxyméthyl)-1⁵-méthyl-6-oxo-3²,3³-dihydro-2¹H,3¹H,4¹H-2(2,7)-naphto[1,2-d]imidazola-4(4,2)-imidazola-1(2),5(2,1)-dipyrrolidina-3(4,7)-indéna-8(1)-benzénaocctaphan-1¹-yl]-3-méthyl-1-oxobutan-2-yl}carbamate de méthyle
antiviral

netanasvir

{(2S)-3-metil-1-[(1²S,1⁵S,5²S,5⁴S,7R)-1⁵-metil-7-[(metoxicarbonil)amino]-5⁴-(metoximetil)-6-oxo-3²,3³-dihidro-2¹H,3¹H,4¹H-2(2,7)-nafto[1,2-d]imidazola-4(4,2)-imidazola-1(2),5(2,1)-dipirrolidina-3(4,7)-indena-8(1)-bencenaocctafan-1¹-il]-1-oxobutan-2-il}carbamato de metilo
antiviral

C₅₁H₅₈N₈O₇

2007900-70-9

**nivudirsenum**

nivudirsen

all-P-ambo-5'-O-(1,10-dihydroxy-1-oxo-2,5,8-trioxa-1λ⁵-phosphadecan-1-yl)-2'-O,4'-C-methylene-P-thioguanlyl-(3'→5')-2'-O,4'-C-methylene-P-thioguanlyl-(3'→5')-2'-O-methyl-P-thiouridylyl-(3'→5')-2'-O-methyl-P-thioadenylyl-(3'→5')-2'-O-methyl-P-thioadenylyl-(3'→5')-2'-O,4'-C-methylene-P-thioguanlyl-(3'→5')-2'-O-methyl-P-thiouridylyl-(3'→5')-2'-O-methyl-P-thiouridylyl-(3'→5')-2'-O,5-dimethyl-P-thiocytidylyl-(3'→5')-2'-O-methyl-P-thiouridylyl-(3'→5')-2'-O-methyl-P-thioguanlyl-(3'→5')-2'-O-methyl-P-thiouridylyl-(3'→5')-2'-O,5-dimethyl-P-thiocytidylyl-(3'→5')-2'-O-methyl-P-thioadenylyl-(3'→5')-2'-O-methyl-P-thioadenylyl-(3'→5')-2'-O-methyl-P-thioguanlyl-(3'→5')-5-methyl-2'-O,4'-C-methylenecytidine
promotion of functional dystrophin synthesis

nivudirsen

tout-P-ambo-5'-O-(1,10-dihydroxy-1-oxo-2,5,8-trioxa-1λ⁵-phosphadécan-1-yl)-2'-O,4'-C-méthylène-P-thioguanlyl-(3'→5')-2'-O,4'-C-méthylène-P-thioguanlyl-(3'→5')-2'-O-méthyl-P-thiouridylyl-(3'→5')-2'-O-méthyl-P-thioadénylyl-(3'→5')-2'-O-méthyl-P-thioadénylyl-(3'→5')-2'-O,4'-C-méthylène-P-thioguanlyl-(3'→5')-2'-O-méthyl-P-thiouridylyl-(3'→5')-2'-O-méthyl-P-thiouridylyl-(3'→5')-2'-O,5-diméthyl-P-thiocytidylyl-(3'→5')-2'-O-méthyl-P-thiouridylyl-(3'→5')-2'-O-méthyl-P-thioguanlyl-(3'→5')-2'-O-méthyl-P-thiouridylyl-(3'→5')-2'-O,5-diméthyl-P-thiocytidylyl

nivudirsén

-(3'→5')-2'-O,5-diméthyl-*P*-thiocytidylyl-(3'→5')-2'-O-méthyl-*P*-thioadénylyl-(3'→5')-2'-O-méthyl-*P*-thioadénylyl-(3'→5')-2'-O-méthyl-*P*-thioadénylyl-(3'→5')-2'-O-méthyl-*P*-thioguanilyl-(3'→5')-5-méthyl-2'-O,4'-C-méthylène-cytidine
stimulation de la synthèse de dystrophine fonctionnelle

*todo-P-ambo-5'-O-(1,10-dihidroxi-1-oxo-2,5,8-trioxa-1λ⁵-fosfadecan-1-il)-2'-O,4'-C-metileno-P-tioguanilil-(3'→5')-2'-O,4'-C-metileno-P-tioguanilil-(3'→5')-2'-O-metil-P-tiouridilil-(3'→5')-2'-O-metil-P-tioadenilil-(3'→5')-2'-O-metil-P-tioadenilil-(3'→5')-2'-O,4'-C-metileno-P-tioguanilil-(3'→5')-2'-O-metil-P-tiouridilil-(3'→5')-2'-O-metil-P-tiouridilil-(3'→5')-2'-O,5-dimetil-P-tiocitidilil-(3'→5')-2'-O-metil-P-tiouridilil-(3'→5')-2'-O-metil-P-tioguanilil-(3'→5')-2'-O-metil-P-tiouridilil-(3'→5')-2'-O,5-dimetil-P-tiocitidilil-(3'→5')-2'-O,5-dimetil-P-tiocitidilil-(3'→5')-2'-O-metil-P-tioadenilil-(3'→5')-2'-O-metil-P-tioadenilil-(3'→5')-2'-O-metil-P-tioguanilil-(3'→5')-5-metil-2'-O,4'-C-metilenocitidina
*estimulación de la síntesis de distrofina funcional**

C₁₉₉H₂₆₁N₆₇O₁₁₄P₁₈S₁₇

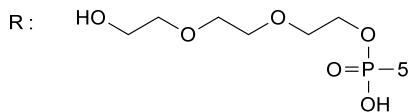
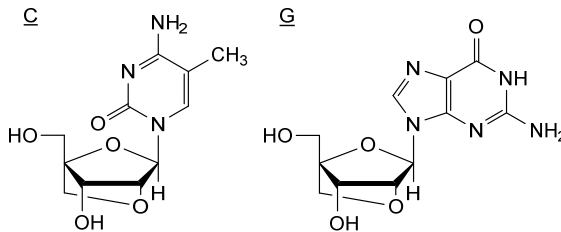
3053113-45-1

R-G=G=U=A=A=G=U=U=m⁵C=U=G=U=m⁵C=m⁵C=A=A=G=C

N: 2'-O-methyl-N / 2'-O-méthyl-N / 2'-O-metil-N

m⁵N: 5-methyl-N / 5-méthyl-N / 5-metil-N

- : -PO(OH)- = : -PO(SH)-



nufaleucelum

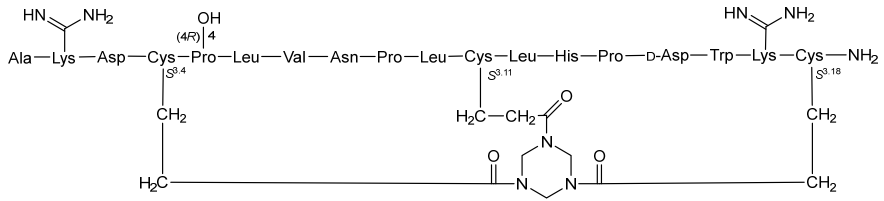
nufaleucel

human culture expanded activated autologous tumour-infiltrating lymphocytes (TIL), isolated from non-small cell lung cancer. The cells are mechanically isolated from resected tumour biopsies and culture-expanded using a two-step protocol consisting of a pre rapid expansion phase (Pre-REP) and a rapid expansion phase (REP) in serum-free media containing interleukin 2 (IL-2). During the REP, the cells are activated and expanded by culture on colloidal polymeric nanomatrix conjugated to humanized CD3 and CD28 agonists in media containing IL-2 in the absence of allogeneic irradiated feeder cells. The T lymphocytes (>80%) are a heterogeneous mixture of CD4+ and CD8+ T lymphocytes, predominantly with effector memory, central memory and effector cell subsets, and a low level of CD45+CD3-CD56+ natural killer (NK) cells (<10%). The T-lymphocytes demonstrate IFN-γ release (>1.0 fg/cell) after CD3/CD28 bead stimulation
cell therapy (antineoplastic)

nufaleucel	lymphocytes infiltrant la tumeur (LIT) autologues humains, activés et expansés en culture, isolés à partir du cancer du poumon non à petites cellules. Les cellules sont isolées mécaniquement à partir de biopsies tumorales réséquées et expansées en culture à l'aide d'un protocole en deux étapes comprenant une phase de pré-expansion rapide (Pre-REP) et une phase d'expansion rapide (REP) dans un milieu sans sérum contenant de l'interleukine 2 (IL-2). Au cours du REP, les cellules sont activées et expansées par culture sur nanomatrice polymère colloïdale conjuguée à des agonistes CD3 et CD28 humanisés, dans un milieu contenant de l'IL-2, en l'absence de cellules nourricières allogéniques irradiées. Les lymphocytes T (>80%) sont un mélange hétérogène de lymphocytes T CD4+ et CD8+, avec principalement des sous-types de cellules effectrices à mémoire, de mémoire centrale et de cellules effectrices, et d'un faible niveau de cellules tueuses naturelles (NK) CD45+CD3-CD56+ (<10%). Les lymphocytes T démontrent une libération d'IFN-γ (>1.0 fg/cellule) après stimulation par billes CD3/CD28 <i>thérapie cellulaire (antineoplasique)</i>
nufaleucel	linfocitos infiltrantes de tumor (TIL) humanos autólogos activados y expandidos en cultivo, aislados de cáncer de pulmón de células no microcíticas. Las células se aíslan mecánicamente de biopsias de tumor resecaado y se expanden en cultivo usando un protocolo de dos etapas que consiste en una pre fase de expansión rápida (Pre-REP) y una fase de expansión rápida (REP) en medio sin suero que contiene interleuquina 2 (IL-2). Durante la REP, las células se activan y expanden mediante cultivo en una nanomatriz polimérica coloidal conjugada con agonistas humanizados de CD3 y CD28 en medio que contiene IL-2 en ausencia de células alimentadoras irradiadas alogénicas. Los linfocitos T (>80%) son una mezcla heterogénea de linfocitos T CD4+ y CD8+, predominantemente con subtipos de células de memoria efectora, memoria central y efectoras, y un bajo nivel (<10%) de células natural killer (NK) CD45+CD3-CD56+. Los linfocitos T muestran liberación de IFN-γ (>1.0 fg/célula) tras la estimulación con bolas CD3/CD28 <i>terapia celular (antineoplásico)</i>
nuzefatidum	
nuzefatide	S ^{3,4} ,S ^{3,11} ,S ^{3,18} -[(1,3,5-triazinane-1,3,5-triyl)tris(3-oxopropane-3,1-diyl)][L-alanyl-N ⁶ -carbamimidoyl-L-lysyl-L-α-aspartyl-L-cysteinyl-(4R)-4-hydroxy-L-prolyl-L-leucyl-L-valyl-L-asparaginyll-L-prolyl-L-leucyl-L-cysteinyl-L-leucyl-L-histidyl-L-prolyl-D-α-aspartyl-L-tryptophyl-N ⁶ -carbamimidoyl-L-lysyl-L-cysteinamide] <i>ephrin receptor binding peptide</i>
nuzéfatide	S ^{3,4} ,S ^{3,11} ,S ^{3,18} -[(1,3,5-triazinane-1,3,5-triyl)tris(3-oxopropane-3,1-diyl)][L-alanyl-N ⁶ -carbamimidoyl-L-lysyl-L-α-aspartyl-L-cysteinyl-(4R)-4-hydroxy-L-prolyl-L-leucyl-L-valyl-L-asparaginyll-L-prolyl-L-leucyl-L-cysteinyl-L-leucyl-L-histidyl-L-prolyl-D-α-aspartyl-L-tryptophyl-N ⁶ -carbamimidoyl-L-lysyl-L-cysteinamide] <i>peptide de liaison au récepteur de l'éphrine</i>
nuzefatida	S ^{3,4} ,S ^{3,11} ,S ^{3,18} -[(1,3,5-triazinano-1,3,5-triil)tris(3-oxopropano-3,1-diil)][L-alanyl-N ⁶ -carbamidoil-L-lisil-L-α-aspartil-L-cysteinil-(4R)-4-hidroxi-L-prolil-L-leucil-L-valil-L-asparaginil-L-prolil-L-leucil-L-cisteinil-L-leucil-L-histidil-L-prolil-D-α-aspartil-L-triptofil-N ⁶ -carbamidoil-L-lisil-L-cisteinamida] <i>peptido de unión al receptor efrin</i>

C₁₀₅H₁₆₂N₃₂O₂₇S₃

2598213-64-8

**nuzefatidum pevedotinum**

nuzefatide pevedotin

S^{3.15}, S^{3.22}, S^{3.29}-[(1,3,5-triazinane-1,3,5-triyl)tris(3-oxopropane-3,1-diyl)]{N-[5-oxo-5-({L-valyl-N⁶-carbamoyl-L-ornithyl}[(4-aminophenyl)methoxy]carbonyl-N-methyl-L-valyl-L-valyl-(3R,4S,5S)-3-methoxy-5-methyl-4-(methylamino)heptanoyl-(2R,3R)-N-[(1S,2R)-1-hydroxy-1-phenylpropan-2-yl]-3-methoxy-2-methyl-3-[(2S)-pyrrolidin-2-yl]propanamide)-N^{2.1}-yl)pentanoyl]-β-alanyldecakis(N-methylglycyl)-L-alanyl-N⁶-carbamimidoyl-L-lysyl-L-α-aspartyl-L-cysteinyl-(4R)-4-hydroxy-L-prolyl-L-leucyl-L-valyl-L-asparaginyll-L-prolyl-L-leucyl-L-cysteinyl-L-leucyl-L-histidyl-L-prolyl-D-α-aspartyl-L-tryptophyl-N⁶-carbamimidoyl-L-lysyl-L-cysteinamide}

ephrin receptor binding peptide, antineoplastic

nuzéfatide pévédotine

S^{3.15}, S^{3.22}, S^{3.29}-[(1,3,5-triazinane-1,3,5-triyl)tris(3-oxopropane-3,1-diyl)]{N-[5-oxo-5-({L-valyl-N⁶-carbamoyl-L-ornithyl}[(4-aminophényl)méthoxy]carbonyl-N-méthyl-L-valyl-L-valyl-(3R,4S,5S)-3-méthoxy-5-méthyl-4-(méthylamino)heptanoyl-(2R,3R)-N-[(1S,2R)-1-hydroxy-1-phénylpropan-2-yl]-3-méthoxy-2-méthyl-3-[(2S)-pyrrolidin-2-yl]propanamide)-N^{2.1}-yl)pentanoyl]-β-alanyldécakis(N-méthylglycyl)-L-alanyl-N⁶-carbamimidoyl-L-lysyl-L-α-aspartyl-L-cystéinyl-(4R)-4-hydroxy-L-prolyl-L-leucyl-L-valyl-L-asparaginyll-L-prolyl-L-leucyl-L-cystéinyl-L-leucyl-L-histidyl-L-prolyl-D-α-aspartyl-L-tryptophyl-N⁶-carbamimidoyl-L-lysyl-L-cystéinamide}

peptide de liaison au récepteur de l'éphrine, antinéoplasique

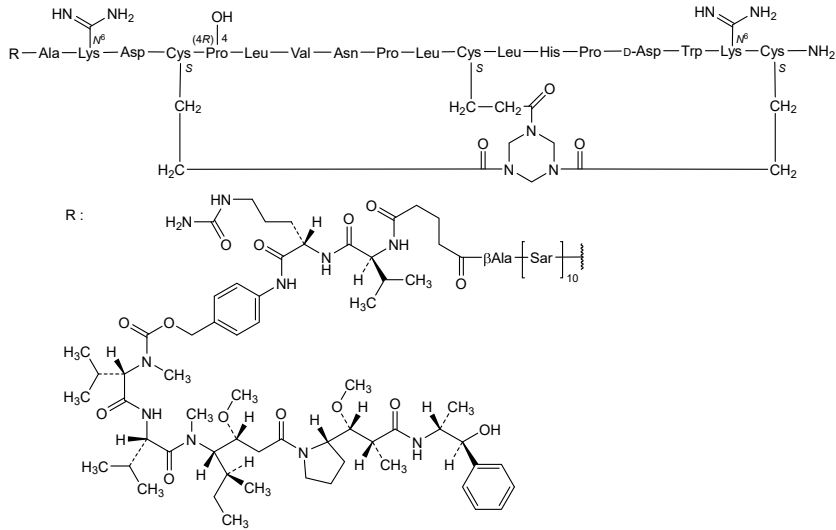
nuzefatida pevedotina

S^{3.15}, S^{3.22}, S^{3.29}-[(1,3,5-triazinane-1,3,5-triil)tris(3-oxopropane-3,1-diil)]{N-[5-oxo-5-({L-valil-N⁶-carbamoiil-L-ornitil}[(4-aminofenil)metoxi]carbonyl-N-metil-L-valil-L-valil-(3R,4S,5S)-5-metil-4-(metilamino)-3-metoxiheptanoiil-(2R,3R)-N-[(1S,2R)-1-fenil-1-hidroxiopropan-2-il]-2-metil-3-metoxi-3-[(2S)-pirrolidin-2-il]propanamida)-N^{2.1}-il)pentanoiil]-β-alanildecakis(N-metilglicil)-L-alanil-N⁶-carbamimidoil-L-lisil-L-α-aspartil-L-cisteinil-(4R)-4-hidroxi-L-proliil-L-leucil-L-valil-L-asparaginil-L-proliil-L-leucil-L-cisteinil-L-leucil-L-histidil-L-proliil-D-α-aspartil-L-triptofil-N⁶-carbamimidoil-L-lisil-L-cisteinamida}

péptido de unión al receptor efrin, antineoplásico

C₂₀₁H₃₁₅N₅₃O₅₂S₃

2648849-70-9



obudanersenum
obudanersen

all-P-ambo-2'-O-(2-methoxyethyl)-P-thioadenylyl-(3'→5')-2'-O-(2-methoxyethyl)-5-methylcytidylyl-(3'→5')-2'-O-(2-methoxyethyl)-5-methylcytidylyl-(3'→5')-2'-O-(2-methoxyethyl)adenylyl-(3'→5')-2'-O-(2-methoxyethyl)-5-methyluridylyl-(3'→5')-P-thiothymidylyl-(3'→5')-P-thiothymidylyl-(3'→5')-P-thiothymidylyl-(3'→5')-2'-deoxy-P-thioguanlylyl-(3'→5')-2'-deoxy-P-thioadenylyl-(3'→5')-2'-deoxy-5-methyl-P-thiocytidylyl-(3'→5')-2'-deoxy-5-methyl-P-thiocytidylyl-(3'→5')-P-thiothymidylyl-(3'→5')-P-thiothymidylyl-(3'→5')-2'-deoxy-5-methyl-P-thiocytidylyl-(3'→5')-2'-O-(2-methoxyethyl)-5-methyluridylyl-(3'→5')-2'-O-(2-methoxyethyl)-5-methyluridylyl-(3'→5')-2'-O-(2-methoxyethyl)-P-thioadenylyl-(3'→5')-2'-O-(2-methoxyethyl)-P-thioguanlylyl-(3'→5')-2'-O-(2-methoxyethyl)-5-methylcytidine
ubiquitin protein ligase E3A-antisense transcript reducer (Angelman Syndrome)

obudanersen

tout-P-ambo-2'-O-(2-méthoxyéthyl)-P-thioadénylyl-(3'→5')-2'-O-(2-méthoxyéthyl)-5-méthylcytidylyl-(3'→5')-2'-O-(2-méthoxyéthyl)-5-méthylcytidylyl-(3'→5')-2'-O-(2-méthoxyéthyl)adénylyl-(3'→5')-2'-O-(2-méthoxyéthyl)-5-méthyluridylyl-(3'→5')-P-thiothymidylyl-(3'→5')-P-thiothymidylyl-(3'→5')-P-thiothymidylyl-(3'→5')-2'-désoxy-P-thioguanlylyl-(3'→5')-2'-désoxy-P-thioadénylyl-(3'→5')-2'-désoxy-5-méthyl-P-thiocytidylyl-(3'→5')-2'-désoxy-5-méthyl-P-thiocytidylyl-(3'→5')-P-thiothymidylyl-(3'→5')-P-thiothymidylyl-(3'→5')-2'-désoxy-5-méthyl-P-thiocytidylyl-(3'→5')-2'-O-(2-méthoxyéthyl)-5-méthyluridylyl-(3'→5')-2'-O-(2-méthoxyéthyl)-5-méthyluridylyl-(3'→5')-2'-O-(2-méthoxyéthyl)-P-thioadénylyl-(3'→5')-2'-O-(2-méthoxyéthyl)-P-thioguanlylyl-(3'→5')-2'-O-(2-méthoxyéthyl)-5-méthylcytidine
réducteur de transcription antisens de l'ubiquitine protéine ligase E3A (syndrome d'Angelman)

obudanersén

todo-P-ambo-2'-O-(2-metoxietil)-P-tioadenilil-(3'→5')-5-metil-2'-O-(2-metoxietil)citidilil-(3'→5')-5-metil-2'-O-(2-metoxietil)citidilil-(3'→5')-2'-O-(2-metoxietil)adenilil-(3'→5')-5-metil-2'-O-(2-metoxietil)uridilil-(3'→5')-P-tiotimidilil-(3'→5')-P-tiotimidilil-(3'→5')-P-tiotimidilil-(3'→5')-2'-desoxi-P-tioguanilil-(3'→5')-2'-desoxi-P-tioadenilil-(3'→5')-2'-desoxi-5-metil-P-tiocitidilil-(3'→5')-2'-desoxi-5-metil-P-tiocitidilil-(3'→5')-P-tiotimidilil-(3'→5')-P-tiotimidilil-(3'→5')-2'-desoxi-5-metil-P-tiocitidilil-(3'→5')-5-metil-2'-O-(2-metoxietil)uridilil-(3'→5')-5-metil-2'-O-(2-metoxietil)uridilil-(3'→5')-2'-O-(2-metoxietil)-P-tioadenilil-(3'→5')-2'-O-(2-metoxietil)-P-tioguanilil-(3'→5')-5-metil-2'-O-(2-metoxietil)citidina
reductor de la transcripción antisense de la ligasa E3A de la proteína ubiquitina (síndrome de Angelman)

C₂₃₀H₃₂₁N₆₄O₁₂₉P₁₉S₁₃

2834724-31-9

(3'-5') A=C-C-A-U-dT=dT=dT=dG=dA=dC=dC=dT=dT=dC=U-U-A-G=C

N : nucleoside / nucléoside / nucleósido

dN : 2'-deoxy-N / 2'-désoxy-N / 2'-desoxi-N

N : 5-methyl-N / 5-méthyl-N / 5-metil-N

N : 2'-O-(2-methoxyethyl)-N / 2'-O-(2-méthoxyéthyl)-N / 2'-O-(metoxietil)-N

- : -PO(OH)- = : -PO(SH)-

olisutrigini bromidum

olisutrigine bromide

(2*R*)-2-{2-[*N*-(2,3-dihydro-1*H*-inden-2-yl)-2-methylanilino]ethyl}-1,1-dimethylpiperidin-1-ium bromide
sodium channel blocker, analgesic

bromure d'olisutrigine

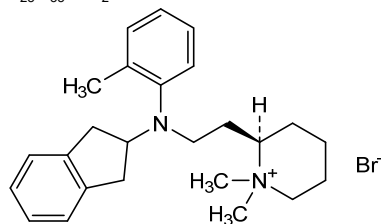
bromure de (2*R*)-2-{2-[*N*-(2,3-dihydro-1*H*-indén-2-yl)-2-méthylanilino]éthyl}-1,1-diméthylpipéridin-1-ium
bloqueur des canaux sodiques, analgésique

bromuro de olisutrigina

bromuro de (2*R*)-2-{2-[*N*-(2,3-dihidro-1*H*-inden-2-il)-2-metilaniilino]etil}-1,1-dimetilpiperidin-1-io
bloqueador del canal de sodio, analgésico

C₂₅H₃₅BrN₂

1393836-45-7

**olmocabtagenum autoleucelum #**

olmocabtogene autoleucel

autologous CD4+/CD8+ enriched T lymphocytes obtained by leukapheresis, transduced with a self-inactivating, non-replicating gamma Moloney murine leukemia virus (MMLV) vector encoding a chimeric antigen receptor (CAR) targeting claudin 6 (CLDN6), composed of a human IgG heavy chain signal peptide, a single chain variable fragment (scFv; IMAB206-C46S), a CD8 hinge and transmembrane domain, and a 4-1BB co-stimulatory and CD3ζ intracellular signalling

domain, under control of the elongation factor 1 alpha short (EFS) promoter. The vector also contains an MMLV psi-region, an enlarged MMLV psi+ packaging region, a Kozak sequence, and a truncated version of the post-transcriptional regulatory element of the Woodchuck hepatitis virus (WPRE); flanked by 5' and 3' MMLV wildtype long terminal repeats (LTRs). The vector is pseudotyped with gibbon ape leukemia virus (GALV) envelope protein. The leukapheresis material is enriched for CD4+/CD8+ T lymphocytes by positive immunoselection, activated by CD3 and CD28 agonists and transduced with the retroviral vector. The cells are then expanded in media with interleukin 15 (IL-15) and interleukin 7 (IL-7). The T lymphocytes ($\geq 80\%$; with $\leq 20\%$ CD3- cells) are positive for the transgene ($\geq 10\%$ CAR positive) and secrete interferon gamma in response to CLDN6 expressing target cells *cell-based gene therapy (antineoplastic)*

olmocabtagène autoleucel

lymphocytes T autologues enrichis en CD4+/CD8+ obtenus par leucaphérese, transduits avec un vecteur du virus de la leucémie murine gamma de Moloney (MMLV) auto-inactivant et non répliatif codant pour un récepteur antigénique chimérique (RAC) ciblant claudine 6 (CLDN6) composé d'un peptide signal de chaîne lourde d'IgG humaine, d'un fragment variable à chaîne unique (scFv; IMAB206-C46S), d'un domaine charnière et transmembranaire CD8 et de domaines de co-stimulation 4-1BB et de signalisation intracellulaire CD3 ζ , sous le contrôle du promoteur facteur d'élongation 1 alpha court (EFS). Le vecteur contient également une région ψ de MMLV, une région d'emballage ψ + élargie de MMLV, une séquence Kozak et une version tronquée de l'élément régulateur post-transcriptionnel du virus de l'hépatite de la marmotte (WPRE); flanqué de répétitions terminales longues (LTRs) de MMLV de type sauvage en 5' et en 3'. Le vecteur est pseudotypé avec la protéine d'enveloppe du virus de la leucémie du singe gibbon (GALV). Le matériel de leucaphérese est enrichi en lymphocytes T CD4+/CD8+ par immunosélection positive, activé par des agonistes CD3 et CD28 et transduit avec le vecteur rétroviral. Les cellules sont ensuite expansées dans un milieu contenant de l'interleukine 15 (IL-15) et de l'interleukine 7 (IL-7). Les lymphocytes T ($\geq 80\%$; avec $\leq 20\%$ de cellules CD3-) sont positifs pour le transgène ($\geq 10\%$ RAC positifs) et sécrètent de l'interféron gamma en réponse aux cellules cibles exprimant CLDN6 *thérapie génique à base de cellules (antineoplasique)*

olmocabtagén autoleucel

linfocitos T CD4+/CD8+ autólogos enriquecidos, obtenidos por leucoaféresis, transducidos con un vector del virus gamma de la leucemia de Moloney murino (MMLV) auto-inactivante, no replicativo, que codifica un receptor de antígenos quimérico (CAR) anti-claudina 6 (CLDN6), compuesto por un péptido señal de la cadena pesada de la IgG humana, un fragmento variable de cadena sencilla (scFv; IMAB206-C46S), un dominio bisagra y transmembrana de CD8, y dominios intracelulares coestimulador de 4-1BB y señalización de CD3 ζ , bajo

el control del promotor corto del factor de elongación 1 alfa (EFS). El vector también contiene una región psi de MMLV, una región alargada de empaquetamiento psi+ de MMLV, una secuencia Kozak y una versión truncada del elemento regulador post-transcripcional del virus de la hepatitis de la marmota (WPRE); flanqueado por repeticiones terminales largas (LTRs) de tipo salvaje del MMLV en 5' y 3'. El vector está seudotipado con la proteína de la envuelta del virus de la leucemia del Gibón (GALV).

El material de leucoaféresis se enriquece en linfocitos T CD4+/CD8+ mediante inmunoselección positiva, se activa con agonistas de CD3 y CD28 y se transduce con el vector retroviral. Las células se expanden después en medio con interleuquina 15 (IL-15) e interleuquina 7 (IL-7). Los linfocitos T (≥80%; con ≤20% de células CD3-) son positivos para el transgén (≥10% CAR positivos) y secretan interferón gamma en respuesta a células diana que expresan CLDN6

terapia génica basada en células (antineoplásico)

oloriglifozinum

oloriglifozin

1-C-{4-chloro-3-[(4-ethoxyphenyl)methyl]phenyl}-1-O,5-C-methylene-D-glycero-α-D-gluco-heptopyranose
sodium glucose co-transporter inhibitor, antihyperglycaemic

oloriglifozine

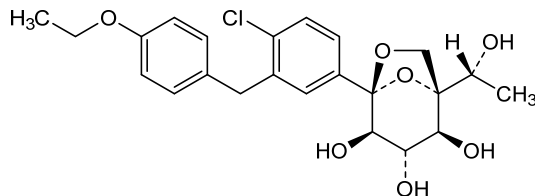
1-C-{4-chloro-3-[(4-éthoxyphényl)méthyl]phényl}-1-O,5-C-méthylène-D-glycéro-α-D-gluco-heptopyranose
inhibiteur du co-transporteur de glucose et de sodium, antihyperglycémiant

oloriglifozina

1-C-{4-cloro-3-[(4-etoxifenil)metil]fenil}-1-O,5-C-metileno-D-glicero-α-D-gluco-heptopiranosas
inhibidor del cotransportador de sodio y glucosa, antihiperglucémico

C₂₃H₂₇ClO₇

2035989-50-3



ompekimigum #

ompekimig

immunoglobulin (L-kappa-H-gamma1(L-VH-G1(CH1-h))_L-kappa_(H-gamma1_L-kappa), anti-[*Homo sapiens* IL4 (interleukin 4, IL-4)], anti-[*Homo sapiens* IL13 (interleukin 13, IL-13)] and anti-[*Homo sapiens* IL33 (interleukin 33, IL-33)], monoclonal antibody, trispecific, trivalent; fused L-kappa-H-gamma1 chain anti-IL13 and anti-IL4 (1-674) [L-kappa anti-IL13 (1-218) [V-KAPPA (*Homo sapiens* IGKV1-39*01 (82.8%) -IGKJ4*01 (100%), CDR-IMGT [10.3.9] (27-36.54-56.93-101)) (1-111) -*Homo sapiens* IGKC*01 (100%) Km3 A45.1, V101 (C-KAPPA A45.1 (157), V101 (195)) (112-218)] -5-mer (tetraglycyl-seryl) linker (219-223) -H-gamma1 heavy chain anti-IL4 (224-674) [VH (*Homo*

sapiens IGHV2-5*08 (87.0%) -(IGHD) -IGHJ3*01 (92.9%) M123>T (339), CDR-IMGT [10.7.13] (249-258.276-282.321-333)) (224-344) -*Homo sapiens* IGHG1*03v, G1m3>G1m17, nG1m1, CH1 K120, CH3 E12, M14, 6-G1v14-1 CH2 A1.3, A1.2, A1, 9-G1v24 CH3 L107, S114, 14-G1v99-1 hinge E6, CH3 E24 (CH1 R120>K (441) (345-442), hinge 1-15 D6>E (448) (443-457), CH2 L1.3>A (461), L1.2>A (462), G1>A (464) (458-567), CH3 E12 (583), M14 (585), L24>E (595), M107>L (655), N114>S (661) (568-672), CHS (673-674)) (345-674)]; (218-221')-disulfide with L-VH-G1(CH1-h) light chain anti-IL13 (1'-221') [VH (*Homo sapiens* IGHV3-21*07 (91.8%) -IGHD -IGHJ1*01 (100%), CDR-IMGT [8.7.12] (26'-33'.51'-57'.96'-107')) (1'-118') -*Homo sapiens* IGHG1*03v, G1m3>G1m17, nG1m1, CH1 K120 (CH1 R120>K (215') (119'-216'), hinge 1-5 (217'-221')) (119'-221')); (447-218''')-disulfide with L-kappa light chain anti-IL4 (1'''-218''') [V-KAPPA (*Homo sapiens* IGKV1-39*01 (87.9%) -IGKJ4*01 (100%), CDR-IMGT [10.3.9] (27'''-36'''.54'''-56'''.93'''-101''')) (1'''-111''') -*Homo sapiens* IGKC*01 (100%) Km3 A45.1, V101 (C-KAPPA A45.1 (157'''), V101 (195''')) (112'''-218''')]; H-gamma1 heavy chain anti-IL33 (1''-451'') [VH (*Homo sapiens* IGHV3-7*01 (89.9%) -(IGHD) -IGHJ4*01 (100%), CDR-IMGT [8.8.14] (26''-33''.51''-58''.97''-110'')) (1''-121'') -*Homo sapiens* IGHG1*03v, G1m3>G1m17, nG1m1 CH1 K120, CH3 E12, M14, 6-G1v14-1 CH2 A1.3, A1.2, A1, 9-G1v24 CH3 L107, S114, 14-G1v99-2 hinge R6, CH3 R88 (CH1 R120>K (218'') (122''-219''), hinge 1-15 D6>R (225'') (220''-234''), CH2 L1.3>A (238''), L1.2>A (239''), G1>A (241'') (235''-344''), CH3 E12 (360''), M14 (362''), K88>R (413''), M107>L (432''), N114>S (438'') (345''-449''), CHS (450''-451'')) (122''-451'')], (224''-213''''')-disulfide with L-kappa light chain anti-IL33 (1''''-213''''') [V-KAPPA (*Homo sapiens* IGKV1-6*01 (88.8%) -IGKJ4*01 (90.9%), CDR-IMGT [6.3.8] (27''''-32'''.50''''-52'''.89''''-96'''')) (1''''-106''''') -*Homo sapiens* IGKC*01 (100%) Km3 A45.1, V101 (C-KAPPA A45.1 (152'''''), V101 (190''''')) (107''''-213''''')]; dimer (453-230''':456-233'')-bisdisulfide, produced in Chinese hamster ovary (CHO) cells, cell line CHO-K1SV lacking the glutamine synthetase (GS-KO) gene, glycoform alfa
immunosuppressant, anti-inflammatory

ompékimig

immunoglobuline (L-kappa-H-gamma1(L-VH-G1(CH1-h))_L-kappa)_ (H-gamma1_L-kappa), anti-[*Homo sapiens* IL4 (interleukine 4, IL-4)], anti-[*Homo sapiens* IL13 (interleukine 13, IL-13)] et anti-[*Homo sapiens* IL33 (interleukine 33, IL-33)], anticorps monoclonal, trispécifique, trivalent; chaîne fusionnée L-kappa-H-gamma1 anti-IL13 et anti-IL4 (1-674) [L-kappa anti-IL13 (1-218) [V-KAPPA (*Homo sapiens* IGKV1-39*01 (82.8%) -IGKJ4*01 (100%), CDR-IMGT [10.3.9] (27-36.54-56.93-101)) (1-111) -*Homo sapiens* IGKC*01 (100%) Km3 A45.1, V101 (C-KAPPA A45.1 (157), V101 (195)) (112-218)] -5-mer (tétraglycyl-séryl) linker (219-223) -chaîne lourde H-gamma1 anti-IL4 (224-674) [VH (*Homo sapiens* IGHV2-5*08 (87.0%) -(IGHD) -IGHJ3*01 (92.9%) M123>T (339), CDR-IMGT [10.7.13] (249-258.276-282.321-333)) (224-344) -*Homo sapiens* IGHG1*03v, G1m3>G1m17, nG1m1, CH1 K120, CH3 E12, M14, 6-G1v14-1 CH2 A1.3, A1.2, A1, 9-G1v24 CH3 L107, S114, 14-G1v99-1 charnière E6, CH3 E24 (CH1 R120>K (441) (345-442), charnière 1-15 D6>E (448) (443-457), CH2 L1.3>A (461), L1.2>A (462), G1>A (464) (458-567), CH3 E12 (583), M14 (585), L24>E (595), M107>L (655), N114>S (661) (568-672), CHS (673-674)) (345-674)]; (218-221')-disulfure avec la chaîne légère L-VH-G1(CH1-h) anti-IL13 (1'-221') [VH (*Homo sapiens* IGHV3-21*07 (91.8%) -IGHD -IGHJ1*01 (100%), CDR-IMGT [8.7.12] (26'-33'.51'-57'.96'-107')) (1'-118') -*Homo sapiens* IGHG1*03v, G1m3>G1m17, nG1m1, CH1 K120 (CH1 R120>K (215') (119'-216'), charnière 1-5 (217'-221')) (119'-221')); (447-218''')-disulfure avec la chaîne légère L-kappa anti-IL4 (1'''-218''') [V-KAPPA (*Homo sapiens* IGKV1-39*01 (87.9%) -IGKJ4*01 (100%), CDR-IMGT [10.3.9] (27'''-36'''.54'''-56'''.93'''-101''')) (1'''-111''') -*Homo sapiens* IGKC*01 (100%) Km3 A45.1, V101 (C-KAPPA A45.1 (157'''), V101 (195''')) (112'''-218''')];

chaîne lourde H-gamma1 anti-IL33 (1"-451") [VH (*Homo sapiens* IGHV3-7*01 (89.9%) -(IGHD) -IGHJ4*01 (100%), CDR-IMGT [8.8.14] (26"-33".51"-58".97"-110")) (1"-121") -*Homo sapiens* IGHG1*03v, G1m3>G1m17, nG1m1 CH1 K120, CH3 E12, M14, 6-G1v14-1 CH2 A1.3, A1.2, A1, 9-G1v24 CH3 L107, S114, 14-G1v99-2 charnière R6, CH3 R88(CH1 R120>K (218")) (122"-219"), charnière 1-15 D6>R (225") (220"-234"), CH2 L1.3>A (238"), L1.2>A (239"), G1>A (241") (235"-344"), CH3 E12 (360"), M14 (362"), K88>R (413"), M107>L (432"), N114>S (438") (345"-449"), CHS (450"-451")) (122"-451"), (224"-213")]-disulfure avec la chaîne légère L-kappa anti-IL33 (1""-213"" [V-KAPPA (*Homo sapiens* IGKV1-6*01 (88.8%) -IGKJ4*01 (90.9%), CDR-IMGT [6.3.8] (27""-32""-50""-52""-89""-96"") (1""-106"") -*Homo sapiens* IGKC*01 (100%) Km3 A45.1, V101 (C-KAPPA A45.1 (152""), V101 (190"")) (107""-213""); dimère (453-230":456-233")-bisulfure, produit dans des cellules ovariennes de hamster chinois (CHO), lignée cellulaire CHO-K1SV ne présentant pas le gène de la glutamine synthétase (GS-KO), glycoforme alfa
immunosuppresseur, anti-inflammatoire

ompekimig inmunoglobulina (L-kappa-H-gamma1(L-VH-G1(CH1-h))_L-kappa)_L(H-gamma1_L-kappa), anti-[*Homo sapiens* IL4 (interleukina 4, IL-4)], anti-[*Homo sapiens* IL13 (interleukina 13, IL-13)] y anti-[*Homo sapiens* IL33 (interleukina 33, IL-33)], anticuerpo monoclonal, trispecifico, trivalente;
cadena fusionada L-kappa-H-gamma1 anti-IL13 y anti-IL4 (1-674) [L-kappa anti-IL13 (1-218) [V-KAPPA (*Homo sapiens* IGKV1-39*01 (82.8%) -IGKJ4*01 (100%), CDR-IMGT [10.3.9] (27-36.54-56.93-101)) (1-111) -*Homo sapiens* IGKC*01 (100%) Km3 A45.1, V101 (C-KAPPA A45.1 (157), V101 (195)) (112-218)] -5-mer (traglicil-seril) enlace (219-223) -cadena pesada H-gamma1 anti-IL4 (224-674) [VH (*Homo sapiens* IGHV2-5*08 (87.0%) -(IGHD) -IGHJ3*01 (92.9%) M123>T (339), CDR-IMGT [10.7.13] (249-258.276-282.321-333)) (224-344) -*Homo sapiens* IGHG1*03v, G1m3>G1m17, nG1m1, CH1 K120, CH3 E12, M14, 6-G1v14-1 CH2 A1.3, A1.2, A1, 9-G1v24 CH3 L107, S114, 14-G1v99-1 bisagra E6, CH3 E24 (CH1 R120>K (441) (345-442), bisagra 1-15 D6>E (448) (443-457), CH2 L1.3>A (461), L1.2>A (462), G1>A (464) (458-567), CH3 E12 (583), M14 (585), L24>E (595), M107>L (655), N114>S (661) (568-672), CHS (673-674)) (345-674)]; (218-221')-disulfuro con la cadena ligera L-VH-G1(CH1-h) anti-IL13 (1'-221') [VH (*Homo sapiens* IGHV3-21*07 (91.8%) -IGHJ1*01 (100%), CDR-IMGT [8.7.12] (26'-33'.51'-57'.96'-107')) (1'-118') -*Homo sapiens* IGHG1*03v, G1m3>G1m17, nG1m1, CH1 K120 (CH1 R120>K (215') (119'-216'), bisagra 1-5 (217'-221')) (119'-221')]; (447-218"")-disulfuro con la cadena ligera L-kappa anti-IL4 (1""-218"") [V-KAPPA (*Homo sapiens* IGKV1-39*01 (87.9%) -IGKJ4*01 (100%), CDR-IMGT [10.3.9] (27""-36""-54""-56""-93""-101"")) (1""-111"") -*Homo sapiens* IGKC*01 (100%) Km3 A45.1, V101 (C-KAPPA A45.1 (157""), V101 (195"")) (112""-218"");
cadena pesada H-gamma1 anti-IL33 (1"-451") [VH (*Homo sapiens* IGHV3-7*01 (89.9%) -(IGHD) -IGHJ4*01 (100%), CDR-IMGT [8.8.14] (26"-33".51"-58".97"-110")) (1"-121") -*Homo sapiens* IGHG1*03v, G1m3>G1m17, nG1m1 CH1 K120, CH3 E12, M14, 6-G1v14-1 CH2 A1.3, A1.2, A1, 9-G1v24 CH3 L107, S114, 14-G1v99-2 bisagra R6, CH3 R88 (CH1 R120>K (218")) (122"-219"), bisagra 1-15 D6>R (225") (220"-234"), CH2 L1.3>A (238"), L1.2>A (239"), G1>A (241") (235"-344"), CH3 E12 (360"), M14 (362"), K88>R (413"), M107>L (432"), N114>S (438") (345"-449"), CHS (450"-451")) (122"-451"), (224"-213"")-disulfuro con la cadena ligera L-kappa anti-IL33 (1""-213"") [V-KAPPA (*Homo sapiens* IGKV1-6*01 (88.8%) -IGKJ4*01 (90.9%), CDR-IMGT [6.3.8] (27""-32""-50""-52""-89""-96"")) (1""-106"") -*Homo sapiens* IGKC*01 (100%) Km3 A45.1, V101 (C-KAPPA A45.1 (152""), V101 (190"")) (107""-213""); dímero (453-230":456-233")-bisulfuro, producido en las células ováricas de hámster chino (CHO), línea celular CHO-K1SV en ausencia del gen de la glutamina sintetasa (GS-KO), forma glicosilada alfa
inmunosupresor, antiinflamatorio

2981477-39-6

Heavy chain / Chaîne lourde / Cadena pesada: fused L-kappa-H-gamma 1 anti-IL13 and anti-IL4 (H)

DIQMTQSPSS	LSASVGDVRT	ITCKASESVD	HFGWSLVHWY	QOKPKGAPKL	50
LIYRASNLES	GVPSRFSGSG	SGTDFTLTIS	SLQPEDFATY	YCCQSNEDPW	100
TFGGGTQVEI	KRTVAAPSVF	IFPPSDEQLK	SGTASVVCLL	NNFYPREAKV	150
QWKVDNALQS	GNSQESVTEQ	DSKDSYSL	STLTLSKADY	EKHKVVYACEV	200
THQGLSSPVT	KSFNRGECGG	GGSEVTLRES	GPALVKPTQT	LTLTCTFSGF	250
SLSNFGEGLS	WIRQPPGKGL	EWLAHIYWDD	DKRYNPSLKS	RLTISKDTSR	300
NQVVLMTNM	DPVDTATYYC	ARRETVFYWY	FDVWQGGTTV	TVSSASTKGP	350
SVFPLAPSSK	STSGGTAALG	CLVKDYFPEP	VTVSWNSGAL	TSGVHTFPAV	400
LQSSGLYSLS	SVVTVPSSSL	GTQTYICNVN	HKPSNTKVDK	KVEPKSCEKT	450
HTCPPCPAPE	AAGAPSVFLF	PPKPKDTLMI	SRTPEVTCVV	VDVSHEDPEV	500
KFNWYVDGVE	VHNAKTKPRE	EQYNSTYRVV	SVLTVLHQDW	LNGKEYKCKV	550
SNKALPAPIE	KTISKAKGQP	REPQVYTLPP	SREEMTKNQV	SLTCEVKYGF	600
PSDIAVEWES	NGQPENNYKT	TPPVLDSDGS	FFLYSKLTVD	KSRWQQGNVF	650
SCSVLHEALH	SHYTKRSLSL	SPGK			674

Light chain / Chaîne légère / Cadena ligera: L-VH-G1(CH1-h) anti-IL13 (L')

EVQLVESGGG	LVQPGGSLRL	SCAASGFTFS	SYAMSWVRQA	PGKGLEWVAAS	50
ISSGDTTYYF	DSVKGRFTIS	RDNAKNSLYL	QMNSLRAEDT	AVYYCARNEG	100
YFGLTLWGQ	GTLVTVSSAS	TKGPSVFLPA	PSSKSTSGGT	AALGCLVKDY	150
FPEPVTYSWN	SGALTSGVHT	FPAVLQSSGL	YSLSSVVTVP	SSSLGTQTYI	200
CNVNHKPSNT	KVDKKEPKS	C			221

Light chain / Chaîne légère / Cadena ligera: L-kappa anti-IL4 (L'')

DIQMTQSPSS	LSASVGDVRT	ITCRASQSDV	EEGDSYMNWY	QOKPKGAPKL	50
LIYAASNLES	GVPSRFSGSG	SGTDFTLTIS	SLQPEDFATY	YCCQSNKDDP	100
TFGGGTQVEI	KRTVAAPSVF	IFPPSDEQLK	SGTASVVCLL	NNFYPREAKV	150
QWKVDNALQS	GNSQESVTEQ	DSKDSYSL	STLTLSKADY	EKHKVVYACEV	200
THQGLSSPVT	KSFNRGEC				218

Heavy chain / Chaîne lourde / Cadena pesada: H-gamma 1 anti-IL33 (H')

EVQLVESGGG	LVQPGGSLRL	SCAASGFTFS	SYWYWVRQA	PGKGLEWVAA	50
ITPNAGEDYY	PESVKGRFTI	SRDNAKNSLY	LQMNSLRAED	TAVYYCARGQ	100
YYFKYSLGY	WGQTLVTVS	SASTKGPSVF	PLAPSSKSTS	GGTAALGCLV	150
KDYFPEPVTV	SWNSGALTS	VHTFPAVLQS	SGLYSLSSVV	TVPSSSLGTQ	200
TYICNVNHKE	SNTKVDKVE	PKSCRKTHTC	PPCPAPEAAG	APSVFLFPPK	250
PKDTLMISRT	PEVTCVVVDV	SHEDPEVKFN	WYVDGVEVHN	AKTKPREEQY	300
NSTYRVVSVL	TVLHQDWLNG	KEYKCKVSNK	ALPAPIEKTI	SKAKGQPREP	350
QVYTLPPSRE	EMTKNQVSLT	CLVKGFYPSD	IAVEWESNGQ	PENNYKTTFP	400
VLDSDGSFPL	YSRLTVDKSR	WQQGNVFSCS	VLHEALHSHY	TQKSLSLSPG	450
K					451

Light chain / Chaîne légère / Cadena ligera: L-kappa anti-IL33 (L''')

DIQMTQSPSS	LSASVGDVRT	ITCRASQPIH	NHLDWYQQKP	GKAPKLLIYF	50
GKNLQEGVGS	RFSGSGSGTD	FTLTISLQEP	EDFATYYCFQ	YKKGWSPGGG	100
TKVEIKRTVA	APSVFIFPPS	DEQLKSGTAS	VVCLLNNFYF	REAKVQWKVD	150
NALQSGNSQE	SVTEQDSKDS	TYSLSSLTLL	SKADYEKHKV	YACEVTHQGL	200
SSPVTKSFNR	GEC				213

Post-translational modifications

Disulfide bridges location / Position des ponts disulfure / Posiciones de los puentes disulfuro

Intra-H (C23-C104) 23-92 138-198 245-320 371-427 488-548 594-652

22"-96" 148"-204" 265"-325" 371"-429"

Intra-L (C23-C104) 22"-95' 145"-201'

23"-92" 138"-198"

23"-88" 133"-193"

Inter-H-L' (CL 126-h 5)* 218-221'

Inter-H-L'' (h 5-CL 126) 447-218" 224"-213"

Inter-H-H (h 11, h 14) 453-230" 456-233"

*crosslink / lien croisé / enlace cruzado

N-glycosylation sites / Sites de N-glycosylation / Posiciones de N-glicosilación

H CH2 N84.4: 524, 301"

Fucosylated complex bi-antennary CHO-type glycans / glycanes de type CHO bi-antennaires complexes fucosylés / glicanos de tipo CHO biantennarios complejos fucosilados

C-terminal lysine clipping / Coupure de la lysine C-terminale / Recorte de lisina C-terminal

H CHS K2: 674, 451"

ontunisertibum

ontunisertib

N-[(2,6-difluorophenyl)methyl]-2-[3-(6-methylpyridin-2-yl)-4-(quinolin-4-yl)-1*H*-pyrazol-1-yl]acetamide
serine/threonine kinase inhibitor

ontunisertib

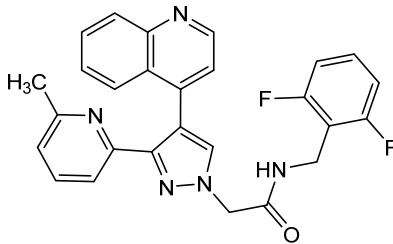
N-[(2,6-difluorophényl)méthyl]-2-[3-(6-méthylpyridin-2-yl)-4-(quinoléin-4-yl)-1*H*-pyrazol-1-yl]acétamide
inhibiteur de sérine/thréonine kinases

ontunisertib

N-[(2,6-difluorofenil)metil]-2-[3-(6-metilpiridin-2-il)-4-(quinolein-4-il)-1*H*-pirazol-1-il]acetamida
inhibidor de la serina/treonina kinasa

C₂₇H₂₁F₂N₅O

2647949-48-0

**onvuzosiranum**

onvuzosiran

O-[(2*R*,3*S*)-2-(hydroxymethyl)oxolan-3-yl] hydrogen *all-P-ambo*-3'-*O*-(2-[[[1-(1-{17-[(2-acetamido-2-deoxy-β-D-galactopyranosyl)oxy]-3,6,9,12,15-pentaoxaheptadecan-1-yl)-1*H*-1,2,3-triazol-4-yl)methyl]amino]-2-oxoethyl)-2'-*O*-(2-{bis[[1-(17-[(2-acetamido-2-deoxy-β-D-galactopyranosyl)oxy]-3,6,9,12,15-pentaoxaheptadecan-1-yl)-1*H*-1,2,3-triazol-4-yl)methyl]amino]-2-oxoethyl)-*P*-thiocytidylyl-(5'→5')-2'-*O*-methyl-*P*-thiouridylyl-(3'→5')-2'-*O*-methylcytidylyl-(3'→5')-2'-*O*-methylcytidylyl-(3'→5')-2'-*O*-methyladenylyl-(3'→5')-2'-*O*-methylguanylyl-(3'→5')-2'-*O*-methylguanylyl-(3'→5')-2'-deoxy-2'-fluorocytidylyl-(3'→5')-2'-*O*-methyluridylyl-(3'→5')-2'-deoxy-2'-fluorocytidylyl-(3'→5')-2'-deoxy-2'-fluorocytidylyl-(3'→5')-2'-deoxy-2'-fluorouridylyl-(3'→5')-2'-*O*-methyluridylyl-(3'→5')-2'-*O*-methylguanylyl-(3'→5')-2'-*O*-methyladenylyl-(3'→5')-2'-*O*-methyladenylyl-(3'→5')-2'-*O*-methyluridylyl-(3'→5')-2'-*O*-methyluridylyl-(3'→5')-2'-*O*-methyladenylyl-(3'→5')-2'-*O*-methyladenylyl-(3'→5')-2'-*O*-methyl-*P*-thiocytidylyl-(3'→5')-2'-*O*-methyl-*P*-thio-3'-adenylate duplex with *all-P-ambo*-2'-*O*-methyl-*P*-thiouridylyl-(5'→3')-2'-*O*-methyl-*P*-thioguanilyl-(5'→3')-2'-*O*-methyladenylyl-(5'→3')-2'-deoxy-2'-fluoroguanilyl-(5'→3')-2'-*O*-methylguanylyl-(5'→3')-2'-deoxy-2'-fluorouridylyl-(5'→3')-2'-*O*-methylcytidylyl-(5'→3')-2'-deoxy-2'-fluorocytidylyl-(5'→3')-2'-*O*-methylguanylyl-(5'→3')-2'-deoxy-2'-fluoroadenylyl-(5'→3')-2'-*O*-methylguanylyl-(5'→3')-2'-deoxy-2'-fluoroguanilyl-(5'→3')-2'-*O*-methyladenylyl-(5'→3')-2'-deoxy-2'-fluoroadenylyl-(5'→3')-2'-*O*-methyladenylyl-(5'→3')-2'-deoxy-2'-fluorocytidylyl-(5'→3')-2'-*O*-methyluridylyl-(5'→3')-2'-deoxy-2'-fluorouridylyl-(5'→3')-2'-*O*-methyladenylyl-(5'→3')-2'-deoxy-2'-fluoroadenylyl-(5'→3')-2'-*O*-methyl-*P*-thiouridylyl-(5'→3')-2'-deoxy-2'-fluoro-*P*-thioguanilyl-(5'→3')-2'-*O*-methyluridine
prekallikrein synthesis reducer

C₅₃₄H₇₀₇F₁₅N₁₈₀O₃₂₉P₄₄S₈

2982817-49-0

(3'-5')C=U-C-C-A-G-G-C-U-C-C-U-U-U-G-A-A-U-U-A-C=A=R1

(5'-3')U=G-A-G-G-U-C-C-G-A-G-G-A-A-A-C-U-U-A-A-U=G=U

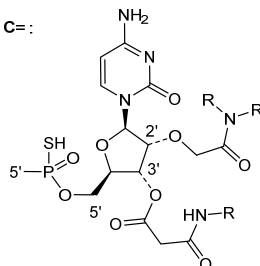
N : A, C, G, U

N : 2'-O-methyl-N / 2'-O-méthyl-N / 2'-O-metil-N

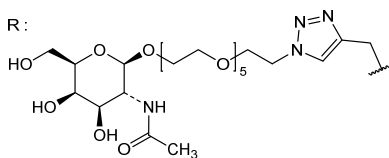
N : 2'-deoxy-2'-fluoro-N / 2'-désoxy-2'-fluoro-N / 2'-desoxi-2'-fluoro-N

- : -PO(OH)- = : -PO(SH)-

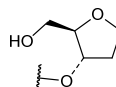
C=:



R:



R1:

**onzemipgenum parvecum #**

onzemipgene parvec

recombinant non-replicating adeno-associated virus serotype 2 (rAAV2) vector, encoding a truncated soluble form of human CD59 (sCD59, CD59 human independent of the membrane) under control of the CAG promoter (cytomegalovirus (CMV) enhancer / chicken beta-actin (CBA) promoter / rabbit beta-globin acceptor containing chimeric intron) and a rabbit beta-globin polyadenylation signal *gene therapy (macular degeneration)*

onzémipgène parvec

vecteur recombinant du virus adéno-associé non répliquatif de sérotype 2 (rAAV2) codant une forme tronquée soluble du CD59 humain (sCD59, CD59 humain indépendant de la membrane) sous le contrôle du promoteur CAG (amplificateur du cytomégalovirus (CMV) / promoteur de la bêta-actine de poulet (CBA) / intron chimérique contenant l'accepteur de la bêta-globine de lapin, et un signal de polyadénylation de bêta-globine de lapin *thérapie génique (dégénérescence maculaire)*

onzemipgén parvec

vector de virus adenoasociado del serotipo 2, recombinante (rAAV2), no replicativo, que codifica una forma truncada soluble de CD59 humano (sCD59, CD59 humano independiente de membrana) bajo el control de un promotor CAG (potenciador de citomegalovirus (CMV) / promotor de beta actina de pollo (CBA) / intrón quimérico que contiene el aceptor de la beta globina de conejo) y una señal de poliadenilación de la beta globina de conejo *terapia génica (degeneración macular)*

2269489-41-8

opakalimum

opakalim

N-(1-*tert*-butyl-6-cyano-4,7-difluoro-1*H*-1,3-benzimidazol-2-yl)-3,3-dimethylbutanamide
potassium channel activator, antiepileptic

opakalim

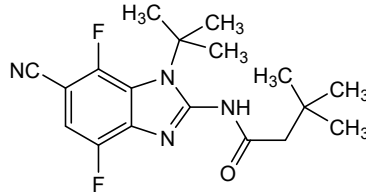
N-(1-*tert*-butyl-6-cyano-4,7-difluoro-1*H*-1,3-benzimidazol-2-yl)-3,3-diméthylbutanamide
activateur des canaux potassiques, antiépileptique

opakalim

N-(1-*tert*-butyl-6-ciano-4,7-difluoro-1*H*-1,3-benzimidazol-2-
il)-3,3-diméthylbutanamida
activador del canal de potasio, antiepiléptico

C₁₈H₂₂F₂N₄O

2376397-93-0



opantistomigum
opantistomig

immunoglobulin (H-gamma1-scFvhl_L-kappa) dimer, anti-[*Homo sapiens* CD274 (programmed cell death 1 ligand 1, PDL1, PD-L1, B7 homolog 1, B7H1, B7-H1, PDCD1LG1)] and anti-[*Homo sapiens* TNFRSF9 (TNF receptor superfamily member 9, 4-1BB, T cell antigen ILA, CD137)], humanized and *Homo sapiens* monoclonal antibody, tetravalent, bispecific;

H-gamma1 heavy chain anti-CD274 fused to a scFvhl anti-TNFRSF9 (1-714) [H-gamma1 heavy chain anti-CD274 humanized (1-449) [VH (*Homo sapiens* IGHV4-30-4*09 (87.8%) -(IGHD) -IGHJ4*01 (93.3%) L123>T (114), CDR-IMGT [8.7.13] (26-33.51-57.96-108))] (1-119)-*Homo sapiens* IGHG1*01, G1m17,1 CH1 K120, CH3 D12, L14, 6-G1v14-4 CH2 A1.3, A1.2, A114, 1-G1v66 CH2 A27 (CH1 K120 (216) (120-217), hinge 1-15 (218-232), CH2 L1.3>A (236), L1.2>A (237), D27>A (267), P114>A (331) (233-342), CH3 D12 (358), L14 (360) (343-447), CHS (448-449)) (120-449)] -15-mer tris(tetraglycyl-seryl) linker (450-464) -scFvhl anti-TNFRSF9 *Homo sapiens* (465-714), C49 (VH)-C120 (VL) 11-scFv-v1 [VH (*Homo sapiens* IGHV3-30*01 (92.9%) -IGHD -IGHJ6*03 (95.0%) G49>C (508), CDR-IMGT [8.8.17] (490-497.515-522.561-577)) (465-588) -15-mer tris(glycyl-tetraseryl) linker (589-603) -V-LAMBDA (*Homo sapiens* IGLV2-14*01 (91.9%) -IGLJ7*01 (90.9%) G120>C (707), CDR-IMGT [9.3.11] (629-637.655-657.694-704)) (604-714)]; (222-214')-disulfide with L-kappa light chain anti-CD274 humanized (1'-214') [V-KAPPA (*Homo sapiens* IGKV1-16*01 (84.2%) -IGKJ2*01 (100%), CDR-IMGT [6.3.9] (27'-32'.50'-52'.89'-97'') (1'-107'') -*Homo sapiens* IGKC*01 (100%), Km3 A45.1 (153'), V101 (191') (108'-214')]; dimer (228-228":231-231'')-bisdisulfide, produced in Chinese hamster ovary (CHO) cells, cell line CHO-K1, glycoform alfa
immunostimulant, antineoplastique

opantistomig

immunoglobuline (H-gamma1-scFvhl_L-kappa) dimère, anti-[*Homo sapiens* CD274 (ligand 1 de mort cellulaire programmée 1, PDL1, PD-L1, B7 homologue 1, B7H1, B7-H1, PDCD1LG1)] et anti-[*Homo sapiens* TNFRSF9 (membre 9 de la superfamille des récepteurs du TNF, 4-1BB, antigène ILA des cellules T, CD137)], anticorps monoclonal humanisé et *Homo sapiens*, tétravalent, bispécifique;

chaîne lourde H-gamma1 anti-CD274 fusionnée à un scFvhl anti-TNFRSF9 (1-714) [chaîne lourde H-gamma1 anti-CD274 humanisée (1-449) [VH (*Homo sapiens* IGHV4-30-4*09 (87.8%) - (IGHD) -IGHJ4*01 (93.3%) L123>T (114), CDR-IMGT [8.7.13] (26-33.51-57.96-108)) (1-119)-*Homo sapiens* IGHG1*01, G1m17,1 CH1 K120, CH3 D12, L14, 6-G1v14-4 CH2 A1.3, A1.2, A114, 1-G1v66 CH2 A27 (CH1 K120 (216) (120-217), charnière 1-15 (218-232), CH2 L1.3>A (236), L1.2>A (237), D27>A (267), P114>A (331) (233-342), CH3 D12 (358), L14 (360) (343-447), CHS (448-449)) (120-449)] -15-mer tris(tétraglycyl-séryl) linker (450-464) -scFvhl anti-TNFRSF9 *Homo sapiens* (465-714), C49 (VH)-C120 (VL) 11-scFv-v1 [VH (*Homo sapiens* IGHV3-30*01 (92.9%) -IGHD -IGHJ6*03 (95.0%) G49>C (508), CDR-IMGT [8.8.17] (490-497.515-522.561-577)) (465-588) -15-mer tris(glycyl-tétraséryl) linker (589-603) -V-LAMBDA (*Homo sapiens* IGLV2-14*01 (91.9%) -IGLJ7*01 (90.9%) G120>C (707), CDR-IMGT [9.3.11] (629-637.655-657.694-704)) (604-714)]; (222-214')-disulfure avec la chaîne légère L-kappa anti-CD274 humanisée (1'-214') [V-KAPPA (*Homo sapiens* IGKV1-16*01 (84.2%) -IGKJ2*01 (100%), CDR-IMGT [6.3.9] (27'-32'.50'-52'.89'-97')) (1'-107') -*Homo sapiens* IGKC*01 (100%), Km3 A45.1 (153'), V101 (191') (108'-214')]; dimère (228-228":231-231")-bisdisulfure, produit dans des cellules ovariennes de hamster chinois (CHO), lignée cellulaire CHO-K1, glycoforme alfa
immunostimulant, antinéoplasique

opantistomig

immunoglobulina (H-gamma1-scFvhl_L-kappa) dímero, anti-[*Homo sapiens* CD274 (ligando 1 de muerte celular programada 1, PDL1, PD-L1, B7 homólogo 1, B7H1, B7-H1, PDCD1LG1)] y anti-[*Homo sapiens* TNFRSF9 (miembro 9 de la superfamilia de los receptores del TNF, 4-1BB, antígeno ILA de las células T, CD137)], anticuerpo monoclonal humanizado y *Homo sapiens*, tetravalente, biespecífico;
cadena pesada H-gamma1 anti-CD274 fusionada con un scFvhl anti-TNFRSF9 (1-714) [cadena pesada H-gamma1 anti-CD274 humanizada (1-449) [VH (*Homo sapiens* IGHV4-30-4*09 (87.8%) - (IGHD) -IGHJ4*01 (93.3%) L123>T (114), CDR-IMGT [8.7.13] (26-33.51-57.96-108)) (1-119)-*Homo sapiens* IGHG1*01, G1m17,1 CH1 K120, CH3 D12, L14, 6-G1v14-4 CH2 A1.3, A1.2, A114, 1-G1v66 CH2 A27 (CH1 K120 (216) (120-217), bisagra 1-15 (218-232), CH2 L1.3>A (236), L1.2>A (237), D27>A (267), P114>A (331) (233-342), CH3 D12 (358), L14 (360) (343-447), CHS (448-449)) (120-449)] -15-mer tris(tetraglicil-seril) enlace (450-464) -scFvhl anti-TNFRSF9 *Homo sapiens* (465-714), C49 (VH)-C120 (VL) 11-scFv-v1 [VH (*Homo sapiens* IGHV3-30*01 (92.9%) -IGHD -IGHJ6*03 (95.0%) G49>C (508), CDR-IMGT [8.8.17] (490-497.515-522.561-577)) (465-588) -15-mer tris(glicil-tetraseril) enlace (589-603) -V-LAMBDA (*Homo sapiens* IGLV2-14*01 (91.9%) -IGLJ7*01 (90.9%) G120>C (707), CDR-IMGT [9.3.11] (629-637.655-657.694-704)) (604-714)]; (222-214')-disulfuro con la cadena ligera L-kappa anti-CD274 humanizada (1'-214') [V-KAPPA (*Homo sapiens* IGKV1-16*01 (84.2%) -IGKJ2*01 (100%), CDR-IMGT [6.3.9] (27'-32'.50'-52'.89'-97')) (1'-107') -*Homo sapiens* IGKC*01 (100%), Km3 A45.1 (153'), V101 (191') (108'-214')]; dímero (228-228":231-231")-bisdisulfuro, producido en las células ováricas de hámster chino (CHO), línea celular CHO-K1, forma glicosilada alfa
immunoestimulante, antineoplásico

2923499-76-5

Heavy chain / Chaîne lourde / Cadena pesada: fused H-gamma I anti-CD274 -scFvHl anti-TNFRSF9 (H, H")

```

EVQLQESGGPG LVKPSQTLTSL TCTVSGDSFS SGYWNWIRQH PGKGLEIYGY 50
VSYTGSTYYI PSLKSRVTIS RDTSKNQFSL KLSSVTAADT AVYVCAGYRD 100
WLHGYPFDYWG QGTTVTVSSA STKGPSVFPL APSSKSTSGG TAALGCLVKD 150
YFPEPVTVSW NSGALTSGVH TFPAPVLQSSG LYSLSVSVTV PSSSLGQTY 200
ICNVNHKPSN TKVDKKEVEK SCDKHTHTCPP CPAPEAAGGP SVFLFPPKPK 250
DTLMISRTPE VTCVVAVVSH EDPEVKFNWY VDGVEVHNAK TKPREEQYNS 300
TYRVVSVLTV LHQDNLNGEK YKCKVSNKAL AAPIEKTISK AKGQPREPQV 350
YTLPPSRDEL TKNQVSLTCL VKGFYPSDIA VEWESNGQPE NNYKTTTPVL 400
DSDGSEFFLYS KLTVDKSRWQ QGNVFSQSCVM HEALHNNHYTQ KSLSLSPGKG 450
GGGSGGGGSG GGGGQVQLQEQ SGGGLVQPGG SLRLSCAVSG FTFSSYAMHW 500
VRQAPGKCLE WVAIVSYDGS KKWYADSVKG RFTISRDNK NTLYLQMNLS 550
RAEDTAVYYC ARNQGSGSYL YYYIMDVWVG GTTIVTVSSGS SSSGSSSSGS 600
SSSQSALTQP RSVSGSPGQS VTISCTGTSS DVGGYNYVSW YQQLPGKAPK 650
VIIIEVSNRP SGVSNRFGSG KSGNTASLTI SGVQSEDEAD YCCSSYSSSS 700
TFYVFGCGTQ LTVL 714
    
```

Light chain / Chaîne légère / Cadena ligera: L-kappa anti-CD274 (L, L")

```

DIQMTQSPSS LSASVGDRTV ITCKASQNM DNWAWYQQKP GKAPKRLIYS 50
ASYRFSGVPS RFGSGSGTPE FTLTISLQF EDFATYYCQQ YNGYPLTFGG 100
GTKLEIKRTV AAPSVFIFPP SDEQLKSGTA SVVCLLNNFY PRAKQVQKW 150
DNALQSGNSQ ESVTEQDSKD STYLSLSLTL LSKADYERHK VYACEVTHQG 200
LSSPVTKSFN RGEK 214
    
```

Post-translational modifications

Disulfide bridges location / Position des ponts disulfure / Posiciones de los puentes disulfuro

Intra-H (C23-C104) 22-95 146-202 263-323 369-427
 22"-95" 146"-202" 263"-323" 369"-427"
 486-560 625-693
 486"-560" 625"-693"

Intra-H scFv C49 (VH)-C120 (VL)* 508-707
 508"-707"

Intra-L (C23-C104) 23"-88" 134"-194"
 23"-88" 134"-194"

Intra-H-L (h 5-CL 126) 222-214" 222"-214"

Inter-H-H (h 11, h 14) 228-228" 231-231"

*engineered additional disulfide bond C49 (VH)-C120 (VL) to stabilize the scFv (variant 11-scFv-v1).

N-glycosylation sites / Sites de N-glycosylation / Posiciones de N-glicosilación
 H CH2 N84.4: 299, 299"

Fucosylated complex bi-antennary CHO-type glycans / glycanes de type CHO bi-antennaires complexes fucosylés / glicanos de tipo CHO biantennarios complejos fucosilados.

oturkibartum #
 oturkibart

immunoglobulin G4-kappa, anti-[*Homo sapiens* IL4R (interleukin 4 receptor, IL4RA, IL-4RA, interleukin 13 receptor, CD124)], humanized monoclonal antibody;
 H-gamma4 heavy chain humanized (1-444) [VH (*Homo sapiens* IGHV3-66*01 (83.5%) -(IGHD) -IGHJ2*01 (85.7%) R120>Q (109), CDR-IMGT [8.7.11] (26-33.51-57.96-106))] (1-117) -*Homo sapiens* IGHG4*01, nG4m(a) CH2 L92, 12-G4v5 h P10 (CH1 (118-215), hinge 1-12 S10>P (225) (216-227), CH2 L92 (306) (228-337), CH3 (338-442), CHS (443-444)) (118-444)], (131-217)-disulfide with L-kappa light chain humanized (1'-217') [V-KAPPA (*Homo sapiens* IGKV1-27*01 (84.4%) -IGKJ2*02 (90.0%) L124>V (107'), CDR-IMGT [8.3.10] (27'-34'.52'-54'.91'-100'') (1'-110'') -*Homo sapiens* IGKC*01 (100%) Km3 A45.1, V101 (C-KAPPA A45.1 (156'), V101 (194'')) (111'-217'')]; dimer (223-223":226-226")-bisdisulfide, produced in Chinese hamster ovary (CHO) cells, cell line CHO-S, glycoform alfa
 anti-inflammatory

oturkibart

immunoglobuline G4-kappa, anti-[*Homo sapiens* IL4R (récepteur de l'interleukine 4, IL4RA, IL-4RA, récepteur de l'interleukine 13, CD124)], anticorps monoclonal humanisé;

chaîne lourde H-gamma4 humanisée (1-444) [VH (*Homo sapiens* IGHV3-66*01 (83.5%) -(IGHD) -IGHJ2*01 (85.7%) R120>Q (109), CDR-IMGT [8.7.11] (26-33.51-57.96-106)) (1-117) -*Homo sapiens* IGHG4*01, nG4m(a) CH2 L92, 12-G4v5 h P10(CH1 (118-215), charnière 1-12 S10>P (225) (216-227), CH2 L92 (306) (228-337), CH3 (338-442), CHS (443-444)) (118-444)], (131-217')-disulfure avec la chaîne légère L-kappa humanisée (1'-217') [V-KAPPA (*Homo sapiens* IGKV1-27*01 (84.4%) -IGKJ2*02 (90.0%) L124>V (107'), CDR-IMGT [8.3.10] (27'-34'.52'-54'.91'-100')) (1'-110') -*Homo sapiens* IGKC*01 (100%) Km3 A45.1, V101 (C-KAPPA A45.1 (156'), V101 (194')) (111'-217')]; dimère (223-223'':226-226'')-bisdisulfure, produit dans des cellules ovariennes de hamster chinois (CHO), lignée cellulaire CHO-S, glycoforme alfa
anti-inflammatoire

oturkibart

immunoglobulina G4-kappa, anti-[*Homo sapiens* IL4R (receptor de la interleukina, IL4RA, IL-4RA, receptor de la interleukina 13, CD124)], anticuerpo monoclonal humanizado;

cadena pesada H-gamma4 humanizada (1-444) [VH (*Homo sapiens* IGHV3-66*01 (83.5%) -(IGHD) -IGHJ2*01 (85.7%) R120>Q (109), CDR-IMGT [8.7.11] (26-33.51-57.96-106)) (1-117) -*Homo sapiens* IGHG4*01, nG4m(a) CH2 L92, 12-G4v5 h P10 (CH1 (118-215), bisagra 1-12 S10>P (225) (216-227), CH2 L92 (306) (228-337), CH3 (338-442), CHS (443-444)) (118-444)], (131-217')-disulfuro con la cadena ligera L-kappa humanizada (1'-217') [V-KAPPA (*Homo sapiens* IGKV1-27*01 (84.4%) -IGKJ2*02 (90.0%) L124>V (107'), CDR-IMGT [8.3.10] (27'-34'.52'-54'.91'-100')) (1'-110') -*Homo sapiens* IGKC*01 (100%) Km3 A45.1, V101 (C-KAPPA A45.1 (156'), V101 (194')) (111'-217')]; dímero (223-223'':226-226'')-bisdisulfuro, producido en las células ováricas de hámster chino (CHO), línea celular CHO-S, forma glicosilada alfa
antiinflamatorio

2956767-43-2

Heavy chain / Chaîne lourde / Cadena pesada

```
EVQLVESGGG LVQPGGSLRL SCAASGIDLR TNSMSWVRQA PGKGLEWVGI 50
IGSSGYMDYA SWAKGRFTIS RDNSKNTLYL QMNSIRAEDT AVYYCARHGD 100
SSSFALWGQG TLVTVSSAST KGPSVFPPLAP CSRSTSESTA ALGLVKDYF 150
PEPVTVSWNS GALTSGVHTF PAVLQSSGLY SLSVVVTVPS SSLGTRKTYTC 200
NVDHRKPSNTK VDKRRESKYG PPCPPCPAPE FLGGPSVFLF PPKPKDTLMI 250
SRTPEVTCV VDVSQEDPEV QFNWYVDGVE VHNAKTKPRE EQFNSTYRVV 300
SVLTVLHQD LNKKEYKCKV SNKGLPSSIE KTISKAKGQP REPQVYTLPP 350
SQEEMTKNQV SLTCLVKGFY PSDIAVEWES NGQPENNYKT TTPVLDSDGS 400
FFLYSRLTVD KSRWQEGNVF SCSVMHEALH NHYTQKLSL SLGK 444
```

Light chain / Chaîne légère / Cadena ligera

```
DIQMTQSPSS LSASVGDRTV ITCRASESVY KNNRLSWYQQ KPGKAPKLLI 50
YEASKVAGV PSRFSGSGG TDFTLTISSL QPEDFATYYC AGAYRGNIIY 100
FGQGTKVEIK RTVAAPSVFI FPPSDEQLKS GTASVCLLN NFPYREAKVQ 150
WKVDNALQSG NSQESVTEQD SKDSTYSLSS TLTLSKADYE KHKVYACEVT 200
HQLGSSPVTK SFNRGEC 217
```

Post-translational modifications

Disulfide bridges location / Position des ponts disulfure / Posiciones de los puentes disulfuro

Intra-H (C23-C104) 22-95 144-200 258-318 364-422
22"-95" 144"-200" 258"-318" 364"-422"

Intra-L (C23-C104) 23'-90' 137'-197'
23'''-90''' 137'''-197'''

Inter-H-L (CH1 10-CL 126) 131-217' 131"-217'''

Inter-H-H (h 8, h 11) 223-223" 226-226"

N-glycosylation sites / Sites de N-glycosylation / Posiciones de N-glicosilación

H CH2 N84.4: 294, 294"

Fucosylated complex bi-antennary CHO-type glycans / glycanes de type CHO bi-antennaires complexes fucosylés / glicanos de tipo CHO biantennarios complejos fucosilados

C-terminal lysine clipping / Coupure de la lysine C-terminale / Recorte de lisina C-terminal

H CHS K2: 444, 444"

ozisiranum

ozisiran

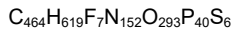
(2*RS*)-3-(1,23-bis[(2-acetamido-2-deoxy-β-D-galactopyranosyl)oxy]-14-[5-[(2-acetamido-2-deoxy-β-D-galactopyranosyl)oxy]pentanoyl]-5,19-dioxo-6,10,14,18-tetraazatricosan-10-yl)-2-hydroxy-3-oxopropyl hydrogen *all-P-ambo*-2'-O-methyl-*P*-thiocytidylyl-(3'→5')-2'-O-methyl-*P*-thiocytidylyl-(3'→5')-2'-O-methyluridylyl-(3'→5')-2'-O-methyluridylyl-(3'→5')-2'-O-methylguanylyl-(3'→5')-2'-O-methyladenylyl-(3'→5')-2'-deoxy-2'-fluoroguanlyl-(3'→5')-2'-deoxy-2'-fluoroguanlyl-(3'→5')-2'-deoxy-2'-fluorocytidylyl-(3'→5')-2'-O-methyladenylyl-(3'→5')-2'-O-methyluridylyl-(3'→5')-2'-O-methyladenylyl-(3'→5')-2'-O-methylcytidylyl-(3'→5')-2'-O-methyluridylyl-(3'→5')-2'-O-methyluridylyl-(3'→5')-2'-O-methylcytidylyl-(3'→5')-2'-O-methyladenylyl-(3'→5')-2'-O-methyladenylyl-(3'→5')-2'-O-methyl-3'-adenylate, duplex with *all-P-ambo*-2'-O-methyl-*P*-thiouridylyl-(5'→3')-2'-O-methyl-*P*-thiouridylyl-(5'→3')-2'-O-methylguanylyl-(5'→3')-2'-O-methyladenylyl-(5'→3')-2'-deoxy-2'-fluoroadenylyl-(5'→3')-2'-O-methylcytidylyl-(5'→3')-2'-deoxy-2'-fluorouridylyl-(5'→3')-2'-O-methylcytidylyl-(5'→3')-2'-O-methylcytidylyl-(5'→3')-2'-O-methylguanylyl-(5'→3')-2'-O-methyluridylyl-(5'→3')-2'-O-methyladenylyl-(5'→3')-2'-O-methyluridylyl-(5'→3')-2'-O-methylguanylyl-(5'→3')-2'-deoxy-2'-fluoroadenylyl-(5'→3')-2'-O-methyladenylyl-(5'→3')-2'-O-methylguanylyl-(5'→3')-2'-O-methyl-*P*-thiouridylyl-(5'→3')-2'-deoxy-2'-fluoro-*P*-thiouridylyl-(5'→3')-(5'*E*)-2'-O-methyl-5',*C*⁵-didehydro-*O*⁵-carba-5'-uridylic acid
hepatitis B virus (HBV) RNA transcript reducer, antiviral

ozisiran

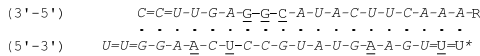
tout-P-ambo-2'-O-méthyl-*P*-thiocytidylyl-(3'→5')-2'-O-méthyl-*P*-thiocytidylyl-(3'→5')-2'-O-méthyluridylyl-(3'→5')-2'-O-méthyluridylyl-(3'→5')-2'-O-méthylguanylyl-(3'→5')-2'-O-méthyladénylyl-(3'→5')-2'-désoxy-2'-fluoroguanlyl-(3'→5')-2'-désoxy-2'-fluoroguanlyl-(3'→5')-2'-désoxy-2'-fluorocytidylyl-(3'→5')-2'-O-méthyladénylyl-(3'→5')-2'-O-méthyluridylyl-(3'→5')-2'-O-méthyladénylyl-(3'→5')-2'-O-méthylcytidylyl-(3'→5')-2'-O-méthyluridylyl-(3'→5')-2'-O-méthyluridylyl-(3'→5')-2'-O-méthylcytidylyl-(3'→5')-2'-O-méthyladénylyl-(3'→5')-2'-O-méthyladénylyl-(3'→5')-2'-O-méthyl-3'-adénylate de (2*RS*)-3-(1,23-bis[(2-acétamido-2-désoxy-β-D-galactopyranosyl)oxy]-14-[5-[(2-acétamido-2-désoxy-β-D-galactopyranosyl)oxy]pentanoyl]-5,19-dioxo-6,10,14,18-tétraazatricosan-10-yl)-2-hydroxy-3-oxopropyle, duplex avec acide *tout-P-ambo*-2'-O-méthyl-*P*-thiouridylyl-(5'→3')-2'-O-méthyl-*P*-thiouridylyl-(5'→3')-2'-O-méthylguanylyl-(5'→3')-2'-O-méthylguanylyl-(5'→3')-2'-O-méthyladénylyl-(5'→3')-2'-désoxy-2'-fluoroadénylyl-(5'→3')-2'-O-méthylcytidylyl-(5'→3')-2'-désoxy-2'-fluorouridylyl-(5'→3')-2'-O-méthylcytidylyl-(5'→3')-2'-O-méthylcytidylyl-(5'→3')-2'-O-méthylguanylyl-(5'→3')-2'-O-méthyluridylyl-(5'→3')-2'-O-méthyladénylyl-(5'→3')-2'-O-méthyluridylyl-(5'→3')-2'-O-méthylguanylyl-(5'→3')-2'-désoxy-2'-fluoroadénylyl-(5'→3')-2'-O-méthyladénylyl-(5'→3')-2'-O-méthylguanylyl-(5'→3')-2'-O-méthyl-*P*-thiouridylyl-(5'→3')-2'-désoxy-2'-fluoro-*P*-thiouridylyl-(5'→3')-(5'*E*)-2'-O-méthyl-5',*C*⁵-didéhydro-*O*⁵-carba-5'-uridylique
réducteur de transcription de l'ARN du virus de l'hépatite B (VHB), antiviral

ozisirán

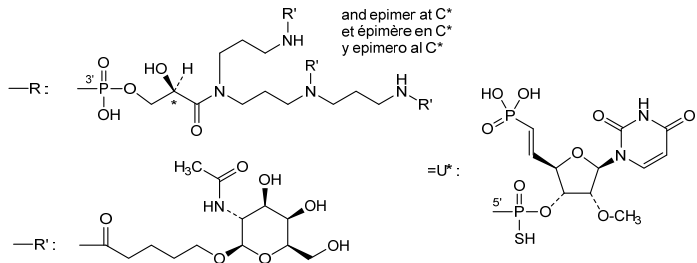
*todo-P-ambo-2'-O-metil-P-tiocitidilil-(3'→5')-2'-O-metil-P-tiocitidilil-(3'→5')-2'-O-metiluridilil-(3'→5')-2'-O-metiluridilil-(3'→5')-2'-O-metilguanilil-(3'→5')-2'-O-metiladenilil-(3'→5')-2'-desoxi-2'-fluoroguanilil-(3'→5')-2'-desoxi-2'-fluorocitidilil-(3'→5')-2'-O-metiladenilil-(3'→5')-2'-O-metiluridilil-(3'→5')-2'-O-metiladenilil-(3'→5')-2'-O-metilcitidilil-(3'→5')-2'-O-metiluridilil-(3'→5')-2'-O-metiluridilil-(3'→5')-2'-O-metilcitidilil-(3'→5')-2'-O-metiladenilil-(3'→5')-2'-O-metiladenilil-(3'→5')-hidrógeno-2'-O-metil-3'-adenilato de (2RS)-3-(1,23-bis[(2-acetamido-2-desoxi-β-D-galactopiranosil)oxi]-14-{5-[(2-acetamido-2-desoxi-β-D-galactopiranosil)oxi]pentanoil}-5,19-dioxo-6,10,14,18-tetraaztricosan-10-il)-2-hidroxi-3-oxopropilo, duplex con ácido *todo-P-ambo-2'-O-metil-P-tiouridilil-(5'→3')-2'-O-metil-P-tiouridilil-(5'→3')-2'-O-metilguanilil-(5'→3')-2'-O-metilguanilil-(5'→3')-2'-O-metiladenilil-(5'→3')-2'-O-metiladenilil-(5'→3')-2'-O-metilcitidilil-(5'→3')-2'-O-metilcitidilil-(5'→3')-2'-O-metiluridilil-(5'→3')-2'-O-metiluridilil-(5'→3')-2'-O-metilguanilil-(5'→3')-2'-O-metilguanilil-(5'→3')-2'-O-metil-P-tiouridilil-(5'→3')-2'-desoxi-2'-fluoro-P-tiouridilil-(5'→3')-(5'E)-2'-O-metil-5',C^{5'}-didehidro-O^{5'}-carba-5'-uridílico*
*reductor de la transcripción de ARN del virus de la hepatitis B (HBV), antiviral**



3061406-96-7



N : 2'-O-methyl-N / 2'-O-méthyl-N / 2'-O-metil-N
 N̄ : 2'-deoxy-2'-fluoro-N / 2'-désoxy-2'-fluoro-N / 2'-desoxi-2'-fluoro-N
 - : -PO(OH)- = : -PO(SH)-



palacaparibum
 palacaparib

6-fluoro-5-{4-[(5-fluoro-2-methyl-3-oxo-3,4-dihydroquinoxalin-6-yl)methyl]piperazin-1-yl}-N-methylpyridine-2-carboxamide
poly (ADP-ribose) polymerase (PARP) inhibitor, antineoplastic

palacaparib

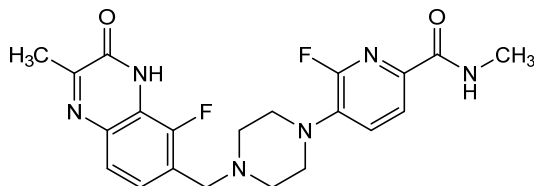
6-fluoro-5-{4-[(5-fluoro-2-méthyl-3-oxo-3,4-dihydroquinoxalin-6-yl)méthyl]pipérazin-1-yl}-N-méthylpyridine-2-carboxamide
inhibiteur de la poly-ADP-ribose polymérase, antinéoplasique

palacaparib

6-fluoro-5-{4-[(5-fluoro-2-metil-3-oxo-3,4-dihidroquinoxalin-6-il)metil]piperazin-1-il}-N-metilpiridina-2-carboxamida
inhibidor de poli-ADP-ribosa polimerasa, antineoplásico

C₂₁H₂₂F₂N₆O₂

2756333-39-6

**pariceractum**

pariceract

5,7-dimethyl-*N*-[*trans*-4-(pentyloxy)cyclohexyl]pyrazolo[1,5-*a*]pyrimidine-3-carboxamide
beta-glucocerebrosidase activator, antiparkinsonian

paricéract

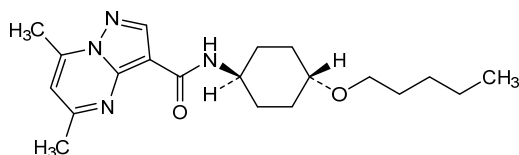
5,7-diméthyl-*N*-[*trans*-4-(pentyloxy)cyclohexyl]pyrazolo[1,5-*a*]pyrimidine-3-carboxamide
activateur de bêta-glucocérébrosidase, antiparkinsonien

pariceract

5,7-dimetil-*N*-[*trans*-4-(pentiloxi)ciclohexil]pirazolo[1,5-*a*]pirimidina-3-carboxamida
activador de la glucocerebrosidasa beta, antiparkinsoniano

C₂₀H₃₀N₄O₂

1919820-28-2

**pasodacigibum**

pasodacigib

6-fluoro-1-methyl-4-[4-(5-methyl-1,3-benzoxazol-2-yl)piperidin-1-yl]-2-oxo-1,2-dihydroquinoline-3-carboxamide
diacylglycerol kinase inhibitor, antineoplastic

pasodacigib

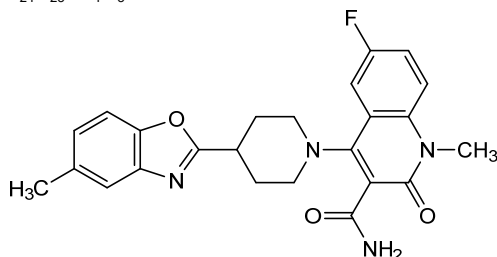
6-fluoro-1-méthyl-4-[4-(5-méthyl-1,3-benzoxazol-2-yl)piperidin-1-yl]-2-oxo-1,2-dihydroquinoléine-3-carboxamide
inhibiteur de diacylglycérol kinase, antinéoplasique

pasodacigib

6-fluoro-1-metil-4-[4-(5-metil-1,3-benzoxazol-2-il)piperidin-1-il]-2-oxo-1,2-dihidroquinoleina-3-carboxamida
inhibidor de la diacilglicerol kinasa, antineoplásico

C₂₄H₂₃FN₄O₃

2648721-77-9



perzebertinibum

perzebertinib

5-[[[(4*R*)-3,3-difluoro-1-methylpiperidin-4-yl]oxy]-6-methoxy-*N*-{3-methyl-4-[[[1,2,4]triazolo[1,5-*c*]pyrimidin-7-yl]oxy]phenyl}quinazolin-4-amine*epidermal growth factor receptor tyrosine kinase inhibitor, antineoplastic*

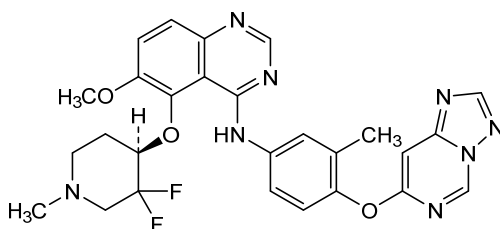
perzébertinib

5-[[[(4*R*)-3,3-difluoro-1-méthylpipéridin-4-yl]oxy]-6-méthoxy-*N*-{3-méthyl-4-[[[1,2,4]triazolo[1,5-*c*]pyrimidin-7-yl]oxy]phényl}quinazolin-4-amine*inhibiteur de la tyrosine kinase du récepteur du facteur de croissance épidermique, antinéoplasique*

perzebertinib

5-[[[(4*R*)-3,3-difluoro-1-metilpiperidin-4-il]oxi]-*N*-{3-metil-4-[[[1,2,4]triazolo[1,5-*c*]pirimidin-7-il]oxi]fenil}-6-metoxiquinazolin-4-amina*inhibidor de la tirosina kinasa del receptor del factor de crecimiento epidérmico, antineoplásico*C₂₇H₂₆F₂N₈O₃

2414056-31-6

**petadeferitrium**

petadeferitrim

(4*S*)-2-[2-hydroxy-4-[2-(2-methoxyethoxy)ethoxy]phenyl]-4-methyl-4,5-dihydro-1,3-thiazole-4-carboxylic acid*iron chelating agent*

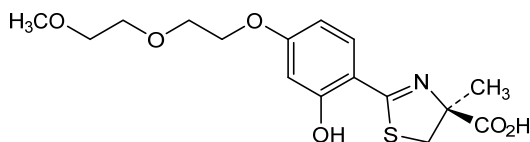
pétadéféritrine

acide (4*S*)-2-[2-hydroxy-4-[2-(2-méthoxyéthoxy)éthoxy]phényl]-4-méthyl-4,5-dihydro-1,3-thiazole-4-carboxylique*chélateur du fer*

petadeferitrima

ácido (4*S*)-2-[2-hidroxi-4-[2-(2-metoxietoxi)etoxi]fenil]-4-metil-4,5-dihidro-1,3-tiazol-4-carboxílico*quelante del hierro*C₁₆H₂₁NO₆S

911714-45-9

**peturadolom**

peturadol

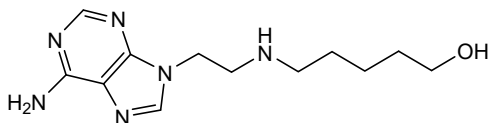
5-[[2-(6-amino-9*H*-purin-9-yl)ethyl]amino]pentan-1-ol*central analgesic*

péturadol 5-[[2-(6-amino-9*H*-purin-9-yl)éthyl]amino]pentan-1-ol
analgésique central

peturadol 5-[[2-(6-amino-9*H*-purin-9-il)etil]amino]pentan-1-ol
analgésico central

C₁₂H₂₀N₆O

686301-48-4



pezatresgenum leucelum #
pezatresgene leucel

allogeneic T lymphocytes derived from peripheral blood mononuclear cells (PBMCs) of a haploidentical hematopoietic cell transplantation (HCT) donor that is negative for the HA-1 genotype and/or negative for HLA A*02, engineered by transposon/transposase-mediated gene delivery to express a T cell receptor (TCR) that is specific for a 9-amino acid peptide (VLHDDLLEA) termed HA-1 derived from the Rho GTPase-activating protein 45 (ARHGAP45) and presented on HLA-A*02:01. The TCR comprises α and β subunits separated by a P2A self-cleaving peptide. The transgene also encodes a codon-optimised CD8 co-receptor consisting of α and β chains separated by a P2A self-cleaving peptide, with the CD8 co-receptor separated from the TCR by an additional P2A self-cleaving peptide. Each P2A sequence is preceded by a furin cleavage site. A 16 amino acid epitope encoding a portion of human CD34 is incorporated into the N-terminus of the CD8 α chain. The transgene is under the control of a murine stem cell virus (MSCV) promoter, a Woodchuck hepatitis virus post-transcriptional response element and a simian virus 40 (SV40) polyadenylation (polyA) signal.

The transposase (Armyworm transposase) is introduced in form of an mRNA that comprises an anti-reverse cap analogue, a *Xenopus* globin 5' untranslated region (UTR), a Kozak sequence, the transposase open reading frame, and a *Xenopus* globin 3' UTR. The transgene is introduced via a nanoplasmid DNA vector and contains inverted terminal repeats (ITRs).

The leukapheresis material is electroporated with mRNA transposase as well as the nanoplasmid transposon followed by activation with CD2, CD3 and CD28 agonists. The cells are then grown in serum free media supplemented with interleukin 2 (IL-2), interleukin 7 (IL-7) and interleukin 15 (IL-15). The T lymphocytes ($\geq 95\%$) are positive for the transgene ($\geq 80\%$ TCR+) and release interferon- gamma (IFN- γ) in response to co-culture with THP-1 cells that express the HA-1 target peptide
cell-based gene therapy (antineoplastic)

pézatresgène leucel

lymphocytes T allogéniques dérivés de cellules mononucléaires du sang périphérique (CMSP) d'un donneur haploidentiques de greffe de cellules hématopoïétiques (GCH) qui sont ngatifs pour le génotype HA-1 et/ou négatifs pour HLA A*02, modifiés par un système de délivrance de gènes par transposon/transposase pour exprimer un récepteur de lymphocytes T (TCR) spécifique d'un peptide de 9 acides aminés (VLHDDLLEA) appelé HA-1, dérivé de la protéine activatrice Rho GTPase 45 (ARHGAP45) et présenté sur HLA-A*02:01. Le TCR comprend des sous-unités α

et β , séparées par un peptide auto-clivant P2A. Le transgène code également avec des codons optimisés un co-récepteur CD8, constitué de chaînes α et β , séparées par un peptide auto-clivant P2A, le co-récepteur CD8 étant séparé du TCR par un autre peptide auto-clivant P2A.

Chaque séquence P2A est précédée d'un site de clivage de la furine. Un épitope de 16 acides aminés codant une partie du CD34 humain est incorporé à l'extrémité N-terminale de la chaîne CD8 α . Le transgène est sous le contrôle d'un promoteur du virus des cellules souches murines (MSCV), d'un élément de réponse post-transcriptionnelle du virus de l'hépatite de la marmotte et d'un signal de polyadénylation (polyA) du virus simien 40 (SV40).

La transposase (transposase de la chenille légionnaire) est introduite sous la forme d'un ARNm qui comprend un analogue de la coiffe anti-inverse, une région 5' non traduite (UTR) de la globine de *Xenopus*, une séquence de Kozak, le cadre de lecture ouvert de la transposase et une région 3' UTR de la globine de *Xenopus*. Le transgène est introduit via l'ADN nanoplasmidique et contient des répétitions terminales inversées (RTI).

Le matériel de leucaphérèse est électroporé avec l'ARNm de la transposase ainsi que le transposon nanoplasmidique, suivie d'une activation avec des agonistes CD2, CD3 et CD28. Les cellules sont ensuite cultivées dans un milieu sans sérum, supplémenté en interleukine 2 (IL-2), d'interleukine 7 (IL-7) et d'interleukine 15 (IL-15). Les lymphocytes T ($\geq 95\%$) sont positifs au transgène ($\geq 80\%$) et libèrent de l'interféron gamma (IFN- γ) en réponse à une co-culture avec des cellules THP-1 qui expriment le peptide cible HA-1

thérapie génique à base de cellules (antinéoplasique)

pezatresgén leucel

linfocitos T alogénicos derivados de células mononucleares de sangre periférica (PBMCs) de un donante de transplante de células hematopoyéticas (HCT) haploidéntico que es negativo para el genotipo HA-1 y/o negativo para HLA A*02, manipulados mediante un sistema de entrega genética mediado por transposón/transposasa para expresar el receptor de células T (TCR) que es específico para un péptido de 9 amino ácidos (VLHDDLLEA) llamado HA-1, derivado de la proteína activadora de GTPasa Rho 45 (ARHGAP45) y presentado en HLA-A*02:01. El TCR consta de subunidades α y β separadas por un péptido de auto-escisión P2A. El transgén también codifica, con codones optimizados, un correceptor CD8 que contiene cadenas α y β separadas por un péptido de auto-escisión P2A, con el correceptor CD8 separado del TCR por otro péptido de auto-escisión P2A. Cada secuencia P2A está precedida por un sitio de escisión de furina. En la zona N-terminal de la cadena CD8 α se incorpora un epítipo de 16 amino ácidos que codifica una porción del CD34 humano. El transgén está bajo el control de un promotor del virus de células madre murino (MSCV), un elemento de respuesta post-transcripcional del virus de la hepatitis de la marmota (WPRE) y una señal de poliadenilación (poliA) del virus simio 40 (SV40).

La transposasa (transposasa de gusano soldado) se introduce en forma de un ARNm que contiene un análogo de caperuza anti-reverso, una región sin traducir (UTR) en 5' de la globina de *Xenopus*, una secuencia Kozak, el marco de lectura abierto de la transposasa, y una UTR en 3' de la globina de *Xenopus*. El transgén se introduce mediante un nanoplásmido de ADN y contiene repeticiones terminales invertidas (ITRs).

pivodisgenum parvecum #

pivodisgene parvec

recombinant, non-replicating adeno-associated virus serotype 8 (rAAV8) vector, encoding a codon-optimised miniaturised version of human dystrophin (microdystrophin variant ABD1-H1-R1-R2-R3-H3-R24-H4-CR-CT194), under control of a synthetic muscle-specific promoter (SPc5-12) and a small synthetic polyadenylation signal; flanked by AAV2 inverted terminal repeats.

The expressed microdystrophin variant contains the actin-binding domain 1 (ABD1), four rod domains (R1-3, R24), three hinge domains (H1, H3, H4) and a cysteine rich (CR) domain; it also features the proximal portion of the C-terminal domain, amino acids 3361-3554 (CT194)

gene therapy (muscular dystrophy)

pivodisgène parvec

vecteur recombinant de virus adéno-associé de sérotype 8 (rAAV8), non répliquatif, codant une version miniaturisée, optimisée en codons, de la dystrophine humaine (variante de microdystrophine ABD1-H1-R1-R2-R3-H3-R24-H4-CR-CT194), sous le contrôle d'un promoteur synthétique spécifique du muscle (SPc5-12) et d'un petit signal synthétique de polyadénylation; flanqué des répétitions terminales inversées AAV2.

Le variant de microdystrophine exprimé contient le domaine de liaison à l'actine 1 (ABD1), quatre domaines en bâtonnets (R1-3, R24), trois domaines charnières (H1, H3, H4), et un domaine riche en cystéine (CR); il contient également la partie proximale du domaine C-terminal, acides aminés 3361-3554 (CT194)

thérapie génique (dystrophie musculaire)

pivodisgén parvec

vector de virus adenoasociado del serotipo 8, recombinante (rAAV8), no replicativo, que codifica, con codones optimizados, una versión miniaturizada de la distrofina humana (microdistrofina variante ABD1-H1-R1-R2-R3-H3-R24-H4-CR-CT194), bajo el control de un promotor sintético específico de músculo (SPc5-12) y una pequeña señal de poliadenilación sintética; flanqueado por las repeticiones terminales invertidas del AAV2.

La variante de microdistrofina expresada contiene el dominio 1 de unión a actina (ABD1), cuatro dominios rod (R1-3, R24), tres dominios bisagra (H1, H3, H4) y un dominio rico en cisteína (CR); también presenta la porción proximal del domino C-terminal, amino ácidos 3361-3554 (CT194)

terapia génica (distrofia muscular)

2648631-52-9

plencifgenum parvecum #

plencifgene parvec

recombinant, non-replicating adeno-associated virus (AAV) vector (with capsid variant A101) encoding codon-optimised human cystic fibrosis transmembrane conductance regulator (CFTR) with the regulatory domain deleted (CFTRΔR), under control of a 173bp cytomegalovirus (CMV173) minimal promoter and a short synthetic polyadenylation signal; flanked by AAV2 inverted terminal repeats.

The variant A101 capsid is a chimera consisting primarily of serotype AAV1 but also including amino acids from serotypes AAV2, AAV4, AAV6 and AAV9

gene therapy (cystic fibrosis)

plencifgène parvec

vecteur de virus adéno-associé (AAV) recombinant, non réplécatif (avec variante de capsid A101) codant un régulateur humain de conductance transmembranaire de la mucoviscidose (CFTR), optimisé en codons, avec le domaine régulateur supprimé (CFTRΔR), sous le contrôle d'un promoteur minimal de cytomégalo virus de 173 paires de bases (CMV173), et un court signal de polyadénylation synthétique; flanqué des répétitions terminales inversées AAV2. La capsid variante A101 est une chimère, constituée principalement du sérotype AAV1, mais comprenant également des acides aminés des sérotypes AAV2, AAV4, AAV6 et AAV9
thérapie génique (mucoviscidose)

plencifgén parvec

vector de virus adenoasociado (AAV) recombinante, no replicativo (con la variante de cápsid A101), que codifica, con codones optimizados, el regulador de la conductancia de transmembrana de la fibrosis quística (CFTR) humano con el domino regulador delecionado (CFTRΔR), bajo el control de un promotor mínimo de 173 bp del citomegalovirus (CMV173) y una señal sintética corta de poliadenilación; flanqueado por las repeticiones terminales invertidas de AAV2. La variante de cápsid A101 es una quimera que consta primariamente del serotipo AAV1 pero también incluye amino ácidos de los serotipos AAV2, AAV4, AAV6 y AAV9
terapia génica (fibrosis quística)

2737363-32-3

plodicitinibum

plodicitinib

1-[(3S,4R)-3-({2-[(1-ethyl-1H-pyrazol-4-yl)amino]-7H-pyrrolo[2,3-d]pyrimidin-4-yl)oxy)-4-fluoropiperidin-1-yl]prop-2-en-1-one
Janus tyrosine kinase 3/TEC family kinase inhibitor, anti-inflammatory (veterinary use)

plodicitinib

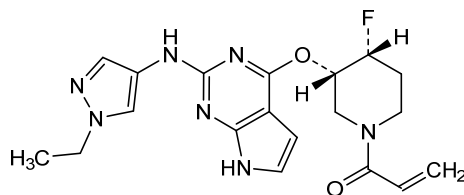
1-[(3S,4R)-3-({2-[(1-éthyl-1H-pyrazol-4-yl)amino]-7H-pyrrolo[2,3-d]pyrimidin-4-yl)oxy)-4-fluoropipéridin-1-yl]prop-2-én-1-one
inhibiteur des kinases Janus 3 et de la famille TEC, anti-inflammatoire (usage vétérinaire)

plodicitinib

1-[(3S,4R)-3-({2-[(1-etil-1H-pirazol-4-il)amino]-7H-pirrolo[2,3-d]pirimidin-4-il)oxi)-4-fluoropiperidin-1-il]prop-2-en-1-ona
inhibidor de la familia de kinasas 3/TEC Janus, antiinflamatorio (uso veterinario)

C₁₉H₂₂FN₇O₂

2360992-48-7



plozalizumabum plevistinagum #
plozalizumab plevistinag

immunoglobulin G1-kappa, anti-[*Homo sapiens* CCR2 (chemokine (C-C motif) receptor 2, C-C chemokine receptor 2, CC-CKR-2, CKR-2, monocyte chemoattractant protein 1 receptor, MCP-1-R, CD192)], humanized monoclonal antibody, conjugated, on an average of 3.8-4.4 cysteinyl residues, to *dazostinag* (a STING agonist) via a cleavable linker;
H-gamma1 heavy chain humanized (1-447) [VH (*Homo sapiens*IGHV3-73*01 (86.9%) - (IGHD) -IGHJ1*01 (100%), CDR-IMGT [8.10.8] (26-33.51-60.99-106)) (1-117) -*Homo sapiens* IGHG1*01, G1m17,1 CH1 K120, CH3 D12, L14, 6-G1v3-1 A1.2, A1 (CH1 K120 (214) (118-215), hinge 1-15 (216-230), CH2 L1.2>A (235), G1>A (237) (231-340), CH3 D12 (356), L14 (358) (341-445), CHS (446-447)) (118-447)], (220-219')-disulfide with L-kappa light chain humanized (1'-219') [V-KAPPA (*Homo sapiens* IGKV2-30*02 (90.0%) -IGKJ5*01 (100%), CDR-IMGT [11.3.9] (27'-37'.55'-57'.94'-102')) (1'-112') -*Homo sapiens* IGKC*01 (100%) Km3 A45.1, V101 (C-KAPPA A45.1 (158'), V101 (196')) (113'-219')]; dimer (226-226":229-229")-bisdisulfide, produced in a cell line from Chinese hamster ovary (CHO) cells, derived from the cell line CHO-K1, glycoform alfa; substituted at the sulfur atoms of four L-cysteinyl residues on average among 220, 226, 229, 219', 220", 226", 229" and 219" with (3*RS*)-1-[(28*S*)-28-[[[(2*S*)-1-[[[(2*S*)-1-{4-[[{(2-{cyclo[(*P*³*R*)-2'-deoxy-2'-fluoro-*P*-thioadenylyl-(3'→5')-(*P*²*R*)-7-fluoro-7-carba-*P*-thioinosinyl-(2'→5')]-*N*^{β,1}-carbonyl)phenyl)methyl](methyl)carbamoyl]oxy)methyl]anilino}-1-oxopropan-2-yl]amino]-3-methyl-1-oxobutan-2-yl]carbamoyl]-26-oxo-2,5,8,11,14,17,20,23-octaoxa-27-azadotriacontan-32-yl]-2,5-dioxopyrrolidin-3-yl] (*plevistinag*) groups
antineoplastic

plozalizumab plévistinag

immunoglobuline G1-kappa, anti-[*Homo sapiens* CCR2 (récepteur 2 de chimiokine (C-C motif), récepteur 2 de chimiokine C-C, CC-CKR-2, CKR-2, récepteur de la protéine 1 chimio-attractrice du monocyte, MCP-1-R, CD192)], anticorps monoclonal humanisé; conjugué, sur 4,1 (3,8-4,4) cystéinyl en moyenne, via un linker maléimide-peg-val-ala-PAB clivable, à un agoniste synthétique de STING1 (stimulateur de la réponse à l'interféron cGAMP interacteur 1), conjugué sur une moyenne de 3,8 à 4,4 résidus cystéinyle au *dazostinag* (un agoniste du STING) via un linker clivable;

chaîne lourde H-gamma1 humanisée (1-447) [VH (*Homo sapiens* IGHV3-73*01 (86.9%) -(IGHD)-IGHJ1*01 (100%), CDR-IMGT [8.10.8] (26-33.51-60.99-106)) (1-117) -*Homo sapiens* IGHG1*01 G1m17,1 CH1 K120, CH3 D12, L14, 6-G1v3-1 A1.2, A1 (CH1 K120 (214) (118-215), charnière 1-15 (216-230), CH2 L1.2>A (235), G1>A (237) (231-340), CH3 D12 (356), L14 (358) (341-445), CHS (446-447)) (118-447)], (220-219')-disulfure avec la chaîne légère L-kappa humanisée (1'-219') [V-KAPPA (*Homo sapiens* IGKV2-30*02 (90.0%) -IGKJ5*01 (100%), CDR-IMGT [11.3.9] (27'-37'.55'-57'.94'-102'')) (1'-112') -*Homo sapiens* IGKC*01 (100%) Km3 A45.1, V101 (C-KAPPA A45.1 (158'), V101 (196')) (113'-219')]; dimère (226-226":229-229")-bisdisulfure, produit dans une lignée cellulaire des cellules ovariennes de hamster chinois (CHO), dérivant de la lignée cellulaire CHO-K1, glycoforme alfa, substitué sur les atomes de soufre de 4 résidus L-cystéinyle en moyenne parmi 220, 226, 229, 219', 220", 226", 229" et 219"" avec des groupes (3RS)-1-[(28S)-28-[[[(2S)-1-[[[(2S)-1-{4-[[[(2-{ciclo[(P³R)-2'-désoxy-2'-fluoro-P-thioadénylyl-(3'→5')-(P²R)-7-fluoro-7-carba-P-thiinosinyl-(2'→5')]-N⁶.1-carbonyl]phényl)méthyl](méthyl)carbamoyl]oxy)méthyl]anilino]-1-oxopropan-2-yl]amino]-3-méthyl-1-oxobutan-2-yl]carbamoyl]-26-oxo-2,5,8,11,14,17,20,23-octaoxa-27-azadotriacontan-32-yl]-2,5-dioxopyrrolidin-3-yle (*plévistinag*)
antineoplasique

plozalizumab plevistinag

immunoglobulina G1-kappa, anti-[*Homo sapiens* CCR2 (receptor 2 de quimiokina (C-C motif), receptor 2 de quimiokina C-C, CC-CKR-2, CKR-2, receptor de la protéina 1 quimioatrayente de monocitos, MCP-1-R, CD192)], anticuerpo monoclonal humanizado, conjugado, en un promedio de 3,8-4,4 residuos de cisteinilo, al *dazostinag* (un agonista del STING), a través de un enlace escindible; cadena pesada gamma1 humanizada (1-447) [VH (*Homo sapiens* IGHV3-73*01 (86.90%) -(IGHD)-IGHJ1*01 (100%), CDR-IMGT [8.10.8] (26-33.51-60.99-106)) (1-117) -*Homo sapiens* IGHG1*01, G1m17,1 CH1 K120, CH3 D12, L14, 6-G1v3-1 A1.2, A1 (CH1 K120 (214) (118-215), bisagra 1-15 (216-230), CH2 L1.2>A (235), G1>A (237) (231-340), CH3 D12 (356), L14 (358) (341-445), CHS (446-447)) (118-447)], (220-219')-disulfuro con la cadena ligera L-kappa humanizada (1'-219') [V-KAPPA (*Homo sapiens* IGKV2-30*02 (90.0%) -IGKJ5*01 (100%), CDR-IMGT [11.3.9] (27'-37'.55'-57'.94'-102'')) (1'-112') -*Homo sapiens* IGKC*01 (100%) Km3 A45.1, V101 (C-KAPPA A45.1 (158'), V101 (196'))(113'-219')]; dímero (226-226":229-229")-bisdisulfuro, producido en una línea celular de las células ováricas de hámster chino (CHO), línea celular derivada de CHO-K1, forma glicosilada alfa, substituido en los átomo de azufre de 4 residuos L-cisteinilo por término medio entre 220, 226, 229, 219', 220", 226", 229" y 219"" con grupos (3RS)-1-[(28S)-28-[[[(2S)-1-[[[(2S)-1-{4-[[[(2-{ciclo[(P³R)-2'-desoxi-2'-fluoro-P-thiadenilil-(3'→5')-(P²R)-7-fluoro-7-carba-P-thiinosinilil-(2'→5')]-N⁶.1-carbonil]fenil]metil](metil)carbamoil]oxi)metil]anilino]-1-oxopropan-2-il]amino]-3-metil-1-oxobutan-2-il]carbamoil]-26-oxo-2,5,8,11,14,17,20,23-octaoxa-27-azadotriacontan-32-il]-2,5-dioxopyrrolidin-3-ilo (*plevistinag*)
antineoplásico

- disulfide with L-kappa light chain *Homo sapiens* (1'-215') [V-KAPPA (*Homo sapiens* IGKV3-20*01 (95.8%) -IGKJ3*01 (91.7%), CDR-IMGT [7.3.9] (27'-33'.51'-53'.90'-98')) (1'-108') -*Homo sapiens* IGKC*01 (100%) Km3 A45.1, V101 (C-KAPPA A45.1 (154'), V101 (192')) (109'- 215')]; dimer (230-230":233-233")-bisdisulfide, produced in Chinese hamster ovary (CHO) cells, derived from the cell line CHO-K1, lacking the glutamine synthetase (GS-KO) gene, glycoform alfa
antiviral
- potravítug immunoglobuline G1-kappa, anti-[protéine majeure VP1 de la capside du polyomavirus BK (BKV) (betapolyomavirus hominis)], anticorps monoclonal *Homo sapiens*; chaîne lourde H-gamma1 *Homo sapiens* (1-451) [VH (*Homo sapiens* IGHV4-34*01 (87.5%) -(IGHD) -IGHJ4*01 (100%), CDR-IMGT [8.7.15] (26-33.51-57.96-110)) (1-121) -*Homo sapiens* IGHG1*03v (100%) G1m3>G1m17, nG1m1 CH1 K120, CH3 E12, M14 (CH1 R120>K (218) (122-219), charnière 1-15 (220-234), CH2 (235- 344), CH3 E12 (360), M14 (362) (345-449), CHS (450-451)) (122-451)], (224-215')-disulfure avec la chaîne légère L-kappa *Homo sapiens* (1'-215') [V-KAPPA (*Homo sapiens* IGKV3-20*01 (95.8%) -IGKJ3*01 (91.7%), CDR-IMGT [7.3.9] (27'-33'.51'-53'.90'-98')) (1'-108') -*Homo sapiens* IGKC*01 (100%) Km3 A45.1, V101 (C-KAPPA A45.1 (154'), V101 (192')) (109'-215')]; dimère (230-230":233-233")-bisdisulfure, produit dans des cellules ovariennes de hamster chinois (CHO), dérivant de la lignée cellulaire CHO-K1, ne présentant pas le gène de la glutamine synthétase (GS-KO), glycoforme alfa
antiviral
- potravítug inmunoglobulina G1-kappa, anti-[proteína importante VP1 de la cápside del poliomavirus BK (BKV) (betapoliomavirus hominis)], anticuerpo monoclonal *Homo sapiens*; cadena pesada H-gamma1 *Homo sapiens* (1-451) [VH (*Homo sapiens* IGHV4-34*01 (87.5%) -(IGHD) -IGHJ4*01 (100%), CDR-IMGT [8.7.15] (26-33.51-57.96-110)) (1-121) -*Homo sapiens* IGHG1*03v (100%) G1m3>G1m17, nG1m1 CH1 K120, CH3 E12, M14 (CH1 R120>K (218) (122-219), bisagra 1-15 (220-234), CH2 (235- 344), CH3 E12 (360), M14 (362) (345-449), CHS (450-451)) (122-451)], (224-215')-disulfuro con la cadena ligera L-kappa *Homo sapiens* (1'-215') [V-KAPPA (*Homo sapiens* IGKV3-20*01 (95.8%) -IGKJ3*01 (91.7%), CDR-IMGT [7.3.9] (27'-33'.51'-53'.90'-98')) (1'-108') -*Homo sapiens* IGKC*01 (100%) Km3 A45.1, V101 (C-KAPPA A45.1 (154'), V101 (192')) (109'- 215')]; dímero (230-230":233-233")-bisdisulfuro, producido en las células ováricas de hámster chino (CHO), línea celular derivada de CHO-K1, en ausencia del gen glutamina sintetasa (GS-KO), forma glicosilada alfa
antiviral

2923558-06-7

Heavy chain / Chaîne lourde / Cadena pesada
 QVQLQQWGAG LLKPFSETLSL TCAVYRGSFS AYYWTWFRQP PGKGLEWIGE 50
 INHRGYTNYN PSLRGRVSL VDTSKKQFSL KLRVNAADT AVYYCATLRS 100
 TSGWHDYFDY WQQGLTVTVS SASTKGPVSF PLAPSSKSTS GGTAALGCLV 150
 KDYFPEPVTV SWNSGALTSV VHTFFAVLQS SGLYSLSSVV TVPSSSLGTQ 200
 TYICNVNHKP SNTKVDKKEV PKSCDKTHTC PCCPAPELLG GPSVFLFPPK 250
 PKDTLMISRT PEVTCVVVDV SHEDPEVKFN WYVDGVEVHN AKTKPREEQY 300
 NSTYRVVSVL TVLHQDWLNG KEYKCKVSNK ALPAPIEKTI SKAKGQPREP 350
 QVYTLPPSRE EMTKNQVSLT CLVKGIFYPSD IAVEWESNGQ PENNYKTPP 400
 VLDSGDSFLL YSKLTVDKSR WQQGNVFCSS VMHEALHNYH TQKSLSLSPG 450
 K 451

Light chain / Chaîne légère / Cadena ligera
 EIVLTQSPGT LSLSPGERAT LSCRASQSVS SSVLAWYQQT PGQAPRLLIY 50
 GASSRATGIP DRFSGSGSGT DFTLTISRLE PEDFVYVYFCL QYGSPLTFG 100
 PGTKVDIKRT VAAPSVEIFP PSDEQLKSGT ASVVCLLNMF YPREAKVQWK 150
 VDNALQSGNS QESVTEQDSK DSTYSLSSLT TSKADYEKH KVIACEVTHQ 200
 GLSSPVTKSF NRGEC 215

Post-translational modifications

Disulfide bridges location / Position des ponts disulfure / Posiciones de los puentes disulfuro

Intra-H (C23-C104) 22-95 148-204 265-325 371-429
 22"-95" 148"-204" 265"-325" 371"-429"

Intra-L (C23-C104) 23"-89" 135"-195"
 23"-89" 135"-195"

Inter-H-L (h 5-CL 126) 224-215" 224"-215"

Inter-H-H (h 11, h 14) 230-230" 233-233"

N-terminal glutaminyl cyclization / Cyclisation du glutaminyle N-terminal / Ciclación del glutaminilo N-terminal

Q > pyrroglutamyl (pE, 5-oxopropyl) / pyrroglutamyle (pE, 5-oxopropyle) / piroglutamilo (pE, 5-oxoprolilo)
 H VH Q1: 1, 1"

N-glycosylation sites / Sites de N-glycosylation / Posiciones de N-glicosilación

H CH2 N84.4: 301, 301"

Fucosylated complex bi-antennary CHO-type glycans / glycanes de type CHO bi-antennaires complexes fucosylés / glicanos de tipo CHO biantenaricos complejos fucosilados

C-terminal lysine clipping / Coupure de la lysine C-terminale / Recorte de lisina C-terminal
H CHS K2: 451, 451"**prifetrastatum**

prifetrastat

2-methoxy-*N*-{4-methoxy-6-[(1*H*-pyrazol-1-yl)methyl]-1,2-benzoxazol-3-yl}benzene-1-sulfonamide
antineoplastic

prifétrastat

2-méthoxy-*N*-{4-méthoxy-6-[(1*H*-pyrazol-1-yl)méthyl]-1,2-benzoxazol-3-yl}benzène-1-sulfonamide
antineoplasique

prifetrastat

2-metoxi-*N*-{4-metoxi-6-[(1*H*-pirazol-1-il)metil]-1,2-benzoxazol-3-il}benzeno-1-sulfonamida
antineoplásico

C₁₉H₁₈N₄O₅S

2569008-99-5

**pruvonertinibum**

pruvonertinib

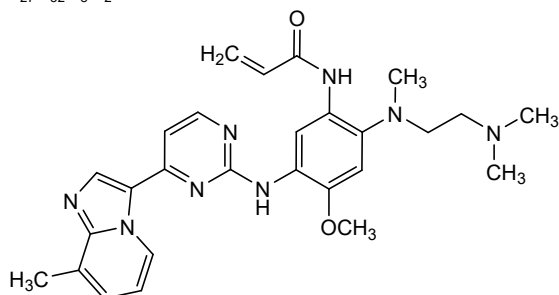
N-(2-[[2-(dimethylamino)ethyl](methyl)amino]-4-methoxy-5-[[4-(8-methylimidazo[1,2-*a*]pyridin-3-yl)pyrimidin-2-yl]amino]phenyl)prop-2-enamide
epidermal growth factor receptor tyrosine kinase inhibitor, antineoplastic

pruvonertinib *N*-(2-[[2-(diméthylamino)éthyl](méthyl)amino]-4-méthoxy-5-[[4-(8-méthylimidazo[1,2-*a*]pyridin-3-yl)pyrimidin-2-yl]amino]phényl)prop-2-énamide
inhibiteur de la tyrosine kinase du récepteur du facteur de croissance épidermique, antinéoplasique

pruvonertinib *N*-(2-[[2-(diméthylamino)éthyl](méthyl)amino]-5-[[4-(8-méthylimidazo[1,2-*a*]pyridin-3-yl)pyrimidin-2-yl]amino]-4-méthoxyphényl)prop-2-énamide
inhibidor del receptor del factor de crecimiento epidérmico, antineoplásico

C₂₇H₃₂N₈O₂

2064269-82-3



puliretgenum parvecum #
puliretgene parvec

recombinant non-replicating adeno-associated virus serotype 8 (rAAV8) vector encoding human cytochrome P450 family 4, subfamily V member 2 (CYP4V2) under control of a cytomegalovirus (CMV) immediate-early enhancer, chicken β -actin promoter and synthetic intron, and a bovine somatotropin polyadenylation signal; flanked by AAV2 inverted terminal repeats
gene therapy (Bietti's crystalline dystrophy)

puliretgène parvec

vecteur recombinant de virus adéno-associé non répliatif de sérotype 8 (rAAV8) codant le membre 2 de la sous-famille V, famille 4 du cytochrome P450 humain (CYP4V2), sous le contrôle d'un amplificateur précoce immédiat du cytomégalo virus (CMV), d'un promoteur de la β -actine de poulet et d'un intron synthétique, ainsi que d'un signal de polyadénylation de la somatotropine bovine; flanqué des répétitions terminales inversées AAV2
thérapie génique (dystrophie cristalline de Bietti)

puliretgén parvec

vector de virus adenoasociado del serotipo 8, recombinante (rAAV8), no replicativo, que codifica el miembro 2 de la subfamilia V, familia 4 del citocromo P450 (CYP4V2) bajo el control de un potenciador inmediato-temprano de citomegalovirus (CMV), promotor de la β -actina de pollo y un intrón sintético, y una señal de poliadenilación de la somatotropina bovina; flanqueado por las repeticiones terminales invertidas del AAV2
terapia génica (distrofia cristalina de Bietti)

2923507-02-0

pumitamigum #

pumitamig immunoglobulin (H-gamma1-VH_L-kappa) dimer, anti-[*Homo sapiens* VEGFA (vascular endothelial growth factor A, VEGF-A, VEGF)] and anti-[*Homo sapiens* CD274 (programmed cell death 1 ligand 1, PDL1, PD-L1, B7 homolog 1, B7H1, B7-H1, PDCD1LG1)], humanized monoclonal antibody, bispecific, tetravalent;
H-gamma1 heavy chain anti-VEGFA fused to a VH anti-CD274 (1-578) [H-gamma1 heavy chain anti-VEGFA humanized (1-452) [VH (*Homo sapiens*IGHV3-30*02 (76.8%) -(IGHD) -IGHJ4*01 (93.3%), CDR-IMGT [8.9.16] (26-33.51-59.97-112)) (1-123)-*Homo sapiens* IGHG1*01, G1m17,1 CH1 K120, CH3 D12, L14, 6-G1v14 CH2 A1.3, A1.2(CH1 K120 (220) (124-221), hinge 1-15 (222-236), CH2 L1.3>A (240), L1.2>A (241) (237-346), CH3 D12 (362), L14 (364) (347-451), CHS K2>del (452) (124-452))] -11-mer bis(tetraglycyl-seryl)-glycyl linker (453-463) -VH anti-CD274 humanized (*Homo sapiens* IGHV3-74*01 (88.8%) -(IGHD) -IGHJ3*01 (90.0%) W113>K (568), M118>Q (573), CDR-IMGT [8.8.8] (489-496.514-521.560-567)) (464-578)]; (226-214')-disulfide with L-kappa light chain humanized (1'-214') [V-KAPPA (*Homo sapiens* IGKV1-16*01 (88.4%) -IGKJ1*01 (100%), CDR-IMGT [6.3.9] (27'-32'.50'-52'.89'-97')) (1'-107') -*Homo sapiens* IGKC*01 (100%) Km3 A45.1, V101 (C-KAPPA A45.1 (153'), V101 (191')) (108'-214')]; dimer (232-232":235-235")-bisdisulfide, produced in Chinese hamster ovary (CHO) cells, cell line CHO-S, glycoform alfa
immunossuppressant, antineoplastic

pumitamig immunoglobuline (H-gamma1-VH_L-kappa) dimère, anti-[*Homo sapiens* VEGFA facteur de croissance A de l'endothélium vasculaire, VEGF-A, VEGF)] et anti-[*Homo sapiens* CD274 (ligand 1 de la protéine 1 de mort cellulaire programmée, PDL1, PD-L1, homologue B7.1, PDCD1LG1)], anticorps monoclonal humanisé, bispécifique, tétravalent;
chaîne lourde H-gamma1 anti-VEGFA fusionnée à un VH anti-CD274 (1-578) [chaîne lourde H-gamma1 anti-VEGFA humanisée (1-452) [VH (*Homo sapiens* IGHV3-30*02 (76.8%) -(IGHD) -IGHJ4*01 (93.3%), CDR-IMGT [8.9.16] (26-33.51-59.97-112)) (1-123)-*Homo sapiens* IGHG1*01, G1m17,1 CH1 K120, CH3 D12, L14, 6-G1v14 CH2 A1.3, A1.2(CH1 K120 (220) (124-221), charnière 1-15 (222-236), CH2 L1.3>A (240), L1.2>A (241) (237-346), CH3 D12 (362), L14 (364) (347-451), CHS K2>del (452) (124-452))] -11-mer bis(tétraglycyl-séryl)-glycyl linker (453-463) -VH anti-CD274 humanisée (*Homo sapiens* IGHV3-74*01 (88.8%) -(IGHD) -IGHJ3*01 (90.0%) W113>K (568), M118>Q (573), CDR-IMGT [8.8.8] (489-496.514-521.560-567)) (464-578)]; (226-214')-disulfure avec la chaîne légère L-kappa humanisée (1'-214') [V-KAPPA (*Homo sapiens* IGKV1-16*01 (88.4%) -IGKJ1*01 (100%), CDR-IMGT [6.3.9] (27'-32'.50'-52'.89'-97')) (1'-107') -*Homo sapiens* IGKC*01 (100%) Km3 A45.1, V101 (C-KAPPA A45.1 (153'), V101 (191')) (108'-214')]; dimère (232-232":235-235")-bisdisulfure, produit dans des cellules ovariennes de hamster chinois (CHO), lignée cellulaire CHO-S, glycoforme alfa
immunossuppresseur, antinéoplasique

pumitamig inmunoglobulina (H-gamma1-VH_L-kappa) dímero, anti-[*Homo sapiens* VEGFA factor de crecimiento A del endotelio vascular, VEGF-A, VEGF)] y anti-[*Homo sapiens* CD274 (ligando 1 de la proteína 1 de muerte celular programada, PDL1, PD-L1, homólogo B7.1, PDCD1LG1)], anticuerpo monoclonal humanizado, biespecífico, tetravalente;
cadena pesada H-gamma1 anti-VEGFA fusionada con un VH anti-CD274 (1-578) [cadena pesada H-gamma1 anti-VEGFA humanizada (1-452) [VH (*Homo sapiens* IGHV3-30*02 (76.8%) -(IGHD) -IGHJ4*01 (93.3%), CDR-IMGT [8.9.16] (26-33.51-59.97-112)) (1-123)-*Homo sapiens* IGHG1*01, G1m17,1 CH1 K120, CH3 D12, L14, 6-G1v14 CH2 A1.3, A1.2(CH1 K120 (220) (124-221), bisagra 1-15 (222-236), CH2 L1.3>A (240), L1.2>A (241) (237-346), CH3 D12 (362), L14 (364) (347-451), CHS K2>del (452) (124-452))] -11-mer bis(tetraglicil-seril)-glicil enlace (453-463) -VH anti-CD274 humanizada

(*Homo sapiens* IGHV3-74*01 (88.8%) -(IGHD) -IGHJ3*01 (90.0%) W113>K (568), M118>Q (573), CDR-IMGT [8.8] (489-496.514-521.560-567)) (464-578)]; (226-214')-disulfuro con la cadena ligera L-kappa humanizada (1'-214') [V-KAPPA (*Homo sapiens* IGKV1-16*01 (88.4%) -IGKJ1*01 (100%), CDR-IMGT [6.3.9] (27'-32'.50'-52'.89'-97')) (1'-107') -*Homo sapiens* IGKC*01 (100%) Km3 A45.1, V101 (C-KAPPA A45.1 (153'), V101 (191')) (108'-214)]; dímero (232-232''-235-235'')-bisdisulfuro, producido en las células ováricas de hámster chino (CHO), línea celular CHO-S, forma glicosilada alfa

2999726-97-3

Heavy chain / Chaîne lourde / Cadena pesada:

H-gamma1 anti-VEGFA fused to VH anti-CD274 (H, H')

```

EVQLVESGGG LVQPGGSLRL SCAASGYTFT NYGMNVVRQA PGKGLEWVGW 50
INTYTGEPY AADFKRRFTF SLDTSKSTAY LQMNSLRAED TAVYYCAKYP 100
HYGSSSHWYF DVWQGQTLVT VSSASTKGPS VFPLAPSSKS TSGGTAALGC 150
LVKDYFFPEPV TVSWNSGALT SGVHTFPAVL QSSGLYSLSS VVTVPSSSLG 200
TQTYICNVNH KFSNTKVKDKK VEPKSCDKTH TCPPCPAPEA AGGSPVFLFP 250
PKPKDTLMIS RTPEVTCVVV DVSHEDPEVK FNWYVDGVEV HNAKTKFREE 300
QYNSTYRVVS VLTVLHQDWL NGKEYKCKVS NKALPAPIEK TISKAKQQR 350
EPQVYTLPPS RDELTKNQVS LTCLVKGFYP SDIAVEWESN GQPENNYKTT 400
PPVLDSGGSF FLYSKLTVDK SRWQQGNVFS CSVMHEALHN HYTQKLSLS 450
PGGGGSGGGG GSGEVQLQES GGLVQPGGS LRLSCAASGF TFSYWMYWL 500
RQAPGKLEW VSSINSDSSS TYRDSVGRGR FTISRDNKN TLYLQMSLK 550
SEDVAVYCA KDPGGYAKGQ GTQVTVSS 578

```

Light chain / Chaîne légère / Cadena ligera: L-kappa : anti-VEGFA (L', L'')

```

DIQMTQSPSS LSASVGRVT ITCSASQDIS NYLNWYQQKPK GKAPKVLIIYF 50
TSSLHSGVPS RFSGSGSGTD FTLTISSLQP EDFATYYCQQ YSTVPWTFGQ 100
GTKVEIKRTV AAPSVEIFPP SDEQLKSGTA SVVCLLNNFY PREAKVQWKV 150
DNALQSGNSQ ESVTEQDSKD STYSLSSLT LSKADYEKHK VYACEVTHQG 200
LSSPVTKSFN RGENC 214

```

Post-translational modifications

Disulfide bridges location / Position des ponts disulfure / Posiciones de los puentes disulfuro

Intra-H (C23-C104) 22-96 150-206 267-327 373-431 485-559
 22"-96" 150"-206" 267"-327" 373"-431" 485"-559"

Intra-L (C23-C104) 23"-88" 134"-194"
 23'''-88''' 134'''-194'''

Intra-H-L (h 5-CL 126) 226-214' 226"-214''

Inter-H-H (h 11, h 14) 232-232'' 235-235''

N-glycosylation sites / Sites de N-glycosylation / Posiciones de N-glicosilación

H CH2 N84.4: 303, 303"

Fucosylated complex bi-antennary CHO-type glycans / glycanes de type CHO bi-antennaires complexes fucosylés / glicanos de tipo CHO biantennarios complejos fucosilados.

ralometostatium

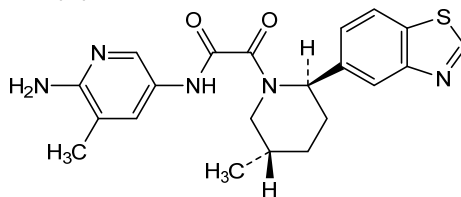
ralometostat *N*-(6-amino-5-methylpyridin-3-yl)-2-[(2*R*,5*S*)-2-(1,3-benzothiazol-5-yl)-5-methylpiperidin-1-yl]-2-oxoacetamide
antineoplástico

ralométostat *N*-(6-amino-5-méthylpyridin-3-yl)-2-[(2*R*,5*S*)-2-(1,3-benzothiazol-5-yl)-5-méthylpiperidin-1-yl]-2-oxoacetamide
antineoplasique

ralometostat *N*-(6-amino-5-metilpiridin-3-il)-2-[(2*R*,5*S*)-2-(1,3-benzotiazol-5-il)-5-metilpiperidin-1-il]-2-oxoacetamida
antineoplástico

C₂₁H₂₃N₅O₂S

2760481-53-4



ramantamigum #

ramantamig immunoglobulin (H-gamma1-scFvkh_L-lambda2)_scFvkh-G1(h-CH2-CH3), anti-[*Homo sapiens* CD3E (CD3 epsilon, Leu-4)], anti-[*Homo sapiens* GPRC5D (G protein-coupled receptor class C group 5 member D)] and anti-[*Homo sapiens* TNFRSF17 (tumor necrosis factor (TNF) receptor superfamily member 17, B cell maturation antigen, BCMA, TNFRSF13A, CD269)], *Homo sapiens* monoclonal antibody; trispécifique, trivalent;

H-gamma1 heavy chain anti-CD3E fused to a scFvkh anti-GPRC5D (1-721) [H-gamma1 heavy chain anti-CD3E *Homo sapiens* (1-450) [VH (*Homo sapiens* IGHV6-1*01 (88.1%) -(IGHD) -IGHJ4*01 (100%), CDR-IMGT [10.9.10] (26-35.53-61.100-109)) (1-120)-*Homo sapiens* IGHG1*03v, G1m3>G1m17, nG1m1 CH1 K120, CH3 E12, M14, 6-G1v14-67 CH2 A1.3, A1.2, S27, 14-G1v33 CH3 S22, A24, V86 (hole), 10-G1v83 CH3 R115, F116 (CH1 R120>K (217) (121-218), hinge 1-15 (219-233), CH2 L1.3>A (237), L1.2>A (238), D27>S (268) (234-343), CH3 E12 (359), M14 (361), T22>S (369), L24>A (371), Y86>V (410), H115>R (438), Y116>F (439) (344-448), CHS (449-450)) (121-450)] -20-mer tetrakis(tétraglycyl-séryl) linker (451-470) -scFvkh anti-GPRC5D *Homo sapiens* (471-721) [V-KAPPA (*Homo sapiens* IGKV2-24*01 (99.0%) -IGKJ2*02 (100%), CDR-IMGT [11.3.9] (497-507.525-527.564-572)) (471-582) -20-mer (GGSEKSSSGSGSESSTGGS) linker (583-602) -VH (*Homo sapiens* IGHV2-26*04 (93.9%) -IGHD -IGHJ6*01 (100%), CDR-IMGT [10.7.11] (628-637.655-661.700-710)) (603-721)]; (223-215')-disulfide with L-lambda2 light chain anti-CD3E *Homo sapiens* (1'-216') [V-LAMBDA (*Homo sapiens* IGLV2-23*02 (84.8%) -IGLJ2*01 (90.9%), CDR-IMGT [9.3.10] (26'-34'.52'-54'.91'-100'')] (1'-110') -*Homo sapiens* IGLC2*01 (100%) (C-LAMBDA2) (111'-216')]; fused heavy chain scFvkh-G1(h-CH2-CH3) anti-TNFRSF17 *Homo sapiens* (1"-484") [scFvkh anti-TNFRSF17 *Homo sapiens* (1"-252") [V-KAPPA (*Homo sapiens* IGKV3-20*01 (94.8%) -IGKJ2*01 (100%), CDR-IMGT [7.3.10] (27"-33".51"-53".90"-99'')] (1"-109'')] -20-mer (GGSEKSSSGSGSESSTGGS) linker (110"-129'')] -VH (*Homo sapiens* IGHV3-23*01 (100%) -(IGHD) -IGHJ6*01 (94.4%), CDR-IMGT [8.8.16] (155"-162".180"-187".226"-241'')] (130"-252'')] -*Homo sapiens* IGHG1*03v h-CH2-CH3-CHS, nG1m1 CH3 E12, M14, 6-G1v14-67 CH2 A1.3, A1.2, S27, 14-G1v32 CH3 W22 (knob), 15-G1v37 hinge S5 [(hinge 1-15 C5>S(257'')] (253"-267''), CH2 L1.3>A (271''), L1.2>A (272''), D27>S (302'')] (268"-377''), CH3 E12 (393''), M14 (395''), T22>W (403'')] (378"-482''), CHS (483"-484'')] (253"-484'')]]; dimer (229-263''): 232-266'')-bisdisulfide, produced in Chinese hamster ovary (CHO) cells, glycoform alfa *antineoplastique*

ramantamig immunoglobuline (H-gamma1-scFvkh_L-lambda2)_scFvkh-G1(h-CH2-CH3), anti-[*Homo sapiens* CD3E (CD3 epsilon, Leu-4)], anti-[*Homo sapiens* GPRC5D (membre D du groupe 5 de la classe C des récepteurs couplés aux protéines G)] and anti-[*Homo sapiens* TNFRSF17 (membre 17 de la superfamille des récepteurs du facteur de nécrose tumorale (TNF), antigène de maturation de cellule B, BCMA, TNFRSF13A, CD269)], anticorps monoclonal *Homo sapiens*; trispécifique, trivalent;

chaîne lourde H-gamma1 anti-CD3E fusionnée à un scFvkh anti-GPRC5D (1-721) [H-gamma1 heavy chain anti-CD3E *Homo sapiens* (1-450) [VH (*Homo sapiens* IGHV6-1*01 (88.1%) -(IGHD) -IGHJ4*01 (100%), CDR-IMGT [10.9.10] (26-35.53-61.100-109)) (1-120)-*Homo sapiens* IGHG1*03v, G1m3>G1m17, nG1m1 CH1 K120, CH3 E12, M14, 6-G1v14-67 CH2 A1.3, A1.2, S27, 14-G1v33 CH3 S22, A24, V86 (hole), 10-G1v83 CH3 R115, F116 (CH1 R120>K (217) (121-218), charnière 1-15 (219-233), CH2 L1.3>A (237), L1.2>A (238), D27>S (268) (234-343), CH3 E12 (359), M14 (361), T22>S (369), L24>A (371), Y86>V (410), H115>R (438), Y116>F (439) (344-448), CHS (449-450)) (121-450)] -20-mer tétrakis(tétraglycyl-séryl) linker (451-470) -scFvkh anti-GPRC5D *Homo sapiens* (471-721) [V-KAPPA (*Homo sapiens* IGKV2-24*01 (99.0%) -IGKJ2*02 (100%), CDR-IMGT [11.3.9] (497-507.525-527.564-572)) (471-582) -20-mer (GGSEKSSSGSGSESSTGGS) linker (583-602) -VH (*Homo sapiens* IGHV2-26*04 (93.9%) -IGHD -IGHJ6*01 (100%), CDR-IMGT [10.7.11] (628-637.655-661.700-710)) (603-721)]; (223-215')-disulfure avec la chaîne légère L-lambda2 anti-CD3E *Homo sapiens* (1'-216') [V-LAMBDA (*Homo sapiens* IGLV2-23*02 (84.8%) -IGLJ2*01 (90.9%), CDR-IMGT [9.3.10] (26'-34'.52'-54'.91'-100'')] (1'-110') -*Homo sapiens* IGLC2*01 (100%) (C-LAMBDA2) (111'-216')];

chaîne lourde fusionnée scFvkh-G1(h-CH2-CH3) anti-TNFRSF17 *Homo sapiens* (1"-484") [scFvkh anti-TNFRSF17 *Homo sapiens* (1"-252") [V-KAPPA (*Homo sapiens* IGKV3-20*01 (94.8%) -IGKJ2*01 (100%), CDR-IMGT [7.3.10] (27"-33".51"-53".90"-99")) (1"-109") -20-mer (GGSEKSSGSGSESKSTGGS) linker (110"-129") -[VH (*Homo sapiens* IGHV3-23*01 (100%) -(IGHD) -IGHJ6*01 (94.4%), CDR-IMGT [8.8.16] (155"-162".180"-187".226"-241")) (130"-252")] -*Homo sapiens* IGHG1*03v h-CH2-CH3-CHS, nG1m1 CH3 E12, M14, 6-G1v14-67 CH2 A1.3, A1.2, S27, 14-G1v32 CH3 W22 (knob), 15-G1v37 charnière S5 [(charnière 1-15 C5>S(257")) (253"-267"), CH2 L1.3>A (271"), L1.2>A (272"), D27>S (302") (268"-377"), CH3 E12 (393"), M14 (395"), T22>W (403") (378"-482"), CHS (483"-484") (253"-484")]]; dimère (229-263": 232-266")-bisdisulfuro, produit dans des cellules ovariennes de hamster chinois (CHO), glycoforme alfa *antineoplásique*

ramantamig

inmunoglobulina (H-gamma1-scFvkh_L-lambda2)_scFvkh-G1(h-CH2-CH3), anti-[*Homo sapiens* CD3E (CD3 épsilon, Leu-4)], anti-[*Homo sapiens* GPRC5D (miembro D del grupo 5 de la clase C de los receptores acoplados a proteínas G)] y anti-[*Homo sapiens* TNFRSF17 (miembro 17 de la superfamilia de los receptores del factor de necrosis tumoral (TNF), antígeno de maduración de célula B, BCMA, TNFRSF13A, CD269)], anticuerpo monoclonal *Homo sapiens*; trispecifico, trivalente; cadena pesada H-gamma1 anti-CD3E fusionada con un scFvkh anti-GPRC5D (1-721) [H-gamma1 cadena pesada anti-CD3E *Homo sapiens* (1-450) [VH (*Homo sapiens* IGHV6-1*01 (88.1%) -(IGHD) -IGHJ4*01 (100%), CDR-IMGT [10.9.10] (26-35.53-61.100-109)) (1-120)-*Homo sapiens* IGHG1*03v, G1m3>G1m17, nG1m1 CH1 K120, CH3 E12, M14, 6-G1v14-67 CH2 A1.3, A1.2, S27, 14-G1v33 CH3 S22, A24, V86 (hole), 10-G1v83 CH3 R115, F116 (CH1 R120>K (217) (121-218), bisagra 1-15 (219-233), CH2 L1.3>A (237), L1.2>A (238), D27>S (268) (234-343), CH3 E12 (359), M14 (361), T22>S (369), L24>A (371), Y86>V (410), H115>R (438), Y116>F (439) (344-448), CHS (449-450)) (121-450)] -20-mer tetrakis(tetraglicil-seril) enlace (451-470) -scFvkh anti-GPRC5D *Homo sapiens* (471-721) [V-KAPPA (*Homo sapiens* IGKV2-24*01 (99.0%) -IGKJ2*02 (100%), CDR-IMGT [11.3.9] (497-507.525-527.564-572)) (471-582) -20-mer (GGSEKSSGSGSESKSTGGS) enlace (583-602) -VH (*Homo sapiens* IGHV2-26*04 (93.9%) -IGHD -IGHJ6*01 (100%), CDR-IMGT [10.7.11] (628-637.655-661.700-710)) (603-721)]]; (223-215')-disulfuro con la cadena ligera L-lambda2 anti-CD3E *Homo sapiens* (1'-216') [V-LAMBDA (*Homo sapiens* IGLV2-23*02 (84.8%) -IGLJ2*01 (90.9%), CDR-IMGT [9.3.10] (26'-34'.52'-54'.91'-100')) (1'-110') -*Homo sapiens* IGLC2*01 (100%) (C-LAMBDA2) (111'-216')]]; cadena pesada fusionada scFvkh-G1(h-CH2-CH3) anti-TNFRSF17 *Homo sapiens* (1"-484") [scFvkh anti-TNFRSF17 *Homo sapiens* (1"-252") [V-KAPPA (*Homo sapiens* IGKV3-20*01 (94.8%) -IGKJ2*01 (100%), CDR-IMGT [7.3.10] (27"-33".51"-53".90"-99")) (1"-109") -20-mer (GGSEKSSGSGSESKSTGGS) enlace (110"-129") -[VH (*Homo sapiens* IGHV3-23*01 (100%) -(IGHD) -IGHJ6*01 (94.4%), CDR-IMGT [8.8.16] (155"-162".180"-187".226"-241")) (130"-252")] -*Homo sapiens* IGHG1*03v h-CH2-CH3-CHS, nG1m1 CH3 E12, M14, 6-G1v14-67 CH2 A1.3, A1.2, S27, 14-G1v32 CH3 W22 (knob), 15-G1v37 bisagra S5 [(bisagra 1-15 C5>S(257")) (253"-267"), CH2 L1.3>A (271"), L1.2>A (272"), D27>S (302") (268"-377"), CH3 E12 (393"), M14 (395"), T22>W (403") (378"-482"), CHS (483"-484") (253"-484")]]; dímero (229-263": 232-266")-bisdisulfuro, producido en las células ováricas de hámster chino (CHO), forma glicosilada alfa *antineoplásico*

2988886-91-3

Heavy chain / Chaîne lourde / Cadena pesada: fused H-gamma1 anti-CD3E -scFvkh anti-GPRC5D (H) (hole)

QVQLQQSGPR LVRPSQTLSSL TCAISGDSVFN NNAAWSWIR QSPSRGLEWL 50
 GRYYRYSKWL YDYAVSVKSR ITVNPDTSRN QFTLQLNSVT PFDALYYCA 100
 RGYSSSFDYW GQGTTLTVSS ASTKGFVSPFI LAPSSKSTSG GTAALGCLVK 150
 DYFPPEVTVS WNSGALTSVG HTFPAVLQSS GLYSLSSVVT VPSSSLGTQT 200
 YICNVNHKPS NTKVDKKVEP KSCDKTHTCP PCPAPFAAAG PSYFLFPPPK 250
 KDTLMISSRTP EVTCVVSVS HEDPEVKFNW YVDGVEVHNA KTKPREEQYN 300
 STYRVVSVLT VLHQDWLNGK EYKCKVSNKA LPAPIEKTIK KAKGQPREPQ 350
 VYTLPPSREE MTKNQVSLSC AVKGFYPSDI AVEWESNGQP ENNYKTTTPV 400
 LDSDGSGFFLV SKLTVDKSRW QQGNVFSVSV MHEALHNRFT QKSLSLSPGK 450
 GGGGSGGGGS GGGGSGGGGS DIVMTQTPLS SPVTLGQPAS ISCRSSQSLV 500
 HSDGNTYLSW LQQRPGQPPR LLIVKISNRF FGVPRDFSGS GAGTDFTLKI 550
 SRVEAEDVGV YYCQMATQFP HTFGQGTKLE IKGGSEKSKS GSGSESKSTG 600
 GSOVTLKESG PVLVKPTEFL TLTCTVSGFS LTNIRMSVSW IRQPPGKALE 650
 WLAHIFSNDE KSYSTSLKSR LTISSRDTSKS QVVVLTNLVND PVDTATYYCA 700
 RMRLPYGMDV WQGTTVTIVS S 721

Light chain / Chaîne légère / Cadena ligera: L-kappa anti-CD3E (L)

QSALTQSPASV SSGSPQSITI SCTGTSSNIG TYKVFVSYQQ HDPKAPKVL 50
 YEYSKRPSGV SRSRFSGSKSG NTAALTLISGL QAEDQADYHC VSYAGSGTLL 100
 FGGQTKLTVL GQPKAAPSVT LFPPSSEELQ ANKATLVCLI SDFYPGAVTV 150
 AWKADSSPEVK AGVETTPSK QSNNKYAASS YLSLTPQWVK SHRSYSCQVT 200
 HEGSTVEKTV APTESK 216

Heavy chain / Chaîne lourde / Cadena pesada: fused scFvkh anti-TNFRSF17-G1(h-CH2-CH3) (H*) (knob)

EIVLTQSPGT LSLSPGERAT LSCRASQSSS SSFLTWYQQK PGQAPRLLIY 50
 GASRRATGIP DRFSGGGSGT DFTLTISRLE PEDFAVYVYQ HYGSSPMYTF 100
 GQGTKLEIKG GSEGGKSSGSG SESKSTGGSE VQLLESGGGL VQPGGSLRLS 150
 CAASGFTFSS YAMSWVRQAP GKGLEWVSAI SSGSGSTYYA DSVKGRFTIS 200
 RDSNKTLLYL QMNSLRAEDT AVYCYAKDEG YSSGHYVYGM VWGQGTTVTV 250
 SSEPKSSDKT HTCPPCPAPE AAGGSPVFLF PPKPKDTLMI SRTPEVTCVV 300
 VSVSHEDPEV KFNWYVDGVE VHNAKTKPRE EQYNSTYRVV SVLTVLHQDW 350
 LNKGEYKCKV SNKALPAPIE KTISKAKGQP REPQVYTLFP SREEMTKNQV 400
 SLWCLVKGFY PSDIAVEWES NQCPENNYKT TPPVLSDSGS PFLYSKLTVD 450
 KSRWQQGNVF SCSVMHEALH NHYTQKSLSL SPGK 484

Post-translational modifications

Disulfide bridges location / Position des ponts disulfure / Posiciones de los puentes disulfuro

Intra-H (C23-C104) 22-99 147-203 264-324 370-428 493-563 624-699
 23"-89" 151"-225" 298"-358" 404"-462"

Intra-L (C23-C104) 22'-90" 138"-197"

Intra-H-L (h 5-CL 126) 223-215'

Inter-H-H (h 11, h 14) 229-263" 232-266"

N-terminal glutaminyl cyclization / Cyclisation du glutaminyle N-terminal / Ciclación del glutamínilo N-terminal

Q > pyroglutamyl (pE, 5-oxoprolyl) / pyroglutamyle (pE, 5-oxoprolyle) / piroglutamilo (pE, 5-oxoprolylo)

H VH Q1: I

L VL V-LAMBDA Q1: I'

N-glycosylation sites / Sites de N-glycosylation / Posiciones de N-glicosilación

H CH2 N84.4: 300, 334"

Fucosylated complex bi-antennary CHO-type glycans / glycanes de type CHO bi-antennaires complexes fucosylés / glicanos de tipo CHO biantennarios complejos fucosilados.

C-terminal lysine clipping / Coupure de la lysine C-terminale / Recorte de lisina C-terminal
 H CHS K2: 484"

ranicabtagenm autoleucelum #

ranicabtagene autoleucel

autologous T lymphocytes obtained from peripheral blood mononuclear cells by leukapheresis, transduced with a non-replicating gamma-retroviral vector, encoding a chimeric antigen receptor targeting CD19, comprising a CD8α signal peptide, an anti-CD19 single chain variable fragment (scFv) (derived from clone FMC63), a CD8α hinge, a CD28 transmembrane region, an intracellular CD28 co-stimulatory and a CD3ζ signalling domain. The construct is flanked by 5' and 3' long terminal repeats (LTRs), derived from the myeloproliferative sarcoma virus (MPSV) and the murine embryonic stem cell virus (MESV), which contain a 5' LTR promoter and 3' LTR termination sequence. The vector also contains a psi packaging signal and is pseudotyped with gibbon ape leukemia virus (GALV) Env glycoprotein.

	<p>The leukapheresis material is enriched for CD3+ T lymphocytes by positive immunoselection, prior to activation with CD3 and CD28 agonists. The cells are then transduced with the retroviral vector and expanded in media containing interleukin 2 (IL-2). The T lymphocytes ($\geq 90\%$) are positive for the transgene ($\geq 20\%$ CAR positive), express CD107a ($\geq 20\%$) and demonstrate cytotoxicity towards CD19 expressing cells</p> <p><i>cell-based gene therapy (antineoplastic)</i></p>
ranicabtagène autoleucel	<p>lymphocytes T autologues obtenus à partir de cellules mononucléaires du sang périphérique par leucaphérèse, transduits avec un vecteur gamma-rétroviral non répliatif, codant un récepteur antigénique chimérique ciblant CD19, comprenant un peptide signal CD8α, un fragment variable à chaîne unique anti-CD19 (scFv) (dérivé du clone FMC63), une charnière CD8α, une région transmembranaire CD28, un domaine intracellulaire de co-stimulation CD28 et un domaine de signalisation CD3ζ. La construction est flanquée de répétitions terminales longues (LTRs) en 5' et en 3', dérivées du virus du sarcome myéloprolifératif (MPSV) et du virus des cellules souches embryonnaires murines (MESV), qui contiennent un promoteur LTR en 5', et une séquence de terminaison LTR en 3'. Le vecteur contient également un signal d'emballage ψ et est pseudotypé avec la glycoprotéine Env du virus de la leucémie du singe gibbon (GALV).</p> <p>Le matériel de leucaphérèse est enrichi en lymphocytes T CD3+ par immunosélection positive, avant activation avec des agonistes CD3 et CD28. Les cellules sont ensuite transduites avec le vecteur rétroviral et expansées dans un milieu contenant de l'interleukine 2 (IL-2). Les lymphocytes T ($\geq 90\%$) sont positifs pour le transgène ($\geq 20\%$ RAC positifs), expriment CD107a ($\geq 20\%$) et présentent une cytotoxicité envers les cellules exprimant CD19</p> <p><i>thérapie génique à base de cellules (antineoplasique)</i></p>
ranicabtagén autoleucel	<p>linfocitos T autólogos obtenidos de células mononucleares de sangre periférica por leucoaféresis, transducidos con un vector gamma retroviral, no replicativo, que codifica un receptor de antígenos quimérico dirigido a CD19, que consta de un péptido señal de CD8α, un fragmento variable de cadena sencilla (scFv) anti-CD19 (derivado del clon FMC63), una bisagra de CD8α, una región transmembrana de CD28, un dominio intracelular coestimulador de CD28 y un dominio de señalización de CD3ζ. El constructo está flanqueado por repeticiones terminales largas (LTRs) en 5' y 3', derivadas del virus del sarcoma mieloproliferativo (MPSV) y del virus de células madre embrionarias murino (MESV), que contienen un promotor 5' LTR y una secuencia de terminación 3' LTR. El vector también contiene una señal de empaquetamiento psi y está seudotipado con la glicoproteína Env del virus de la leucemia del Gibón (GALV).</p> <p>El material de leucoaféresis se enriquece en linfocitos T CD3+ mediante inmunoselección antes de la activación con agonistas de CD3 y CD28. Las células se transducen a continuación con el vector retroviral y se expanden en medio que contiene interleukina 2 (IL-2). Los linfocitos T ($\geq 90\%$) son positivos para el transgén ($\geq 20\%$ CAR positivos), expresan CD107a ($\geq 20\%$) y muestran citotoxicidad frente células que expresan CD19</p> <p><i>terapia génica basada en células (antineoplásico)</i></p>

rapaprutugum #

rapaprutug

immunoglobulin G1-kappa, anti-[*Homo sapiens* KARS1 (lysyl-tRNA synthetase 1)], *Homo sapiens* monoclonal antibody; H-gamma1 heavy chain *Homo sapiens* (1-446) [VH (*Homo sapiens* IGHV3-23*01 (92.9%) -(IGHD) -IGHJ4*01 (100%), CDR-IMGT [8.8.9] (26-33.51-58.97-105)) (1-116) -*Homo sapiens* IGHG1*01 (100%) G1m17,1 CH1 K120, CH3 D12, L14 (CH1 K120 (213) (117-214), hinge 1-15 (215-229), CH2 (230-339), CH3 D12 (355), L14 (357) (340-444), CHS (445-446)) (117-446)], (219-217')-disulfide with V-lambda-C-kappa light chain *Homo sapiens* (1'-217') [V-LAMBDA (*Homo sapiens* IGLV1-47*02 (88.5%) -IGLJ2*01 (100%), CDR-IMGT [8.3.11] (26'-33'.51'-53'.90'-100')) (1'-110') -*Homo sapiens* IGKC*01 (100%) Km3 A45.1, V101 (C-KAPPA A45.1 (156'), V101 (194')) (111'-217')]; dimer (225-225":228-228")-bisdisulfide, produced in Chinese hamster ovary (CHO) cells, derived from the cell line CHO-K1, lacking the glutamine synthetase (GS-KO) gene, glycoform alfa
anti-inflammatory

rapaprutug

immunoglobuline G1-kappa, anti-[*Homo sapiens* KARS1 (lysyl-ARNt synthétase 1)], anticorps monoclonal *Homo sapiens*; chaîne lourde H-gamma1 *Homo sapiens* (1-446) [VH (*Homo sapiens* IGHV3-23*01 (92.9%) -(IGHD) -IGHJ4*01 (100%), CDR-IMGT [8.8.9] (26-33.51-58.97-105)) (1-116) -*Homo sapiens* IGHG1*01 (100%) G1m17,1 CH1 K120, CH3 D12, L14 (CH1 K120 (213) (117-214), charnière 1-15 (215-229), CH2 (230-339), CH3 D12 (355), L14 (357) (340-444), CHS (445-446)) (117-446)], (219-217')-disulfure avec la chaîne légère V-lambda-C-kappa *Homo sapiens* (1'-217') [V-LAMBDA (*Homo sapiens* IGLV1-47*02 (88.5%) -IGLJ2*01 (100%), CDR-IMGT [8.3.11] (26'-33'.51'-53'.90'-100')) (1'-110') -*Homo sapiens* IGKC*01 (100%) Km3 A45.1, V101 (C-KAPPA A45.1 (156'), V101 (194')) (111'-217')]; dimère (225-225":228-228")-bisdisulfure, produit dans des cellules ovariennes de hamster chinois (CHO), dérivant de la lignée cellulaire CHO-K1, ne présentant pas le gène de la glutamine synthétase (GS-KO), glycoforme alfa
anti-inflammatoire

rapaprutug

immunoglobulina G1-kappa, anti-[*Homo sapiens* KARS1 (lisil-ARNt sintetasa 1)], anticuerpo monoclonal *Homo sapiens*; cadena pesada H-gamma1 *Homo sapiens* (1-446) [VH (*Homo sapiens* IGHV3-23*01 (92.9%) -(IGHD) -IGHJ4*01 (100%), CDR-IMGT [8.8.9] (26-33.51-58.97-105)) (1-116) -*Homo sapiens* IGHG1*01 (100%) G1m17,1 CH1 K120, CH3 D12, L14 (CH1 K120 (213) (117-214), bisagra 1-15 (215-229), CH2 (230-339), CH3 D12 (355), L14 (357) (340-444), CHS (445-446)) (117-446)], (219-217')-disulfuro con la cadena ligera V-lambda-C-kappa *Homo sapiens* (1'-217') [V-LAMBDA (*Homo sapiens* IGLV1-47*02 (88.5%) -IGLJ2*01 (100%), CDR-IMGT [8.3.11] (26'-33'.51'-53'.90'-100')) (1'-110') -*Homo sapiens* IGKC*01 (100%) Km3 A45.1, V101 (C-KAPPA A45.1 (156'), V101 (194')) (111'-217')]; dímero (225-225":228-228")-bisdisulfuro, producido en las células ováricas de hámster chino (CHO), línea celular derivada de CHO-K1, en ausencia del gen glutamina sintetasa (GS-KO), forma glicosilada alfa
antiinflamatorio

2994192-38-8

Heavy chain / Chaîne lourde / Cadena pesada (H, H¹) H-gammal

EVQLLESGGG LVQPGGSLRL SCAASGFTFS SYDMSWVRQA PGKGLEWVSA 50
 ISPSYSGRIYY ADSVKGRFTI SRDNSKNTLY LQMNSLRAED TAVYYCARM 100
 LDFDYWGQGT LVTVSSASTK GPSVFPLAPS SKSTSGGTAA LGCLVKDYFP 150
 EPVTVSWNSG ALTSGVHTFP AVLQSSGLYS LSSVVTVPSS SLGTQTYICN 200
 VNHKPSNTKV DKKVEPKSCD KTHTCPPCPA PELLGGPSVF LFPFKPKDTL 250
 MISRTPEVTC VVVDVSHEDP EVKFNWYVDG VEVHNAKTKP REEQYNSTYR 300
 VVSVLTVLHQ DWLNGKEYKC KVSNKALPAP IEKTIKSKAG QPREPOVYTL 350
 PPSRDELTKN QVSLTCLVKG FYPSDIAVEW ESNQQPENNY KTTTPVLDSD 400
 GSFFLYSKLT VDKSRWQQGN VFSCSVMHEA LHNHYTQKSL SLSPGK 446

Light chain / Chaîne légère / Cadena ligera (L, L¹) V-lambda-C-kappa

QSVLTQPPSA SGTGQQRVTI SCTGSSSNIG SNYVTWYQQL PGTAPKLLIY 50
 DNSNRPSGVP DRFSGSKSGT SASLAISGLQ SEDEADYCS SFDDELGAYV 100
 FGGGTKLTVL RTVAAPSVFI FPPSDEQLKS GTASVCLLN NFYPREAKVQ 150
 WKVDNALQSG NSQESVTEQD SKDSTYSLSS TLTLSKADYE KHKVYACEVT 200
 HQLLSPVTK SFNRGEC 217

Post-translational modifications

Disulfide bridges location / Position des ponts disulfure / Posiciones de los puentes disulfuro

Intra-H (C23-C104) 22-96 143-199 260-320 366-424
 22"-96" 143"-199" 260"-320" 366"-424"

Intra-L (C23-C104) 22"-89" 137"-197"
 22"-89" 137"-197"

Inter-H-L (h 5-CL 126) 219-217" 219"-217"

Inter-H-H (h 11, h 14) 225-225" 228-228"

N-terminal glutaminyl cyclization / Cyclisation du glutaminyle N-terminal / Ciclación del glutaminilo N-terminal

Q > pyroglutamyl (pE, 5-oxoprolyl) / pyroglutamyle (pE, 5-oxoprolyle) / piroglutamilo (pE, 5-oxoproliolo)

L VL V-LAMBDA Q1: 1', 1"

N-glycosylation sites / Sites de N-glycosylation / Posiciones de N-glicosilación

H CH2 N84.4: 296, 296"

Fucosylated complex bi-antennary CHO-type glycans / glycanes de type CHO bi-antennaires complexes fucosylés / glicanos de tipo CHO biantenaricos complejos fucosilados

C-terminal lysine clipping / Coupure de la lysine C-terminale / Recorte de lisina C-terminal
H CHS K2: 446, 446"**ratutrelvirum**

ratutrelvir

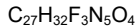
(1*R*,2*S*,5*S*)-*N*-{(1*S*)-1-cyano-2-[(3*RS*)-2-oxo-2,3-dihydro-1*H*-indol-3-yl]ethyl}-3-[(2*S*)-3,3-diméthyl-2-(2,2,2-trifluoroacétamido)butanoyl]-6,6-diméthyl-3-azabicyclo[3.1.0]hexane-2-carboxamide
protease inhibitor, antiviral

ratutrelvir

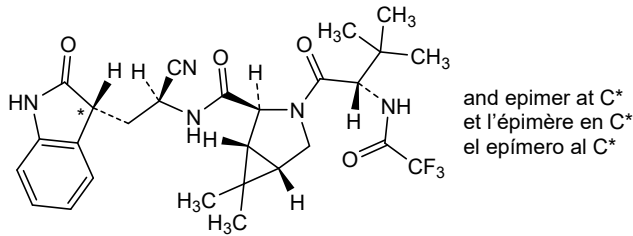
(1*R*,2*S*,5*S*)-*N*-{(1*S*)-1-cyano-2-[(3*RS*)-2-oxo-2,3-dihydro-1*H*-indol-3-yl]éthyl}-3-[(2*S*)-3,3-diméthyl-2-(2,2,2-trifluoroacétamido)butanoyl]-6,6-diméthyl-3-azabicyclo[3.1.0]hexane-2-carboxamide
inhibiteur de protéase, antiviral

ratutrelvir

(1*R*,2*S*,5*S*)-*N*-{(1*S*)-1-ciano-2-[(3*RS*)-2-oxo-2,3-dihidro-1*H*-indol-3-il]etil}-3-[(2*S*)-3,3-dimetil-2-(2,2,2-trifluoroacetamido)butanoil]-6,6-dimetil-3-azabicyclo[3.1.0]hexano-2-carboxamida
inhibidor de la proteasa, antiviral



2929236-94-0

**refisololum**

refisolone

10-hydroxy-16 α ,17 α -epoxyestr-4-en-3-one
GABA_A receptor antagonist, migraine

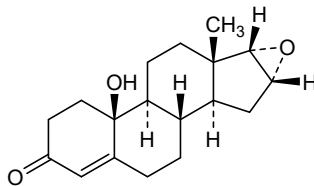
réfisolone

10-hydroxy-16 α ,17 α -époxyestr-4-én-3-one
antagoniste des récepteurs GABA_A, migraine

refisolona

10-hidroxi-16 α ,17 α -epoxiestr-4-en-3-ona
antagonista de los receptores GABA_A, migraña

202718-04-5

**retavibartum #**

retavibart

immunoglobulin G1-kappa, anti-[human respiratory syncytial virus (RSV) fusion glycoprotein F], *Homo sapiens* monoclonal antibody;
H-gamma1 heavy chain *Homo sapiens* (1-457) [VH (*Homo sapiens*IGHV5-51*01 (86.7%) -(IGHD) -IGHJ2*01 (93.8%), CDR-IMGT [8.8.20] (26-33.51-58.97-116))] (1-127) -*Homo sapiens* IGHG1*03, G1m3, nG1m1 CH1 R120, CH3 E12, M14, 9-G1v24 CH3 L107, S114 (CH1 R120 (224) (128-225), hinge 1-15 (226-240), CH2 (241-350), CH3 E12 (366), M14 (368), M107>L (438), N114>S (444) (351-455), CHS (456-457)) (128-457)], (230-215')-disulfide with L-kappa light chain *Homo sapiens* (1'-215') [V-KAPPA (*Homo sapiens* IGKV3-15*01 (92.6%) -IGKJ5*01 (91.7%) I126>N (107'), CDR-IMGT [6.3.10] (27'-32'.50'-52'.89'-98''))(1'-108') -*Homo sapiens* IGKC*01 (100%) Km3 A45.1, V101 (C-KAPPA A45.1 (154'), V101 (192')) (109'-215')]; dimer (236-236":239-239")-bisdisulfide, produced in Chinese hamster ovary (CHO) cells, cell line CHO-K1, glycoform alfa
antiviral

rétavibart

immunoglobuline G1-kappa, anti-[glycoprotéine de fusion F du virus respiratoire syncytial (VRS) humain], anticorps monoclonal *Homo sapiens*;
chaîne lourde H-gamma1 *Homo sapiens* (1-457) [VH (*Homo sapiens*IGHV5-51*01 (86.7%) -(IGHD) -IGHJ2*01 (93.8%), CDR-IMGT [8.8.20]

(26-33.51-58.97-116)) (1-127) -*Homo sapiens* IGHG1*03, G1m3, nG1m1 CH1 R120, CH3 E12, M14, 9-G1v24 CH3 L107, S114 (CH1 R120 (224) (128-225), charnière 1-15 (226-240), CH2 (241-350), CH3 E12 (366), M14 (368), M107>L (438), N114>S (444) (351-455), CHS (456-457)) (128-457)], (230-215')-disulfure avec la chaîne légère L-kappa *Homo sapiens* (1'-215') [V-KAPPA (*Homo sapiens* IGKV3-15*01 (92.6%) -IGKJ5*01 (91.7%) I126>N (107'), CDR-IMGT [6.3.10] (27'-32'.50'-52'.89'-98'')) (1'-108') -*Homo sapiens* IGKC*01 (100%) Km3 A45.1, V101 (C-KAPPA A45.1 (154'), V101 (192')) (109'-215')]; dimère (236-236":239-239")-bisdisulfure, produit dans des cellules ovariennes de hamster chinois (CHO), lignée cellulaire CHO-K1, glycoforme alfa
antiviral

retavibart

immunoglobulina G1-kappa, anti-[glicoproteína de fusión F del virus respiratorio sincitial (VRS) humano], anticuerpo monoclonal *Homo sapiens*; cadena pesada H-gamma1 *Homo sapiens* (1-457) [VH (*Homo sapiens* IGHV5-51*01 (86.7%) -(IGHD) -IGHJ2*01 (93.8%), CDR-IMGT [8.8.20] (26-33.51-58.97-116)) (1-127) -*Homo sapiens* IGHG1*03, G1m3, nG1m1 CH1 R120, CH3 E12, M14, 9-G1v24 CH3 L107, S114 (CH1 R120 (224) (128-225), bisagra 1-15 (226-240), CH2 (241-350), CH3 E12 (366), M14 (368), M107>L (438), N114>S (444) (351-455), CHS (456-457)) (128-457)], (230-215')-disulfuro con la cadena ligera L-kappa *Homo sapiens* (1'-215') [V-KAPPA (*Homo sapiens* IGKV3-15*01 (92.6%) -IGKJ5*01 (91.7%) I126>N (107'), CDR-IMGT [6.3.10] (27'-32'.50'-52'.89'-98'')) (1'-108') -*Homo sapiens* IGKC*01 (100%) Km3 A45.1, V101 (C-KAPPA A45.1 (154'), V101 (192')) (109'-215')]; dímero (236-236":239-239")-bisdisulfuro, producido en las células ováricas de hámster chino (CHO), línea celular CHO-K1, forma glicosilada alfa
antiviral

3023741-03-6

Heavy chain / Chaîne lourde / Cadena pesada

QQLVQSGAE	VKKPGESLKI	SCQSGYSFN	NYIIGVVRQM	PGKLEWMMVI	50
IYPGDSDTKY	SPSPQGGQVTV	SADRSINTAY	LQWSSLRASD	TAVYVCVRMD	100
TVTTGAGVGF	NWFFDLWGRG	TLVTVSSAST	KGPSVFPLAP	SSKTSGGTA	150
ALGCLVKDYF	PEPVTISWNS	GALTSGVHTF	PAVLQSSGLY	SLSSVVTVPS	200
SSLGTQTYIC	NVNHKPSNTK	VDKRVEPKSC	DKHTCPCPCP	APPELLGGPVS	250
FLFPPKPKDT	LMISRTPEVT	CVVVDVSHED	PEVKFNWYVD	GVEVHNAKTK	300
PREEQYNSTY	RVVSVLTVLH	QDWLNGKEYK	CKVSNKALPA	PIEKTISKAK	350
GQPREPQVYV	LPPSREEMTK	NQVSLTCLVK	GFYPSDIAVE	WESNGQPENN	400
YKTTTPVLDL	DGSFFLYSKL	TVDKSRWQQG	NVFSCSVLHE	ALSHYTKQS	450
LSLSPGK					457

Light chain / Chaîne légère / Cadena ligera

EIVLTQSPAT	LSVSPGERAT	LSCRASQSVT	SYLAWYQQK	QAPRLLIYG	50
ASSRATGVPA	RFSGSGSETE	FTLTISLSLQS	EDFAVYCCQQ	YNDWPAITFG	100
QGTRLENKRT	VAAPSVFIFP	PSDEQLKSGT	ASVVCLLNLF	YPREAKVQWK	150
VDNALQSGNS	QESVTEQDSK	DSTYLSLSTL	TLSKADYEKH	KVYACEVTHQ	200
GLSSPVTKSF	NRGEC				215

Post-translational modifications

Disulfide bridges location / Position des ponts disulfure / Posiciones de los puentes disulfuro

Intra-H (C23-C104)	22-96	154-210	271-331	377-435
	22"-96"	154"-210"	271"-331"	377"-435"
Intra-L (C23-C104)	23'-88'	135'-195'		
	23'''-88'''	135'''-195'''		
Inter-H-L (h 5-CL 126)	230-215'	230"-215''		
Inter-H-H (h 11, h 14)	236-236"	239-239''		

N-terminal glutaminyl cyclization / Cyclisation du glutaminyle N-terminal / Ciclación del glutaminilo N-terminal

Q> pyroglutamyl (pE, 5-oxopropyl) / pyroglutamyle (pE, 5-oxopropyle) / piroglutamilo (pE, 5-oxoprolilo)
H VH Q1:1, 1"

N-glycosylation sites / Sites de N-glycosylation / Posiciones de N-glicosilación

H CH2 N84.4:307, 307"

Fucosylated complex bi-antennary CHO-type glycans / glycanes de type CHO bi-antennaires complexes fucosylés / glicanos de tipo CHO biantenaricos complejos fucosilados

C-terminal lysine clipping / Coupure de la lysine C-terminale / Recorte de lisina C-terminal

H CHS K2:457, 457"

retogateinum # retogatein	<i>N</i> ^{2,1} -acetyl-[des-N-terminal methionyl]-glutamate decarboxylase 2 (<i>Homo sapiens</i>) (GAD2, 65 kDa glutamic acid decarboxylase, glutamate decarboxylase 65 kDa isoform, GAD65, EC:4.1.1.15), produced in <i>Spodoptera frugiperda</i> insect cells (cell line Sf9) <i>glutamate decarboxylase 2 (GAD2), immunomodulator</i>
rétogatéine	<i>N</i> ^{2,1} -acétyl-[des-méthionyle N-terminal]-glutamate décarboxylase 2 (<i>Homo sapiens</i>) (GAD2, 65 kDa acide glutamique décarboxylase, glutamate décarboxylase isoforme 65 kDa, GAD65, EC:4.1.1.15), produite par cellules d'insectes <i>Spodoptera frugiperda</i> (ligne cellulaire Sf9) <i>glutamate décarboxylase-2 (GAD2), immunomodulateur</i>
retogateína	<i>N</i> ^{2,1} -acetil-[des-metionilo N-terminal]-glutamato decarboxilasa 2 (<i>Homo sapiens</i>) (GAD2, 65 kDa ácido glutámico decarboxilasa, glutamato decarboxilasa isoforma 65 kDa, GAD65, EC:4.1.1.15), producido en células de insecto <i>Spodoptera frugiperda</i> (línea celular Sf9) <i>decarboxilasa 2 del glutamato (GAD2), inmunomodulador</i>

2938906-46-6

Sequence / Séquence / Secuencia

A SPGSGFWSF GSEDGSGDSE NPGTARAWCQ VAQKFTGGIG NKLCALLYGD	50
AEKPAESGGS QPPRAAARKA ACACDQKPCS CSKVDVNYAF LHATDLLPAC	100
DGERPTLAFI QDVMNILLQY VVKSFRDSTK VIDFHYPNEL LQEYNWELAD	150
QPQNLEEILM HCQTLLKYAI KTGHPRYFNQ LSTGLDMVGL AADWLTSTAN	200
TMMFTYEIAP VVLLLEYVTL KKMREIIGWP GSGDGI FSP GGAISNMYAM	250
MIARFKMFPE VKEKGMALP RLIIFTSEHS HFSLKKGAAA LGIGTDSVIL	300
IKCDERGKMI PSDLERRILE AKQKGFV PFL VSATAGTTYV GAFDPLLAVA	350
DICKKYKIWM HVDAAWGGGL LMSRKHKWLK SGVERANSVT WNPHKMMGVP	400
LQCSALLVRE EGLMQNCNQM HASYLFQQDK HYDLSYDTGD KALQCGRHVD	450
VFKLWLMWRA KGTTFGEAHV DKCLELAEYL YNI IKNREGY EMVFDGKPPH	500
TNVCFWYI PP SLRTLEDNEE RMSRLSKVAP VIKARMEY G TTMVSYQPLG	550
DKVNFRRMVI SNPAATHQDI DFLIEEIERL GQDL	582

Post-translational modifications

Removal of N-terminal methionyl

M⁰-delDisulfide bridge location / Position du pont disulfure / Posición del puente disulfuro
162-303 (rarely 162-403 or 303-403)

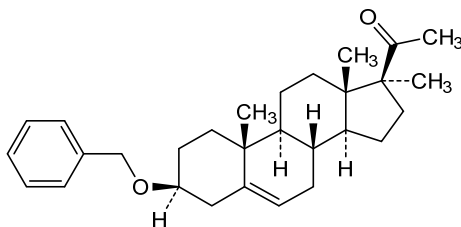
N-Acetylation site / Site de N-acétylation / Posición de N-acetilación

A1 = N-acetyl-L-alanylN-glycosylation sites / Sites de N-glycosylation / Posiciones de N-glicosilación
none / aucun / ninguna**K**³⁹⁵ = *N*⁶-(pyridoxal phosphate)-Lys

rezosiconum rezosicone	3β-(benzyloxy)-17-methylpregn-5-en-20-one <i>cannabinoid CB1 receptor signalling inhibitor</i>
rézosicone	3β-(benzyloxy)-17-méthylprégn-5-én-20-one <i>inhibiteur de signalisation du récepteur cannabinoïde CB1</i>
rezosicona	3β-(benciloxi)-17-metilpregn-5-en-20-ona <i>inhibidor de la señalización del receptor cannabinoide CB1</i>

C₂₉H₄₀O₂

1414777-24-4

**rezuforimodum**

rezuforimod

N-[(4-bromophenyl)carbamoyl]-L-leucylglycine
N-formyl peptide receptor 1 and 2 agonist, anti-inflammatory

rézuforimod

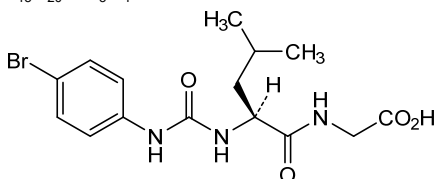
N-[(4-bromophényl)carbamoyl]-L-leucylglycine
 agoniste des récepteurs 1 et 2 du *N*-formyl peptide, anti-inflammatoire

rezuforimod

N-[(4-bromofenil)carbamoiil]-L-leucilglicina
 agonista de los receptores *N*-formil péptido 1 y 2, antiinflamatorio

C₁₅H₂₀BrN₃O₄

1431754-15-2

**ricefidasum #**

ricefidase

L-methionyl (1)-IgG endopeptidase (immunoglobulin G-degrading endopeptidase) of *Streptococcus equi* subsp. *zooepidemicus* strain H70 (ideE, ideZ), fragment 19-315 (2-298 in the actual sequence); produced by *Escherichia coli*; non-glycosylated immunosuppressant

ricéfidase

L-méthionyl (1)-IgG endopeptidase (endopeptidase qui dégrade l'immunoglobuline G, Ide) de *Streptococcus equi* subsp. *zooepidemicus* souche H70 (ideE, ideZ), fragment 19-315 (2-298 dans la séquence actuelle); produite par *Escherichia coli*; non-glycosylée immunosuppresseur

ricefidasa

L-metionil (1)-IgG endopeptidasa (endopeptidasa que degrada la inmunoglobulina G) de *Streptococcus equi* subsp. *zooepidemicus* cepa H70 (ideE, ideZ), fragmento 19-315 (2-298 en la secuencia actual); producida por *Escherichia coli*; no glicosilada inmunosupresor

3004804-10-5

Sequence / Séquence / Secuencia

M ITSVVTKGV TPLTPEQFRY NNEDVIHAPY LAHQGWYDIT KAFDGKDNLL	50
CGAATAGNML HWWFDQNKTE IEAYLSKHPD KQKIIFNQOE LFDLKAADIT	100
KDSQ ³ TNSQLF NYFRDKAFPV LSARQLGVMP DLVLDMFING YYLNVFKTQS	150
TDVNRPYQDK DKRGGIFDAV FTRGDQTTLL TARHDLKNKG LNDISTLIKQ	200
ELTEGRALAL SHTYANVSIS HVINLWGADF NAEGNLEAIY VTDSANASI	250
GMKKYFVGIN AHGHVAISAK KIEGENIGAQ VLGFLTSSG KDIWQKLS	298

Mutation / Mutation / Mutación

Q¹⁸->M¹

Post-translational modifications

Disulfide bridges location / Position des ponts disulfure / Posiciones de los puentes disulfuro
none / aucune / ningunaN-glycosylation sites / Sites de N-glycosylation / Posiciones de N-glicosilación
none / aucun / ninguna**rinvaterceptum #**
rinvatercept

glycyl (1)-chimeric N-terminal (1-108)-peptide (2-109) combined from the sequences of the extracellular domains of the human activin type 2A and 2B receptors (ACTR-2A/B, ACVR2A/B, activin receptor type IIA/B, ACTR-IIA/B, EC:2.7.11.30), fused via a G₃ peptide linker (110-112) to an immunoglobulin G1 (IgG1) Fc fragment (h-CH2-CH3-CHS domains)(113-339) [*Homo sapiens*IGHG1*01 (hinge (113-122), CH2 (123-232), CH3 (233-337), CHS (338-339))], dimer (118-118':121-121')-bisdisulfide, produced in Chinese hamster ovary (CHO) cells; glycoform alfa *activin receptor type 2A and 2B ligand trap, neuromuscular diseases*

rinvatercept

glycyl (1)-(1-108)-peptide N-terminal chimérique (2-109) combiné à partir des séquences des domaines extracellulaires des récepteurs d'activine de types 2A et 2B humains (ACTR-2A/B, ACVR2A/B, récepteur d'activine de type IIA/B, ACTR-IIA/B, EC:2.7.11.30), fusionné, via un coupleur peptidique G₃ (110-112), à un fragment Fc de l'immunoglobuline G1 (IgG1) (domaines h-CH2-CH3-CHS) (113-339) [*Homo sapiens*IGHG1*01 (charnière (113-122), CH2 (123-232), CH3 (233-337), CHS (338-339))], dimère (118-118',121-121')-bisdisulfure, produit dans des cellules ovariennes de hamster chinois (CHO); glycoforme alfa *piège à ligands des récepteurs d'activine de type 2A et 2B, maladies neuromusculaires*

rinvatercept

glicil (1)-(1-108)-péptido N-terminal quimérico (2-109) combinado a partir de las secuencias de los dominios extracelulares de los receptores de activina de tipos 2A y 2B humanos (ACTR-2A/B, ACVR2A /B, receptor de activina tipo IIA/B, ACTR-IIA/B, EC:2.7.11.30), fusionado mediante un enlazador peptídico G₃ (110-112) a un fragmento Fc de la inmunoglobulina G1 (IgG1) (dominios h-CH2-CH3-CHS) (113-339) [*Homo sapiens*IGHG1*01 (bisagra (113-122), CH2 (123-232), CH3 (233-337), CHS (338-339))]; dímero (118-118',121-121')-bisdisulfuro, producido en las células ováricas de hámster chino (CHO); glicoforma alfa *trampa de ligando del receptor de activina de tipo 2A y 2B, enfermedades neuromusculares*

2996105-98-5

Sequence / Séquence / Secuencia

GAILGRSETQ ECIYYNANWE LERTNQSGL E RCEGEQDKRL HCYASWRNSS 50
GTIEIVKQGC WLDDENCYDR TDCVEKKDSP QVYFCCCEGN MCNEKFSYFP 100
EMEVTOPTSG GGDKHTHTCPP CPAPELLGGP SVFLFPPKPK DTLMISRTP E 150
 VTCVVVDVSH EDPEVKFNWY VDGVEVHNAK TKPREEQYNS TYRVVSVLTV 200
 LHQDWLNGKE YKCKVSNKAL PAPIEKTISK AKGQPREPQV YTLPPSRDEL 250
 TKNQVSLTCL VKGFYPSDIA VEWESNGQPE NNYKTTTPVL DSDGSFFLYS 300
 KLTVDKSRWQ QGNVFSCSVM HEALHNHYTQ KLSLSLSPGK 339

Chimeric peptide / Peptide chimérique / Péptido quimérico

ACTR-2A: 1-10, 53-64, 66-80, 82-109

ACTR-2B: 11-52, 65, 81

Peptide linker / Peptide liant / Péptido de unión

¹¹⁰GGG¹¹²

Post-translational modifications

Disulfide bridges location / Position des ponts disulfure / Posiciones de los puentes disulfuro

ActRIIA/B: 12-42 32-60 67-86 73-85 87-92 IgG1 Fc: 153-213 259-317

12'-42' 32'-60' 67'-86' 73'-85' 87'-92' 153'-213' 259'-317'

inter-IgG1 Fc: 118-118' 121-121'

N-glycosylation sites / Sites de N-glycosylation / Posiciones de N-glicosilación

ActRIIA/B: N25, N48, N25', N48'; IgG1 Fc: N189, N189'

O-glycosylation sites / Sites de O-glycosylation / Posiciones de O-glicosilación

IgG1 Fc: T115, S131, T115', S131'

C-terminal lysine clipping / Coupure de la lysine C-terminale / Recorte de lisina C-terminal

K339, K339'

ristoglogenum autogetemcelum #

ristoglogene autogetemcel

autologous CD34+ hematopoietic stem and progenitor cells (HSPCs) obtained from peripheral blood by leukapheresis, genetically modified *ex vivo* by electroporation of a guide RNA (gRNA) that targets the two γ -globin gene (*HBG1* and *HBG2*) promoters and a messenger RNA (mRNA) that encodes the adenine base editor 8.8 (ABE8.8). When introduced into CD34+ cells by electroporation the gRNA binds to the translated ABE8.8 protein, which targets the promoter regions of *HBG1* and *HBG2*, resulting in adenine to inosine modifications which subsequently leads to an A to G change.

The ABE8.8 mRNA is composed of three parts: (i) an impaired form of the *Streptococcus pyogenes* CRISPR-associated nuclease Cas9, referred to as Cas9 D10A nickase (nCas9-D10A), (ii) an *Escherichia coli* derived TadA deaminase that catalyses the adenosine to inosine conversion within a small activity window along the exposed, single-stranded DNA (ssDNA) formed within the R-loop, (iii) a C-terminal nuclear localization signal (NLS).

The cell suspension is enriched for CD34+ cells using magnetic bead separation. Following electroporation, the cells are cultured in media containing thrombopoietin, Fms-related tyrosine kinase 3 ligand (Flt3L), and stem cell factor (SCF). The substance consists of cells with $\geq 85\%$ CD45+ and $\geq 75\%$ CD34+ purity and $\geq 75\%$ on-target editing.

cell-based gene therapy (hemoglobinopathy)

ristoglogène autogétemcel

cellules souches et progénitrices hématopoïétiques (CSPH) autologues CD34+, obtenues à partir de sang périphérique par leucaphérèse, génétiquement modifiées *ex vivo* par électroporation d'un ARN guide (ARNg) ciblant les deux

promoteurs du gène de la γ -globine (*HBG1* et *HBG2*) et un ARN messager (ARNm) qui code l'éditeur de bases d'adénine 8.8 (ABE8.8). Lorsqu'il est introduit dans les cellules CD34+ par électroporation, l'ARNg se lie à la protéine ABE8.8 traduite, qui cible les régions promotrices de *HBG1* et *HBG2*, entraînant des modifications de l'adénine en inosine, qui conduisent ensuite à un changement A>G.

L'ARNm ABE8.8 est composé de trois parties: (i) une forme altérée de la nucléase Cas9 associée à CRISPR de *Streptococcus pyogenes*, appelée Cas9 D10A nickase (nCas9-D10A); (ii) une désaminase TadA dérivée d'*Escherichia coli* qui catalyse la conversion de l'adénosine en inosine, dans une petite fenêtre d'activité le long de l'ADN simple brin (ADNsb) exposé formé dans la boucle R; (iii) un signal de localisation nucléaire C-terminal (SLN).

La suspension cellulaire est enrichie en cellules CD34+ par séparation des billes magnétiques. Après l'électroporation, les cellules sont cultivées dans un milieu contenant de la thrombopoïétine, du ligand de la tyrosine kinase 3 lié au Fms (Flt3L) et du facteur de cellules souches (FCS). La substance est constituée de cellules avec une pureté $\geq 85\%$ CD45+ et $\geq 75\%$ CD34+ et une édition sur cible $\geq 75\%$.

thérapie génique à base de cellules (hémoglobinopathie)

ristoglogén autogetemcel

células madre y progenitoras hematopoyéticas (HSPC) CD34+ autólogas, obtenidas de sangre periférica mediante leucoaféresis, modificadas genéticamente *ex vivo* mediante electroporación de un ARN guía (ARNg) dirigido a los promotores de los dos genes de la γ -globina (*HBG1* y *HBG2*) y un ARN mensajero (ARNm) que codifica el editor de bases de adenina 8.8 (ABE8.8). Cuando se introduce en las células CD34+ mediante electroporación, el ARNg se une a la proteína ABE8.8 traducida, la cual se dirige a las regiones promotoras de *HBG1* y *HBG2*, resultando en modificaciones de adenina a inosina que posteriormente conduce a un cambio de A a G.

El ARNm de ABE8.8 está compuesto por tres partes: (i) una forma dañada de la nucleasa Cas9 asociada a CRISPR de *Streptococcus pyogenes*, referida como nicasa Cas9 D10A (nCas9-D10A), (ii) una deaminasa TadA derivada de *Escherichia coli* que cataliza la conversión de adenosina a inosina en una pequeña ventana de actividad a lo largo del ADN de cadena sencilla (ssADN) que se forma dentro del bucle R, (iii) una señal de localización nuclear (NLS) C-terminal.

La suspensión celular se enriquece en células CD34+ mediante separación con bolas magnéticas. Tras la electroporación, las células se cultivan en medio que contiene trombopoietina, ligando de tirosina quinasa 3 similar a Fms (Flt3L) y factor de células madre (SCF). La substancia consta de células con una pureza de $\geq 85\%$ CD45+ y $\geq 75\%$ CD34+ y $\geq 75\%$ de edición en el sitio diana

terapia génica basada en células (hemoglobinopatía)

rizavasertibum
rizavasertib

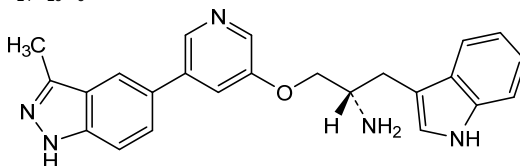
(2S)-1-(1H-indol-3-yl)-3-[[5-(3-methyl-1H-indazol-5-yl)pyridin-3-yl]oxy]propan-2-amine
serine/threonine kinase inhibitor

rizavasertib (2*S*)-1-(1*H*-indol-3-yl)-3-[[5-(3-méthyl-1*H*-indazol-5-yl)pyridin-3-yl]oxy]propan-2-amine
inhibiteur de sérine/thréonine kinases

rizavasertib (2*S*)-1-(1*H*-indol-3-il)-3-[[5-(3-metil-1*H*-indazol-5-il)piridin-3-il]oxi]propan-2-amina
inhibidor de la serina/treonina kinasa

C₂₄H₂₃N₅O

552325-16-3

**rizunitidum**

rizunitide D-tyrosyl-D-valyl-D- α -aspartyl-D-lysyl-D-arginine
anti-inflammatory

rizunitide D-tyrosyl-D-valyl-D- α -aspartyl-D-lysyl-D-arginine
anti-inflammatoire

rizunitida D-tirosil-D-valil-D- α -aspartil-D-lisil-D-arginina
antiinflamatorio

C₃₀H₄₉N₉O₉

2963586-07-2

D-Tyr — D-Val — D-Asp — D-Lys — D-Arg

rocavorexantum

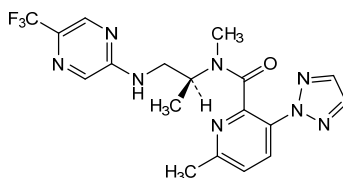
rocavorexant *N*,6-dimethyl-3-(2*H*-1,2,3-triazol-2-yl)-*N*-[(2*S*)-1-[[5-(trifluoromethyl)pyrazin-2-yl]amino]propan-2-yl]pyridine-2-carboxamide
orexin-1 receptor antagonist

rocavorexant *N*,6-diméthyl-3-(2*H*-1,2,3-triazol-2-yl)-*N*-[(2*S*)-1-[[5-(trifluorométhyl)pyrazin-2-yl]amino]propan-2-yl]pyridine-2-carboxamide
antagoniste du récepteur de l'orexine 1

rocavorexant *N*,6-dimetil-3-(2*H*-1,2,3-triazol-2-il)-*N*-[(2*S*)-1-[[5-(trifluorometil)pirazin-2-il]amino]propan-2-il]piridina-2-carboxamida
antagonista del receptor de la orexina 1

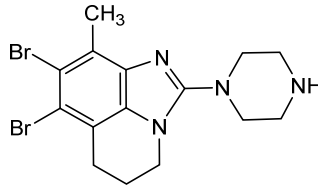
C₁₈H₁₉F₃N₈O

2115665-09-1



romaciclimum

romaciclub	7,8-dibromo-9-methyl-2-(piperazin-1-yl)-5,6-dihydro-4 <i>H</i> -imidazo[4,5,1- <i>ij</i>]quinoline <i>cyclin-dependent kinase inhibitor, antineoplastic</i>
romaciclub	7,8-dibromo-9-méthyl-2-(pipérazin-1-yl)-5,6-dihydro-4 <i>H</i> -imidazo[4,5,1- <i>ij</i>]quinoléine <i>inhibiteur de la kinase cycline-dépendante, antinéoplasique</i>
romaciclub	7,8-dibromo-9-metil-2-(piperazin-1-il)-5,6-dihidro-4 <i>H</i> -imidazo[4,5,1- <i>ij</i>]quinoleína <i>inhibidor de la kinasa dependiente de ciclinas, antineoplásico</i>
	$C_{15}H_{18}Br_2N_4$ 1609522-33-9

**rondecabtagenum autoleucelum #**

rondecabtagene autoleucel

autologous T lymphocytes obtained by leukapheresis enriched for the cell surface marker CD62L (also known as L-selectin) transduced with a self-inactivating non-replicating lentiviral vector encoding a tandem chimeric antigen receptor (CAR) targeting both CD20 and CD19 [comprising a single chain variable fragment (scFvs) derived from the antibody clone Leu16 fused via flexible linkers to a scFvs derived from clone FMC63]. The transgene has a murine immunoglobulin kappa (mIgK) leader sequence and also comprises an IgG4 hinge, a CD28 transmembrane, and the intracellular 4-1BB co-stimulatory and CD3 ζ signaling domains and is under control of the elongation factor 1 alpha (EF-1 α) promoter and the Woodchuck hepatitis virus post-transcriptional regulatory element (WPRE) modified to eliminate the X-protein open reading frame. The vector genome also contains a human immunodeficiency virus (HIV) packaging signal, a Rev response element (RRE), central polypurine tract and central termination sequence (cPPT/CTS) and is flanked by 5' and 3' long terminal repeats (LTRs). The vector is pseudotyped with vesicular stomatitis virus (VSV) G glycoprotein.

The leukapheresis material is enriched for CD62L expressing T lymphocytes by positive immunoselection and cultured in media containing interleukin 2 (IL-2) and interleukin 15 (IL-15). The lymphocytes are activated by CD3 and CD28 agonists and transduced with the lentiviral vector followed by culture in media containing IL-2 and IL-15. The T lymphocytes ($\geq 80\%$) are predominantly composed of naïve and central memory rich T lymphocyte subsets as measured by expression of CD62L and CD45RA surface markers, and positive for the transgene ($\geq 10\%$ CAR positive) with few ($< 5\%$) CD19 expressing B lymphocytes. The cells exhibit cytotoxicity and secrete interferon gamma in response to CD19 and CD20 expressing tumour cell lines

cell-based gene therapy (antineoplastic)

rondecabtagène autoleucel

lymphocytes T autologues obtenus par leucaphérèse, enrichis pour le marqueur de surface cellulaire CD62L (également connu sous le nom de L-sélectine) transduits avec un vecteur lentiviral non répliatif auto-inactivant, codant un récepteur antigénique chimérique (RAC) en tandem ciblant à la fois CD20 et CD19 [comprenant un fragment variable à chaîne unique (scFvs) dérivé du clone d'anticorps Leu16 fusionné, via des coupleurs flexibles, à un scFvs dérivé du clone FMC63]. Le transgène possède une séquence de tête de l'immunoglobuline kappa murine (mIgK), et comprend également une charnière IgG4, un domain transmembranaire CD28 et les domaines intracellulaires de costimulation 4-1BB et de signalisation CD3 ζ , et est sous le contrôle du promoteur du facteur d'élongation 1 alpha (EF-1 α), et de l'élément régulateur post-transcriptionnel du virus de l'hépatite de la marmotte (WPRES), modifié pour éliminer le cadre de lecture ouvert de la protéine X. Le génome du vecteur contient également un signal d'empaquetage du virus de l'immunodéficience humaine (VIH), un élément de réponse Rev (RRE), une séquence de tractus polypurine central et de terminaison centrale (cPPT/CTS), et est flanqué de longues répétitions terminales (LTRs) en 5' et en 3'. Le vecteur est pseudotypé avec la glycoprotéine G du virus de la stomatite vésiculaire (VSV).

Le matériel de leucaphérèse est enrichi en lymphocytes T exprimant CD62L, par immunosélection positive, et cultivé dans un milieu contenant de l'interleukine 2 (IL-2) et de l'interleukine 15 (IL-15). Les lymphocytes sont activés par les agonistes CD3 et CD28 et transduits avec le vecteur lentiviral suivi d'une culture dans un milieu contenant de l'IL-2 et de l'IL-15. Les lymphocytes T ($\geq 80\%$) sont principalement composés de lymphocytes T riches en sous-types naïfs et mémoire centrale, mesurés par l'expression des marqueurs de surface CD62L et CD45RA, et positifs pour le transgène ($\geq 10\%$ RAC positifs) avec peu (<5%) de lymphocytes B exprimant CD19. Les cellules présentent une cytotoxicité et sécrètent de l'interféron gamma en réponse aux lignées de cellules tumorales exprimant CD19 et CD20

thérapie génique à base de cellules (antinéoplasique)

rondecabtagén autoleucel

linfocitos T autólogos obtenidos por leucoaféresis, enriquecidos para el marcador de superficie CD62L (también conocido como L-selectina), transducidos con un vector lentiviral auto inactivante, no replicativo, que codifica un tándem de receptores de antígenos quiméricos (CAR) dirigidos a CD20 y CD19 [consta de un fragmento variable de cadena sencilla (scFv) derivado del clon del anticuerpo Leu16 fusionado mediante enlaces flexibles a un scFv derivado del clon FMC63]. El transgén tiene una secuencia líder de la inmunoglobulina kappa murina (mIgK) y también consta de un dominio bisagra de IgG4, un dominio transmembrana de CD28, y los dominios intracelulares coestimulador de 4-1BB y de señalización de CD3 ζ , y está bajo el control del promotor del factor de elongación 1 alfa (EF-1 α) y el elemento regulador post-transcripcional del virus de la hepatitis de la marmota (WPRES) modificado para eliminar el marco de lectura abierto de la proteína X. El genoma del vector también contiene una señal de empaquetamiento del virus de la inmunodeficiencia humana (VIH), un elemento de respuesta Rev (RRE), una secuencia de tracto de poli-purina/terminación central (cPPT/CTS) y está flanqueado por repeticiones terminales largas (LTRs) en 5' y 3'. El vector está seudotipado con la

glicoproteína G del virus de la estomatitis vesicular (VSV). El material de leucoaféresis se enriquece en linfocitos T que expresan CD62L mediante inmunoselección positiva y se cultiva en medio que contiene interleuquina 2 (IL-2) e interleuquina 15 (IL-15). Los linfocitos se activan con agonistas de CD3 y CD28 y se transducen con el vector lentiviral seguido de cultivo en medio que contiene IL-2 e IL-15. Los linfocitos T ($\geq 80\%$) están compuestos predominantemente por linfocitos T ricos en los subtipos naïve y memoria central, medido por la expresión de los marcadores de superficie CD62L y CD45RA, y positivos para el transgén ($\geq 10\%$ CAR positivos) con pocos ($< 5\%$) linfocitos B que expresan CD19. Las células muestran citotoxicidad y secretan interferón gamma en respuesta a líneas celulares tumorales que expresan CD19 y CD20
terapia génica basada en células (antineoplásico)

rugecitidum

rugecitide

neuregulin 4 (NRG4) (*Homo sapiens*), fragment 1-50, [1'MPTD4>¹GGGGSG⁶, V²⁵>Q²⁷, E⁴⁷>K⁴⁹]-variant (1-52), not glycosylated
neuregulin analogue

rugécitide

neuréguline 4 (NRG4) (*Homo sapiens*), fragment 1-50, variant [1'MPTD⁴>¹GGGGSG⁶, V²⁵>Q²⁷, E⁴⁷>K⁴⁹] (1-52), non glycosylé
analogue de la neuréguline

rugecitida

neuregulina 4 (NRG4) (*Homo sapiens*), fragmento 1-50, variante [1'MPTD⁴>¹GGGGSG⁶, V²⁵>Q²⁷, E⁴⁷>K⁴⁹] (1-52), no glicosilado
análogo de la neuregulina

C₂₃₈H₃₅₅N₆₇O₇₂S₆

2938226-27-6

Sequence / Séquence / Secuencia

GGGGSGHEEP CGPSHKSFCL NGGLCYQIPT IPSPFRCVE NYTGARCEKV 50
FL 52**Post-translational modifications**Disulfide bridges location / Position des ponts disulfure / Posiciones de los puentes disulfuro
11-25, 19-36, 38-47**rugocrixanum**

rugocrixan

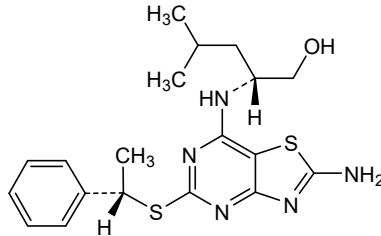
(2R)-2-[(2-amino-5-[[[(1S)-1-phenylethyl]sulfanyl][1,3]thiazolo[4,5-d]pyrimidin-7-yl)amino]-4-methylpentan-1-ol
CX3C chemokine receptor 1 (CX3CR1) antagonist, anti-inflammatory

rugocrixan

(2R)-2-[(2-amino-5-[[[(1S)-1-phényléthyl]sulfanyl][1,3]thiazolo[4,5-d]pyrimidin-7-yl)amino]-4-méthylpentan-1-ol
antagoniste du récepteur 1 de la chimioquine CX3C (CX3CR1), anti-inflammatoire

rugocrixán

(2R)-2-[(2-amino-5-[[[(1S)-1-feniletíl]sulfanil][1,3]tiazolo[4,5-d]pirimidin-7-il)amino]-4-metilpentan-1-ol
antagonista del receptor 1 de la quimioquina CX3C (CX3CR1), antiinflamatorio

**runitresgenum leucelum #**

runitresgenum leucelum

allogeneic T lymphocytes derived from peripheral blood mononuclear cells (PBMCs) of a haploidentical hematopoietic cell transplantation (HCT) donor that is negative for the HA-2 genotype and/or negative for HLA A*02, engineered by transposon/transposase-mediated gene delivery to express a T cell receptor (TCR) that is specific for a 9-amino acid peptide (YIGEVLVSV) termed HA-2, derived from myosin 1G (MYO1G) and presented on HLA-A*02:01. The TCR comprises α and β subunits separated by a P2A self-cleaving peptide. The transgene also encodes a codon-optimised CD8 co-receptor consisting of α and β chains separated by a P2A self-cleaving peptide, with the CD8 co-receptor separated from the TCR by an additional P2A self-cleaving peptide. Each P2A sequence is preceded by a furin cleavage site. A 16 amino acid epitope encoding a portion of human CD34 is incorporated into the N-terminus of the CD8 α chain. The transgene is under the control of a murine stem cell virus (MSCV) promoter, a Woodchuck hepatitis virus post-transcriptional response element and a simian virus 40 (SV40) polyadenylation (polyA) signal.

The transposase (Armyworm transposase) is introduced in form of an mRNA that comprises an anti-reverse cap analogue, a *Xenopus* globin 5' untranslated region (UTR), a Kozak sequence, the transposase open reading frame, and a *Xenopus* globin 3' UTR. The transgene is introduced via a nanoplasmid DNA and contains inverted terminal repeats (ITRs). The leukapheresis material is electroporated with mRNA transposase as well as the nanoplasmid transposon followed by activation with CD2, CD3 and CD28 agonists. The cells are grown in serum free media supplemented with interleukin 2 (IL-2), interleukin 7 (IL-7) and interleukin 15 (IL-15). The T lymphocytes ($\geq 95\%$) are positive for the transgene ($\geq 80\%$ TCR+), and release interferon -gamma (IFN- γ) in response to co-culture with THP-1 cells that express the HA-2 target peptide *cell-based gene therapy (antineoplastic)*

runitresgène leucelum

lymphocytes T allogéniques dérivés de cellules mononucléaires du sang périphérique (CMSP) d'un donneur haploidentiques de greffe de cellules hématopoïétiques (GCH) qui sont négatifs pour le génotype HA-2 et/ou négatifs pour HLA A*02, modifiés par un système de délivrance de gènes par transposon/transposase, pour exprimer un récepteur de lymphocytes T (TCR) spécifique d'un peptide de 9 acides aminés (YIGEVLVSV) appelé HA-2, dérivé de la myosine 1G (MYO1G) et présenté sur HLA-A*02:01. Le TCR comprend des sous-unités α et β , séparées par un peptide auto-clivant P2A. Le transgène code également avec des codons optimisés un co-récepteur CD8 constitué de chaînes α et β séparées par un peptide auto-clivant P2A, le co-récepteur CD8 étant séparé du TCR par un autre peptide auto-clivant P2A. Chaque séquence P2A est précédée d'un site de clivage de la furine. Un épitope de 16 acides aminés codant pour une partie du CD34 humain est incorporé à l'extrémité N-terminale de la chaîne CD8 α . Le transgène est sous le contrôle d'un promoteur du virus des cellules souches murines (MSCV),

d'un élément de réponse post-transcriptionnelle du virus de l'hépatite de la marmotte et d'un signal de polyadénylation (polyA) du virus simien 40 (SV40).

La transposase (transposase de la chenille légionnaire) est introduite sous la forme d'un ARNm qui comprend un analogue de la coiffe anti-inverse, une région 5' non traduite (UTR) de la globine de *Xenopus*, une séquence Kozak, le cadre de lecture ouvert de la transposase et une région 3' UTR de la globine de *Xenopus*. Le transgène est introduit via un vecteur d'ADN nanoplasmidique et contient des répétitions terminales inversées (RTI).

Le matériel de leucaphérèse est électroporé avec l'ARNm de la transposase ainsi que le transposon nanoplasmidique, suivi d'une activation avec des agonistes CD2, CD3 et CD28. Les cellules sont cultivées dans un milieu sans sérum supplémenté en interleukine 2 (IL-2), interleukine 7 (IL-7) et interleukine 15 (IL-15). Les lymphocytes T ($\geq 95\%$) sont positifs pour le transgène ($\geq 80\%$ TCR+) et libèrent de l'interféron gamma (IFN- γ) en réponse à une co-culture avec des cellules THP-1 qui expriment le peptide cible HA-2

thérapie génique à base de cellules (antineoplasique)

runitresgén leucel

linfocitos T alogénicos derivados de células mononucleares de sangre periférica (PBMCs) de un donante de transplante de células hematopoyéticas (HCT) haploidéntico que es negativo para el genotipo HA-2 y/o negativo para HLA A*02, manipulados mediante un sistema de entrega genética mediado por transposón/transposasa para expresar el receptor de células T (TCR) que es específico para un péptido de 9 amino ácidos (YIGEVLSV) llamado HA-2, derivado de la miosina 1G (MYO1G) y presentado en HLA-A*02:01. El TCR consta de subunidades α y β separadas por un péptido de auto-escisión P2A. El transgén también codifica, con codones optimizados, un correceptor CD8 que contiene cadenas α y β separadas por un péptido de auto-escisión P2A, con el correceptor CD8 separado del TCR por un otro péptido de auto-escisión P2A. Cada secuencia P2A está precedida por un sitio de escisión de furina. En la zona N-terminal de la cadena CD8 α se incorpora un epítipo de 16 amino ácidos que codifica una porción del CD34 humano. El transgén está bajo el control de un promotor del virus de células madre murino (MSCV), un elemento de respuesta post-transcripcional del virus de la hepatitis de la marmota (WPRE) y una señal de poliadenilación (poliA) del virus simio 40 (SV40).

La transposasa (transposasa de gusano soldado) se introduce en forma de un ARNm que contiene un análogo de caperuzas anti-reverso, una región sin traducir (UTR) en 5' de la globina de *Xenopus*, una secuencia Kozak, el marco de lectura abierto de la transposasa, y una UTR en 3' de la globina de *Xenopus*. El transgén se introduce mediante un nanoplásmido de ADN y contiene repeticiones terminales invertidas (ITRs).

El material de leucoaféresis se electropora con el ARNm de la transposasa así como el nanoplásmido del transposón seguido de activación con agonistas de CD2, CD3 y CD28. Las células se crecen después en medio sin suero suplementado con interleuquina 2 (IL-2), interleuquina-7 (IL-7) e interleuquina 15 (IL-15). Los linfocitos T ($\geq 95\%$) son positivos para el transgén ($\geq 80\%+$) y liberan interferón gamma (IFN- γ) en respuesta al co-cultivo con células THP-1 que expresan el péptido diana HA-2

terapia génica basada en células (antineoplásico)

ruzaltatugum #

ruzaltatug

immunoglobulin G1-kappa, anti-[*Homo sapiens* ERBB3 (receptor tyrosine-protein kinase erbB-3, HER3)], *Homo sapiens* monoclonal antibody;
 H-gamma1 heavy chain *Homo sapiens* (1-447) [VH (*Homo sapiens* IGHV3-9*01 (97.0%) -(IGHD) -IGHJ4*01 (92.9%), CDR-IMGT [8.8.10] (26-33.51-58.97-106)) (1-117) -*Homo sapiens* IGHG1*01 (100%) G1m17,1 CH1 K120, CH3 D12, L14 (CH1 K120 (214) (118-215), hinge 1-15 (216-230), CH2 (231-340), CH3 D12 (356), L14 (358) (341-445), CHS (446-447)) (118-447)], (220-215')-disulfide with L-kappa light chain *Homo sapiens* (1'-215') [V-KAPPA (*Homo sapiens* IGKV1-39*01 (87.4%) -IGKJ2*04 (90.9%) L124>V (105'), CDR-IMGT [6.3.10] (27'-32'.50'-52'.89'-98')) (1'-108') -*Homo sapiens* IGKC*01 (100%) Km3 A45.1, V101 (C-KAPPA A45.1 (154'), V101 (192')) (109'-215')]; dimer (226-226":229-229")-bisdisulfide, produced in Chinese hamster ovary (CHO) cells, cell line CHO-K1, glycoform alfa *antineoplastic*

ruzaltatug

immunoglobuline G1-kappa, anti-[*Homo sapiens* ERBB3 (récepteur tyrosine-protéine kinase erbB-3, HER3)], anticorps monoclonal *Homo sapiens*;
 chaîne lourde H-gamma1 *Homo sapiens* (1-447) [VH (*Homo sapiens* IGHV3-9*01 (97.0%) -(IGHD) -IGHJ4*01 (92.9%), CDR-IMGT [8.8.10] (26-33.51-58.97-106)) (1-117) -*Homo sapiens* IGHG1*01 (100%) G1m17,1 CH1 K120, CH3 D12, L14 (CH1 K120 (214) (118-215), charnière 1-15 (216-230), CH2 (231-340), CH3 D12 (356), L14 (358) (341-445), CHS (446-447)) (118-447)], (220-215')-disulfure avec la chaîne légère L-kappa *Homo sapiens* (1'-215') [V-KAPPA (*Homo sapiens* IGKV1-39*01 (87.4%) -IGKJ2*04 (90.9%) L124>V (105'), CDR-IMGT [6.3.10] (27'-32'.50'-52'.89'-98')) (1'-108') -*Homo sapiens* IGKC*01 (100%) Km3 A45.1, V101 (C-KAPPA A45.1 (154'), V101 (192')) (109'-215')]; dimère (226-226":229-229")-bisdisulfure, produit dans des cellules ovariennes de hamster chinois (CHO), lignée cellulaire CHO-K1, glycoforme alfa *antineoplasique*

ruzaltatug

immunoglobulina G1-kappa, anti-[*Homo sapiens* ERBB3 (receptor tirosina-proteína kinasa erbB-3, HER3)], anticuerpo monoclonal *Homo sapiens*;
 cadena pesada H-gamma1 *Homo sapiens* (1-447) [VH (*Homo sapiens* IGHV3-9*01 (97.0%) -(IGHD) -IGHJ4*01 (92.9%), CDR-IMGT [8.8.10] (26-33.51-58.97-106)) (1-117) -*Homo sapiens* IGHG1*01 (100%) G1m17,1 CH1 K120, CH3 D12, L14 (CH1 K120 (214) (118-215), bisagra 1-15 (216-230), CH2 (231-340), CH3 D12 (356), L14 (358) (341-445), CHS (446-447)) (118-447)], (220-215')-disulfuro con la cadena ligera L-kappa *Homo sapiens* (1'-215') [V-KAPPA (*Homo sapiens* IGKV1-39*01 (87.4%) -IGKJ2*04 (90.9%) L124>V (105'), CDR-IMGT [6.3.10] (27'-32'.50'-52'.89'-98')) (1'-108') -*Homo sapiens* IGKC*01 (100%) Km3 A45.1, V101 (C-KAPPA A45.1 (154'), V101 (192')) (109'-215')]; dímero (226-226":229-229")-bisdisulfuro, producido en las células ováricas de hámster chino (CHO), línea celular CHO-K1, forma glicosilada alfa *antineoplásico*

Heavy chain / Chaîne lourde / Cadena pesada
 QVQLVQSGGG LVQFGRSLRL SCAASGFTFD DYAMHWVRQA PGKGLEWVSG 50
 ISWNSGSGIGY ADSVKGRFTI SRDNAKNSLY LQMNSLRAED TALYYCAKEG 100
 LPLGLDYWGQG TLVTVSSAST KGPSVFPLAP SSKSTSGGTA ALGCLVKDYF 150
 PEPVTVSWNS GALTSGVHTF PAVLQSSGLY SLSSVVTVPF SSLGTQTYIC 200
 NVNHKPSNTK VDKKVEPKSC DKHTTCCPCP APELLGGPSV FLFPPKPKDT 250
 LMISRTPEVT CVVVDVSHED PEVKFNWYVD GVEVHNAKTK PREEQYNSTY 300
 RVVSVLTVLH QDWLNGKEYK CKVSNKALPA PIEKTIKAK GQPREPQVYT 350
 LPPSRDELTK NQVSLTCLVK GFYPSDIAVE WESNGQPENN YKTTTPVLDL 400
 DGSFFLYSKL TVDKSRWQQG NVFSCVMHE ALHNNHYTQKS LSLSPGK 447

Light chain / Chaîne légère / Cadena ligera
 DIQMTQSPSS LSASIGDRAT ITCRASQHVQ TYLNWYQQKPK GKTPKLLISG 50
 AANLQSGVPS RFGSGSGTD FTLTISSLQP EDFATYYCQQ SYNTPPFSPG 100
 QGTKVEIKRT VAAPSVFIFP PSDEQLKSGT ASVVCLLNNF YPREAKVQWK 150
 VDNALQSGNS QESVTEQDSK DSTYSLSTL TLSKADYEKH KVYACEVTHQ 200
 GLSSPVTKSF NRGEC 215

Post-translational modifications

Disulfide bridges location / Position des ponts disulfure / Posiciones de los puentes disulfuro

Intra-H (C23-C104) 22-96 144-200 261-321 367-425
 22"-96" 144"-200" 261"-321" 367"-425"

Intra-L (C23-C104) 23'-88' 135"-195"
 23"-88" 135"-195"

Inter-H-L (h 5-CL 126) 220-215' 220"-215"

Inter-H-H (h 11, h 14) 226-226" 229-229"

N-terminal glutaminyl cyclization / Cyclisation du glutaminyle N-terminal / Ciclación del glutaminilo N-terminal

Q > pyroglutamyl (pE, 5-oxoprolyl) / pyroglutamyle (pE, 5-oxoprolyle) / piroglutamilo (pE, 5-oxoprolilo)
 H VH Q1: 1, 1"

N-glycosylation sites / Sites de N-glycosylation / Posiciones de N-glicosilación

H CH2 N84.4: 297, 297"

Fucosylated complex bi-antennary CHO-type glycans / glycanes de type CHO bi-antennaires complexes fucosylés / glicanos de tipo CHO biantenaricos complejos fucosilados

C-terminal lysine clipping / Coupure de la lysine C-terminale / Recorte de lisina C-terminal

H CHS K2: 447, 447"

ruzaltatumum rezetecanum #

ruzaltatumum rezetecanum

immunoglobulin G1-kappa, anti-[*Homo sapiens* ERBB3 (receptor tyrosin-protein kinase erbB-3, HER3)], *Homo sapiens* monoclonal antibody, conjugated on an average of four cysteinyl residues to *rezetecan*, comprising a linker and a camptothecin derivative (*exatecan*);

H-gamma1 heavy chain *Homo sapiens* (1-447) [VH (*Homo sapiens* IGHV3-9*01 (97.0%) -(IGHD) -IGHJ4*01 (92.9%), CDR-IMGT [8.8.10] (26-33.51-58.97-106))] (1-117) -*Homo sapiens* IGHG1*01 (100%) G1m17,1 CH1 K120, CH3 D12, L14 (CH1 K120 (214) (118-215), hinge 1-15 (216-230), CH2 (231-340), CH3 D12 (356), L14 (358) (341-445), CHS (446-447)) (118-447)], (220-215')-disulfide with L-kappa light chain *Homo sapiens* (1'-215') [V-KAPPA (*Homo sapiens* IGKV1-39*01 (87.4%) -IGKJ2*04 (90.9%) L124>V (105'), CDR-IMGT [6.3.10] (27'-32'.50'-52'.89'-98'')] (1'-108') -*Homo sapiens* IGKC*01 (100%) Km3 A45.1, V101 (C-KAPPA A45.1 (154'), V101 (192')) (109'-215')]; dimer (226-226"-229-229")-bisdisulfide, produced in Chinese hamster ovary (CHO) cells, cell line CHO-K1, glycoform alfa; substituted at the sulfur atoms of four L-cysteinyl residues on an average among 215', 215", 220, 220", 226, 226", 229 and 229" with (3RS)-1-[(2R,10S)-10-benzyl-2-cyclopropyl-1-[[[(1S,9S)-9-ethyl-5-fluoro-9-hydroxy-4-methyl-10,13-dioxo-2,3,9,10,13,15-hexahydro-1H,12H-benzo[de]pyrano[3',4':6,7]indolizino[1,2-b]quinolin-1-yl]amino]-1,6,9,12,15,18-hexaoxo-3-oxa-5,8,11,14,17-pentaazatricosan-23-yl]-2,5-dioxopyrrolidin-3-yl (*rezetecan*) groups
antineoplastic

ruzaltatug rézétécán

immunoglobuline G1-kappa, anti-[*Homo sapiens* ERBB3 (récepteur tyrosine-protéine kinase erbB-3, HER3)], anticorps monoclonal *Homo sapiens*, conjuguée par quatre résidus cystéinyles en moyenne au *rézétécán*, comprenant un linker et un dérivé de la camptothécine (*exatécán*); chaîne lourde H-gamma1 *Homo sapiens* (1-447) [VH (*Homo sapiens* IGHV3-9*01 (97.0%) -(IGHD) -IGHJ4*01 (92.9%), CDR-IMGT [8.8.10] (26-33.51-58.97-106)) (1-117) -*Homo sapiens* IGHG1*01 (100%) G1m17,1 CH1 K120, CH3 D12, L14 (CH1 K120 (214) (118-215), charnière 1-15 (216-230), CH2 (231-340), CH3 D12 (356), L14 (358) (341-445), CHS (446-447)) (118-447)], (220-215')-disulfure avec la chaîne légère L-kappa *Homo sapiens* (1'-215') [V-KAPPA (*Homo sapiens* IGKV1-39*01 (87.4%) -IGKJ2*04 (90.9%) L124>V (105'), CDR-IMGT [6.3.10] (27'-32'.50'-52'.89'-98'') (1'-108') -*Homo sapiens* IGKC*01 (100%) Km3 A45.1, V101 (C-KAPPA A45.1 (154'), V101 (192')) (109'-215')]; dimère (226-226":229-229")-bisdisulfure, produit dans des cellules ovariennes de hamster chinois (CHO), lignée cellulaire CHO-K1, glycoforme alfa; substitué, sur les atomes de soufre de quatre résidus L-cystéinyle en moyenne parmi 215', 215", 220, 220", 226, 226", 229 et 229", avec des groupes (3RS)-1-[(2R,10S)-10-benzyl-2-cyclopropyl-1-[[[(1S,9S)-9-éthyl-5-fluoro-9-hydroxy-4-méthyl-10,13-dioxo-2,3,9,10,13,15-hexahydro-1H,12H-benzo[de]pyrano[3',4':6,7]indolizino[1,2-b]quinoléin-1-yl]amino]-1,6,9,12,15,18-hexaoxo-3-oxa-5,8,11,14,17-pentaazatricosan-23-yl]-2,5-dioxopyrrolidin-3-yle (*rézétécán*)
antineoplasique

ruzaltatug rezetecán

immunoglobulina G1-kappa, anti-[*Homo sapiens* ERBB3 (receptor tirosina-proteína kinasa erbB-3, HER3)], anticuerpo monoclonal *Homo sapiens*, conjugado, por cuatro residuos de cisteinilo, por término medio a *rezetecán*, que comprende un enlace y un derivado de la camptotecina (*exatecán*); cadena pesada H-gamma1 *Homo sapiens* (1-447) [VH (*Homo sapiens* IGHV3-9*01 (97.0%) -(IGHD) -IGHJ4*01 (92.9%), CDR-IMGT [8.8.10] (26-33.51-58.97-106)) (1-117) -*Homo sapiens* IGHG1*01 (100%) G1m17,1 CH1 K120, CH3 D12, L14 (CH1 K120 (214) (118-215), bisagra 1-15 (216-230), CH2 (231-340), CH3 D12 (356), L14 (358) (341-445), CHS (446-447)) (118-447)], (220-215')-disulfuro con la cadena ligera L-kappa *Homo sapiens* (1'-215') [V-KAPPA (*Homo sapiens* IGKV1-39*01 (87.4%) -IGKJ2*04 (90.9%) L124>V (105'), CDR-IMGT [6.3.10] (27'-32'.50'-52'.89'-98'') (1'-108') -*Homo sapiens* IGKC*01 (100%) Km3 A45.1, V101 (C-KAPPA A45.1 (154'), V101 (192')) (109'-215')]; dímero (226-226":229-229")-bisdisulfuro, producido en las células ováricas de hámster chino (CHO), línea celular CHO-K1, forma glicosilada alfa; sustituido, en los átomos de azufre de cuatro residuos de L-cisteinilo en promedio de 215', 215", 220, 220", 226, 226", 229 y 229", con grupos (3RS)-1-[(2R,10S)-10-bencil-2-ciclopropil-1-[[[(1S,9S)-9-etil-5-fluoro-9-hidroxi-4-metil-10,13-dioxo-2,3,9,10,13,15-hexahidro-1H,12H-benzo[de]pirano[3',4':6,7]indolizino[1,2-b]quinolein-1-il]amino]-1,6,9,12,15,18-hexaoxo-3-oxa-5,8,11,14,17-pentaazatricosan-23-il]-2,5-dioxopirrolidin-3-ilo (*rezetecán*)
antineoplásico

2981438-67-7

Heavy chain / Chaîne lourde / Cadena pesada (H, H¹)

QVQLVQSGGG LVQPGRSLRL SCAASGFTFD DYAMHWVROA PGKGLEWVSG 50
 ISWNSGSGIGY ADSVKGRFTI SRDNAKNSLY LQMNSLRAED TALYYCAKEG 100
 LPGLDYWQQG TLVTVSSAST KGPSVFPLAP SSKSTSGGTA ALGCLVKDYF 150
 PEPVTVSWNS GALTSGVHTF PAVLQSSGLY SLSSVVTVPS SSLGTQTYIC 200
 NVNHKPSNTK VDKKVEPKSC DKHTCPPEP APELLGGPSV FLFPPKPKDT 250
 LMISRTPEVT CVVVDVSHED FEVKFNWYVD GVEVHNAKTK PREEQYNSTY 300
 RVVSLTVLH QDWLNGKEYK CKVSNKALPA PIEKTIKAK GQPREPQVYT 350
 LPPSRDELTK NQVSLTCLVK GFYPSDIAVE WESNGQPENN YKTTTPVPLDS 400
 DGSFFLYSKL TVDKSRWQQG NVFSCSVWHE ALHNHYTQKS LSLSPGK 447

Light chain / Chaîne légère / Cadena ligera (L, L¹)

DIQMTQSPSS LSASIGDRAT ITCRASQHVQ TYLNWYQQKPK GKTPKLLISG 50
 AANLQSGVPS RFGSGSGSDT FTLTISLQPF EDFATYYCQQ SYNTPPFPFG 100
 QGDKVEIKRT VAAPSVFIFP PSDEQLKSGT ASVVCLLMNF YPREAKVQWK 150
 VDNALQSGNS QESVTEQDSK DSTYISLSSTL TLSKADYERK KVIACEVTHQ 200
 GLSSPVTKSF NRGEC 215

Post-translational modifications

Disulfide bridges location / Position des ponts disulfure / Posiciones de los puentes disulfuro

Intra-H (C23-C104) 22-96 144-200 261-321 367-425
 22"-96" 144"-200" 261"-321" 367"-425"

Intra-L (C23-C104) 23"-88" 135"-195"
 23"-88" 135"-195"

Inter-H-L (h 5-CL 126)* 220-215' 220"-215"

Inter-H-H (h 11, h 14)* 226-226" 229-229"

*Two or three of the four inter-chain disulfide bridges are not present, an average of 4 cysteinyl being conjugated each via a thioether bond to a drug linker.

*Deux ou trois des quatre ponts disulfures inter-chaînes ne sont pas présents, 4 cystéinyl en moyenne étant chacun conjugué via une liaison thioéther à un linker-principe actif.

*Dos o tres de los cuatro puentes disulfuro inter-catenarios no estan presentes, una media de 4 cisteinil está conjugada a conectores de principio activo.

N-terminal glutaminyl cyclization / Cyclisation du glutaminyle N-terminal / Ciclación del glutaminilo N-terminal

Q> pyroglutamyl (pE, 5-oxoprolyl) / pyroglutamide (pE, 5-oxoprolyle) / piroglutamilo (pE, 5-oxoprolilo)

H VH Q1: 1, 1"

N-glycosylation sites / Sites de N-glycosylation / Posiciones de N-glicosilación

H CH2 N84, 4: 297, 297"

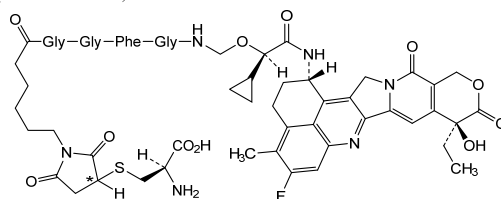
Fucosylated complex bi-antennary CHO-type glycans / glycanes de type CHO bi-antennaires complexes fucosylés / glicanos de tipo CHO biantennarios complejos fucosilados

C-terminal lysine clipping / Coupure de la lysine C-terminale / Recorte de lisina C-terminal

H CHS K2: 447, 447"

Modified residues / Résidus modifiés / Restos modificados*

C (215', 215", 220, 220", 226, 226", 229, 229")

*(*rezetecan*:mAb ~ 4:1)

sasineprocelum
 sasineprocel

autologous dopaminergic neuron precursor cells (DANPCs) derived from human induced pluripotent stem cells (iPSCs). The iPSCs are derived from patient skin fibroblasts that are expanded and reprogrammed by a non-integrating method with plasmid vectors expressing octamer-binding transcription factor 3/4 (OCT-3/4), SOX2, Krueppel-like factor 4 (KLF4), and L-Myc. The cells are expanded on recombinant laminin and frozen as intermediates to be then thawed, expanded, dissociated with a proteolytic and collagenolytic enzyme mixture and initially seeded in medium supplemented with Rho-associated protein kinase (ROCK). Differentiation into dopaminergic precursor cells is then performed in neurobasal medium supplemented with serum

replacement containing a transforming growth factor- β (TGF β)/activin-Nodal signaling inhibitor, a bone morphogenetic protein (BMP) inhibitor, a glycogen synthase kinase (GSK) 3 inhibitor, a Sonic hedgehog (Shh) signaling activator and a γ -secretase inhibitor, as well as recombinant brain-derived neurotrophic factor (BDNF), glial cell-line-derived neurotrophic factor (GDNF), transforming growth factor β 3 (TGF β 3) and Sonic hedgehog (Shh). The differentiated and mature DANPCs are then harvested, washed, and cryopreserved.

The final cell population expresses forkhead box protein A2 (FoxA2; >80%) as characteristic factor of dopaminergic neurons, with a minor (<5%) cell population expressing paired box protein (PAX6). Uncommitted iPSCs are absent or present at low level (<0.1%; octamer-binding transcription factor 3/4 (OCT-3/4) and vertnin (VRTN))

cell therapy (Parkinson's disease)

sasinéprocel

cellules précurseures de neurones dopaminergiques autologues (DANPCs) dérivées de cellules souches pluripotentes induites humaines (CSPi). Les CSPi sont dérivées de fibroblastes cutanés de patients, qui sont expansés et reprogrammés par une méthode non intégrative avec des vecteurs plasmidiques exprimant le facteur de transcription 3/4 de liaison à l'octamère (OCT-3/4), SOX2, le facteur 4 de type Krueppel (KLF4), et L-Myc.

Les cellules sont expansées sur de la laminine recombinante et congelées comme intermédiaires pour être ensuite décongelées, expansées, dissociées avec un mélange d'enzymes protéolytiques et collagénolytiques, et initialement ensemencées dans un milieu supplémenté en protéine kinase associée à Rho (ROCK). La différenciation en cellules précurseures dopaminergiques est ensuite réalisée dans un milieu neurobasal complété par un substitut de sérum contenant un inhibiteur de la signalisation du facteur de croissance transformant β (TGF β)/activine-Nodal, un inhibiteur de la protéine morphogénétique osseuse (PMO), un inhibiteur de la glycogène synthase kinase (GSK) 3, un activateur de signalisation Sonic hedgehog (Shh) et un inhibiteur de la γ -sécrétase, ainsi que le facteur neurotrophique dérivé du cerveau (BDNF) recombinant, le facteur neurotrophe dérivé de la glie (GDNF), le facteur de croissance transformant β 3 (TGF β 3) et Sonic hedgehog (Shh). Les DANPCs différenciées et matures sont ensuite récoltées, lavées et cryoconservées.

La population cellulaire finale exprime la protéine A2 de la boîte forkhead (FoxA2; >80%) comme facteur caractéristique des neurones dopaminergiques, avec une population cellulaire mineure (<5%) exprimant la protéine paired box 6 (PAX6). Les CSPi non engagées sont absentes ou présentes à un faible niveau (<0,1%; facteur 3/4 de transcription de liaison à l'octamère (OCT-3/4) et la vertnine (VRTN))

thérapie cellulaire (maladie de Parkinson)

sasineprocel

células precursoras de neuronas dopaminérgicas (DANPCs) autólogas derivadas de células madre pluripotentes inducidas (iPSCs) humanas. Las iPSCs se derivan a partir de fibroblastos de la piel del paciente que son expandidos y reprogramados mediante un método no integrativo con vectores plasmídicos que expresan el factor 3/4 de transcripción de unión a octámero (OCT-3/4), SOX2, factor similar a Krueppel 4 (KLF4) y L-Myc.

Las células se expanden en laminina recombinante y se congelan como intermediarios para ser después descongeladas, expandidas, disociadas con una mezcla de enzimas proteolíticas y colagenolíticas y sembradas inicialmente en medio suplementado con proteína quinasa asociada a Rho (ROCK). La diferenciación a células precursoras dopaminérgicas se realiza en medio neurobasal suplementado con sustituto de suero que contiene un inhibidor de la señalización del factor de crecimiento transformante β (TGF β)/activina-Nodal, un inhibidor de la proteína morfogenética del hueso (BMP), un inhibidor de la glicogén sintasa quinasa (GSK) 3, un activador de señalización Sonic hedgehog (Shh) y un inhibidor de la γ -secretasa, así como factor neurotrófico derivado de cerebro (BDNF) recombinante, factor neurotrófico derivado de línea celular de la glia (GDNF), factor de crecimiento transformante β 3 (TGF β 3) y Sonic hedgehog (Shh). Las DANPCs diferenciadas y maduras se cosechan a continuación, se lavan y se criopreservan.

La población celular final expresa la proteína A2 de caja forkhead (FoxA2; >80%) como factor característico de neuronas dopaminérgicas, con una población celular menor (<5%) que expresa la proteína paired box 6 (PAX6). Las iPSCs sin diferenciar están ausentes o a bajo nivel (<0.1%; factor 3/4 de transcripción de unión a octámero (OCT-3/4) y vertnina (VRTN))

terapia celular (enfermedad de Parkinson)

secutrelvirum

secutrelvir

[5-(3-cloro-4-fluorophenyl)-3-(5-chloropyridin-3-yl)-6-(6,6-difluoro-2-azaspiro[3.3]heptan-2-yl)-2,4-dioxo-3,4-dihydropyrimidin-1(2H)-yl]acetoneitrile
protease inhibitor, antiviral

sécutrelvir

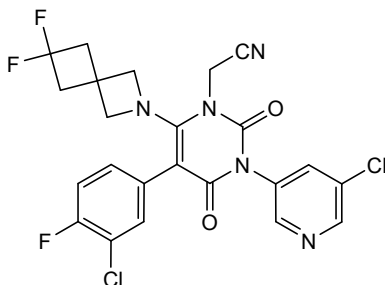
[5-(3-cloro-4-fluorophényl)-3-(5-chloropyridin-3-yl)-6-(6,6-difluoro-2-azaspiro[3.3]heptan-2-yl)-2,4-dioxo-3,4-dihydropyrimidin-1(2H)-yl]acétonitrile
inhibiteur de protéase, antiviral

secutrelvir

[5-(3-cloro-4-fluorofenil)-3-(5-cloropiridin-3-il)-6-(6,6-difluoro-2-azaespiro[3.3]heptan-2-il)-2,4-dioxo-3,4-dihidropirimidin-1(2H)-il]acetoneitrilo
inhibidor de la proteasa, antiviral

C₂₃H₁₆Cl₂F₃N₅O₂

2996148-73-1



seldegamadlinum

seldegamadlin

(3'R,4'S,5'R)-6"-chloro-4'-(3-chloro-2-fluorophenyl)-N-[trans-4-(4-{1-[(3RS)-2,6-dioxopiperidin-3-yl]-3-méthyl-2-oxo-2,3-dihydro-1H-1,3-benzimidazol-5-yl}piperidine-1-carbonyl)cyclohexyl]-2"-oxo-1",2"-dihydrodispiro[cyclohexane-1,2'-pyrrolidine-3',3"-indole]-5'-carboxamide
E3 ubiquitin-protein ligase Mdm2 (Hdm2) degrader, antineoplastic

seldégamadrine

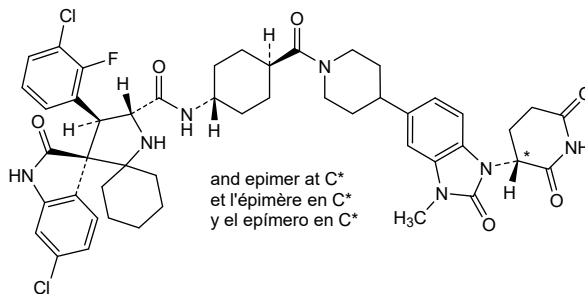
(3'R,4'S,5'R)-6"-chloro-4'-(3-chloro-2-fluorophényl)-N-[trans-4-(4-{1-[(3RS)-2,6-dioxopipéridin-3-yl]-3-méthyl-2-oxo-2,3-dihydro-1H-1,3-benzimidazol-5-yl}pipéridine-1-carbonyl)cyclohexyl]-2"-oxo-1",2"-dihydrodispiro[cyclohexane-1,2'-pyrrolidine-3',3"-indole]-5'-carboxamide
dégradeur de l'ubiquitine-protéine ligase E3 Mdm2, antinéoplasique

seldegamadlina

(3'R,4'S,5'R)-6"-cloro-4'-(3-cloro-2-fluorofenil)-N-[trans-4-(4-{1-[(3RS)-2,6-dioxopiperidin-3-il]-3-metil-2-oxo-2,3-dihydro-1H-1,3-benzimidazol-5-il}piperidina-1-carbonil)ciclohexil]-2"-oxo-1",2"-dihidrodispiro[ciclohexano-1,2'-pirrolidina-3',3"-indol]-5'-carboxamida
degradador de la ubiquitina-proteína ligasa E3 Mdm2, antineoplásico

C₄₈H₅₂Cl₂FN₇O₆

2713618-08-5

**sersacabtagenum autoleucelum #**

sersacabtagene autoleucel

autologous CD4+/CD8+ enriched T lymphocytes obtained from peripheral blood lymphocytes by leukapheresis, transduced with a self-inactivating lentiviral vector encoding a humanized chimeric antigen receptor (CAR) targeting CD20 that includes a CD8 α signalling peptide, an anti-CD20 single chain variable fragment (scFv) derived from human monoclonal IgG1 kappa antibody *ofatumumab*, an IgG4 hinge region, CD8 transmembrane region, and an intracellular 4-1BB co-stimulatory and CD3 ζ signalling domain under control of the elongation factor 1 alpha (EF-1 α) promoter and a Woodchuck hepatitis virus posttranscriptional regulatory element (WPRE). The vector also contains an HIV-1 packaging signal (Ψ), *gag*, Rev response element (RRE), central polypurine tract and central termination sequence (cPPT/CTS), is flanked by 5' and 3' long terminal repeats (LTRs) and is pseudotyped by the vesicular stomatitis virus (VSV) G glycoprotein.

The leukapheresis material is enriched for CD4+/CD8+ T lymphocytes by positive immunoselection, activated by CD3 and CD28 agonists and transduced with the lentiviral vector. The cells are then expanded in media with serum replacement and interleukin 2 (IL-2). The T lymphocytes ($\geq 90\%$ CD3+; $\leq 1\%$

CD19+ or CD20+) are positive for the transgene ($\geq 10\%$ CAR positive) and secrete interferon gamma in response to co-culture with CD20-expressing tumour cell lines.
cell-based gene therapy (antineoplastic)

sersacabtagéne autoleucel

lymphocytes T autologues enrichis en CD4+/CD8+ obtenus à partir de lymphocytes du sang périphérique par leucaphérèse, transduits avec un vecteur lentiviral auto-inactivant codant un récepteur antigénique chimérique humanisé (RAC) ciblant CD20, qui comprend un peptide de signalisation CD8 α , un fragment variable à chaîne unique anti-CD20 (scFv) dérivé de l'anticorps monoclonal IgG1 kappa humain *ofatumumab*, d'une région charnière IgG4, d'une région transmembranaire CD8 et d'un domaine intracellulaire de co-stimulation 4-1BB et de signalisation CD3 ζ , sous le contrôle du promoteur du facteur d'élongation 1 alpha (EF-1 α) et d'un élément régulateur post-transcriptionnel du virus de l'hépatite de la marmotte (WPRE). Le vecteur contient également un signal d'emballage du VIH-1 (Ψ), *gag*, un élément de réponse Rev (RRE), un tractus polypurine central et une séquence de terminaison centrale (cPPT/CTS), est flanqué de répétitions terminales longues (LTRs) en 5' et en 3' et est pseudotypé par la glycoprotéine G du virus de la stomatite vésiculaire (VSV).
Le matériel de leucaphérèse est enrichi en lymphocytes T CD4+/CD8+ par immunosélection positive, activés par les agonistes CD3 et CD28 et transduits avec le vecteur lentiviral. Les cellules sont ensuite expansées dans un milieu avec remplacement de sérum et interleukine 2 (IL-2). Les lymphocytes T ($\geq 90\%$ CD3+; $\leq 1\%$ CD19+ ou CD20+) sont positifs au transgène ($\geq 10\%$ RAC positif) et sécrètent de l'interféron gamma en réponse à une co-culture avec des lignées de cellules tumorales exprimant CD20
thérapie génique à base de cellules (antineoplasique)

sersacabtagén autoleucel

linfocitos T CD4+/CD8+ autólogos enriquecidos obtenidos de linfocitos de sangre periférica por leucoaféresis, transducidos con un vector lentiviral auto inactivante, que codifica un receptor de antígenos quimérico (CAR) humanizado dirigido a CD20 que incluye un péptido señal de CD8 α , un fragmento variable de cadena sencilla (scFv) anti-CD20 derivado del anticuerpo monoclonal humano IgG1 kappa *ofatumumab*, una región bisagra de IgG4, una región transmembrana de CD8, un dominio coestimulador de 4-1BB y un dominio de señalización de CD3 ζ , bajo el control del promotor del factor de elongación 1 alfa (EF-1 α) y un elemento regulador post-transcripcional del virus de la hepatitis de la marmota (WPRE). El vector también contiene una señal de empaquetamiento de HIV-1 (ψ), *gag*, un elemento de respuesta Rev (RRE), una secuencia de tracto de polipurina/terminación central (cPPT/CTS), está flanqueado por repeticiones terminales largas (LTRs) en 5' y 3' y está pseudotipado con la glicoproteína G del virus de la estomatitis vesicular (VSV).
El material de leucoaféresis se enriquece en linfocitos T CD4+/CD8+ mediante inmunoselección positiva, se activa mediante agonistas de CD3 y CD28 y se transduce con el vector lentiviral. Las células se expanden después en medio con sustituto de suero e interleuquina 2 (IL-2). Los linfocitos T ($\geq 90\%$ CD3+; $\leq 1\%$ CD19+ o CD20+) son positivos para el transgén ($\geq 10\%$ positivos para el CAR) y secretan interferón gamma en respuesta al co-cultivo con líneas celulares tumorales que expresan CD20
terapia génica basada en células (antineoplásico)

setomagpranam

setomagpran

3-chloro-*N*-[(1*R*,3*S*)-3-[[6-chloro-2-(trifluoromethyl)quinolin-4-yl]amino]cyclohexyl]-1-(2,2,2-trifluoroethyl)-1*H*-pyrazole-4-carboxamide
Mas-related *G* protein-coupled receptor antagonist, anti-inflammatory

sétomagpran

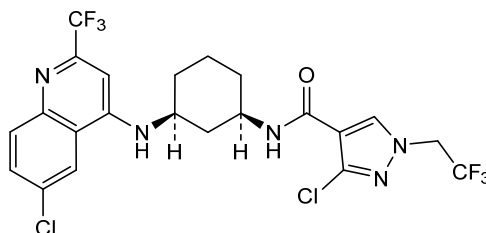
3-chloro-*N*-[(1*R*,3*S*)-3-[[6-chloro-2-(trifluorométhyl)quinoléin-4-yl]amino]cyclohexyl]-1-(2,2,2-trifluoroéthyl)-1*H*-pyrazole-4-carboxamide
antagoniste des récepteurs couplés aux protéines G liés à Mas, anti-inflammatoire

setomagprán

3-cloro-*N*-[(1*R*,3*S*)-3-[[6-cloro-2-(trifluorometil)quinolein-4-il]amino]ciclohexil]-1-(2,2,2-trifluoroetil)-1*H*-pirazol-4-carboxamida
antagonista del receptor Mas acoplado a proteínas G, antiinflamatorio

C₂₂H₁₉Cl₂F₆N₅O

2991434-57-0

**silevertinibum**

silevertinib

(2*E*)-*N*-[4-(3-chloro-2-fluoroanilino)-7-[[[(1*R*,5*S*)-3-methyl-3-azabicyclo[3.1.0]hexan-1-yl]ethynyl]quinazolin-6-yl]-4-(morpholin-4-yl)but-2-enamide
epidermal growth factor receptor tyrosine kinase inhibitor, antineoplastic

silévertinib

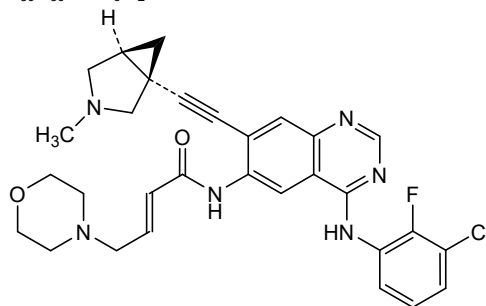
(2*E*)-*N*-[4-(3-cloro-2-fluoroanilino)-7-[[[(1*R*,5*S*)-3-méthyl-3-azabicyclo[3.1.0]hexan-1-yl]éthynyl]quinazolin-6-yl]-4-(morpholin-4-yl)but-2-énamide
inhibiteur de la tyrosine kinase du récepteur du facteur de croissance épidermique, antinéoplasique

silevertinib

(2*E*)-*N*-[4-(3-cloro-2-fluoroanilino)-7-[[[(1*R*,5*S*)-3-metil-3-azabíciclo[3.1.0]hexan-1-il]etínil]quinazolin-6-il]-4-(morfolin-4-il)but-2-enamida
inhibidor de la tirosina kinasa del receptor del factor de crecimiento epidérmico, antineoplásico

C₃₀H₃₀ClF₂N₆O₂

2607829-38-7



sitmutolimod

todo-P-ambo-(3'→5')-P-tiotimidilil-(3'→5')-2'-desoxi-P-tiocitidilil-(3'→5')-2'-desoxi-P-tioguanilil-(3'→5')-2'-desoxi-P-tiocitidilil-(3'→5')-2'-desoxi-P-tioguanilil-(3'→5')-2'-desoxi-P-tioadenilil-(3'→5')-2'-desoxi-P-tiocitidilil-(3'→5')-2'-desoxi-P-tioguanilil-(3'→5')-P-tiotimidilil-(3'→5')-P-tiotimidilil-(3'→5')-2'-desoxi-P-tiocitidilil-(3'→5')-2'-desoxi-P-tioguanilil-(3'→5')-2'-desoxi-P-tiocitidilil-(3'→5')-2'-desoxi-P-tioguanilil-(3'→5')-2'-desoxi-P-tiocitidilil-(3'→5')-2'-desoxi-P-tioguanilil-(3'→5')-P-tiotimidilil-(3'→5')-2'-desoxi-P-tioadenilil-(3'→5')-2'-desoxi-P-tiocitidilil-(3'→5')-2'-desoxi-P-tioadenilil-(3'→5')-2'-desoxi-P-tiocitidilil-(3'→5')-2'-desoxi-P-tioguanilil-(3'→5')-2'-desoxi-P-tiocitidilil-(3'→5')-2'-desoxi-P-tioguanilil-(3'→5')-2'-desoxi-P-tioguanilil
agonista del receptor de tipo Toll, antineoplásico

C₂₈₀H₃₅₄N₁₁₀O₁₄₅P₂₈S₂₈

3002979-61-2

(3'-5') d(T=C=G=C=G=A=A=C=G=T=T=C=G=C=C=C=G=C=G=T=A=C=G=T=A=C=G=C=G=G)

N : nucleoside / nucléoside / nucleósido
dN : 2'-deoxy-N / 2'-désoxy-N / 2'-desoxi-N
=: -PO(SH)-

soclenicantum

soclenicant

6-[(2,3-dihydro-1*H*-inden-2-yl)amino]-1-ethyl-3-(morpholine-4-carbonyl)-1,8-naphthyridin-4(1*H*)-one
nicotinic acetylcholine receptor negative allosteric modulator, anxiolytic

soclénicant

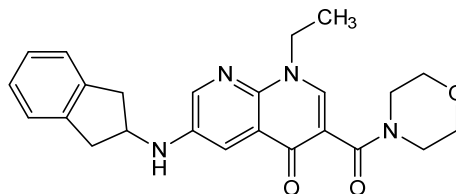
6-[(2,3-dihydro-1*H*-indén-2-yl)amino]-1-éthyl-3-(morpholine-4-carbonyl)-1,8-naphtyridin-4(1*H*)-one
modulateur allostérique négatif des récepteurs nicotinniques de l'acétylcholine, anxiolytique

soclenicant

6-[(2,3-dihidro-1*H*-inden-2-il)amino]-1-etil-3-(morfolina-4-carbonil)-1,8-naftiridin-4(1*H*)-ona
modulador alostérico negativo del receptor nicotínico de la acetilcolina, ansiolítico

C₂₄H₂₆N₄O₃

1020634-41-6



soficabtagenum geleucelum #

soficabtagene geleucel

allogeneic CD4+ and CD8+ T lymphocytes derived from leukapheresis material of healthy donors, genetically modified using CRISPR/Cas9 gene editing to knockout the expression of endogenous CD7 and TRAC using

guide RNAs (gRNAs), followed by transduction with a self-inactivating, non-replicating lentivirus vector encoding an anti-CD7 chimeric antigen receptor (CAR) comprising a CD8 leader sequence, anti-CD7 single-chain variable fragment (scFv)(clone TH69), CD8 hinge, CD28 transmembrane domain, 4-1BB co-stimulatory domain and CD3 ζ intracellular signalling domain, under control of the elongation factor 1 alpha (EF-1 α) promoter. The transgene also encodes a truncated human CD34 extracellular domain separated from the CAR by a 2A peptide derived from porcine teschovirus-1. The CRISPR/Cas9 and gRNAs are introduced as a ribonucleoprotein (RNP) complex by electroporation. The lentivirus vector is flanked by 5' and 3' LTRs and also contains a viral packaging sequence ψ , partial gag, a Rev response element (RRE), a central polypurine tract/central termination sequence (cPPT/CTS) and a synthetic identification (ID) sequence. The vector is pseudotyped with VSV G envelope glycoprotein.

The leukapheresis material is enriched for CD4+ and CD8+ T lymphocytes by positive immunoselection prior to activation with CD3 and CD28 agonists in growth media containing interleukin 7 (IL-7) and interleukin 15 (IL-15). The cells are gene-edited and then transduced with the lentiviral vector and expanded in growth media containing human AB serum, IL-7, and IL-15. The cell suspension consists of T lymphocytes ($\geq 98.0\%$ CD45+, $\leq 1.0\%$ CD7+, $\leq 8.0\%$ CD3+) with greater than 30% of the T lymphocytes expressing the CAR transgene and $>70\%$ (CD7) and $>85\%$ (TRAC) on-target gene editing. The transduced T lymphocytes demonstrate cytotoxicity against CD7+ T-lymphoblastic target cells

cell-based gene therapy (antineoplastic)

soficabtagène géleuce

lymphocytes T allogéniques CD4+ et CD8+ dérivés de matériel de leucaphérese de donneurs sains, génétiquement modifiés à l'aide de l'édition génique CRISPR/Cas9 pour éliminer l'expression endogènes de CD7 et TRAC à l'aide d'ARN guides (ARNg), suivis d'une transduction avec un vecteur lentiviral auto-inactivant et non répliatif codant pour un récepteur antigénique chimérique (RAC) anti-CD7 comprenant une séquence de tête CD8, un fragment variable à chaîne unique (scFv) anti-CD7 (clone TH69), une charnière CD8, un domaine transmembranaire CD28, un domaine co-stimulateur 4-1BB et un domaine de signalisation intracellulaire CD3 ζ , sous le contrôle du promoteur du facteur d'élongation 1 alpha (EF-1 α). Le transgène code également pour un domaine extracellulaire tronqué du CD34 humain séparé du RAC par un peptide 2A dérivé du teschovirus-1 porcin. Le CRISPR/Cas9 et les ARNg sont introduits sous forme de complexe ribonucléoprotéique (RNP) par électroporation. Le vecteur lentiviral est flanqué de longues répétitions terminales en 5' et en 3' et contient également une séquence d'emballage virale ψ , une partie de gène gag, un élément de réponse Rev (RRE), une séquence centrale de tractus polypurine/terminaison centrale (cPPT/CTS) et une identification synthétique (ID). Le vecteur est pseudotypé avec la glycoprotéine G d'enveloppe du virus de la stomatite vésiculaire (VSV).

Le matériel de leucaphérese est enrichi en lymphocytes T CD4+ et CD8+ par immunosélection positive, avant activation avec des agonistes CD3 et CD28, dans un milieu de croissance contenant de l'interleukine 7 (IL-7) et de l'interleukine 15 (IL-15).

Les cellules sont modifiées génétiquement, puis transduites avec le vecteur lentiviral et expansées dans un milieu de croissance contenant du sérum AB humain, de l'IL-7 et de l'IL-15. La suspension cellulaire est constituée de lymphocytes T ($\geq 98.0\%$ CD45+, $\leq 1.0\%$ CD7+, $\leq 8.0\%$ CD3+) avec plus de 30% de lymphocytes T exprimant le transgène RAC, et $>70\%$ (CD7) et $>85\%$ (TRAC) d'édition de gènes sur cible. Les lymphocytes T transduits démontrent une cytotoxicité contre les cellules cibles lymphoblastiques T CD7+

soficabtagén geleucel

linfocitos T CD4+ y CD8+ alogénicos derivados de material de leucoaféresis de donantes sanos, modificados genéticamente usando edición génica con CRISPR/Cas9 para eliminar la expresión de CD7 y TRAC endógenos usando ARNs guía (ARNg), seguido de transducción con un vector lentiviral auto-inactivante, no replicativo que codifica un receptor de antígenos quimérico (CAR) anti-CD7 que consta de una secuencia líder de CD8, un fragmento variable de cadena sencilla (scFv) anti-CD7 (clon TH69), bisagra de CD8, un dominio transmembrana de CD28, un dominio coestimulador de 4-1BB y un dominio de señalización intracelular de CD3 ζ , bajo el control del promotor del factor de elongación 1 alfa (EF-1 α). El transgén también codifica un dominio extracelular truncado de CD34 humano separado del CAR por un péptido 2A derivado del teschovirus porcino 1. El CRISP/Cas9 y los ARNg se introducen como un complejo de ribonucleoproteína (RNP) mediante electroporación. El vector lentiviral está flanqueado por repeticiones terminales largas (LTRs) en 5' y 3' y también contiene una secuencia de empaquetamiento viral ψ , un *gag* parcial, un elemento de respuesta Rev (RRE), una secuencia de tracto de poli-purina/terminación central (cPPT/CTS) y una secuencia de identificación (ID) sintética. El vector está pseudotipado con la glicoproteína G de la envuelta de VSV.

El material de leucoaféresis se enriquece en linfocitos T CD4+ y CD8+ mediante inmunoselección positiva antes de la activación con agonistas de CD3 y CD28 en medio de crecimiento que contiene interleuquina 7 (IL-7) e interleuquina 15 (IL-15). Las células se editan genéticamente y después se transducen con el vector lentiviral y se expanden en medio de crecimiento que contiene suero AB humano, IL-7 e IL-15. La suspensión celular consiste en linfocitos T ($\geq 98.0\%$ CD45+, $\leq 1.0\%$ CD7+, $\leq 8.0\%$ CD3+) con más del 30% de los linfocitos T que expresan el transgén del CAR y con $\geq 70\%$ (CD7) y $>85\%$ (TRAC) de edición génica dirigida. Los linfocitos transducidos muestran citotoxicidad frente a células T linfoblásticas diana CD7+ *terapia génica basada en células (antineoplásico)*

solangeprasum

solangepras

1-(2-[4-(2,4-difluorophenoxy)piperidin-1-yl]-3-[[3(R)-oxolan-3-yl]amino]-7,8-dihydropyrido[3,4-b]pyrazin-6(5H)-yl)ethan-1-one
G protein-coupled receptor 6 (GPCR6) inverse agonist, antiparkinsonian

solangépras

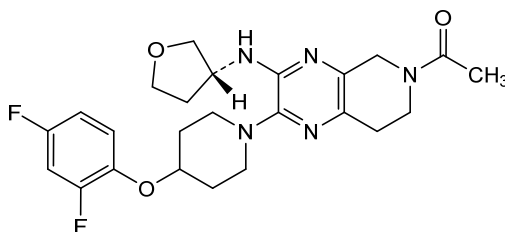
1-(2-[4-(2,4-difluorophénoxy)pipéridin-1-yl]-3-[[3(R)-oxolan-3-yl]amino]-7,8-dihydropyrido[3,4-b]pyrazin-6(5H)-yl)éthan-1-one
agoniste inverse du récepteur 6 couplé aux protéines G (GPCR6), antiparkinsonien

solangepras

1-(2-[4-(2,4-difluorofenoxi)piperidin-1-il]-3-[[3(R)-oxolan-3-il]amino]-7,8-dihidropirido[3,4-b]pirazin-6(5H)-il)etan-1-ona
agonista inverso del receptor 6 (GPCR6) acoplado a proteínas G, antiparkinsoniano

C₂₄H₂₉F₂N₅O₃

2254706-21-1

**sonzivotidum filricianinum**

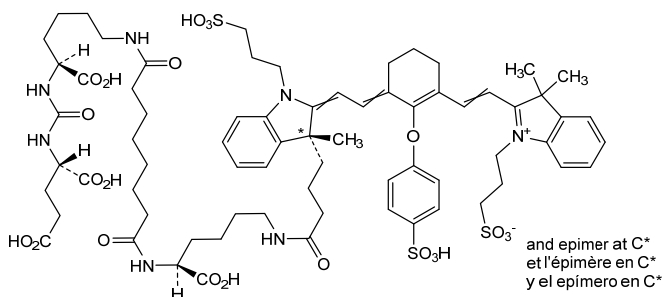
sonzivotide filricianine 3-(3,3-dimethyl-2-((Ξ)-2-[(3 Ξ)-3-[(2 Ξ)-2-((3*RS*)-3-methyl-1-(3-sulfo-propyl)-3-[(3*S*,7*S*,22*S*)-1,3,7,22-tétracarboxy-5,13,20,28-tétraoxo-4,6,12,21,27-pentaazahéntriacontan-31-yl]-1,3-dihydro-2*H*-indol-2-ylidène)éthylidène]-2-(4-sulfo-phénoxy)cyclohex-1-en-1-yl]éthén-1-yl)-3*H*-indol-1-ium-1-yl)propane-1-sulfonate
diagnostic imaging agent

sonzivotide filricianine 3-(3,3-diméthyl-2-((Ξ)-2-[(3 Ξ)-3-[(2 Ξ)-2-((3*RS*)-3-méthyl-1-(3-sulfo-propyl)-3-[(3*S*,7*S*,22*S*)-1,3,7,22-tétracarboxy-5,13,20,28-tétraoxo-4,6,12,21,27-pentaazahéntriacontan-31-yl]-1,3-dihydro-2*H*-indol-2-ylidène)éthylidène]-2-(4-sulfo-phénoxy)cyclohex-1-én-1-yl]éthén-1-yl)-3*H*-indol-1-ium-1-yl)propane-1-sulfonate
agent d'imagerie diagnostique

sonzivotida filricianina 3-(3,3-dimetil-2-((Ξ)-2-[(3 Ξ)-3-[(2 Ξ)-2-((3*RS*)-3-metil-1-(3-sulfo-propil)-3-[(3*S*,7*S*,22*S*)-1,3,7,22-tétracarboxi-5,13,20,28-tétraoxo-4,6,12,21,27-pentaazahéntriacontan-31-il]-1,3-dihidro-2*H*-indol-2-ilideno)etilideno]-2-(4-sulfofenoxi)ciclohex-1-en-1-il]eten-1-il)-3*H*-indol-1-io-1-il)propano-1-sulfonato
agente de diagnóstico por imagen

C₇₁H₉₅N₇O₂₂S₃

2135637-99-7

**sosimerasibum**

sosimerasib

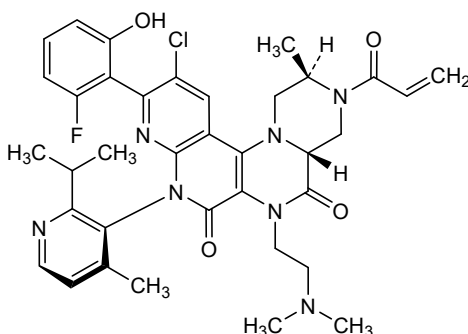
(2*R*,4*aR*,8*M*)-11-chloro-6-[2-(dimethylamino)ethyl]-10-(2-fluoro-6-hydroxyphenyl)-2-methyl-8-[4-methyl-2-(propan-2-yl)pyridin-3-yl]-3-(prop-2-enoyl)-2,3,4,4*a*,6,8-hexahydro-1*H*-pyrazino[1',2':4,5]pyrazino[2,3-*c*][1,8]naphthyridine-5,7-dione
Kirsten rat sarcoma viral oncogene homolog inhibitor, antineoplastic

sosimérasib (2*R*,4*aR*,8*M*)-11-chloro-6-[2-(diméthylamino)éthyl]-10-(2-fluoro-6-hydroxyphényl)-2-méthyl-8-[4-méthyl-2-(propan-2-yl)pyridin-3-yl]-3-(prop-2-énoyl)-2,3,4,4*a*,6,8-hexahydro-1*H*-pyrazino[1',2':4,5]pyrazino[2,3-*c*][1,8]naphtyridine-5,7-dione
inhibiteur d'homologue d'oncogène viral du sarcome de rat de Kirsten, antinéoplasique

sosimerasib (2*R*,4*aR*,8*M*)-11-cloro-6-[2-(dimetilamino)etil]-10-(2-fluoro-6-hidroxifenil)-2-metil-8-[4-metil-2-(propan-2-il)piridin-3-il]-3-(prop-2-enoil)-2,3,4,4*a*,6,8-hexahidro-1*H*-pirazino[1',2':4,5]pirazino[2,3-*c*][1,8]naftiridina-5,7-diona
inhibidor del homólogo del oncogen vírico del sarcoma de rata Kirsten, antineoplásico

C₃₆H₃₉ClFN₇O₄

2839563-01-6



sumonerimodum

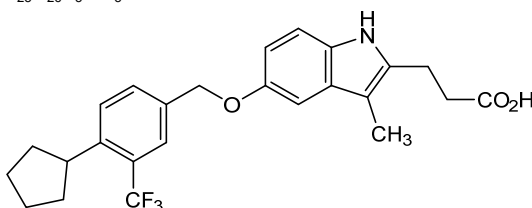
sumonerimod 3-(5-[[4-cyclopentyl-3-(trifluorométhyl)phényl]méthoxy]-3-méthyl-1*H*-indol-2-yl)propanoic acid
sphingosine-1-phosphate receptor 1 agonist, immunomodulator

sumonérimod acide 3-(5-[[4-cyclopentil-3-(trifluorométhy)phényl]méthoxy]-3-méthyl-1*H*-indol-2-yl)propanoïque
agoniste du récepteur 1 du sphingosine-1-phosphate, immunomodulateur

sumonerimod ácido 3-(5-[[4-ciclopentil-3-(trifluorometil)fenil]metoxi]-3-metil-1*H*-indol-2-il)propanoico
agonista del receptor 1 de la esfingosina-1 fosfato, inmunomodulador

C₂₅H₂₆F₃NO₃

2433782-42-2



suraxavirum marboxilum

suraxavir marboxil (((12'*aR*)-12'-[(11*S*)-7,8-difluoro-6,11-dihydrodibenzo[*b,e*]thiepin-11-yl]-6',8'-dioxo-6',8',12',12'*a*-tetrahydro-1'*H*,4'*H*-spiro[cyclopropane-1,3'-[1,4]oxazino[3,4-*c*]pyrido[2,1-*f*][1,2,4]triazin-7'-yl]oxy)methyl methyl carbonate
antiviral

suraxavir marboxil

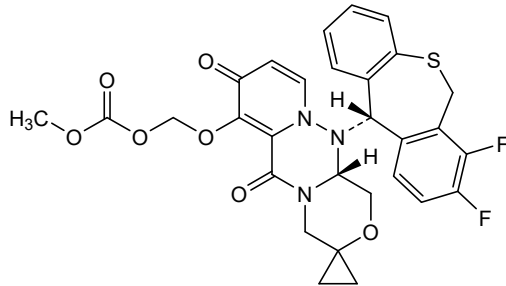
carbonate de (({12'aR)-12'-[(11S)-7,8-difluoro-6,11-dihydrodibenzo[b,e]thiépín-11-yl]-6',8'-dioxo-6',8',12',12'a-tétrahydro-1'H,4'H-spiro[cyclopropane-1,3'-[1,4]oxazino[3,4-c]pyrido[2,1-f][1,2,4]triazin]-7'-yl}oxy)méthyle et de méthyle
antiviral

suraxavir marboxilo

carbonato de (({12'aR)-12'-[(11S)-7,8-difluoro-6,11-dihydrodibenzo[b,e]tiépín-11-il]-6',8'-dioxo-6',8',12',12'a-tétrahydro-1'H,4'H-espiro[ciclopropano-1,3'-[1,4]oxazino[3,4-c]pirido[2,1-f][1,2,4]triazin]-7'-il]oxi)metilo y metilo
antiviral

C₂₉H₂₅F₂N₃O₇S

2364589-86-4



suvonstobartum #
suvonstobart

immunoglobulin G1-kappa, anti-[*Homo sapiens* CD24 (signal transducer CD24)], monoclonal antibody; H-gamma1 heavy chain (1-447) [VH Musmus/Homsap (*Mus musculus* IGHV3-1*02 (98.0%) -(IGHD) -IGHJ4*01 (87.5%) G121>R (110)/*Homo sapiens* IGHV4-30-4*09 (74.5%) -(IGHD) -IGHJ4*01 (78.6%) G121>R (110), L123>S (112), CDR-IMGT [9.7.10] (26-34.52-58.97-106)) (1-117) - *Homo sapiens* IGHG1*03,G1m3, nG1m1 CH1 R120, CH3 E12, M14, 2-G1v6 CH2 A85.4, A118, A119 (CH1 R120 (214) (118-215), hinge 1-15 (216-230), CH2 S85.4>A (298), E118>A (333), K119>A (334) (231-340), CH3 E12 (356), M14 (358) (341-445), CHS (446-447)) (118-447)], (220-220')-disulfide with L-kappa light chain (1'-220') [V-KAPPA (*Homo sapiens* IGKV1-27*01 (82.3%) -IGKJ4*01 (91.7%) I126>L (112'), CDR-IMGT [12.3.9] (27'-38'.56'-58'.95'-103')) (1'-113') -*Homo sapiens* IGKC*01 (100%) Km3 A45.1, V101 (C-KAPPA A45.1 (159'), V101 (197')) (114'-220')]; dimer (226-226'' :229-229'')-bisdisulfide, produced in Chinese hamster ovary (CHO) cells, cell line CHO-K1, glycoform alfa
immunostimulant, antineoplastic

suvonstobart

immunoglobuline G1-kappa, anti-[*Homo sapiens* CD24 (transducteur de signal CD24)], anticorps monoclonal;

chaîne lourde H-gamma1 (1-447) [VH Musmus/Homsap (*Mus musculus* IGHV3-1*02 (98.0%) -(IGHD) -IGHJ4*01 (87.5%) G121>R (110)/*Homo sapiens* IGHV4-30-4*09 (74.5%) -(IGHD) -IGHJ4*01 (78.6%) G121>R (110), L123>S (112), CDR-IMGT [9.7.10] (26-34.52-58.97-106)) (1-117) -*Homo sapiens* IGHG1*03.G1m3, nG1m1 CH1 R120, CH3 E12, M14, 2-G1v6 CH2 A85.4, A118, A119 (CH1 R120 (214) (118-215), charnière 1-15 (216-230), CH2 S85.4>A (298), E118>A (333), K119>A (334) (231-340), CH3 E12 (356), M14 (358) (341-445), CHS (446-447)) (118-447)], (220-220')-disulfure avec la chaîne légère L-kappa (1'-220') [V-KAPPA (*Homo sapiens* IGKV1-27*01 (82.3%) -IGKJ4*01 (91.7%) I126>L (112'), CDR-IMGT [12.3.9] (27'-38'.56'-58'.95'-103')) (1'-113') -*Homo sapiens* IGKC*01 (100%) Km3 A45.1, V101 (C-KAPPA A45.1 (159'), V101 (197')) (114'-220')]; dimère (226-226":229-229")-bisdisulfure, produit dans des cellules ovariennes de hamster chinois (CHO), lignée cellulaire CHO-K1, glycoforme alfa
immunostimulant, antinéoplasique

suvonstobart inunoglobulina G1-kappa, anti-[*Homo sapiens* CD24 (transductor de señal CD24)], anticuerpo monoclonal;
cadena pesada H-gamma1 (1-447) [VH Musmus/Homsap (*Mus musculus* IGHV3-1*02 (98.0%) -(IGHD) -IGHJ4*01 (87.5%) G121>R (110)/*Homo sapiens* IGHV4-30-4*09 (74.5%) -(IGHD) -IGHJ4*01 (78.6%) G121>R (110), L123>S (112), CDR-IMGT [9.7.10] (26-34.52-58.97-106)) (1-117) -*Homo sapiens* IGHG1*03.G1m3, nG1m1 CH1 R120, CH3 E12, M14, 2-G1v6 CH2 A85.4, A118, A119 (CH1 R120 (214) (118-215), bisagra 1-15 (216-230), CH2 S85.4>A (298), E118>A (333), K119>A (334) (231-340), CH3 E12 (356), M14 (358) (341-445), CHS (446-447)) (118-447)], (220-220')-disulfuro con la cadena ligera L-kappa (1'-220') [V-KAPPA (*Homo sapiens* IGKV1-27*01 (82.3%) -IGKJ4*01 (91.7%) I126>L (112'), CDR-IMGT [12.3.9] (27'-38'.56'-58'.95'-103')) (1'-113') -*Homo sapiens* IGKC*01 (100%) Km3 A45.1, V101 (C-KAPPA A45.1 (159'), V101 (197')) (114'-220')]; dímero (226-226":229-229")-bisdisulfuro, producido en las células ováricas de hámster chino (CHO), línea celular CHO-K1, forma glicosilada alfa
immunoestimulante, antineoplásico

2983834-87-1

Heavy chain / Chaîne lourde / Cadena pesada

DVQLQESGPD LVKPSQSLSL TCTVTGYSIT SGYSWHWIRQ FPGNKLEWVG 50
YIHYSSTKTKY NPSLKSRSISL TRDTSKNQFF LQLNSVTTED TATYFCARGA 100
DYALDYWGQR TSVTVSSAST KGPSVFPFLAP SSKSTSGGTA ALGCLVLDYF 150
PEPVTVSWNS GALTSGVHTF PAVLQSSGLY SLSSVVTVPS SSLGTQTYIC 200
NVNHKPSNTK VDKRVEPKSC DKHTCPPCP APPELLGGPSV FLFPPKPKTD 250
LMISRTPEVT CVVVVDVSHED PEVKFNWYVD GVEVHNAKTK PREEQYNATY 300
RVVSVLTVLH QDWLNGKEYK CKVSNKALPA FIAATISRAK GQPREPQVYT 350
LPPSREEMTK NQVSLTCLVK GFYPSDIAVE WESNGQPENN YKTTTPVLDL 400
DGSFFLYSKL TVDKSRWQQG NRVFSCSVME ALHNNHYTQKS LSLSPGK 447

Light chain / Chaîne légère / Cadena ligera

DIQMTQSPSS LSASVGDRTV ITCKSSQSL YSSNQKNYLA WYQQKPGKAP 50
KLLIYWASTR ESGVPSRFSG SSGSDFTLT ISSLQPEDFA TYQCQNFIY 100
PLTFGGGTKV ELKRTVAAPS VFIFPPSDEQ LKSGTASVVC LLNFPYPREA 150
KVQWKVDNAL QSGNSQESVT EQDSKDSITYS LSSITLTLKA DYEKHKVYAC 200
EVTHQGLSSP VTKSFNRGEC 220

Post-translational modifications

Disulfide bridges location / Position des ponts disulfure / Posiciones de los puentes disulfuro

Intra-H (C23-C104) 22-96 144-200 261-321 367-425
22"-96" 144"-200" 261"-321" 367"-425"

Intra-L (C23-C104) 23'-94' 140'-200'
23"'-94"" 140""-200""

Inter-H-L (h 5-CL 126) 220-220' 220"-220"
Inter-H-H (h 11, h 14) 226-226" 229-229"

N-glycosylation sites / Sites de N-glycosylation / Posiciones de N-glicosilación
H CH2 N84.4: 297, 297"

Fucosylated complex bi-antennary CHO-type glycans / glycanes de type CHO bi-antennaires complexes fucosylés / glicanos de tipo CHO biantenarijos complejos fucosilados

C-terminal lysine clipping / Coupure de la lysine C-terminale / Recorte de lisina C-terminal
H CHS K2: 447, 447"

talicabtagene autoleucelum #

talicabtagene autoleucel autologous peripheral blood mononuclear cells (PBMCs) obtained by leukapheresis enriched for CD3+ T lymphocytes, transduced with a self-inactivating non-replicating lentiviral vector encoding a chimeric antigen receptor (CAR) targeting CD19, comprising a CD8 α leader sequence, a humanised anti-CD19 single chain variable fragment (scFv; derived from the FMC63 antibody), human CD8 α hinge and transmembrane domain, human 4-1BB co-stimulatory domain and human CD3 ζ signalling domain, under control of the elongation factor-1 alpha (EF-1 α) promoter. The vector genome also contains an HIV-1 packaging signal (ψ), a Rev response element (RRE), a central polypurine tract (cPPT)/central termination sequence (CTS) and is flanked by 5' and 3' long terminal repeats (LTRs). The vector is pseudotyped with vesicular stomatitis virus (VSV) G glycoprotein. The leukapheresis material is enriched for CD3+ T lymphocytes by positive immunoselection, activated by CD3 and CD28 agonists and transduced with the lentiviral vector. The cells are then expanded in media supplemented with human AB serum and interleukin 2 (IL-2). The T lymphocytes ($\geq 95\%$) are positive for the transgene ($\geq 15\%$ CAR positive) and are cytotoxic ($\geq 50\%$) when co-cultured with CD19 expressing tumour cell lines
cell-based gene therapy (antineoplastic)

talicabtagène autoleucel cellules mononucléaires du sang périphérique (PBMC) autologues, obtenues par leucaphérèse et enrichies en lymphocytes T CD3+, transduites avec un vecteur lentiviral non répliatif auto-inactivant codant un récepteur antigénique chimérique (RAC) ciblant CD19, comprenant une séquence de tête CD8 α , un fragment variable à chaîne unique anti-CD19 humanisé (scFv; dérivé de l'anticorps FMC63), un domaine charnière et un domaine transmembranaire CD8 α humain, un domaine co-stimulateur 4-1BB humain et un domaine de signalisation CD3 ζ humain, sous le contrôle du promoteur du facteur d'élongation 1 alpha (EF-1 α). Le génome du vecteur contient également un signal d'emballage du VIH-1 (ψ), un élément de réponse Rev (RRE), un tractus polypurine central (cPPT)/séquence de terminaison centrale (CTS), et est flanqué de répétitions terminales longues (LTRs) en 5' et en 3'. Le vecteur est pseudotypé avec la glycoprotéine G du virus de la stomatite vésiculaire (VSV).
Le matériel de leucaphérèse est enrichi en lymphocytes T CD3+ par immunosélection positive, activé par des agonistes CD3 et CD28 et transduit avec le vecteur lentiviral. Les cellules sont ensuite épanchées dans un milieu supplémenté de sérum AB humain et d'interleukine 2 (IL-2). Les lymphocytes T ($\geq 95\%$) sont positifs pour le transgène ($\geq 15\%$ RAC positifs), et sont cytotoxiques ($\geq 50\%$) lorsqu'ils sont co-cultivés avec des lignées cellulaires tumorales exprimant CD19
thérapie génique à base de cellules (antinéoplasique)

talicabtagén autoleucel células monucleares de sangre periférica (PBMCs) autólogas obtenidas por leucoaféresis, enriquecidas en linfocitos T CD3+, transducidas con un vector lentiviral auto-inactivante, no replicativo, que codifica un receptor de antígenos quimérico (CAR) dirigido a CD19, que consta de una secuencia líder de CD8 α , un fragmento variable de cadena sencilla anti-CD19 humanizado (scFv; derivado del anticuerpo FMC63), un dominio bisagra y transmembrana de CD8 α , un dominio coestimulador de 4-1BB humano y un dominio de señalización de CD3 ζ humano, bajo el control del promotor del factor de elongación 1 alfa (EF-1 α). El genoma del vector también contiene una señal de empaquetamiento del HIV-1 (ψ), un elemento de

respuesta Rev (RRE) y una secuencia de tracto de poli-purina central (cPPT)/terminación central (CTS), y está flanqueado por repeticiones terminales largas (LTRs) en 5' y 3'. El vector estáseudotipado con la glicoproteína G del virus de la estomatitis vesicular (VSV).

El material de leucoaféresis se enriquece en linfocitos T CD3+ mediante inmunoselección positiva, se activa con agonistas de CD3 y CD28 y se transduce con el vector lentiviral. Las células se expanden después en medio suplementado con suero AB humano e interleuquina 2 (IL-2). Los linfocitos T (≥95%) son positivos para el transgén (≥15% CAR positivos) y son citotóxicos (≥50%) cuando se co-cultivan con líneas de células tumorales que expresan CD19 *terapia génica basada en células (antineoplásico)*

tanruprubartum

tanruprubart

immunoglobulin G4-kappa, anti-[*Homo sapiens* C1q (complement C1q)], monoclonal antibody;
H-gamma4 heavy chain (1-448) [VH Musmus/Homsap (*Mus musculus* IGHV1-64*01 (82.5%) -(IGHD) -IGHJ4*01 (92.9%) S123>T (116)/*Homo sapiens* IGHV1-46*01 (79.4%) -(IGHD) -IGHJ6*01 (92.9%), CDR-IMGT [8.8.14] (26-33.51-58.97-110)) (1-121) -*Homo sapiens* IGHG4*01, *nG4m(a)* CH2 L92, 12-G4v5 h P10, 6-G4v3 CH2 E1.2 (CH1 (122-219), hinge 1-12 S10>P (229) (220-231), CH2 L1.2>E (236), L92 (310) (232-341), CH3 (342-446), CHS (447-448)) (122-448)], (135-214')-disulfide with L-kappa light chain (1'-214') [V-KAPPA Musmus/Homsap (*Mus musculus* IGKV16-104*01 (89.5%) -IGKJ2*03 (90.9%) S120>Q (100')/*Homo sapiens* IGKV1-9*03 (80.9%) -IGKJ2*01 (100%), CDR-IMGT [6.3.9] (27'-32'.50'-52'.89'-97'')) (1'-107') -*Homo sapiens* IGKC*01 (100%) Km3 A45.1, V101 (C-KAPPA A45.1 (153'), V101 (191')) (108'-214')]; dimer (227-227":230-230")-bisdisulfide, produced in Chinese hamster ovary (CHO) cells, derived from the cell line CHO-K1SV, lacking the glutamine synthetase (GS-KO) gene, glycoform alfa *immunosuppressant*

tanruprubart

immunoglobuline G4-kappa, anti-[*Homo sapiens* C1q (complément C1q)], anticorps monoclonal;
chaîne lourde H-gamma4 (1-448) [VH Musmus/Homsap (*Mus musculus* IGHV1-64*01 (82.5%) -(IGHD) -IGHJ4*01 (92.9%) S123>T (116)/*Homo sapiens* IGHV1-46*01 (79.4%) -(IGHD) -IGHJ6*01 (92.9%), CDR-IMGT [8.8.14] (26-33.51-58.97-110)) (1-121) -*Homo sapiens* IGHG4*01, *nG4m(a)* CH2 L92, 12-G4v5 h P10, 6-G4v3 CH2 E1.2 (CH1 (122-219), charnière 1-12 S10>P (229) (220-231), CH2 L1.2>E (236), L92 (310) (232-341), CH3 (342-446), CHS (447-448)) (122-448)], (135-214')-disulfure avec la chaîne légère L-kappa (1'-214') [V-KAPPA Musmus/Homsap (*Mus musculus* IGKV16-104*01 (89.5%) -IGKJ2*03 (90.9%) S120>Q (100')/*Homo sapiens* IGKV1-9*03 (80.9%) -IGKJ2*01 (100%), CDR-IMGT [6.3.9] (27'-32'.50'-52'.89'-97'')) (1'-107') -*Homo sapiens* IGKC*01 (100%) Km3 A45.1, V101 (C-KAPPA A45.1 (153'), V101 (191')) (108'-214')]; dimère (227-227":230-230")-bisdisulfure, produit dans des cellules ovariennes de hamster chinois (CHO), dérivant de la lignée cellulaire CHO-K1SV, ne présentant pas le gène de la glutamine synthétase (GS-KO), glycoforme alfa *immunosuppresseur*

tanruprubart

inmunoglobulina G4-kappa, anti-[*Homo sapiens* C1q] (complemento C1q)], anticuerpo monoclonal; cadena pesada H-gamma4 (1-448) [VH Musmus/Homsap (*Mus musculus* IGHV1-64*01 (82.5%) -(IGHD) -IGHJ4*01 (92.9%) S123>T (116)/*Homo sapiens* IGHV1-46*01 (79.4%) -(IGHD) -IGHJ6*01 (92.9%), CDR-IMGT [8.8.14] (26-33.51-58.97-110)) (1-121) -*Homo sapiens* IGHG4*01, nG4m(a) CH2 L92, 12-G4v5 h P10, 6-G4v3 CH2 E1.2 (CH1 (122-219), bisagra 1-12 S10>P (229) (220-231), CH2 L1.2>E (236), L92 (310) (232-341), CH3 (342-446), CHS (447-448)) (122-448)], (135-214')-disulfuro con la cadena ligera L-kappa (1'-214') [V-KAPPA Musmus/Homsap (*Mus musculus* IGKV16-104*01 (89.5%) -IGKJ2*03 (90.9%) S120>Q (100')/*Homo sapiens* IGKV1-9*03 (80.9%) -IGKJ2*01 (100%), CDR-IMGT [6.3.9] (27'-32'.50'-52'.89'-97'') (1'-107') -*Homo sapiens* IGKC*01 (100%) Km3 A45.1, V101 (C-KAPPA A45.1 (153'), V101 (191')) (108'-214')]; dímero (227-227'':230-230'')-bisdisulfuro, producido en las células ováricas de hámster chino (CHO), línea celular derivada de CHO-K1SV, en ausencia del gen glutamina sintetasa (GS-KO), forma glicosilada alfa
inmunosupresor

2065212-40-8

Heavy chain / Chaîne lourde / Cadena pesada

QVQLVQSGAE LKKPGASVKV SCKSSGYHFT SYWMHWVKA PGQGLEWIGV 50
IHPNSGSINY NEKFESRVTI TVDKSTSTAY MELSSLRSED TAVVYCAGER 100
DSTEVLPMDY WGGQTTVTVS SASTKGPSVF PLAPCSRSTS ESTAALGCLV 150
KDYFFPEPVTV SWNSGALTSV VHTFPAVLQV SGLYSLSSV TVPSSSLGTK 200
TYTCNVDPKPK SNTKVDKRVK SKYGPPCPPC PAPEFEGGSP VFLFPPKPKD 250
TLMISRTPKV TCVVVDVQSE DPEVQFNWYV DGVEVHNAKT KPREEQFNST 300
YRVVSVLTVL HQDWLNGKEY KCKVSNKGLP SSIERTISKA KGQPREPQVY 350
TLPPSQEEMT KNQVSLTCLV KGFYPSDIAV EWESNGQFEN NYKTTTPPVL 400
SDGSFFLYSR LTVDKSRWQE GNVFSCSVMH EALHNHYTQK SLSLSLKG 448

Light chain / Chaîne légère / Cadena ligera

DVQITQSPSS LSASLGERAT INCRASKSIN KYLAWYQQKP GKAPKLLIYS 50
GSTLQSGIPA RFGSGSGTD FTLTISLSEPE EDFAMYQCQQ HNEYPLTFGQ 100
GTKLEIKRTV AAPSVEIFPP SDEQLKSGTA SVVCLLNNFY PREAKVQMKV 150
DNALQSGNSQ ESVTEQDSKD STYLSLSTLT LSKADYKHKH VYACEVTHQG 200
LSSPVTKSFN RGEC 214

Post-translational modifications

Disulfide bridges location / Position des ponts disulfure / Posiciones de los puentes disulfuro

Intra-H (C23-C104) 22-96 148-204 262-322 368-426
22"-96" 148"-204" 262"-322" 368"-426"

Intra-L (C23-C104) 23'-88' 134'-194'
23'''-88''' 134'''-194'''

Inter-H-L (CH1 10-CL 126) 135-214' 135"-214"
Inter-H-H (h 8, h 11) 227-227" 230-230"

N-terminal glutaminyl cyclization / Cyclisation du glutaminyle N-terminal / Ciclación del glutaminilo N-terminal

Q > pyroglutamyl (pE, 5-oxoprolyl) / pyroglutamide (pE, 5-oxoprolyle) / piroglutamilo (pE, 5-oxoprolilo)

H VH Q1: 1, 1"

N-glycosylation sites / Sites de N-glycosylation / Posiciones de N-glicosilación
H CH2 N84.4: 298, 298"

Fucosylated complex bi-antennary CHO-type glycans / glycanes de type CHO bi-antennaires complexes fucosylés / glicanos de tipo CHO biantenaricos complejos fucosilados

C-terminal lysine clipping / Coupure de la lysine C-terminale / Recorte de lisina C-terminal
H CHS K2: 448, 448"tarvicopanum
tarvicopan

[2-({7-[2-(aminomethyl)pyridin-4-yl]-2-methyl-1-benzofuran-5-yl)methoxy)phenyl]acetic acid
complement factor D inhibitor

tarvicopan

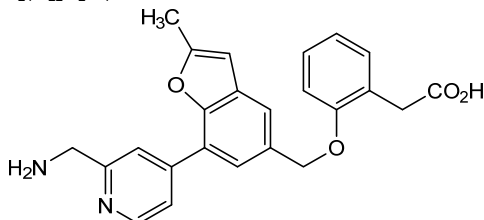
acide [2-({7-[2-(aminométhyl)pyridin-4-yl]-2-méthyl-1-benzofuran-5-yl}méthoxy)phényl]acétique
inhibiteur du facteur D du complément

tarvicopán

ácido [2-({7-[2-(aminometil)piridin-4-il]-2-metil-1-benzofuran-5-il}metoxi)fenil]acético
inhibidor del factor D del complemento

C₂₄H₂₂N₂O₄

2378381-06-5

**technetium (^{99m}Tc) gleceparinum sodium**technetium (^{99m}Tc) gleceparin sodium

sodium salt of heparin with degree of sulfatation about 2.7 per disaccharide unit, fractionated to a product containing ≥ 50 % of molecules with mass > 20 kDa, radiolabeled with (^{99m}Tc)technetium
imaging agent

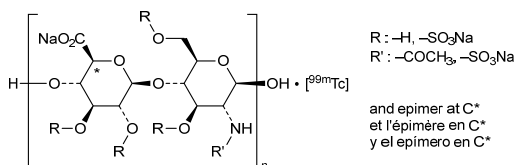
technétium (^{99m}Tc) glécéparine sodique

sel de sodium d'héparine avec une degré de sulfatation d'environ 2,7 par unité disaccharidique, fractionné en un produit contenant ≥ 50 % de molécules de masse > 20 kDa, radiomarcqué avec du (^{99m}Tc)technétium
agent d'imagerie diagnostique

tecnecio (^{99m}Tc) gleceparina sódica

sal sódica de heparina con un grado de sulfatación de aproximadamente 2,7 por unidad disacarídica, fraccionada hasta obtener un producto que contenga ≥ 50 % de moléculas con masa > 20 kDa, radiomarcado con (^{99m}Tc)tecnecio
agente de diagnóstico por imagen

3004691-95-3

**tersolisibum**

tersolisib

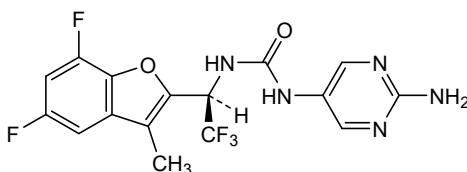
N-(2-aminopyrimidin-5-yl)-*N'*-[(1*R*)-1-(5,7-difluoro-3-methyl-1-benzofuran-2-yl)-2,2,2-trifluoroethyl]urea
phosphatidylinositol 3-kinase inhibitor, antineoplastic

tersolisib *N*-(2-aminopyrimidin-5-yl)-*N'*-[(1*R*)-1-(5,7-difluoro-3-méthyl-1-benzofuran-2-yl)-2,2,2-trifluoroéthyl]urée
inhibiteur de la phosphatidylinositol 3-kinase (PI3K), antinéoplasique

tersolisib *N*-(2-aminopyrimidin-5-yl)-*N'*-[(1*R*)-1-(5,7-difluoro-3-méthyl-1-benzofuran-2-yl)-2,2,2-trifluoroéthyl]urée
inhibidor de la kinasa-3 del fosfatidilinositol (PI3K), antineoplásico

C₁₆H₁₂F₅N₅O₂

2883540-92-7



tetrandrimum
tetrandrime

(1¹S,3¹S)-1⁶,3⁶,3⁷,5⁴-tetramethoxy-1²,3²-diméthyl-1¹,1²,1³,1⁴,3¹,3²,3³,3⁴-octahydro-2,6-dioxa-1(7,1),3(8,1)-diisoquinoléina-5(1,3),7(1,4)-dibenzénacyclooctaphane;
6,6',7,12-tetraméthoxy-2,2'-diméthyl-1-*epi*-berbaman
multi-drug resistance (MDR) modulator, antineoplastic

tétrandrine

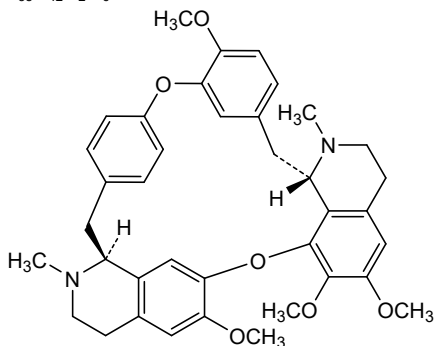
(1¹S,3¹S)-1⁶,3⁶,3⁷,5⁴-tétraméthoxy-1²,3²-diméthyl-1¹,1²,1³,1⁴,3¹,3²,3³,3⁴-octahydro-2,6-dioxa-1(7,1),3(8,1)-diisoquinoléina-5(1,3),7(1,4)-dibenzénacyclooctaphane;
6,6',7,12-tétraméthoxy-2,2'-diméthyl-1-*epi*-berbamane
modulateur de la multirésistance aux médicaments (MDR), antinéoplasique

tetrandrina

(1¹S,3¹S)-1²,3²-diméthil-1⁶,3⁶,3⁷,5⁴-tetrametoxi-1¹,1²,1³,1⁴,3¹,3²,3³,3⁴-octahidro-2,6-dioxa-1(7,1),3(8,1)-diisoquinoleina-5(1,3),7(1,4)-dibencenaciclooctafano;
2,2'-dimetil-6,6',7,12-tetrametoxi-1-*epi*-berbamano
modulador de resistencia a múltiples fármacos (MDR), antineoplásico

C₃₈H₄₂N₂O₆

518-34-3



tezusomantum

tezusomant

N-(15-carboxypentadecanoyl)-L- γ -glutamyl-L- γ -glutamyl- N^6 -{ $N^{6,2}$, $C^{1,7}$ -anhydro- $S^{N,1}$, $C^{3,13}$ -cyclo[4-carboxy-*N*-(sulfanylacetyl)-L-phenylalanyl- N^2 -methyl-L-lysyl-L-valyl-L-valyl-L-seryl-L-asparaginyl-1-(carboxymethyl)-L-tryptophyl-4-carboxy-L-phenylalanyl-L-lysyl-5-hydroxy-L-tryptophyl-2-methylalanyl-L-valyl-L-alanyl]}-L-lysineamide
growth hormone receptor antagonist, acromegaly

tézusomant

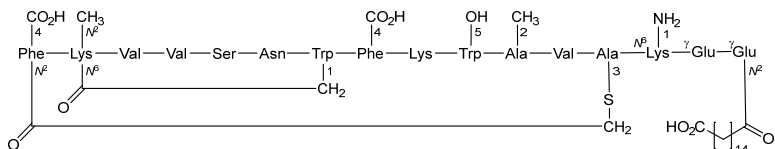
N-(15-carboxypentadécanoyl)-L- γ -glutamyl-L- γ -glutamyl- N^6 -{ $N^{6,2}$, $C^{1,7}$ -anhydro- $S^{N,1}$, $C^{3,13}$ -cyclo[4-carboxy-*N*-(sulfanylacétyl)-L-phénylalanyl- N^2 -méthyl-L-lysyl-L-valyl-L-valyl-L-séryl-L-asparaginyl-1-(carboxyméthyl)-L-tryptophyl-4-carboxy-L-phénylalanyl-L-lysyl-5-hydroxy-L-tryptophyl-2-méthylalanyl-L-valyl-L-alanyl]}-L-lysineamide
antagoniste du récepteur de l'hormone de croissance, acromégalie

tezusomant

N-(15-carboxipentadecanoil)-L- γ -glutamyl-L- γ -glutamyl- N^6 -{ $N^{6,2}$, $C^{1,7}$ -anhydro- $S^{N,1}$, $C^{3,13}$ -ciclo[4-carboxi-*N*-(sulfanilacetil)-L-fenilalanyl- N^2 -metil-L-lisil-L-valil-L-valil-L-seril-L-asparaginil-1-(carboximetil)-L-triptofil-4-carboxi-L-fenilalanyl-L-lisil-5-hidroxi-L-triptofil-2-metilalanyl-L-valil-L-alanyl]}-L-lisinaamida
antagonista del receptor de la hormona del crecimiento, acromegalia

C₁₂₀H₁₇₁N₂₃O₃₂S

2802416-72-2

**tilrekimigum #**

tilrekimig

immunoglobulin (L-kappa-H-gamma1 (L-VH-G1(CH1-h))_L-kappa_(H-gamma1_L-lambda2), anti-[*Homo sapiens* IL4 (interleukin 4, IL-4)], anti-[*Homo sapiens* IL13 (interleukin 13, IL-13)] and anti-[*Homo sapiens* TSLP (thymic stromal lymphopoietin)], humanized and *Homo sapiens* monoclonal antibody, trispecific, trivalent;

fused L-kappa-H-gamma1 heavy chain anti-IL13 and anti-IL4 (1-674) [L-kappa anti-IL13 humanized (1-218) [V-KAPPA (*Homo sapiens* IGKV1-39*01 (82.8%) -IGKJ4*01 (100%), CDR-IMGT [10.3.9] (27-36.54-56.93-101)) (1-111) -*Homo sapiens* IGKC*01 (100%) Km3 A45.1, V101 (C-KAPPA A45.1 (157), V101 (195)) (112-218)]-5-mer (tetraglycyl-seryl) linker (219-223) -H-gamma1 heavy chain anti-IL4 *Homo sapiens* (224-674) [VH (*Homo sapiens* IGHV2-5*08 (87.0%) - (IGHD) -IGHJ3*01 (92.9%) M123>T (339), CDR-IMGT [10.7.13] (249-258.276-282.321-333)) (224-344) -*Homo sapiens* IGHG1*03v, G1m3>G1m17, nG1m1, CH1 K120, CH3 E12, M14, 6-G1v14-1 CH2 A1.3, A1.2, A1, 9-G1v24 CH3 L107, S114, 14-G1v99-1 hinge E6, CH3 E24 (CH1 R120>K (441) (345-442), hinge 1-15 D6>E (448) (443-457), CH2 L1.3>A (461), L1.2>A (462), G1>A (464) (458-567), CH3 E12 (583), M14 (585), L24>E (595), M107>L (655), N114>S (661) (568-672), CHS (673-674)) (345-674)]; (218-221)-disulfide with L-VH-G1(CH1-h) light chain anti-IL13 humanized (1'-221') [VH (*Homo sapiens* IGHV3-21*07 (91.8%) -IGHD -IGHJ1*01 (100%), CDR-IMGT [8.7.12] (26'-33':51'-57'.96'-107')) (1'-118') -*Homo*

sapiens IGHG1*03v, G1m3>G1m17, nG1m1, CH1 K120 (CH1 R120>K (215') (119'-216'), hinge 1-5 (217'-221')) (119'-221')); (447-218'')-disulfide with L-kappa light chain *Homo sapiens* anti-IL4 *Homo sapiens* (1'''-218''') [V-KAPPA (*Homo sapiens* IGKV1-39*01 (87.9%) -IGKJ4*01 (100%), CDR-IMGT [10.3.9] (27'''-36'''-54'''-56'''-93'''-101''')) (1'''-111''') -*Homo sapiens* IGKC*01 (100%) Km3 A45.1, V101 (C-KAPPA A45.1 (157'''), V101 (195''')) (112'''-218'''); H-gamma1 heavy chain anti-TSLP *Homo sapiens* (1''-452'') [VH (*Homo sapiens* IGHV3-33*01 (95.9%) -(IGHD) -IGHJ3*02 (93.8%), CDR-IMGT [8.8.15] (26''-33''.51''-58''.97''-111'')) (1''-122'')-*Homo sapiens* IGHG1*03v, G1m3>G1m17, nG1m1 CH1 K120, CH3 E12, M14, 6-G1v14-1 CH2 A1.3, A1.2, A1, 9-G1v24 CH3 L107, S114, 14-G1v99-2 hinge R6, CH3 R88 (CH1 R120>K (219'') (123''-220''), hinge 1-15 D6>R (226'') (221''-235''), CH2 L1.3>A (239'') L1.2>A (240''), G1>A (242'') (236''- 345''), CH3 E12 (361''), M14 (363''), K88>R (414''), M107>L (433''), N114>S (439'') (346''-450''), CHS (451''-452'') (123''-452'')], (225''-213''')-disulfide with L-lambda2 light chain anti-TSLP *Homo sapiens* (1''''-214''') [V-LAMBDA (*Homo sapiens* IGLV3-21*02 (94.8%) -IGLJ2*01 (100%), CDR-IMGT [6.3.11] (26''''-31''''-49''''-51''''-88''''-98''')) (1''''-108''')-*Homo sapiens* IGLC2*01 (100%) (C-LAMBDA2) (109''''-214''')]; dimer (453-231''-456-234'')-bisdisulfide, produced in Chinese hamster ovary (CHO) cells, cell line CHO-K1SV lacking the glutamine synthetase (GS-KO) gene, glycoform alfa
immunosuppressant, anti-inflammatory

tilrékimig

immunoglobuline (L-kappa-H-gamma1 (L-VH-G1(CH1-h))_L-kappa_(H-gamma1_L-lambda2), anti-[*Homo sapiens* IL4 (interleukine 4, IL-4)], anti-[*Homo sapiens* IL13 (interleukine 13, IL-13)] et anti-[*Homo sapiens* TSLP (lymphopoïétine stromale thymique)], anticorps monoclonal humanisé et *Homo sapiens* trispécifique, trivalent; chaîne fusionnée L-kappa-H-gamma1 anti-IL13 et anti-IL4 (1-674) [L-kappa anti-IL13 humanisée (1-218) [V-KAPPA (*Homo sapiens* IGKV1-39*01 (82.8%) -IGKJ4*01 (100%), CDR-IMGT [10.3.9] (27-36.54-56.93-101)) (1-111) -*Homo sapiens* IGKC*01 (100%) Km3 A45.1, V101 (C-KAPPA A45.1 (157), V101 (195)) (112-218)] -5-mer (tétraglycyl-séryl) linker (219-223) -chaîne lourde H-gamma1 anti-IL4 *Homo sapiens* (224-674) [VH (*Homo sapiens* IGHV2-5*08 (87.0%) -(IGHD) -IGHJ3*01 (92.9%) M123>T (339), CDR-IMGT [10.7.13] (249-258.276-282.321-333)) (224-344) -*Homo sapiens* IGHG1*03v, G1m3>G1m17, nG1m1, CH1 K120, CH3 E12, M14, 6-G1v14-1 CH2 A1.3, A1.2, A1, 9-G1v24 CH3 L107, S114, 14-G1v99-1 hinge E6, CH3 E24 (CH1 R120>K (441) (345-442), charnière 1-15 D6>E (448) (443-457), CH2 L1.3>A (461), L1.2>A (462), G1>A (464) (458-567), CH3 E12 (583), M14 (585), L24>E (595), M107>L (655), N114>S (661) (568-672), CHS (673-674)) (345-674)]; (218-221'')-disulfure avec la chaîne légère L-VH-G1(CH1-h) anti-IL13 humanisée (1'-221'') [VH (*Homo sapiens* IGHV3-21*07 (91.8%) -IGHD -IGHJ1*01 (100%), CDR-IMGT [8.7.12] (26'-33'.51'-57'.96'-107'')) (1'-118'') -*Homo sapiens* IGHG1*03v, G1m3>G1m17, nG1m1, CH1 K120 (CH1 R120>K (215') (119'-216'), charnière 1-5 (217'-221')) (119'-221''); (447-218'')-disulfure avec la chaîne légère L-kappa anti-IL4 *Homo sapiens* (1'''-218''') [V-KAPPA (*Homo sapiens* IGKV1-39*01 (87.9%) -IGKJ4*01 (100%), CDR-IMGT [10.3.9] (27'''-36'''-54'''-56'''-93'''-101''')) (1'''-111''') -*Homo sapiens* IGKC*01 (100%) Km3 A45.1, V101 (C-KAPPA A45.1 (157'''), V101 (195''')) (112'''-218'''); chaîne lourde H-gamma1 anti-TSLP *Homo sapiens* (1''-452'') [VH (*Homo sapiens* IGHV3-33*01 (95.9%) -(IGHD) -IGHJ3*02 (93.8%), CDR-IMGT [8.8.15] (26''-33''.51''-58''.97''-111'')) (1''-122'') -*Homo*

sapiens IGHG1*03v, G1m3>G1m17, nG1m1 CH1 K120, CH3 E12, M14, 6-G1v14-1 CH2 A1.3, A1.2, A1, 9-G1v24 CH3 L107, S114, 14-G1v99-2 hinge R6, CH3 R88 (CH1 R120>K (219") (123"-220"), charnière 1-15 D6>R (226") (221"-235"), CH2 L1.3>A (239"), L1.2>A (240"), G1>A (242") (236"- 345"), CH3 E12 (361"), M14 (363"), K88>R (414"), M107>L (433"), N114>S (439") (346"-450"), CHS (451"-452")) (123"-452"), (225"-213"")-disulfure avec la chaîne légère L-lambda2 anti-TSLP *Homo sapiens* (1""-214"" [V-LAMBDA (*Homo sapiens* IGLV3-21*02 (94.8%) -IGLJ2*01 (100%), CDR-IMGT [6.3.11] (26""-31"" .49""-51"" .88""-98"")) (1""-108"")-*Homo sapiens* IGLC2*01 (100%) (C-LAMBDA2) (109""-214"")]; dimère (453-231":456-234")-bisdisulfure, produit dans des cellules ovariennes de hamster chinois (CHO), lignée cellulaire CHO-K1SV ne présentant pas le gène de la glutamine synthétase (GS-KO), glycoforme alfa immunosuppresseur, anti-inflammatoire

tilrekimig

inmunoglobulina (L-kappa-H-gamma1 (L-VH-G1(CH1-h))_L-kappa)_ (H-gamma1_L-lambda2), anti-[*Homo sapiens* IL4 (interleukina 4, IL-4)], anti-[*Homo sapiens* IL13 (interleukina 13, IL-13)] y anti-[*Homo sapiens* TSLP (linfopoyetina estromal tímica)], anticuerpo monoclonal humanizado y *Homo sapiens* trispecifico, trivalente;

cadena fusionada L-kappa-H-gamma1 anti-IL13 anti-IL4 (1-674) [L-kappa anti-IL13 humanizada (1-218) [V-KAPPA (*Homo sapiens* IGKV1-39*01 (82.8%) -IGKJ4*01 (100%), CDR-IMGT [10.3.9] (27-36.54-56.93-101)) (1-111) -*Homo sapiens* IGKC*01 (100%) Km3 A45.1, V101 (C-KAPPA A45.1 (157), V101 (195)) (112-218)] -5-mer (tetraglicil-seril) enlace (219-223) -cadena pesada H-gamma1 anti-IL4 *Homo sapiens* (224-674) [VH (*Homo sapiens* IGHV2-5*08 (87.0%) -(IGHD) -IGHJ3*01 (92.9%) M123>T (339), CDR-IMGT [10.7.13] (249-258.276-282.321-333)) (224-344) -*Homo sapiens* IGHG1*03v, G1m3>G1m17, nG1m1, CH1 K120, CH3 E12, M14, 6-G1v14-1 CH2 A1.3, A1.2, A1, 9-G1v24 CH3 L107, S114, 14-G1v99-1 bisagra E6, CH3 E24 (CH1 R120>K (441) (345-442), bisagra 1-15 D6>E (448) (443-457), CH2 L1.3>A (461), L1.2>A (462), G1>A (464) (458-567), CH3 E12 (583), M14 (585), L24>E (595), M107>L (655), N114>S (661) (568-672), CHS (673-674)) (345-674)]; (218-221')-disulfuro con la cadena ligera L-VH-G1(CH1-h) anti-IL13 humanizada (1'-221') [VH (*Homo sapiens* IGHV3-21*07 (91.8%) -IGHD -IGHJ1*01 (100%), CDR-IMGT [8.7.12] (26'-33'.51'-57'.96'-107')) (1'-118') -*Homo sapiens* IGHG1*03v, G1m3>G1m17, nG1m1, CH1 K120 (CH1 R120>K (215') (119'-216'), bisagra 1-5 (217'-221')) (119'-221)]; (447-218"")-disulfuro con la cadena ligera L-kappa anti-IL4 *Homo sapiens* (1""-218"" [V-KAPPA (*Homo sapiens* IGKV1-39*01 (87.9%) -IGKJ4*01 (100%), CDR-IMGT [10.3.9] (27""-36"" .54""-56"" .93""-101"")) (1""-111"")-*Homo sapiens* IGKC*01 (100%) Km3 A45.1, V101 (C-KAPPA A45.1 (157""), V101 (195"")) (112""-218"")];

cadena pesada H-gamma1 anti-TSLP *Homo sapiens* (1"-452") [VH (*Homo sapiens* IGHV3-33*01 (95.9%) -(IGHD) -IGHJ3*02 (93.8%), CDR-IMGT [8.8.15] (26"-33".51"-58".97"-111")) (1"-122") -*Homo sapiens* IGHG1*03v, G1m3>G1m17, nG1m1 CH1 K120, CH3 E12, M14, 6-G1v14-1 CH2 A1.3, A1.2, A1, 9-G1v24 CH3 L107, S114, 14-G1v99-2 bisagra R6, CH3 R88 (CH1 R120>K (219") (123"-220"), bisagra 1-15 D6>R (226") (221"-235"), CH2 L1.3>A (239"), L1.2>A (240"), G1>A (242") (236"- 345"), CH3 E12 (361"), M14 (363"), K88>R (414"), M107>L (433"), N114>S (439") (346"-450"), CHS (451"-452")) (123"-452"), (225"-213"")-disulfuro con la cadena

ligera L-lambda2 anti-TSLP *Homo sapiens* (1^{'''}-214^{'''}) [V-LAMBDA (*Homo sapiens* IGLV3-21*02 (94.8%) -IGLJ2*01 (100%), CDR-IMG1 [6.3.11] (26^{'''}-31^{'''}.49^{'''}-51^{'''}.88^{'''}-98^{'''}))] (1^{'''}-108^{'''})-*Homo sapiens* IGLC2*01 (100%) (C-LAMBDA2) (109^{'''}-214^{'''}); dímero (453-231^{'''}:456-234^{'''})-bisdisulfuro, producido en las células ováricas de hámster chino (CHO), línea celular CHO-K1SV en ausencia del gen de la glutamina sintetasa (GS-KO), forma glicosilada alfa *inmunosupresor, antiinflamatorio*

2981469-90-1

Heavy chain / Chaîne lourde / Cadena pesada: fused L-kappa-H-gamma1 anti-IL13 and anti-IL4 (H)

DIQMTQSPSS	LSASVGDRTV	ITCKASESVD	HFGWSLVHWY	QOKPGKAPKL	50
LIYRASNLES	GVPSRFSGSG	SGTDFTLTIS	SLQPEDFATY	YQQSNEDPW	100
TFGGGTKEVI	KRTVAAPSVF	IFPPSDEQLK	SGTASVVCLL	NNFYPREAKV	150
QWKVDNALQS	GNSQESVTEQ	DSKDSYSL	STLTLKADY	EKHVVYACEV	200
THQGLSSPVT	KSFNRGECG	GGSEVTLRES	GPALVKPTQT	LTLTCTFSGF	250
SLSNFEGELS	WIRQPPGKGL	EWLAHIYWD	DKRYNPSLKS	RLTISKDTSR	300
NQVVLTMNTM	DPVDTATYYC	ARRETVFYWY	FDVWGQGTIV	TVSSASTKGP	350
SVEPLAPSSK	STSGGTAALG	CLVKDYFPEP	VTVSNWNSGL	TSVHVTFFAV	400
LQSSGLYSLS	SVVTVPSSSL	GTQTYICNVN	HKPSNPKVDK	KVEPKSCEKT	450
HTCPCPAPE	AAGAPSVFLF	PKPKDTLMI	SRTPEVTVCV	VDVSHEDPEV	500
KFNWYVDGVE	VHNAKTKPRE	EQYNSTRYRV	SVLTVLHQDW	LNGKEYKCKV	550
SNKALPAPIE	KTISKAKGQP	REFQVYTLPP	SREEMTKMQV	SLTCEVKGFY	600
PSDIAVEWES	NGQPENNYKT	TPPVLDSGDS	FFLYSKLTDV	KSRWQQGNVF	650
SCSVLHEALH	SHYTQKLSL	SPGK			674

Light chain / Chaîne légère / Cadena ligera: L-VH-G1(CH1-h) anti-IL13 (L')

EVQLVESGGG	LVQPGGSLRL	SCAASGFTFS	SYAMSWVRQA	PGKGLEWVAS	50
ISSGDTTYP	DSVKGRTFIS	RDNAKNSLYL	QMNSLRAEDT	AVYYCARNEG	100
YYFGLTLWQG	GTLVTVSSAS	TRGPSVFPLA	PSSKSTSGGT	AALGCLVKDY	150
FPEPVTWSN	SGALTSVGHV	FPAVLQSSGL	YLSLSVTVTP	SSSLGTQTYI	200
CNVNHPKPSNT	KVDKKVEPKS	C			221

Light chain / Chaîne légère / Cadena ligera: L-kappa anti-IL4 (L'')

DIQMTQSPSS	LSASVGDRTV	ITCRASQSDV	EEGDSYMNWY	QOKPGKAPKL	50
LIYAAASNLES	GVPSRFSGSG	SGTDFTLTIS	SLQPEDFATY	YQQSNKDDP	100
TFGGGTKEVI	KRTVAAPSVF	IFPPSDEQLK	SGTASVVCLL	NNFYPREAKV	150
QWKVDNALQS	GNSQESVTEQ	DSKDSYSL	STLTLKADY	EKHVVYACEV	200
THQGLSSPVT	KSFNRGEC				218

Heavy chain / Chaîne lourde / Cadena pesada: H-gamma1 anti-TSLP (H')

QMQLVESGGG	VVQPGRLRL	SCAASGFTFR	TYGMHWVRQA	PGKLEWVAV	50
IYWDGNSKHY	ADSVKGRFTI	SRDNSKNTLY	LQMNSLRAED	TAVYYCARAP	100
QWYLVLEAFD	IWQGTMTVT	SSASTKGPSV	FPLAPSSKST	SGGTAALGCL	150
VKDYFPEPVT	VSWNSSGALTS	GVHTFPAVLQ	SSGLYSLSV	VTVPSSSLGT	200
QTYICNVNHNK	PSNPKVDKVK	EPKSCRKTH	CPPCPAPEAA	GAPSVLFP	250
KPKDTLMISR	TPEVTVVVDV	VSHEDPEVFK	NWYVDGVEVH	NAKTKPREQ	300
INSTRYRVSV	LTVLHQDWLN	GKEYKCKVSN	KALPAPIEKT	ISKAKGQPRE	350
PQVYTLPPSR	EEMTKNQVSL	TCLVKGFYPS	DAVEWESNG	QPENNYKTFP	400
PVLDSGDSGFF	LYSRLTVDKS	RWQQGNVFC	SVLHEALHSH	YTKLSLSLSP	450
GK					452

Light chain / Chaîne légère / Cadena ligera: L-lambda2 anti-TSLP (L'')

SVYLTQPPSV	SVAPGQTARI	TCGGNNLGSK	SVHWYQQKPG	QAPVLVYVYD	50
KDRPSPWIPER	FSGNSNGMTA	TLTISRGEAG	DEADYICQVW	DSKSDHVVFG	100
GGTKLTVLQG	PKAAPSVTLF	PPSSEELQAN	KATLVCLISD	FYPGAVTVAV	150
KADSSPVKAG	VETTTSPKQS	NNKYAASSYL	SLTPEQWKSH	RSYSCQVTHE	200
GSTVEKTVAP	TECS				214

Post-translational modifications

Disulfide bridges location / Position des ponts disulfure / Posiciones de los puentes disulfuro

Intra-H (C23-C104) 23-92 138-198 245-320 371-427 488-548 594-652

22^{'''}-96^{'''} 149^{'''}-205^{'''} 266^{'''}-326^{'''} 372^{'''}-430^{'''}

Intra-L (C23-C104) 22^{'''}-95^{'''} 145^{'''}-201^{'''}

23^{'''}-92^{'''} 138^{'''}-198^{'''}

22^{'''}-87^{'''} 136^{'''}-195^{'''}

Inter-H-L' (CL 126-h 5)* 218-221^{'''}

Inter-H-L'' (h 5-CL 126) 447-218^{'''} 225^{'''}-213^{'''}

Inter-H-H (h 11, h 14) 453-231^{'''} 456-234^{'''}

*crosslink / lien croisé / enlace cruzado

N-terminal glutaminylation / Cyclisation du glutaminyle N-terminal / Ciclación del glutaminilo N-terminal

Q > pyroglutamyl (pE, 5-oxopropyl) / pyroglutamyle (pE, 5-oxopropyle) / piroglutamilo (pE, 5-oxopropil)

HVH Q1: 1^{'''}

N-glycosylation sites / Sites de N-glycosylation / Posiciones de N-glicosilación

HCH2N84.4: 524, 302^{'''}

Fucosylated complex bi-antennary CHO-type glycans / glycanes de type CHO bi-antennaires complexes fucosylés / glicanos de tipo CHO biantenaríos complejos fucosilados

C-terminal lysine clipping / Coupure de la lysine C-terminale / Recorte de lisina C-terminal

HCHSK2: 674, 452^{'''}

tivinctidum
tivinctide

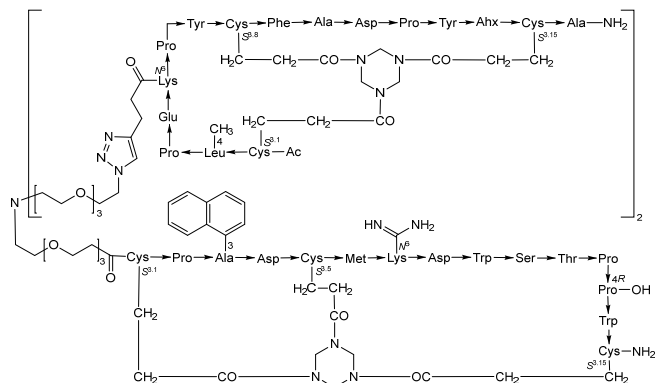
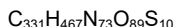
$N^{6,5}, N^{6,5}$ -({12-[2-(2-[2-[3-oxo-3-({S^{3,1}, S^{3,5}, S^{3,15}-[(1,3,5-triazinane-1,3,5-triyl)tris(3-oxopropane-3,1-diyl)]L-cysteinyl-L-prolyl-3-(naphthalen-1-yl)-L-alanyl-L- α -aspartyl-L-cysteinyl-L-methionyl- N^6 -carbamimidoyl-L-lysyl-L- α -aspartyl-L-tryptophyl-L-seryl-L-threonyl-L-prolyl-(4R)-4-hydroxy-L-prolyl-L-tryptophyl-L-cysteinamide])- $N^{2,1}$ -yl)propoxy]ethoxy)ethoxy)ethyl]-3,6,9,15,18,21-hexaoxa-12-azatricosane-1,23-diyl}bis[1H-1,2,3-triazole-1,4-diyl(1-oxopropane-3,1-diyl)]bis{S^{3,1}, S^{3,8}, S^{3,15}-[(1,3,5-triazinane-1,3,5-triyl)tris(3-oxopropane-3,1-diyl)]}[N-acetyl-L-cysteinyl-4-methyl-leucyl-L-prolyl-L- α -glutamyl-L-lysyl-L-prolyl-L-tyrosyl-L-cysteinyl-L-phenylalanyl-L-alanyl-L- α -aspartyl-L-prolyl-L-tyrosyl-(2S)-2-aminohexanoyl-L-cysteinyl-L-alaninamide}}
immunostimulant, antineoplastic

tivinctide

$N^{6,5}, N^{6,5}$ -({12-[2-(2-[2-[3-oxo-3-({S^{3,1}, S^{3,5}, S^{3,15}-[(1,3,5-triazinane-1,3,5-triyl)tris(3-oxopropane-3,1-diyl)]L-cystéinyl-L-prolyl-3-(naphtalén-1-yl)-L-alanyl-L- α -aspartyl-L-cystéinyl-L-méthionyl- N^6 -carbamidoyl-L-lysyl-L- α -aspartyl-L-tryptophyl-L-séryl-L-thréonyl-L-prolyl-(4R)-4-hydroxy-L-prolyl-L-tryptophyl-L-cystéinamide])- $N^{2,1}$ -yl)propoxy]éthoxy)éthoxy)éthyl]-3,6,9,15,18,21-hexaoxa-12-azatricosane-1,23-diyl}bis[1H-1,2,3-triazole-1,4-diyl(1-oxopropane-3,1-diyl)]bis{S^{3,1}, S^{3,8}, S^{3,15}-[(1,3,5-triazinane-1,3,5-triyl)tris(3-oxopropane-3,1-diyl)]}[N-acétyl-L-cystéinyl-4-méthyl-leucyl-L-prolyl-L- α -glutamyl-L-lysyl-L-prolyl-L-tyrosyl-L-cystéinyl-L-phénylalanyl-L-alanyl-L- α -aspartyl-L-prolyl-L-tyrosyl-(2S)-2-aminohexanoyl-L-cystéinyl-L-alaninamide}}
immunostimulant, antinéoplasique

tivinctida

$N^{6,5}, N^{6,5}$ -({12-[2-(2-[2-[3-oxo-3-({S^{3,1}, S^{3,5}, S^{3,15}-[(1,3,5-triazinano-1,3,5-triil)tris(3-oxopropano-3,1-diil)]L-cisteinil-L-proliil-3-(naftalen-1-il)-L-alanil-L- α -aspartil-L-cisteinil-L-metionil- N^6 -carbamidoidil-L-lisil-L- α -aspartil-L-triptofil-L-seril-L-treonil-L-proliil-(4R)-4-hidroxi-L-proliil-L-triptofil-L-cisteinamida])- $N^{2,1}$ -il)propoxi]etoxi]etoxi)etil]-3,6,9,15,18,21-hexaoxa-12-azatricosano-1,23-diil}bis[1H-1,2,3-triazolo-1,4-diil(1-oxopropano-3,1-diil)]bis{S^{3,1}, S^{3,8}, S^{3,15}-[(1,3,5-triazinano-1,3,5-triil)tris(3-oxopropano-3,1-diil)]}[N-acetil-L-cisteinil-4-metil-L-leucil-L-proliil-L- α -glutamil-L-lisil-L-proliil-L-tirosil-L-cisteinil-L-fenilalanil-L-alanil-L- α -aspartil-L-proliil-L-tirosil-(2S)-2-aminohexanoil-L-cisteinil-L-alaninamida}}
immunoestimulante, antineoplásico



tivoxavirum marboxilum

tivoxavir marboxil

((((12a*R*)-12-[(10*S*)-6,7-difluoro-5,10-dihydrothieno[3,2-*c*][2]benzothiepin-10-yl]-6,8-dioxo-3,4,6,8,12,12a-hexahydro-1*H*-[1,4]oxazino[3,4-*c*]pyrido[2,1-*f*][1,2,4]triazin-7-yl)oxy)methyl methyl carbonate
antiviral

tivoxavir marboxil

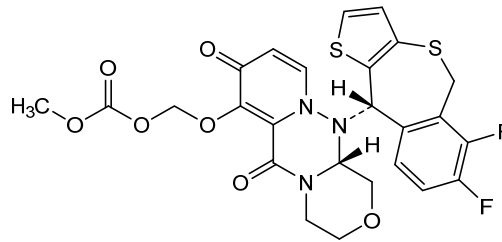
carbonate de (((12a*R*)-12-[(10*S*)-6,7-difluoro-5,10-dihydrothiéno[3,2-*c*][2]benzothiépin-10-yl]-6,8-dioxo-3,4,6,8,12,12a-hexahydro-1*H*-[1,4]oxazino[3,4-*c*]pyrido[2,1-*f*][1,2,4]triazin-7-yl)oxy)méthyle et de méthyle
antiviral

tivoxavir marboxilo

carbonato de (((12a*R*)-12-[(10*S*)-6,7-difluoro-5,10-dihidrotieno[3,2-*c*][2]benzotiepin-10-il]-6,8-dioxo-3,4,6,8,12,12a-hexahidro-1*H*-[1,4]oxazino[3,4-*c*]pirido[2,1-*f*][1,2,4]triazin-7-il)oxi)metilo y metilo
antiviral

C₂₅H₂₁F₂N₃O₇S₂

2417851-93-3

**tixentamigum #**

tixentamig

immunoglobulin (H-gamma1_L-kappa)_scFvvh-G1(h-CH2-CH3), anti-[*Homo sapiens* CD3E (CD3 epsilon, Leu-4)] and anti-[*Homo sapiens* CLDN18 (claudin 18, claudin-18, surfactant associated protein J, SFTPJ) isoform 2], monoclonal antibody, bispecific, trivalent;

H-gamma1 heavy chain anti-CD3E (1-455) [VH (*Homo sapiens* IGHV3-73*01 (92.0%) -(IGHD) -IGHJ6*01 (90.9%) T123>L (120), CDR-IMGT [8.10.16] (26-33.51-60.99-114))(1-125) -*Homo sapiens* IGHG1*03v, G1m3>G1m17, nG1m1 CH1 K120, CH3 E12, M14, 6-G1v14-1 CH2 A1.3, A1.2, A1, 14-G1v32 CH3 W22 (knob), 14-G1v74 CH3 C10 (CH1R120>K (222) (126-223), hinge 1-15 (224-238), CH2 L1.3>A (242), L1.2>A (243), G1>A (245) (239-348), CH3 S10>C (362), E12 (364), M14 (366), T22>W (374) (349-453), CHS (454-455)) (126-455)], (228-214')-disulfide with L-lambda2 light chain anti-CD3E (1'-215') [V-LAMBDA Musmus/Homsap (*Mus musculus* IGLV1*01 (81.2%) - IGLJ1*01 (100%)/*Homo sapiens* IGLV7-46*02 (80.0%) - IGLJ3*02 (100%), CDR-IMGT [9.3.9] (26'-34'.52'-54'.91'-99') (1'-109') -*Homo sapiens* IGLC2*01 (100%) (C-LAMBDA2) (110'-215')];

- scFvhh-G1(h-CH2-CH3) heavy chain anti-CLDN18 (1"-491") [VH (*Homo sapiens* IGHV3-74*03 (94.9%) -(IGHD) -IGHJ1*01 (90.0%) W118>R (111"), L124>T (116"), CDR-IMGT [8.8.14] (26"-33".51"-58".97"-110")) (1"-121") -15-mer tris(tétraglycyl-séryl) linker (122"-136") -VH (*Homo sapiens* IGHV3-74*03 (94.9%) -IGHD -IGHJ1*01 (90.0%) W118>R (247"), L124>T (252"), CDR-IMGT [8.8.14] (162"-169".187"-194".233"-246")) (137"-257") -2-mer alanyl-séryl linker (258"-259") -*Homo sapiens* IGHG1*03v h-CH2-CH3-CHS, G1m3>G1m17, nG1m1 CH3 E12, M14, 15-G1v37 hinge S5, 6-G1v14-1 CH2 A1.3, A1.2, A1, 14-G1v33 CH3 S22, A24, V86 (hole), 14-G1v75 CH3 C5 (hinge 1-15 C5>S (264") (260"-274"), CH2 L1.3>A (278), L1.2>A (279), G1>A (281) (275"-384"), CH3 Y5>C (393"), E12 (400), M14 (402), T22>S (410"), L24>A (412"), Y86>V (451") (385"-489"), CHS (490"-491")) (260"-491"); dimer (234-270"-237-273")-bisdisulfide, produced in a cell line from Chinese hamster ovary (CHO) cells, derived from the cell line CHO-K1, glycoform alfa
antineoplastic
- tixentamig
- immunoglobuline (H-gamma1_L-kappa)_scFvhh-G1(h-CH2-CH3), anti-[*Homo sapiens* CD3E (CD3 epsilon, Leu-4)] and anti-[*Homo sapiens* CLDN18 (claudine 18, claudine-18, protéine J associée au surfactant, SFTPJ) isoforme 2], anticorps monoclonal, bispécifique, trivalent; chaîne lourde H-gamma1 anti-CD3E (1-455) [VH (*Homo sapiens* IGHV3-73*01 (92.0%) -(IGHD) -IGHJ6*01 (90.9%) T123>L (120), CDR-IMGT [8.10.16] (26-33.51-60.99-114)) (1-125) -*Homo sapiens* IGHG1*03v, G1m3>G1m17, nG1m1 CH1 K120, CH3 E12, M14, 6-G1v14-1 CH2 A1.3, A1.2, A1, 14-G1v32 CH3 W22 (knob), 14-G1v74 CH3 C10 (CH1R120>K (222) (126-223), charnière 1-15 (224-238), CH2 L1.3>A (242), L1.2>A (243), G1>A (245) (239-348), CH3 S10>C (362), E12 (364), M14 (366), T22>W (374) (349-453), CHS (454-455)) (126-455)], (228-214')-bisdisulfure avec la chaîne légère L-lambda2 anti-CD3E (1'-215') [V-LAMBDA Musmus/Homsap (*Mus musculus* IGLV1*01 (81.2%) -IGLJ1*01 (100%)/*Homo sapiens* IGLV7-46*02 (80.0%) -IGLJ3*02 (100%), CDR-IMGT [9.3.9] (26'-34'.52'-54'.91'-99')) (1'-109') -*Homo sapiens* IGLC2*01 (100%) (C-LAMBDA2) (110'-215')]; chaîne lourde scFvhh-G1(h-CH2-CH3) anti-CLDN18 (1"-491") [VH (*Homo sapiens* IGHV3-74*03 (94.9%) -(IGHD) -IGHJ1*01 (90.0%) W118>R (111"), L124>T (116"), CDR-IMGT [8.8.14] (26"-33".51"-58".97"-110")) (1"-121") -15-mer tris(tétraglycyl-séryl) linker (122"-136") -VH (*Homo*

	<p><i>sapiens</i> IGHV3-74*03 (94.9%) -IGHD -IGHJ1*01 (90.0%) W118>R (247"), L124>T (252"), CDR-IMGT [8.8.14] (162"-169".187"-194".233"-246")) (137"-257") -2-mer alanyl-séryl linker (258"-259") -<i>Homo sapiens</i> IGHG1*03v h-CH2-CH3-CHS, G1m3>G1m17, nG1m1 CH3 E12, M14, 15-G1v37 charnière S5, 6-G1v14-1 CH2 A1.3, A1.2, A1, 14-G1v33 CH3 S22, A24, V86 (hole), 14-G1v75 CH3 C5 (charnière 1-15 C5>S (264") (260"-274"), CH2 L1.3>A (278), L1.2>A (279), G1>A (281) (275"-384"), CH3 Y5>C (393"), E12 (400), M14 (402), T22>S (410"), L24>A (412"), Y86>V (451") (385"-489"), CHS (490"-491")) (260"-491")); dimère (234-270":237-273")-bisdisulfure, produit dans une lignée cellulaire des cellules ovariennes de hamster chinois (CHO), dérivant de la lignée cellulaire CHO-K1, glycoforme alfa</p> <p><i>antineoplasique</i></p>
tixentamig	<p>immunoglobulina (H-gamma1_L-kappa)_scFvhh-G1(h-CH2-CH3), anti-[<i>Homo sapiens</i> CD3E (CD3 épsilon, Leu-4)] y anti-[<i>Homo sapiens</i> CLDN18 (claudina 18, claudina-18, proteína J asociada a los surfactantes, SFTPJ) isoforma 2], anticuerpo monoclonal, biespecífico, trivalente;</p> <p>cadena pesada H-gamma1 anti-CD3E (1-455) [VH (<i>Homo sapiens</i> IGHV3-73*01 (92.0%) -(IGHD) -IGHJ6*01 (90.9%) T123>L (120), CDR-IMGT [8.10.16] (26-33.51-60.99-114)) (1-125) -<i>Homo sapiens</i> IGHG1*03v, G1m3>G1m17, nG1m1 CH1 K120, CH3 E12, M14, 6-G1v14-1 CH2 A1.3, A1.2, A1, 14-G1v32 CH3 W22 (knob), 14-G1v74 CH3 C10 (CH1R120>K (222) (126-223), bisagra 1-15 (224-238), CH2 L1.3>A (242), L1.2>A (243), G1>A (245) (239-348), CH3 S10>C (362), E12 (364), M14 (366), T22>W (374) (349-453), CHS (454-455)) (126-455)], (228-214')-bisdisulfuro con la cadena ligera L-lambda2 anti-CD3E (1'-215') [V-LAMBDA Musmus/Homsap (<i>Mus musculus</i> IGLV1*01 (81.2%) -IGLJ1*01 (100%)/<i>Homo sapiens</i> IGLV7-46*02 (80.0%) -IGLJ3*02 (100%), CDR-IMGT [9.3.9] (26'-34'.52'-54'.91'-99')) (1'-109') -<i>Homo sapiens</i> IGLC2*01 (100%) (C-LAMBDA2) (110'-215')];</p> <p>cadena pesada scFvhh-G1(h-CH2-CH3) anti-CLDN18 (1"-491") [VH (<i>Homo sapiens</i> IGHV3-74*03 (94.9%) -(IGHD) -IGHJ1*01 (90.0%) W118>R (111"), L124>T (116"), CDR-IMGT [8.8.14] (26"-33".51"-58".97"-110")) (1"-121") -15-mer tris(tetraglicil-seril) enlace (122"-136") -VH (<i>Homo sapiens</i> IGHV3-74*03 (94.9%) -IGHD -IGHJ1*01 (90.0%) W118>R (247"), L124>T (252"), CDR-IMGT [8.8.14] (162"-169".187"-194".233"-246")) (137"-257") -2-mer alanyl-séryl linker (258"-259") -<i>Homo sapiens</i> IGHG1*03v h-CH2-CH3-CHS, G1m3>G1m17, nG1m1 CH3 E12, M14, 15-G1v37 bisagra S5, 6-G1v14-1 CH2 A1.3, A1.2, A1, 14-G1v33 CH3 S22, A24, V86 (hole), 14-G1v75 CH3 C5 (bisagra 1-15 C5>S (264") (260"-274"), CH2 L1.3>A (278), L1.2>A (279), G1>A (281) (275"-384"), CH3 Y5>C (393"), E12 (400), M14 (402), T22>S (410"), L24>A (412"), Y86>V (451") (385"-489"), CHS (490"-491")) (260"-491")); dímero (234-270":237-273")-bisdisulfuro, producido en una línea celular de las células ováricas de hámster chino (CHO), línea celular derivada de CHO-K1, forma glicosilada alfa</p> <p><i>antineoplásico</i></p>

2969220-04-8

Heavy chain / Chaîne lourde / Cadena pesada : H-gamma anti-CD3E (knob) (H)
 EVQLVESGGG LVQPGGSLKL SCAASGFTFS TYAMNWRQA SGKLEWVGR 50
 IRSKYNNYAT YYADSVKDRF TISRDDSKNT AYLQMNLSKT EDTAVYYCTR 100
 HGNFGNSYYS WFAYWQGTLL VTVSSASTKG PSVFFPLAPSS KSTSGGTAAL 150
 GCLVKDYFPE PVTVSWNSGA LTSGVHTFPA VLQSSGLYSL SSVVTVPPSS 200
 LGTQTYICNV NHKPSNTKVD KKVEPKSCDK THTCPPCPAP EAAGAPSVFL 250
 FPPKPKDTLM ISRTPEVTCV VVDVSHEDPE VKFNWYVDGV EVHNAKTKPR 300
 EEQYNSTYRV VSVLTVLHQD WLNQKEYKCK VSNKALPAPI EKTISKAKGQ 350
 PREPQVYTLF PCREEMTKNQ VSLWCLVKG F YPSDIAVEWE SNGQPENNYK 400
 TTPPVLDSDG SFFFLYKSLTV DKSRWQQGNV FSCSVMHEAL HNHYTKQSL 450
 LSPGK 455

Light chain / Chaîne légère / Cadena ligera : L-lambda2 anti-CD3E (L')
 QAVVTEPESL TVSPGGTVTL TCRSSTGAVT TSNYANWVQQ KGPQAPRGLI 50
 GGTNKRAPWT PARFSGSLLG DKAALTLGA QPEDEAEYFC ALWYSNLWVF 100
 GGGTKLTVLG QPKAAPSVTL FPPSSEELQA NKATLVCLIS DFYPGAVTVA 150
 WKADSSPVKA GVETTTPSKQ SNNKYAASSY LSLTPEQWKS HRSYSCQVTH 200
 EGSTVEKTV A PTECS 215

Heavy chain / Chaîne lourde / Cadena pesada : scFvhh-G1(h-CH2-CH3) anti-CLDN18 (hole) (H'')
 EVQLVESGGG LVQPGGSLRL SCAASGFTFS SYWMHWVRQV PGKGLVWVSR 50
 ISSDASRTTY ADSVKGRFTI SRDNAKNTLY LQMNSLRAED TAVYYCARGE 100
 DHDILTGYPY RGQGTTVTVS SGGGGSGGGG SGGGGSEVQL VESGGGLVQP 150
 GGSRLRLSCAA SGFTFSSYWM HWVRQVPGKG LVWVSRISD ASRTIYADSV 200
 KGRFTISRDN AKNTLYLQMN SLRAEDTAVY YCARGEDHDI LTGYPIRGGQ 250
 TTVTVSSASE PKSSDKTHTC PPCPAPEAAG APSVFLFPPK PKDTLMISRT 300
 PEVTCVVVDV SHEDPEVKFN WYVDGVEVHN AKTKPREEQY NSTYRVVSVL 350
 TVLHQDWLNG KEYKCKVSNK ALPAPIEKTI SKAKGQPREP QVCTLPPSRE 400
 EMTKNQVSL S CAVKGFYPSD IAVEWESNGQ PENNYKTTTP VLDSDGSFFL 450
 VSKLTVDKSR WQQGNVFS SCS VMHEALHNHY TQKSLSLSPG K 491

Post-translational modifications

Disulfide bridges location / Position des ponts disulfure / Posiciones de los puentes disulfuro

Intra-H (C23-C104) 22-98 152-208 269-329 375-433
 22"-96" 158"-232" 305"-365" 411"-469"

Intra-L (C23-C104) 22"-90" 137"-196"

Inter-H-L (h 5-CL 126) 228-214"

Inter-H-H (h 11, h 14) 234-270" 237-273"

Inter-H-H (CH3 C10-C5)* 362-393"

*variants 14-G1v74 (H CH3 C10) and 14-G1v75 (H" CH3 C5) creating an additional inter-H-H disulfide bond.

N-terminal glutaminyl cyclization / Cyclisation du glutaminyle N-terminal / Ciclación del glutaminilo N-terminal

Q > pyroglutamyl (pE, 5-oxoprolyl) / pyroglutamyle (pE, 5-oxoprolyle) / piroglutamilo (pE, 5-oxoprolilo)

L VL V-LAMBDA Q1: I'

N-glycosylation sites / Sites de N-glycosylation / Posiciones de N-glicosilación
 H CH2 N84.4: 305, 341"

Fucosylated complex bi-antennary CHO-type glycans / glycanes de type CHO bi-antennaires complexes fucosylés / glicanos de tipo CHO biantennarios complejos fucosilados.

C-terminal lysine clipping / Coupure de la lysine C-terminale / Recorte de lisina C-terminal
 H CHS K2: 455, 491"

tixestobartum #
 tixestobart

immunoglobulin G1-lambda2, anti-[*Homo sapiens* CD27 (TNFRSF7, tumor necrosis factor receptor (TNFR) superfamily member 7)], *Homo sapiens* monoclonal antibody;

- H-gamma1 heavy chain *Homo sapiens* (1-445) [VH (*Homo sapiens* IGHV7-4-1*02 (91.8%) -(IGHD) -IGHJ4*01 (100%), CDR-IMGT [8.8.9] (26-33.51-58.97-105)) (1-116) -*Homo sapiens* IGHG1*03, G1m3, nG1m1 CH1 R120, CH3 E12, M14, 6-G1v4-2 CH2 R114, 10-G1v98 CH3 R1 (CH1 R120 (213) (117-214), hinge 1-15 (215-229), CH2 P114>R (328) (230-339), CH3 E1>R (344), E12 (355), M14 (357) (340-444), CHS K2>del (445)) (117-445)], (219-215')-disulfide with L-lambda2 light chain *Homo sapiens* (1'-216') [V-LAMBDA (*Homo sapiens* IGLV2-14*03 (94.7%) -IGLJ3*02 (100%), CDR-IMGT [9.3.10] (26'-34'.52'-54'.91'-100')) (1'-110') -*Homo sapiens* IGLC2*01 (100%) (C-LAMBDA2) (111'-216')]; dimer (225-225":228-228")-bisdisulfide, produced in Chinese hamster ovary (CHO) cells, glycoform alfa *immunostimulant, antineoplastic*
- tixestobart immunoglobuline G1-lambda2, anti-[*Homo sapiens* CD27 (TNFRSF7, membre 7 de la superfamille des récepteurs du facteur de nécrose tumorale (TNFR))], anticorps monoclonal *Homo sapiens*; chaîne lourde H-gamma1 *Homo sapiens* (1-445) [VH (*Homo sapiens* IGHV7-4-1*02 (91.8%) -(IGHD) -IGHJ4*01 (100%), CDR-IMGT [8.8.9] (26-33.51-58.97-105)) (1-116) -*Homo sapiens* IGHG1*03, G1m3, nG1m1 CH1 R120, CH3 E12, M14, 6-G1v4-2 CH2 R114, 10-G1v98 CH3 R1 (CH1 R120 (213) (117-214), charnière 1-15 (215-229), CH2 P114>R (328) (230-339), CH3 E1>R (344), E12 (355), M14 (357) (340-444), CHS K2>del (445)) (117-445)], (219-215')-disulfure avec la chaîne légère L-lambda2 *Homo sapiens* (1'-216') [V-LAMBDA (*Homo sapiens* IGLV2-14*03 (94.7%) -IGLJ3*02 (100%), CDR-IMGT [9.3.10] (26'-34'.52'-54'.91'-100')) (1'-110') -*Homo sapiens* IGLC2*01 (100%) (C-LAMBDA2) (111'-216')]; dimère (225-225":228-228")-bisdisulfure, produit dans des cellules ovariennes de hamster chinois (CHO), glycoforme alfa *immunostimulant, antinéoplasique*
- tixestobart inmunoglobulina G1-lambda2, anti-[*Homo sapiens* CD27 (TNFRSF7, miembro 7 de la superfamilia de los receptores del factor de necrosis tumoral (TNFR))], anticuerpo monoclonal *Homo sapiens*; cadena pesada H-gamma1 *Homo sapiens* (1-445) [VH (*Homo sapiens* IGHV7-4-1*02 (91.8%) -(IGHD) -IGHJ4*01 (100%), CDR-IMGT [8.8.9] (26-33.51-58.97-105)) (1-116) -*Homo sapiens* IGHG1*03, G1m3, nG1m1 CH1 R120, CH3 E12, M14, 6-G1v4-2 CH2 R114, 10-G1v98 CH3 R1 (CH1 R120 (213) (117-214), bisagra 1-15 (215-229), CH2 P114>R (328) (230-339), CH3 E1>R (344), E12 (355), M14 (357) (340-444), CHS K2>del (445)) (117-445)], (219-215')-disulfuro con la cadena ligera L-lambda2 *Homo sapiens* (1'-216') [V-LAMBDA (*Homo sapiens* IGLV2-14*03 (94.7%) -IGLJ3*02 (100%), CDR-IMGT [9.3.10] (26'-34'.52'-54'.91'-100')) (1'-110') -*Homo sapiens* IGLC2*01 (100%) (C-LAMBDA2) (111'-216')]; dímero (225-225":228-228")-bisdisulfuro, producido en las células ováricas de hámster chino (CHO), forma glicosilada alfa *inmunoestimulante, antineoplásico*

2733575-82-9

Heavy chain / Chaîne lourde / Cadena pesada

QVQLMQSGSE LKKPGASVKV SCRASGYTFT TYAMNWRQA PGQGFPEWMGW 50
 INTNTGNPTY AQQFTGRFVF SLDTVTVTY LQISLKAED TAVYFCAREA 100
 GSFDFYWGQGT LVTVSSASTK GPSVFFLAPS SKSTSGGTAA LGCLVKDYFP 150
 EPVTVSNNSG ALTSGVHTFP AVLQSSGLYS LSSVTVTPSS SLGTQTYICN 200
 VNHKPSNTKV DKRVEPKSCD KHTTCPPCPA PELLGGPSVF LFPPKPKDTL 250
 MISRTPPEVTC VVVDVSHEDP EVKFNWYVDG VEVHNAKTKP REEQYNSTYR 300
 VVSVLTVLHQ DWLNGKEYKC KVSNKALRAP IEKTIKAKG QPRRFQVYTL 350
 PPSREEMTKN QVSLTCLVKG FYPSDIAVEW ESNQGPENNY KTTTPVLDSD 400
 GSFFLYSKLT VDKSRWQQGN VFSCSVMHEA LHNHYTKQSL SLSPG 445

Light chain / Chaîne légère / Cadena ligera

QSALTQPASV SGSPGQSI TI SCTGTSSDVI YYNYVSWYQQ HPGRAPKPLVI 50
 YDVSNRPSGV SNRFGSKSG NTASLTISGL RAEDEADYYC SSYTVNRVWV 100
 FGGGTKLTVL GQPKAAPSVT LFPPSSEELQ ANKATLVCLI SDFYPGAVTV 150
 AWKADSSPVK AGVETTTPSK QSNNKYAASS YLSLTPPEQWK SHRSYSCQVT 200
 HEGSTVEKTV APT ECS 216

Post-translational modifications

Disulfide bridges location / Position des ponts disulfure / Posiciones de los puentes disulfuro

Intra-H (C23-C104) 22-96 143-199 260-320 366-424
 22"-96" 143"-199" 260"-320" 366"-424"

Intra-L (C23-C104) 22'-90' 138'-197'
 22'''-90''' 138'''-197'''

Inter-H-L (h 5-CL 126) 219-215' 219"-215'''

Inter-H-H (h 11, h 14) 225-225" 228-228"

N-terminal glutaminyl cyclization / Cyclisation du glutaminyle N-terminal / Ciclación del glutaminilo N-terminal

Q > pyroglutamyl (pE, 5-oxoprolyl) / pyroglutamy (pE, 5-oxoprolyle) / piroglutamilo (pE, 5-oxoprolylo)

H VH Q1: 1, 1"

L VL V-LAMBDA Q1: 1', 1'''

N-glycosylation sites / Sites de N-glycosylation / Posiciones de N-glicosilación

H CH2 N84.4: 296, 296"

Fucosylated complex bi-antennary CHO-type glycans / glycanes de type CHO bi-antennaires complexes fucosylés / glicanos de tipo CHO biantenaricos complejos fucosilados

tofacinibum etocomilum

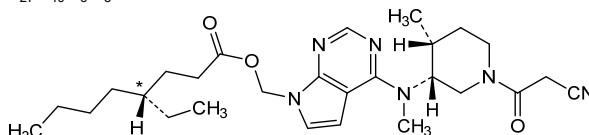
tofacinib etocomil (4-[[[(3*R*,4*R*)-1-(cyanoacetyl)-4-methylpiperidin-3-yl](methyl)amino]-7*H*-pyrrolo[2,3-*d*]pyrimidin-7-yl)methyl (4*RS*)-4-ethyloctanoate *Janus tyrosine kinase inhibitor, anti-inflammatory*

tofacinib étocomil (4*RS*)-4-éthyloctanoate de (4-[[[(3*R*,4*R*)-1-(cyanoacétyl)-4-méthylpipéridin-3-yl](méthyl)amino]-7*H*-pyrrolo[2,3-*d*]pyrimidin-7-yl)méthyle *inhibiteur de la tyrosine kinase Janus, anti-inflammatoire*

tofacinib etocomilo (4*RS*)-4-etiloctanoato de (4-[[[(3*R*,4*R*)-1-(cianoacetil)-4-metilpiperidin-3-il](metil)amino]-7*H*-pirrolo[2,3-*d*]pirimidin-7-il)metilo *inhibidor de la tirosina kinasa Janus, antiinflamatorio*

C₂₇H₄₀N₆O₃

2812383-82-5



and epimer at C*
et l'épimère en C*
y el epímero en C*

torvutatugum #
torvutatug

immunoglobulin G1-kappa, anti-[*Homo sapiens* FOLR1 (folate receptor 1, folate receptor alpha, FR-alpha, adult folate-binding protein, FBP, ovarian tumor-associated antigen MOv18)], *Homo sapiens* monoclonal antibody;
H-gamma1 heavy chain *Homo sapiens* (1-449) [VH (*Homo sapiens* IGHV6-1*01 (98.0%) -(IGHD) -IGHJ4*01 (100%), CDR-IMGT [10.9.9] (26-35.53-61.100-108)) (1-119) -*Homo sapiens* IGHG1*03 (100%) G1m3, nG1m1 CH1 R120, CH3 E12, M14 (CH1 R120 (216) (120-217), hinge 1-15 (218-232), CH2 (233-342), CH3 E12 (358), M14 (360) (343-447), CHS (448-449)) (120-449)], (222-215')-disulfide with L-kappa light chain *Homo sapiens* (1'-215') [V-KAPPA (*Homo sapiens* IGKV1-5*03 (98.9%) -IGKJ4*01 (100%), CDR-IMGT [6.3.10] (27'-32'.50'-52'.89'-98')) (1'-108') -*Homo sapiens* IGKC*01 (100%) Km3 A45.1, V101 (C-KAPPA A45.1 (154'), V101 (192')) (109'-215')]; dimer (228-228":231-231")-bisdisulfide, produced in a cell line from Chinese hamster ovary (CHO) cells, derived from the cell line CHO-K1, glycoform alfa
antineoplastico

torvutatug

immunoglobuline G1-kappa, anti-[*Homo sapiens* FOLR1 (récepteur 1 du folate, récepteur alpha du folate, FR-alpha, protéine de l'adulte liant le folate, FBP, antigène MOv18 associé à des tumeurs ovariennes)], anticorps monoclonal *Homo sapiens*; chaîne lourde H-gamma1 *Homo sapiens* (1-449) [VH (*Homo sapiens* IGHV6-1*01 (98.0%) -(IGHD) -IGHJ4*01 (100%), CDR-IMGT [10.9.9] (26-35.53-61.100-108)) (1-119) -*Homo sapiens* IGHG1*03 (100%) G1m3, nG1m1 CH1 R120, CH3 E12, M14 (CH1 R120 (216) (120-217), charnière 1-15 (218-232), CH2 (233-342), CH3 E12 (358), M14 (360) (343-447), CHS (448-449)) (120-449)], (222-215')-disulfure avec la chaîne légère L-kappa *Homo sapiens* (1'-215') [V-KAPPA (*Homo sapiens* IGKV1-5*03 (98.9%) -IGKJ4*01 (100%), CDR-IMGT [6.3.10] (27'-32'.50'-52'.89'-98')) (1'-108') -*Homo sapiens* IGKC*01 (100%) Km3 A45.1, V101 (C-KAPPA A45.1 (154'), V101 (192')) (109'-215')]; dimère (228-228":231-231")-bisdisulfure, produit dans une lignée cellulaire des cellules ovariennes de hamster chinois (CHO), dérivant de la lignée cellulaire CHO-K1, glycoforme alfa
antineoplastique

torvutatug

inmunoglobulina G1-kappa, anti-[*Homo sapiens* FOLR1 (receptor 1 del folato, receptor alfa del folato, FR-alfa, proteína adulta fijadora de folato, FBP, antígeno MOv18 asociado a los tumores ováricos)], anticuerpo monoclonal *Homo sapiens*; cadena pesada H-gamma1 *Homo sapiens* (1-449) [VH (*Homo sapiens* IGHV6-1*01 (98.0%) -(IGHD) -IGHJ4*01 (100%), CDR-IMGT [10.9.9] (26-35.53-61.100-108)) (1-119) -*Homo sapiens* IGHG1*03 (100%) G1m3, nG1m1 CH1 R120, CH3 E12, M14 (CH1 R120 (216) (120-217), bisagra 1-15 (218-232), CH2 (233-342), CH3 E12 (358), M14 (360) (343-447), CHS (448-449)) (120-449)], (222-215')-disulfuro con la cadena ligera L-kappa *Homo sapiens* (1'-215') [V-KAPPA (*Homo sapiens* IGKV1-5*03 (98.9%) -IGKJ4*01 (100%), CDR-IMGT [6.3.10] (27'-32'.50'-52'.89'-98')) (1'-108') -*Homo sapiens* IGKC*01 (100%) Km3 A45.1, V101 (C-KAPPA A45.1 (154'), V101 (192')) (109'-215')]; dímero (228-228":231-231")-bisdisulfuro, producido en una línea celular de las células ováricas de hámster chino (CHO), línea celular derivada de CHO-K1, forma glicosilada alfa
antineoplásico

2975630-15-8

Heavy chain / Chaîne lourde / Cadena pesada

LVQLQQSGPG LVKPSQTLSL TCAISGDSVS SDSATWNWIR QSPSRGLEWL 50
 GRITYRSKWY NDYAVSVKSR ITINPDTSKN QFSLQLNSVT PEDTAVYYCA 100
 RGVGSDFYWG QGTLVTVSSA STKGPSVFPL APSKSTSGG TAALGLVKD 150
 YFPEPVTYSW NSGALTSQVH TFPVAVLQSSG LYSLSVTVT PSSSLGQTY 200
 ICNVNHKPSN TKVDRKVEPK SCDKTHTCPP CPAPELLGGP SVFLFPPKPK 250
 DTLMISRTP ETCVVVDVSH EDPEVKFNWY VDGVEVHNAK TKPREEQYNS 300
 TYRIVSVLTV LHQDWLNGKE YKCKVSNKAL PAPIEKTISK AKGQPREPQV 350
 YTLPPSREEM TKNQVSLTCL VKGFPYPSDIA VEWESNGQPE NNYKTTTPVL 400
 DSDGSEFFLYS KLTVDKSRWQ QGNVFSQCSVM HEALHNHYTQ KSLSLSPGK 449

Light chain / Chaîne légère / Cadena ligera

DIQMTQSPFST LSASVGDRTV ITCRASQGIS SWLAWYQQKPK GKAPKLLIYK 50
 ASGLESQVPS RFGSGSGSTE FTLTISLQPF DDFATYYCQQ YNSYSQLTFFG 100
 GGTKVEIKRT VAAPSVFIFF PSDEQLKSGT ASVVCLLNPF YPREAKVQWK 150
 VDNALQSGNS QESVTEQDSK DSTYSLSSLT TLSKADYEKH KVAACEVTHQ 200
 GLSSPVTKSF NRGEK 215

Post-translational modifications

Disulfide bridges location / Position des ponts disulfure / Posiciones de los puentes disulfuro

Intra-H (C23-C104) 22-99 146-202 263-323 369-427
 22"-99" 146"-202" 263"-323" 369"-427"

Intra-L (C23-C104) 23'-88' 135'-195"
 23'''-88''' 135'''-195'''

Inter-H-L (h 5-CL 126) 222-215' 222"-215'''

Inter-H-H (h 11, h 14) 228-228" 231-231"

N-glycosylation sites / Sites de N-glycosylation / Posiciones de N-glicosilación
 H CH2 N84, 4: 299, 299"

Fucosylated complex bi-antennary CHO-type glycans / glycanes de type CHO bi-antennaires
 complexes fucosylés / glicanos de tipo CHO biantennarios complejos fucosilados

C-terminal lysine clipping / Coupure de la lysine C-terminale / Recorte de lisina C-terminal
 H CHS K2: 449, 449"

torvutatugum samrotecanum #

torvutatug samrotecan

immunoglobulin G1-kappa, anti-[*Homo sapiens* FOLR1 (folate receptor 1, folate receptor alpha, FR-alpha, adult folate-binding protein, FBP, ovarian tumor-associated antigen MOV18)], *Homo sapiens* monoclonal antibody; conjugated on eight cysteinyl residues to *samrotecan*, comprising a linker and a camptothecin derivative (*exatecan*);

H-gamma1 heavy chain *Homo sapiens* (1-449) [VH (*Homo sapiens* IGHV6-1*01 (98.0%) -(IGHD) -IGHJ4*01 (100%), CDR-IMGT [10.9.9] (26-35.53-61.100-108)) (1-119) -*Homo sapiens* IGHG1*03 (100%) G1m3, nG1m1 CH1 R120, CH3 E12, M14 (CH1 R120 (216) (120-217), hinge 1-15 (218-232), CH2 (233-342), CH3 E12 (358), M14 (360) (343-447), CHS (448-449)) (120-449)], (222-215')-disulfide with L-kappa light chain *Homo sapiens* (1'-215') [V-KAPPA (*Homo sapiens* IGKV1-5*03 (98.9%) -IGKJ4*01 (100%), CDR-IMGT [6.3.10] (27'-32'.50'-52'.89'-98'')) (1'-108') -*Homo sapiens* IGKC*01 (100%) Km3 A45.1, V101 (C-KAPPA A45.1 (154'), V101 (192'')) (109'-215'')]; dimer (228-228":231-231")-bisdisulfide, produced in a cell line from Chinese hamster ovary (CHO) cells, derived from the cell line CHO-K1, glycoform alfa; substituted at the eight sulfur atoms of L-cysteinyl residues 222, 228, 231, 215', 222", 228", 231" and 215'" with (3RS)-1-[(2S,5S)-1-[[[(9S)-9-ethyl-9-hydroxy-10,13-dioxo-2,3,9,10,13,15-hexahydro-1H,12H-benzo[de]pyrano[3',4':6',7']indolizino[1,2-b]quinolin-4-yl]amino]-2-methyl-1,4,7,35-tetraoxo-5-(propan-2-yl)-10,13,16,19,22,25,28,31-octaoxa-3,6,34-triazaheptatriacontan-37-yl]-2,5-dioxopyrrolidin-3-yl (*samrotecan*) groups
antineoplastic

torvutatug samrotécán

immunoglobuline G1-kappa, anti-[*Homo sapiens* FOLR1 (récepteur 1 du folate, récepteur alpha du folate, FR-alpha, protéine de l'adulte liant le folate, FBP, antigène MOv18 associé à des tumeurs ovariennes)], anticorps monoclonal *Homo sapiens*; conjugué par huit résidus cystéinyle au *samrotécán*, comprenant un linker et un dérivé de la camptothécine (*exatécán*); chaîne lourde H-gamma1 *Homo sapiens* (1-449) [VH (*Homo sapiens* IGHV6-1*01 (98.0%) -(IGHD) -IGHJ4*01 (100%), CDR-IMGT [10.9.9] (26-35.53-61.100-108)) (1-119) -*Homo sapiens* IGHG1*03 (100%) G1m3, nG1m1 CH1 R120, CH3 E12, M14 (CH1 R120 (216) (120-217), charnière 1-15 (218-232), CH2 (233-342), CH3 E12 (358), M14 (360) (343-447), CHS (448-449)) (120-449)], (222-215')-disulfure avec la chaîne légère L-kappa *Homo sapiens* (1'-215') [V-KAPPA (*Homo sapiens* IGKV1-5*03 (98.9%) -IGKJ4*01 (100%), CDR-IMGT [6.3.10] (27'-32'.50'-52'.89'-98')) (1'-108') -*Homo sapiens* IGKC*01 (100%) Km3 A45.1, V101 (C-KAPPA A45.1 (154'), V101 (192')) (109'-215')]; dimère (228-228":231-231")-bisdisulfure, produit dans une lignée cellulaire des cellules ovariennes de hamster chinois (CHO), dérivant de la lignée cellulaire CHO-K1, glycoforme alfa; substitué sur l'atome de soufre des résidus L-cystéinyle 222, 228, 231, 215', 222", 228", 231" et 215" avec des groupes (3RS)-1-[(2S,5S)-1-[[[(9S)-9-éthyl-9-hydroxy-10,13-dioxo-2,3,9,10,13,15-hexahydro-1H,12H-benzo[de]pyrano[3',4':6,7]indolizino[1,2-b]quinoléin-4-yl]amino]-2-méthyl-1,4,7,35-tétraoxo-5-(propan-2-yl)-10,13,16,19,22,25,28,31-octaoxa-3,6,34-triazaheptatriacontan-37-yl]-2,5-dioxopyrrolidin-3-yle (*samrotécán*) antinéoplasique

torvutatug samrotecán

immunoglobulina G1-kappa, anti-[*Homo sapiens* FOLR1 (receptor 1 del folato, receptor alfa del folato, FR-alfa, proteína adulta fijadora de folato, FBP, antígeno MOv18 asociado a los tumores ováricos)], anticuerpo monoclonal *Homo sapiens*, conjugado por ocho residuos cystéinyle au *samrotécán*, que comprende un enlace y un derivado de la camptotecina (*exatecán*); cadena pesada H-gamma1 *Homo sapiens* (1-449) [VH (*Homo sapiens* IGHV6-1*01 (98.0%) -(IGHD) -IGHJ4*01 (100%), CDR-IMGT [10.9.9] (26-35.53-61.100-108)) (1-119) -*Homo sapiens* IGHG1*03 (100%) G1m3, nG1m1 CH1 R120, CH3 E12, M14 (CH1 R120 (216) (120-217), bisagra 1-15 (218-232), CH2 (233-342), CH3 E12 (358), M14 (360) (343-447), CHS (448-449)) (120-449)], (222-215')-disulfuro con la cadena ligera L-kappa *Homo sapiens* (1'-215') [V-KAPPA (*Homo sapiens* IGKV1-5*03 (98.9%) -IGKJ4*01 (100%), CDR-IMGT [6.3.10] (27'-32'.50'-52'.89'-98')) (1'-108') -*Homo sapiens* IGKC*01 (100%) Km3 A45.1, V101 (C-KAPPA A45.1 (154'), V101 (192')) (109'-215')]; dímero (228-228":231-231")-bisdisulfuro, producido en una línea celular de las células ováricas de hámster chino (CHO), línea celular derivada de CHO-K1, forma glicosilada alfa; sustituido en el átomo de azufre de los residuos L-cisteinilo 222, 228, 231, 215', 222", 228", 231" y 215" con grupos (3RS)-1-[(2S,5S)-1-[[[(9S)-9-etil-9-hidroxi-10,13-dioxo-2,3,9,10,13,15-hexahidro-1H,12H-benzo[de]pirano[3',4':6,7]indolizino[1,2-b]quinolein-4-il]amino]-2-metil-1,4,7,35-tetraoxo-5-(propan-2-il)-10,13,16,19,22,25,28,31-octaoxa-3,6,34-triazaheptatriacontan-37-il]-2,5-dioxopirrolidin-3-ilo (*samrotecán*) antineoplásico

2975630-26-1

Heavy chain / Chaîne lourde / Cadena pesada (H, H')

LVQLQQSGPG LVKQPSQTLSL TCAISGDSVVS SDSATWNWIR QSPSRGLEWL 50
 GRYYRSKWY NDYAVSVKSR ITINPDTSKN QFSLQLNSVT PEDTAVYYCA 100
 RGVGSFDYWG QGTLVTVSSA STKGPSVFPL APSSKSTSGG TAALGCLVKD 150
 YFPEPVTVSW NSGALTSGVH TFPQAVLQSSG LYSLSVTVV PSSLGLTQTY 200
 ICNVNHKPSN TKVDKRVEPK SCDKTHTCP CPAPPELLGGP SVFLFPPKPK 250
 DTLMISRTE VTCVVVDVSH EDPEVKFNWY VDGVEVHNAK TKPREEQYNS 300
 TYRVSVLTV LHQDWLNGKE YKCKVSNKAL PAPIEKTISK AKGQPREPV 350
 YTLPPSREEM TKNQVSLTCL VKGFYPSDIA VEWESNGQPE NNYKTTTPVL 400
 DSDGSFFLYS KLTVDKSRWQ QGNVFSCSVM HEALHNHYTQ KSLSLSPGK 449

Light chain / Chaîne légère / Cadena ligera (L, L')

DIQMTQSPST LSASVGDRTV ITCRASQGIS SWLAWYQQKPK GKAPKLLIYK 50
 ASGLESQVPS RFSGSGSGTE FTLTISLQP DDFATYYCQQ YNSYSQLTFG 100
 GGTKVEIKRT VAAPSVFIFP PSDEQLKSGT ASVVCLLNNF YPREAKVQWK 150
 VDNALQSGNS QESVTEQDSK DSTYLSSTL TLSKADYEKHK KVVYACEVTHQ 200
 GLSSPVTKSF NRGEC 215

Post-translational modifications

Disulfide bridges location / Position des ponts disulfure / Posiciones de los puentes disulfuro

Intra-H (C23-C104) 22-99 146-202 263-323 369-427

22"-99" 146"-202" 263"-323" 369"-427"

Intra-L (C23-C104) 23'-88' 135'-195'

23"'-88"' 135"'-195"

Inter-H-L (h 5-CL 126)* 222-215' 222"-215"

Inter-H-H (h 11, h 14)* 228-228" 231-231"

*The inter-chain disulfide bridges are not present, the 8 cysteinyl being conjugated each via a thioether bond to a drug linker.

*Les ponts disulfures inter-chaînes ne sont pas présents, les 8 cystéinyl étant chacun conjugué via une liaison thioéther à un linker-principe actif.

*Los puentes disulfuro entre cadenas no están presentes, cada uno de los 8 cisteinil está conjugada a través de un enlace tioéther a un linker-principio activo.

N-glycosylation sites / Sites de N-glycosylation / Posiciones de N-glicosilación

H CH2 N84.4: 299, 299"

Fucosylated complex bi-antennary CHO-type glycans / glycanes de type CHO bi-antennaires complexes fucosylés / glicanos de tipo CHO biantennarios complejos fucosilados

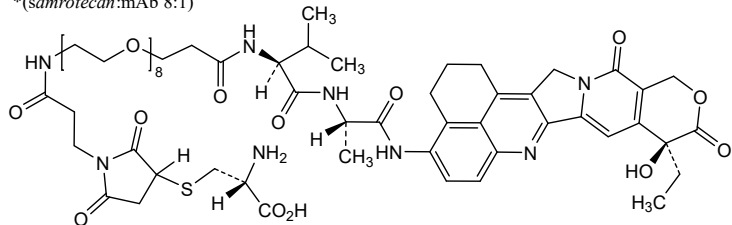
C-terminal lysine clipping / Coupeure de la lysine C-terminale / Recorte de lisina C-terminal

H CHS K2: 449, 449"

Modified residues / Résidus modifiés / Restos modificados*

C (222, 228, 231, 215', 222", 228", 231", 215'")

*(samrotectan:mAb 8:1)



tosposertibum
 tosposertib

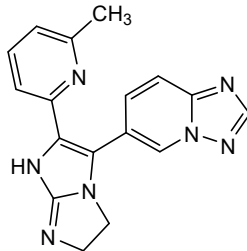
6-[2-(6-methylpyridin-2-yl)-5,6-dihydro-1H-imidazo[1,2-a]imidazol-3-yl][1,2,4]triazolo[1,5-a]pyridine
 serine/threonine kinase inhibitor, antifibrotic

tosposertib 6-[2-(6-méthylpyridin-2-yl)-5,6-dihydro-1*H*-imidazo[1,2-*a*]imidazol-3-yl][1,2,4]triazolo[1,5-*a*]pyridine
inhibiteur de sérine/thréonine kinases, antifibrotique

tosposertib 6-[2-(6-metilpiridin-2-il)-5,6-dihidro-1*H*-imidazo[1,2-*a*]imidazol-3-il][1,2,4]triazolo[1,5-*a*]piridina
inhibidor de la serina/treonina kinasa, antifibrótico

C₁₇H₁₅N₇

1418305-55-1



trovostobartum #
trovostobart

immunoglobulin G1-kappa, anti-[*Homo sapiens* VSIR (V-set immunoregulatory receptor, B7H5, B7-H5, PDCD1 homolog, PD-1H, stress induced secreted protein 1, SISP1, V-domain Ig suppressor of T cell activation, VISTA)], *Homo sapiens* monoclonal antibody;

H-gamma1 heavy chain *Homo sapiens* (1-447) [VH (*Homo sapiens* IGHV4-59*01 (99.0%) -(IGHD) -IGHJ3*02 (93.3%) T125>I (114), CDR-IMGT [8.7.11] (26-33.51-57.96-106)) (1-117) - *Homo sapiens* IGHG1*01, G1m17,1 CH1 K120, CH3 D12, L14, 9-G1v21 CH2 Y15.1, T16, E18 (CH1 K120 (214) (118-215), hinge 1-15 (216-230), CH2 M15.1>Y (252), S16>T (254), T18>E (256) (231-340), CH3 D12 (356), L14 (358) (341-445), CHS (446-447)) (118-447)], (220-214')-disulfide with L-kappa light chain *Homo sapiens* (1'-214') [V-KAPPA (*Homo sapiens* IGKV3-11*01 (96.8%) -IGKJ4*01 (100%), CDR-IMGT [6.3.9] (27'-32'.50'-52'.89'-97')) (1'-107') -*Homo sapiens* IGKC*01 (100%) Km3 A45.1, V101 (C-KAPPA A45.1 (153'), V101 (191')) (108'-214')]; dimer (226-226":229-229")-bisdisulfide, produced in a cell line derived from Chinese hamster ovary (CHO) cells, glycoform alfa
immunostimulant, antineoplastique

trovostobart immunoglobuline G1-kappa, anti-[*Homo sapiens* VSIR (récepteur immunorégulateur du V-set, B7H5, B7-H5, homologue du PDCD1, PD-1H, protéine 1 sécrétée induite par le stress, SISP1, suppresseur d'activation de cellule T du V-set Ig, VISTA)], anticorps monoclonal *Homo sapiens*; chaîne lourde H-gamma1 *Homo sapiens* (1-447) [VH (*Homo sapiens* IGHV4-59*01 (99.0%) -(IGHD) -IGHJ3*02 (93.3%) T125>I (114), CDR-IMGT [8.7.11] (26-33.51-57.96-106)) (1-117) - *Homo sapiens* IGHG1*01, G1m17,1 CH1 K120, CH3 D12, L14, 9-G1v21 CH2 Y15.1, T16, E18 (CH1 K120 (214) (118-215), charnière 1-15 (216-230), CH2 M15.1>Y (252), S16>T (254), T18>E (256) (231-340), CH3 D12 (356), L14 (358) (341-445), CHS (446-447)) (118-447)], (220-214')-disulfure avec la chaîne

légère L-kappa *Homo sapiens* (1'-214') [V-KAPPA (*Homo sapiens* IGKV3-11*01 (96.8%) -IGKJ4*01 (100%), CDR-IMGT [6.3.9] (27'-32'.50'-52'.89'-97')) (1'-107') -*Homo sapiens* IGKC*01 (100%) Km3 A45.1, V101 (C-KAPPA A45.1 (153'), V101 (191')) (108'-214')]; dimère (226-226":229-229")-bisdisulfure, produit dans une lignée cellulaire dérivant des cellules ovariennes de hamster chinois (CHO), glycoforme alfa
immunostimulant, antinéoplasique

trovostobart

inmunoglobulina G1-kappa, anti-[*Homo sapiens* VSIR (receptor inmunoregulador del V-set, B7H5, B7-H5, homólogo del PDCD1, PD-1H, proteína 1 secretada inducida por el estrés, SISP1, supresor de activación de célula T del V-set Ig, VISTA)], anticuerpo monoclonal *Homo sapiens*;
cadena pesada H-gamma1 *Homo sapiens* (1-447) [VH (*Homo sapiens* IGHV4-59*01 (99.0%) -(IGHD) -IGHJ3*02 (93.3%) T125>I (114), CDR-IMGT [8.7.11] (26-33.51-57.96-106)) (1-117) -*Homo sapiens* IGHG1*01, G1m17,1 CH1 K120, CH3 D12, L14, 9-G1v21 CH2 Y15.1, T16, E18 (CH1 K120 (214) (118-215), bisagra 1-15 (216-230), CH2 M15.1>Y (252), S16>T (254), T18>E (256) (231-340), CH3 D12 (356), L14 (358) (341-445), CHS (446-447)) (118-447)], (220-214')-disulfuro con la cadena ligera L-kappa *Homo sapiens* (1'-214') [V-KAPPA (*Homo sapiens* IGKV3-11*01 (96.8%) -IGKJ4*01 (100%), CDR-IMGT [6.3.9] (27'-32'.50'-52'.89'-97')) (1'-107') -*Homo sapiens* IGKC*01 (100%) Km3 A45.1, V101 (C-KAPPA A45.1 (153'), V101 (191')) (108'-214')]; dímero (226-226":229-229")-bisdisulfuro, producido en una línea celular derivada de las células ováricas de hámster chino (CHO), forma glicosilada alfa
immunoestimulante, antineoplásico

3006784-09-1

Heavy chain / Chaîne lourde / Cadena pesada

QVQLQESGPG LVPKSETLSL TCTVSGGSIS SYVSWIRQP PGKLEWIGY 50
IYYSGSTNYN PSLKSRVTIS VDTSKSQFSL KLSVTAADT AVYYCARDIP 100
AFAPFDIWQG TMVIVSSAST KGPSVFPLAP SSKSTSGGTA ALGCLVKDYF 150
PEPVTVSWNS GALTSGVHTF PAVLQSSGLY SLSSVVTVPS SSLGTQTYIC 200
NVMHKPSNTK VDKKVEPKSC DKHTCPCPC APELLGGPSV FLPPPKPKDT 250
LYITREPEVT CVVVDVSHED PEVKFNWYVD GVEVHNAKTK PREEQYNSTY 300
RVVSVLTVLH QDWLNGKEYK CKVSNKALPA PIEKTIKAK GQPREPQVYT 350
LPPSRDELTK NQVSLTCLVK GFYPSDIAVE WESNGQPENN YKTTTPVLDL 400
DGSFPLYSKL TVDKSRWQQG NWFSCSVME ALHNHYTQKS LSLSPGK 447

Light chain / Chaîne légère / Cadena ligera

EIVLTQSPAT LSLSPGERAT LSCRASQSVS YYLAWYQQKF GQAPRLLIYD 50
AFNRATGIPA RFGSGSGTD FTLTISLSEP EDFAVYYCQ RINWPLTFGG 100
GTKVEIKRVT AAPSVFIFPP SDEQLKSGTA SVVCLLNIFY PREAKVQWKV 150
DNALQSGNSQ ESVTEQDSKD STYLSLSTLT LSKADYEKHK VYACEVTHQG 200
LSSPVTKSFN RGEC 214

Post-translational modifications

Disulfide bridges location / Position des ponts disulfure / Posiciones de los puentes disulfuro

Intra-H (C23-C104) 22"-95 144"-200 261"-321 367"-425
22"-95" 144"-200" 261"-321" 367"-425"
Intra-L (C23-C104) 23"-88" 134"-194"
23"-88"" 134""-194""
Inter-H-L (h 5-CL 126) 220-214' 220"-214"
Inter-H-H (h 11, h 14) 226-226" 229-229"

N-terminal glutaminyl cyclization / Cyclisation du glutaminyle N-terminal / Ciclación del glutamínilo N-terminal

Q> pyroglutamyl (pE, 5-oxopropyl) / pyroglutamyle (pE, 5-oxopropyle) / piroglutamilo (pE, 5-oxopropilo)
H VH Q1: 1, 1"

N-glycosylation sites / Sites de N-glycosylation / Posiciones de N-glicosilación

H CH2 N84.4: 297, 297"

Fucosylated complex bi-antennary CHO-type glycans / glycanes de type CHO bi-antennaires complexes fucosylés / glicanos de tipo CHO biantenarios complejos fucosilados

C-terminal lysine clipping / Coupure de la lysine C-terminale / Recorte de lisina C-terminal

H CHS K2: 447, 447"

ubavitinibum

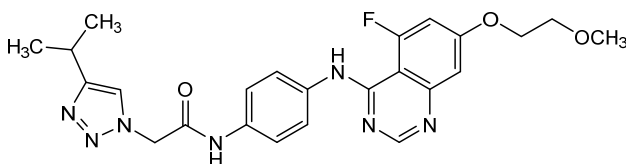
ubavitinib *N*-(4-[[5-fluoro-7-(2-methoxyethoxy)quinazolin-4-yl]amino]phenyl)-2-[4-(propan-2-yl)-1*H*-1,2,3-triazol-1-yl]acetamide
tyrosine kinase inhibitor, antineoplastic

ubavitinib *N*-(4-[[5-fluoro-7-(2-methoxyethoxy)quinazolin-4-yl]amino]phenyl)-2-[4-(propan-2-yl)-1*H*-1,2,3-triazol-1-yl]acetamide
inhibiteur de tyrosine kinase, antinéoplasique

ubavitinib *N*-(4-[[5-fluoro-7-(2-metoxietoxi)quinazolin-4-il]amino]fenil)-2-[4-(propan-2-il)-1*H*-1,2,3-triazol-1-il]acetamida
inhibidor de la tirosina kinasa, antineoplásico

C₂₄H₂₆FN₇O₃

2248003-60-1

**ubletamigum #**

ubletamig

immunoglobulin (H-gamma4_L-kappa)_(H-gamma4_L-kappa), anti-[*Homo sapiens* MUC16 (mucin 16, MUC-16, cancer antigen 125, CA125)] and anti-[*Homo sapiens* CD28 (T cell specific surface glycoprotein CD28, TP44)], *Homo sapiens* monoclonal antibody, bispecific, bivalent;

H-gamma4 heavy chain anti-MUC16 *Homo sapiens* (1-455) [VH (*Homo sapiens*IGHV3-49*04 (93.9%) -(IGHD) -IGHJ6*04 (90.0%) K120>R (121), CDR-IMGT [8.10.20] (26-33.51-60.99-118)) (1-129)-*Homo sapiens*IGHG4*01 nG4m(a) CH2 L92, 12-G4v5 h P10, 6-G4v7 CH2 delE1.4, P1.3, V1.2, A1.1 (CH1 (130-227), hinge 1-12 S10>P (237) (228-239), CH2 E1.4>del, F1.3>P (242), L1.2>V (243), G1.1>A (244), L92 (318) (240-348), CH3 (349-453), CHS (454-455)) (130-455)], (143-215')-disulfide with common L-kappa light chain *Homo sapiens* (1'-215') [V-KAPPA (*Homo sapiens*IGKV3-20*01 (100%) -IGKJ1*01 (100%), CDR-IMGT [7.3.9] (27'-33'.51'-53'.90'-98')) (1'-108') -*Homo sapiens*IGKC*01 (100%) Km3 A45.1, V101 (C-KAPPA A45.1 (154'), V101 (192') (109'-215'))];

H-gamma4 heavy chain anti-CD28 *Homo sapiens* (1"-448") [VH (*Homo sapiens*IGHV4-59*01 (96.9%) -(IGHD) -IGHJ6*01 (100%), CDR-IMGT [8.7.16] (26"-33".51"-57".96"-111")) (1"-122")-*Homo sapiens*IGHG4*01 nG4m(a) CH2 L92, 12-G4v5 h P10, 6-G4v7 CH2 delE1.4, P1.3, V1.2, A1.1, 10-G4v8 CH3 R115, F116, P125(CH1 (123"-220"), hinge 1-12 S10>P (230") (221"-232"), CH2 E1.4>del, F1.3>P (235"), L1.2>V (236"), G1.1>A (237"), L92 (311") (233"-341"), CH3 H115>R (436"), Y116>F (437"), L125>P (446") (342"-446"), CHS (447"-448")) (123"-448"), (136"-215")-disulfide with common L-kappa light chain *Homo sapiens* (1"'-215'") [V-KAPPA (*Homo sapiens*IGKV3-20*01 (100%) -IGKJ1*01 (100%), CDR-IMGT [7.3.9] (27"'-33"' .51"'-53"' .90"'-98'")) (1"'-108'") -*Homo sapiens*IGKC*01 (100%) Km3 A45.1, V101 (C-KAPPA A45.1 (154'") (109'")-215'"); dimer (235-228'": 238-231'")-bisdisulfide, produced in Chinese hamster ovary (CHO) cells, cell line CHO-K1, glycoform alfa *antineoplastic*

ublétamig

immunoglobuline (H-gamma4_L-kappa)_ (H-gamma4_L-kappa), anti-[*Homo sapiens* MUC16 (mucine 16, MUC-16, antigène de cancer 125, CA125)] et anti-[*Homo sapiens* CD28 (glycoprotéine de surface CD28 spécifique des cellules T, TP44)], anticorps monoclonal *Homo sapiens*, bispécifique, bivalent;

chaîne lourde H-gamma4 anti-MUC16 *Homo sapiens* (1-455) [VH (*Homo sapiens*IGHV3-49*04 (93.9%) -(IGHD)-IGHJ6*04 (90.0%) K120>R (121), CDR-IMGT [8.10.20] (26-33.51-60.99-118)) (1-129)-*Homo sapiens*IGHG4*01 nG4m(a) CH2 L92, 12-G4v5 h P10, 6-G4v7 CH2 delE1.4, P1.3, V1.2, A1.1 (CH1 (130-227), charnière 1-12 S10>P (237) (228-239), CH2 E1.4>del, F1.3>P (242), L1.2>V (243), G1.1>A (244), L92 (318) (240-348), CH3 (349-453), CHS (454-455)) (130-455)], (143-215')-disulfure avec la chaîne légère L-kappa commune *Homo sapiens* (1'-215') [V-KAPPA (*Homo sapiens*IGKV3-20*01 (100%) -IGKJ1*01 (100%), CDR-IMGT [7.3.9] (27'-33'.51'-53'.90'-98')) (1'-108') -*Homo sapiens*IGKC*01 (100%) Km3 A45.1, V101 (C-KAPPA A45.1 (154'), V101 (192') (109'-215'))];

chaîne lourde H-gamma4 anti-CD28 *Homo sapiens* (1"-448") [VH (*Homo sapiens*IGHV4-59*01 (96.9%) -(IGHD)-IGHJ6*01 (100%), CDR-IMGT [8.7.16] (26"-33".51"-57".96"-111")) (1"-122")-*Homo sapiens*IGHG4*01 nG4m(a) CH2 L92, 12-G4v5 h P10, 6-G4v7 CH2 delE1.4, P1.3, V1.2, A1.1,10-G4v8 CH3 R115, F116, P125 (CH1 (123"-220"), charnière 1-12 S10>P (230") (221"-232"), CH2 E1.4>del, F1.3>P (235"), L1.2>V (236"), G1.1>A (237"), L92 (311") (233"-341"), CH3 H115>R (436"), Y116>F (437"), L125>P (446") (342"-446"), CHS (447"-448")) (123"-448"), (136"-215'")-disulfure avec la chaîne légère L-kappa commune *Homo sapiens* (1'"-215'") [V-KAPPA (*Homo sapiens*IGKV3-20*01 (100%) -IGKJ1*01 (100%), CDR-IMGT [7.3.9] (27'"-33'" .51'" .53'" .90'" .98'")) (1'"-108'") -*Homo sapiens*IGKC*01 (100%) Km3 A45.1, V101 (C-KAPPA A45.1 (154'"), V101 (192'") (109'"-215'")); dimère (235-228'": 238-231'")-bisdisulfure, produit dans des cellules ovariennes de hamster chinois (CHO), lignée cellulaire CHO-K1, glycoforme alfa

antinéoplasique

ubletamig

immunoglobulina (H-gamma4_L-kappa)_ (H-gamma4_L-kappa), anti-[*Homo sapiens* MUC16 (mucina 16, MUC-16, antígeno de cáncer 125, CA125)] y anti-[*Homo sapiens* CD28 (glicoproteína de superficie CD28 específico de las células T, TP44)], anticuerpo monoclonal *Homo sapiens*, biespecífico, bivalente;

cadena pesada H-gamma4 anti-MUC16 *Homo sapiens* (1-455) [VH (*Homo sapiens*IGHV3-49*04 (93.9%) -(IGHD)-IGHJ6*04 (90.0%) K120>R (121), CDR-IMGT [8.10.20] (26-33.51-60.99-118)) (1-129)-*Homo sapiens*IGHG4*01 nG4m(a) CH2 L92, 12-G4v5 h P10, 6-G4v7 CH2 delE1.4, P1.3, V1.2, A1.1 (CH1 (130-227), bisagra 1-12 S10>P (237) (228-239), CH2 E1.4>del, F1.3>P (242), L1.2>V (243), G1.1>A (244), L92 (318) (240-348), CH3 (349-453), CHS (454-455)) (130-455)], (143-215')-disulfuro con la cadena ligera L-kappa común *Homo sapiens* (1'-215') [V-KAPPA (*Homo sapiens*IGKV3-20*01 (100%) -IGKJ1*01 (100%), CDR-IMGT [7.3.9] (27'-33'.51'-53'.90'-98')) (1'-108') -*Homo sapiens*IGKC*01 (100%) Km3 A45.1, V101 (C-KAPPA A45.1 (154'), V101 (192') (109'-215'))];

cadena pesada H-gamma4 anti-CD28 *Homo sapiens* (1"-448") [VH (*Homo sapiens*IGHV4-59*01 (96.9%) -(IGHD)-IGHJ6*01 (100%), CDR-IMGT [8.7.16] (26"-33".51"-57".96"-111")) (1"-122")-*Homo sapiens*IGHG4*01 nG4m(a) CH2 L92, 12-G4v5 h P10, 6-G4v7 CH2 delE1.4, P1.3, V1.2, A1.1,10-G4v8 CH3 R115, F116, P125 (CH1 (123"-220"), bisagra 1-12 S10>P (230") (221"-232"), CH2 E1.4>del, F1.3>P (235"), L1.2>V (236"), G1.1>A (237"), L92 (311") (233"-341"), CH3 H115>R (436"), Y116>F (437"), L125>P (446") (342"-446"), CHS (447"-448")) (123"-448"), (136"-215'")-disulfuro con la cadena

ligera L-kappa común *Homo sapiens* (1^{'''}-215^{'''}) [V-KAPPA (*Homo sapiens* IGKV3-20*01 (100%) -IGKJ1*01 (100%), CDR-IMGT [7.3.9] (27^{'''}-33^{'''}.51^{'''}-53^{'''}.90^{'''}-98^{'''})) (1^{'''}-108^{'''})] -*Homo sapiens* IGKC*01 (100%) Km3 A45.1, V101 (C-KAPPA A45.1 (154^{'''}), V101 (192^{'''}) (109^{'''}-215^{'''})]];dímero (235-228^{''}: 238-231^{''})-bisdisulfuro, producido en las células ováricas de hámster chino (CHO), línea celular CHO-K1, forma glicosilada alfa *antineoplásico*

3008247-27-3

Heavy chain / Chaîne lourde / Cadena pesada: H-gamma4 anti-MUC16 (H)
 EVQLVESGGG LEQPGFSLRSL SCTASGFAGF DHTMSWVRQA PGKGLEWVGF 50
 IRSRAYGGTT EYAASVKGRT TISRDDSKSI AYLQMDSLKT EDTAVYYCTS 100
 GGYDSSLHY YYYHGMDVWG RGTFTVTSVA STKGPSVFPL APCRSTSES 150
 TAALGCLVKD YFPEPVTVSW NSGALTSVGH TFPAVLQSSG LYSLSVTV 200
 PSSSLGKTKY TCNVDPKPSN TKVDKRVEK YGPPCPPCPA PVVAGPSVFL 250
 FPPKPKDTLM ISRTPPEVTCV VVDVSDQEDPE VQFNWYVDGV EVHNAKTKPR 300
 EEQFNSTYRV VSVLTVLHQD WLNKKEYKCK VSNKGLPSSI EKTISKAKGQ 350
 PREPQVYTLF PSQEEMTKNQ VSLTCLVKGK YPSDIAVEWE SNGQENNYK 400
 TTPPVLDSDG SFFLYSRLTV DKSRWQEGNV FSCSVMEAL HNHYTQKSL 450
 LSLGK 455

Heavy chain / Chaîne lourde / Cadena pesada: H-gamma4 anti-CD28 (H^{''})
 QVQLQESGPG LVKPSSETLSL TCTVSGGSIS SYYWSWIRQP PGKGLEWIGY 50
 IYYSGITHYN PSLKSRVTIS VDTSKIQFSL KLSSVTAADT AVYYCARWGV 100
 RRDYYYGMD VWGQGTTVTV SSASTKGPSV FPLAPCSRST SESTAALGCL 150
 VKDYFPEPVT VSWNSGALTS GVHTFPAVLQ SSGLYSLSSV VTPSSSLGT 200
 KTYTCNVDPK PSNTKVDKRV ESKYGPCCPP CPAPPVAGPS VFLFPPKPKD 250
 TLMISRTPEV TCVVVDVSDQ DPEVQFNWYV DGVEVHNAKT KPREEQFNST 300
 YRVVSVLTVL HQDWLNKKEY KCKVSNKGLP SSIEKTIKSA KGQPREPQVY 350
 TLPPSQEEMT KNQVSLTCLV KGFYPSDIAV EWESNGQPEN NYKTPPVLD 400
 SDGSFFLYSR LTVDKSRWQE GNVFSCVMH EALHNRFTQK SLSLSPGK 448

Light chain / Chaîne légère / Cadena ligera: L-kappa common (L, L^{''})
 EIVLTQSPGT LSLSPGERAT LSCRASQSVS SSVLAWYQQK PGQAPRLLIY 50
 GASSRATGIP DRFSGSGSGT DFTLTISRLE PEDFAVYYCQ QYGSFPWTFG 100
 QGTQVEIKRT VAAPSVFIFP PSDEQLKSGT ASVVCLLNPF YPREAKVQWK 150
 VDNALQSGNS QESVTEQDSK DSTYLSSTL TSKADYKHK KVVACEVTHQ 200
 GLSSPVTKSF NRGEC 215

Post-translational modifications

Disulfide bridges location / Position des ponts disulfure / Posiciones de los puentes disulfuro

Intra-H (C23-C104) 22-98 156-212 269-329 375-433
 22"-95" 149"-205" 262"-322" 368"-426"

Intra-L (C23-C104) 23"-89" 135"-195"
 23'''-89''' 135'''-195'''

Inter-H-L (CH1 10-CL 126) 143-215' 136"-215'"

Inter-H-H (h 8, h 11) 235-228" 238-231"

N-terminal glutaminyl cyclization / Cyclisation du glutaminyle N-terminal / Ciclación del glutaminilo N-terminal

Q > pyroglutamyl (pE, 5-oxopropyl) / pyroglutamyle (pE, 5-oxopropyle) / piroglutamilo (pE, 5-oxoprolilo)

H VH Q1: 1"

N-glycosylation sites / Sites de N-glycosylation / Posiciones de N-glicosilación

H CH2 N84.4: 305, 298"

Fucosylated complex bi-antennary CHO-type glycans / glycanes de type CHO bi-antennaires complexes fucosylés / glicanos de tipo CHO biantenaricos complejos fucosilados.

C-terminal lysine clipping / Coupure de la lysine C-terminale / Recorte de lisina C-terminal

H CHS K2: 455, 448"

utenpanii chloridum
utenpanium chloride

5-(3,6-dibromo-9*H*-carbazol-9-yl)-*N,N,N*-trimethylpentan-1-aminium chloride
serine/threonine kinase inhibitor

chlorure d'utenpanium

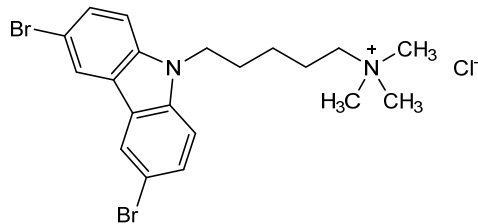
chlorure de 5-(3,6-dibromo-9*H*-carbazol-9-yl)-*N,N,N*-triméthylpentan-1-aminium
inhibiteur de sérine/thréonine kinases

cloruro de utenpanio

cloruro de 5-(3,6-dibromo-9*H*-carbazol-9-il)-*N,N,N*-trimetilpentan-1-amínio
inhibidor de la serina/treonina kinasa

$C_{20}H_{25}Br_2ClN_2$

1436920-57-8



vecantoxatugum #
vecantoxatug

immunoglobulin G1-kappa, anti-[*Clostridium tetani* tetanus toxin (TeNT, neurotoxin)], humanized monoclonal antibody; H-gamma1 heavy chain humanized (1-445) [VH (*Homo sapiens* IGHV1-69*02 (81.4%) -(IGHD) -IGHJ4*01 (85.7%) L123>M (110), CDR-IMGT [8.8.8] (26-33.51-58.97-104)) (1-115) -*Homo sapiens* IGHG1*03 (100%) G1m3, nG1m1 CH1 R120, CH3 E12, M14 (CH1 R120 (212) (116-213), hinge 1-15 (214-228), CH2 (229-338), CH3 E12 (354), M14 (356) (339-443), CHS (444-445)) (116-445)], (218-214')-disulfide with L-kappa light chain humanized (1'-214') [V-KAPPA (*Homo sapiens* IGKV1-NL1*01 (86.3%) -IGKJ2*01 (100%), CDR-IMGT [6.3.9] (27'-32'.50'-52'.89'-97')) (1'-107') -*Homo sapiens* IGKC*01 (100%) Km3 A45.1, V101 (C-KAPPA A45.1 (153'), V101 (191')) (108'-214')]; dimer (224-224'': 227-227'')-bisdisulfide, produced in Chinese hamster ovary (CHO) cells, glycoform alfa
antitoxin, tetanus

vécantoxatug

immunoglobuline G1-kappa, anti-[*Clostridium tetani* toxine tétanique (TeNT, neurotoxine)], anticorps monoclonal humanisé; chaîne lourde H-gamma1 humanisée (1-445) [VH (*Homo sapiens* IGHV1-69*02 (81.4%) -(IGHD) -IGHJ4*01 (85.7%) L123>M (110), CDR-IMGT [8.8.8] (26-33.51-58.97-104)) (1-115) -*Homo sapiens* IGHG1*03 (100%) G1m3, nG1m1 CH1 R120, CH3 E12, M14 (CH1 R120 (212) (116-213), charnière 1-15 (214-228), CH2 (229-338), CH3 E12 (354), M14 (356) (339-443), CHS (444-445)) (116-445)], (218-214')-disulfure avec la chaîne légère L-kappa humanisée (1'-214') [V-KAPPA (*Homo sapiens* IGKV1-NL1*01 (86.3%) -IGKJ2*01 (100%), CDR-IMGT [6.3.9] (27'-32'.50'-52'.89'-97')) (1'-107') -*Homo sapiens* IGKC*01 (100%) Km3 A45.1, V101 (C-KAPPA A45.1 (153'), V101 (191')) (108'-214')]; dimère (224-224'': 227-227'')-bisdisulfure, produit

dans des cellules ovariennes de hamster chinois (CHO),
glycoforme alfa
antitoxine, tétanos

vecantoxatug

inmunoglobulina G1-kappa, anti-[*Clostridium tetani* toxina tetánica (TeNt, neurotoxina)], anticuerpo monoclonal humanizado;
cadena pesada H-gamma1 humanizada (1-445) [VH (*Homo sapiens* IGHV1-69*02 (81.4%) -(IGHD) -IGHJ4*01 (85.7%) L123>M (110), CDR-IMGT [8.8.8] (26-33.51-58.97-104)) (1-115) -*Homo sapiens* IGHG1*03 (100%) G1m3, nG1m1 CH1 R120, CH3 E12, M14 (CH1 R120 (212) (116-213), bisagra 1-15 (214-228), CH2 (229-338), CH3 E12 (354), M14 (356) (339-443), CHS (444-445)) (116-445)], (218-214')-disulfuro con la cadena ligera L-kappa humanizada (1'-214') [V-KAPPA (*Homo sapiens* IGKV1-NL1*01 (86.3%) -IGKJ2*01 (100%), CDR-IMGT [6.3.9] (27'-32'.50'-52'.89'-97')) (1'-107') -*Homo sapiens* IGKC*01 (100%) Km3 A45.1, V101 (C-KAPPA A45.1 (153'), V101 (191')) (108'-214')]; dímero (224-224": 227-227")-bisdisulfuro, producido en las células ováricas de hámster chino (CHO), forma glicosilada alfa
antitoxina, tétanos

2956766-52-0

Heavy chain / Chaîne lourde / Cadena pesada

```

QVQLVQSGAE VKKPGSSVKV SCKASGYTFT SYWIYWRQA PGQGLEWIGE 50
INPTNAPFANY NEKFKTKATI TVDKSTSTAY MELSSLSRSED TAVYYCAIHF 100
RFPYWGQGTM VTVSSASTKG PSVFLAPSS KSTSGGTAAL GCLVKDYFPE 150
PVTVSWNSGA LTVSGVHTFPA VLQSSGLYSL SSVVTVPSSS LGTQTYICNV 200
NHKPSNTKVD KRVEPKSCKD THTCPPCPAP ELLGGPSVFL FPPPKDITLM 250
ISRTPEVTCV VVDVSHEDPE VKFNWYVDGV EVHNAKTKPR EEQYNSTYRV 300
VSVLTIVLHQD WLNQKEYKCK VSNKALPAPI EKTISKAKGQ PREPQVYTLF 350
PSREEMTKNQ VSLTCLVKGF YPSDIAVEWE SNGQFENNYK TTPPVLDSDG 400
SFFLYSKLTV DKSRWQGNV FSCSVMHEAL HNHYTQKSL SLP GK 445

```

Light chain / Chaîne légère / Cadena ligera

```

DIQMTQSPSS LSASVGRDRT ITCRASQDIG SSSLTFLQKPK GKAPKRLIYA 50
TSSLDLSDGVP SFGSGSGSDT YTLTISSLQP EDFATYYCLQ YASSPYTFGQ 100
GTKLEIKRTV AAPSVFIFPP SDEQLKSGTA SVVCLLNIFY PREAKVQWKV 150
DNALQSGNSQ ESVTEQDSKD STYSLSSLT LSKADYEKHK VYACEVTHQG 200
LSSPVTKSFN R GEC 214

```

Post-translational modifications

Disulfide bridges location / Position des ponts disulfure / Posiciones de los puentes disulfuro

Intra-H (C23-C104) 22-96 142-198 259-319 365-423
22"-96" 142"-198" 259"-319" 365"-423"

Intra-L (C23-C104) 23'-88' 134'-194'
23"'-88"' 134"'-194"

Inter-H-L (h 5-CL 126) 218-214' 218"-214"

Inter-H-H (h 11, h 14) 224-224" 227-227"

N-terminal glutaminyl cyclization / Cyclisation du glutaminyle N-terminal / Ciclación del glutaminilo N-terminal

Q > pyroglutamyl (pE, 5-oxopropyl) / pyroglutamyle (pE, 5-oxopropyle) / piroglutamilo (pE, 5-oxoprolilo)

H V H Q I: 1, 1"

N-glycosylation sites / Sites de N-glycosylation / Posiciones de N-glicosilación

H CH2 N84.4: 295, 295"

Fucosylated complex bi-antennary CHO-type glycans / glycanes de type CHO bi-antennaires complexes fucosylés / glicanos de tipo CHO biantenaricos complejos fucosilados.

C-terminal lysine clipping / Coupure de la lysine C-terminale / Recorte de lisina C-terminal
H CHS K2: 445, 445"

velaprumigum #
velaprumig

immunoglobulin scFvkh-L-VH-G1(CH1-h)_scFvkh-L-kappa, anti-[*Homo sapiens* CD40LG (CD40 ligand, CD40L, tumor necrosis factor ligand superfamily member 5, TNFSF5, tumor necrosis factor related activation protein, TRAP, CD154)] and anti-[*Homo sapiens* ALB (albumin, human serum albumin, HSA)], monoclonal antibody, bispecific, trivalent;
fused scFvkh-L-VH-G1(CH1-h) chain anti-CD40LG and anti-ALB (1-483) [scFvkh anti-CD40LG (1-245) [V-KAPPA Musmus/Homsap (*Mus musculus* IGKV3-7*01 (87.9%) -IGKJ1*02 (100%)/*Homo sapiens* IGKV3-11*01 (75.5%) -IGKJ4*01 (90.9%) V124>L (108), CDR-IMGT [10.3.9] (27-36.54-56.93-101)) (1-112) -15-mer tris(tetraglycyl-seryl) linker (113-127) -VH Musmus/Homsap (*Mus musculus* IGHV1-47-14*01 (88.8%) -(IGHD) -IGHJ3*01 (90.9%) A128>S (245)/*Homo sapiens* IGHV1-46*01 (76.5%) -IGHD -IGHJ1*01 (100%), CDR-IMGT [8.8.11] (153-160.178-185.224-234)) (128-245)] -15-mer tris(tetraglycyl-seryl) linker (246-260) -VH-G1(CH1-h) anti-ALB (261-483) [VH anti-ALB (*Homo sapiens* IGHV3-21*01 (90.8%) -IGHD -IGHJ4*01 (92.9%), CDR-IMGT [8.8.13] (286-293.311-318.357-369)) (261-380) -*Homo sapiens* IGHG1*01 CH1-h, G1m17,1CH1 K120, 10-G1v100-1 CH1 E16, 15-G1v37 h S5 (CH1 G16>E (400), K120 (477) (381-478), hinge 1-5 C5>S (483) (479-483)) (381-483)];
fused scFvkh-L-KAPPA chain anti-CD40LG and anti-ALB (1'-478') [scFvkh anti-CD40LG (1'-245') [V-KAPPA Musmus/Homsap (*Mus musculus* IGKV3-7*01 (87.9%) -IGKJ1*02 (100%)/*Homo sapiens* IGKV3-11*01 (75.5%) -IGKJ4*01 (90.9%) V124>L (108'), CDR-IMGT [10.3.9] (27'-36'.54'-56'.93'-101'')) (1'-112') -15-mer tris(tetraglycyl-seryl) linker (113'-127') -VH Musmus/Homsap (*Mus musculus* IGHV1-47-14*01 (88.8%) -(IGHD) -IGHJ3*01 (90.9%) A128>S (245')/*Homo sapiens* IGHV1-46*01 (76.5%) -IGHD -IGHJ1*01 (100%), CDR-IMGT [8.8.11] (153'-160'.178'-185'.224'-234'')) (128'-245')] -18-mer (GSTSGSGKPGSGEGSTKG) linker (246'-263') -L-KAPPA anti-ALB (264'-478') [V-KAPPA anti-ALB (*Homo sapiens* IGKV3-15*01 (85.7%) -IGKJ2*01 (90.9%) K123>Q (367'), CDR-IMGT [6.3.10] (290'-295'.313'-315'.352'-361'')) (264'-371') -*Homo sapiens* IGKC*01, Km3 A45.1, V101, 15-KCv36 S126 (C-KAPPA A45.1 (417'), V101 (455'), C226>S (478') (372'-478'))], produced in Chinese hamster ovary (CHO) cells, cell line CHO-DG44, non-glycosylated
immunosuppressant

vélaprumig

immunoglobuline scFvkh-L-VH-G1(CH1-h)_scFvkh-L-kappa, anti-[*Homo sapiens* CD40LG (CD40 ligand, CD40L, membre 5 de la superfamille des ligands facteurs de nécrose tumorale, TNFSF5, protéine d'activation apparentée au facteur de nécrose tumorale, TRAP, CD154)] et anti-[*Homo sapiens* ALB (albumine, sérum albumine humaine, SAH)], anticorps monoclonal, bispécifique, trivalent; chaîne fusionnée scFvkh-L-VH-G1(CH1-h) anti-CD40LG et anti-ALB (1-483) [scFvkh anti-CD40LG (1-245) [V-KAPPA Musmus/Homsap (*Mus musculus* IGKV3-7*01 (87.9%) -IGKJ1*02 (100%)/*Homo sapiens* IGKV3-11*01 (75.5%) -IGKJ4*01 (90.9%) V124>L (108), CDR-IMGT [10.3.9] (27-36.54-56.93-101)) (1-112) -15-mer tris(tétraglycyl-séryl) linker (113-127) -VH Musmus/Homsap (*Mus musculus* IGHV1-47-14*01 (88.8%) -(IGHD) -IGHJ3*01 (90.9%) A128>S (245)/*Homo sapiens* IGHV1-46*01 (76.5%) -IGHD -IGHJ1*01 (100%), CDR-IMGT [8.8.11] (153-160.178-185.224-234)) (128-245)] -15-mer tris(tétraglycyl-séryl) linker (246-260) -[VH-G1(CH1-h) anti-ALB (261-483) [VH anti-ALB (*Homo sapiens* IGHV3-21*01 (90.8%) -IGHD -IGHJ4*01 (92.9%), CDR-IMGT [8.8.13] (286-293.311-318.357-369)) (261-380)] -*Homo sapiens* IGHG1*01 CH1-h, G1m17,1CH1 K120, 10-G1v100-1 CH1 E16, 15-G1v37 h S5 [(CH1 G16>E (400), K120 (477) (381-478), hinge 1-5 C5>S (483) (479-483)) (381-483)];

	<p>chaîne fusionnée scFvkh-L-KAPPA anti-CD40LG et anti-ALB (1'-478') [scFvkh anti-CD40LG (1'-245') [V-KAPPA Musmus/Homsap (<i>Mus musculus</i> IGKV3-7*01 (87.9%) -IGKJ1*02 (100%)/<i>Homo sapiens</i> IGKV3-11*01 (75.5%) -IGKJ4*01 (90.9%) V124>L (108'), CDR-IMGT [10.3.9] (27'-36'.54'-56'.93'-101'')] (1'-112') -15-mer tris(tétraglycyl-séryl) linker (113'-127') -VH Musmus/Homsap (<i>Mus musculus</i> IGHV1-47-14*01 (88.8%) -(IGHD) -IGHJ3*01 (90.9%) A128>S (245')/<i>Homo sapiens</i> IGHV1-46*01 (76.5%) -IGHD -IGHJ1*01 (100%), CDR-IMGT [8.8.11] (153'-160'.178'-185'.224'-234'')] (128'-245'')] -18-mer (GSTSGSGKPGSGEGSTKG) linker (246'-263') -L-KAPPA anti-ALB (264'-478') [V-KAPPA anti-ALB (<i>Homo sapiens</i> IGKV3-15*01 (85.7%) -IGKJ2*01 (90.9%) K123>Q (367'), CDR-IMGT [6.3.10] (290'-295'.313'-315'.352'-361'')] (264'-371') -<i>Homo sapiens</i> IGKC*01, Km3 A45.1, V101, 15-KCv36 S126 (C-KAPPA A45.1 (417'), V101 (455'), C226>S (478')) (372'-478'')], produit dans des cellules ovariennes de hamster chinois (CHO), lignée cellulaire CHO-DG44, non-glycosylé immunosuppresseur</p>
velaprumig	<p>inmunoglobulina scFvkh-L-VH-G1(CH1-h) scFvkh-L-kappa, anti-[<i>Homo sapiens</i> CD40LG (CD40 ligando, CD40L, miembro 5 de la superfamilia de los ligandos factores de necrosis tumoral, TNFSF5, proteína de activación asociada al factor de necrosis tumoral, TRAP, CD154)] y anti-[<i>Homo sapiens</i> ALB (albúmina, albumina sérica humana, SAH)], anticuerpo monoclonal, bispecífico, trivalente; cadena fusionada scFvkh-L-VH-G1(CH1-h) anti-CD40LG y anti-ALB (1-483) [scFvkh anti-CD40LG (1-245) [V-KAPPA Musmus/Homsap (<i>Mus musculus</i> IGKV3-7*01 (87.9%) -IGKJ1*02 (100%)/<i>Homo sapiens</i> IGKV3-11*01 (75.5%) -IGKJ4*01 (90.9%) V124>L (108), CDR-IMGT [10.3.9] (27-36.54-56.93-101)] (1-112) -15-mer tris(tetraglicil-seril) enlace(113-127) -VH Musmus/Homsap (<i>Mus musculus</i> IGHV1-47-14*01 (88.8%) -(IGHD) -IGHJ3*01 (90.9%) A128>S (245)/<i>Homo sapiens</i> IGHV1-46*01 (76.5%) -IGHD -IGHJ1*01 (100%), CDR-IMGT [8.8.11] (153-160.178-185.224-234)] (128-245)] -15-mer tris(tetraglicil-seril) enlace (246-260) -[VH-G1(CH1-h) anti-ALB (261-483) [VH anti-ALB (<i>Homo sapiens</i> IGHV3-21*01 (90.8%) -IGHD -IGHJ4*01 (92.9%), CDR-IMGT [8.8.13] (286-293.311-318.357-369)] (261-380)] -<i>Homo sapiens</i> IGHG1*01 CH1-h, G1m17,1CH1 K120, 10-G1v100-1 CH1 E16, 15-G1v37 h S5 [(CH1 G16>E (400), K120 (477) (381-478), bisagra 1-5 C5>S (483) (479-483)] (381-483)]; cadena fusionada scFvkh-L-KAPPA anti-CD40LG y anti-ALB (1'-478') [scFvkh anti-CD40LG (1'-245') [V-KAPPA Musmus/Homsap (<i>Mus musculus</i> IGKV3-7*01 (87.9%) -IGKJ1*02 (100%)/<i>Homo sapiens</i> IGKV3-11*01 (75.5%) -IGKJ4*01 (90.9%) V124>L (108'), CDR-IMGT [10.3.9] (27'-36'.54'-56'.93'-101'')] (1'-112') -15-mer tris(tetraglicil-seril) enlace (113'-127') -VH Musmus/Homsap (<i>Mus musculus</i> IGHV1-47-14*01 (88.8%) -(IGHD) -IGHJ3*01 (90.9%) A128>S (245')/<i>Homo sapiens</i> IGHV1-46*01 (76.5%) -IGHD -IGHJ1*01 (100%), CDR-IMGT [8.8.11] (153'-160'.178'-185'.224'-234'')] (128'-245'')] -18-mer (GSTSGSGKPGSGEGSTKG) enlace (246'-263') -L-KAPPA anti-ALB (264'-478') [V-KAPPA anti-ALB (<i>Homo sapiens</i> IGKV3-15*01 (85.7%) -IGKJ2*01 (90.9%) K123>Q (367'), CDR-IMGT [6.3.10] (290'-295'.313'-315'.352'-361'')] (264'-371') -<i>Homo sapiens</i> IGKC*01, Km3 A45.1, V101, 15-KCv36 S126 (C-KAPPA A45.1 (417'), V101 (455'), C226>S (478')) (372'-478'')], producido en las células ováricas de hámster chino (CHO), línea celular CHO-DG44, no glicosilado immunosupresor</p>

2988741-17-7

Heavy chain / Chaîne lourde / Cadena pesada: fused scFvkh
anti-CD40LG -L-VH-G1(CH1-h) anti-ALB (H)

```

DIVLTQSPAT LSVSPGERAT ISCRASQRVS SSTYSYMHWY QQKFGQPPKL 50
LIKYASNLES GVPARFSGSG SGTDFTLTIS SVEPEDFATY YCQHSWEIIP 100
TFGGGTKLEI KRGGGSGGG GSGGGGSQVQ LVQSGAEVVK PGASVKLSCK 150
ASGYIFTSYY MYWVKQAPGQ GLEWIGEINP SNGDTNFNEK FKSATLTVD 200
KSASTAYMEL SSLRSEDYAV YYCTRS DGRN DMDSWGQGT LVTVSSGGGS 250
GGGGSGGGGS QVQLVQSGGG PVKPGGSLRL SCASAGFMFR AYSMNWVRQA 300
PGKGLEWVSS ISSSGRYIHY ADSVKGRFTI SRD NAKNSLY LQMNSLRAED 350
TAVYVCARET VMAGKALDYW GQGLVTVSS ASTKGPSVFP LAPSSKSTSE 400
GTAALGCLVK DYFPEPVTVS WNSGALTSVG HTFPAVLQSS GLYSLSSVVT 450
VPSSSLGTQT YICNVNKKPS NTKVDKKVEP KSS 483

```

Heavy chain / Chaîne lourde / Cadena pesada: fused scFvkh
anti-CD40LG -L-kappa anti-ALB (H')

```

DIVLTQSPAT LSVSPGERAT ISCRASQRVS SSTYSYMHWY QQKFGQPPKL 50
LIKYASNLES GVPARFSGSG SGTDFTLTIS SVEPEDFATY YCQHSWEIIP 100
TFGGGTKLEI KRGGGSGGG GSGGGGSQVQ LVQSGAEVVK PGASVKLSCK 150
ASGYIFTSYY MYWVKQAPGQ GLEWIGEINP SNGDTNFNEK FKSATLTVD 200
KSASTAYMEL SSLRSEDYAV YYCTRS DGRN DMDSWGQGT LVTVSSGSTSG 250
SGKPGSGEGS TKGDIVLTQS PGTLSLSPGE TATLSCRASQ SVGSNLAWYQ 300
QKPGQAPRL IYGASTGATG VPARFSGSR SGTDFTLTIS LQPEDFATY 350
CQQYYSFLAK TFGQGTQLEI KRTVAAPSVF IFPPSDEQLK SGTASVVCLL 400
NNFYPREAKV QWKVDNALQS GNSQESVTEQ DSKDSTYSL SNTLTLKADY 450
EKHKVYACEV THQGLSSPVT KSFNRGES 478

```

Post-translational modifications

Disulfide bridges location / Position des ponts disulfure / Posiciones de los puentes disulfuro

Intra-H (C23-C104) 23-92 149-223 282-356 407-463

Intra-H' (C23-C104) 23'-92' 149'-223' 286'-351' 398'-458'

No N-glycosylation sites / pas de sites de N-glycosylation / nenhum posição de N-glicosilação

veludacigibum
veludacigib

(2R)-2-{N-[4-amino-5-(4-methoxybenzoyl)-1,3-thiazol-2-yl]-4-fluoroanilino}propanamide
diacylglycerol kinase inhibitor, antineoplastic

véludacigib

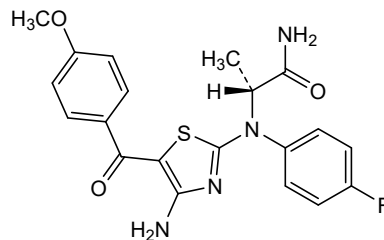
(2R)-2-{N-[4-amino-5-(4-méthoxybenzoyl)-1,3-thiazol-2-yl]-4-fluoroanilino}propanamide
inhibiteur de diacylglycéról kinase, antinéoplasique

veludacigib

(2R)-2-{N-[4-amino-5-(4-metoxibenzoil)-1,3-tiazol-2-il]-4-fluoroanilino}propanamida
inhibidor de la diacilglicerol kinasa, antineoplásico

C₂₀H₁₉FN₄O₃S

2732902-08-6



verducatibum

verducatib

(1*R*,3*S*,4*S*)-*N*-[(1*S*)-1-cyano-2-{2-fluoro-4-[1'-(oxetan-3-yl)-3*H*-spiro[[2]benzofuran-1,4'-piperidin]-6-yl]phenyl}ethyl]-2-azabicyclo[2.2.1]heptane-3-carboxamide
cathepsin inhibitor

verducatib

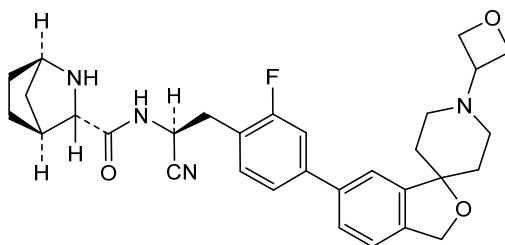
(1*R*,3*S*,4*S*)-*N*-[(1*S*)-1-cyano-2-{2-fluoro-4-[1'-(oxétan-3-yl)-3*H*-spiro[[2]benzofurane-1,4'-pipéridin]-6-yl]phényl}éthyl]-2-azabicyclo[2.2.1]heptane-3-carboxamide
inhibiteur de la cathepsine

verducatib

(1*R*,3*S*,4*S*)-*N*-[(1*S*)-1-ciano-2-{2-fluoro-4-[1'-(oxetan-3-il)-3*H*-espiro[[2]benzofurano-1,4'-piperidin]-6-il]fenil}etil]-2-azabicyclo[2.2.1]heptano-3-carboxamida
inhibidor de la catepsina

C₃₁H₃₅FN₄O₃

1887236-33-0

**vilagletistatum**

vilagletistat

methyl (2*E*,6*S*)-7-[(1-{2-[(2-ethylbutyl)amino]-2-oxoethyl}-2-oxo-1,2-dihydropyridin-3-yl)amino]-6-(1-methyl-1*H*-imidazole-5-carboxamido)-7-oxohept-2-enoate
transglutaminase 2 inhibitor, celiac disease

vilagletistat

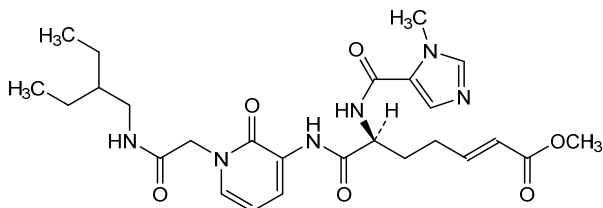
(2*E*,6*S*)-7-[(1-{2-[(2-éthylbutyl)amino]-2-oxoéthyl}-2-oxo-1,2-dihydropyridin-3-yl)amino]-6-(1-méthyl-1*H*-imidazole-5-carboxamido)-7-oxohept-2-énoate de méthyle
inhibiteur de la transglutaminase 2, maladie cœliaque

vilagletistat

(2*E*,6*S*)-7-[(1-{2-[(2-etilbutil)amino]-2-oxoetil}-2-oxo-1,2-dihidropiridin-3-il)amino]-6-(1-metil-1*H*-imidazol-5-carboxamido)-7-oxohept-2-enoato de metilo
inhibidor de la transglutaminasa 2, enfermedad celiaca

C₂₆H₃₆N₆O₆

1542132-88-6



vopimetostatum
vopimetostat

N-(6-amino-5-ethylpyridin-3-yl)-2-((2*R*,5*S*)-5-methyl-2-[2-(1-methylpiperidin-4-yl)-1,3-benzothiazol-5-yl]piperidin-1-yl)-2-oxoacetamide
antineoplastic

vopimétostat

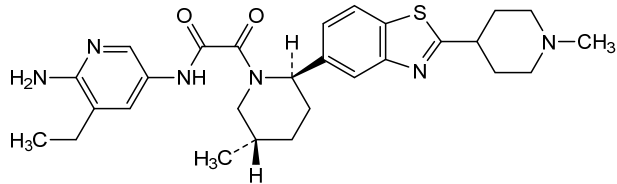
N-(6-amino-5-éthylpyridin-3-yl)-2-((2*R*,5*S*)-5-méthyl-2-[2-(1-méthylpipéridin-4-yl)-1,3-benzothiazol-5-yl]pipéridin-1-yl)-2-oxoacétamide
antinéoplasique

vopimetostat

N-(6-amino-5-etilpiridin-3-il)-2-((2*R*,5*S*)-5-metil-2-[2-(1-metilpiperidin-4-il)-1,3-benzotiazol-5-il]piperidin-1-il)-2-oxoacetamida
antineoplásico

C₂₈H₃₆N₆O₂S

2760483-96-1



vortosiranum
vortosiran

(2*RS*)-3-(1,23-bis[(2-acetamido-2-deoxy-β-D-galactopyranosyl)oxy]-14-[5-[(2-acetamido-2-deoxy-β-D-galactopyranosyl)oxy]pentanoyl]-5,19-dioxo-6,10,14,18-tetraazatricosan-10-yl)-2-hydroxy-3-oxopropyl hydrogen *all-P-ambo*-2'-*O*-methyl-*P*-thioguanlyl-(3'→5')-2'-*O*-methyl-*P*-thiouridylyl-(3'→5')-2'-*O*-methyladenylyl-(3'→5')-2'-*O*-methylcytidylyl-(3'→5')-2'-*O*-methylguanylyl-(3'→5')-2'-*O*-methyluridylyl-(3'→5')-2'-deoxy-2'-fluoroguanlyl-(3'→5')-2'-deoxy-2'-fluoroadenylyl-(3'→5')-2'-*O*-methylcytidylyl-(3'→5')-2'-*O*-methyluridylyl-(3'→5')-2'-*O*-methyladenylyl-(3'→5')-2'-*O*-methylguanylyl-(3'→5')-2'-*O*-methylcytidylyl-(3'→5')-2'-*O*-methyluridylyl-(3'→5')-2'-*O*-methylcytidylyl-(3'→5')-2'-*O*-methyluridylyl-(3'→5')-2'-*O*-methyl-3'-guanylate duplex with *all-P-ambo*-2'-*O*-methyl-*P*-thiouridylyl-(5'→3')-2'-*O*-methyl-*P*-thiouridylyl-(5'→3')-2'-*O*-methylcytidylyl-(5'→3')-2'-*O*-methyladenylyl-(5'→3')-2'-*O*-methyluridylyl-(5'→3')-2'-deoxy-2'-fluoroguanlyl-(5'→3')-2'-*O*-methylcytidylyl-(5'→3')-2'-deoxy-2'-fluoroadenylyl-(5'→3')-2'-*O*-methylcytidylyl-(5'→3')-2'-*O*-methylcytidylyl-(5'→3')-2'-*O*-methyluridylyl-(5'→3')-2'-*O*-methylguanylyl-(5'→3')-2'-*O*-methyladenylyl-(5'→3')-2'-*O*-methylcytidylyl-(5'→3')-2'-*O*-methylcytidylyl-(5'→3')-2'-deoxy-2'-fluorouridylyl-(5'→3')-2'-*O*-methyladenylyl-(5'→3')-2'-*O*-methyladenylyl-(5'→3')-2'-*O*-methyl-*P*-thioguanlyl-(5'→3')-2'-deoxy-2'-fluoro-*P*-thioadenylyl-(5'→3')-cytidine
blood coagulation factor XI synthesis reducer, anticoagulant

vortosiran

(2*RS*)-3-(1,23-bis[(2-acétamido-2-désoxy-β-D-galactopyranosyl)oxy]-14-[5-[(2-acétamido-2-désoxy-β-D-galactopyranosyl)oxy]pentanoyl]-5,19-dioxo-6,10,14,18-tétraazatricosan-10-yl)-2-hydroxy-3-oxopropyl hydrogène *tout-P-ambo*-2'-*O*-méthyl-*P*-thioguanlyl-(3'→5')-2'-*O*-méthyl-*P*-thiouridylyl-(3'→5')-2'-*O*-méthyladénylyl-(3'→5')-2'-*O*-

méthylcytidyl-(3'→5')-2'-O-méthylguanylyl-(3'→5')-2'-O-méthyluridylyl-(3'→5')-2'-désoxy-2'-fluoroguanilyl-(3'→5')-2'-désoxy-2'-fluoroguanilyl-(3'→5')-2'-désoxy-2'-fluoroadénylyl-(3'→5')-2'-O-méthylcytidyl-(3'→5')-2'-O-méthyluridylyl-(3'→5')-2'-O-méthylguanylyl-(3'→5')-2'-O-méthylguanylyl-(3'→5')-2'-O-méthyluridylyl-(3'→5')-2'-O-méthyluridylyl-(3'→5')-2'-O-méthylcytidyl-(3'→5')-2'-O-méthyluridylyl-(3'→5')-2'-O-méthyl-3'-guanylate
 duplex avec *tout-P-ambo*-2'-O-méthyl-*P*-thiouridylyl-(5'→3')-2'-O-méthyl-*P*-thiouridylyl-(5'→3')-2'-O-méthylcytidyl-(5'→3')-2'-O-méthyladénylyl-(5'→3')-2'-O-méthyluridylyl-(5'→3')-2'-désoxy-2'-fluoroguanilyl-(5'→3')-2'-O-méthylcytidyl-(5'→3')-2'-O-méthylcytidyl-(5'→3')-2'-O-méthyluridylyl-(5'→3')-2'-O-méthylcytidyl-(5'→3')-2'-O-méthyladénylyl-(5'→3')-2'-O-méthylcytidyl-(5'→3')-2'-O-méthylcytidyl-(5'→3')-2'-désoxy-2'-fluorouridylyl-(5'→3')-2'-O-méthyladénylyl-(5'→3')-2'-O-méthyladénylyl-(5'→3')-2'-O-méthyl-*P*-thioguanilyl-(5'→3')-2'-désoxy-2'-fluoro-*P*-thioadénylyl-(5'→3')-cytidine
réducteur de la synthèse du facteur XI de la coagulation sanguine, anticoagulant

vortosirán

(2*RS*)-3-(1,2,3-bis[(2-acetamido-2-desoxi-β-D-galactopiranosil)oxi]-14-{5-[(2-acetamido-2-desoxi-β-D-galactopiranosil)oxi]pentanoil}-5,19-dioxo-6,10,14,18-tetraazatricosan-10-il)-2-hidroxi-3-oxopropil hidrógeno *todo-P-ambo*-2'-O-metil-*P*-tioguanilil-(3'→5')-2'-O-metil-*P*-tiouridilil-(3'→5')-2'-O-metiladénilil-(3'→5')-2'-O-metilcitolilil-(3'→5')-2'-O-metilguanilil-(3'→5')-2'-O-metiluridilil-(3'→5')-2'-desoxi-2'-fluoroguanilil-(3'→5')-2'-desoxi-2'-fluoroguanilil-(3'→5')-2'-desoxi-2'-fluoroadénilil-(3'→5')-2'-O-metilcitolilil-(3'→5')-2'-O-metiluridilil-(3'→5')-2'-O-metilguanilil-(3'→5')-2'-O-metiladénilil-(3'→5')-2'-O-metiluridilil-(3'→5')-2'-O-metiluridilil-(3'→5')-2'-O-metilcitolilil-(3'→5')-2'-O-metiluridilil-(3'→5')-2'-O-metil-3'-guanilato
 dúplex con *todo-P-ambo*-2'-O-metil-*P*-tiouridilil-(5'→3')-2'-O-metil-*P*-tiouridilil-(5'→3')-2'-O-metiladénilil-(5'→3')-2'-O-metiluridilil-(5'→3')-2'-desoxi-2'-fluoroguanilil-(5'→3')-2'-O-metilcitolilil-(5'→3')-2'-desoxi-2'-fluoroadénilil-(5'→3')-2'-O-metilcitolilil-(5'→3')-2'-O-metiluridilil-(5'→3')-2'-O-metiluridilil-(5'→3')-2'-O-metilguanilil-(5'→3')-2'-O-metiladénilil-(5'→3')-2'-O-metilcitolilil-(5'→3')-2'-desoxi-2'-fluorouridyilil-(5'→3')-2'-O-metiladénilil-(5'→3')-2'-O-metiladénilil-(5'→3')-2'-O-metil-*P*-tioguanilil-(5'→3')-2'-desoxi-2'-fluoro-*P*-tioadénilil-(5'→3')-citidina
reductor de la síntesis del factor de coagulación sanguínea XI, anticoagulante

C₄₆₃H₆₂₀F₇N₁₅₄O₂₉₁P₃₉S₆

3061406-99-0

(3'·5')G=U=A-C-G-U-G-G-A-C-U-G-G-A-U-U-C-U-G-R

(5'·3')U=U-C-A-U-G-C-A-C-C-U-G-A-C-C-U-A-A-G=A-C

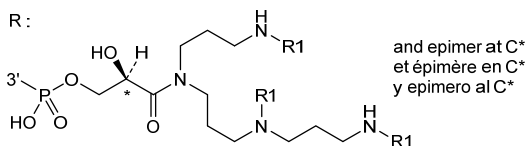
N : A, C, G, U

N : 2'-O-methyl-N / 2'-O-méthyl-N / 2'-O-metil-N

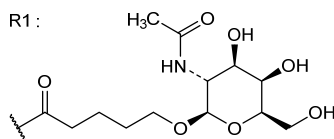
N : 2'-deoxy-2'-fluoro-N / 2'-désoxy-2'-fluoro-N / 2'-desoxi-2'-fluoro-N

- : -PO(OH)- =: -PO(SH)-

R :



R1 :



xeruborbactamum isoboxilum

xeruborbactam isoboxil

[(2-methylpropanoyl)oxy]methyl (1a*R*,7b*S*)-5-fluoro-2-hydroxy-1,1a,2,7b-tetrahydrocyclopropa[*c*][1,2]benzoxaborinine-4-carboxylate
beta-lactamase inhibitor

xéruborbactam isoboxil

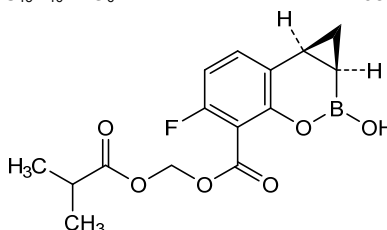
(1a*R*,7b*S*)-5-fluoro-2-hydroxy-1,1a,2,7b-tétrahydrocyclopropa[*c*][1,2]benzoxaborinine-4-carboxylate de [(2-méthylpropanoyl)oxy]méthyle
inhibiteur de bêta-lactamase

xeruborbactam isoboxilo

(1a*R*,7b*S*)-5-fluoro-2-hidroxi-1,1a,2,7b-tetrahidrociclopropa[*c*][1,2]benzoxaborinina-4-carboxilato de [(2-metilpropanoil)oxi]metilo
inhibidor de la beta lactamasa

C₁₅H₁₆BFO₆

2708983-65-5

**zaladenantum**

zaladenant

{5-amino-8-[2-methyl-6-(trifluoromethyl)pyridin-4-yl]-7-phenyl[1,2,4]triazolo[1,5-*c*]pyrimidin-2-yl}methanol
adenosine receptor antagonist, antineoplastic

zaladénant

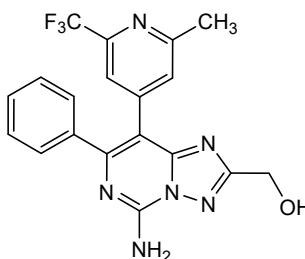
{5-amino-8-[2-méthyl-6-(trifluorométhyl)pyridin-4-yl]-7-phényl[1,2,4]triazolo[1,5-*c*]pyrimidin-2-yl}méthanol
antagoniste des récepteurs de l'adénosine, antinéoplasique

zaladenant

{5-amino-7-fenil-8-[2-metil-6-(trifluorometil)piridin-4-il][1,2,4]triazolo[1,5-*c*]pirimidin-2-il}metanol
antagonista del receptor de la adenosina, antineoplásico

C₁₉H₁₅F₃N₆O

2246426-52-6



zalsupindolum

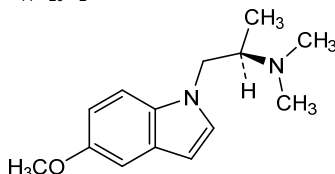
zalsupindole (2*R*)-1-(5-methoxy-1*H*-indol-1-yl)-*N,N*-dimethylpropan-2-amine
antidepressant

zalsupindole (2*R*)-1-(5-méthoxy-1*H*-indol-1-yl)-*N,N*-diméthylpropan-2-amine
antidépresseur

zalsupindol (2*R*)-*N,N*-dimetil-1-(5-metoxi-1*H*-indol-1-il)propan-2-amina
antidepressivo

C₁₄H₂₀N₂O

2481740-94-5

**zedoresertibum**

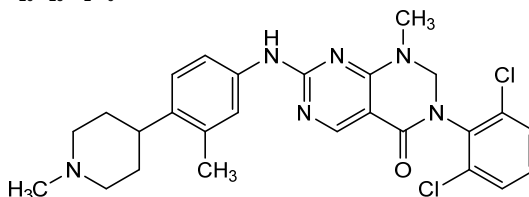
zedoresertib 3-(2,6-dichlorophenyl)-1-methyl-7-[3-methyl-4-(1-methylpiperidin-4-yl)anilino]-2,3-dihydropyrimido[4,5-*d*]pyrimidin-4(1*H*)-one
serine/threonine kinase inhibitor, antineoplastic

zédorésertib 3-(2,6-dichlorophényl)-1-méthyl-7-[3-méthyl-4-(1-méthylpipéridin-4-yl)anilino]-2,3-dihydropyrimido[4,5-*d*]pyrimidin-4(1*H*)-one
inhibiteur de sérine/thréonine kinases, antinéoplasique

zedoresertib 3-(2,6-diclorofenil)-1-metil-7-[3-metil-4-(1-metilpiperidin-4-il)anilino]-2,3-dihidropirimido[4,5-*d*]pirimidin-4(1*H*)-ona
inhibidor de la serina/treonina kinasa, antineoplásico

C₂₆H₂₈Cl₂N₆O

2243882-74-6

**zeltociclibum**

zeltociclib {3-[2-[[[(2*S*)-1-hydroxypropan-2-yl]amino]-5-(trifluoromethyl)pyrimidin-4-yl]-1*H*-indol-7-yl]di(methyl)-λ⁵-phosphanone
cyclin-dependent kinase inhibitor, antineoplastic

zeltociclib {3-[2-[[[(2*S*)-1-hydroxypropan-2-yl]amino]-5-(trifluorométhyl)pyrimidin-4-yl]-1*H*-indol-7-yl]di(méthyl)-λ⁵-phosphanone
inhibiteur de la kinase cycline-dépendante, antinéoplasique

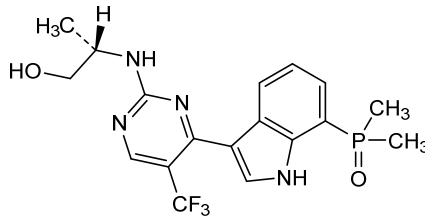
zeltociclib

{3-[2-[(2S)-1-hidroxiopropan-2-il]amino]-5-(trifluorometil)pirimidin-4-il]-1H-indol-7-il}di(metil)-λ⁵-fosfanona

inhibidor de la kinasa dependiente de ciclinas, antineoplásico

C₁₈H₂₀F₃N₄O₂P

2789697-52-3



zemocimigum #
zemocimig

immunoglobulin (H-gamma4_L-kappa)_ (H-gamma4_L-lambda2), anti-[*Homo sapiens* F9a (coagulation factor F9, coagulation factor IX, hemophilia B) activated] and anti-[*Homo sapiens* F10 (coagulation factor 10, coagulation factor X)], humanized and *Homo sapiens* monoclonal antibody, bispecific, bivalent;
H-gamma4 heavy chain anti-F9a humanized (1-447) [VH (*Homo sapiens* IGHV3-23*04 (87.8%) -(IGHD) -IGHJ4*01 (100%), CDR-IMGT [8.8.15] (26-33.51-58.97-111)) (1-122)-*Homo sapiens* IGHG4*01, nG4m(a) CH2 L92, 12-G4v5 h P10, 17-G4v57-1 CH1 K84.2, 18-G4v11 CH1 Q100, CH2 Y84.3, 14-G4v12-1 CH3 K12, 12-G4v6 CH3 K88, 9-G4v78 L107, A114, 10-G4v89 CH3 R118, E120 (CH1 Q84.2>K (180), K100>Q (201) (123-220), hinge 1-12 S10>P (230) (221-232), CH2 F84.3>Y (298), L92 (311) (233-342), CH3 E12>K (358), R88>K (411), M107>L (430), N114>A (436), Q118>R (440), S120>E (442) (343-447)) (123-447)], (136-214')-disulfide with L-kappa light chain anti-F9a *Homo sapiens* (1'-214') [V-KAPPA (*Homo sapiens* IGKV3D-11*02 (84.4%) -IGKJ4*01 (100%), CDR-IMGT [6.3.9] (27'-32'.50'-52'.89'-97')) (1'-107') -*Homo sapiens* IGKC*01 (98.1%) Km3 A45.1, V101 KCv57-1 E20, E90 (C-KAPPA S20>E (131'), A45.1 (153'), T90>E (180), V101 (191')) (108'-214')];
H-gamma4 heavy chain anti-F10 humanized (1"-444") [VH (*Homo sapiens* IGHV1-2*06 (74.5%) -(IGHD) -IGHJ4*01 (80.0%) Q120>E (111"), CDR-IMGT [8.8.12] (26"-33".51"-58".97"-108")) (1"-119")-*Homo sapiens* IGHG4*01, nG4m(a) CH2 L92, 12-G4v5 h P10, 17-G4v57-2 CH1 E26, K84.2, 18-G4v11 CH1 Q100, CH2 Y84.3, 12-G4v6 CH3 K88, 9-G4v78 L107, A114, 10-G4v89 CH3 R118, E120, 14-G4v13 CH3 E119 (CH1 K26>E (149"), Q84.2>E (177"), K100>Q (198") (120"-217"), hinge 1-12 S10>P (227") (218"-229"), CH2 F84.3>Y (295"), L92 (308") (230"-339"), CH3 R88>K (408"), M107>L (427"), N114>A (433"), Q118>R (437"), K119>E (438"), S120>E (439") (340"-444")) (120"-444")], (133"-212")-disulfide with L-lambda2 light chain anti-F10 *Homo sapiens* (1"-213") [V-LAMBDA (*Homo sapiens* IGLV3-9*01 (78.7%) -IGLJ2*01 (81.8%) L124>V (104"), L127>V (107"), CDR-IMGT [6.3.10] (26""-31"" .49""-51"" .88""-97"")) (1""-107"")-*Homo sapiens* IGLC2*01 (98.1%) LC2v57-2 K20, K90 (C-LAMBDA2 T20>K (132""), S90>K (180"")) (108""-213"")]; dimer (228-225": 231-228")-bisdisulfide, produced in Chinese hamster ovary (CHO) cells, cell line CHO-DXB11, glycoform alfa
antihæmophilic agent

- zémocimig immunoglobuline (H-gamma4_L-kappa)_(H-gamma4_L-lambda2), anti-[*Homo sapiens* F9a (facteur de coagulation F9, facteur de coagulation IX, hémophilie B) activé] et anti-[*Homo sapiens* F10 (facteur de coagulation 10, facteur de coagulation X)], anticorps monoclonal humanisé et *Homo sapiens*, bispécifique, bivalent;
- chaîne lourde H-gamma4 anti-F9a humanisée (1-447) [VH (*Homo sapiens* IGHV3-23*04 (87.8%) -(IGHD) -IGHJ4*01 (100%), CDR-IMGT [8.8.15] (26-33.51-58.97-111)) (1-122)-*Homo sapiens* IGHG4*01, nG4m(a) CH2 L92, 12-G4v5 h P10, 17-G4v57-1 CH1 K84.2, 18-G4v11 CH1 Q100, CH2 Y84.3, 14-G4v12-1 CH3 K12, 12-G4v6 CH3 K88, 9-G4v78 L107, A114, 10-G4v89 CH3 R118, E120 (CH1 Q84.2>K (180), K100>Q (201) (123-220), charnière 1-12 S10>P (230) (221-232), CH2 F84.3>Y (298), L92 (311) (233-342), CH3 E12>K (358), R88>K (411), M107>L (430), N114>A (436), Q118>R (440), S120>E (442) (343-447)) (123-447)], (136-214')-disulfure avec la chaîne légère L-kappa anti-F9a *Homo sapiens* (1'-214') [V-KAPPA (*Homo sapiens* IGKV3D-11*02 (84.4%) -IGKJ4*01 (100%), CDR-IMGT [6.3.9] (27'-32'.50'-52'.89'-97')) (1'-107') -*Homo sapiens* IGKC*01 (98.1%) Km3 A45.1, V101 KCv57-1 E20, E90 (C-KAPPA S20>E (131'), A45.1 (153'), T90>E (180), V101 (191')) (108'-214')];
- chaîne lourde H-gamma4 anti-F10 humanisée (1"-444") [VH (*Homo sapiens* IGHV1-2*06 (74.5%) -(IGHD) -IGHJ4*01 (80.0%) Q120>E (111")), CDR-IMGT [8.8.12] (26"-33".51"-58".97"-108")) (1"-119")-*Homo sapiens* IGHG4*01, nG4m(a) CH2 L92, 12-G4v5 h P10, 17-G4v57-2 CH1 E26, K84.2, 18-G4v11 CH1 Q100, CH2 Y84.3, 12-G4v6 CH3 K88, 9-G4v78 CH3 L107, A114, 10-G4v89 CH3 R118, E120, 14-G4v13 CH3 E119 (CH1 K26>E (149")), Q84.2>E (177")), K100>Q (198")) (120"-217")), charnière 1-12 S10>P (227")) (218"-229")), CH2 F84.3>Y (295")), L92 (308")) (230"-339")), CH3 R88>K (408")), M107>L (427")), N114>A (433")), Q118>R (437")), K119>E (438")), S120>E (439")) (340"-444")) (120"-444")), (133"-212"))-disulfure avec la chaîne légère L-lambda2 anti-F10 *Homo sapiens* (1"-213") [V-LAMBDA (*Homo sapiens* IGLV3-9*01 (78.7%) -IGLJ2*01 (81.8%) L124>V (104""), L127>V (107""), CDR-IMGT [6.3.10] (26""-31""-49""-51""-88""-97"")) (1""-107"")-*Homo sapiens* IGLC2*01 (98.1%) LC2v57-2 K20, K90 (C-LAMBDA2 T20>K (132""), S90>K (180"")) (108""-213")]; dimère (228-225": 231-228")-bisdisulfure, produit dans des cellules ovariennes de hamster chinois (CHO), lignée cellulaire CHO-DXB11, glycoforme alfa *agent antihémophilique*
- zemocimig inmunoglobulina (H-gamma4_L-kappa)_(H-gamma4_L-lambda2), anti-[*Homo sapiens* F9a (factor de coagulación F9, factor de coagulación IX, hemofilia B) activado] y anti-[*Homo sapiens* F10 (factor de coagulación 10, factor de coagulación X)], anticuerpo monoclonal humanizado y *Homo sapiens*, bispécífico, bivalente;
- cadena pesada H-gamma4 anti-F9a humanizada (1-447) [VH (*Homo sapiens* IGHV3-23*04 (87.8%) -(IGHD) -IGHJ4*01 (100%), CDR-IMGT [8.8.15] (26-33.51-58.97-111)) (1-122)-*Homo sapiens* IGHG4*01, nG4m(a) CH2 L92, 12-G4v5 h P10, 17-G4v57-1 CH1 K84.2, 18-G4v11 CH1 Q100, CH2 Y84.3, 14-G4v12-1 CH3 K12, 12-G4v6 CH3 K88, 9-G4v78 L107, A114, 10-G4v89 CH3 R118, E120 (CH1 Q84.2>K (180), K100>Q (201) (123-220), bisagra 1-12 S10>P (230) (221-232), CH2 F84.3>Y (298), L92 (311) (233-342), CH3 E12>K (358), R88>K (411), M107>L (430), N114>A (436), Q118>R (440), S120>E (442) (343-447)) (123-447)], (136-214')-disulfuro con la cadena ligera L-kappa anti-F9a *Homo sapiens* (1'-214') [V-KAPPA (*Homo sapiens* IGKV3D-11*02 (84.4%) -IGKJ4*01 (100%), CDR-IMGT [6.3.9] (27'-32'.50'-52'.89'-97')) (1'-107') -*Homo sapiens* IGKC*01 (98.1%) Km3 A45.1, V101 KCv57-1 E20, E90 (C-KAPPA S20>E (131'), A45.1 (153'), T90>E (180), V101 (191')) (108'-214')];

cadena pesada H-gamma4 anti-F10 humanizada (1"-444") [VH (*Homo sapiens* IGHV1-2*06 (74.5%) -(IGHD) -IGHJ4*01 (80.0%) Q120>E (111"), CDR-IMGT [8.8.12] (26"-33".51"-58".97"-108")) (1"-119")-*Homo sapiens* IGHG4*01, nG4m(a) CH2 L92, 12-G4v5 h P10, 17-G4v57-2 CH1 E26, K84.2, 18-G4v11 CH1 Q100, CH2 Y84.3, 12-G4v6 CH3 K88, 9-G4v78 CH3 L107, A114, 10-G4v89 CH3 R118, E120, 14-G4v13 CH3 E119 (CH1 K26>E (149"), Q84.2>E (177"), K100>Q (198") (120"-217"), bisagra 1-12 S10>P (227") (218"-229"), CH2 F84.3>Y (295"), L92 (308") (230"-339"), CH3 R88>K (408"), M107>L (427"), N114>A (433"), Q118>R (437"), K119>E (438"), S120>E (439") (340"-444")) (120"-444")], (133"-212")-disulfuro con la cadena ligera L-lambda2 anti-F10 *Homo sapiens* (1"-213") [V-LAMBDA (*Homo sapiens* IGLV3-9*01 (78.7%) -IGLJ2*01 (81.8%) L124>V (104"), L127>V (107"), CDR-IMGT [6.3.10] (26"-31".49"-51".88"-97")) (1"-107")]-*Homo sapiens* IGLC2*01 (98.1%) LC2v57-2 K20, K90 (C-LAMBDA2 T20>K (132"), S90>K (180")) (108"-213"); dímero (228-225": 231-228")-bisdisulfuro, producido en las células ováricas de hámster chino (CHO), línea celular CHO-DXB11, forma glicosilada alfa

agente antihemofílico

2955620-21-8

Heavy chain / Chaîne lourde / Cadena pesada: H-gamma4 anti-F9a (H)

QVQLVESGGG LVQPGGSLRL SCAASGFTFS YYDIQWRQA PGKLEWVSS	50
ISPSGQSTYY RREVKGRFTI SRDNSKNTLY LQMNLSRAED TAVYYCARRT	100
GREEGGWIFD YWGQGLTVTV SSASTKGPSV FPLAPCSRST SESTAALGCL	150
VKDYFPPEVT VSWNSGALTS GVHTFPAVLK SGLYSLSSV VTFPSSSLGT	200
QTYTCNVNDHK PSNTKVDKRV ESKYPPPCFP CPAPEFLGGP SVFLFPKPKP	250
DTLMSRTEPE VTCVVVDVDSQ EDPEVQFNWY VDGVEVHNAK TKPREEQYNS	300
TYRVVSVLTV LHQDNLNGKE YKCKVSNKGL PSSIEKTISK AKGQPREPQV	350
YTLPPSQKEM TKNQVSLTCL VKGFYPSDIA VEWESNGQPE NNYKTPPVVL	400
DSGGFFFLYS KLTVDKSRWQ EGNVFSQSVL HEALHAHYTR KELSLSLP	447

Light chain / Chaîne légère / Cadena ligera: L-kappa anti-F9a (L')

EIVLTQSPAT LSVSPGERAT LSCRASRSVR RELAWYQOKP GOAPELLIYG	50
ASTRETIQIPA RFGSGSGSDT FTLTINSLEA EDAAIYYCQQ YRDPPGTFGG	100
GTKVEIKRVT AAPSVFIFPP SDEQLKSGTA EVVCLLNKPY PREAKVQNKV	150
DNALQSGNSQ ESVTEQDSKD STYSLSTLE LSKADYKHKH VYACEVTHQG	200
LSSPVTKSFN RGEC	214

Heavy chain / Chaîne lourde / Cadena pesada: H-gamma4 anti-F10 (H")

QVQLVQSGSE LKKPGASVKV SCKASGYTFT QNNMDWRQA PGQLEWMDG	50
INTRSGGVIY NEEFQDRLIM TVDKSTDTAY MELSLRSED TATYHCARRK	100
SYGYLVDWVG EGTLVTVSSA STKGPSVFPL APCSRSSTES TAALGCLVED	150
YFPEPVTVSW NSGALTSGVH TFPVAVLESSG LYSLSSVVTV PSSSLGTQTY	200
TCNVNDHKPSN TKVDKRVESK YGPPCPPCA PEFLGGPSVF LFPKPKDITL	250
MISRTPEVTC VVDVDSQEDP EVQFNWYVDG VEVHNAKTKP REEQYNSTYR	300
VVSVLTVLHQ DWLNGKEYKC KVSNNKLPSS IEKTIISKAKG QPREPQVYTL	350
PPSQEEMTKN QVSLTCLVKG FYPSDIAVEW ESNQGPENNY KTTTPVLDS	400
GSFFLYSKLTL VDKSRWQEGN VFSCSVLHEA LHAHYTREEL SLSP	444

Light chain / Chaîne légère / Cadena ligera: L-lambda anti-F10 (L")

SYVLTQSPVS SVALGQTATI TCEGEQIGSK EVHWYHQRPG QAPILVMFRD	50
ARRPSGIPER LSGNSNGNTA SLTISGAEAG DEGDYICQVW DSSSYTVFVG	100
GTKVTVVWQP KAAPSVTLFP PSSEELQAMK AKLVCLISDF YPGAVTVAWK	150
ADSSFPVAGV ETTTPSKQSN NKYAASSYLK LTPGEWKSRR SYSCQVTHEG	200
STVEKTVAPE ECS	213

Post-translational modifications

Disulfide bridges location / Position des ponts disulfure / Posiciones de los puentes disulfuro

Intra-H (C23-C104) 22-96 149-205 263-323 369-427

22"-96" 146"-202" 260"-320" 366"-424"

Intra-L (C23-C104) 23"-88" 134"-194"

22"-87" 135"-194"

Inter-H-L (CH1 10-CL 126) 136-214 133"-212"

Inter-H-H (h 8, h 11) 228-225* 231-228*

N-terminal glutaminy cyclization / Cyclisation du glutamine N-terminal / Ciclación del

glutamino N-terminal

Q > pyroglutamyl (pE, 5-oxoprolyl) / pyroglutamyl (pE, 5-oxoprolyle) / piroglutamilo

(pE, 5-oxoprolylo)

H VH Q1: 1, 1"

N-glycosylation sites / Sites de N-glycosylation / Posiciones de N-glicosilación

H CH2 N84.4: 299, 296"

Fucosylated complex bi-antennary CHO-type glycans / glycanes de type CHO bi-antennaires

complexes fucosylés / glicanos de tipo CHO biantennarios complejos fucosilados.

zilvetriginum

zilvetrigine

2-(4-*tert*-butyl-5-chloro-2-methylphenyl)-4-oxo-1,4-dihydro-1,6-naphthyridine-5-carboxamide
sodium channel blocker, analgesic

zilvétigrine

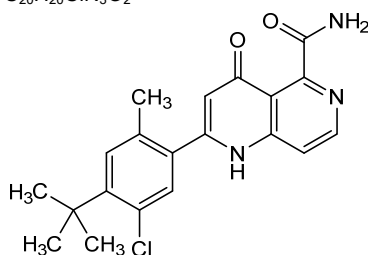
2-(4-*tert*-butyl-5-chloro-2-méthylphényl)-4-oxo-1,4-dihydro-1,6-naphthyridine-5-carboxamide
bloqueur des canaux sodiques, analgésique

zilvetrigina

2-(4-*terc*-butil-5-cloro-2-metilfenil)-4-oxo-1,4-dihidro-1,6-naftiridina-5-carboxamida
bloqueador del canal de sodio, analgésico

C₂₀H₂₀ClN₃O₂

3002072-52-5

**zolacabtagenium autoleucelum #**

zolacabtagene autoleucel

autologous CD4+ and CD8+ T lymphocytes obtained by leukapheresis and transduced with a self-inactivating, non-replicating lentiviral vector encoding (i) a CD19 specific chimeric antigen receptor (CAR) and (ii) truncated human epidermal growth factor receptor (EGFRt) separated from the CAR by a T2A self-cleaving peptide, under control of a chimeric promoter composed of the elongation factor 1 alpha (EF-1 α) promoter/R region of the human T cell leukaemia virus 1 (HTLV-1 R) and a Woodchuck hepatitis virus posttranscriptional regulatory element (WPRE). The CD19-specific CAR transgene consists of a single-chain variable fragment (scFv) derived from a CD19-specific monoclonal antibody (FMC63), an IgG4 hinge region, a CD28 transmembrane domain, and the intracellular CD137 (4-1BB) co-stimulatory and CD3 ζ signalling domains. Both transgenes, the CD19-specific CAR and the EGFRt, are preceded by human granulocyte-macrophage colony-stimulating factor receptor alpha (GMCSFR- α) signal peptide sequence. The vector genome also contains a psi packaging signal, a splice donor, partial *gag*, Rev response element (RRE), a DNA FLAP, and a splice acceptor. The vector is flanked by 5' and 3' long terminal repeats (LTRs) and is pseudotyped by vesicular stomatitis virus (VSV) G glycoprotein. The leukapheresis material is sorted to co-select the CD4+ and CD8+ T lymphocytes by positive immunoselection prior to activation with CD3 and CD28 agonists in growth media containing interleukin 2 (IL-2), interleukin 7 (IL-7) and interleukin 15 (IL-15). The mixed CD4+/CD8+ cells are then transduced with the lentiviral vector and minimally expanded in growth media containing IL-2, IL-7 and IL-15. The cell suspension consists of CD4+ and CD8+ lymphocytes that are $\geq 80\%$ CD3+ and contain $\geq 10\%$ CD3+CAR+ cells. The transduced T lymphocytes release interferon gamma (IFN- γ) by co-culture with target cells *in vitro*
cell-based gene therapy (antineoplastic)

zolacabtagène
autoleucel

lymphocytes T autologues CD4+ et CD8+ obtenus par leucaphérèse et transduits avec un vecteur lentiviral auto-inactivant et non répliatif codant (i) un récepteur antigénique chimérique (RAC) spécifique de CD19 et (ii) un récepteur du facteur de croissance épidermique humain tronqué (EGFRt) séparé du RAC par un peptide auto-clivant T2A, sous le contrôle d'un promoteur chimérique composé du facteur d'élongation 1-alpha (EF1- α) promoteur/région R du virus T-lymphotrope humain 1 (HTLV-1 R) et d'un élément régulateur post-transcriptionnel du virus de l'hépatite Woodchuck (WPRE). Le transgène RAC spécifique de CD19 est constitué d'un fragment variable à chaîne unique (scFv) dérivé d'un anticorps monoclonal spécifique de CD19 (FMC63), d'une région charnière IgG4, d'un domaine transmembranaire CD28 et les domaines intracellulaires de co-stimulation CD137 (4-1BB), et de signalisation CD3 ζ . Les deux transgènes, le RAC spécifiques de CD19 et le EGFRt, sont précédés d'une séquence de peptide signal du récepteur alpha du facteur de stimulation des colonies de granulocytes-macrophages humains (GMCSFR-alpha). Le génome du vecteur contient également un signal d'emballage psi, un donneur d'épissage, une partie du gène *gag*, un élément de réponse Rev (RRE), un volet d'ADN, et un accepteur d'épissage. Le vecteur est flanqué de répétitions terminales longues (LTRs) en 5' et 3' et est pseudotypé par la glycoprotéine G du virus de la stomatite vésiculaire (VSV).
Le matériel de leucaphérèse est trié pour co-sélectionner les lymphocytes T CD4+ et CD8+ par immunosélection positive avant activation avec les agonistes CD3 et CD28 dans un milieu de croissance contenant de l'interleukine 2 (IL-2), de l'interleukine 7 (IL-7) et de l'interleukine 15 (IL-15). Le mélange de cellules CD4+/CD8+ est ensuite transduit avec le vecteur lentiviral et expansées de façon minimale dans un milieu de croissance contenant de l'IL-2, de l'IL-7 et de l'IL-15. La suspension cellulaire est constituée de lymphocytes CD4+ et CD8+ qui sont $\geq 80\%$ CD3+ et contiennent $\geq 10\%$ de cellules CD3+RAC+. Les lymphocytes T transduits libèrent de l'interféron gamma (IFN- γ) par co-culture avec des cellules cibles *in vitro*
thérapie génique à base de cellules (antinéoplasique)

zolacabtagén
autoleucel

linfocitos T CD4+ y CD8+ autólogos obtenidos por leucoaféresis y transducidos con un vector lentiviral auto inactivante, no replicativo que codifica (i) un receptor de antígenos quimérico (CAR) específico de CD19 y (ii) un receptor truncado del factor de crecimiento epidérmico (EGFRt) humano separado del CAR por un péptido de auto-escisión T2A, bajo el control de un promotor quimérico compuesto del factor de elongación 1-alfa (EF1- α) promotor/región R del virus linfotrópico T humano 1 (HTLV-1 R) y un elemento regulador post-transcripcional del virus de la hepatitis de la marmota (WPRE). El transgén CAR específico de CD19 consiste en un fragmento variable de cadena sencilla (scFv) derivado de un anticuerpo monoclonal específico de CD19 (FMC63), una región bisagra de IgG4, un domino transmembrana de CD28 y los dominios intracelulares coestimulador de CD137 (4-1BB) y de señalización de CD3 ζ . Ambos transgenes, el CAR específico de CD19 y el EGFRt, están precedidos por una secuencia de péptido señal del receptor alfa del factor estimulador de colonias de granulocitos-macrófagos (GMCSFR-alfa) humano. El genoma del vector también contiene una secuencia de empaquetamiento psi, un donante de procesamiento, un *gag* parcial, un elemento de respuesta Rev (RRE), una solapa de ADN, y un aceptor de procesamiento. El vector está

flanqueado por repeticiones terminales largas (LTRs) en 5' y 3' y está pseudotipado con la glicoproteína G del virus de la estomatitis vesicular (VSV).

El material de leucoaféresis es clasificado para la co-selección de linfocitos T CD4+ y CD8+ mediante inmunoselección positiva antes de la activación con agonistas de CD3 y CD28 en medio de crecimiento que contiene interleuquina 2 (IL-2), interleuquina 7 (IL-7) e interleuquina 15 (IL-15). La mezcla de células CD4+/CD8+ después se transducen con el vector lentiviral y se expanden mínimamente en medio de crecimiento que contiene IL-2, IL-7 e IL-15. La suspensión celular consiste en linfocitos T CD4+ y CD8+ que son $\geq 80\%$ CD3+ y contienen $\geq 10\%$ de células CD3+CAR+. Los linfocitos T transducidos liberan interferón gamma (IFN- γ) mediante co-cultivo con células diana *in vitro* *terapia génica basada en células (antineoplásico)*

zoldonrasibum

zoldonrasib

(2S)-2-cyclopentyl-2-((5S)-7-((2R,3R)-3-cyclopropyl-1-methylaziridine-2-carbonyl)-2,7-diazaspiro[4.4]nonan-2-yl)-N-[(1²M,2²S,4S,6³S)-1²-{5-(4-cyclopropylpiperazin-1-yl)-2-[(1S)-1-methoxyethyl]pyridin-3-yl}-10,10-dimethyl-5,7-dioxo-1¹-(2,2,2-trifluoroethyl)-1¹H-8-oxa-1(5,3)-indola-2(4,2)-morpholina-6(1,3)-[1,2]diazinanacycloundecaphan-4-yl]acetamide
Kirsten rat sarcoma viral oncogene homolog inhibitor, antineoplastic

zoldonrasib

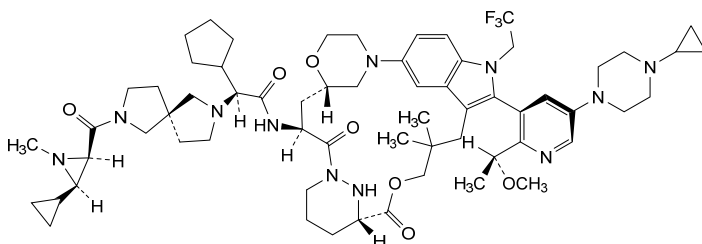
(2S)-2-cyclopentyl-2-((5S)-7-((2R,3R)-3-cyclopropyl-1-méthylaziridine-2-carbonyl)-2,7-diazaspiro[4.4]nonan-2-yl)-N-[(1²M,2²S,4S,6³S)-1²-{5-(4-cyclopropylpipérazin-1-yl)-2-[(1S)-1-méthoxyéthyl]pyridin-3-yl}-10,10-diméthyl-5,7-dioxo-1¹-(2,2,2-trifluoroéthyl)-1¹H-8-oxa-1(5,3)-indola-2(4,2)-morpholina-6(1,3)-[1,2]diazinanacycloundécaphan-4-yl]acétamide
inhibiteur d'homologue d'oncogène viral du sarcome de rat de Kirsten, antinéoplasique

zoldonrasib

(2S)-2-ciclopentil-2-((5S)-7-((2R,3R)-3-ciclopropil-1-metilaziridina-2-carbonil)-2,7-diazaspiro[4.4]nonan-2-il)-N-[(1²M,2²S,4S,6³S)-1²-{5-(4-ciclopropilpiperazin-1-il)-2-[(1S)-1-metoxietil]piridin-3-il)-10,10-dimetil-5,7-dioxo-1¹-(2,2,2-trifluoroetil)-1¹H-8-oxa-1(5,3)-indola-2(4,2)-morfolina-6(1,3)-[1,2]diazinanacicloundecafan-4-il]acetamida
inhibidor del homólogo del oncogen vírico del sarcoma de rata Kirsten, antineoplásico

C₆₃H₈₈F₃N₁₁O₇

3034802-05-3

**zoninterferonum alfa-2b #**

zoninterferon alfa-2b

immunoglobulin single-chain VH domain (1-115), anti-(human albumin (ALB, human serum albumin, HSA)) [*Homo sapiens* IGHV3-23*04 - (IGHD) -IGHJ1*01, (CDR-Kabat [5.17.6] (31-35.50-66.99-104))],

fused via the protease-cleavable peptide linker SGGPALFKSSFPPGS (116-130) with human interferon α -2 (IFN- α -2, interferon α -A, LeIF A, IFNA2, IFNA2A, IFNA2B) (131-295) and via the same linker (296-310) with another identical immunoglobulin single chain VH domain (311-425), anti-(human albumin (ALB, human serum albumin, HSA)) [*Homo sapiens* IGHV3-23*04 -(IGHD) -IGHJ1*01, (CDR-Kabat [5.17.6] (341-345.360-376.409-414))], produced by a cell line derived from human embryonic kidney (HEK293) cells; glycoform alfa
immunomodulator, antineoplastic

zoninterféron alfa-2b domaine VH monocaténaire d'immunoglobuline (1-115), anti-(albumine humaine (ALB, sérum-albumine humaine, SAH)) [*Homo sapiens* IGHV3-23*04 -(IGHD) -IGHJ1*01, (CDR-Kabat [5.17.6] (31-35.50-66.99-104))], fusionné via le coupleur peptidique SGGPALFKSSFPPGS clivable par les protéases (116-130) avec l'interféron α -2 humain (IFN- α -2, interféron α -A, LeIF A, IFNA2, IFNA2A, IFNA2B) (131-295) et via le même coupleur peptidique (296-310) avec un autre domaine VH monocaténaire d'immunoglobuline identique (311-425), anti-(albumine humaine (ALB, sérum albumine humaine, SAH)) [*Homo sapiens* IGHV3-23*04 -(IGHD) -IGHJ1*01, (CDR-Kabat [5.17.6] (341-345.360-376.409-414))], produite par une lignée cellulaire dérivée de cellules rénales embryonnaires humaines (HEK293); glycoforme alfa
immunomodulateur, antinéoplasique

zoninterferón alfa-2b dominio VH monocatenario de inmunoglobulina (1-115), anti-[albúmina humana (ALB, albúmina sérica humana, ASH)] [*Homo sapiens* IGHV3-23*04 -(IGHD) -IGHJ1*01, (CDR-Kabat [5.17.6] (31-35.50-66.99-104))], fusionado mediante el conector peptídico SGGPALFKSSFPPGS escindible por proteasa (116-130) con interferón α -2 humano (IFN- α -2, interféron α -A, LeIF A, IFNA2, IFNA2A, IFNA2B) (131-295) y a través del mismo conector (296-310) con otro dominio VH monocatenario de inmunoglobulina idéntico (311-425), anti-(albúmina humana (ALB, albúmina sérica humana, ASH)) [*Homo sapiens* IGHV3-23*04 -(IGHD) -IGHJ1*01, (CDR-Kabat [5.17.6] (341-345.360-376.409-414))], producido por una línea celular derivada de células renales embrionarias humanas (HEK293); glicofoma alfa
immunomodulador, antineoplásico

2999644-80-1

Sequence / Séquence / Secuencia

EVQLVESGGG LVQPGNSLRL SCAASGFTFS KFGMSWVRQA PGKLEWVSS	50
ISGSGRDTLY AESVKGRFTI SRDNAKTTLY LQMNSLRPED TAVYYCTIGG	100
SLSVSSQGTI VTVSSGGPA LFKSSFPPGS CDLPQTHSLG SRRTIMLLLAQ	150
MRRISLFSCL KDRHDFGFPQ EEFGNQFQKA ETIPVLHEMI QQIFNLFSTK	200
DSSAAWDETL LDKFYTELYQ QLNDLEACVI QGVGVTEPTL MKEDSILAVR	250
KYFQRITLYL KEKKYSPCAW EVVRAEIMRS FSLSTNLQES LRSKEGGPA	300
LFKSSFPPGS EVQLVESGGG LVQPGNSLRL SCAASGFTFS KFGMSWVRQA	350
PGKLEWVSS ISGSGRDTLY AESVKGRFTI SRDNAKTTLY LQMNSLRPED	400
TAVYYCTIGG SLSVSSQGTI VTVSS	425

Peptide linkers / Coupleurs peptidiques / Enlazadores peptídicos

¹¹⁶SGGPALFKSS FPPGS¹³⁰(1-15)²⁹⁶SGGPALFKSS FPPGS³¹⁰(1-21)

Post-translational modifications

Disulfide bridges location / Position des ponts disulfure / Posiciones de los puentes disulfuro

intra-VH 1: 22-96

intra-IFNA2: 131-228, 159-268

intra-VH 2: 332-406

O-Glycosylation site / Site de O-glycosylation / Posición de O-glicosilación

T236

zovaglutidum

zovaglutide glucagon-like peptide 1(7-37) [human GLP-1(7-37)] (1-31), (A⁸>2-MeAla², G²²>E¹⁶, K³⁴>R²⁸, R³⁶>G³⁰)-variant, fused to the artificial 40-peptide (GAQP)9GQKP (32-71), substituted at N⁶ of each of the two lysyl residues 20 and 70 with a (22S)-22,40-dicarboxy-10,19,24-trioxo-3,6,12,15-tetraoxa-9,18,23-triazatetracontan-1-oyl group
glucagon-like peptide 1 (GLP-1) receptor agonist, antidiabetic

zovaglutide peptide similaire au glucagon de type 1(7-37) [GLP-1(7-37) humain] (1-31), variant (A⁸>2-MeAla², G²²>E¹⁶, K³⁴>R²⁸, R³⁶>G³⁰), fusionné au 40-peptide artificiel (GAQP)9GQKP (32-71), substitué en N⁶ de chacun des deux résidus lysyles 20 et 70 par un groupe (22S)-22,40-dicarboxy-10,19,24-trioxo-3,6,12,15-tétraoxa-9,18,23-triazatétracontan-1-oyle
agoniste du récepteur du peptide-1 similaire au glucagon (GLP-1), antidiabétique

zovaglutida péptido similar al glucagón tipo 1(7-37) [GLP-1(7-37) humano] (1-31), variante (A⁸>2-MeAla², G²²>E¹⁶, K³⁴>R²⁸, R³⁶>G³⁰), fusionado a un 40-péptido artificial (32-71), sustituido en N⁶ de cada uno de los dos residuos lisilo 20 y 70 con un grupo (22S)-22,40-dicarboxi-10,19,24-trioxo-3,6,12,15-tetraoxa-9,18,23-triazatetracontan-1-oilo
agonista del receptor del péptido 1 similar al glucagón (GLP-1), antidiabético

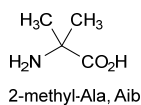
C₃₇₄H₅₈₄N₉₆O₁₂₃

3013543-64-8

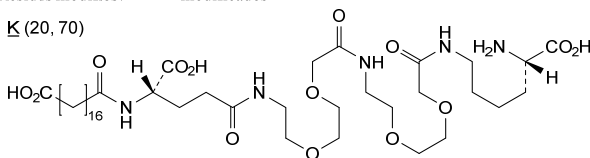
HXEGTFTSDV SSYLEEQAAK E~~F~~IAWLVRGG GGAQP~~G~~AQPG AQPGAQPGAQ 50
PGAQPGAQPG AQPGAQPGQ~~K~~ P 71

Modified residues / Résidus modifiés / Restos modificados

X (2)



K (20, 70)

# Electronic structure available on MedNet: <https://extranet.who.int/soinn/># Structure électronique disponible sur MedNet: <https://extranet.who.int/soinn/># Estructura electrónica disponible en MedNet: <https://extranet.who.int/soinn/>

Proposed International Nonproprietary Names: List 132 –COVID-19 (special edition)

Comments on, or formal objections to, the proposed names may be forwarded by any person to the INN Programme of the World Health Organization within four months of the date of their publication in *WHO Drug Information*, i.e., for **List 132 of Proposed INN not later than 13 June 2025**.
Publication date: 14.02.2025

Dénominations communes internationales proposées: Liste 132 - COVID-19 (édition spéciale)

Des observations ou des objections formelles à l'égard des dénominations proposées peuvent être adressées par toute personne au Programme des Dénominations communes internationales de l'Organisation mondiale de la Santé dans un délai de quatre mois à compter de la date de leur publication dans *WHO Drug Information*, c'est à dire pour la **Liste 132 de DCI Proposées le 13 juin 2025 au plus tard**.
Date de publication : 14.02.2025

Denominaciones Comunes Internacionales Propuestas: Lista 132 - COVID-19 (edición especial)

Cualquier persona puede dirigir observaciones u objeciones respecto de las denominaciones propuestas, al Programa de Comunes Internacionales de la Organización Mundial de la Salud, en un plazo de cuatro meses, contados desde la fecha de su publicación en *WHO Drug Information*, es decir, para la **Lista 132 de DCI Propuestas el 13 de Junio de 2025 a más tardar**.

Fecha de publicación: 14.02.2025

<i>Proposed INN</i> (Latin, English, French, Spanish)	<i>Chemical name or description: Action and use: Molecular formula, Chemical Abstracts Service (CAS) registry number: Graphic formula</i>
<i>DCI Proposée</i>	<i>Nom chimique ou description: Propriétés et indications: Formule brute, Numéro dans le registre du CAS: Formule développée</i>
<i>DCI Propuesta</i>	<i>Nombre químico o descripción: Acción y uso: Fórmula molecular, Número de registro del CAS: Fórmula desarrollada</i>

cemivameranum #

cemivameran

messenger RNA (mRNA), 5'-capped, encoding a full-length, codon-optimised pre-fusion stabilised conformation variant (K982P and V983P) of the SARS-CoV-2 (severe acute respiratory syndrome coronavirus 2) spike (S) glycoprotein (Omicron KP.2 variant; GISAID: EPI_ISL_18912216), flanked by 5' and 3' untranslated regions and a 3' polyadenylation (polyA) tail; contains N¹-methylpseudouridine instead of uridine (*all-U>m¹Ψ*)
immunological agent for active immunization (anti-SARS-CoV-2)

cémivaméran

ARN messenger (ARNm), coiffé en 5', codant une variante de conformation stabilisée de préfusion, de longueur complète, optimisée par codon (K982P et V983P) de la glycoprotéine du spicule (S) du SRAS-CoV-2 (coronavirus 2 du syndrome respiratoire aigu sévère) (variant Omicron KP.2; GISAID: EPI_ISL_18912216), flanqué en 5' et 3' de régions non traduites et d'une queue de polyadénylation (polyA) en 3'; contient de la N¹-méthylpseudouridine en lieu de l'uridine (*tout-U>m¹Ψ*)
agent immunologique pour immunisation active (anti-SRAS-CoV-2)

cemivamerán	<p>ARN mensajero (ARNm), protegido en 5', que codifica, con codones optimizados, para la secuencia completa de una variante estabilizada en conformación pre-fusión (K982P y V983P) de la glicoproteína de la espícula (S) del SRAS-Cov-2 (coronavirus 2 del síndrome respiratorio agudo severo) (variante Omicron KP.2; GISAID: EPI_ISL_18912216), flanqueada por regiones sin traducir 5' y 3' y una cola de poliadenilación (poliA) en 3'; contiene N¹-metilpseudouridina en lugar de uridina (<i>todo-U>m¹ψ</i>) <i>agente inmunológico para inmunización activa (anti-SRAS-CoV-2)</i></p>	3036385-75-5
girocovateinum # girocovatein	<p>severe acute respiratory syndrome coronavirus 2 (SARS-CoV-2), omicron lineage JN.1 (Gisaid: EPI_ISL_18872762) spike (S) glycoprotein receptor binding domain (RBD) fragment (303-520, 1-218 in the current sequence), variant (K⁵²⁰>G²¹⁸) fused to severe acute respiratory syndrome coronavirus 2 (SARS-CoV-2), omicron lineage JN.1 spike (S) glycoprotein receptor binding domain (RBD) fragment (303-520, 219-436 in the current sequence, K⁴³⁶>del), single chain homodimer, produced in Chinese hamster ovary (CHO) cells, cell line CHO-K1, glycoform alfa <i>immunological agent for active immunization (anti-SARS-CoV-2)</i></p>	
girocovateïne	<p>fragment du domaine de liaison au récepteur (RBD) de la glycoprotéine du spicule (S) du coronavirus 2 du syndrome respiratoire aigu sévère (SRAS-CoV-2), lignée omicron JN.1 (Gisaid: EPI_ISL_18872762) (303-520, 1-218 dans la séquence en cours), variant (K⁵²⁰>G²¹⁸), fusionné au fragment du domaine de liaison au récepteur de la glycoprotéine du spicule (S) du coronavirus 2 du syndrome respiratoire aigu sévère (SRAS-CoV-2), lignée omicron JN.1 (303-520, 220-438 dans la séquence en cours), homodimère monocaténaire, produit dans des cellules ovariennes de hamster chinois (CHO), lignée cellulaire CHO-K1 glycoforme alfa <i>agent immunologique pour immunisation active (anti-SRAS-CoV-2)</i></p>	
girocovateína	<p>fragmento del dominio de unión al receptor (RBD) de la glicoproteína de espícula (S) del coronavirus 2 del síndrome respiratorio agudo severo (SRAS-CoV-2), linaje ómicron JN.1 (Gisaid: EPI_ISL_18872762) (303-520, 1-218 en la secuencia actual), variante (K⁵²⁰>G²¹⁸), fusionado al fragmento del dominio de unión al receptor (RBD) de la glicoproteína de espícula (S) del coronavirus 2 del síndrome respiratorio agudo severo (SRAS-CoV-2), linaje ómicron JN.1 (303-520, 220-438 en la secuencia actual), homodímero de cadena única, producido en células ováricas de hámster Chino (CHO), línea celular CHO-K1, glicofoma alfa <i>agente inmunológico para inmunización activa (anti-SRAS-CoV-2)</i></p>	

3038651-03-2

Sequence / Séquence / Secuencia

RVQPTEIVR FPNVTNLCFF HEVFNATRFA SVYAWNRTI SNCVADYSVL 50
 YNFAFFFAFK CYGVSPTKLN DLCFTNVIAD SFVIKNEVS QIAPGQTGNI 100
 ADYNYKLDD FTGCVIAWNS NKLDKSHGN YDYWYRSFRK SKLKPFFERDI 150
 STEIYQAGNK PCKGKGNPCY FPLQSYGFRP TYGVGHQPYR VVVLSEFELLH 200
 APATVCGPKK STNLVKNGRV QPTESIVRFP NVTNLCPFHE VFNATRFASV 250
 YAWNRTISN CVADYSVLYN FAPFFAFKCY GVSPTKLNLDL CFTNVIYADSF 300
 VIKGNEVSQI APGQTGNIAD YNYKLPDDFT GCVIAWNSNK LDSKSHGNVD 350
 YWYRSFRKSK LKPFERDIST EIIYQAGNKPC KGKGNPCYFP LQSYGFRPTY 400
 GVGHPYRVV VLSFELLHAP ATVCGPKKST NLVKNK 436

Mutation / Mutation / Mutación

K⁵²⁰>C²¹⁸**Post-translational modifications**

Disulfide bridges location / Position des ponts disulfure / Posiciones de los puentes disulfuro
 Intra-chain: 18-43, 61-114, 73-206, 162-169, 236-261, 279-332, 291-424, 380-387

N-glycosylation sites / Sites de N-glycosylation / Posiciones de N-glicosilación
 N13, N25; N231, N243

O-glycosylation sites / Sites de O-glycosylation / Posiciones de O-glicosilación
 T5, T223

C-terminal lysine clipping / Coupure de la lysine C-terminale / Recorte de lisina C-terminal
 436

ibramvibartum #
 ibramvibart

immunoglobulin G1-kappa, anti-[severe acute respiratory syndrome coronavirus 2 (SARS-CoV-2) spike (S) protein, receptor binding domain (RBD)], *Homo sapiens* monoclonal antibody; H-gamma1 heavy chain *Homo sapiens* (1-454) [VH (*Homo sapiens* IGHV3-21*07 (88.8%) -(IGHD) -IGHJ4*01 (92.9%), CDR-IMGT [8.8.17] (26-33.51-58.97-113)) (1-124) -*Homo sapiens* IGHG1*03, G1m3, nG1m1 CH1 R120, CH3 E12, M14, 9-G1v78 CH3 L107 A114 (CH1 R120 (221) (125-222), hinge 1-15 (223-237), CH2 (238-347), CH3 E12 (363), M14 (365), M107>L (435), N114>A (441) (348-452), CHS (453-454)) (125-454)], (227-217')-disulfide with L-lambda2 light chain *Homo sapiens* (1'-218') [V-LAMBDA (*Homo sapiens* IGLV1-40*01 (92.8%) -IGLJ1*01 (91.7%), CDR-IMGT [9.3.12] (26'-34'.52'-54'.91'-102'')) (1'-112') - *Homo sapiens* IGLC2*01 (100%) (C-LAMBDA2) (113'-218')]; dimer (233-233":236-236")-bisdisulfide, produced in Chinese hamster ovary (CHO) cells, cell line CHO-K1, glycoform alfa *antiviral*

ibramvibart

immunoglobuline G1-kappa, anti-[domaine de liaison au récepteur (RBD) de la glycoprotéine spike (S) du coronavirus 2 du syndrome respiratoire aigu sévère (SRAS-CoV-2)], anticorps monoclonal *Homo sapiens*; chaîne lourde H-gamma1 *Homo sapiens* (1-454) [VH (*Homo sapiens* IGHV3-21*07 (88.8%) -(IGHD) -IGHJ4*01 (92.9%), CDR-IMGT [8.8.17] (26-33.51-58.97-113)) (1-124) -*Homo sapiens* IGHG1*03, G1m3, nG1m1 CH1 R120, CH3 E12, M14, 9-G1v78 CH3 L107 A114 (CH1 R120 (221) (125-222), charnière 1-15 (223-237), CH2 (238-347), CH3 E12 (363), M14 (365), M107>L (435), N114>A (441) (348-452), CHS (453-454)) (125-454)], (227-217')-disulfure avec la chaîne légère L-lambda2 *Homo sapiens* (1'-218') [V-LAMBDA (*Homo sapiens* IGLV1-40*01 (92.8%) -IGLJ1*01 (91.7%), CDR-IMGT [9.3.12] (26'-34'.52'-54'.91'-102'')) (1'-112') - *Homo sapiens* IGLC2*01 (100%) (C-LAMBDA2) (113'-218')];

dimère (233-233"-236-236")-bisdisulfure, produit dans des cellules ovariennes de hamster chinois (CHO), lignée cellulaire CHO-K1, glycoforme alfa
antiviral

ibramvibart

immunoglobulina G1-kappa, anti-[dominio de unión al receptor (RBD) de la glicoproteína spike (S) del coronavirus 2 (humano) del síndrome respiratorio agudo severo (SRAS-CoV-2)], anticuerpo monoclonal *Homo sapiens*;
cadena pesada H-gamma1 *Homo sapiens* (1-454) [VH (*Homo sapiens* IGHV3-21*07 (88.8%) -(IGHD) -IGHJ4*01 (92.9%), CDR-IMGT [8.8.17] (26-33.51-58.97-113)) (1-124) -*Homo sapiens* IGHG1*03, G1m3, nG1m1 CH1 R120, CH3 E12, M14, 9-G1v78 CH3 L107 A114 (CH1 R120 (221) (125-222), bisagra 1-15 (223-237), CH2 (238-347), CH3 E12 (363), M14 (365), M107>L (435), N114>A (441) (348-452), CHS (453-454)) (125-454)], (227-217')-disulfuro con la cadena ligera L-lambda2 *Homo sapiens* (1'-218') [V-LAMBDA (*Homo sapiens* IGLV1-40*01 (92.8%) -IGLJ1*01 (91.7%), CDR-IMGT [9.3.12] (26'-34'.52'-54'.91'-102')) (1'-112') -*Homo sapiens* IGLC2*01 (100%) (C-LAMBDA2) (113'-218')]; dímero (233-233"-236-236")-bisdisulfuro, producido en las células ováricas de hámster chino (CHO), línea celular CHO-K1, forma glicosilada alfa
antiviral

3031270-42-2

Heavy chain / Chaîne lourde / Cadena pesada

EVQLVESGGG	LVKPGGSLRL	SCAASGFEFG	SYEMNWVRQA	PGKGLEWVSS	50
ISEDGYTTY	PDSLKGRFTI	SRDSAKNSLY	LQMNSLRADD	TAVVYCARDF	100
GGDTNWAGTG	FTYWQGTLV	TVSSASTKGP	SVPFLAPSSK	STSGGTAALG	150
CLVKDYFPEP	VTVSWNSGAL	TSGVHTFPAV	LQSSGLYSL	SVVTVFSSSL	200
GTQTYICNVN	HKPSNTKVDK	RVEPKSCDKT	HTCPPCPAPE	LLGGPSVFLP	250
PKPKDTLMI	SRTPEVTCVV	VDVSHEDPEV	KFNWYVDGVE	VHNAKTKPRE	300
EQYNSTYRVV	SVLTIVLHQDW	LNGKEYKCKV	SNKALPAPIE	KTISKAKGQP	350
REPOQVYTLPP	SREEMTKNQV	SLTCLVKGFY	PSDIAVEWES	NGQPENNYKT	400
TPPVLDSDGS	FFLYSKLTVD	KSRWQQGNVF	SCSVLHEALH	AHYTQKLSLSL	450
SPGK					454

Light chain / Chaîne légère / Cadena ligera

QSVLTQPPSV	SGAPGQRITI	SCEGSSSNIG	AGYDVHWYQQ	LPGTAPKLLI	50
YGSVSRNYGV	PDRFSGSKSG	TSASLAITGL	QAEDEADYYC	QSYDSDLGIL	100
YTFGTGTKVT	VLGQPKAAPS	VTLFPPSSEE	LQANKATLVC	LISDFYPVAG	150
TVAWKADSSP	VKAGVETTFP	SKQSNKYYAA	SSYLSLTPAQ	WKSHRSYSCQ	200
VTHEGSTVEK	TVAPTECS				218

Post-translational modifications

Disulfide bridges location / Position des ponts disulfure / Posiciones de los puentes disulfuro

Intra-H (C23-C104)	22-96	151-207	268-328	374-432
	22"-96"	151"-207"	268"-328"	374"-432"

Intra-L (C23-C104)	22'-90'	140"-199'
	22"-90"	140"-199"

Inter-H-L (h 5-CL 126) 227-217' 227"-217"

Inter-H-H (h 11, h 14) 233-233" 236-236"

N-terminal glutaminyl cyclization / Cyclisation du glutaminyle N-terminal / Ciclación del glutaminilo N-terminal

Q > pyroglutamyl (pE, 5-oxoprolil) / pyroglutamyle (pE, 5-oxoprolyle) / piroglutamilo (pE, 5-oxoprolilo)

L VL V-LAMBDA Q1: 1', 1"

N-glycosylation sites / Sites de N-glycosylation / Posiciones de N-glicosilación

H CH2 N84.4: 304, 304"

Fucosylated complex bi-antennary CHO-type glycans / glycanes de type CHO bi-antennaires complexes fucosylés / glicanos de tipo CHO biantenaricos complejos fucosilados

C-terminal lysine clipping / Coupure de la lysine C-terminale / Recorte de lisina C-terminal

H CHS K2: 454, 454"

rubravameranum #

rubravameran self-amplifying messenger RNA (mRNA), 5'-capped, encoding Venezuelan equine encephalitis virus (VEEV; strain TC-83) RNA-dependent RNA polymerase complex (VEEV non-structural proteins 1-4 [nsP1, nsP2, nsP3 and nsP4]) and a codon-optimised receptor binding domain (RBD) of the SARS-CoV-2 (severe acute respiratory syndrome coronavirus 2) spike (S) glycoprotein (Omicron XBB.1.5 variant derived from GenBank ID: OQ054680.1; amino acids 323-527), preceded by the SARS-CoV-2 signal peptide and fused to an H1N1 influenza virus hemagglutinin transmembrane domain and a universal (pan) HLA DR-binding epitope (PADRE), flanked by VEEV 5' and 3' untranslated regions (UTRs) and terminated with a 3' polyadenylation (polyA) tail; contains 5-methylcytosine instead of cytosine (*all-C>5mC*). Generation of the SARS-CoV-2 RBD mRNA is under control of the VEEV subgenomic promoter
immunological agent for active immunization (anti-SARS-CoV-2)

rubravaméran

ARN messenger auto-amplifiant (ARNm), avec une coiffe en 5', codant pour le complexe d'ARN polymérase ARN-dépendante (protéines non structurales 1-4 [nsP1, nsP2, nsP3 et nsP4]) du virus de l'encéphalite équine vénézuélienne (VEEV; souche TC-83) et un domaine de liaison au récepteur (RBD), optimisé pour les codons, de la glycoprotéine du spicule (S) (variante Omicron XBB.1.5 dérivée de GenBank ID: OQ054680.1; acides aminés 323 à 527), du SRAS-CoV-2 (coronavirus 2 du syndrome respiratoire aigu sévère), précédée du peptide signal du SRAS-CoV-2 et fusionnée à un domaine transmembranaire d'hémagglutinine du virus de la grippe H1N1, et à un épitope universel (pan) de liaison au HLA DR (PADRE), flanqué des régions non traduites de VEEV (UTRs) en 3' et 5' et terminées par une queue de polyadénylation (polyA) en 3'; contient de la 5-méthylcytosine au lieu de la cytosine (*tout-C>5mC*). La génération de l'ARNm du SRAS-CoV-2 RBD est sous le contrôle du promoteur subgénomique du VEEV
agent immunologique pour immunisation active (anti-SRAS-CoV-2)

rubravamerán

ARN mensajero (ARNm) auto amplificante, protegido mediante caperuza en 5', que codifica el complejo de ARN polimerasa dependiente de ARN (proteínas no estructurales 1-4 de VEEV [nsP1, nsP2, nsP3 y nsP4]) del virus de la encefalitis equina venezolana (VEEV; cepa TC-83) y un dominio de unión al receptor con codones optimizados (RBD) de la glicoproteína de la espícula (S) (variante Omicron XBB.1.5 derivada de GenBank ID: OQ054680.1; aminoácidos 323-527) del SRAS-CoV-2 (coronavirus 2 del síndrome respiratorio agudo severo), precedido por el péptido señal del SRAS-CoV-2 y fusionado a un dominio transmembrana de la hemagglutina del virus de la gripe H1N1 y un epítipo universal (pan) de unión a HLA DR (PADRE), flanqueado por regiones no traducidas (UTRs) 5' y 3' de VEEV y terminado con una cola de poliadenilación 3' (poliA); contiene 5-metilcitosina en lugar de citosina (*todos-C>5 mC*). La generación del ARNm de RBD del SRAS-CoV-2 está bajo el control del promotor subgenómico de VEEV
agente inmunológico para inmunización activa (anti-SRAS-CoV-2)

3004804-43-4

tagovameranum #

tagovameran

self-amplifying messenger RNA (mRNA), 5'-capped, encoding codon-optimised Venezuelan equine encephalitis virus (VEEV) RNA-dependent RNA polymerase complex (VEEV proteins nsP1, nsP2, nsP3 and nsP4) and a full-length codon-optimised pre-fusion stabilised conformation variant (K981P and V982P) of the SARS-CoV-2 (severe acute respiratory

	<p>syndrome coronavirus 2) spike (S) glycoprotein BA.4/BA.5 variant (derived from GenBank ID: U VX18152) containing furin cleavage-inactivating mutations (R677G, R678S and R680S), flanked by 5' and 3' untranslated regions and a 3' polyadenylation (poly(A) tail; generation of capped S glycoprotein mRNA is under control of a VEEV subgenomic promoter <i>immunological agent for active immunization (anti-SARS-CoV-2)</i></p>
tagovaméran	<p>ARN messenger (ARNm) auto-amplifiant, avec une coiffe en 5', codant l'ARN polymérase dépendante de l'ARN du virus de l'encéphalite équine vénézuélienne (VEEV) optimisé par codon (protéines nsP1, nsP2, nsP3 et nsP4 de VEEV) et une variante de conformation stabilisée de préfusion (K981P et V982P), de séquence complète, optimisée par codon, de la glycoprotéine du spicule (S) du SRAS-CoV-2 (coronavirus 2 du syndrome respiratoire aigu sévère) variant BA.4/BA.5 (dérivé de la base de données GenBank ID: U VX18152), contenant des mutations inactivant le clivage par la furine (R677G, R678S et R680S), flanqué en 5' et 3' par des régions non traduites et une queue de polyadénylation (polyA) en 3'; la génération de l'ARNm de la glycoprotéine S coiffée est sous le contrôle du promoteur subgénomique de VEEV <i>agent immunologique pour immunisation active (anti-SRAS-CoV-2)</i></p>
tagovamerán	<p>ARN mensajero (ARNm) auto amplificante, protegido en 5', que codifica, con codones optimizados, para una ARN polimerasa dependiente de ARN del virus de la encefalitis equina venezolana (VEEV) (proteínas nsP1, nsP2, nsP3 y nsP4 de VEEV) y para una secuencia completa, con codones optimizados, de una variante estabilizada en conformación pre-fusión (K981P y V982P) de la glicoproteína de la espícula (S) del SRAS-CoV-2 (coronavirus 2 del síndrome respiratorio agudo severo) variante BA.4/BA.5 (derivada de GenBank ID: U VX18152) que contiene mutaciones inactivantes de la rotura por furina (R677G, R678S y R680S), flanqueado por regiones sin traducir 5' y 3' y una cola de poliadenilación (poliA) en 3'; la generación del ARNm protegido de la glicoproteína S está bajo el control del promotor subgenómico de VEEV <i>agente inmunológico para inmunización activa (anti-SRAS-CoV-2)</i></p>

2923496-70-0

Names for chemical modifications of INN (substituent groups, counterions, adduct partners, etc.):

Many pharmaceutical substances for which an International Nonproprietary Name (INN) has been established are used as modified derivatives (salts, esters, protein-drug conjugates, solvates, etc.). The chemical modification (including counterions) involved may be of complex nature and it is then inconvenient to use its systematic chemical name. Consequently, shorter nonproprietary names for such modifications have been devised, and these are recommended for creating modified International Nonproprietary Names (INN).

Dénominations applicables aux modifications chimiques des DCI (groupes substituants, contre-ions, adduits, etc.) :

Certaines substances pour lesquelles une dénomination commune internationale proposée a été établie sont parfois utilisées comme dérivés modifiés (sels, esters, médicaments conjugués à des protéines, produits de solvatation, etc.). Les modifications chimiques (incluant les contre-ions) sont alors quelques fois si complexes qu'il est malcommode de les désigner conformément à la nomenclature chimique systématique. Des dénominations communes abrégées ont donc été formées ou choisies pour certaines d'entre elles et il est suggéré de les employer pour créer les dénominations communes internationales modifiées (DCIM).

Denominaciones aplicables a modificaciones químicas de las DCI (grupos sustituyentes, contraiones, aductos, etc.):

Muchas sustancias farmacéuticas para las cuales hay establecidas una denominación común internacional (DCI) pueden usarse como derivados modificados (sales, ésteres, medicamentos conjugados con proteínas, solvatos, etc.). Las modificaciones químicas (incluidos los contraiones) implicadas pueden ser de naturaleza compleja y por tanto es inapropiado utilizar su nombre químico sistemático. Como consecuencia, se han diseñado denominaciones abreviadas para estas modificaciones y se recomiendan para la creación de Denominaciones Comunes Internacionales modificadas (DCIM).

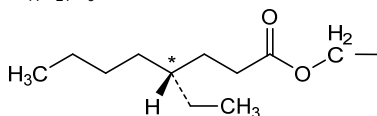
etocomilum

etocomil

étocomil

etocomilo

{{(4*RS*)-4-ethyloctanoyl}oxy)methyl
 {{{(4*RS*)-4-éthyloctanoyl}oxy)méthyle
 {{{(4*RS*)-4-etiloctanoil}oxi)metilo

-C₁₁H₂₁O₃

and epimer at C*
 et l'épimère en C*
 y el epímero en C*

filricianinum

filricianine

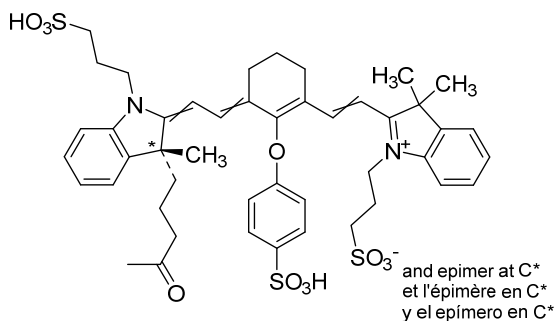
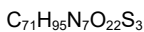
4-[(2*E*,3*RS*)-2-[(2*E*)-2-[3-[(1*E*)-2-[3,3-dimethyl-1-(3-sulfonatopropyl)-3*H*-indol-1-ium-2-yl]ethen-1-yl]-2-(4-sulfophenoxy)cyclohex-2-en-1-ylidene]ethylidene]-3-methyl-1-(3-sulfopropyl)-2,3-dihydro-1*H*-indol-3-yl]butanoyl

filricianine

4-[(2*E*,3*RS*)-2-[(2*E*)-2-[3-[(1*E*)-2-[3,3-diméthyl-1-(3-sulfonatopropyl)-3*H*-indol-1-ium-2-yl]éthén-1-yl]-2-(4-sulfophénoxy)cyclohex-2-én-1-ylidène]éthylidène]-3-méthyl-1-(3-sulfopropyl)-2,3-dihydro-1*H*-indol-3-yl]butanoyle

filricianina

4-[(2*E*,3*RS*)-2-[(2*E*)-2-[3-[(1*E*)-2-[3,3-dimetil-1-(3-sulfonatopropil)-3*H*-indol-1-ium-2-il]eten-1-il]-2-(4-sulfofenoxi)ciclohex-2-en-1-ilidene]etilidene]-3-metil-1-(3-sulfopropil)-2,3-dihidro-1*H*-indol-3-il]butanoilo

**guraxetanum**

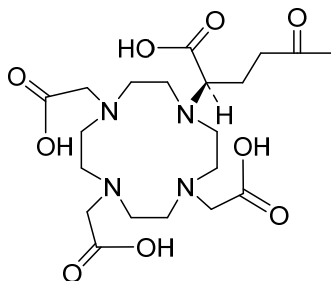
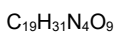
guraxetan

(4*R*)-4-carboxy-4-[4,7,10-tris(carboxymethyl)-1,4,7,10-tetraazacyclododecan-1-yl]butanoyl

guraxétan

(4*R*)-4-carboxy-4-[4,7,10-tris(carboxyméthyl)-1,4,7,10-tétraazacyclododécán-1-yl]butanoyle

guraxetán

(4*R*)-4-carboxi-4-[4,7,10-tris(carboximetil)-1,4,7,10-tetraazaciclododecan-1-il]butanoilo**histidinas**

histidinate

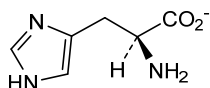
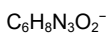
L-histidinate

histidinate

L-histidinate

histidinato

L-histidinato

**isoboxilum**

isoboxil

[(2-methylpropanoyl)oxy]methyl

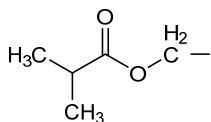
isoboxil

[(2-méthylpropanoyl)oxy]méthyle

isoboxilo

[(2-metilpropanoil)oxi]metilo



**miristatum**

miristate

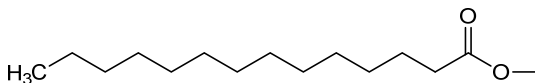
tetradecanoate (ester or salt)

miristate

tétradécanoate (ester ou sel)

miristato

tetradecanoato (éster o sal)

C₁₄H₂₇O₂ or / ou / o C₁₄H₂₇O₂⁻**plevistinagum**

plevistinag

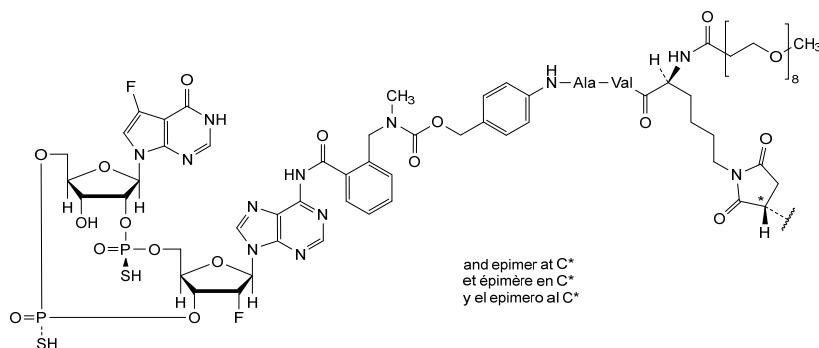
(3*RS*)-1-[(2*8S*)-28-[[*(2S)*-1-[[*(2S)*-1-{4-[[[(2-{cyclo[*(P³R)*]-2'-deoxy-2'-fluoro-*P*-thioadenylyl-(3'→5')-(*P²R)*]-7-fluoro-7-carba-*P*-thioinosinylyl-(2'→5')]-*N^{6,1}*-carbonyl]phenyl)methyl](methyl)carbamoyl]oxy)methyl]anilino)-1-oxopropan-2-yl]amino}-3-methyl-1-oxobutan-2-yl]carbamoyl]-26-oxo-2,5,8,11,14,17,20,23-octaoxa-27-azadotriacontan-32-yl]-2,5-dioxopyrrolidin-3-yl

plévistinag

(3*RS*)-1-[(2*8S*)-28-[[*(2S)*-1-[[*(2S)*-1-{4-[[[(2-{cyclo[*(P³R)*]-2'-désoxy-2'-fluoro-*P*-thioadénylyl-(3'→5')-(*P²R)*]-7-fluoro-7-carba-*P*-thioinosinylyl-(2'→5')]-*N^{6,1}*-carbonyl]phényl)méthyl](méthyl)carbamoyl]oxy)méthyl]anilino)-1-oxopropan-2-yl]amino}-3-méthyl-1-oxobutan-2-yl]carbamoyl]-26-oxo-2,5,8,11,14,17,20,23-octaoxa-27-azadotriacontan-32-yl]-2,5-dioxopyrrolidin-3-yle

plevistinag

(3*RS*)-1-[(2*8S*)-28-[[*(2S)*-1-[[*(2S)*-1-{4-[[[(2-{ciclo[*(P³R)*]-2'-desoxi-2'-fluoro-*P*-tioadenilil-(3'→5')-(*P²R)*]-7-fluoro-7-carba-*P*-tioinosinilil-(2'→5')]-*N^{6,1}*-carbonil]fenil)metil](metil)carbamoi]oxi)metil]anilino)-1-oxopropan-2-il]amino}-3-metil-1-oxobutan-2-il]carbamoi]-26-oxo-2,5,8,11,14,17,20,23-octaoxa-27-azadotriacontan-32-il]-2,5-dioxopirrolidin-3-ilo

C₇₄H₉₉F₂N₁₄O₂₇P₂S₂**repedatecanum**

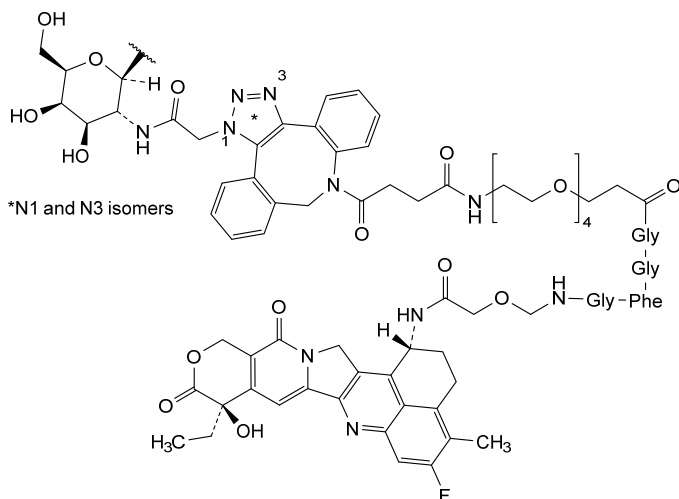
repedatecan

2-(2-{8-[(10*S*)-10-benzyl-1-[[[(1*S*,9*S*)-9-ethyl-5-fluoro-9-hydroxy-4-methyl-10,13-dioxo-2,3,9,10,13,15-hexahydro-1*H*,12*H*-benzo[*de*]pyrano[3',4':6,7]indolizino[1,2-*b*]quinolin-1-yl]amino]-1,6,9,12,15,18,34-heptaoxo-3,21,24,27,30-pentaoxa-5,8,11,14,17,33-hexaazaheptatriacontan-37-oyl]-8,9-dihydro-1(*or* 3)-*H*-dibenzo[*b*,*f*][1,2,3]triazolo[4,5-*d*]azocin-1(*or* 3)-yl]acetamido)-2-deoxy-β-D-galactopyranosyl

répodatécán 2-(2-{8-[(10S)-10-benzyl-1-[(1S,9S)-9-éthyl-5-fluoro-9-hydroxy-4-méthyl-10,13-dioxo-2,3,9,10,13,15-hexahydro-1*H*,12*H*-benzo[de]pyrano[3',4':6,7]indolizino[1,2-b]quinoléin-1-yl]amino}-1,6,9,12,15,18,34-heptaoxo-3,21,24,27,30-pentaoxa-5,8,11,14,17,33-hexaazaheptatriacontan-37-oyl)-8,9-dihydro-1(*ou* 3)*H*-dibenzo[*b*,*f*][1,2,3]triazolo[4,5-*d*]azocin-1(*ou* 3)-yl]acétamido)-2-désoxy-β-D-galactopyranosyle

repodatecán 2-(2-{8-[(10S)-10-bencil-1-[(1S,9S)-9-éthil-5-fluoro-9-hidroxi-4-metil-10,13-dioxo-2,3,9,10,13,15-hexahidro-1*H*,12*H*-benzo[de]pirano[3',4':6,7]indolizino[1,2-b]quinolein-1-il]amino}-1,6,9,12,15,18,34-heptaoxo-3,21,24,27,30-pentaoxa-5,8,11,14,17,33-hexaazaheptatriacontan-37-oil)-8,9-dihidro-1(*o* 3)*H*-dibenzo[*b*,*f*][1,2,3]triazolo[4,5-*d*]azocin-1(*o* 3)-il]acetamido)-2-desoxi-β-D-galactopiranosilo

C₈₀H₉₂N₁₃O₂₂



tivedotinum

tivedotin

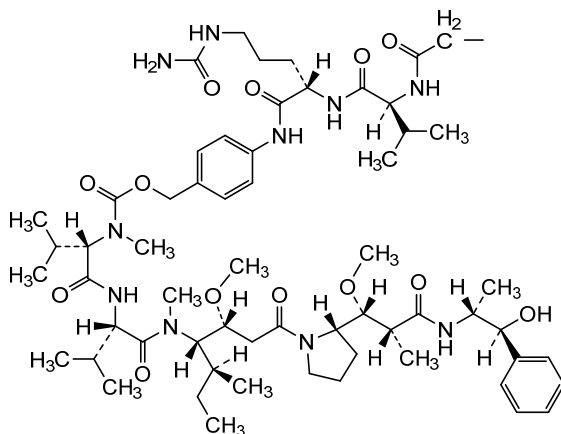
2-[[2-(2S)-1-[[2-(2S)-1-{4-[(5S,8S,11S,12R)-11-[(2S)-butan-2-yl]-12-(2-[(2S)-2-[(1R,2R)-3-[[1(1S,2R)-1-hydroxy-1-phénylpropan-2-yl]amino]-1-méthoxy-2-méthyl-3-oxopropyl]pyrrolidin-1-yl]-2-oxoéthyl)-4,10-diméthyl-3,6,9-trioxo-5,8-di(propan-2-yl)-2,13-dioxa-4,7,10-triazatétradécan-1-yl]anilino)-5-(carbamoylamino)-1-oxopentan-2-yl]amino]-3-méthyl-1-oxobutan-2-yl]amino]-2-oxoéthyl]; 2-oxo-2-[(L-valyl-N⁵-carbamoyl-L-ornithyl[(4-aminophényl)méthoxy]carbonyl-N-méthyl-L-valyl-L-valyl-(3R,4S,5S)-3-méthoxy-5-méthyl-4-(méthylamino)heptanoyl-(2R,3R)-N-[(1S,2R)-1-hydroxy-1-phénylpropan-2-yl]-3-méthoxy-2-méthyl-3-[(2S)-pyrrolidin-2-yl]propanamide)-N^{2,1}-yl)éthyl

tivedotine

2-[[2-(2S)-1-[[2-(2S)-1-{4-[(5S,8S,11S,12R)-11-[(2S)-butan-2-yl]-12-(2-[(2S)-2-[(1R,2R)-3-[[1(1S,2R)-1-hydroxy-1-phénylpropan-2-yl]amino]-1-méthoxy-2-méthyl-3-oxopropyl]pyrrolidin-1-yl]-2-oxoéthyl)-4,10-diméthyl-3,6,9-trioxo-5,8-di(propan-2-yl)-2,13-dioxa-4,7,10-triazatétradécan-1-yl]anilino)-5-(carbamoylamino)-1-oxopentan-2-yl]amino]-3-méthyl-1-oxobutan-2-yl]amino]-2-oxoéthyl]; 2-oxo-2-[(L-valyl-N⁵-carbamoyl-L-ornithyl[(4-aminophényl)méthoxy]carbonyl-N-méthyl-L-valyl-L-valyl-(3R,4S,5S)-3-méthoxy-5-méthyl-4-(méthylamino)heptanoyl-(2R,3R)-N-[(1S,2R)-1-hydroxy-1-phénylpropan-2-yl]-3-méthoxy-2-méthyl-3-[(2S)-pyrrolidin-2-yl]propanamide)-N^{2,1}-yl)éthyle

tivedotina

2-[[[(2S)-1-[[[(2S)-1-[4-[(5S,8S,11S,12R)-11-[(2S)-butan-2-il]-12-(2-[(2S)-2-[(1R,2R)-3-[[[(1S,2R)-1-fenil-1-hidroxiopropan-2-il]amino)-1-metoksi-2-metil-3-oxopropil]pirrolidin-1-il]-2-oxoetil)-4,10-dimetil-3,6,9-trioxi-5,8-di(propan-2-il)-2,13-dioxa-4,7,10-triazatetradecan-1-il]anilino)-5-(carbamoilamino)-1-oxopentan-2-il]amino)-3-metil-1-oxobutan-2-il]amino)-2-oxoetilo]; 2-oxo-2-({L-valil-N⁶-carbamoil-L-ornitil[(4-aminofenil)metoksi]carbonil-N-metil-L-valil-L-valil-(3R,4S,5S)-5-metil-4-(metilamino)-3-metoksiheptanoil-(2R,3R)-N-[(1S,2R)-1-fenil-1-hidroxiopropan-2-il]-2-metil-3-metoksi-3-[(2S)-pirrolidin-2-il]propanamida)-N²-1-il)etilo]

C₆₀H₉₅N₁₀O₁₃

**AMENDMENTS TO PREVIOUS LISTS
MODIFICATIONS APPORTÉES AUX LISTES ANTÉRIEURES
MODIFICACIONES A LAS LISTAS ANTERIORES**

Proposed International Nonproprietary Names (Prop. INN): List 118
Dénominations communes internationales proposées (DCI Prop.): Liste 118
Denominaciones Comunes Internacionales Propuestas (DCI Prop.): Lista 118
(WHO Drug Information, Vol. 31, No. 4, 2017)

p.702- **rebisufigenum etisparvovecum #**
703

rebisufigene etisparvovec
 rebisufigène étisparvovec
 rebisufigén etisparvovec

Please note that the MedNet file has been updated
Veillez noter que le fichier MedNet a été mis à jour
Tenga en cuenta que se ha actualizado el archivo MedNet

Proposed International Nonproprietary Names (Prop. INN): List 120
Dénominations communes internationales proposées (DCI Prop.): Liste 120
Denominaciones Comunes Internacionales Propuestas (DCI Prop.): Lista 120
(WHO Drug Information, Vol. 32, No. 4, 2018)

p.510- **teclistamabum #**
512 **teclistamab**

replace the chemical name by the following one

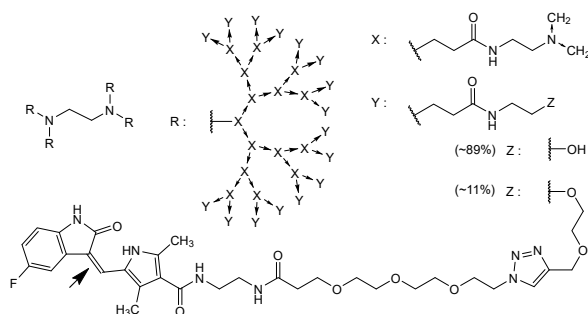
immunoglobulin G4-lambda, anti-[*Homo sapiens* TNFRSF17 (TNF receptor superfamily member 17, tumor necrosis factor receptor superfamily, member 17, B cell maturation antigen, BCMA, BCM, TNFRSF13A, CD269)] and anti-[*Homo sapiens* CD3 epsilon (CD3E, Leu-4)], monoclonal antibody, bispecific; gamma4 heavy chain anti-TNFRSF17 (1-448) [VH (*Homo sapiens* IGHV4-39*01 (97.0%) -(IGHD) -IGHJ4*01 (100%)) [10.7.13] (1-121) -*Homo sapiens* IGHG4*01, nG4m(a) CH2 L92, G4v5 h P10, G4v4 CH2 A1.3, A1.2 (CH1 (122-219), hinge S10>P (229) (220-231), CH2 L92 (310), F1.3>A (235), L1.2>A (236) (232-341), CH3 (342-446), CHS (447-448)) (122-448)], (135-213')-disulfide with lambda light chain anti-TNFRSF17 (1'-214') [V-LAMBDA (*Homo sapiens* IGLV3-21*02 (96.9%) -IGLJ2*01 (100.0%)) [6.3.11] (1'-108') -*Homo sapiens* IGLC2*01 (99.1%) A43>G (152) (109'-214')]; gamma4 heavy chain anti-CD3E (1''-452'') [VH (*Mus musculus* IGHV10-1*02 (89.8%) -(IGHD) -IGHJ3*01 (93.3%)/*Homo sapiens* IGHV3-72*01 (88.0%) -(IGHD) -IGHJ6*01 (90.9%)) [8.10.16] (1''-125'') -*Homo sapiens* IGHG4*01, nG4m(a) CH2 L92, G4v5 h P10, G4v4 CH2 A1.3, A1.2, G4v10 CH3 F85.1, K88 (CH1 (126-223), hinge S10>P (233) (224-235), CH2 L92 (314), F1.3>A (239), L1.2>A (240) (236-345), CH3 F85.1>L (410), R88>K (414) (346-450), CHS (451-452)) (126''-452'')], (139''-214''')-disulfide with lambda light chain anti-CD3 (1'''-215''') [V-LAMBDA (*Homo sapiens* IGLV7-43*01 (81.9%) -IGLJ3*02 (100%)) [9.3.9] (1'''-109''') -*Homo sapiens* IGLC2*01 (100%) (110'''-215''')]; dimer (227-231'''-230-234''')-bisdisulfide

Proposed International Nonproprietary Names (Prop. INN): List 129
Dénominations communes internationales proposées (DCI Prop.): Liste 129
Denominaciones Comunes Internacionales Propuestas (DCI Prop.): Lista 129
(WHO Drug Information, Vol. 37, No. 2, 2023)

p.340-341	cemacabtagenum ansegedleucelum #	
341	cemacabtagene ansegedleucel	<i>replace the chemical name by the following one</i>
	cémacabtagène ansegedleucel	<i>remplacer le nom chimique par le suivant</i>
	cemacabtagén ansegedleucel	<i>sustitúyase el nombre químico por el siguiente</i>
EN, lines 12-18		The expressed transgene comprises a mouse kappa light chain leader sequence, an anti-CD19 single chain variable fragment (scFv) derived from clone 4G7, a CD8 α hinge and transmembrane domain, and a 4-1BB (CD137) co-stimulatory and CD3ζ (TCRζ) intracellular signalling domain , under control of the human elongation factor 1 alpha (EF1 α) short (EFS) promoter.
EN, lines 29-31		At the end of expansion, TCR- cells are enriched by negative selection with residual TCR+ cells depleted using magnetic bead purification.
FR, lignes 14-20		Le transgène exprimé comprend une séquence de tête de chaîne légère kappa de souris, un fragment variable à chaîne unique (scFv) anti-CD19 dérivé du clone 4G7, un domaine charnière et transmembranaire CD8 α , ainsi que un domaine de co-stimulation 4-1BB (CD137) et un domaine de signalisation intracellulaire CD3ζ (TCRζ) , sous le contrôle du promoteur court (EFS) du facteur d'élongation 1 alpha (EF1 α) humain.
FR, lignes 33-37		À la fin de l'expansion, les cellules TCR- sont enrichies par sélection négative et les cellules TCR+ résiduelles sont éliminées à l'aide d'une technologie de purification magnétique.
ES, líneas 13-19		El transgén expresado contiene una secuencia líder de la cadena ligera kappa de ratón, un fragmento variable de cadena sencilla (scFv) anti-CD19 derivado del clon 4G7, un dominio bisagra y transmembrana de CD8 α , un dominio co-estimulador de 4-1BB (CD137) y un dominio de señalización intracelulares de CD3ζ (TCRζ) , bajo el control del promotor corto del factor de elongación 1 alfa (EF1 α) humano.
ES, líneas 32-34		Al final de la expansión, las células TCR- se enriquecen mediante selección negativa y las células TCR+ residuales se eliminan usando tecnología de purificación magnética.
p.408-409	migaldendranibum	
409	migaldendranib	<i>replace the chemical name and structure by the following ones</i>
	migaldendranib	<i>remplacer le nom chimique et la structure par les suivants</i>
	migaldendranib	<i>sustitúyase el nombre químico y la estructura por los siguientes</i>
		2-[[1-(1-{5-[(Z)-(5-fluoro-2-oxo-1,2-dihydro-3H-indol-3-ylidene)methyl]-2,4-dimethyl-1H-pyrrol-3-yl]-1,6-dioxo-9,12,15-trioxa-2,5-diazahaptadecan-17-yl)-1H-1,2,3-triazol-4-yl]methoxy]ethyl ether with about 11% of hydroxy groups of a regular dendrimer $\alpha, \alpha', \alpha'', \alpha'''$ - (ethylenedinitrilo)tetrakis(ω -hexadecakis{3-[(2-hydroxyethyl)amino]-3-oxopropyl}-dendro ⁶⁴ -(3-oxopropane-1,3-diyl)azanediylethylenenitrilo])

éther 2-[[1-(1-{5-[(Z)-(5-fluoro-2-oxo-1,2-dihydro-3H-indol-3-ylidène)méthyl]-2,4-diméthyl-1H-pyrrol-3-yl]-1,6-dioxo-9,12,15-trioxa-2,5-diazaheptadécan-17-yl)-1H-1,2,3-triazol-4-yl]méthoxy]éthylrique avec approximativement 11% de groupes terminaux hydroxy d'un dendrimère régulier $\alpha, \alpha', \alpha'', \alpha'''$ - (éthylènedinitrilo)tétrakis(ω -hexadécakis{3-[(2-hydroxyéthyl)amino]-3-oxopropyl}-dendro^{G4}-[(3-oxopropane-1,3-diyl)azanediyléthylènenitrilo])

éter 2-[[1-(1-{5-[(Z)-(5-fluoro-2-oxo-1,2-dihydro-3H-indol-3-ylidène)metil]-2,4-dimetil-1H-pirrol-3-il)-1,6-dioxo-9,12,15-trioxa-2,5-diazaheptadecan-17-il)-1H-1,2,3-triazol-4-il]metoxi]etilico con aproximadamente 11% de grupos terminales hidroxi de un dendrímero regular $\alpha, \alpha', \alpha'', \alpha'''$ - (etilenodinitrilo)tetrakis(ω -hexadecakis{3-[(2-hidroxietil)amino]-3-oxopropil}-dendro^{G4}-[(3-oxopropano-1,3-diil)azanediiletilenonitrilo])



p.438

~~delete/supprimer/suprimáse~~~~pobrolitidum~~~~pobrolitide~~~~pobrolitide~~~~pobrolitida~~

insert/insérer/insertese

getacatetidum

getacatetide

gétacatétide

getacatetida

Proposed International Nonproprietary Names (Prop. INN): List 130**Dénominations communes internationales proposées (DCI Prop.): Liste 130****Denominaciones Comunes Internacionales Propuestas (DCI Prop.): Lista 130****(WHO Drug Information, Vol. 37, No. 4, 2023)**

p.979-981

atigotatugum #

atigotatug

atigotatug

atigotatug

replace the chemical name and structure by the following ones
remplacer le nom chimique et la structure par les suivants
sustitúyase el nombre químico y la estructura por los siguientes

immunoglobulin G1-kappa, anti-[Fucosyl-GM1 (fucosylated monosialoganglioside 1)], *Homo sapiens* monoclonal antibody; H-gamma1 heavy chain *Homo sapiens* (1-451) [VH (*Homo sapiens* IGHV3-48*02 (90.7%) -(IGHD) -IGHJ3*01 (92.3%) M123>T (117), CDR-IMGT [8.8.15] (26-33.51-58.97-111)) (1-122) -*Homo sapiens* IGHG1*03 (100%), G1m3, nG1m1 CH1 R120, CH3 E12, M14 (CH1 R120 (219) (123-220), hinge 1-15 (221-235), CH2 (236-345), CH3 E12 (361), M14 (363) (346-450), CHS **K2>del (451)** (123-451)], (225-214')-disulfide with L-kappa light chain *Homo sapiens* (1'-214') [V-

KAPPA (*Homo sapiens* IGKV1D-16*01 (100%) -IGKJ4*01 (100%), CDR-IMGT [6.3.9] (27'-32'.50'-52'.89'-97'')) (1'-107') -*Homo sapiens* IGKC*01 (100%), Km3 A45.1 (153'), V101 (191') (108'-214'); dimer (231-231":234-234")-bisdisulfide, produced in Chinese hamster ovary (CHO) cells, cell line **CHO-K1**, lacking the enzyme alpha-(1,6)-fucosyltransferase (FUT8), glycoform alfa

immunoglobuline G1-kappa, anti-[Fucosyl-GM1 (monosialoganglioside 1 fucosylé)], anticorps monoclonal *Homo sapiens*; chaîne lourde H-gamma1 *Homo sapiens* (1-451) [VH (*Homo sapiens*IGHV3-48*02 (90.7%) -(IGHD) -IGHJ3*01 (92.3%) M123>T (117), CDR-IMGT [8.8.15] (26-33.51-58.97-111)) (1-122) -*Homo sapiens*IGHG1*03 (100%), G1m3, nG1m1 CH1 R120, CH3 E12, M14 (CH1 R120 (219) (123-220), charnière 1-15 (221-235), CH2 (236-345), CH3 E12 (361), M14 (363) (346-450), CHS **K2>del (451)**) (123-451)], (225-214')-disulfure avec la chaîne légère L-kappa *Homo sapiens* (1'-214') [V-KAPPA (*Homo sapiens* IGKV1D-16*01 (100%) -IGKJ4*01 (100%), CDR-IMGT [6.3.9] (27'-32'.50'-52'.89'-97'')) (1'-107') -*Homo sapiens* IGKC*01 (100%), Km3 A45.1 (153'), V101 (191') (108'-214'); dimère (231-231":234-234")-bisdisulfure, produit dans des cellules ovariennes de hamster chinois (CHO), lignée cellulaire **CHO-K1**, ne présentant pas l'enzyme alpha-(1,6)-fucosyltransférase (FUT8), glycoforme alfa

inmunoglobulina G1-kappa, anti-[Fucosil-GM1 (monosialogangliósido 1 fucosilado)], anticuerpo monoclonal *Homo sapiens*; cadena pesada H-gamma1 *Homo sapiens* (1-451) [VH (*Homo sapiens*IGHV3-48*02 (90.7%) -(IGHD) -IGHJ3*01 (92.3%) M123>T (117), CDR-IMGT [8.8.15] (26-33.51-58.97-111)) (1-122) -*Homo sapiens*IGHG1*03 (100%), G1m3, nG1m1 CH1 R120, CH3 E12, M14 (CH1 R120 (219) (123-220), bisagra 1-15 (221-235), CH2 (236-345), CH3 E12 (361), M14 (363) (346-450), CHS **K2>del (451)**) (123-451)], (225-214')-disulfuro con la cadena ligera L-kappa *Homo sapiens* (1'-214') [V-KAPPA (*Homo sapiens* IGKV1D-16*01 (100%) -IGKJ4*01 (100%), CDR-IMGT [6.3.9] (27'-32'.50'-52'.89'-97'')) (1'-107') -*Homo sapiens* IGKC*01 (100%), Km3 A45.1 (153'), V101 (191') (108'-214'); dímero (231-231":234-234")-bisdisulfuro, producido en las células ováricas de hámster chino (CHO), línea celular **CHO-K1**, en ausencia de la enzima alfa-1,6-fucosiltransferasa (FUT8), forma glicosilada alfa

Heavy chain / Chaîne lourde / Cadena pesada

```
EVQLVESGGG SVQPGEISLR SCVASGFTFS RYKMNWVRQA PGKGLEWVSY 50
ISRSGRDIYY ADSVKGRTI SRDNRKNSLY LQMSLRDED TAVYYCAGTV 100
TTYYYDFGMD VWGQGTITVT SSASTKGFSV FFLAPSSKST SGGTAAALGCL 150
VKDYFFPEVTV VSWNSGALTS GVHTFFPAVLQ SSGLYLSSV VTFVSSSLGT 200
QTYICNVNHK PSNTRKDKRV EPKSCDKTHT CPPCPAPELL GGPSVFLPFP 250
KPKDTLMISR TPEVTCVVVD VSHEDPEVKF NWYVDGVEVH NAKTKPREEQ 300
YNSYTRVSVV LTVLHQDWLW GKRYKCKVSN KALPAPIEKT ISKAKGQPRE 350
PQVYTLPPSR EEMTRNQVSL TCLVKGFIYS DIAVEWESNG QPENNYKTFP 400
FVLDSGDSFF LYSKLTVDKS RWQQGNVFSC SVMHEALHNN YTKQKLSLSP 450
G 451
```

Light chain / Chaîne légère / Cadena ligera

```
DIQMTQSPSS LSASVGRDRTV ITCRASQGIS SWLAWYQQKP EKAPKSLIYA 50
ASSLQSGVPS RFGSGSGTD FTLTISSLQP EDFATYYCQ YNSYPTFFG 100
GTKVEIKRTV AAPSVFIFPP SDEQLKSGTA SVVCLLNFFV PREARKVQKRV 150
DNALQSGNSQ ESVTEQDSKD STYLSLSTLT LSKADYEKHK YACEVTHQG 200
LSSPVTKSFN RGEK 214
```

Post-translational modifications

Disulfide bridges location / Position des ponts disulfure / Posiciones de los puentes disulfuro

Intra-H (C23-C104) 22-96 149-205 266-326 372-430
 22"-96" 149"-205" 266"-326" 372"-430"
 Intra-L (C23-C104) 23"-88" 134-194"
 23"-88" 134"-194"
 Inter-H-L (h 5-CL 126) 225-214" 225"-214"
 Inter-H-H (h 11, h 14) 231-231" 234-234"

N-glycosylation sites / Sites de N-glycosylation / Posiciones de N-glicosilación
 H CH2 N84.4: 302, 302"

Afucosylated complex bi-antennary CHO-type glycans / glycanes de type CHO bi-antennaires complexes afucosylés / glicanos de tipo CHO biantennarios complejos afucosilados

p.998- **calotatugum ginistinagum #**

1000 calotatug ginistinag

replace the chemical name, the CAS RN and structure by the following ones

calotatug ginistinag

remplacer le nom chimique, le numéro de registre du CAS et la structure par les suivants

calotatug ginistinag

sustitúyase el nombre químico, el número del CAS y la estructura por los siguientes

immunoglobulin G1-kappa, anti-[*Homo sapiens* ERBB2 (receptor tyrosine-protein kinase erbB-2, epidermal growth factor receptor 2, EGFR2, HER2, HER-2, p185c-erbB2, NEU, CD340)], *Homo sapiens* monoclonal antibody, conjugated on 8 cysteinyl residues to a STING agonist, with a ratio of 1 to 8;

H-gamma1 heavy chain *Homo sapiens* (1-446) [VH (*Homo sapiens* IGHV3-48*01 (100%) -(IGHD) -IGHJ2*01 (100%), CDR-IMGT [8.8.10] (26-33.51-58.97-106)) (1-117) -*Homo sapiens* IGHG1*01 (100%), G1m17,1 CH1 K120, CH3 D12, L14 (CH1 K120 (214) (118-215), hinge 1-15 (216-230), CH2 (231-340), CH3 D12 (356), L14 (358) (341-445), CHS K2>del (446)) (118-446)], (220-215')-disulfide with L-kappa light chain *Homo sapiens* (1'-215') [V-KAPPA (*Homo sapiens* IGKV3-20*01 (97.9%) -IGKJ4*01 (100%), CDR-IMGT [7.3.9] (27'-33'.51'-53'.90'-98')) (1'-108') -*Homo sapiens* IGKC*01 (100%), Km3 A45.1 (154'), V101 (192') (109'-215')]; dimer (226-226":229-229")-bisdisulfide, produced in Chinese hamster ovary (CHO) cells, cell line CHO-K1SV, glycoform alfa; substituted at the sulfur atom of eight l-cysteinyl residues at position 220, 226, 229, 215', 220", 226", 229" and 215"' with (3*RS*)-1-[[[4*S*,47*S*,53*S*,54*R*,55*R*,56*R*)-4-[(15*RS*)-20-[[[(6*E*)-4⁶,9⁵-dicarbamoyl-1⁴,12⁴-diethyl-1²,12²-dimethyl-2,11-dioxo-3,10-diaza-4(2,3)-imidazo[4,5-*b*]pyridina-9(1,2)-[1,3]benzimidazola-1,12(5)-bis[1,3]oxazoladodecaphan-6-en-9⁷-yl]oxy]-15-methyl-3,13,16-trioxa-7,10,17-trioxa-4,14-diazaicosan-1-yl]-53,54,55,56,57-pentahydroxy-2,5,8,11,14,17,45,50-octaoxo-47-[[[(2*S*,3*R*,4*R*,5*R*)-2,3,4,5,6-pentahydroxyhexyl]carbamoyl]-21,24,27,30,33,36,39,42-octaosa-3,6,9,12,15,18,46,51-octaazaheptapentacontan-1-yl]-2,5-dioxopyrrolidin-3-yl (*ginistinag*) groups

immunoglobuline G1-kappa, anti-[*Homo sapiens* ERBB2 (récepteur tyrosine-protéine kinase erbB-2, récepteur 2 du facteur de croissance épidermique, EGFR2, HER2, HER-2, p185c-erbB2, NEU, CD340)], anticorps monoclonal *Homo sapiens*, conjugué par 8 résidus cystéinyle à un agoniste STING avec un rapport de 1 à 8; chaîne lourde H-gamma1 *Homo sapiens* (1-446) [VH (*Homo sapiens* IGHV3-48*01 (100%) -(IGHD) -IGHJ2*01 (100%), CDR-IMGT [8.8.10] (26-33.51-58.97-106)) (1-117) -*Homo sapiens* IGHG1*01 (100%), G1m17,1 CH1 K120, CH3 D12, L14 (CH1 K120 (214) (118-215), charnière 1-15 (216-230), CH2 (231-340), CH3 D12 (356), L14 (358) (341-445), CHS K2>del (446)) (118-446)], (220-215')-disulfure avec la chaîne légère L-kappa *Homo sapiens* (1'-215') [V-KAPPA (*Homo sapiens* IGKV3-20*01 (97.9%) -IGKJ4*01 (100%), CDR-IMGT [7.3.9] (27'-33'.51'-53'.90'-98')) (1'-108') -*Homo sapiens* IGKC*01

(100%), Km3 A45.1 (154'), V101 (192') (109'-215'); dimère (226-226":229-229")-bisdisulfure, produit dans des cellules ovariennes de hamster chinois (CHO), lignée cellulaire CHO-K1SV, glycoforme alfa; substitué sur l'atome de soufre de 8 résidus l-cystéinyle en position 220, 226, 229, 215', 220", 226", 229" et 215" avec le groupement (3RS)-1-[(4S,47S,53S,54R,55R,56R)-4-[(15RS)-20-[[[(6E)-4⁶,9⁵-dicarbamoil-1⁴,12⁴-diéthyl-1²,12²-diméthyl-2,11-dioxo-3,10-diaza-4(2,3)-imidazo[4,5-b]pyridina-9(1,2)-[1,3]benzimidazola-1,12(5)-bis[1,3]oxazoladodécaphan-6-én-9⁷-yl]oxy]-15-méthyl-3,13,16-trioxo-7,10,17-trioxa-4,14-diazaicosan-1-yl]-53,54,55,56,57-pentahydroxy-2,5,8,11,14,17,45,50-octaoso-47-[[[(2S,3R,4R,5R)-2,3,4,5,6-pentahydroxyhexyl]carbamoil]-21,24,27,30,33,36,39,42-octaosa-3,6,9,12,15,18,46,51-octaazaheptapentacontan-1-yl]-2,5-dioxopyrrolidin-3-yle (*ginistinag*)

immunoglobulina G1-kappa, anti-[*Homo sapiens* ERBB2 (receptor tirosina-proteína kinasa erbB-2, receptor 2 del factor de crecimiento epidérmico, EGFR2, HER2, HER-2, p185c-erbB2, NEU, CD340)], anticuerpo monoclonal *Homo sapiens*, conjugado por 8 residuos cisteinilo a un agonista STING con un ratio de 1 a 8; cadena pesada H-gamma1 *Homo sapiens* (1-446) [VH (*Homo sapiens* IGHV3-48*01 (100%) -(IGHD) -IGHJ2*01 (100%), CDR-IMGT [8.8.10] (26-33.51-58.97-106)) (1-117) -*Homo sapiens* IGHG1*01 (100%), G1m17,1 CH1 K120, CH3 D12, L14 (CH1 K120 (214) (118-215), bisagra 1-15 (216-230), CH2 (231-340), CH3 D12 (356), L14 (358) (341-445), CHS K2>del (446)) (118-446)], (220-215')-disulfuro con la cadena ligera L-kappa *Homo sapiens* (1'-215') [V-KAPPA (*Homo sapiens* IGKV3-20*01 (97.9%) -IGKJ4*01 (100%), CDR-IMGT [7.3.9] (27'-33'.51'-53'.90'-98')) (1'-108') -*Homo sapiens* IGKC*01 (100%), Km3 A45.1 (154'), V101 (192') (109'-215'); dímero (226-226":229-229")-bisdisulfuro, producido en las células ováricas de hámster chino (CHO), línea celular CHO-K1SV, forma glicosilada alfa; substituido sobre el átomo de azufre de 8 residuos l-cisteinilo en posición 220, 226, 229, 215', 220", 226", 229" y 215" con el grupo (3RS)-1-[(4S,47S,53S,54R,55R,56R)-4-[(15RS)-20-[[[(6E)-4⁶,9⁵-dicarbamoil-1⁴,12⁴-dietyl-1²,12²-dimetil-2,11-dioxo-3,10-diaza-4(2,3)-imidazo[4,5-b]piridina-9(1,2)-[1,3]benzimidazola-1,12(5)-bis[1,3]oxazoladodecaphan-6-en-9⁷-il]oxi]-15-metil-3,13,16-trioxo-7,10,17-trioxa-4,14-diazaicosan-1-il]-53,54,55,56,57-pentahidroxi-2,5,8,11,14,17,45,50-octaoso-47-[[[(2S,3R,4R,5R)-2,3,4,5,6-pentahidroxihexil]carbamoil]-21,24,27,30,33,36,39,42-octaosa-3,6,9,12,15,18,46,51-octaazaheptapentacontan-1-il]-2,5-dioxopirrolidin-3-ilo (*ginistinag*)

3032312-00-5

Heavy chain / Chaîne lourde / Cadena pesada

EVQLVESGGG LVQPGGSLRL SCAASGFTFS SYSMNWVRQA PGKGLEWVSY 50
 ISSSSSTIYY ADSVKGRFTI SRDNAKNSLY LQMNSLRAED TAVYYCARGG 100
 HGYFDLWGRG TLTVTSSAST KGPSVFPLAP SSKSTSGGTA ALGCLVKDYF 150
 PEPVTVSWNS GALTSGVHTF PAVLQSSGLY SLSSVVTVPS SSLGTQTYIC 200
 NVNHKPSNTK VDKKVEPKSC DKHTTCPPCP APELLGGPSV FLFPPKPKDT 250
 LMISTRPEVT CVVVDVSHED PEVKFNWYVD GVEVHNAKTK PREEQYNSTY 300
 RVSVLTLVLH QDWLNGKEYK CKVSNKALPA PIEKTIISKAK GQPREPQVYT 350
 LPPSRDELTK NQVSLTCLVK GFYPSDIAVE WESNGQPENN YKTTTPPVLDS 400
 DGSFFLYSKL TVDKSRWQQG NVFSCSVMHE ALHNHYTQKS LLSLSPG 446

Light chain / Chaîne légère / Cadena ligera

EIVLTQSPGT LSLSPGERAT LSCRASQSVS SSYLAWYQQK PGQAPRLLIY 50
 GASSRATGIP DRFSGSGSGT DFTLTISRLE PEDFAVYYCQ QVHHSPLTPG 100
 GGTKVEIKRT VAAPSVPFIP PSDEQLKSGT ASVVCLLNPF YPREAKVQMK 150
 VDNALQSGNS QESVTEQDSK DSTYSLSSLT TLSKADYEKH KVVACEVTHQ 200
 GLSSPVTKSF NRGEC 215

Post-translational modifications

Disulfide bridges location / Position des ponts disulfure / Posiciones de los puentes disulfuro

Intra-H (C23-C104) 22-96 144-200 261-321 367-425
 22"-96" 144"-200" 261"-321" 367"-425"

Intra-L (C23-C104) 23-89" 135-195"
 23"-89" 135"-195"

Inter-H-L* (h 5-CL 126) 220-215" 220"-215"

Inter-H-H* (h 11, h 14) 226-226" 229-229"

* The four inter-chain disulfide bridges are not present, an average of 8 cysteinyl being conjugated each via a thioether bond to a drug linker.

* Les quatre ponts disulfures inter-chaînes ne sont pas présents, 8 cystéinyl en moyenne étant chacun conjugué via une liaison thioéther à un linker-principe actif.

* Los cuatro puentes disulfuro inter-catenarios no estan presentes, una media de 8 cisteinil está conjugada a conectores de principio activo.

N-glycosylation sites / Sites de N-glycosylation / Posiciones de N-glicosilación

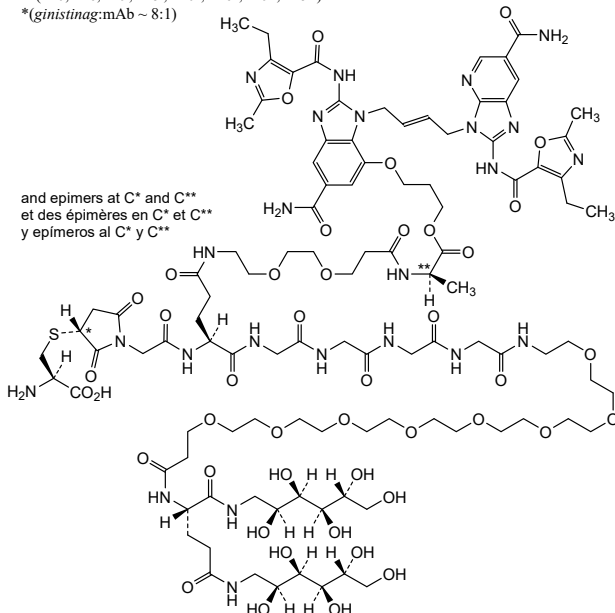
H CH2 N84.4: 297, 297"

Fucosylated complex bi-antennary CHO-type glycans / glycanes de type CHO bi-antennaires complexes fucosylés / glicanos de tipo CHO biantenarios complejos fucosilados

Potential modified residues / résidus modifiés potentiels / restos modificados potenciales*

C (220, 226, 229, 215", 220", 226", 229", 215")

*(ginistinag:mAb ~ 8:1)



p.1011 -1012	<i>delete/supprimer/suprimáse</i> dalmitamigum dalmitamig dalmitamig dalmitamig	<i>insert/insérer/insertese</i> marlotamigum marlotamig marlotamig marlotamig
p.1071	lonvoguranum lonvoguran <i>replace the chemical name by the following one</i>	
	<p><i>all-P-ambo-2'-O-methyl-P-thioguanlyl-(3'→5')-2'-O-methyl-P-thioguanlyl-(3'→5')-2'-O-methyl-P-thioadenylyl-(3'→5')-uridylyl-(3'→5')-uridylyl-(3'→5')-guanylyl-(3'→5')-cytidylyl-(3'→5')-guanylyl-(3'→5')-uridylyl-(3'→5')-adenylyl-(3'→5')-uridylyl-(3'→5')-guanylyl-(3'→5')-guanylyl-(3'→5')-guanylyl-(3'→5')-adenylyl-(3'→5')-cytidylyl-(3'→5')-adenylyl-(3'→5')-cytidylyl-(3'→5')-adenylyl-(3'→5')-adenylyl-(3'→5')-uridylyl-(3'→5')-uridylyl-(3'→5')-uridylyl-(3'→5')-uridylyl-(3'→5')-uridylyl-(3'→5')-adenylyl-(3'→5')-guanylyl-(3'→5')-adenylyl-(3'→5')-2'-O-methylguanylyl-(3'→5')-2'-O-methylcytidylyl-(3'→5')-2'-O-methyluridylyl-(3'→5')-2'-O-methyladenylyl-(3'→5')-2'-O-methylguanylyl-(3'→5')-2'-O-methyladenylyl-(3'→5')-2'-O-methyladenylyl-(3'→5')-2'-O-methyladenylyl-(3'→5')-2'-O-methyluridylyl-(3'→5')-2'-O-methyladenylyl-(3'→5')-2'-O-methylguanylyl-(3'→5')-2'-O-methylcytidylyl-(3'→5')-adenylyl-(3'→5')-adenylyl-(3'→5')-guanylyl-(3'→5')-uridylyl-(3'→5')-uridylyl-(3'→5')-uridylyl-(3'→5')-adenylyl-(3'→5')-adenylyl-(3'→5')-adenylyl-(3'→5')-adenylyl-(3'→5')-uridylyl-(3'→5')-adenylyl-(3'→5')-adenylyl-(3'→5')-guanylyl-(3'→5')-guanylyl-(3'→5')-cytidylyl-(3'→5')-uridylyl-(3'→5')-adenylyl-(3'→5')-guanylyl-(3'→5')-uridylyl-(3'→5')-uridylyl-(3'→5')-adenylyl-(3'→5')-guanylyl-(3'→5')-uridylyl-(3'→5')-uridylyl-(3'→5')-adenylyl-(3'→5')-uridylyl-(3'→5')-cytidylyl-(3'→5')-adenylyl-(3'→5')-2'-O-methyladenylyl-(3'→5')-2'-O-methyluridylyl-(3'→5')-2'-O-methyluridylyl-(3'→5')-2'-O-methyluridylyl-(3'→5')-2'-O-methylguanylyl-(3'→5')-2'-O-methyladenylyl-(3'→5')-2'-O-methyladenylyl-(3'→5')-2'-O-methyladenylyl-(3'→5')-2'-O-methyladenylyl-(3'→5')-2'-O-methyladenylyl-(3'→5')-2'-O-methylguanylyl-(3'→5')-2'-O-methyluridylyl-(3'→5')-2'-O-methylguanylyl-(3'→5')-2'-O-methylguanylyl-(3'→5')-2'-O-methylcytidylyl-(3'→5')-2'-O-methylcytidylyl-(3'→5')-2'-O-methylcytidylyl-(3'→5')-2'-O-methylcytidylyl-(3'→5')-2'-O-methylcytidylyl-(3'→5')-2'-O-methylguanylyl-(3'→5')-2'-O-methyladenylyl-(3'→5')-2'-O-methylguanylyl-(3'→5')-2'-O-methyluridylyl-(3'→5')-2'-O-methylcytidylyl-(3'→5')-2'-O-methylguanylyl-(3'→5')-2'-O-methyluridylyl-(3'→5')-2'-O-methylcytidylyl-(3'→5')-2'-O-methylguanylyl-(3'→5')-2'-O-methyluridylyl-(3'→5')-2'-O-methylguanylyl-(3'→5')-2'-O-methyluridylyl-(3'→5')-2'-O-methylguanylyl-(3'→5')-2'-O-methyluridylyl-(3'→5')-2'-O-methylguanylyl-(3'→5')-2'-O-methylcytidylyl-(3'→5')-2'-O-methyl-P-thiouridylyl-(3'→5')-2'-O-methyl-P-thiouridylyl-(3'→5')-2'-O-methyl-P-thiouridylyl-(3'→5')-2'-O-methyluridine</i></p>	
p.1155 -1156	<i>delete/supprimer/suprimáse</i> segigratinibum segigratinib ségigratinib segigratinib	<i>insert/insérer/insertese</i> ratangratinibum ratangratinib ratangratinib ratangratinib

p.1179- tilatamigum samrotecanum

1182	tilatamig samrotecan tilatamig samrotécan tilatamig samrotecán	<i>replace the chemical name and structure by the following ones</i> <i>remplacer le nom chimique et la structure par les suivants</i> <i>sustitúyase el nombre químico y la estructura por los</i> <i>siguientes</i>
------	--	--

immunoglobulin G1-kappa/G1-lambda, anti-[*Homo sapiens* MET (met proto-oncogene, hepatocyte growth factor (HGF) receptor, HGFR, scatter factor (SF) receptor, HGF/SF receptor, receptor tyrosine-protein kinase c-met, papillary renal cell carcinoma 2, RCCP2)] and anti-[*Homo sapiens* EGFR (epidermal growth factor receptor, receptor tyrosine-protein kinase erbB-1, ERBB1, HER1, HER-1, ERBB)], *Homo sapiens* monoclonal antibody, bispecific, conjugated on 6 cysteinyl residues to *samrotecan*;

H-gamma1 heavy chain anti-MET *Homo sapiens* (1-446) [VH (*Homo sapiens* IGHV1-8*01 (95.9%) -(IGHD) -IGHJ3*01 (100%), CDR-IMGT [8.8.9] (26-33.51-58.97-105)) (1-116)-*Homo sapiens* IGHG1*03, G1m3, nG1m1 CH1 R120, CH3 E12, M14, G1v39 CH2 F1.3, E1.2, S116, G1v33 CH3 S22, A24, V86 (hole), G1v75 CH3 C5 (CH1 R120 (213) (117-214), hinge 1-15 (215-229), CH2 L1.3>F (233), L1.2>E (234), P116>S (330) (230-339), CH3 Y5>C (348), E12 (355), M14 (357) T22>S (365), L24>A (367), Y86>V (406) (hole) (340-444), CHS (445-446)) (117-446)], (219-214')-disulfide with L-kappa light chain anti-MET *Homo sapiens* (1'-214') [V-KAPPA (*Homo sapiens* IGKV1-5*03 (92.6%) -IGKJ4*01 (90.9%) V124>L (104'), CDR-IMGT [6.3.9] (27'-32'.50'-52'.89'-97'') (1'-107') -*Homo sapiens* IGKC*01 (100%), Km3 A45.1 (153'), V101 (191') (108'-214'')]; H-gamma1 heavy chain anti-EGFR *Homo sapiens* (1"-454") [VH (*Homo sapiens* IGHV1-69*06 (83.7%) -(IGHD) -IGHJ1*01 (100%), CDR-IMGT [8.8.17] (26"-33".51"-58".97"-113'') (1"-124'') -*Homo sapiens* IGHG1*03, G1m3, nG1m1 CH1 R120, CH3 E12, M14, G1v39 CH2 F1.3, E1.2, S116, G1v32 CH3 W22 (knob), G1v74 CH3 C10, G1v58 CH1 C5, h V5 (CH1 F5>C (133''), R120 (221'') (125"-222''), hinge 1-15 C5>V (227'') (223"-237''), CH2 L1.3>F (241''), L1.2>E (242''), P116>S (338'') (238"-347''), CH3 S10>C (361''), E12 (363''), M14 (365''), T22>W (373'') (348"-452''), CHS (453"-454'') (125"-454''), (133"-126'')-disulfide with L-lambda2 light chain anti-EGFR *Homo sapiens* (1'''-217''') [V-LAMBDA (*Homo sapiens* IGLV2-14*05 (94.9%) -IGLJ2*01 (90.9%), CDR-IMGT [9.3.11] (26'''-34'''-52'''-54'''-91'''-101''') (1'''-111''') -*Homo sapiens* IGLC2*01 (98.1%), LC2v58 C10, V126, S10>C (126'''), C126>V (216''') (112'''-217''')]; dimer (225-233'':228-236'')-bisdisulfide, produced in a cell line from Chinese hamster ovary (CHO) cells, derived from the cell line CHO-K1, glycoform alfa; substituted at the sulfur atoms of L-cysteinyl residues **219**, **225**, **228**, **214'**, **233'** and **236''** with (**3RS**)-1-[(2S,5S)-1-[[[(9S)-9-ethyl-9-hydroxy-10,13-dioxo-2,3,9,10,13,15-hexahydro-1H,12H-benzo[de]pyrano[3',4':6,7]indolizino[1,2-b]quinolin-4-yl]amino]-2-methyl-1,4,7,35-tetraoxo-5-(propan-2-yl)-10,13,16,19,22,25,28,31-octaoxa-3,6,34-triazaheptatriacontan-37-yl]-2,5-dioxopyrrolidin-3-yl (*samrotecan*) groups

immunoglobuline G1-kappa/G1-lambda, anti-[*Homo sapiens* MET (proto-oncogène met, récepteur du facteur de croissance hépatocytaire, HGFR, récepteur du facteur de dispersion (SF), récepteur de l'HGF/SF, récepteur protéine-tyrosine kinase c-met, carcinome papillaire à cellules rénales 2, RCCP2)] et anti-[*Homo sapiens* EGFR (récepteur du facteur de croissance épidermique, récepteur tyrosine-protéine kinase erbB-1, ERBB1, HER1, HER-1, ERBB)], anticorps monoclonal *Homo sapiens*, bispécifique, conjugué par 6 résidus cystéinyle au *samrotécan*;

chaîne lourde H-gamma1 anti-MET *Homo sapiens* (1-446) [VH (*Homo sapiens* IGHV1-8*01 (95.9%) -(IGHD) -IGHJ3*01 (100%), CDR-IMGT [8.8.9] (26-33.51-58.97-105)) (1-116)-*Homo sapiens* IGHG1*03, G1m3, nG1m1 CH1 R120, CH3 E12, M14, G1v39 CH2 F1.3, E1.2, S116, G1v33 CH3 S22, A24, V86 (hole), G1v75 CH3 C5 (CH1 R120 (213) (117-214), charnière 1-15 (215-229), CH2 L1.3>F (233), L1.2>E (234), P116>S (330) (230-339), CH3 Y5>C (348), E12 (355), M14 (357), T22>S (365), L24>A (367), Y86>V (406) (hole) (340-444), CHS (445-446)) (117-446)], (219-214')-disulfure avec la chaîne légère L-kappa

anti-MET *Homo sapiens* (1'-214') [V-KAPPA (*Homo sapiens* IGKV1-5*03 (92.6%) -IGKJ4*01 (90.9%) V124>L (104), CDR-IMGT [6.3.9] (27'-32'-50'-52'-89'-97')) (1'-107') -*Homo sapiens* IGKC*01 (100%), Km3 A45.1 (153'), V101 (191') (108'-214')];
 chaîne lourde H-gamma1 anti-EGFR *Homo sapiens* 1"-454") [VH (*Homo sapiens* IGHV1-69*06 (83.7%) -(IGHD) -IGHJ1*01 (100%), CDR-IMGT [8.8.17] (26"-33".51"-58".97"-113")) (1"-124") -*Homo sapiens* IGHG1*03, G1m3, nG1m1 CH1 R120, CH3 E12, M14, G1v39 CH2 F1.3, E1.2, S116, G1v32 CH3 W22 (knob), G1v74 CH3 C10, G1v58 CH1 C5, h V5 (CH1 F5>C (133")), R120 (221") (125"-222"), charnière 1-15 C5>V (227") (223"-237"), CH2 L1.3>F (241"), L1.2>E (242"), P116>S (338") (238"-347"), CH3 S10>C (361"), E12 (363"), M14 (365"), T22>W (373") (348"-452"), CHS (453"-454")) (125"-454"), (133"-126")-disulfure avec la chaîne légère L-lambda2 anti-EGFR *Homo sapiens* (1"-217") [V-LAMBDA (*Homo sapiens* IGLV2-14*05 (94.9%) -IGLJ2*01 (90.9%), CDR-IMGT [9.3.11] (26"-34".52"-54".91"-101")) (1"-111") -*Homo sapiens* IGLC2*01 (98.1%), LC2v58 C10, V126, S10>C (126"), C126>V (216") (112"-217")]; dimère (225-233":228-236")-bisdisulfure, produit dans une lignée cellulaire des cellules ovariennes de hamster chinois (CHO), dérivant de la lignée cellulaire CHO-K1, glycoforme alfa; substitué sur l'atome de soufre des résidus L-cystéinyle **219**, **225**, **228**, **214'**, **233"** et **236"** avec des groupes (**3RS**)-1-[(2S,5S)-1-[[[(9S)-9-éthyl-9-hydroxy-10,13-dioxo-2,3,9,10,13,15-hexahydro-1H,12H-benzo[de]pyrano[3',4':6,7]indolizino[1,2-b]quinoléin-4-yl]amino]-2-méthyl-1,4,7,35-tétraoxo-5-(propan-2-yl)-10,13,16,19,22,25,28,31-octaoxa-3,6,34-triazaheptatriacontan-37-yl]-2,5-dioxopyrrolidin-3-yle (*samrotécán*)

inmunoglobulina G1-kappa/G1-lambda, anti-[*Homo sapiens* MET (proto-oncogén met, receptor del factor de crecimiento hepatocitario, HGFR, receptor del factor de dispersión (SF), receptor del HGF/SF, receptor proteína-tirosina kinasa c-met, carcinoma papilar con células renales 2, RCCP2)] y anti-[*Homo sapiens* EGFR (receptor del factor de crecimiento epidérmico, receptor tirosina-proteína kinasa erbB-1, ERBB1, HER1, HER-1, ERBB)], anticuerpo monoclonal *Homo sapiens*, biespecífico, conjugado por 6 residuos cystéinyle au *samrotécán*; cadena pesada H-gamma1 anti-MET *Homo sapiens* (1-446) [VH (*Homo sapiens* IGHV1-8*01 (95.9%) -(IGHD) -IGHJ3*01 (100%), CDR-IMGT [8.8.9] (26-33.51-58.97-105)) (1-116)-*Homo sapiens* IGHG1*03, G1m3, nG1m1 CH1 R120, CH3 E12, M14, G1v39 CH2 F1.3, E1.2, S116, G1v33 CH3 S22, A24, H86 (hole), G1v75 CH3 C5 (CH1 R120 (213) (117-214), bisagra 1-15 (215-229), CH2 L1.3>F (233), L1.2>E (234), P116>S (330) (230-339), CH3 Y5>C (348), E12 (355), M14 (357), T22>S (365), L24>A (367), Y86>V (406) (hole) (340-444), CHS (445-446)) (117-446)], (219-214')-disulfuro con la cadena ligera L-kappa anti-MET *Homo sapiens* (1'-214') [V-KAPPA (*Homo sapiens* IGKV1-5*03 (92.6%) -IGKJ4*01 (90.9%) V124>L (104), CDR-IMGT [6.3.9] (27'-32'-50'-52'-89'-97')) (1'-107') -*Homo sapiens* IGKC*01 (100%), Km3 A45.1 (153'), V101 (191') (108'-214')];

cadena pesada H-gamma1 anti-EGFR *Homo sapiens* 1"-454") [VH (*Homo sapiens* IGHV1-69*06 (83.7%) -(IGHD) -IGHJ1*01 (100%), CDR-IMGT [8.8.17] (26"-33".51"-58".97"-113")) (1"-124") -*Homo sapiens* IGHG1*03, G1m3, nG1m1 CH1 R120, CH3 E12, M14, G1v39 CH2 F1.3, E1.2, S116, G1v32 CH3 W22 (knob), G1v74 CH3 C10, G1v58 CH1 C5, h V5 (CH1 F5>C (133")), R120 (221") (125"-222"), bisagra 1-15 C5>V (227") (223"-237"), CH2 L1.3>F (241"), L1.2>E (242"), P116>S (338") (238"-347"), CH3 S10>C (361"), E12 (363"), M14 (365"), T22>W (373") (348"-452"), CHS (453"-454")) (125"-454"), (133"-126")-disulfuro con la cadena ligera L-lambda2 anti-EGFR *Homo sapiens* (1"-217") [V-LAMBDA (*Homo sapiens* IGLV2-14*05 (94.9%) -IGLJ2*01 (90.9%), CDR-IMGT [9.3.11] (26"-34".52"-54".91"-101")) (1"-111") -*Homo sapiens* IGLC2*01 (98.1%), LC2v58 C10, V126, S10>C (126"), C126>V (216") (112"-217")]; dímero (225-233":228-236")-bisdisulfuro, producido en una línea celular de las células ováricas de hamster chino (CHO), línea celular derivada de CHO-K1, forma glicosilada alfa; sustituido en el átomo de azufre de los residuos L-cisteinilo **219**, **225**, **228**, **214'**, **233"** y **236"** con grupos (**3RS**)-1-[(2S,5S)-1-[[[(9S)-9-etil-9-hidroxi-10,13-dioxo-2,3,9,10,13,15-hexahidro-1H,12H-

benzo[de]pirano[3',4':6,7]indolizino [1,2-b]quinolin-4-il]amino]-2-metil-1,4,7,35-tetraoxo-5-(propan-2-il)-10,13,16,19, 22, 25,28,31-octaoxa-3,6,34-triazaheptatriacontan-37-il]-2,5-dioxopirrolidin-3-ilo (*samrotecán*)

Heavy chain / Chaîne lourde / Cadena pesada: anti-MET (hole) (H)

QVQLVQSGAE VKKPGASVKV SCKASGYTFT DYYIHWVRQA TGGGLEWMMGW 50
 MNFNSGNTGY AOKFQGRVTM TRDTSISTAY MELSSLRSED TAVYYCARGQ 100
 GYTHSWGQGT MVTVSSASTK GPSVFPLAPS SKSTSGGTAA LGCLVKDYFF 150
 EPVTVSNWGS ALTSGVHTFP AVLQSSGLYS LSSVTVFSS SLGTQTYICN 200
 VNHKPSNTKV DKRVEPKSCD KTHCTPCPA PEFEGGSPVF LFPKPKDTL 250
 MISRTPVETC VVVDVSHEDP EVKFNWYVDG VEVHNAKTKP REEQYNSTYR 300
 VVSVLTVLHQ DWLNGKEYKC KVSNKALPAS IEKTIKAKG QPREPQVCTL 350
 PFSREEMTKN QVSLSCAVKG FYPSDIAVEW ESNQGPENNY KTFPPVLDSD 400
 GSFFLVSKLT VDKSRWQQGN VFSCSVMHEA LHNHYTQKSL SLSPGK 446

Light chain / Chaîne légère / Cadena ligera: anti-MET (L)

DIQMTQSPST LSASVGRVRT ITCRASEGIY HWLAWYQQKP GKAPKLLIYK 50
 ASSLASGVPF FSGSGSGTE PTLTISSLQP DDFATYYCQQ YSNYPPTFGG 100
 GTKLEIKRTV AAFSVFIFPP SDEQLKSGTA SVVCLLNNFY PREAKVQWKV 150
 DNALQSGNSQ ESFVTEQDSKD STYSLSSLT LSKADYERKH VYACEVTHQG 200
 LSSPVTKSFN RGEC 214

Heavy chain / Chaîne lourde / Cadena pesada: anti-EGFR (knob) (H')

QVQLVQSGAE VKKPGSSVKV SCKASGGTFS DNDPSWVRQA PGQGLEWMMGA 50
 IVAVFRTEY AOKFQDRVKI TADISTRTRY MELSSLRSED TAVYYCARRL 100
 MSAISGPGAP LLMWGGQTLV TVSSASTKGP SVCPLAPSSK STSGGTAAALG 150
 CLVKDYFPEP VTVSNWNSGAL TSGVHTFPAV LQSSGLYSLS SVTVVPSSSL 200
 GTQTYICNVN HKPNTKVDK RVEPKSVDKT HTCPPCPAPE FEGGSPVELF 250
 PPKPKDTIMI SRTPVETCVV VDVSHEDPEV KFNWYVDGVE VHNKTKPRE 300
 EQYNSTYRVV SVLTVLHQDW LNKKEYCKV SNKALPASIE KTISKAKGQP 350
 REPQVYTLPP CREEMTKNQV SLWCLVKGFY PSDIAVEWES NGQPENNYKT 400
 TFPVLDSDGS FFLYSKLTVD KSRWQQGIVP SCVSMHEALH NHYTQKLSL 450
 SPGK 454

Light chain / Chaîne légère / Cadena ligera: anti-EGFR (L')

QSALTQPRSV SGSFGQSVTI SCTGTSSDVG GYNYVSWYQQ HPGKAPKIMI 50
 YDVSKRPSGV PDRFSGSKSG NTASLTISGL QAEDADYIC SSYTSDDTLE 100
 IFGGGTLKLV LGQKPAAPSV TLPFPCSBEEL QANKATLVCL ISDFYPGAVT 150
 VAWKADSPV KAGVETTPS KQSNKYAAS SYLSLTPPEQW KSHRSYSCQV 200
 THEGSTVEKT VAPTEVS 217

Post-translational modifications

Disulfide bridges location / Position des ponts disulfure / Posiciones de los puentes disulfuro

Intra-H (C23-C104) 22-96 143-199 260-320 366-424
 22"-96" 151"-207" 268"-328" 374"-432"

Intra-L (C23-C104) 23"-88" 134"-194"
 22"-90" 139"-198"

Inter-H-L (h 5-CL 126)* 219-214' 133"-126"

Inter-H-H (h 11, h 14)* 225-233" 228-236"

Inter-H-H (CH3 C5-C10)** 348-361"

*At least three inter-chain disulfide bridges are not present, an average of 6 cysteinyl being conjugated each via a thioether bond to a drug linker.

*Au moins trois ponts disulfures inter-chaînes ne sont pas présents, 6 cystéinyl en moyenne étant chacun conjugué via une liaison thioéther à un linker-principe actif.

**Al menos tres puentes disulfuro inter-catenarios no están presentes, una media de 6 cisteinil está conjugada a conectores de principio activo.

**variants G1v75 (CH3 C5) and G1v74 (CH3 C10) creating an additional inter-H-H disulfide bond.

**variantes G1v75 (CH3 C5) et G1v74 (CH3 C10) créant une liaison disulfure inter-H-H supplémentaire.

**variantes G1v75 (CH3 C5) y G1v74 (CH3 C10) que crean un enlace disulfuro inter-H-H adicional.

N-terminal glutaminy cyclization / Cyclisation du glutaminy N-terminal / Ciclación del glutaminilo N-terminal

Q > pyroglutamyl (pE, 5-oxopropyl) / pyroglutamyle (pE, 5-oxopropyle) / piroglutamilo (pE, 5-oxoprolilo)

H VH Q1: 1, 1"

L VL Q1: 1"

N-glycosylation sites / Sites de N-glycosylation / Posiciones de N-glicosilación

H CH2 N84.4: 296, 304"

Fucosylated complex bi-antennary CHO-type glycans / glycanes de type CHO bi-antennaires complexes fucosylés / glicanos de tipo CHO biantennarios complejos fucosilados.

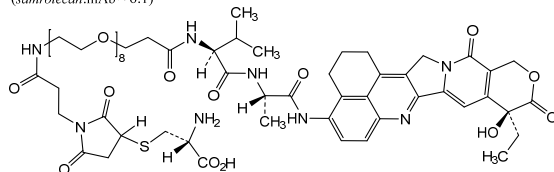
C-terminal lysine clipping / Coupure de la lysine C-terminale / Recorte de lisina C-terminal

H CHS K2: 446, 454"

Modified residues / résidus modifiés / restos modificados*

C (219, 225, 228, 214', 233", 236")

*(*samrotecán*:mAb ~6:1)



p.1185- **trosunilimabum #**
 1186 trosunilimab
 trosunilimab
 trosunilimab

*replace the chemical name by the following one
 remplacer le nom chimique par le suivante
 sustitúyase el nombre químico por lo siguiente*

immunoglobulin G1-kappa, anti-[*Homo sapiens* integrin ITGA4_ITGB7 (integrin alpha4 (CD49d)_beta7, integrin α 4 β 7, lymphocyte Peyer's patch adhesion molecule 1, LPAM-1)]; gamma1 heavy chain (1-442) [VH (*Homo sapiens* IGHV1-69*11 (79.2%) -(IGHD) -IGHJ3*01 (92.3%) M123>T (107), CDR-IMGT [8.8.5] (26-33.51-58.97-101)) (1-112) -*Homo sapiens* IGHG1*03v, G1m3>G1m17, nG1m1 (CH1 R120>K (209) (113-210), hinge 1-15 (211-225), CH2 (226-335), CH3 E12 (351), M14 (353) (336-440), CHS (441-442)) (113-442)], (215-214')-disulfide with kappa light chain (1'-214') [V-KAPPA Musmus/Homsap (*Mus musculus* IGKV14-100*01 (85.3%) -IGKJ1*01 (91.7%) L124>V (104)/*Homo sapiens* IGKV1-33*01 (80.0%) -IGKJ4*01 (100%), CDR-IMGT [6.3.9] (27-32.50-52.89-97)) (1'-107') -*Homo sapiens* IGKC*01 (100%), Km3 A45.1 (153), V101 (191) (108'-214')]; dimer (221-221''-224-224'')-bisdisulfide, produced in Chinese hamster ovary (CHO) cells, glycoform alfa

immunoglobuline G1-kappa, anti-[*Homo sapiens* intégrine ITGA4_ITGB7 (intégrine alpha4 (CD49d)_bêta7, intégrine α 4 β 7, récepteur d'adressage spécifique des plaques de Peyer, LPAM-1)]; chaîne lourde gamma1 (1-442) [VH (*Homo sapiens* IGHV1-69*11 (79.2%) -(IGHD) -IGHJ3*01 (92.3%) M123>T (107), CDR-IMGT [8.8.5] (26-33.51-58.97-101)) (1-112) -*Homo sapiens* IGHG1*03v, G1m3>G1m17, nG1m1 (CH1 R120>K (209) (113-210), charnière 1-15 (211-225), CH2 (226-335), CH3 E12 (351), M14 (353) (336-440), CHS (441-442)) (113-442)], (215-214')-disulfure avec la chaîne légère kappa (1'-214') [V-KAPPA Musmus/Homsap (*Mus musculus* IGKV14-100*01 (85.3%) -IGKJ1*01 (91.7%) L124>V (104)/*Homo sapiens* IGKV1-33*01 (80.0%) -IGKJ4*01 (100%), CDR-IMGT [6.3.9] (27-32.50-52.89-97)) (1'-107') -*Homo sapiens* IGKC*01 (100%), Km3 A45.1 (153), V101 (191) (108'-214')]; dimère (221-221''-224-224'')-bisdisulfure, produit dans des cellules ovariennes de hamster chinois (CHO), glycoforme alfa

immunoglobulina G1-kappa, anti-[*Homo sapiens* integrina ITGA4_ITGB7 (integrina alfa4 (CD49d)_beta7, integrina α 4 β 7, receptor específico de las placas de Peyer, LPAM-1)]; cadena pesada gamma1 (1-442) [VH (*Homo sapiens* IGHV1-69*11 (79.2%) -(IGHD) -IGHJ3*01 (92.3%) M123>T (107), CDR-IMGT [8.8.5] (26-33.51-58.97-101)) (1-112) -*Homo sapiens* IGHG1*03v, G1m3>G1m17, nG1m1 (CH1 R120>K (209) (113-210), bisagra 1-15 (211-225), CH2 (226-335), CH3 E12 (351), M14 (353) (336-440), CHS (441-442)) (113-442)], (215-214')-disulfure con la cadena ligera kappa (1'-214') [V-KAPPA Musmus/Homsap (*Mus musculus* IGKV14-100*01 (85.3%) -IGKJ1*01 (91.7%) L124>V (104)/*Homo sapiens* IGKV1-33*01 (80.0%) -IGKJ4*01 (100%), CDR-IMGT [6.3.9] (27-32.50-52.89-97)) (1'-107') -*Homo sapiens* IGKC*01 (100%), Km3 A45.1 (153), V101 (191) (108'-214')]; dímero (221-221''-224-224'')-bisdisulfuro, producido en las células ováricas de hámster chino (CHO), forma glicosilada alfa

Proposed International Nonproprietary Names (Prop. INN): List 131
Dénominations communes internationales proposées (DCI Prop.): Liste 131
Denominaciones Comunes Internacionales Propuestas (DCI Prop.): Lista 131
(WHO Drug Information, Vol. 38, No. 2, 2024)

p.237-	actinium (²²⁵Ac) alpitatugum satetraxetanum #	
239	actinium (²²⁵ Ac) alpitatug	<i>replace the chemical name and structure by the following ones</i>
	satetraxetan	<i>ones</i>
	actinium (²²⁵ Ac) alpitatug	<i>remplacer le nom chimique et la structure par les suivants</i>
	satétraxétan	
	actinio (²²⁵ Ac) alpitatug	<i>sustitúyase el nombre químico y la estructura por los siguientes</i>
	satetraxetán	

immunoglobulin G1-kappa, anti-[*Homo sapiens* KLK2 (kallikrein-2, kallikrein peptidase 2, kallikrein 2 prostatic)], humanized monoclonal antibody, conjugated to *satetraxetan* (DOTA derivative) and radiolabelled with actinium-225; H-gamma1 heavy chain humanized (1-447) [VH (*Homo sapiens* IGHV4-28*01 (90.7%) -(IGHD) -IGHJ1*01 (100%), CDR-IMGT [9.7.10] (26-34.52-58.97-106)) (1-117) -*Homo sapiens* IGHG1*03v (100%) G1m3>G1m17, nG1m1 CH1 K120, CH3 E12, M14 (CH1 R120>K (214) (118-215), hinge 1-15 (216-230), CH2 (231-340), CH3 E12 (356), M14 (358) (341-445), CHS (446-447)) (118-447)], (220-218')-disulfide with L-kappa light chain humanized (1'-218') [V-KAPPA (*Homo sapiens* IGKV4-1*01 (81.2%) -IGKJ2*01 (100%), CDR-IMGT [10.3.9] (27'-36'.54'-56'.93'-101'')) (1'-111') -*Homo sapiens* IGKC*01 (100%) Km3 A45.1, V101 (C-KAPPA A45.1 (157'), V101 (195')) (112'-218')]; dimer (226-226":229-229")-bisdisulfide, produced in Chinese hamster ovary (CHO) cells, glycoform alfa; conjugated via the side chain nitrogen of an average of 3 lysine residues to (²²⁵Ac)actinium radiolabeled *rac*-(4-[(2R)-1,4,7,10-tetrakis(carboxymethyl)-1,4,7,10-tetraazacyclododecan-2-yl]methyl)phenyl)carbamothioyl (*satetraxetan*)

immunoglobuline G1-kappa, anti-[*Homo sapiens* KLK2 (kallikréine-2, kallikréine peptidase 2, kallikréine prostatique)], anticorps monoclonal humanisé; conjugué au *satétraxétan* (dérivé DOTA) et radiomarké à l'actinium-225; chaîne lourde H-gamma1 humanisée (1-447) [VH (*Homo sapiens* IGHV4-28*01 (90.7%) -(IGHD) -IGHJ1*01 (100%), CDR-IMGT [9.7.10] (26-34.52-58.97-106)) (1-117) -*Homo sapiens* IGHG1*03v (100%) G1m3>G1m17, nG1m1 CH1 K120, CH3 E12, M14 (CH1 R120>K (214) (118-215), charnière 1-15 (216-230), CH2 (231-340), CH3 E12 (356), M14 (358) (341-445), CHS (446-447)) (118-447)], (220-218')-disulfure avec la chaîne légère L-kappa humanisée (1'-218') [V-KAPPA (*Homo sapiens* IGKV4-1*01 (81.2%) -IGKJ2*01 (100%), CDR-IMGT [10.3.9] (27'-36'.54'-56'.93'-101'')) (1'-111') -*Homo sapiens* IGKC*01 (100%) Km3 A45.1, V101 (C-KAPPA A45.1 (157'), V101 (195')) (112'-218')]; dimère (226-226":229-229")-bisdisulfure, produit dans des cellules ovariennes de hamster chinois (CHO), glycoforme alfa; conjugué par l'azote de la chaîne latérale de 3 résidus lysine en moyenne au *rac*-(4-[(2R)-1,4,7,10-tétrakis(carboxyméthyl)-1,4,7,10-tétraazacyclododécane-2-yl]méthyl)phényl)carbamothioyle (*satétraxétan*) et radiomarké au (²²⁵Ac)actinium

inmunoglobulina G1-kappa, anti-[*Homo sapiens* KLK2

(kalikreína-2, kalikreína peptidasa 2, kalikreína prostática)], anticuerpo monoclonal humanizado; conjugado con *satetraxetán* (derivado DOTA) y radiomarcado con el actinio-225; cadena pesada H-gamma1 humanizada (1-447) [VH (*Homo sapiens* IGHV4-28*01 (90.7%) -(IGHD) -IGHJ1*01 (100%), CDR-IMGT [9.7.10] (26-34.52-58.97-106)) (1-117) -*Homo sapiens* IGHG1*03v (100%) G1m3>G1m17, nG1m1 CH1 K120, CH3 E12, M14 (CH1 R120>K (214) (118-215), bisagra 1-15 (216-230), CH2 (231-340), CH3 E12 (356), M14 (358) (341-445), CHS (446-447)) (118-447)], (220-218')-disulfuro con la cadena ligera L-kappa humanizada (1'-218') [V-KAPPA (*Homo sapiens* IGKV4-1*01 (81.2%) -IGKJ2*01 (100%), CDR-IMGT [10.3.9] (27'-36'.54'-56'.93'-101')) (1'-111') -*Homo sapiens* IGKC*01 (100%) Km3 A45.1, V101 (C-KAPPA A45.1 (157'), V101 (195')) (112'-218')]; dímero (226-226":229-229")-bisdisulfuro, producido en las células ováricas de hámster chino (CHO), forma glicosilada alfa; conjugado por el nitrógeno de la cadena lateral de 3 residuos de lisina en promedio al *rac*-(4-[[*(2R)*-1,4,7,10-tetrakis(carboximetil)-1,4,7,10-tetraazaciclododecan-2-il]metil}fenil)carbamotioilo (*satetraxetán*) y radiomarcado con el (²²⁵Ac)actinio

Heavy chain / Chaîne lourde / Cadena pesada

```

QQVQLQESGGP LVKPSDITLSL TCAVGSNSIT SDYAWNIRQ PPGKGLEWIG 50
YISYSGSTTY NPSLKSRTVM SRDTSKNQFS LKLSSTAVD TAVYYCATGY 100
YYSGSGVQGG TLVTVSSAST KGPSVFELAP SSKSTSGCTA ALGCLVKDYF 150
PEPVTYSWNS GALTSGVHTF PAVLQSSSLY SLSSVTVTPS SSLGTQTYIC 200
NWNHKPSNTK VDKKVEPKSC DKHTCTPCP APELLGGPSV FLFFPKFDT 250
LMSIRTPVET CVVVDVSHED PEVKFNWYVD GVEVHNAKTK PREPEQYNSTY 300
RVVSVLTVLH QDWLNGKEYK CKVSNKALPA PIEKTIKAK GQPREPQVYT 350
LPPSREEMTK NQVSLTCLVK GFYPSDIAVE WESNGQPENN YKTTTPVLD 400
DGSFFLYSKL TVDKSRWQQG NWFSCSVMHE ALHNHYTQKS LLSLSPGK 447

```

Light chain / Chaîne légère / Cadena ligera

```

DIVLTQSPDS LAVSLGERAT INCKASESVE YFGTSLMHWY QOKPGQPPKL 50
LIYAAASNRES GVPDRFSGSG SGTDFLTITIS SLQAEADVAVY YCQQTRKVPY 100
TFGQGTLEI KRTVAAPSVF IFPPSDEQLK SGTASVWCLL NNFYPREAKV 150
QWKVDNALQS GNSQESVTEQ DSKDSTYLSL STLTLSKADY EKHKVYACEV 200
THQGLSSPVT KSFNRGEC 218

```

Post-translational modifications

Disulfide bridges location / Position des ponts disulfure / Posiciones de los puentes disulfuro

Intra-H (C23-C104) 22-96 144-200 261-321 367-425
22"-96" 144"-200" 261"-321" 367"-425"

Intra-L (C23-C104) 23'-92' 138'-198'
23'''-92''' 138'''-198'''

Inter-H-L (h 5-CL 126) 220-218" 220"-218"

Inter-H-H (h 11, h 14) 226-226" 229-229"

N-terminal glutaminylation / Cyclisation du glutaminy N-terminal / Ciclación del glutaminylo N-terminal

Q > pyroglutamyl (pE, 5-oxoprolyl) / pyroglutamylo (pE, 5-oxoprolyle) / piroglutaminylo (pE, 5-oxoprolylo)
H VH Q1: 1, 1"

N-glycosylation sites / Sites de N-glycosylation / Posiciones de N-glicosilación

H CH2 N84.4: 297, 297"

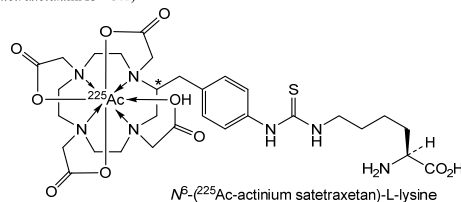
Fucosylated complex bi-antennary CHO-type glycans / glycanes de type CHO bi-antennaires complexes fucosylés / glicanos de tipo CHO biantenarijos complejos fucosilados

C-terminal lysine clipping / Coupe de la lysine C-terminale / Recorte de lisina C-terminal
H CHS K2: 447, 447"

Potential modified residues / résidus modifiés potentiels / restos modificados potenciales*

K (65, 222, 246, 248, 392, 49', 130', 211', 65', 222'', 246'', 248'', 392'', 49'', 130'', 211'')

*(*satetraxetanzmAb* - 3:1)



p.276 **cadapersenum**
-277 cadapersen

cadapersen
cadapersén

*replace the molecular formula by the following one
remplacer la formule moléculaire brute par la suivante
sustitúyase el nombre químico y la fórmula molecular por los
siguientes*

5'-[hidrogenofosfato de (17S,20S)-1-[(2-acetamido-2-desoxi-β-D-galactopiranosil)oxi]-17-{2-[2-(2-{[(2-acetamido-2-desoxi-β-D-galactopiranosil)oxi]etoxi}etoxi)etoxi]acetamido)-20-{1-[(2-acetamido-2-desoxi-β-D-galactopiranosil)oxi]-11-oxo-3,6,9-trioxa-12-azahexadecan-16-il)-11, 18,21-trioxo-3,6,9-trioxa-12, 19,22-triazaoctacosan-28-ilo] de *todo-P-ambo-2'-desoxicidilil-(3'→5')-2'-desoxiadenilil-(3'→5')-5-metil-2'-O,4'-C-metileno-P-tiocitidilil-(3'→5')-5-metil-2'-O,4'-C-metileno-P-tiocitidilil-(3'→5')-P-tiotimidilil-(3'→5')-2'-desoxi-P-tioadenilil-(3'→5')-P-tiotimidilil-(3'→5')-P-tiotimidilil-(3'→5')-P-tiotimidilil-(3'→5')-2'-desoxi-P-tioadenilil-(3'→5')-2'-desoxi-P-tioadenilil-(3'→5')-2'-desoxi-P-tiocitidilil-(3'→5')-2'-desoxi-P-tioadenilil-(3'→5')-P-tiotimidilil-(3'→5')-2'-desoxi-P-tiocitidilil-(3'→5')-2'-O,4'-C-metileno-P-tioguanilil-(3'→5')-2'-O,4'-C-metileno-P-tioadenilil-(3'→5')-5-metil-2'-O,4'-C-metilenocitidina*

C₂₅₉H₃₇₈N₇₆O₁₃₅P₁₉S₁₆

p.356 **isomiosaminum**
isomiosamine
isomiosamine
isomiosamina

*replace the chemical name by the following one
remplacer le nom chimique par le suivant
sustitúyase el nombre químico por el siguiente*

*rac-3-[(2R)-3,4-dihydro-2H-pyrrol-2-yl]pyridine
rac-3-[(2R)-3,4-dihydro-2H-pyrrol-2-yl]pyridine
rac-3-[(2R)-3,4-dihidro-2H-pirrol-2-il]piridina*

p.400-
401 **pangumestrocelum**

pangumestrocel
pangumestrocel
pangumestrocel

*replace the chemical name by the following one
remplacer le nom chimique par le suivant
sustitúyase el nombre químico por el siguiente*

EN, lines 10-12

The final cells express CD73, CD90, and CD105 (≥95%) and are negative for CD34, CD45, CD11b, CD19 and HLA-DR (≤2%).

FR, lignes 11-13

Au final, les cellules expriment CD73, CD90 et CD 105 (≥95%) et sont négatives pour CD34, CD45, CD11b, CD19 et HLA-DR (≤2%).

ES, líneas 10-12

Las células finales expresan CD73, CD90 y CD105 (≥95%) y son negativas para CD34, CD45, CD11b, CD19 y HLA-DR (≤2%).

p.410-
411 **pivicasiranum**

pivicasiran
pivicasiran
pivicasirán

*replace the chemical name by the following one
remplacer le nom chimique par le suivant
sustitúyase el nombre químico por el siguiente*

[(2S,4R)-1-{1-[(2-acetamido-2-deoxy-β-D-galactopyranosyl)oxy]-16,16-bis{(3-[(3-{5-[(2-acetamido-2-deoxy-β-D-galactopyranosyl)oxy]pentanamido)propyl]amino]-3-oxopropoxy)methyl)-5,11,18-trioxo-14-oxa-6,10,17-

triazanonacosan-29-oyl]-4-hydroxypyrrolidin-2-yl]methyl hydrogen

*all-P-ambo-2'-O-methyl-P-thiocytidylyl-(3'→5')-2'-O-methyl-P-thioadenylyl-(3'→5')-2'-O-methyluridylyl-(3'→5')-2'-O-methyluridylyl-(3'→5')-2'-O-methyladenylyl-(3'→5')-2'-O-methylguanylyl-(3'→5')-2'-deoxy-2'-fluoroguanilyl-(3'→5')-2'-O-methyladenylyl-(3'→5')-2'-deoxy-2'-fluorouridylyl-(3'→5')-2'-deoxy-2'-fluoroadenylyl-(3'→5')-2'-deoxy-2'-fluoroadenylyl-(3'→5')-2'-O-methyluridylyl-(3'→5')-2'-O-methylguanylyl-(3'→5')-2'-O-methyluridylyl-(3'→5')-2'-O-methylcytidylyl-(3'→5')-2'-O-methyluridylyl-(3'→5')-2'-O-methyluridylyl-(3'→5')-2'-O-methyladenylyl-(3'→5')-2'-O-methyluridylyl-(3'→5')-2'-O-methylguanylyl-(3'→5')-2'-O-methyl-3'-uridylate duplex with *all-P-ambo-2'-O-methyl-P-thioguanilyl-(5'→3')-2'-O-methyl-P-thioguanilyl-(5'→3')-2'-O-methylguanylyl-(5'→3')-2'-O-methyluridylyl-(5'→3')-2'-O-methyladenylyl-(5'→3')-2'-O-methyladenylyl-(5'→3')-2'-O-methyluridylyl-(5'→3')-2'-deoxy-2'-fluorocytidylyl-(5'→3')-2'-O-methylcytidylyl-(5'→3')-2'-deoxy-2'-fluorouridylyl-(5'→3')-2'-O-methyladenylyl-(5'→3')-2'-O-methyluridylyl-(5'→3')-2'-O-methyluridylyl-(5'→3')-2'-O-methyladenylyl-(5'→3')-2'-deoxy-2'-fluorocytidylyl-(5'→3')-2'-deoxy-2'-fluoroadenylyl-(5'→3')-2'-O-methylguanylyl-(5'→3')-2'-deoxy-2'-fluoroadenylyl-(5'→3')-2'-O-methyladenylyl-(5'→3')-2'-O-methyluridylyl-(5'→3')-2'-O-methyl-P-thioadenylyl-(5'→3')-2'-deoxy-2'-fluoro-P-thiocytidylyl-(5'→3')-2'-O-methyladenosine**

*tout-P-ambo-2'-O-méthyl-P-thiocytidylyl-(3'→5')-2'-O-méthyl-P-thioadénylyl-(3'→5')-2'-O-méthyluridylyl-(3'→5')-2'-O-méthyluridylyl-(3'→5')-2'-O-méthyladénylyl-(3'→5')-2'-O-méthylguanylyl-(3'→5')-2'-désoxy-2'-fluoroguanilyl-(3'→5')-2'-O-méthyladénylyl-(3'→5')-2'-désoxy-2'-fluorouridylyl-(3'→5')-2'-désoxy-2'-fluoroadénylyl-(3'→5')-2'-désoxy-2'-fluoroadénylyl-(3'→5')-2'-O-méthyluridylyl-(3'→5')-2'-O-méthylguanylyl-(3'→5')-2'-O-méthyluridylyl-(3'→5')-2'-O-méthylcytidylyl-(3'→5')-2'-O-méthyluridylyl-(3'→5')-2'-O-méthyluridylyl-(3'→5')-2'-O-méthyladénylyl-(3'→5')-2'-O-méthyluridylyl-(3'→5')-2'-O-méthyluridylyl-(3'→5')-2'-O-méthyladénylyl-(3'→5')-2'-O-méthyluridylyl-(3'→5')-2'-O-méthylguanylyl-(3'→5')-hydrogène-2'-O-méthyl-3'-uridylate de [(2S,4R)-1-{1-[(2-acétamido-2-désoxy-β-D-galactopyranosyl)oxy]-16,16-bis{(3-[(3-{5-[(2-acétamido-2-désoxy-β-D-galactopyranosyl)oxy]pentanamido)propyl)amino]-3-oxopropoxy)méthyl)-5,11,18-trioxo-14-oxa-6,10,17-triazanonacosan-29-oyl]-4-hydroxypyrrolidin-2-yl]méthyle duplex avec *tout-P-ambo-2'-O-méthyl-P-thioguanilyl-(5'→3')-2'-O-méthyl-P-thioguanilyl-(5'→3')-2'-O-méthylguanylyl-(5'→3')-2'-O-méthyluridylyl-(5'→3')-2'-O-méthyladénylyl-(5'→3')-2'-O-méthyladénylyl-(5'→3')-2'-O-méthyluridylyl-(5'→3')-2'-deoxy-2'-fluorocytidylyl-(5'→3')-2'-O-méthylcytidylyl-(5'→3')-2'-deoxy-2'-fluorouridylyl-(5'→3')-2'-O-méthyladénylyl-(5'→3')-2'-O-méthyluridylyl-(5'→3')-2'-O-méthyluridylyl-(5'→3')-2'-O-méthyladénylyl-(5'→3')-2'-deoxy-2'-fluorocytidylyl-(5'→3')-2'-deoxy-2'-fluoroadénylyl-(5'→3')-2'-O-méthylguanylyl-(5'→3')-2'-deoxy-2'-fluoroadénylyl-(5'→3')-2'-O-méthyladénylyl-(5'→3')-2'-O-méthyluridylyl-(5'→3')-2'-O-méthyl-P-thioadénylyl-(5'→3')-2'-deoxy-2'-fluoro-P-thiocytidylyl-(5'→3')-2'-O-méthyladénosine**

todo-P-ambo-2'-O-metil-P-tiocitidilil-(3'→5')-2'-O-metil-P-tioadenilil-(3'→5')-2'-O-metiluridilil-(3'→5')-2'-O-metiluridilil-(3'→5')-2'-O-metiladenilil-(3'→5')-2'-O-metilguanilil-(3'→5')-2'-desoxi-2'-fluoroguanilil-(3'→5')-2'-O-metiladenilil-(3'→5')-2'-

desoxi-2'-fluorouridilil-(3'→5')-2'-desoxi-2'-fluoroadenilil-(3'→5')-2'-desoxi-2'-fluoroadenilil-(3'→5')-2'-O-metiluridilil-(3'→5')-2'-O-metilguanilil-(3'→5')-2'-O-metiluridilil-(3'→5')-2'-O-metilcitidilil-(3'→5')-2'-O-metiluridilil-(3'→5')-2'-O-metiluridilil-(3'→5')-2'-O-metiladenilil-(3'→5')-2'-O-metiluridilil-(3'→5')-2'-O-metilguanilil-(3'→5')-hidrógeno-2'-O-metil-3'-uridilato de [(2S,4R)-1-(1-[(2-acetamido-2-desoxi-β-D-galactopiranosil)oxi]-16,16-bis({3-[(3-{5-[(2-acetamido-2-desoxi-β-D-galactopiranosil)oxi]pentanamido}propil)amino]-3-oxopropoxy}metil)-5,11,18-trioxo-14-oxa-6,10,17-triazanonacosan-29-ol)-4-hidroxipirrolidin-2-il]metilo dúplex con *todo-P-ambo*-2'-O-metil-*P*-tioguanilil-(5'→3')-2'-O-metiluridilil-(5'→3')-2'-O-metilguanilil-(5'→3')-2'-O-metiluridilil-(5'→3')-2'-O-metiladenilil-(5'→3')-2'-O-metiladenilil-(5'→3')-2'-O-metiluridilil-(5'→3')-2'-desoxi-2'-fluorocitidilil-(5'→3')-2'-O-metilcitidilil-(5'→3')-2'-desoxi-2'-fluorouridilil-(5'→3')-2'-O-metiladenilil-(5'→3')-2'-O-metiluridilil-(5'→3')-2'-O-metiluridilil-(5'→3')-2'-O-metiladenilil-(5'→3')-2'-desoxi-2'-fluoroadenilil-(5'→3')-2'-O-metilguanilil-(5'→3')-2'-desoxi-2'-fluoroadenilil-(5'→3')-2'-O-metiladenilil-(5'→3')-2'-O-metiluridilil-(5'→3')-2'-O-metil-*P*-tioadenilil-(5'→3')-2'-desoxi-2'-fluoro-*P*-tiocitidilil-(5'→3')-2'-O-metiladenosina

p.414

plumbum (²¹²Pb) lapemelanotidum zapixetanumlead (²¹²Pb) lapemelanotide zapixetan*replace the molecular formula by the following one*plomb (²¹²Pb) lapémélanotide zapixétan*remplacer la formule moléculaire brute par la suivante*plomo (²¹²Pb) lapemelanotida zapixetán*sustitúyase la fórmula molecular por la siguiente*

p.437-

senvesiranum

438

senvesiran

replace the chemical name by the following one

senvésiran

remplacer le nom chimique par le suivant

senvesirán

sustitúyase el nombre químico por el siguiente

[(2S,4R)-1-{1-[(2-acetamido-2-deoxy-β-D-galactopyranosyl)oxy]-

16,16-bis({3-[(3-{5-[(2-acetamido-2-deoxy-β-D-

galactopyranosyl)oxy]pentanamido}propyl)amino]-3-

oxopropoxy)methyl)-5,11,18-trioxo-14-oxa-6,10,17-

triazanonacosan-29-oyl)-4-hydroxypyrrolidin-2-yl]methyl

hydrogen

all-P-ambo-2'-O-methyl-*P*-thioguanlyl-(3'→5')-2'-O-methyl-*P*-

thiocytidylyl-(3'→5')-2'-O-methyladenylyl-(3'→5')-2'-O-

methylguanylyl-(3'→5')-2'-O-methylguanylyl-(3'→5')-2'-O-

methyladenylyl-(3'→5')-2'-O-methyladenylyl-(3'→5')-2'-O-

methylguanylyl-(3'→5')-2'-deoxy-2'-fluorocytidylyl-(3'→5')-2'-

deoxy-2'-fluoroadenylyl-(3'→5')-2'-deoxy-2'-fluorocytidylyl-

(3'→5')-2'-O-methyluridylyl-(3'→5')-2'-O-methylguanylyl-(3'→5')-

2'-O-methyladenylyl-(3'→5')-2'-O-methylguanylyl-(3'→5')-2'-O-

methyladenylyl-(3'→5')-2'-O-methyluridylyl-(3'→5')-2'-O-

methyluridylyl-(3'→5')-2'-O-methylcytidylyl-(3'→5')-2'-O-

methylguanylyl-(3'→5')-2'-O-methyl-3'-uridylyl

duplex with *all-P-ambo*-2'-O-methyl-*P*-thiocytidylyl-(5'→3')-2'-O-

methyl-*P*-thioadenylyl-(5'→3')-2'-O-methylcytidylyl-(5'→3')-2'-O-

methylguanylyl-(5'→3')-2'-O-methyluridylyl-(5'→3')-2'-O-

metilguanilil-(5'→3')-timidilil-(5'→3')-2'-O-metilguanilil-(5'→3')-2'-O-metiladenilil-(5'→3')-2'-O-metilcytidilil-(5'→3')-2'-O-metiluridilil-(5'→3')-2'-desoxicidilil-(5'→3')-2'-O-metiluridilil-(5'→3')-2'-desoxiadenilil-(5'→3')-2'-O-metiladenilil-(5'→3')-2'-O-metil-P-tioguanilil-(5'→3')-2'-desoxi-P-tiocitidilil-(5'→3')-2'-O-metiladenosina

p.454 **surovatamigum #**
-456 surovatamig
surovatamig
surovatamig

*Please note that the MedNet file has been updated
Veillez noter que le fichier MedNet a été mis à jour
Tenga en cuenta que se ha actualizado el archivo MedNet*

p.485 **vensemaglutidum**
vensemaglutide
vensémaglutide
vensemaglutida

replace the chemical name and molecular formula by the following ones

remplacer le nom chimique et la formule moléculaire par les suivants

sustitúyase el nombre químico y la fórmula molecular por los siguientes

$N^{2,2}$ -[2-[(4S)-4-carboxy-4-(15-carboxypentadecanamido)butanamido]ethyl]- $N^{6,22}$ -[(22S)-22,40-dicarboxy-10,19,24-trioxo-3,6,12,15-tetraoxa-9,18,23-triazatetracontan-1-oyl]-[$E^5>G^1,R^6>G^2,A^8>Aib^4,K^{34}>R^{30}$]human glucagon-like peptide 1(5-37)

$N^{2,2}$ -[2-[(4S)-4-carboxy-4-(15-carboxypentadecanamido)butanamido]éthyl]- $N^{6,22}$ -[(22S)-22,40-dicarboxy-10,19,24-trioxo-3,6,12,15-tétraoxa-9,18,23-triazatétracocontan-1-oyl]-[$E^5>G^1,R^6>G^2,A^8>Aib^4,K^{34}>R^{30}$]peptide 1(5-37) apparenté au glucagon humain (GLP-1(5-37))

$N^{2,2}$ -[2-[(4S)-4-carboxi-4-(15-carboxipentadecanamido)butanamido]etil]- $N^{6,22}$ -[(22S)-22,40-dicarboxi-10,19,24-trioxo-3,6,12,15-tetraoxa-9,18,23-triazatetracontan-1-oil]-[$E^5>G^1,R^6>G^2,A^8>Aib^4,K^{34}>R^{30}$]péptido 1(5-37) similar al glucagón humano (GLP-1(5-37))

$C_{214}H_{337}N_{49}O_{67}$

p.495 **zelebrudomidum**
zelebrudomide
zélébrudomide
zelebrudomida

*replace the CAS registry number by the following one
remplacer le numéro de registre du CAS par le suivant
sustitúyase el número de registro del CAS por el siguiente*

3024312-52-2

ANNEX 1

PROCEDURE FOR THE SELECTION OF RECOMMENDED INTERNATIONAL NONPROPRIETARY NAMES FOR PHARMACEUTICAL SUBSTANCES¹

The following procedure shall be followed by the World Health Organization (hereinafter also referred to as "WHO") in the selection of recommended international nonproprietary names for pharmaceutical substances, in accordance with resolution WHA3.11 of the World Health Assembly, and in the substitution of such names.

Article 1 - Proposals for recommended international nonproprietary names and proposals for substitution of such names shall be submitted to WHO on the form provided therefore. The consideration of such proposals shall be subject to the payment of an administrative fee designed only to cover the corresponding costs of the Secretariat of WHO ("the Secretariat"). The amount of this fee shall be determined by the Secretariat and may, from time to time, be adjusted.

Article 2 - Such proposals shall be submitted by the Secretariat to the members of the Expert Advisory Panel on the International Pharmacopoeia and Pharmaceutical Preparations designated for this purpose, such designated members hereinafter referred to as "the INN Expert Group", for consideration in accordance with the "General principles for guidance in devising International Nonproprietary Names for Pharmaceutical Substances", annexed to this procedure². The name used by the person discovering or first developing and marketing a pharmaceutical substance shall be accepted, unless there are compelling reasons to the contrary.

Article 3 - Subsequent to the examination provided for in article 2, the Secretariat shall give notice that a proposed international nonproprietary name is being considered.

a) Such notice shall be given by publication in *WHO Drug Information*³ and by letter to Member States and to national and regional pharmacopoeia commissions or other bodies designated by Member States.

i) Notice shall also be sent to the person who submitted the proposal ("the original applicant") and other persons known to be concerned with a name under consideration.

b) Such notice shall:

i) set forth the name under consideration;

ii) identify the person who submitted the proposal for naming the substance, if so requested by such person;

iii) identify the substance for which a name is being considered;

iv) set forth the time within which comments and objections will be received and the person and place to whom they should be directed;

v) state the authority under which WHO is acting and refer to these rules of procedure.

c) In forwarding the notice, the Secretariat shall request that Member States take such steps as are necessary to prevent the acquisition of proprietary rights in the proposed name during the period it is under consideration by WHO.

Article 4 - Comments on the proposed name may be forwarded by any person to WHO within four months of the date of publication, under article 3, of the name in *WHO Drug Information*.

¹ See Annex 1 in WHO Technical Report Series, No. 581, 1975. The original text was adopted by the Executive Board in resolution EB15.R7 and amended in resolutions EB43.R9 and EB115.R4.

² See Annex 2.

³ Before 1987, lists of international nonproprietary names were published in the *Chronicle of the World Health Organization*.

Article 5 - A formal objection to a proposed name may be filed by any interested person within four months of the date of publication, under article 3, of the name in *WHO Drug Information*.

Such objection shall:

- i) identify the person objecting;
- ii) state his or her interest in the name;
- iii) set forth the reasons for his or her objection to the name proposed.

Article 6 - Where there is a formal objection under article 5, WHO may either reconsider the proposed name or use its good offices to attempt to obtain withdrawal of the objection. Without prejudice to the consideration by WHO of a substitute name or names, a name shall not be selected by WHO as a recommended international nonproprietary name while there exists a formal objection thereto filed under article 5 which has not been withdrawn.

Article 7 - Where no objection has been filed under article 5, or all objections previously filed have been withdrawn, the Secretariat shall give notice in accordance with subsection (a) of article 3 that the name has been selected by WHO as a recommended international nonproprietary name.

Article 8 - In forwarding a recommended international nonproprietary name to Member States under article 7, the Secretariat shall:

- a) request that it be recognized as the nonproprietary name for the substance; and
- b) request that Member States take such steps as are necessary to prevent the acquisition of proprietary rights in the name and to prohibit registration of the name as a trademark or trade name.

Article 9

a) In the extraordinary circumstance that a previously recommended international nonproprietary name gives rise to errors in medication, prescription or distribution, or a demonstrable risk thereof, because of similarity with another name in pharmaceutical and/or prescription practices, and it appears that such errors or potential errors cannot readily be resolved through other interventions than a possible substitution of a previously recommended international nonproprietary name, or in the event that a previously recommended international nonproprietary name differs substantially from the nonproprietary name approved in a significant number of Member States, or in other such extraordinary circumstances that justify a substitution of a recommended international nonproprietary name, proposals to that effect may be filed by any interested person. Such proposals shall be submitted on the form provided therefore and shall:

- i) identify the person making the proposal;
- ii) state his or her interest in the proposed substitution; and
- iii) set forth the reasons for the proposal; and
- iv) describe, and provide documentary evidence regarding the other interventions undertaken in an effort to resolve the situation, and the reasons why these other interventions were inadequate.

Such proposals may include a proposal for a new substitute international nonproprietary name, devised in accordance with the General principles, which takes into account the pharmaceutical substance for which the new substitute international nonproprietary name is being proposed.

The Secretariat shall forward a copy of the proposal, for consideration in accordance with the procedure described in subsection (b) below, to the INN Expert Group and the original applicant or its successor (if different from the person bringing the proposal for substitution and provided that the original applicant or its successor is known or can be found through diligent effort, including contacts with industry associations).

In addition, the Secretariat shall request comments on the proposal from:

- i) Member States and national and regional pharmacopoeia commissions or other bodies designated by Member States (by including a notice to that effect in the letter referred to in article 3(a), and
- ii) any other persons known to be concerned by the proposed substitution.

The request for comments shall:

- i) state the recommended international nonproprietary name that is being proposed for substitution (and the proposed substitute name, if provided);
- ii) identify the person who submitted the proposal for substitution (if so requested by such person);
- iii) identify the substance to which the proposed substitution relates and reasons put forward for substitution;
- iv) set forth the time within which comments will be received and the person and place to whom they should be directed; and
- v) state the authority under which WHO is acting and refer to these rules of procedure.

Comments on the proposed substitution may be forwarded by any person to WHO within four months of the date of the request for comments.

b) After the time period for comments referred to above has elapsed, the Secretariat shall forward any comments received to the INN Expert Group, the original applicant or its successor and the person bringing the proposal for substitution. If, after consideration of the proposal for substitution and the comments received, the INN Expert Group, the person bringing the proposal for substitution and the original applicant or its successor all agree that there is a need to substitute the previously recommended international nonproprietary name, the Secretariat shall submit the proposal for substitution to the INN Expert Group for further processing. Notwithstanding the foregoing, the original applicant or its successor shall not be entitled to withhold agreement to a proposal for substitution in the event the original applicant or its successor has no demonstrable continuing interest in the recommended international nonproprietary name proposed for substitution.

In the event that a proposal for substitution shall be submitted to the INN Expert Group for further processing, the INN Expert Group will select a new international nonproprietary name in accordance with the General principles referred to in article 2 and the procedure set forth in articles 3 to 8 inclusive. The notices to be given by the Secretariat under article 3 and article 7, respectively, including to the original applicant or its successor (if not the same as the person proposing the substitution, and provided that the original applicant or its successor is known or can be found through diligent effort, including contacts with industry associations), shall in such event indicate that the new name is a substitute for a previously recommended international nonproprietary name and that Member States may wish to make transitional arrangements in order to accommodate existing products that use the previously recommended international nonproprietary name on their label in accordance with national legislation.

If, after consideration of the proposal for substitution and the comments received in accordance with the procedure described above, the INN Expert Group, the original applicant or its successor and the person bringing the proposal for substitution do not agree that there are compelling reasons for substitution of a previously recommended international nonproprietary name, this name shall be retained (provided always that the original applicant or its successor shall not be entitled to withhold agreement to a proposal for substitution in the event that the original applicant or its successor has no demonstrable continuing interest in the recommended international nonproprietary name proposed to be substituted). In such an event, the Secretariat shall advise the person having proposed the substitution, as well as the original applicant or its

successor (if not the same as the person proposing the substitution, and provided that the original applicant or its successor is known or can be found through diligent effort, including contacts with industry associations), Member States, national and regional pharmacopoeia commissions, other bodies designated by Member States, and any other persons known to be concerned by the proposed substitution that, despite a proposal for substitution, it has been decided to retain the previously recommended international nonproprietary name (with a description of the reason(s) why the proposal for substitution was not considered sufficiently compelling).

ANNEX 2

GENERAL PRINCIPLES FOR GUIDANCE IN DEVISING INTERNATIONAL NONPROPRIETARY NAMES FOR PHARMACEUTICAL SUBSTANCES¹

1. International Nonproprietary Names (INN) should be distinctive in sound and spelling. They should not be inconveniently long and should not be liable to confusion with names in common use.

2. The INN for a substance belonging to a group of pharmacologically related substances should, where appropriate, show this relationship. Names that are likely to convey to a patient an anatomical, physiological, pathological or therapeutic suggestion should be avoided.

These primary principles are to be implemented by using the following secondary principles:

3. In devising the INN of the first substance in a new pharmacological group, consideration should be given to the possibility of devising suitable INN for related substances, belonging to the new group.

4. In devising INN for acids, one-word names are preferred; their salts should be named without modifying the acid name, e.g. "oxacillin" and "oxacillin sodium", "ibufenac" and "ibufenac sodium".

5. INN for substances which are used as salts should in general apply to the active base or the active acid. Names for different salts or esters of the same active substance should differ only in respect of the name of the inactive acid or the inactive base.

For quaternary ammonium substances, the cation and anion should be named appropriately as separate components of a quaternary substance and not in the amine-salt style.

6. The use of an isolated letter or number should be avoided; hyphenated construction is also undesirable.

7. To facilitate the translation and pronunciation of INN, "f" should be used instead of "ph", "t" instead of "th", "e" instead of "ae" or "oe", and "i" instead of "y"; the use of the letters "h" and "k" should be avoided.

8. Provided that the names suggested are in accordance with these principles, names proposed by the person discovering or first developing and marketing a pharmaceutical preparation, or names already officially in use in any country, should receive preferential consideration.

9. Group relationship in INN (see General principle 2) should if possible be shown by using a common stem. The following list contains examples of stems for groups of substances, particularly for new groups. There are many other stems in active use.² Where a stem is shown without any hyphens it may be used anywhere in the name.

¹ In its Twentieth report (WHO Technical Report Series, No. 581, 1975), the WHO Expert committee on Nonproprietary Names for Pharmaceutical Substances reviewed the general principles for devising, and the procedures for selecting, INN in the light of developments in pharmaceutical compounds in recent years. The most significant change has been the extension to the naming of synthetic chemical substances of the practice previously used for substances originating in or derived from natural products. This practice involves the use of a characteristic "stem" indicative of a common property of the members of a group. The reason for, and the implications of, the change are fully discussed.

The guiding principles were updated during the 13th consultation on nonproprietary names for pharmaceutical substances (Geneva, 27-29 April 1983) (PHARM S/NOM 928 13 May 1983, revised 18 August 1983).

² A more extensive listing of stems is contained in the working document WHO/EMP/RHT/TSN/2018.1 which is regularly updated and can be requested from the INN Programme, WHO, Geneva.

Latin	English	
-acum	-ac	anti-inflammatory agents, ibufenac derivatives
-adolum	-adol }	analgesics
-adol-	-adol-}	
-astum	-ast	
-astinum	-astine	antiasthmatic, antiallergic substances not acting primarily as antihistaminics
-azepamum	-azepam	antihistaminics
bol	bol	diazepam derivatives
-cain-	-cain-	steroids, anabolic
 		class I antiarrhythmics, procainamide and lidocaine derivatives
-cainum	-caine	local anaesthetics
cef-	cef-	antibiotics, cephalosporanic acid derivatives
-cillinum	-cillin	antibiotics, 6-aminopenicillanic acid derivatives
-conazolom	-conazole	systemic antifungal agents, miconazole derivatives
cort	cort	corticosteroids, except prednisolone derivatives
-coxibum	-coxib	selective cyclo-oxygenase inhibitors
-entanum	-entan	endothelin receptor antagonists
gab	gab	gabamimetic agents
gado-	gado-	diagnostic agents, gadolinium derivatives
-gatrnam	-gatrnam	thrombin inhibitors, antithrombotic agents
gest	gest	steroids, progestogens
gli	gli	antihyperglycaemics
io-	io-	iodine-containing contrast media
-metacinum	-metacin	anti-inflammatory, indometacin derivatives
-mycinum	-mycin	antibiotics, produced by <i>Streptomyces</i> strains
-nidazolom	-nidazole	antiprotozoal substances, metronidazole derivatives
-ololum	-olol	β-adrenoreceptor antagonists
-oxacinum	-oxacin	antibacterial agents, nalidixic acid derivatives
-platinum	-platin	antineoplastic agents, platinum derivatives
-poetinum	-poetin	erythropoietin type blood factors
-pril(at)um	-pril(at)	angiotensin-converting enzyme inhibitors
-profenum	-profen	anti-inflammatory substances, ibuprofen derivatives
prost	prost	prostaglandins
-relinum	-relin	pituitary hormone release-stimulating peptides
-sartanum	-sartan	angiotensin II receptor antagonists, antihypertensive (non-peptidic)
-vaptanum	-vaptan	vasopressin receptor antagonists
vin-	vin- }	vinca-type alkaloids
-vin-	-vin-}	

ANNEXE 1

PROCEDURE A SUIVRE EN VUE DU CHOIX DE DENOMINATIONS COMMUNES INTERNATIONALES RECOMMANDEES POUR LES SUBSTANCES PHARMACEUTIQUES¹

L'Organisation mondiale de la Santé (également désignée ci-après sous l'appellation « OMS ») observe la procédure exposée ci-dessous pour l'attribution de dénominations communes internationales recommandées pour les substances pharmaceutiques, conformément à la résolution WHA3.11 de l'Assemblée mondiale de la Santé, et pour le remplacement de telles dénominations.

Article 1 - Les propositions de dénominations communes internationales recommandées et les propositions de remplacement de telles dénominations sont soumises à l'OMS sur la formule prévue à cet effet. L'examen de telles propositions est soumis au paiement d'une taxe administrative destinée uniquement à couvrir les coûts correspondants assumés par le Secrétariat de l'OMS (« le Secrétariat »). Le montant de cette taxe est déterminé par le Secrétariat et peut être modifié de temps à autre.

¹ Voir annexe 1 dans OMS, Série de Rapports techniques, N° 581, 1975. Le texte original a été adopté par le Conseil exécutif dans sa résolution EB15.R7 et amendé dans ses résolutions EB43.R9 et EB115.R4.

Article 2 - Ces propositions sont soumises par le Secrétariat aux experts désignés à cette fin parmi les personnalités inscrites au Tableau d'experts de la Pharmacopée internationale et des Préparations pharmaceutiques, ci-après désignés sous l'appellation « le Groupe d'experts des DCI » ; elles sont examinées par les experts conformément aux « Directives générales pour la formation de dénominations communes internationales pour les substances pharmaceutiques » reproduites ci-après¹. La dénomination acceptée est la dénomination employée par la personne qui découvre ou qui, la première, fabrique et lance sur le marché une substance pharmaceutique, à moins que des raisons majeures n'obligent à s'écarter de cette règle.

Article 3 - Après l'examen prévu à l'article 2, le Secrétariat notifie qu'un projet de dénomination commune internationale est à l'étude.

a) Cette notification est faite par une insertion dans *WHO Drug Information*² et par l'envoi d'une lettre aux Etats Membres et aux commissions nationales et régionales de pharmacopée ou autres organismes désignés par les Etats Membres.

i) Notification est également faite à la personne qui a soumis la proposition (« le demandeur initial ») et à d'autres personnes portant à la dénomination mise à l'étude un intérêt notoire.

b) Cette notification contient les indications suivantes :

i) dénomination mise à l'étude;

ii) nom de l'auteur de la proposition tendant à attribuer une dénomination à la substance, si cette personne le demande ;

iii) définition de la substance dont la dénomination est mise à l'étude ;

iv) délai pendant lequel seront reçues les observations et les objections à l'égard de cette dénomination ; nom et adresse de la personne habilitée à recevoir ces observations et objections ;

v) mention des pouvoirs en vertu desquels agit l'OMS et référence au présent règlement.

c) En envoyant cette notification, le Secrétariat demande aux Etats Membres de prendre les mesures nécessaires pour prévenir l'acquisition de droits de propriété sur la dénomination proposée pendant la période au cours de laquelle cette dénomination est mise à l'étude par l'OMS.

Article 4 - Des observations sur la dénomination proposée peuvent être adressées à l'OMS par toute personne, dans les quatre mois qui suivent la date de publication de la dénomination dans *WHO Drug Information* (voir l'article 3).

Article 5 - Toute personne intéressée peut formuler une objection formelle contre la dénomination proposée dans les quatre mois qui suivent la date de publication de la dénomination dans *WHO Drug Information* (voir l'article 3).

Cette objection doit s'accompagner des indications suivantes :

i) nom de l'auteur de l'objection ;

ii) intérêt qu'il ou elle porte à la dénomination en cause ;

iii) raisons motivant l'objection contre la dénomination proposée.

Article 6 - Lorsqu'une objection formelle est formulée en vertu de l'article 5, l'OMS peut soit soumettre la dénomination proposée à un nouvel examen, soit intervenir pour tenter d'obtenir le retrait de l'objection. Sans préjudice de l'examen par l'OMS d'une ou de plusieurs appellations de

¹ Voir annexe 2.

² Avant 1987, les listes de dénominations communes internationales étaient publiées dans la *Chronique de l'Organisation mondiale de la Santé*.

remplacement, l'OMS n'adopte pas d'appellation comme dénomination commune internationale recommandée tant qu'une objection formelle présentée conformément à l'article 5 n'est pas levée.

Article 7 - Lorsqu'il n'est formulé aucune objection en vertu de l'article 5, ou que toutes les objections présentées ont été levées, le Secrétariat fait une notification conformément aux dispositions du paragraphe a) de l'article 3, en indiquant que la dénomination a été choisie par l'OMS en tant que dénomination commune internationale recommandée.

Article 8 - En communiquant aux Etats Membres, conformément à l'article 7, une dénomination commune internationale recommandée, le Secrétariat :

- a) demande que cette dénomination soit reconnue comme dénomination commune de la substance considérée ; et
- b) demande aux Etats Membres de prendre les mesures nécessaires pour prévenir l'acquisition de droits de propriété sur cette dénomination et interdire le dépôt de cette dénomination comme marque ou appellation commerciale.

Article 9 -

a) Dans le cas exceptionnel où une dénomination commune internationale déjà recommandée donne lieu à des erreurs de médication, de prescription ou de distribution ou en comporte un risque démontrable, en raison d'une similitude avec une autre appellation dans la pratique pharmaceutique et/ou de prescription, et où il apparaît que ces erreurs ou ces risques d'erreur ne peuvent être facilement évités par d'autres interventions que le remplacement éventuel d'une dénomination commune internationale déjà recommandée, ou dans le cas où une dénomination commune internationale déjà recommandée diffère sensiblement de la dénomination commune approuvée dans un nombre important d'Etats Membres, ou dans d'autres circonstances exceptionnelles qui justifient le remplacement d'une dénomination commune internationale recommandée, toute personne intéressée peut formuler une proposition dans ce sens. Cette proposition est présentée sur la formule prévue à cet effet et doit s'accompagner des indications suivantes :

- i) nom de l'auteur de la proposition ;
- ii) intérêt qu'il ou elle porte au remplacement proposé ;
- iii) raisons motivant la proposition ; et
- iv) description, faits à l'appui, des autres interventions entreprises pour tenter de régler le problème et exposé des raisons pour lesquelles ces interventions ont échoué.

Les propositions peuvent comprendre une proposition de nouvelle dénomination commune internationale de remplacement, établie conformément aux Directives générales, compte tenu de la substance pharmaceutique pour laquelle la nouvelle dénomination commune internationale de remplacement est proposée.

Le Secrétariat transmet une copie de la proposition pour examen, conformément à la procédure exposée plus loin au paragraphe b), au Groupe d'experts des DCI et au demandeur initial ou à son successeur (s'il s'agit d'une personne différente de celle qui a formulé la proposition de remplacement et pour autant que le demandeur initial ou son successeur soit connu ou puisse être retrouvé moyennant des efforts diligents, notamment des contacts avec les associations industrielles).

De plus, le Secrétariat demande aux entités et personnes ci-après de formuler des observations sur la proposition :

- i) les Etats Membres et les commissions nationales et régionales de pharmacopée ou d'autres organismes désignés par les Etats Membres (en insérant une note à cet effet dans la lettre mentionnée à l'article 3.a), et
- ii) toutes autres personnes portant au remplacement proposé un intérêt notoire.

La demande d'observations contient les indications suivantes :

i) dénomination commune internationale recommandée pour laquelle un remplacement est proposé (et la dénomination de remplacement proposée, si elle est fournie) ;

ii) nom de l'auteur de la proposition de remplacement (si cette personne le demande) ;

iii) définition de la substance faisant l'objet du remplacement proposé et raisons avancées pour le remplacement ;

iv) délai pendant lequel seront reçus les commentaires et nom et adresse de la personne habilitée à recevoir ces commentaires ; et

v) mention des pouvoirs en vertu desquels agit l'OMS et référence au présent règlement.

Des observations sur la proposition de remplacement peuvent être communiquées par toute personne à l'OMS dans les quatre mois qui suivent la date de la demande d'observations.

b) Une fois échu le délai prévu ci-dessus pour la communication d'observations, le Secrétariat transmet les observations reçues au Groupe d'experts des DCI, au demandeur initial ou à son successeur et à l'auteur de la proposition de remplacement. Si, après avoir examiné la proposition de remplacement et les observations reçues, le Groupe d'experts des DCI, l'auteur de la proposition de remplacement et le demandeur initial ou son successeur reconnaissent tous qu'il est nécessaire de remplacer la dénomination commune internationale déjà recommandée, le Secrétariat soumet la proposition de remplacement au Groupe d'experts des DCI pour qu'il y donne suite.

Nonobstant ce qui précède, le demandeur initial ou son successeur n'est pas habilité à refuser son accord à une proposition de remplacement au cas où il ne peut être démontré qu'il porte un intérêt durable à la dénomination commune internationale recommandée qu'il est proposé de remplacer.

Dans le cas où une proposition de remplacement est soumise au Groupe d'experts des DCI pour qu'il y donne suite, le Groupe choisit une nouvelle dénomination commune internationale conformément aux Directives générales mentionnées à l'article 2 et selon la procédure décrite dans les articles 3 à 8 inclus. La notification faite par le Secrétariat en vertu de l'article 3 et de l'article 7, respectivement, y compris au demandeur initial ou à son successeur (si ce n'est pas la même personne que celle qui a proposé le remplacement et pour autant que le demandeur initial ou son successeur soit connu ou puisse être retrouvé moyennant des efforts diligents, notamment des contacts avec les associations industrielles), doit dans un tel cas indiquer que la nouvelle dénomination remplace une dénomination commune internationale déjà recommandée et que les Etats Membres peuvent souhaiter prendre des mesures transitoires pour les produits existants qui utilisent la dénomination commune internationale déjà recommandée sur leur étiquette conformément à la législation nationale.

Si, après examen de la proposition de remplacement et des observations communiquées conformément à la procédure exposée plus haut, le Groupe d'experts des DCI, le demandeur initial ou son successeur et l'auteur de la proposition de remplacement ne s'accordent pas sur le fait qu'il y a des raisons impératives de remplacer une dénomination commune internationale déjà recommandée, cette dernière est conservée (étant entendu toujours que le demandeur initial ou son successeur n'est pas habilité à refuser son accord à une proposition de remplacement au cas où il ne peut être démontré qu'il porte un intérêt durable à la dénomination commune internationale recommandée qu'il est proposé de remplacer). Dans un tel cas, le Secrétariat informe l'auteur de la proposition de remplacement, ainsi que le demandeur initial ou son successeur (s'il s'agit d'une personne différente de celle qui a formulé la proposition de remplacement et pour autant que le demandeur initial ou son successeur soit connu ou puisse être retrouvé moyennant des efforts diligents, notamment des contacts avec les associations industrielles), les Etats Membres, les commissions nationales et régionales de pharmacopée, les autres organismes désignés par les Etats Membres et toutes autres personnes portant un intérêt notoire au remplacement proposé que, malgré une proposition de remplacement, il a été décidé de conserver la dénomination commune internationale déjà recommandée (avec une brève description de la ou des raisons pour lesquelles la proposition de remplacement n'a pas été jugée suffisamment impérative).

ANNEXE 2

DIRECTIVES GENERALES POUR LA FORMATION DE DENOMINATIONS COMMUNES INTERNATIONALES APPLICABLES AUX SUBSTANCES PHARMACEUTIQUES¹

1. Les dénominations communes internationales (DCI) devront se distinguer les unes des autres par leur consonance et leur orthographe. Elles ne devront pas être d'une longueur excessive, ni prêter à confusion avec des appellations déjà couramment employées.

2. La DCI de chaque substance devra, si possible, indiquer sa parenté pharmacologique. Les dénominations susceptibles d'évoquer pour les malades des considérations anatomiques, physiologiques, pathologiques ou thérapeutiques devront être évitées dans la mesure du possible.

Outre ces deux principes fondamentaux, on respectera les principes secondaires suivants :

3. Lorsqu'on formera la DCI de la première substance d'un nouveau groupe pharmacologique, on tiendra compte de la possibilité de former ultérieurement d'autres DCI appropriées pour les substances apparentées du même groupe.

4. Pour former des DCI des acides, on utilisera de préférence un seul mot. Leurs sels devront être désignés par un terme qui ne modifie pas le nom de l'acide d'origine : par exemple «oxacilline» et «oxacilline sodique», «ibufénac» et «ibufénac sodique».

5. Les DCI pour les substances utilisées sous forme de sels devront en général s'appliquer à la base active (ou à l'acide actif). Les dénominations pour différents sels ou esters d'une même substance active ne différeront que par le nom de l'acide inactif (ou de la base inactif). En ce qui concerne les substances à base d'ammonium quaternaire, la dénomination s'appliquera de façon appropriée au cation et à l'anion en tant qu'éléments distincts d'une substance quaternaire. On évitera de choisir une désignation évoquant un sel aminé.

6. On évitera d'ajouter une lettre ou un chiffre isolé ; en outre, on renoncera de préférence au trait d'union.

7. Pour simplifier la traduction et la prononciation des DCI, la lettre « f » sera utilisée à la place de « ph », « t » à la place de « th », « e » à la place de « ae » ou « oe », et « i » à la place de « y » ; l'usage des lettres « h » et « k » sera aussi évité.

8. On retiendra de préférence, pour autant qu'elles respectent les principes énoncés ici, les dénominations proposées par les personnes qui ont découvert ou qui, les premières, ont fabriqué et lancé sur le marché les préparations pharmaceutiques considérées, ou les dénominations déjà officiellement adoptées par un pays.

9. La parenté entre substances d'un même groupe (voir Directive générale 2) sera si possible indiquée dans les DCI par l'emploi de segments-clés communs. La liste ci-après contient des exemples de segments-clés pour des groupes de substances, surtout pour des groupes récents. Il y a beaucoup d'autres segments-clés en utilisation active.² Les segments-clés indiqués sans trait d'union pourront être insérés n'importe où dans une dénomination.

¹ Dans son vingtième rapport (OMS, Série de Rapports techniques, N° 581, 1975), le Comité OMS d'experts des Dénominations communes pour les Substances pharmaceutiques a examiné les directives générales pour la formation des dénominations communes internationales et la procédure à suivre en vue de leur choix, compte tenu de l'évolution du secteur pharmaceutique au cours des dernières années. La modification la plus importante a été l'extension aux substances de synthèse de la pratique normalement suivie pour désigner les substances tirées ou dérivées de produits naturels. Cette pratique consiste à employer des syllabes communes ou groupes de syllabes communes (segments-clés) qui sont caractéristiques et indiquent une propriété commune aux membres du groupe des substances pour lequel ces segments-clés ont été retenus. Les raisons et les conséquences de cette modification ont fait l'objet de discussions approfondies.

Les directives ont été mises à jour lors de la treizième consultation sur les dénominations communes pour les substances pharmaceutiques (Genève, 27-29 avril 1983) (PHARM S/NOM 928, 13 mai 1983, révision en date du 18 août 1983).

² Une liste plus complète de segments-clés est contenue dans le document de travail WHO/EMP/RHT/TSN/2018.1 qui est régulièrement mis à jour et qui peut être demandé auprès du programme des DCI, OMS, Genève

Latin	Français	
-acum	-ac	substances anti-inflammatoires du groupe de l'ibufénac analgésiques
-adolom	-adol }	
-adol-	-adol- }	
-astum	-ast	antiasthmatiques, antiallergiques n'agissant pas principalement en tant qu'antihistaminiques
-astinum	-astine	antihistaminiques
-azepamum	-azépam	substances du groupe du diazépam
bol	bol	stéroïdes anabolisants
-caïn-	-caïne-	antiarythmiques de classe I, dérivés du procaïnamide et de la lidocaïne
-caïnum	-caïne	anesthésiques locaux
cef-	céf-	antibiotiques, dérivés de l'acide céphalosporanique
-cillinum	-cilline	antibiotiques, dérivés de l'acide 6-aminopénicillanique
-conazolom	-conazole	agents antifongiques systémiques du groupe du miconazole
cort	cort	corticostéroïdes, autres que les dérivés de la prednisolone
-coxibum	-coxib	inhibiteurs sélectifs de la cyclo-oxygénase
-entanum	-entan	antagonistes du récepteur de l'endothéline
gab	gab	gabamimétiques
gado-	gado-	agents diagnostiques, dérivés du gadolinium
-gatronum	-gatron	antithrombines, antithrombotiques
gest	gest	stéroïdes progestogènes
gli	gli	antihyperglycémiants
io-	io-	produits de contraste iodés
-metacinum	-métacine	substances anti-inflammatoires du groupe de l'indométacine
-mycinum	-mycine	antibiotiques produits par des souches de <i>Streptomyces</i>
-nidazolom	-nidazole	substances antiprotozoaires du groupe du métronidazole
-ololum	-olol	antagonistes des récepteurs β-adrénergiques
-oxacinum	-oxacine	substances antibactériennes du groupe de l'acide nalidixique
-platinum	-platine	antineoplasiques, dérivés du platine
-poetinum	-poétine	facteurs sanguins de type érythropoïétine
-pril(at)um	-pril(ate)	inhibiteurs de l'enzyme de conversion de l'angiotensine
-profenum	-profène	substances anti-inflammatoires du groupe de l'ibuprofène
prost	prost	prostaglandines
-relinum	-réline	peptides stimulant la libération d'hormones hypophysaires
-sartanum	-sartan	antagonistes d'un récepteur de l'angiotensine II, antihypertenseurs (non peptidiques)
-vaptanum	-vaptan	antagonistes du récepteur de la vasopressine
vin-	vin- }	alcaloïdes du type vinca
-vin-	-vin- }	

ANEXO 1

**PROCEDIMIENTO DE SELECCIÓN DE DENOMINACIONES
COMUNES INTERNACIONALES RECOMENDADAS PARA
SUSTANCIAS FARMACÉUTICAS¹**

La Organización Mundial de la Salud (OMS) seguirá el procedimiento que se expone a continuación tanto para seleccionar denominaciones comunes internacionales recomendadas para las sustancias farmacéuticas, de conformidad con lo dispuesto en la resolución WHA3.11, como para sustituir esas denominaciones.

Artículo 1 - Las propuestas de denominaciones comunes internacionales recomendadas y las propuestas de sustitución de esas denominaciones se presentarán a la OMS en los formularios que se proporcionen a estos efectos. El estudio de estas propuestas estará sujeto al pago de una tasa destinada a sufragar los costos de administración que ello suponga para la Secretaría de la OMS («la Secretaría»). La Secretaría establecerá la cuantía de esa tasa y podrá ajustarla periódicamente.

Artículo 2 - Estas propuestas serán sometidas por la Secretaría a los miembros del Cuadro de Expertos en Farmacopea Internacional y Preparaciones Farmacéuticas encargados de su estudio, en adelante designados como «el Grupo de Expertos en DCI», para que las examinen de conformidad con los «Principios generales de orientación para formar denominaciones comunes internacionales para sustancias farmacéuticas», anexos a este procedimiento.² A menos que haya poderosas razones en contra, la denominación aceptada será la empleada por la persona que haya descubierto o fabricado y comercializado por primera vez esa sustancia farmacéutica.

Artículo 3 - Tras el examen al que se refiere el artículo 2, la Secretaría notificará que está en estudio un proyecto de denominación internacional.

a) Esa notificación se hará mediante una publicación en *Información Farmacéutica OMS*³ y el envío de una carta a los Estados Miembros y a las comisiones nacionales y regionales de las farmacopeas u otros organismos designados por los Estados Miembros.

i) La notificación será enviada también a la persona que haya presentado la propuesta («el solicitante inicial») y a otras personas que tengan un interés especial en una denominación objeto de estudio.

b) En esa notificación se incluirán los siguientes datos:

i) la denominación sometida a estudio;

ii) la identidad de la persona que ha presentado la propuesta de denominación de la sustancia, si lo pide esa persona;

iii) la identidad de la sustancia cuya denominación está en estudio;

iv) el plazo fijado para recibir observaciones y objeciones, así como el nombre y la dirección de la persona a quien deban dirigirse; y

v) los poderes conferidos para el caso a la OMS y una referencia al presente procedimiento.

¹ Véase el anexo 1 en OMS, Serie de Informes Técnicos, Nº 581, 1975. El texto vigente fue adoptado por el Consejo Ejecutivo en su resolución EB15.R7 y modificado en las resoluciones EB43.R9 y EB115.R4..

² Véase el anexo 2.

³ Hasta 1987 las listas de DCI se publicaban en la *Crónica de la Organización Mundial de la Salud*.

c) Al enviar esa notificación, la Secretaría solicitará de los Estados Miembros la adopción de todas las medidas necesarias para impedir la adquisición de derechos de patente sobre la denominación propuesta, durante el periodo en que la OMS la tenga en estudio.

Artículo 4 - Toda persona puede formular a la OMS observaciones sobre la denominación propuesta dentro de los cuatro meses siguientes a su publicación en *Información Farmacéutica OMS*, conforme a lo dispuesto en el artículo 3.

Artículo 5 - Toda persona interesada puede presentar una objeción formal a una denominación propuesta dentro de los cuatro meses siguientes a su publicación en *Información Farmacéutica OMS*, conforme a lo dispuesto en el artículo 3.

Esa objeción deberá acompañarse de los siguientes datos:

- i) la identidad de la persona que formula la objeción;
- ii) las causas que motivan su interés por la denominación; y
- iii) las causas que motivan su objeción a la denominación propuesta.

Artículo 6 - Cuando se haya presentado una objeción formal en la forma prevista en el artículo 5, la OMS podrá reconsiderar el nombre propuesto o utilizar sus buenos oficios para intentar lograr que se retire la objeción. La OMS no seleccionará como denominación común internacional una denominación a la que se haya hecho una objeción formal, presentada según lo previsto en el artículo 5, que no haya sido retirada, todo ello sin perjuicio de que la Organización examine otra denominación o denominaciones sustitutivas.

Artículo 7 - Cuando no se haya formulado ninguna objeción en la forma prevista en el artículo 5, o cuando todas las objeciones presentadas hayan sido retiradas, la Secretaría notificará, conforme a lo dispuesto en el párrafo a) del artículo 3, que la denominación ha sido seleccionada por la OMS como denominación común internacional recomendada.

Artículo 8 - Al comunicar a los Estados Miembros una denominación común internacional, conforme a lo previsto en el artículo 7, la Secretaría:

a) solicitará que esta denominación sea reconocida como denominación común para la sustancia de que se trate; y

b) solicitará a los Estados Miembros que adopten todas las medidas necesarias para impedir la adquisición de derechos de patente sobre la denominación, y prohíban que sea registrada como marca de fábrica o como nombre comercial.

Artículo 9

a) En el caso excepcional de que, debido a su semejanza con otra denominación utilizada en las prácticas farmacéuticas y/o de prescripción, una denominación común internacional recomendada anteriormente ocasione errores de medicación, prescripción o distribución, o suponga un riesgo manifiesto de que esto ocurra, y parezca que tales errores o potenciales errores no sean fácilmente subsanables con otras medidas que no sean la posible sustitución de esa denominación común internacional recomendada anteriormente; en el caso de que una denominación común internacional recomendada anteriormente difiera considerablemente de la denominación común aprobada en un número importante de Estados Miembros, o en otras circunstancias excepcionales que justifiquen el cambio de una denominación común internacional recomendada, cualquier persona interesada puede presentar propuestas en este sentido. Esas propuestas se presentarán en los formularios que se proporcionen a estos efectos e incluirán los siguientes datos:

- i) la identidad de la persona que presenta la propuesta;
- ii) las causas que motivan su interés en la sustitución propuesta;
- iii) las causas que motivan la propuesta; y

iv) una descripción, acompañada de pruebas documentales, de las otras medidas que se hayan adoptado con el fin de resolver la situación y de los motivos por los cuales dichas medidas no han sido suficientes.

Entre esas propuestas podrá figurar una relativa a una nueva denominación común internacional sustitutiva, formulada con arreglo a los Principios generales y que tenga en cuenta la sustancia farmacéutica para la que se proponga la nueva denominación común internacional sustitutiva.

La Secretaría enviará al Grupo de Expertos en DCI y al solicitante inicial o a su sucesor (en el caso de que sea una persona diferente de la que ha presentado la propuesta de sustitución y siempre que el solicitante inicial o su sucesor sean conocidos o puedan ser encontrados mediante esfuerzos diligentes, como el contacto con las asociaciones industriales) una copia de la propuesta, para que sea examinada de conformidad con el procedimiento descrito en el párrafo *b) infra*.

Además, la Secretaría solicitará observaciones sobre la propuesta:

i) a los Estados Miembros y a las comisiones nacionales y regionales de las farmacopeas u otros organismos designados por los Estados Miembros (ello se hará incluyendo una notificación a tal efecto en la carta a la que se refiere el párrafo a) del artículo 3), y

ii) a cualquier persona que tenga un interés especial en la sustitución propuesta.

Al solicitar que se formulen estas observaciones se facilitarán los siguientes datos:

i) la denominación común internacional recomendada que se propone sustituir (y la denominación sustitutiva propuesta, si se ha facilitado);

ii) la identidad de la persona que ha presentado la propuesta de sustitución (si lo pide esa persona);

iii) la identidad de la sustancia a la que se refiere la sustitución propuesta y las razones para presentar la propuesta de sustitución;

iv) el plazo fijado para recibir observaciones, así como el nombre y la dirección de la persona a quien deban dirigirse; y

v) los poderes conferidos para el caso a la OMS y una referencia al presente procedimiento.

Toda persona puede formular a la OMS observaciones sobre la sustitución propuesta dentro de los cuatro meses siguientes a la fecha en que se realizó la solicitud de observaciones.

b) Una vez agotado el mencionado plazo para la formulación de observaciones, la Secretaría enviará todos los comentarios recibidos al Grupo de Expertos en DCI, al solicitante inicial o a su sucesor, y a la persona que haya presentado la propuesta de sustitución. Si después de examinar la propuesta de sustitución y las observaciones recibidas, el Grupo de Expertos en DCI, la persona que haya presentado la propuesta de sustitución y el solicitante inicial, o su sucesor, están de acuerdo en la necesidad de sustituir la denominación común internacional recomendada anteriormente, la Secretaría remitirá la propuesta de sustitución al Grupo de Expertos en DCI para que la tramite.

No obstante lo anterior, el solicitante inicial o su sucesor no tendrán derecho a impedir el acuerdo sobre una propuesta de sustitución en el caso de que hayan dejado de tener un interés demostrable en la denominación común internacional cuya sustitución se propone.

En caso de que la propuesta de sustitución sea presentada al Grupo de Expertos en DCI para que la tramite, este grupo seleccionará una nueva denominación común internacional de conformidad con los Principios generales a los que se refiere el artículo 2 y al procedimiento establecido en los artículos 3 a 8 inclusive. En ese caso, en las notificaciones que la Secretaría ha de enviar con arreglo a los artículos 3 y 7, respectivamente, incluida la notificación al solicitante

inicial o a su sucesor (en el caso de que no sea la misma persona que propuso la sustitución y siempre que el solicitante inicial o su sucesor sean conocidos o puedan ser encontrados mediante esfuerzos diligentes, como el contacto con las asociaciones industriales), se indicará que la nueva denominación sustituye a una denominación común internacional recomendada anteriormente y que los Estados Miembros podrán, si lo estiman oportuno, adoptar disposiciones transitorias aplicables a los productos existentes en cuya etiqueta se utilice, con arreglo a la legislación nacional, la denominación común internacional recomendada anteriormente que se haya sustituido.

En caso de que, después de haber estudiado la propuesta de sustitución y los comentarios recibidos de conformidad con el procedimiento descrito anteriormente, el Grupo de Expertos en DCI, el solicitante inicial o su sucesor y la persona que haya presentado la propuesta de sustitución no lleguen a un acuerdo sobre la existencia de razones poderosas para sustituir una denominación común internacional recomendada anteriormente, esta denominación se mantendrá (siempre en el entendimiento de que el solicitante inicial o su sucesor no tendrán derecho a impedir el acuerdo sobre una propuesta de sustitución en el caso de que hayan dejado de tener un interés demostrable en la denominación común internacional cuya sustitución se propone). En ese caso, la Secretaría comunicará a la persona que haya propuesto la sustitución, así como al solicitante inicial o a su sucesor (en el caso de que no sea la misma persona que propuso la sustitución y siempre que el solicitante inicial o su sucesor sean conocidos o puedan ser encontrados mediante esfuerzos diligentes, como el contacto con las asociaciones industriales), a los Estados Miembros, a las comisiones nacionales y regionales de las farmacopeas o a otros organismos designados por los Estados Miembros y a cualquier otra persona que tenga interés en la sustitución propuesta, que, pese a la presentación de una propuesta de sustitución, se ha decidido mantener la denominación común internacional recomendada anteriormente (con una descripción de la o las razones por las que se ha considerado que la propuesta de sustitución no estaba respaldada por razones suficientemente poderosas).

ANEXO 2

PRINCIPIOS GENERALES DE ORIENTACIÓN PARA FORMAR DENOMINACIONES COMUNES INTERNACIONALES PARA SUSTANCIAS FARMACÉUTICAS¹

1. Las denominaciones comunes internacionales (DCI) deberán diferenciarse tanto fonética como ortográficamente. No deberán ser incómodamente largas, ni dar lugar a confusión con denominaciones de uso común.

2. La DCI de una sustancia que pertenezca a un grupo de sustancias farmacológicamente emparentadas deberá mostrar apropiadamente este parentesco. Deberán evitarse las denominaciones que puedan tener connotaciones anatómicas, fisiológicas, patológicas o terapéuticas para el paciente.

Estos principios primarios se pondrán en práctica utilizando los siguientes principios secundarios:

3. Al idear la DCI de la primera sustancia de un nuevo grupo farmacológico, deberá tenerse en cuenta la posibilidad de poder formar DCI convenientes para las sustancias emparentadas que se agreguen al nuevo grupo.

4. Al idear DCI para ácidos, se preferirán las de una sola palabra; sus sales deberán denominarse sin modificar el nombre del ácido: p. ej. «oxacilina» y «oxacilina sódica», «ibufenaco» y «ibufenaco sódico».

¹ En su 20º informe (OMS, Serie de Informes Técnicos, Nº 581, 1975), el Comité de Expertos de la OMS en Denominaciones Comunes para las Sustancias Farmacéuticas revisó los Principios generales para formar denominaciones comunes internacionales (DCI), y su procedimiento de selección, a la luz de las novedades registradas en los últimos años en materia de compuestos farmacéuticos. El cambio más importante había consistido en hacer extensivo a la denominación de sustancias químicas sintéticas el método utilizado hasta entonces para las sustancias originadas en productos naturales o derivadas de éstos. Dicho método conlleva la utilización de una «partícula» característica que indica una propiedad común a los miembros de un grupo. En el citado informe se examinan en detalle las razones y consecuencias de este cambio.

Los Principios generales de orientación se actualizaron durante la 13ª consulta sobre denominaciones comunes para sustancias farmacéuticas (Ginebra, 27 a 29 de abril de 1983) (PHARM S/NOM 928, 13 de mayo de 1983, revisado el 18 de agosto de 1983).

5. Las DCI para las sustancias que se usan en forma de sal deberán en general aplicarse a la base activa o al ácido activo. Las denominaciones para diferentes sales o ésteres de la misma sustancia activa solamente deberán diferir en el nombre del ácido o de la base inactivos. En los compuestos de amonio cuaternario, el catión y el anión deberán denominarse adecuadamente por separado, como componentes independientes de una sustancia cuaternaria y no como sales de una amina.

6. Deberá evitarse el empleo de letras o números aislados; también es indeseable el empleo de guiones.

7. Para facilitar la traducción y la pronunciación, se emplearán de preferencia las letras «f» en lugar de «ph», «t» en lugar de «th», «e» en lugar de «ae» u «oe», e «i» en lugar de «y»; se deberá evitar el empleo de las letras «h» y «k».

8. Siempre que las denominaciones propuestas estén de acuerdo con estos principios, recibirán una consideración preferente las denominaciones propuestas por la persona que haya descubierto las sustancias, o que fabrique y comercialice por primera vez una sustancia farmacéutica, así como las denominaciones ya adoptadas oficialmente en cualquier país.

9. El parentesco entre sustancias del mismo grupo se pondrá de manifiesto en las DCI (véase el Principio 2) utilizando una partícula común. En la lista que figura a continuación se indican ejemplos de partículas para grupos de sustancias, en particular para grupos nuevos. Existen muchas otras partículas que se usan habitualmente.¹ Cuando una partícula aparece sin guión alguno, puede utilizarse en cualquier lugar de la palabra.

Latin	Español	
-acum	-aco	antiinflamatorios derivados del ibufenaco
-adolum	-adol)	analgésicos
-adol-	-adol-)	
-astum	-ast	antiasmáticos, sustancias antialérgicas cuya acción principal no es la antihistamínica
-astinum	-astina	antihistamínicos
-azepamum	-azepam	derivados del diazepam
bol	bol	esteroides anabolizantes
-cain-	-caína-	antiarrítmicos de clase I, derivados de procainamida y lidocaína
-cainum	-caína-	anestésicos locales
cef-	cef-	antibióticos, derivados del ácido cefalosporánico
-cillinum	-cilina	antibióticos derivados del ácido 6-aminopenicilánico
-conazolium	-conazol	antifúngicos sistémicos derivados del miconazol
cort	cort	corticosteroides, excepto derivados de prednisolona
-coxibum	-coxib	inhibidores selectivos de ciclooxigenasa
-entanum	-entán	antagonistas del receptor de endotelina
gab	gab	gabamiméticos
gado-	gado-	agentes para diagnóstico derivados de gadolinio
-gartranum	-gatrán	inhibidores de la trombina antitrombóticos
gest	gest	esteroides progestágenos
gli	gli	hipoglucemiantes, antihiperglucémicos
io-	io-	medios de contraste iodados
-metacinum	-metacina	antiinflamatorios derivados de indometacina
-mycinum	-micina	antibióticos producidos por cepas de <i>Streptomyces</i>
-nidazolium	-nidazol	antiprotozoarios derivados de metronidazol
-ololum	-olol	antagonistas de receptores β -adrenérgicos

¹ En el documento de trabajo WHO/EMP/RHT/TSN/2018.1, que se actualiza periódicamente y puede solicitarse al Programa sobre Denominaciones Comunes Internacionales, OMS, Ginebra, figura una lista más amplia de partículas.

<i>-oxacinum</i>	<i>-oxacino</i>	antibacterianos derivados del ácido nalidíxico
<i>-platinum</i>	<i>-platino</i>	antineoplásicos derivados del platino
<i>-poetinum</i>	<i>-poetina</i>	factores sanguíneos similares a la eritropoyetina
<i>-pril(at)um</i>	<i>-pril(at)</i>	inhibidores de la enzima convertora de laangiotensina
<i>-profenum</i>	<i>-profeno</i>	antiinflamatorios derivados del ibuprofeno
<i>prost</i>	<i>prost</i>	prostaglandinas
<i>-relinum</i>	<i>-relina</i>	péptidos estimulantes de la liberación de hormonas hipofisarias
<i>-sartanum</i>	<i>-sartán</i>	antihipertensivos (no peptídicos) antagonistas del
<i>-vaptanum</i>	<i>-vaptán</i>	antagonistas del receptor de vasopresina
<i>vin-</i>	<i>vin-</i>)	alcaloides de la vinca
<i>-vin-</i>	<i>-vin-</i>)	